

Analyse der räumlich-zeitlichen Variabilität der demersalen Fischfauna im niedersächsischen Küstenmeer 1993 - 2007

im Auftrag der

Nationalparkverwaltung Niedersächsisches Wattenmeer
Virchowstr. 1
26382 Wilhelmshaven

und des

Niedersächsischen Landesbetriebes für Wasserwirtschaft, Küsten- und Naturschutz
Betriebsstelle Brake-Oldenburg
Ratsherr-Schulze-Str. 10
26122 Oldenburg

Maj Wetjen

Rainer Knust

Bremerhaven, März 2014

Inhalt

1.	Vorwort	1
2.	Datenbasis	3
2.1	Probennahmestrategien und Laborauswertung.....	5
2.2	Datenaufbereitung	6
3.	Datenauswertung	6
3.1	Ökologische Indizes	6
3.2	Multivariate Methoden	8
3.2.1	Klassifikation und Ordination.....	10
3.2.2	SIMPER-Analyse	11
4.	Ergebnisse	12
4.1	Gesamtvorkommen im Untersuchungsgebiet.....	12
4.2	Zeitliche Variabilität der Besiedlungsstruktur.....	21
4.3	Räumliche Variabilität der Besiedlungsstruktur	33
4.4	Vorrangig betrachtete Fischarten	54
5.	Diskussion	110
5.1	Artenvorkommen	110
5.2	Vorrangig betrachtete Fischarten	114
5.3	Abschließende Bewertung langzeitlicher Veränderungen	122
5.4	Abschließende Beurteilung der Monitoringstrategie	125
6.	Zusammenfassung und Fazit	132
7.	Literatur	133
8.	Anhang	I

1. VORWORT

Die in dieser Arbeit zu analysierenden Daten (1993 - 2007) wurden im Rahmen der Ökosystemforschung Niedersächsisches Wattenmeer (1992 - 1994), der ökologischen Begleituntersuchungen zur Pipelineverlegung EUROPIPE (1993 - 1996), sowie ab 1996 durch ein hausinternes Programm des Alfred-Wegener-Institut Helmholtz-Zentrum für Polar- und Meeresforschung (AWI) erhoben. Dabei wurden unterschiedliche Ziele verfolgt. Im Rahmen der Ökosystemforschung wurde eine Umweltbeobachtungsstrategie für demersale Fische und Dekapoden in den Rückseitenwatten des niedersächsischen Wattenmeeres entwickelt. Die Ergebnisse hierzu wurden in zwei Berichten veröffentlicht (KNUST *et al.* 1995, KNUST 1996). Beide Berichte liegen der Nationalparkverwaltung und dem Umweltbundesamt vor. Im Rahmen von EUROPIPE wurden die möglichen Auswirkungen einer Gaspipelineverlegung auf die demersale Fischfauna und Dekapoden untersucht, wobei die in der Ökosystemforschung niedersächsisches Wattenmeer gewonnenen Erkenntnisse und ausgearbeiteten Probennahmestrategien berücksichtigt wurden. Die Zwischenberichte und der Endbericht liegen ebenfalls der Nationalparkverwaltung vor (KNUST *et al.* 1997). Ab dem Jahr 1997 wurden die Probennahmen im Spiekerooger und Langeooger Rückseitenwatt im Rahmen eines AWI hausinternen Programms fortgesetzt. Da trotz mehrfacher Versuche eine Weiterführung durch eine gemeinsame Finanzierung Nationalparkverwaltung / AWI nicht realisiert werden konnte, mussten die Probennahmen im Jahr 2009 aus Geldmangel eingestellt werden. Die Analysen in diesem Bericht berücksichtigen nur solche Stationen, die langfristig immer wieder beprobt worden sind und die mit dem Standardgerät (3 m-Baumkurre) beprobt wurden. Nur so kann eine Aussage zu langfristigen Veränderungen und zur räumlichen Verteilung gemacht werden. Unterschiedliche Herangehensweisen und Fanggeräte sorgen für begrenzt vergleichbare Daten. Somit sind Daten dieser Arbeit mit den Fängen der DYFS

recht gut vergleichbar, während die der DFS, in denen auch mit größeren Baumkuren (6 m) gefischt wurde, bereits mit Einschränkungen in der Vergleichbarkeit der Daten gerechnet werden muss.

Ziel dieses Berichts ist eine Charakterisierung der Fischfauna und deren zeitlicher Entwicklung im niedersächsischen Küstengewässer als Basis um zukünftige Veränderungen einordnen zu können. Vor dem Hintergrund der Meeressstrategie-Richtlinie muss zunächst ein Bewertungsverfahren entwickelt werden um den derzeitigen Zustand des Wattenmeeres einschätzen zu können. Als Grundlage dafür, muss zunächst die aktuelle Datenlage und der Kenntnisstand erfasst werden. Dieser Bericht beschäftigt sich mit der Fischfauna des niedersächsischen Wattenmeeres, da den Fischen in einem solchen Ökosystem eine Schlüsselrolle zukommt. In dem hier vorliegenden Bericht werden die Ergebnisse einer Datenanalyse zum Vorkommen, der Abundanz und der Biomasse der demersalen Fischfauna aus den Jahren 1993 - 2007 dargestellt. Die Bearbeitung der Proben aus den Jahren 2008 und 2009 konnte bisher nicht realisiert werden und sind daher in diesem Bericht nicht enthalten. Der Schwerpunkt der Analysen liegt bei den interannuellen Veränderungen in der Artenzusammensetzung (Gemeinschaftsanalyse), der Individuenzahl, dem Vorkommen und der Biomasse der Fischarten im Wattenmeer. Dabei werden zwischen verschiedenen Kompartimenten innerhalb des Untersuchungsgebietes unterschieden. Auch mögliche saisonale Unterschiede in der Entwicklung der Fischfauna, sowie langzeitliche Veränderungen der Fischfauna über den gesamten Untersuchungszeitraum von 1993 - 2007 sollen dargestellt werden. Vorrangig betrachtet werden zudem die im TMAP definierten prioritären demersalen Indikatorarten sowie Arten der MSRL-Meldungen.

Eine zweite Aufgabe des Projektes war es, alle Daten aus den Jahren 1993 bis 2007 zu validieren und über das Datenbanksystem PANGAEA (www.pangaea.de) zur Verfügung zu stellen. Dabei wurden alle Stationen und Daten berücksichtigt,

inklusive der individuellen Längen- und Gewichtsangaben und Daten der invertebraten Epifauna. Die Daten sind seit dem 25.10.2013 online und öffentlich zugänglich.

2. DATENBASIS

Das Untersuchungsgebiet umfasst das Rückseitenwatt der Inseln Spiekeroog und Langeoog, sowie zwei Stationen an der 5 m Tiefenlinie vor Langeoog (Abb. 1). Die Beprobungen wurden innerhalb des genannten Gebietes von 1993 bis 2007 mit gecharterten Fischkuttern durchgeführt. In den ersten Jahren wurde mehrmals über das Jahr verteilt gefischt, während in den späteren Jahren ab 1999 die Ausfahrten ausschließlich im März und Juli stattfanden.

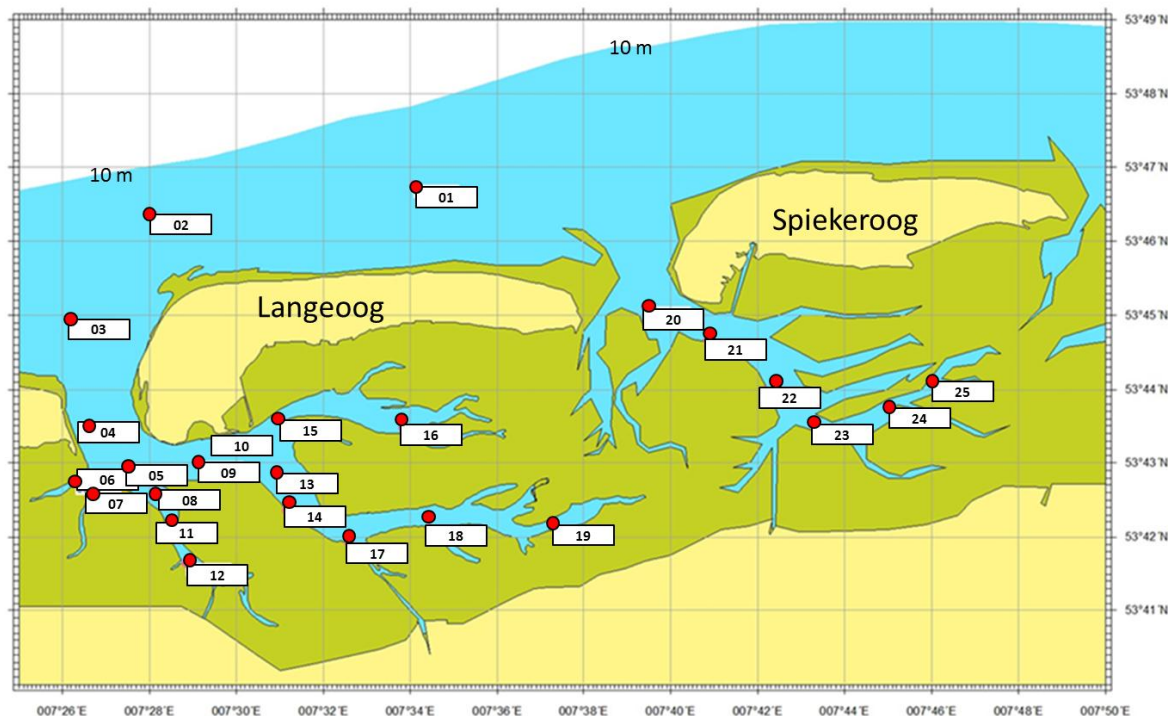


Abbildung 1: Dauerstationen im Langeooger und Spiekerooger Rückseitenwatt sowie im Bereich vor den Inseln.

Insgesamt fanden in dem Zeitraum von 1993 - 2007 55 Ausfahrten statt. Als Datenbasis für diese Arbeit wurden jedoch nur Befischungen berücksichtigt, die in dem genannten Zeitraum im Frühjahr (März / April) und Sommer (Juni / Juli / August) mit einer 3 m-Baumkurre durchgeführt wurden. Somit stehen Daten von 25 Stationen aus insgesamt 30 Ausfahrten zur Verfügung, dessen Fänge in dieser Arbeit analysiert wurden (Tab. 1).

Tabelle 1: Übersicht über die 30 Expeditionen die vom Alfred-Wegener Institut Helmholtz-Zentrum für Polar- und Meeresforschung im Zeitraum von 1993 - 2007 durchgeführt wurden.

No.	Expedition	Schiff	Fahrtleiter	Institut	Monat	Jahr	Jahreszeit	Gerät
1	PO0100	Polaris	R. Knust	AWI-Bremerhaven	März	2000	Frühjahr	BKPR3.0m#01cmGK
2	PO0101	Polaris	E. Brodte	AWI-Bremerhaven	März	2001	Frühjahr	BKPR3.0m#01cmGK
3	PO0102	Polaris	E. Brodte	AWI-Bremerhaven	März	2002	Frühjahr	BKPR3.0m#01cmGK
4	PO0103	Polaris	E. Brodte	AWI-Bremerhaven	März	2003	Frühjahr	BKPR3.0m#01cmGK
5	PO0104	Polaris	E. Brodte	AWI-Bremerhaven	März	2004	Frühjahr	BKPR3.0m#01cmGK
6	PO0105	Polaris	N. Koschnik	AWI-Bremerhaven	März	2005	Frühjahr	BKPR3.0m#01cmGK
7	PO0106	Polaris	N. Koschnik	AWI-Bremerhaven	März	2006	Frühjahr	BKPR3.0m#01cmGK
8	PO0107	Polaris	N. Koschnik	AWI-Bremerhaven	März	2007	Frühjahr	BKPR3.0m#01cmGK
9	PO0196	Polaris	J. Ullweit	AWI-Bremerhaven	März	1996	Frühjahr	BKPR3.0m#01cmGK
10	PO0197	Polaris	R. Knust	AWI-Bremerhaven	März	1997	Frühjahr	BKPR3.0m#01cmGK
11	PO0198	Polaris	J. Ullweit	AWI-Bremerhaven	März	1998	Frühjahr	BKPR3.0m#01cmGK
12	PO0199	Polaris	I. Hoppe	AWI-Bremerhaven	März	1999	Frühjahr	BKPR3.0m#01cmGK
13	PO0200	Polaris	I. Wolf	AWI-Bremerhaven	Juli	2000	Sommer	BKPR3.0m#01cmGK
14	PO0201	Polaris	E. Brodte	AWI-Bremerhaven	Juli	2001	Sommer	BKPR3.0m#01cmGK
15	PO0202	Polaris	E. Brodte	AWI-Bremerhaven	Juli	2002	Sommer	BKPR3.0m#01cmGK
16	PO0203	Polaris	E. Brodte	AWI-Bremerhaven	Juli	2003	Sommer	BKPR3.0m#01cmGK
17	PO0204	Polaris	E. Brodte	AWI-Bremerhaven	Juli	2004	Sommer	BKPR3.0m#01cmGK
18	PO0205	Polaris	N. Koschnik	AWI-Bremerhaven	Juli	2005	Sommer	BKPR3.0m#01cmGK
19	PO0206	Polaris	N. Koschnik	AWI-Bremerhaven	Juli	2006	Sommer	BKPR3.0m#01cmGK
20	PO0207	Polaris	N. Koschnik	AWI-Bremerhaven	August	2007	Sommer	BKPR3.0m#01cmGK
21	PO0293	Polaris	R. Knust	AWI-Bremerhaven	April	1993	Frühjahr	BKPR3.0m#01cmGK
22	PO0294	Polaris	M. Gautier	AWI-Bremerhaven	März	1994	Frühjahr	BKPR3.0m#01cmGK
23	PO0295	Polaris	R. Knust	AWI-Bremerhaven	März	1995	Frühjahr	BKPR3.0m#01cmGK
24	PO0297	Polaris	R. Knust	AWI-Bremerhaven	Juli	1997	Sommer	BKPR3.0m#01cmGK
25	PO0298	Polaris	I. Hoppe	AWI-Bremerhaven	Juli	1998	Sommer	BKPR3.0m#01cmGK
26	PO0299	Polaris	I. Hoppe	AWI-Bremerhaven	Juli	1999	Sommer	BKPR3.0m#01cmGK
27	PO0396	Polaris	J. Ullweit	AWI-Bremerhaven	Juli	1996	Sommer	BKPR3.0m#01cmGK
28	PO0495	Polaris	M. Gautier	AWI-Bremerhaven	Juli	1995	Sommer	BKPR3.0m#01cmGK
29	PO0594	Polaris	R. Knust	AWI-Bremerhaven	Juli	1994	Sommer	BKPR3.0m#01cmGK
30	PO0693	Polaris	R. Knust	AWI-Bremerhaven	Juli	1993	Sommer	BKPR3.0m#01cmGK

2.1 Probennahmestrategien und Laborauswertung

Im Rahmen der Ökosystemforschung wurden mehrere Vergleichsfänge durchgeführt, um den Einfluss von unterschiedlichen Geräten und unterschiedlichen Fangzeiten in Bezug auf die Tide zu ermitteln. Als Standardfangerät für diese Arbeit wurde aufgrund der Ergebnisse und aufgrund der Vergleichbarkeit mit der DYFS eine 3 m-Baumkurre gewählt. Die Baumkurre wurde mit einer Grundkette ausgestattet, damit auch die invertebrate Epifauna besser erfasst werden konnte. Die Maschenweite betrug 10 mm. Im Durchschnitt wurde bei einer Wassertiefe von knapp 4 m gefischt. Die maximale Fangtiefe betrug 25,3 m und die durchschnittliche Schleppzeit 10 Minuten.

Die Beprobung der einzelnen Stationen erfolgte nach Möglichkeit im gleichen Tidenfenster(± 2 Stunden Niedrigwasser), um die Beeinflussung der Ergebnisse durch Gezeitenveränderungen möglichst gering zu halten, da einige Fischarten, wie z.B. die Scholle sich bei Hochwasser nicht in der Balje aufhalten und nur während Niedrigwasser dort verweilen. Start- und Endpositionen der Befischungen wurden mit dem bordeigenen GPS (Global Position System) ermittelt. Nach dem Hieven wurde der Gesamtfang gewogen. War der Probenumfang zu groß für eine Gesamtaufarbeitung im heimischen Labor, wurde eine repräsentative Unterprobe nach Standardverfahren in der Biologie genommen und der Gesamtfang nochmals nach seltenen Arten durchsucht. Die Proben wurden zur weiteren Bearbeitung im Labor eingefroren. Im Labor wurden die Individuen so weit wie möglich auf Artniveau bestimmt, vermessen (Totallänge, 1 mm Genauigkeit) und gewogen (0,01 g Genauigkeit). Die Bestimmung der Individuen auf Artniveau erfolgte von erfahrenen Wissenschaftlern. Bei Unsicherheiten wurden zur Kontrolle weitere Gutachter hinzugezogen, sodass hier von einer korrekten Bestimmung der Individuen ausgegangen werden kann. Individuen die trotz zweiter Begutachtung

nicht eindeutig auf Artniveau identifiziert werden konnten wurden der jeweiligen Gattung oder Familie zugeordnet.

2.2 Datenaufbereitung

Alle an Bord und im Labor erhobenen Daten wurden elektronisch gespeichert. Die Schleppstrecke wurde mit Hilfe der GPS Positionen (Gerät an Grund / Gerät vom Grund) berechnet. Die befischte Fläche ergibt sich aus der Strecke mal der Breite des Fanggerätes. Das Mittel der Abundanz und Biomasse der Arten in den einzelnen Jahren wurde als Mittelwert aus allen befischten Stationen eines jeden Jahres berechnet. Bei der Gesamtbetrachtung über alle Jahre wurde das Mittel der Abundanz- und Biomasse über alle Werte ermittelt. Alle Fangdaten wurden auf eine Fläche von 1000 m² umgerechnet. Dies erlaubt einen direkten Vergleich der Ergebnisse der einzelnen Hols aller Stationen und aller Jahre, auch wenn sich die Länge der Fangstrecken oder die Zeit der Befischungen unterscheiden sollte. Die Daten wurden in einem Arbeitsplatz PC gestützten Datenbanksystem (PARADOX) gespeichert. Zunächst wurde anhand der GPS-Daten ermittelt, welche der befischten Stationen mittels 3 m-Baumkurre innerhalb des Zeitraumes von 1993 bis 2007 dauerhaft bzw. wiederholt befischt wurden. Abbildung 1 zeigt die Lage der Stationen, dessen Fänge in dieser Arbeit untersucht wurden.

3. DATENAUSWERTUNG

3.1 Ökologische Indizes

Für die Auswertung und Darstellung der Daten wurden ausschließlich Standardverfahren herangezogen, die in der Biologie und Ökologie üblich sind. Zur Vermittlung der Diversität von Fischartengemeinschaften wurden die in der

Literatur gebräuchlichsten Indizes verwendet. Um einen Eindruck über die Fischgemeinschaften zu erlangen, wurde zunächst die totale Artenzahl (S) eines jeden Jahres oder Gebietes erfasst. Die Präsenz der einzelnen Arten der jeweiligen Station oder der einzelnen Jahre wurde folgendermaßen berechnet:

$$\text{Präsenz (\%)} = \frac{100}{S_G} * S_i \quad (1)$$

S_G = Anzahl aller befischten Stationen

S_i = Anzahl der Stationen an denen die Art i vertreten ist

Die Dominanz einzelner Arten wurde wie folgt berechnet:

$$\text{Dominanz (\%)} = \frac{100}{A_T} * A_i \quad (2)$$

A_T = Abundanz aller Arten innerhalb eines Jahres / einer Station

A_i = Abundanz der Art i innerhalb eines Jahres / einer Station

Als Maß für die Diversität innerhalb der einzelnen untersuchten Jahre oder Kompartimente wurde der Shannon-Wiener-Index berechnet. Dieser bezieht bei der Berechnung der Diversität die relativen Anteile der Arten mit ein. Der Wert für den Index H' als Artendiversität ist umso größer, desto höher die Anzahl der Arten und desto größer die Gleichverteilung. In der Regel ergibt sich für H' ein Wert zwischen 1,5 und 3,5. Nur selten wird ein Wert von über 4,5 erreicht (Khan 2006; Lezama *et al.* 2011).

$$H' = - \sum_{Si}^S (Si * \log_e(Si)) \quad (3)$$

S = Anzahl der Arten

Si = relativer Anteil einer Art i

Die Artengleichheit („species evenness J' “) wird als Maß verwendet um ebenfalls die Biodiversität zu charakterisieren. Die Artengleichheit gibt die Gleichverteilung der Arten wieder und damit den Anteil von H' , wenn alle Arten gleich häufig vorkommen würden.

Je höher die Artengleichheit, desto gleichmäßiger ist die Anzahl der Individuen zwischen den einzelnen Arten verteilt:

$$J' = \frac{H'}{\log_e(S)} \quad (4)$$

J' = Artengleichheit (Evenness)

H' = Diversität

S = Anzahl der Arten

3.2 Multivariate Methoden

Für die Analyse der vorhandenen Gemeinschaftsstrukturen der Fischfauna im Wattenmeer wurden alle Arten, sowohl demersale als auch pelagische, berücksichtigt um das gesamte Artenspektrum der Gebiete zu erfassen. Wenn gleich pelagische Arten in den Fängen quantitativ unterrepräsentiert sein können, sind sie Bestandteil der jeweiligen Artengemeinschaft. Als Grundlage wurde zunächst eine Ähnlichkeitsmatrix der Stationen auf Basis des Bray-Curtis-Similarity-Index erstellt. Der Index ist ein Maß für die Ähnlichkeit bzw.

Unähnlichkeit zweier Stationen bezüglich des Besiedlungsmusters und ist in der marinen Ökologie ein „quasi-Standard“.

$$S_{jk} = 100 \frac{\sum_{i=1}^p 2 \min(y_{ij}, y_{ik})}{\sum_{i=1}^p (y_{ij} + y_{ik})} \quad (5)$$

S_{jk} = Ähnlichkeit zwischen den Stichproben j und k

p = Anzahl der Variablen

y_{ij} = Messwerte (Abundanz) der Art i der Stichprobe j

y_{ik} = Messwerte (Abundanz) der Art i der Stichprobe k

$\min(y_{ij}, y_{ik})$ = der niedrigste Abundanzwert der Art i innerhalb der beiden Stichproben j und k

Ein Ähnlichkeitslevel von 100 % würde eine absolute Übereinstimmung der Daten darstellen, während ein Ähnlichkeitslevel von 0 % eine komplette Ungleichheit beschreibt. Bei dem Bray-Curtis-Similarity-Index wird die gemeinsame Abwesenheit einer Art in z.B. zwei unterschiedlichen Gebieten nicht als Ähnlichkeit gewertet, während hingegen Arten mit hohen Individuendichten mehr gewichtet werden als seltene. Da nicht alle Individuen auf Artniveau identifiziert werden konnten und um eine höhere Gewichtung individuenreicher Arten bei der Analyse der Biodiversität zu dezimieren, wurden alle Daten (Biomasse und Abundanz) vor der Berechnung der Ähnlichkeitsmatrix aufbereitet. Je nach Anzahl der einzelnen Arten die nicht identifiziert werden konnten (*Clupea* 276 Ind., *Clupeidae* 4 Ind., *Lotidae* 44 Ind., *Gadidae* 53 Ind., *Liparis* 1 Ind. innerhalb aller Fänge von 1993 - 2007) wurde folgendermaßen verfahren: (1) Nicht identifizierte Individuen wurden von der weiteren Analyse ausgeschlossen, wenn an der gleichen Station identifizierte Arten derselben Gattung oder Familie vorhanden waren. (2) Nicht identifizierte Individuen wurden nicht vom Datensatz ausgeschlossen, wenn keine anderen identifizierten Arten der gleichen Gattung oder Familie innerhalb derselben Station vertreten waren. Anschließend wurden alle Daten mit der

Quadratwurzel transformiert, um die Gewichtung besonders dominierender Arten abzuschwächen. Dieses Verfahren wird standardmäßig für biologische Abundanz- und Biomassedaten empfohlen (CLARKE & WARWICK 1994).

3.2.1 Klassifikation und Ordination

Um die vorhandenen Daten zu klassifizieren, wurden die Proben mittels Clusteranalyse (CA) zugeordnet, wobei als Datengrundlage die Ähnlichkeitsmatrix dient. Die Ergebnisse werden in Form eines Dendrogramms mit Stationsclustern dargestellt. Ähnlichkeiten zwischen den Clustern werden als Gruppenmittelwerte („group average“) berechnet.

Eine weitere Möglichkeit die Ähnlichkeit der Stationen darzustellen, ist die Nicht-metrische multidimensionale Skalierung (MDS; „multi-dimensional scaling“). Die Abbildungen zeigen die Daten in Form einer zweidimensionalen „Karte“, sodass die Entferungen zwischen den Datenpunkten in der Graphik den (Un-)Ähnlichkeiten der triangulären Ähnlichkeitsmatrix entsprechen, d.h. räumliche Distanzen zwischen den Proben (Datenpunkte auf der Karte) entsprechen den Ähnlichkeiten des Bray-Curtis-Similarity-Index. Somit repräsentieren Datenpunkte die dicht beieinander liegen eine große Ähnlichkeit in der Besiedlung der beiden Stationen.

Bei einer MDS-Analyse wird immer ein sogenannter „Stressfaktor“ angegeben, der zeigt wie gut die Mehrdimensionalität durch die zweidimensionalen MDS-Analysen dargestellt werden kann. In dieser Arbeit wurde der Stresswert nach Kruskal berechnet (QUINN & KEOUGH 2002):

$$\text{Stressfaktor} = \sqrt{\frac{\sum(d_{hi} - \hat{d}_{hi})^2}{\sum d_{hi}^2}} \quad (6)$$

d_{hi} = Distanz zwischen den Proben h und i im MDS

\hat{d}_{hi} = Disparität zwischen h und i auf Grundlage der Regression

Je kleiner der Stressfaktor ist, desto besser ist Passung. Der Stressfaktor sollte Werte > 0,20 nicht übersteigen, da es sich in jenem Fall um eine schlechte Modellanpassung handelt und dies zu Fehlinterpretationen führen kann. Werte von 0,1 gelten in der Regel als „exzellent“ (IFAF 2010), während Werte bis 0,15 noch als „gut“ gewertet werden können.

3.2.2 SIMPER-Analyse

Die SIMPER-Analyse (Similarity Percentage Analyses) wird verwendet um zu bestimmen welche Arten, auf Grundlage der Quadratwurzel transformierten Abundanzdaten, für die Unterschiede bzw. Gemeinsamkeiten zwischen den zu untersuchenden Stichproben verantwortlich sind. Dargestellt werden die Ergebnisse als prozentuale Gemeinsamkeiten innerhalb aller Daten einer zu testenden Gruppe. Zudem werden die Arten benannt (prozentual), die für die Gemeinsamkeiten innerhalb einer Gruppe verantwortlich sind. Je höher der prozentuale Anteil einer Art, desto mehr trägt diese Art zur gesamten Ähnlichkeit bei und desto charakteristischer ist diese Art für die zu testende Gruppe. Weiterhin wird die durchschnittliche Ungleichheit zwischen zwei Gruppen (z.B. Bereich vor den Inseln und Watt), sowie die dafür verantwortlichen Arten ermittelt, um zu erkennen, durch welche Arten sich zwei zu testende Gruppen unterschieden.

4. ERGEBNISSE

4.1 Gesamtvorkommen im Untersuchungsgebiet

ANZAHL DER ARTEN: Insgesamt konnten innerhalb der 25 befischten Stationen in dem Untersuchungsgebiet des ostfriesischen Wattenmeeres im Zeitraum von 1993 - 2007 49 Fischarten nachgewiesen werden (Tab. 2). Berücksichtigt wurden hierbei alle Stationen in den Rückseitenwatten bis einschließlich der Seegaten (Rubrik „Watt“) sowie die Stationen vor den Inseln (Seeseite) die über den Untersuchungszeitraum wiederholt befischt wurden. Zusätzlich wurden einige wenige Individuen gefangen, die nicht auf Artniveau bestimmt werden konnten. Diese gehörten der Familie Clupeidae bzw. der Gattung *Clupea*, der Familie Gadidae, der Unterfamilie Lotidae sowie der Gattung *Liparis* an. Unter den insgesamt 49 vertretenen Arten befanden sich zehn Plattfischarten welche den Familien Pleuronectidae, Soleidae, Bothidae und Scophthalmidae zugehörig waren. Weiterhin waren unter den insgesamt 49 erfassten Fischarten Arten vertreten, die auf der Roten Liste der gefährdeten Fischarten Deutschlands (BERG et al. 1996) aufgeführt sind. Innerhalb der Kategorie „gefährdet“ fällt z.B. der Aal (*Anguilla anguilla*), welcher innerhalb der Untersuchungen in neun von 14 Jahren nachgewiesen werden konnte. In der Kategorie „stark gefährdet“ finden sich Finte (*Alosa fallax*) und Flussneunauge (*Lampetra fluviatilis*) wieder.

Im Watt (alle Priele und Baljen in den Rückseitenwatten bis einschließlich der Seegatt) konnten alle 49 Arten nachgewiesen werden, wohingegen einige Arten wie z.B. unter anderem der Ährenfisch (*Atherina presbyter*), der Güster (*Blicca bjoerkna*), der Ornament-Leierfisch (*Callionymus reticulatus*) und die Doggerscharbe (*Hippoglossoides platessoides*) im Bereich vor den Inseln (Seeseite) nicht gefunden wurden (Tab. 2). Im Sommer wurden nahezu alle Arten angetroffen. Die wenigen Ausnahmen stellten die Finte (*Alosa fallax*), der Güster, der Europäische Wolfsbarsch (*Dicentrachus labrax*), die Vierbärtige Seequappe (*Enchelyopus cimbrius*) und das Rotauge (*Rutilus rutilus*) dar, welche ausschließlich im Frühjahr erfasst wurden.

PRÄSENZ: Die Scholle (*Pleuronectes platessa*) konnte insgesamt an 87,50 % aller untersuchten Stationen innerhalb der Jahre 1993 - 2007 nachgewiesen werden und zeigt damit die größte Präsenz unter allen Arten (Abb. 2). Aber auch Arten wie der Stint (*Osmerus eperlanus*), welcher eine relativ geringe Dominanz zeigte (2,42 %), war mit einer vergleichsweise hohen Präsenz von 77,89 % vertreten. Der Kabeljau (*Gadus morhua*) und die Fünfbärtige Seequappe (*Ciliata mustela*) kamen immerhin noch an etwa einem Viertel aller untersuchten Stationen vor. Die geringste Präsenz (0,16 %) über alle Jahre zeigten die Arten Rotauge, Kleiner Scheibenbauch (*Liparis montagui*), Flussneunauge (*Lampetra fluviatilis*), Doggerscharbe, Vierbärtige Seequappe, Ornament-Leierfisch und der Güster.

DOMINANZ: Die 49 vertretenen Arten gehörten insgesamt 27 unterschiedlichen Familien an (Abb. 3). Deutlich dominierend war die Familie Pleuronectidae (60,10 %). Die Familien der Gobidae (13,83 %) und der Syngnathidae (9,10 %) waren ebenso mit einer relativ hohen Dominanz vertreten. Alle anderen Familien machten einen Anteil von weniger als 5 % am Gesamtfang aus. Die drei Familien mit der geringsten Dominanz waren die Familie Trachinidae, Cyprinidae und Petromyzontidae, welche mit einer Dominanz von nahezu gleich null (< 0,0008 %) vorkamen.

Mit 59,76 % war die Scholle unter allen Arten innerhalb des gesamten Untersuchungszeitraumes die deutlich dominierende Art (Abb. 4). Die Sandgrundel (*Pomatoschistus minutus*) sowie die Kleine Seenadel (*Syngnathus rostellatus*) waren ebenso mit einer relativ hohen Dominanz von je 12,67 % und 8,29 % vertreten. Alle anderen Arten wiesen eine Dominanz von < 5 % auf. Der Güster und das Rotauge zeigten die geringste Dominanz unter allen Arten. Diese waren mit einer Dominanz von lediglich 0,0003 % über alle Jahre vertreten.

ABUNDANZ UND BIOMASSE: Im Durchschnitt ist die Scholle im ostfriesischen Wattenmeer die Art mit der höchsten Individuendichte (44 Individuen / 1000 m², SE = 7,45). Am zweithäufigsten waren die Sandgrundel (*Pomatoschistus minutus*) und die Kleine Seenadel (*Syngnathus rostellatus*) mit durchschnittlich je 10 und 7 Individuen auf einer Fläche von 1000 m² vertreten. Der Große Scheibenbauch (*Liparis liparis*) trat

immerhin mit noch durchschnittlich einem Individuum pro 1000 m² auf. 40 der insgesamt 49 vorhandenen Arten kamen hingegen im gesamten Mittel mit weniger als einem Individuum pro 1000 m² vor (Abb. 5).

Die Scholle wies mit durchschnittlich 128,24 g / 1000 m² innerhalb der Jahre 1993 - 2007 auch die höchste Biomasse auf, gefolgt von der Flunder (53,95 g / 1000 m²) und dem Wittling (50,03 g / 1000 m²). Der Stint, der Aal, der Kabeljau, die Sandgrundel, die Seezunge, der Steinbutt, der Hering und der Franzosendorsch (*Trispoterus luscus*) konnten durchschnittlich mit einer Gesamtbiomasse von über 20 g / 1000 m² in den Untersuchungsjahren erfasst werden (Abb. 6). Der Hornhecht und die Fleckengrundel zeigten mit weniger als 0,5 g / 1000 m² die geringste Biomasse über die Jahre.

Tabelle 2: Artenliste der Fische im niedersächsischen Wattenmeer im Zeitraum von 1993 - 2007. Gerät: 3 m-Baumkurre mit Grundkette. x = Präsenz einer Art.

Art, Gattung, Familie	Rubincode	Jahreszeit		Kompartiment	
		Frühjahr	Sommer	Watt	Vor den Inseln
Steinpicker	<i>Agonus cataphractus</i>	AGON CAT	x	x	x
Finte	<i>Alosa fallax</i>	ALOS FAL	x		x
Kleiner Sandaal	<i>Ammodytes lancea</i>	AMMO LAN	x	x	x
Europäischer Aal	<i>Anguilla anguilla</i>	ANGU ANG	x	x	x
Lammzunge	<i>Arnoglossus laterna</i>	ARNO LAT	x	x	x
Ährenfisch	<i>Atherina presbyter</i>	ATHE PRE	x	x	x
Hornhecht	<i>Belone belone</i>	BELO BEL		x	x
Güster	<i>Blicca bjoerkna</i>	BLIC BJO	x		x
Zwergzunge	<i>Buglossidium luteum</i>	BUGL LUT	x	x	x
Gestreifter Leierfisch	<i>Callionymus lyra</i>	CALL LYR	x	x	x
Ornament-Leierfisch	<i>Callionymus reticulatus</i>	CALL RET		x	x
Roter Knurrhahn	<i>Chelidonichthys lucerna</i>	CHEL LUC		x	x
Fünfbärtl. Seequappe	<i>Ciliata mustela</i>	CILI MUS	x	x	x
Atlantischer Hering	<i>Clupea harengus</i>	CLUP HAR	x	x	x
Echte Heringe	<i>Clupea</i>	CLUPEAZ	x	x	x
Heringe	<i>Clupeidae</i>	CLUPEIDX		x	x
Europäischer Wolfsbarsch	<i>Dicentrarchus labrax</i>	DICE LAB	x		x
Vierbärtl. Seequappe	<i>Enchelyopus cimbricus</i>	ENCH CIM	x		x
Große Schlangennadel	<i>Entelurus aequoreus</i>	ENTE AEQ		x	x
Grauer Knurrhahn	<i>Eutrigla gurnardus</i>	EUTR GUR		x	x
Dorsche	<i>Gadidae</i>	GADIDAEX		x	x
Kabeljau	<i>Gadus morhua</i>	GADU MOR	x	x	x
Westlicher Stichling	<i>Gasterosteus aculeatus</i>	GAST ACU	x	x	x
Doggerscharbe	<i>Hippoglossoides platessoides</i>	HIPP PLA		x	x
Großer Sandaal	<i>Hyperoplus lanceolatus</i>	HYPE LAN	x	x	x
Flußneunauge	<i>Lampetra fluviatilis</i>	LAMP FLU		x	x
Kliesche	<i>Limanda limanda</i>	LIMA LIM	x	x	x
Großer Scheibenbauch	<i>Liparis liparis</i>	LIPA LIP	x	x	x
Kleiner Scheibenbauch	<i>Liparis montagui</i>	LIPA MON		x	x
Liparis	<i>Liparis</i>	LIPARISZ		x	x
Quappen	<i>Lotidae</i>	LOTIDAEX		x	x
Wittling	<i>Merlangius merlangus</i>	MERL MER	x	x	x
Rotzunge	<i>Microstomus kitt</i>	MICR KIT	x	x	x
Seeskorpion	<i>Myoxocephalus scorpius</i>	MYOX SCO	x	x	x
Stint	<i>Osmerus eperlanus</i>	OSME EPE	x	x	x
Butterfisch	<i>Pholis gunnellus</i>	PHOL GUN	x	x	x
Flunder	<i>Platichthys flesus</i>	PLAT FLE	x	x	x
Scholle	<i>Pleuronectes platessa</i>	PLEU PLA	x	x	x
Strandgrundel	<i>Pomatoschistus microps</i>	POMA MIC	x	x	x
Sandgrundel	<i>Pomatoschistus minutus</i>	POMA MIN	x	x	x
Fleckengrundel	<i>Pomatoschistus pictus</i>	POMA PIC	x	x	x
Steinbutt	<i>Psetta maxima</i>	PSET MAX	x	x	x
Rotauge	<i>Rutilus rutilus</i>	RUTI RUT	x		x
Glattbutt	<i>Scophthalmus rhombus</i>	SCOP RHO	x	x	x
Seezunge	<i>Solea solea</i>	SOLE SOL	x	x	x
Sprotte	<i>Sprattus sprattus</i>	SPRA SPR	x	x	x
Große Seenadel	<i>Syngnathus acus</i>	SYNG ACU		x	x
Kleine Seenadel	<i>Syngnathus rostellatus</i>	SYNG ROS	x	x	x
Grasnadel	<i>Syngnathus typhle</i>	SYNG TYP		x	x
Stöcker	<i>Trachurus trachurus</i>	TRAC TRA		x	x
Viperqueise	<i>Trachinus vipera</i>	TRAC VIP	x	x	x
Franzosenbarsch	<i>Trisopterus luscus</i>	TRIS LUS	x	x	x
Zwergdorsch	<i>Trisopterus minutus</i>	TRIS MIN		x	x
Aalmutter	<i>Zoarces viviparus</i>	ZOAR VIV	x	x	x

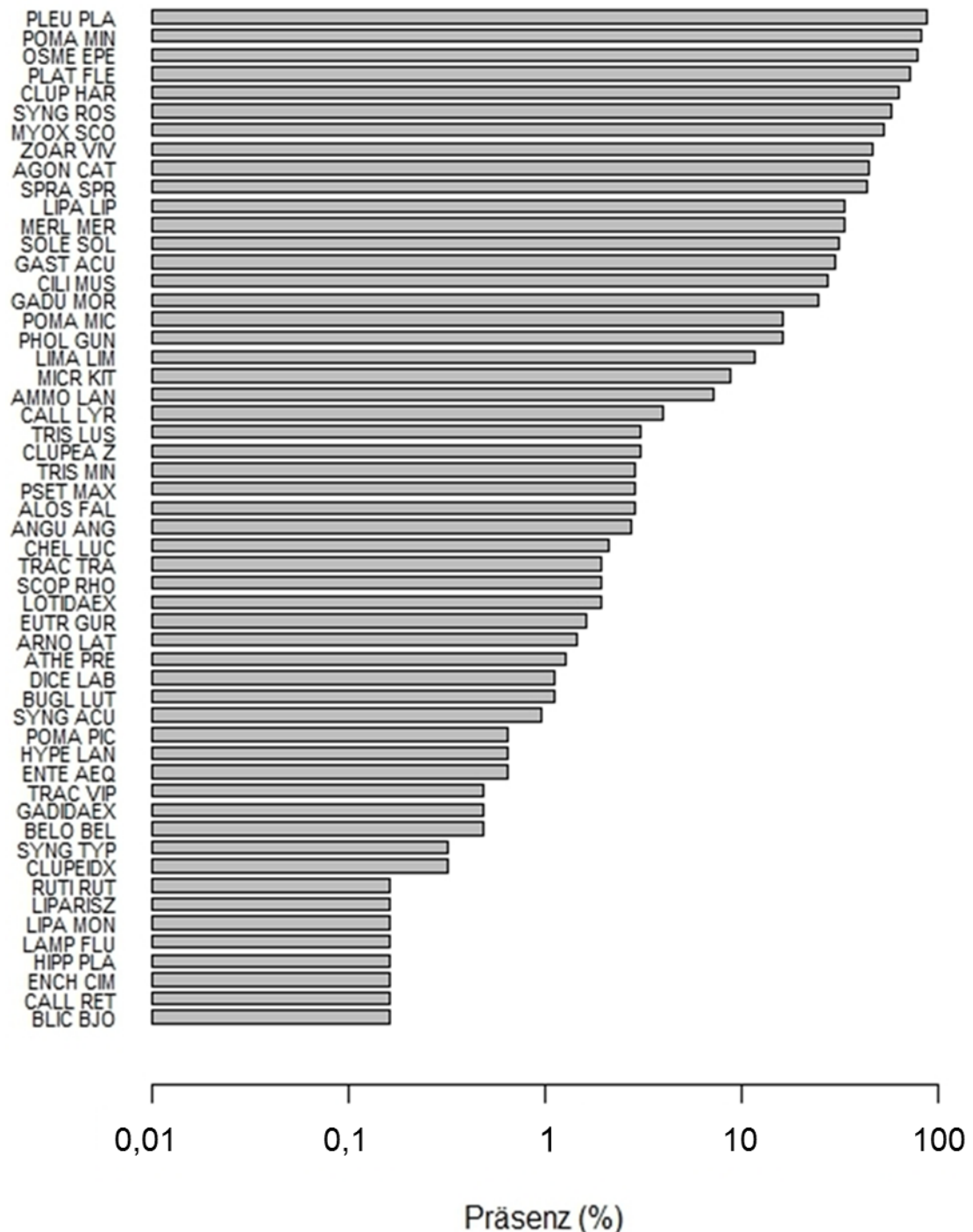


Abbildung 2: Präsenz (%) aller Arten, Gattungen, Familien innerhalb aller untersuchten Stationen der Jahre 1993 - 2007. Rubincodes siehe Tab. 2.

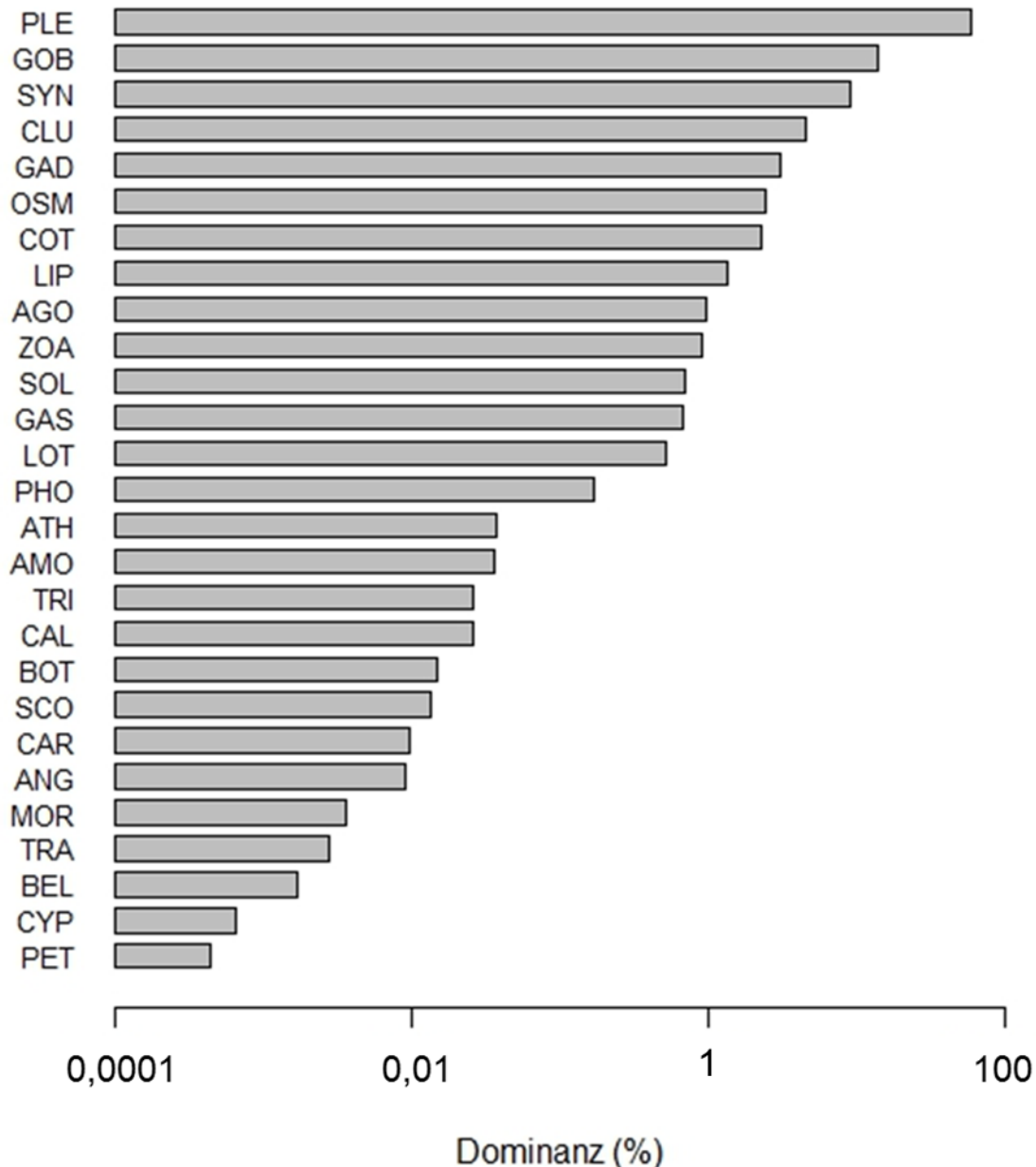


Abbildung 3: Dominanz (%) der nachgewiesenen Familien innerhalb aller untersuchten Stationen der Jahre 1993 - 2007. Rubincodes: PLE = Pleuronectidae, GOB = Gobiidae, SYN = Syngnathidae, CLU = Clupeidae, GAD = Gadidae, OSM = Osmeridae, COT = Cottidae, LIP = Liparidae, AGO = Agonidae, ZOA = Zoarcidae, SOL = Soleidae, GAS = Gasterosteidae, LOT = Lotidae, PHO = Pholidae, ATH = Atherinidae, AMO = Ammodytidae, TRI = Triglidae, CAL = Callionymidae, BOT = Bothidae, SCO = Scophthalmidae, CAR = Carangidae, ANG = Anguillidae, MOR = Moronidae, TRA = Trachinidae, BEL = Belonidae, CYP = Cyprinidae, PET = Petromyzontidae.

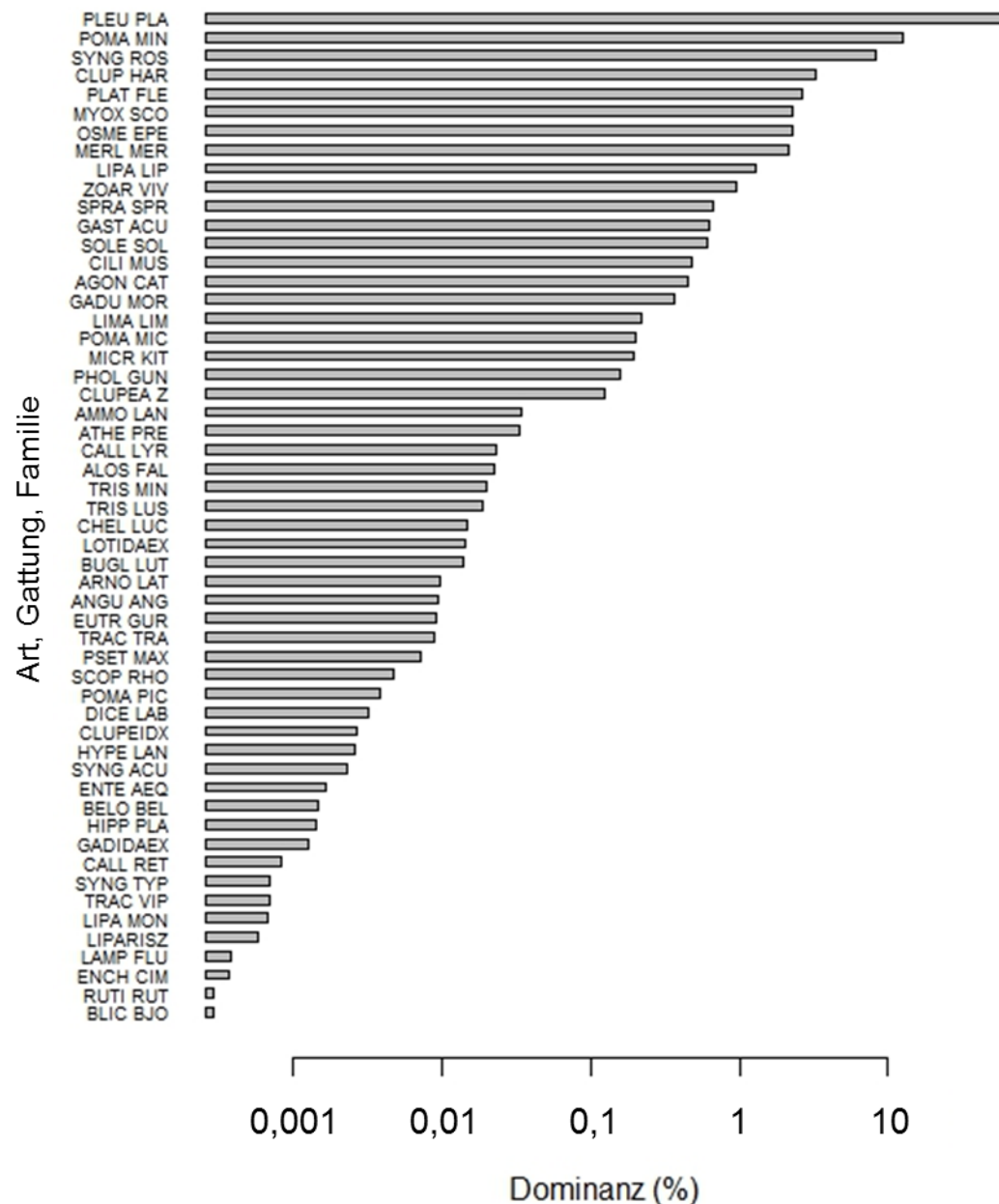


Abbildung 4: Dominanz (%) aller Arten, Gattungen und Familien innerhalb aller untersuchten Stationen der Jahre 1993 - 2007. Rubincodes siehe Tab. 2.

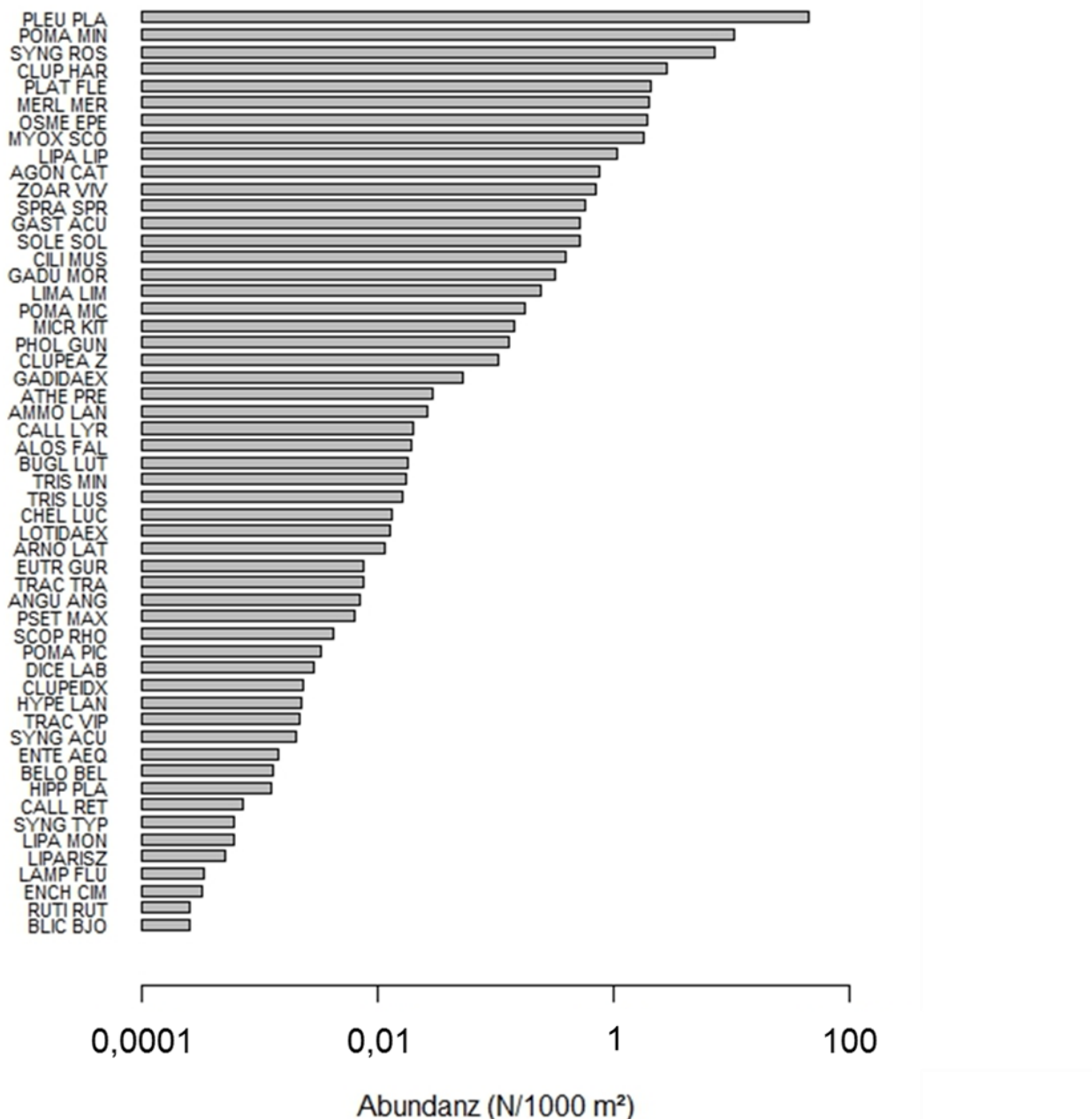


Abbildung 5: Abundanz (N / 1000 m²) aller Arten, Gattungen oder Familien innerhalb aller untersuchten Stationen der Jahre 1993 - 2007. Exakte Abundanzdaten sowie die Standardfehler sind der Tabelle 15 im Anhang zu entnehmen. Rubincodes siehe Tab. 2.

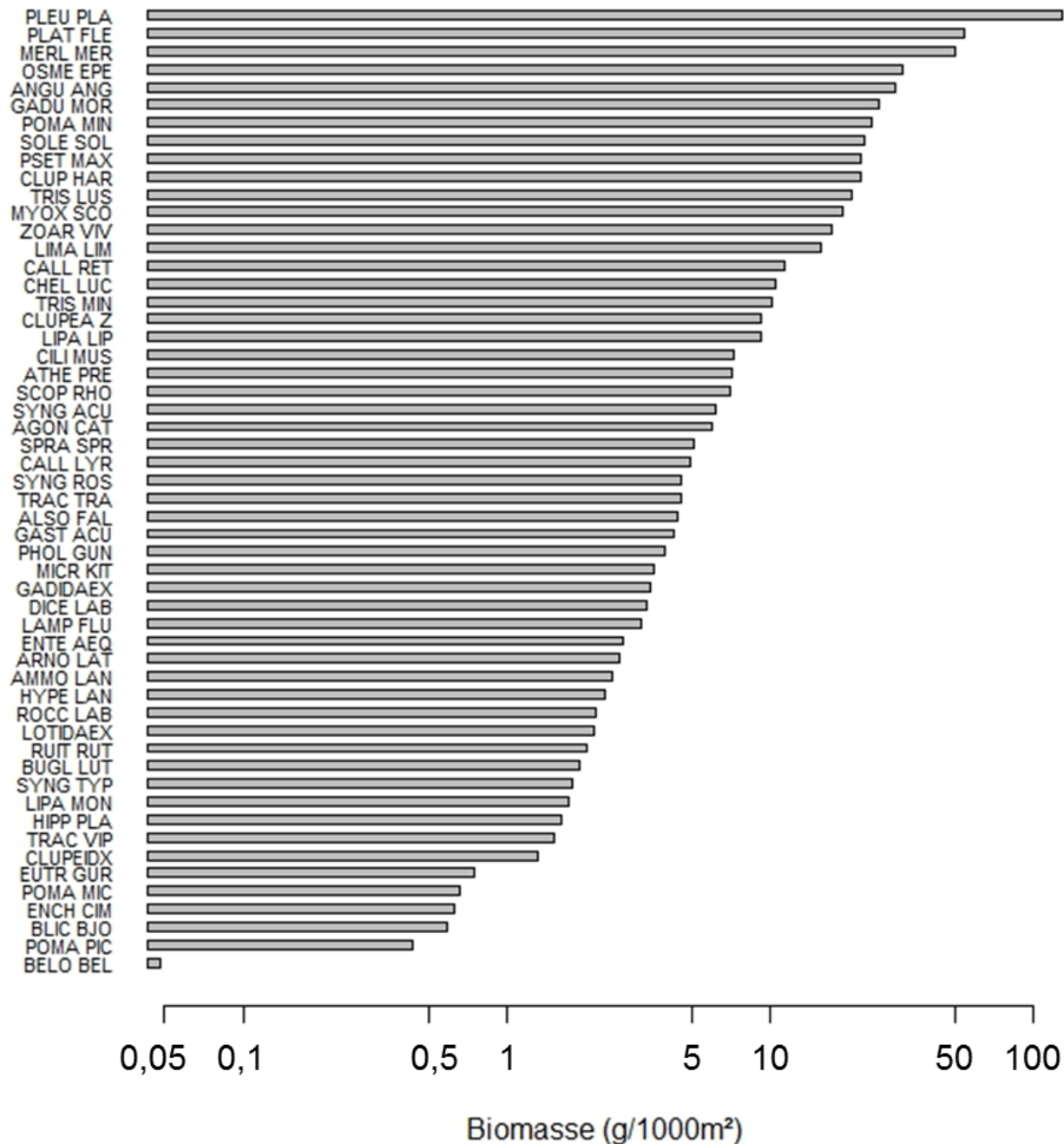


Abbildung 6: Biomasse (g / 1000 m²) aller Arten, Gattungen oder Familien innerhalb aller untersuchten Stationen der Jahre 1993 - 2007. Exakte Biomassedaten sowie die Standardfehler sind der Tabelle 16 im Anhang zu entnehmen. Rubincodes siehe Tab. 2.

4.2 Zeitliche Variabilität der Besiedlungsstruktur

In diesem Kapitel werden die Ergebnisse der zeitlichen Variabilität der Fischfauna in der südlichen Deutschen Bucht dargestellt. Der Schwerpunkt der Datenanalyse liegt hier auf den Unterschieden der jeweiligen Untersuchungsjahre (1993 - 2007), als auch auf den saisonalen Unterschieden (Frühjahr und Sommer) in dem Vorkommen der Arten und Individuenzahlen.

ABUNDANZ UND BIOMASSE: Tabelle 3 gibt einen Überblick über die Individuenzahlen der untersuchten Jahre 1993 - 2007, getrennt nach den Jahreszeiten Frühjahr und Sommer. Im Frühjahr konnten im Jahr 1997 mit durchschnittlich 186 Individuen die meisten Individuen auf einer befischten Fläche von 1000 m² nachgewiesen werden. Diese relativ hohe Individuenzahl ist auf die überdurchschnittlich hohe Individuenzahl von vor allem der Scholle (854 Individuen / 1000 m²) im Sommer 1996 zurückzuführen. Im Sommer konnten hier im Mittel 802 Individuen erfasst werden. In keinem anderen Untersuchungsjahr sonst konnte eine so hohe Individuenzahl vernommen werden. In allen anderen Jahren schwankte die mittlere Individuenzahl pro 1000 m² zwischen 7 - 143 Individuen im Frühjahr und 29 - 247 Individuen im Sommer. In allen Jahren, mit Ausnahme des Jahres 1997, war die Individuenzahl im Sommer höher als im Frühjahr. Tabelle 4 zeigt ähnliche Ergebnisse hinsichtlich der Biomasse. Im Sommer 1996 (163,88 g / 1000 m²) und Frühjahr 1997 (38,86 g / 1000 m²) konnte die höchste durchschnittliche Biomasse für die jeweiligen Jahreszeiten ermittelt werden. Aber auch im Sommer der Jahre 1994 und 1997 konnte eine relativ hohe Biomasse angetroffen werden. Die geringste durchschnittliche Biomasse innerhalb der Frühjahrsdaten wurde im Jahr 2006 (7,39 g / 1000 m²) und innerhalb der Sommermonate im Jahr 2000 (18,85 g / 1000 m²) vernommen.

GEIMEINSCHAFTSANALYSE: Mittels Cluster- und MDS-Analyse (auf Grundlage der Abundanz) sollte festgestellt werden, ob sich Unterschiede in der Abundanz innerhalb der Untersuchungsjahre und den Jahreszeiten ermitteln lassen. Die geringere mittlere Individuendichte im Frühjahr eines jeden Jahres spiegelt sich auch in den Ergebnissen der Gemeinschaftsanalysen wieder. Die auffällig hohen Individuenzahlen der Jahre

1996 und 1997 waren der Grund für die Ergebnisse der MDS- und Clusteranalyse. Auch die Expedition im Frühjahr 1993 grenzt sich in den Analysen von den anderen Jahren ab, auch wenn hier auf Grundlage der Individuenzahlen und der Biomasse zunächst keine deutlichen Unterschiede zu den anderen Jahren zu erkennen waren (Tab. 3 und 4). So lassen sich sowohl bei der Clusteranalyse als auch bei der Multidimensionalen Skalierung nicht nur die Expeditionen aus dem Frühjahr 1993, 1996 und 1997 von den übrigen Expeditionen / Untersuchungsjahren aufgrund der Biomasse- und Abundanzdaten abgrenzen (v.a. der Scholle), insbesondere konnte auch eine deutliche Trennung der Daten zwischen Frühjahr und Sommer erfolgen (Abb. 7 und 8).

Tabelle 3: Übersicht über die Individuendichte getrennt nach Frühjahr und Sommer der Untersuchungsjahre 1993 - 2007. Dargestellt ist sowohl die totale Individuenzahl, als auch die mittlere Individuenzahl (MW) (N / 1000 m²) und deren Standardfehler (SE) sowie die maximale Individuenzahl (Max.) (N / 1000 m²) und die minimale Individuenzahl (Min.) (N / 1000 m²) eines jeden Jahres.

Jahr	Totale Individuenzahl		MW Individuenzahl		SE MW Individuenzahl		Max. Individuenzahl		Min. Individuenzahl	
	Frühjahr	Sommer	Frühjahr	Sommer	Frühjahr	Sommer	Frühjahr	Sommer	Frühjahr	Sommer
1993	1070,73	1536,00	59,49	69,82	18,86	11,60	353,46	187,76	1,35	3,04
1994	1149,21	2765,43	76,61	172,84	27,35	42,31	449,68	596,60	12,99	15,46
1995	1681,98	4945,85	143,12	247,29	51,97	94,14	579,64	1744,26	11,74	3,97
1996	114,53	14442,87	6,36	802,38	3,20	193,95	57,44	2953,51	0,17	45,92
1997	3541,69	550,85	186,40	27,54	48,02	11,24	684,11	234,62	13,59	2,89
1998	349,85	1057,99	18,41	58,78	4,68	8,08	96,47	128,20	4,18	6,11
1999	551,16	2316,52	26,25	123,01	3,51	31,28	77,13	586,33	3,67	8,38
2000	806,13	1045,69	33,59	43,57	7,11	8,55	118,71	192,22	2,60	5,01
2001	161,57	1112,71	7,69	52,99	1,11	13,87	20,96	251,43	0,23	5,97
2002	311,72	864,73	14,17	41,18	2,73	13,26	46,67	266,42	1,16	4,78
2003	193,17	914,63	8,78	36,59	1,50	9,12	28,71	168,08	1,10	2,99
2004	372,20	2283,70	17,72	103,53	3,02	45,67	65,39	993,12	5,43	7,31
2005	161,67	915,74	7,70	38,16	1,50	7,72	28,28	146,62	1,18	0,13
2006	156,13	715,06	6,51	28,60	1,44	8,60	29,87	198,16	0,66	1,78
2007	653,30	2187,63	26,13	81,02	4,57	20,04	87,74	364,31	3,40	4,48

Tabelle 4: Übersicht über die Biomasse getrennt nach Frühjahr und Sommer der Untersuchungsjahre 1993 - 2007. Dargestellt ist sowohl die totale Biomasse, als auch die mittlere Biomasse (MW) (g / 1000 m²) und deren Standardfehler (SE) sowie die maximale Biomasse (Max.) (g / 1000 m²) und die minimale Biomasse (Min.) (g / 1000 m²) eines jeden Jahres.

Jahr	Totale Biomasse		MW Biomasse		SE MW Biomasse		Max. Biomasse		Min. Biomasse	
	Frühjahr	Sommer	Frühjahr	Sommer	Frühjahr	Sommer	Frühjahr	Sommer	Frühjahr	Sommer
1993	10998,64	24856,04	24,97	23,00	17,43	11,44	667,15	458,61	0,21	0,05
1994	10328,74	45623,50	15,76	48,89	6,87	45,07	162,03	1616,08	0,00	0,00
1995	12147,16	40567,13	24,17	35,52	13,43	30,59	282,90	1219,19	0,20	0,07
1996	2349,77	170809,44	9,75	163,88	4,82	184,17	114,22	8333,17	0,13	0,06
1997	38640,94	52680,55	38,86	60,80	21,44	85,79	590,12	5190,28	0,03	0,10
1998	5795,04	27561,84	11,34	25,09	5,35	10,56	208,75	442,14	0,06	0,01
1999	17918,19	41936,55	15,77	37,58	5,63	27,47	176,27	1658,32	0,03	0,04
2000	26493,34	27788,54	24,78	18,85	12,20	15,34	580,61	1063,81	0,01	0,02
2001	6188,12	37203,82	9,82	41,14	3,50	21,67	104,72	752,50	0,16	0,03
2002	20058,51	17420,25	22,46	21,95	9,21	11,98	285,09	513,59	0,03	0,00
2003	8816,62	29235,08	11,29	23,31	5,18	8,44	176,07	300,52	0,04	0,09
2004	13832,44	35736,33	16,03	32,89	8,33	17,97	433,39	759,31	0,03	0,12
2005	8849,23	20004,12	12,38	20,57	4,71	11,67	128,53	572,70	0,05	0,05
2006	4636,09	22029,34	7,39	26,09	2,44	19,99	68,04	1248,66	0,14	0,00
2007	18006,72	62227,19	13,58	35,22	4,84	19,04	173,93	1360,51	0,03	0,04

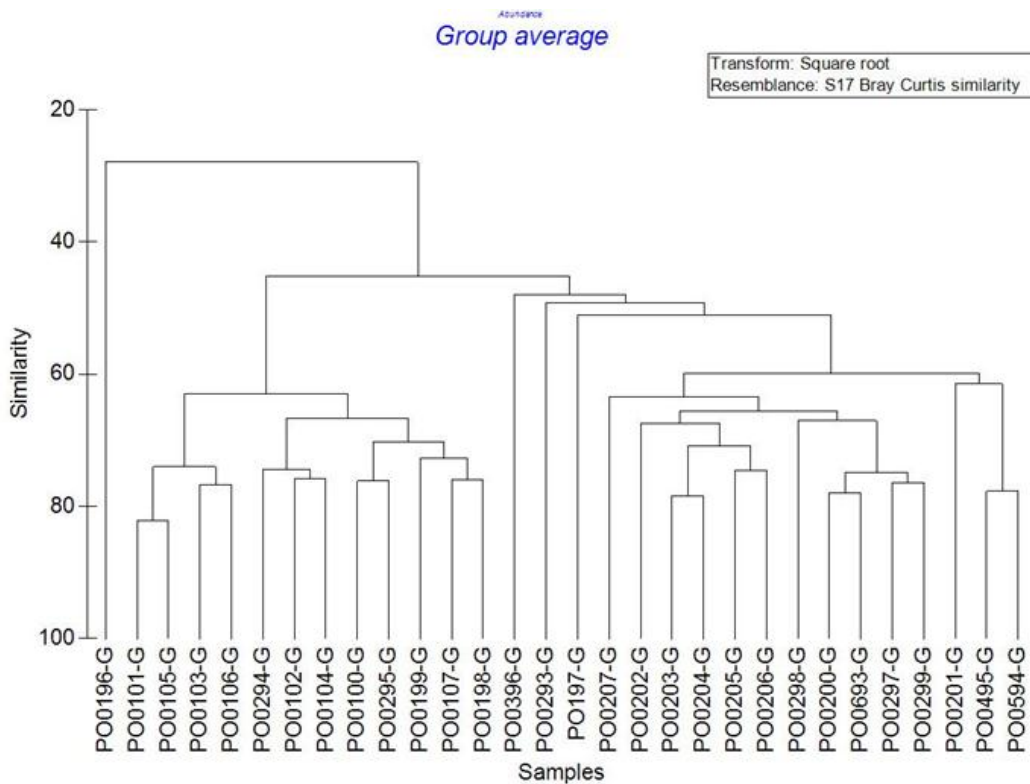


Abbildung 7: Clusteranalyse auf Grundlage der Abundanzdaten der 30 durchgeföhrten Expeditionen innerhalb der Jahre 1993 - 2007.

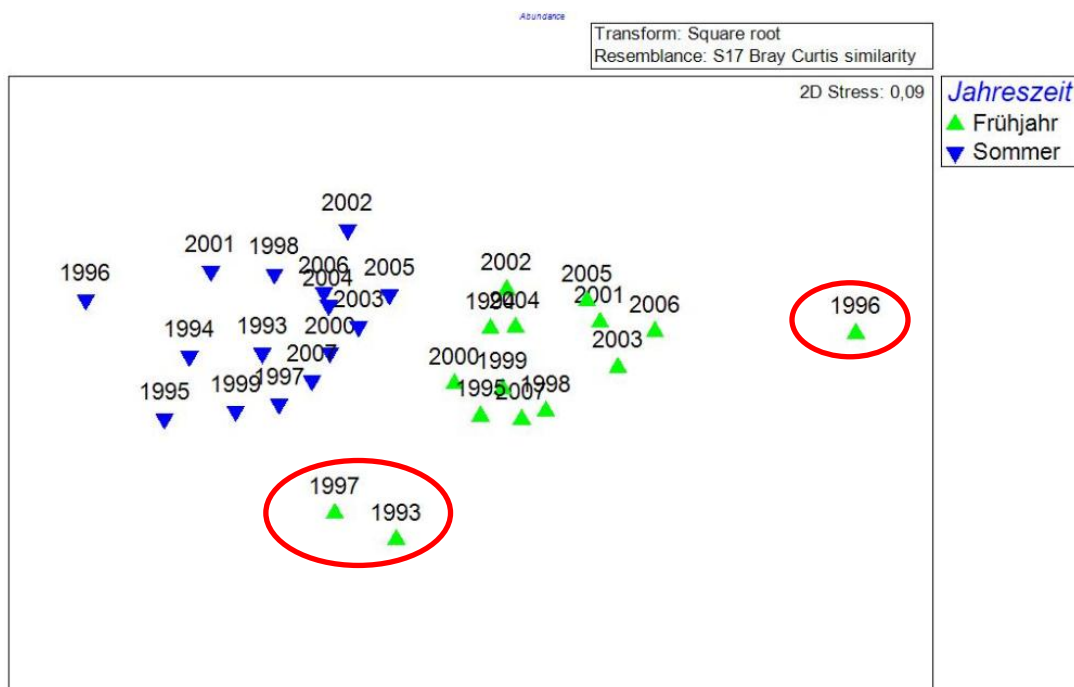


Abbildung 8: MDS-Analyse auf Grundlage der Abundanzdaten der 30 durchgeföhrten Expeditionen innerhalb der Jahre 1993 - 2007 getrennt nach den Jahreszeiten Frühjahr und Sommer. Rot markiert: Expeditionen im Frühjahr der Jahre 1996 sowie 1993 und 1997.

DOMINANZ: Im Frühjahr eines jeden Jahres waren Individuen der Familie Gasterosteidae (*G. aculeatus*) mit einer Dominanz zwischen 0 % (Jahr 1993) und 58,72 % (Jahr 1996) vertreten. Die Familien Gobiidae und Pleuronectidae wiesen über die Jahre eine Dominanz zwischen 0 % (Jahr 1996) und 65,08 % (Jahr 1998) sowie zwischen 7,32 % (Jahr 1996) und 52,05 % (Jahr 2002) auf. Im Sommer der jeweiligen Jahre war die Familie Pleuronectidae mit einer relativ hohen Dominanz vertreten (30,76 - 67,13 %). Eine Ausnahme stellt hier das Jahr 1996 dar, denn hier dominierte die Familie Pleuronectidae nochmal mit einem deutlich höheren Anteil von 97,06 %.

Während im Frühjahr im ostfriesischen Wattenmeer vor allem Sandgrundel (Familie Gobiidae), Scholle und Flunder (Familie Pleuronectidae) sowie Stint (Familie Osmeridae), Westlicher Stichling (Familie Gasterosteidae) und Hering (Familie Clupeidae) dominierend sind, so sind im Sommer Arten wie Scholle (Familie Pleuronectidae), Kleine Seenadel (Familie Syngnathidae), Sandgrundel (Familie Gobiidae), Seeskorpion (Familie Cottidae) und Hering (Familie Clupeidae) vorherrschend (Abb. 9 und 10). Gewisse Unterschiede konnten z.B. bei der Fleckengrundel (2,35 % im Frühjahr; 0,003 % im Sommer), beim Seeskorpion (1,90 % im Frühjahr; 4,39 % im Sommer) und der Kleinen Seenadel (1,58 % im Frühjahr; 11,42 % im Sommer) vermerkt werden.

PRÄSENZ: Im Frühjahr der Jahre 1993 - 2007 zeigt die Sandgrundel die größte Präsenz (Abb. 11). Sie konnte an 83,84 % der befischten Stationen nachgewiesen werden. Eine relativ hohe Präsenz zeigten aber auch Flunder (79,01 %), Scholle (78,39 %), Stint (78,12 %) und Hering (64,96 %). Die Arten mit der geringsten Präsenz im Frühjahr waren die Arten Steinbutt, Großer Sandaal und die Rotzunge mit jeweils 0,27 %. Einige Arten, wie z.B. die Rotzunge, die im Frühjahr die geringste Präsenz zeigte, konnte im Sommer an deutlich mehr Stationen nachgewiesen werden. Die Rotzunge zeigte im Sommer durchschnittlich eine Präsenz von 17,58 % (Abb. 12). Die größte Präsenz im Sommer konnte jedoch für die Scholle (95,88 %), die Kleine Seenadel (89,14 %), die Sandgrundel (79,99 %), den Stint (75,72 %) und den Seeskorpion (65,52 %) ermittelt werden. Die geringste Präsenz zeigten hier der Ornament-Leierfisch (0,27 %) und der Ährenfisch (0,25 %).

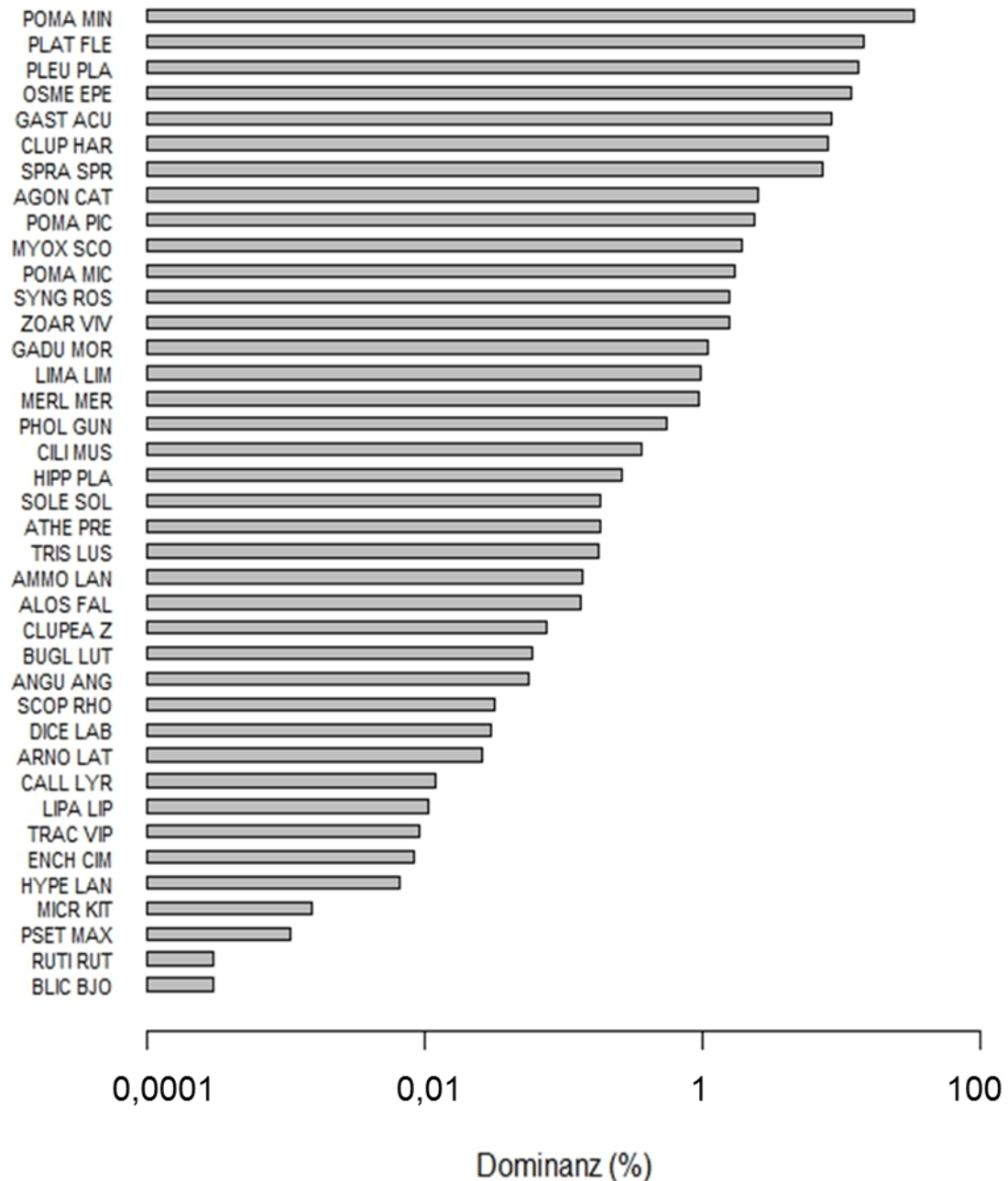


Abbildung 9: Dominanz (%) der im Frühjahr vertretenen Arten der Jahre 1993 - 2007. Rubincodes siehe Tab. 2.

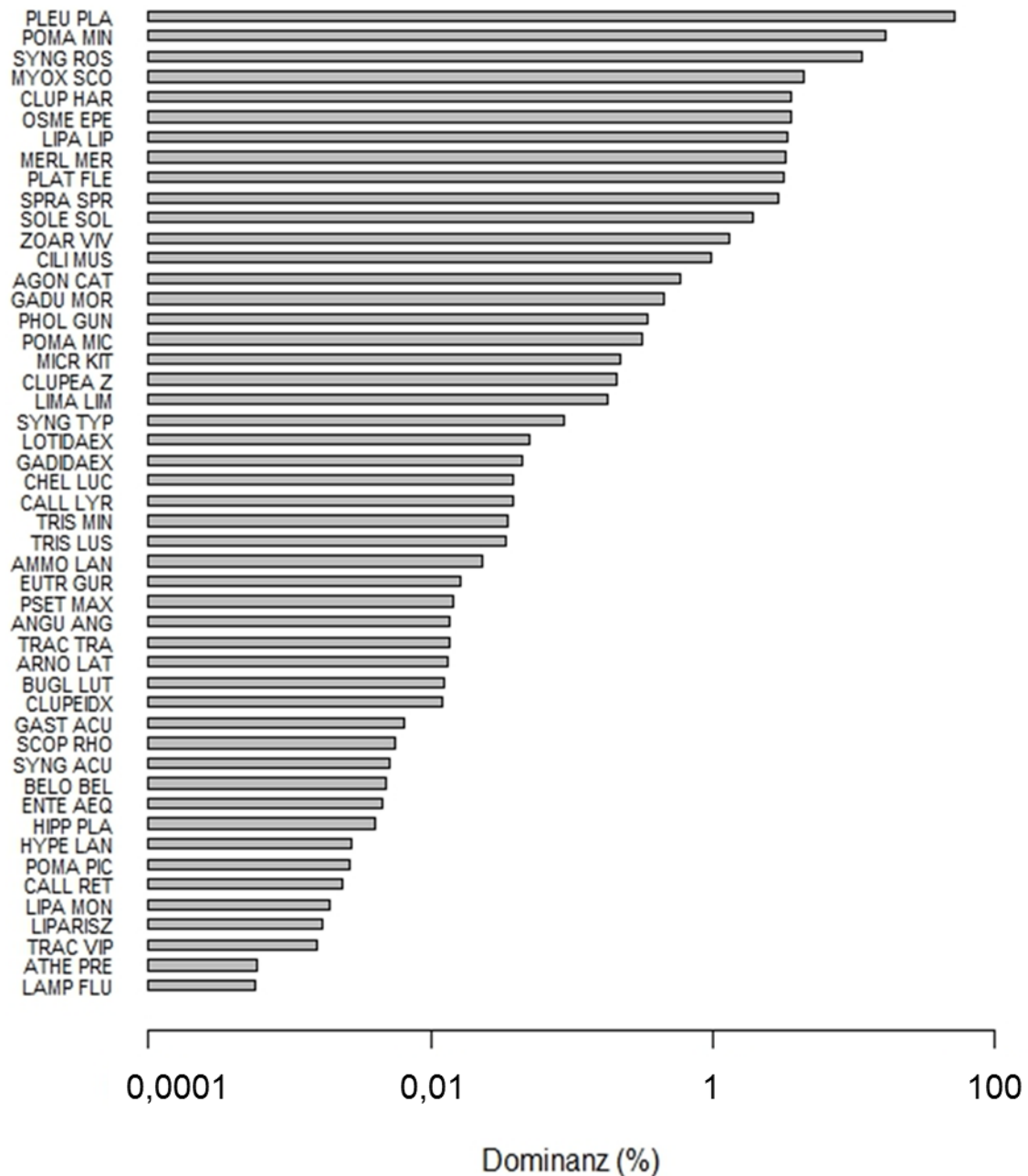


Abbildung 10: Dominanz (%) der im Sommer vertretenen Arten der Jahre 1993 - 2007. Rubincodes siehe Tab. 2.

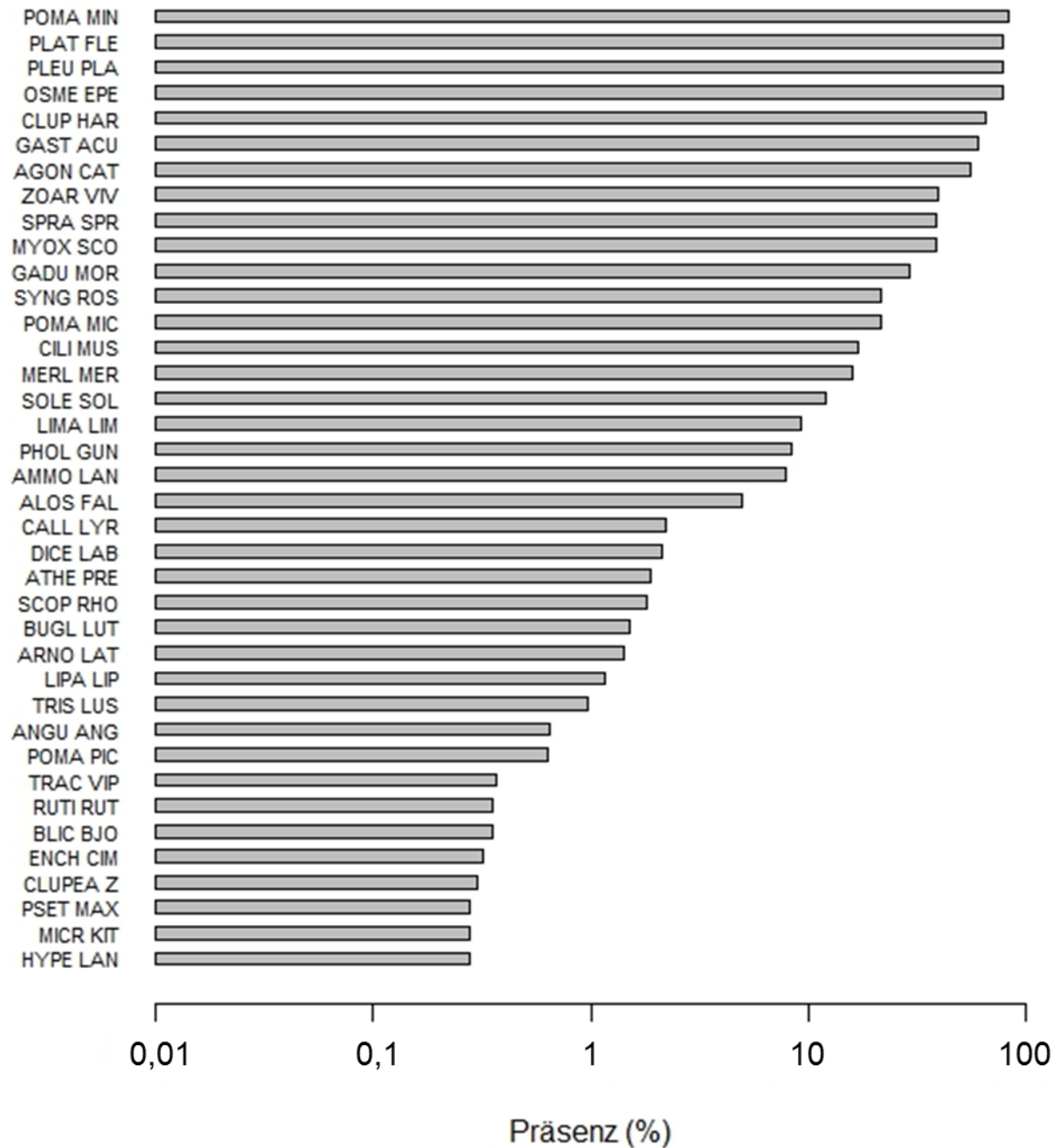


Abbildung 11: Präsenz (%) der im Frühjahr vertretenen Arten der Jahre 1993 - 2007. Rubincodes siehe Tab. 2.

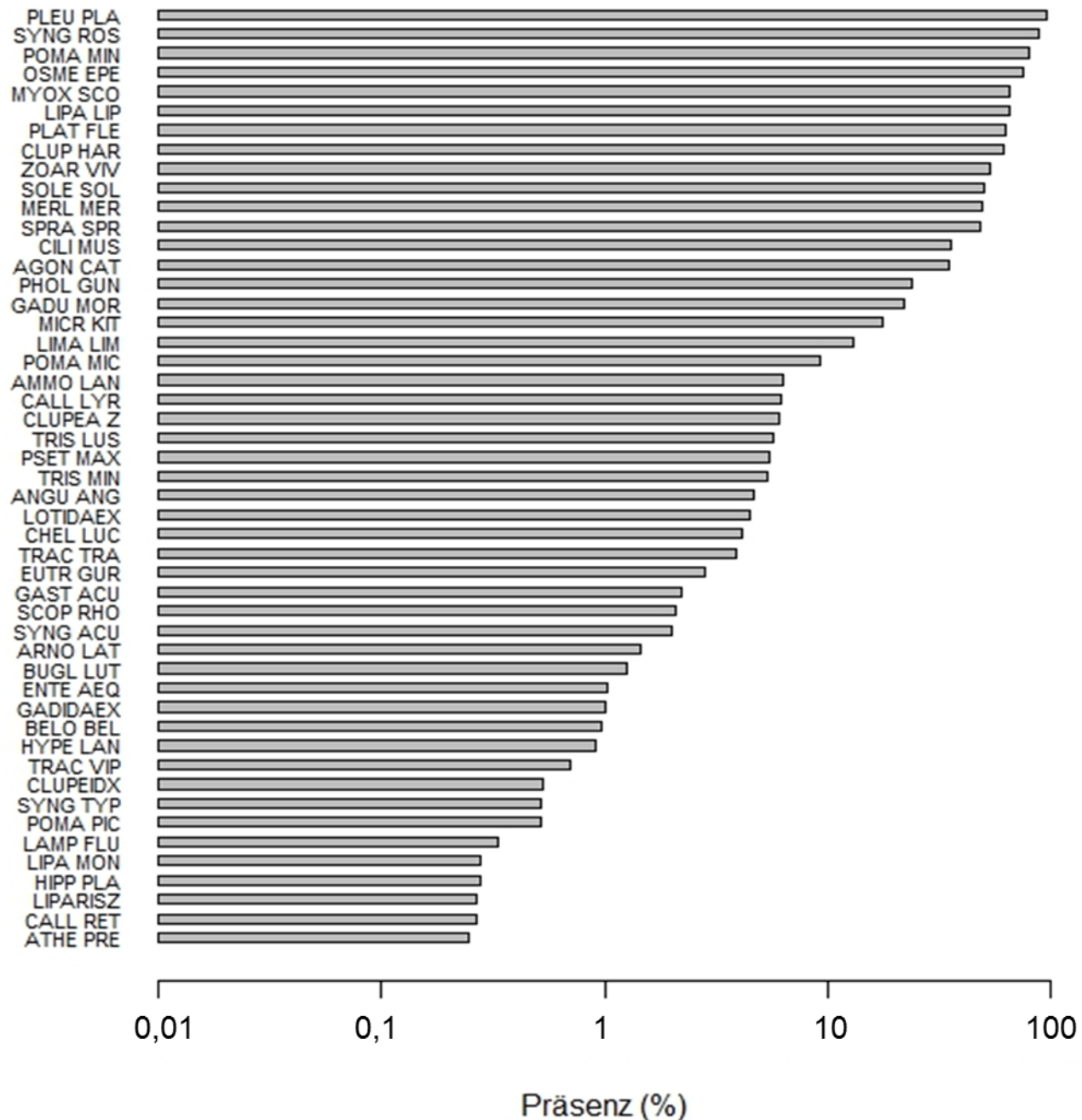


Abbildung 12: Präsenz (%) der im Sommer vertretenen Arten der Jahre 1993 - 2007. Rubincodes siehe Tab. 2.

SIMPER: Die Ergebnisse der SIMPER-Analyse zeigen, dass die mittlere Ähnlichkeit der Fischgemeinschaften im Frühjahr der Jahre 1993 - 2007 bei 67 % liegt (Tab. 5). Die Artgemeinschaft im Frühjahr ist vor allem durch die Arten Sandgrundel (Beitrag von 21,36 %), Scholle (Beitrag von 13,20 %), Hering (Beitrag von 10,08 %), Flunder (Beitrag von 9,88 %) und Stint (Beitrag von 9,41 %) geprägt. Diese fünf, für das Frühjahr, charakteristischen Arten (je höher der prozentuale Anteil einer Art, desto charakteristischer ist diese Art für die getestete Gruppe) tragen gemeinsam zu 64 % der Ähnlichkeit innerhalb der Gemeinschaft bei.

In den Sommermonaten der Jahre 1993 - 2007 konnte eine mittlere Ähnlichkeit von 64 % ermittelt werden. Hier ist nicht wie im Frühjahr die Sandgrundel die charakteristischste Art der Gemeinschaft. Im Sommer wird die Artengemeinschaft an erster Stelle durch die Scholle (Beitrag von 28,31 %) geprägt. Die Scholle, die Kleine Seenadel (Beitrag von 11,61 %), die Sandgrundel (Beitrag von 8,04 %), der Wittling (Beitrag von 7,05 %), der Stint (Beitrag von 6,11 %) und der Große Scheibenbauch (Beitrag von 5,91 %) tragen insgesamt mit 67 % zur Ähnlichkeit bei. Demnach sind die Scholle und die Sandgrundel sowohl im Frühjahr als auch im Sommer im Wattenmeer die dominantesten und charakteristischsten Arten der Artgemeinschaft.

Der mittlere Unterschied zwischen den Gemeinschaften im Frühjahr und Sommer liegt bei 53 % (Tab. 6). Die Unterschiede in den Gemeinschaften aus den Untersuchungsjahren 1993 - 2007 sind vor allem auf die Scholle (Beitrag von 23,03 %) und die Kleine Seenadel (Beitrag von 10,49 %) zurückzuführen, welche beide im Sommer mit höheren Individuendichten vertreten sind. Diese tragen gemeinsam mit 33,52 % zu den Unterschieden bei. Arten die am wenigsten zu den Unterschieden in den Artgemeinschaften der Jahreszeiten Frühjahr und Sommer beitragen sind die Strandgrundel (Beitrag von 1,60 %), die Kliesche (Beitrag von 1,59 %), der Butterfisch (1,44 %), der Kabeljau (Beitrag von 1,40 %) sowie die Rotzunge (Beitrag von 1,40 %).

Tabelle 5: Ergebnisse der SIMPER-Analyse auf Grundlage der Abundanz der Fischarten im Frühjahr und Sommer der südlichen Deutschen Bucht der Jahre 1993 - 2007. Dargestellt sind die Arten, die zu 90 % der Ähnlichkeit einer Gemeinschaft beitragen, mit der mittleren Abundanz (Av. Abund.), der mittleren Ähnlichkeit in % (Av. Sim.) zwischen den Replikaten einer Gruppe, dem Quotient aus der mittleren Ähnlichkeit und der jeweiligen Standardabweichung (Sim/SD) sowie dem prozentualen Beitrag (Contrib%) und dem kumulativen Beitrag (Cum. %).

	Species	Av. Abund	Av. Sim	Sim/SD	Contrib%	Cum.%
Frühjahr	POMA MIN	3,13	14,23	3,09	21,36	21,36
	PLEU PLA	1,94	8,79	3,45	13,2	34,56
	CLUP HAR	1,34	6,72	2,74	10,08	44,64
	PLAT FLE	1,41	6,58	2,7	9,88	54,52
	OSME EPE	1,17	6,27	3,03	9,41	63,93
	GAST ACU	0,91	4,36	2,34	6,54	70,47
	AGON CAT	0,69	3,43	3	5,15	75,63
	SPRA SPR	0,58	2,48	2,34	3,72	79,34
	MYOX SCO	0,49	2,14	1,4	3,21	82,55
	SYNG ROS	0,54	2,02	1,57	3,02	85,58
	GADU MOR	0,41	1,98	1,93	2,97	88,55
Sommer	ZOAR VIV	0,42	1,57	1,17	2,35	90,9
	PLEU PLA	7,52	18,13	3,18	28,31	28,31
	SYNG ROS	3,04	7,43	3,08	11,61	39,92
	POMA MIN	2,33	5,15	2,29	8,04	47,95
	MERL MER	1,67	4,51	2,03	7,05	55
	OSME EPE	1,35	3,91	3,6	6,11	61,11
	LIPA LIP	1,35	3,79	2,33	5,91	67,02
	CLUP HAR	1,32	3	2,72	4,68	71,7
	MYOX SCO	1,38	2,81	1,65	4,39	76,1
	PLAT FLE	1,06	2,34	2,45	3,65	79,75
	SOLE SOL	0,82	2,11	2,6	3,3	83,05
	CILI MUS	0,75	2,02	1,8	3,15	86,2
	SPRA SPR	0,68	1,82	2	2,84	89,04
	ZOAR VIV	0,81	1,51	1,23	2,35	91,39

Tabelle 6: Ergebnisse der SIMPER-Analyse auf Grundlage der Abundanz der Fischarten im Frühjahr und Sommer der südlichen Deutschen Bucht der Jahre 1993 - 2007. Dargestellt sind die Arten, die zu 90 % der Unähnlichkeit einer Gemeinschaft beitragen, mit der mittleren Abundanz (Av. Abund.) für beide Jahreszeiten (Frühjahr und Sommer), der mittleren Unähnlichkeit in % (Av. Diss.) zwischen den zu testenden Gruppen und dem Quotient aus mittlerer Unähnlichkeit und der jeweiligen Standardabweichung (Diss/SD) sowie dem prozentualen Beitrag (Contrib%) und dem kumulativen Beitrag (Cum. %).

	Species	Group Frühjahr	Group Sommer	Av.Diss	Diss/SD	Contrib%	Cum. %
		Av.Abund	Av.Abund				
Average dissimilarity = 52,97	PLEU PLA	1,94	7,52	12,2	1,72	23,03	23,03
	SYNG ROS	0,54	3,04	5,56	1,84	10,49	33,52
	POMA MIN	3,13	2,33	4,43	1,24	8,37	41,89
	LIPA LIP	0,02	1,35	3,22	2,03	6,08	47,98
	MERL MER	0,37	1,67	3,21	1,61	6,07	54,04
	MYOX SCO	0,49	1,38	2,22	1,12	4,2	58,24
	GAST ACU	0,91	0,04	2,12	1,75	4	62,24
	PLAT FLE	1,41	1,06	2,09	1,26	3,94	66,18
	CLUP HAR	1,34	1,32	1,88	1,07	3,55	69,74
	SOLE SOL	0,19	0,82	1,47	1,33	2,78	72,52
	ZOAR VIV	0,42	0,81	1,38	1,44	2,61	75,13
	CILI MUS	0,22	0,75	1,37	1,59	2,59	77,72
	OSME EPE	1,17	1,35	1,21	1,28	2,28	79,99
	SPRA SPR	0,58	0,68	1,05	0,9	1,98	81,97
	AGON CAT	0,69	0,61	1,04	0,81	1,96	83,92
	POMA MIC	0,36	0,26	0,85	1,13	1,6	85,52
	LIMA LIM	0,21	0,32	0,84	0,8	1,59	87,11
	PHOL GUN	0,12	0,37	0,76	0,96	1,44	88,56
	GADU MOR	0,41	0,49	0,74	1,18	1,4	89,96
	MICR KIT	0,01	0,34	0,74	1,08	1,4	91,36

4.3 Räumliche Variabilität der Besiedlungsstruktur

In diesem Kapitel werden die erhobenen Daten nicht nur in Bezug auf die saisonalen Unterschiede dargestellt, sondern sollen zusätzlich räumlich differenziert werden. Die räumliche Differenzierung der Fischfauna in unterschiedliche Kompartimente wurde via MDS- und Clusteranalyse ermittelt.

GEMEINSCHAFTSANALYSE: Mittels MDS- und Clusteranalyse sollte ermittelt werden, ob die Datensätze sich nicht nur saisonal voneinander unterscheiden, sondern ob sich die Fischgemeinschaften auch geographisch unterscheiden und sich somit in verschiedene Gebiete / Kompartimente gliedern lassen. Dazu wurden die Daten getrennt nach den Jahreszeiten Frühjahr und Sommer ausgewertet. Der MDS-Plot sowie die Clusteranalyse der einzelnen Stationen (auf Grundlage der Abundanz) im Frühjahr zeigte eine deutliche Unterscheidung zwischen den Stationen die im Watt und den Stationen die im Bereich vor den Inseln (Seeseite) lagen (Abb. 13 und 14). Auch die Analyse der Sommerdaten zeigte ein ähnliches Bild: Die beiden Stationen im Bereich vor den Inseln (Station 1 und 2) lassen sich eindeutig von allen anderen differenzieren (Abb. 15 und 16). Innerhalb der Wattflächen konnte jedoch keine klare Trennung zwischen den Kompartimenten Seegatt und Rückseitenwatt erfolgen. Die Stationen 8, 10, 17, 18 und 19 zeigten in dem MDS-Plot und in der CA für die jeweiligen Jahreszeiten unterschiedliche Zugehörigkeiten zu den Kompartimenten Seegatt oder Rückseitenwatt. Auch aufgrund der Gewässertiefen konnte keine eindeutige Einordnung dieser fünf Stationen erfolgen (Abb. 17). Demnach wurde in den folgenden Auswertungen und Darstellungen lediglich zwischen den Kompartimenten „See“ (Bereich vor den Inseln) und Watt (Rückseitenwatt inklusive Seegatt) unterschieden. Für das Kompartiment Watt standen demnach Daten aus 23 Stationen (Stationen Nr. 3 - 25) und für das Kompartiment See zwei Stationen (Stationen Nr. 1 und 2) zur Verfügung (Tab. 7). Für den Bereich vor den Inseln (Seeseite) waren sowohl im Frühjahr als auch im Sommer nicht durchgehend von 1993 - 2007 Daten vorhanden. Hier fehlen Datensätze der Stationen 1 und 2 in einigen Jahren, in denen an diesen Stationen nicht befischt wurde. Die deutliche Trennung der Daten aus dem Watt und dem Bereich vor den Inseln mittels

MDS und CA, konnte ebenso mittels U-Test anhand der Abundanzdaten (Daten nicht normalverteilt) bestätigt werden ($p = 6,61e-43$).

Tabelle 7: Übersicht über die befischten Stationen gegliedert nach den zugehörigen Kompartimenten Watt (Seegatt inklusive Rückseitenwatt) und See (Bereich vor den Inseln).

#	STATION	KOMPARTIMENT	SCHIFF	GERAET
1	1	See	Polaris	BKPR3.0m#01cmGK
2	2	See	Polaris	BKPR3.0m#01cmGK
3	3	Watt	Polaris	BKPR3.0m#01cmGK
4	4	Watt	Polaris	BKPR3.0m#01cmGK
5	5	Watt	Polaris	BKPR3.0m#01cmGK
6	6	Watt	Polaris	BKPR3.0m#01cmGK
7	7	Watt	Polaris	BKPR3.0m#01cmGK
8	8	Watt	Polaris	BKPR3.0m#01cmGK
9	9	Watt	Polaris	BKPR3.0m#01cmGK
10	10	Watt	Polaris	BKPR3.0m#01cmGK
11	11	Watt	Polaris	BKPR3.0m#01cmGK
12	12	Watt	Polaris	BKPR3.0m#01cmGK
13	13	Watt	Polaris	BKPR3.0m#01cmGK
14	14	Watt	Polaris	BKPR3.0m#01cmGK
15	15	Watt	Polaris	BKPR3.0m#01cmGK
16	16	Watt	Polaris	BKPR3.0m#01cmGK
17	17	Watt	Polaris	BKPR3.0m#01cmGK
18	18	Watt	Polaris	BKPR3.0m#01cmGK
19	19	Watt	Polaris	BKPR3.0m#01cmGK
20	20	Watt	Polaris	BKPR3.0m#01cmGK
21	21	Watt	Polaris	BKPR3.0m#01cmGK
22	22	Watt	Polaris	BKPR3.0m#01cmGK
23	23	Watt	Polaris	BKPR3.0m#01cmGK
24	24	Watt	Polaris	BKPR3.0m#01cmGK
25	25	Watt	Polaris	BKPR3.0m#01cmGK

Transform: Square root
 Resemblance: S17 Bray Curtis similarity

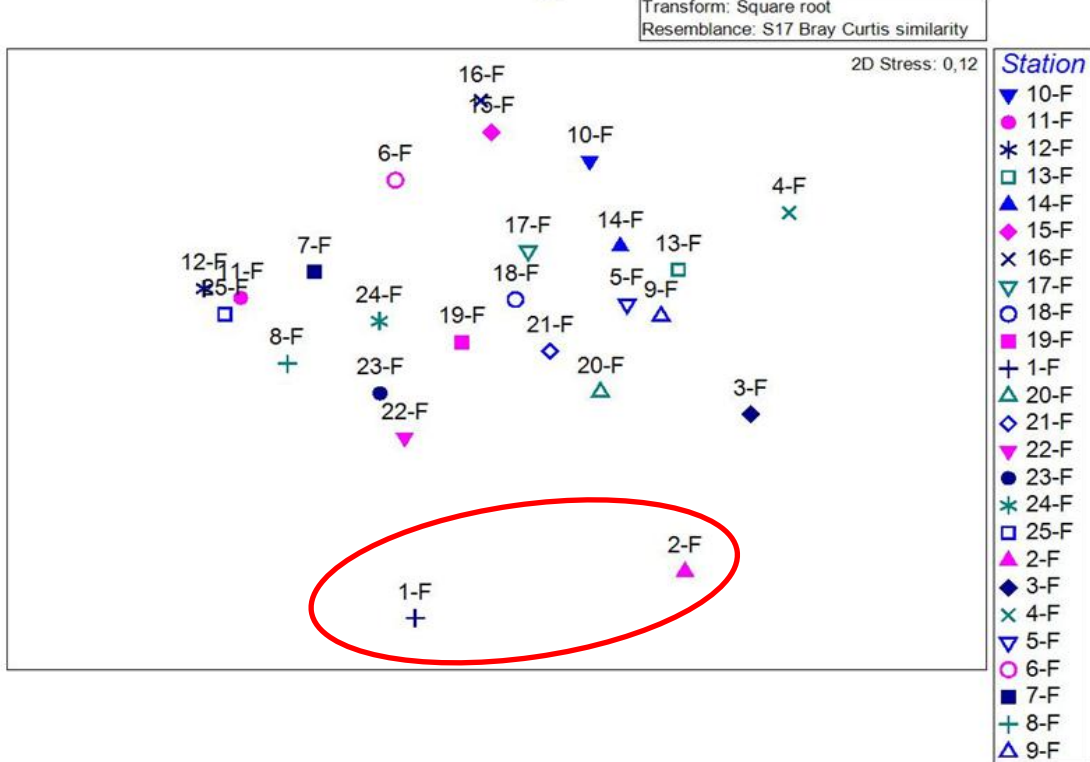


Abbildung 13: MDS-Plot der 25 untersuchten Stationen auf Grundlage der Abundanzdaten im Frühjahr der Jahre 1993 - 2007. Stationen 1 und 2 = Seeseite; Stationen 3 - 25 = Watt.

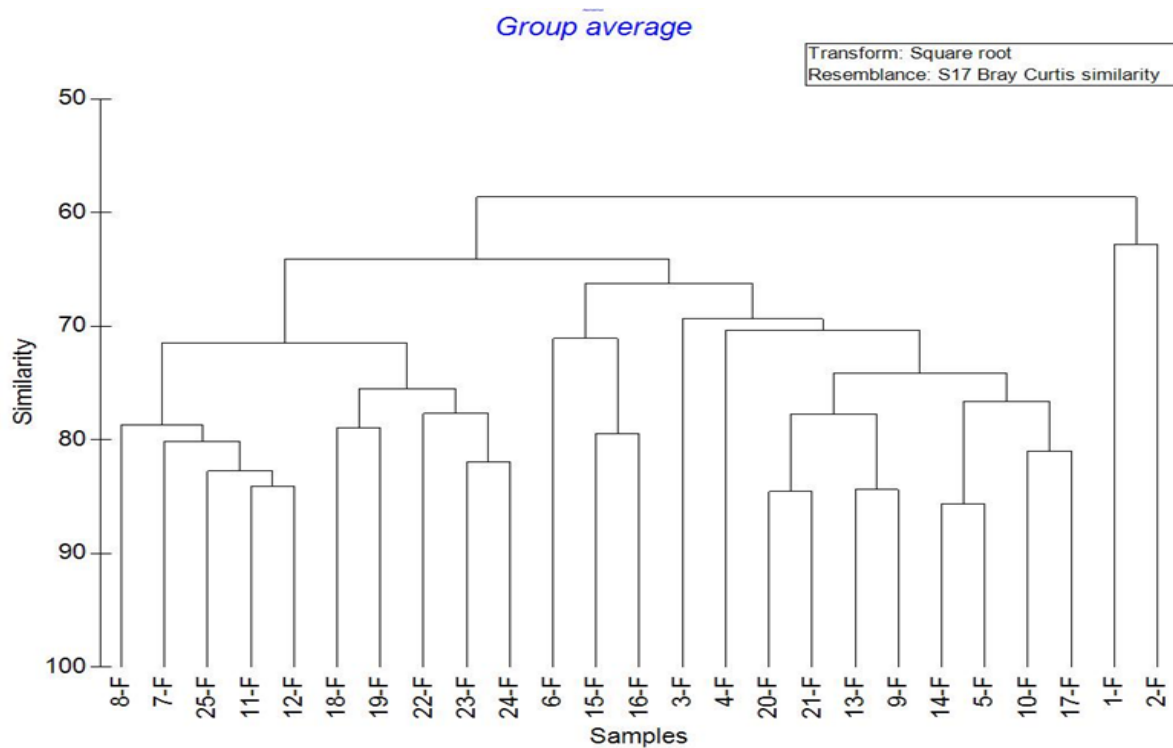


Abbildung 14: Clusteranalyse (CA) der 25 untersuchten Stationen auf Grundlage der Abundanzdaten im Frühjahr der Jahre 1993 - 2007. Stationen 1 und 2 = Seeseite; Stationen 3 - 25 = Watt.

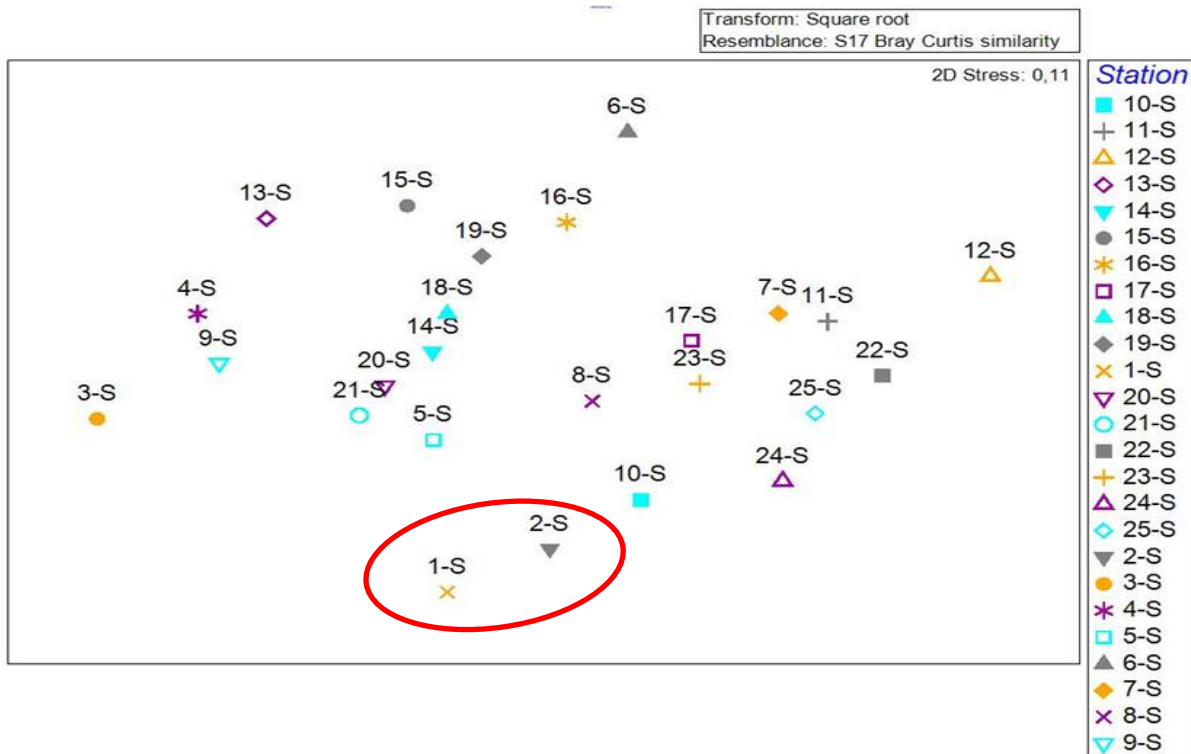


Abbildung 15: MDS-Plot der 25 untersuchten Stationen auf Grundlage der Abundanzdaten im Sommer der Jahre 1993 - 2007. Stationen 1 und 2 = Seeseite; Stationen 3 - 25 = Watt.

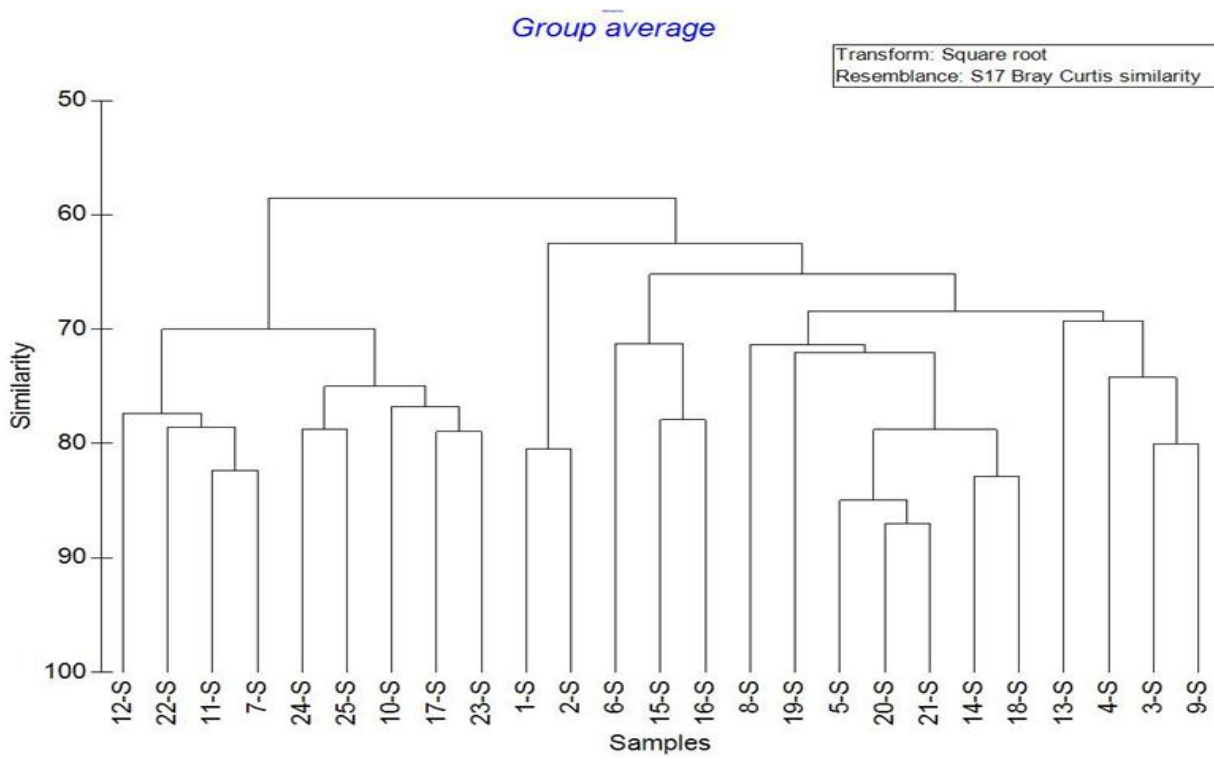


Abbildung 16: Clusteranalyse (CA) der 25 untersuchten Stationen auf Grundlage der Abundanzdaten im Sommer der Jahre 1993 - 2007. Stationen 1 und 2 = Seeseite; Stationen 3 - 25 = Watt.

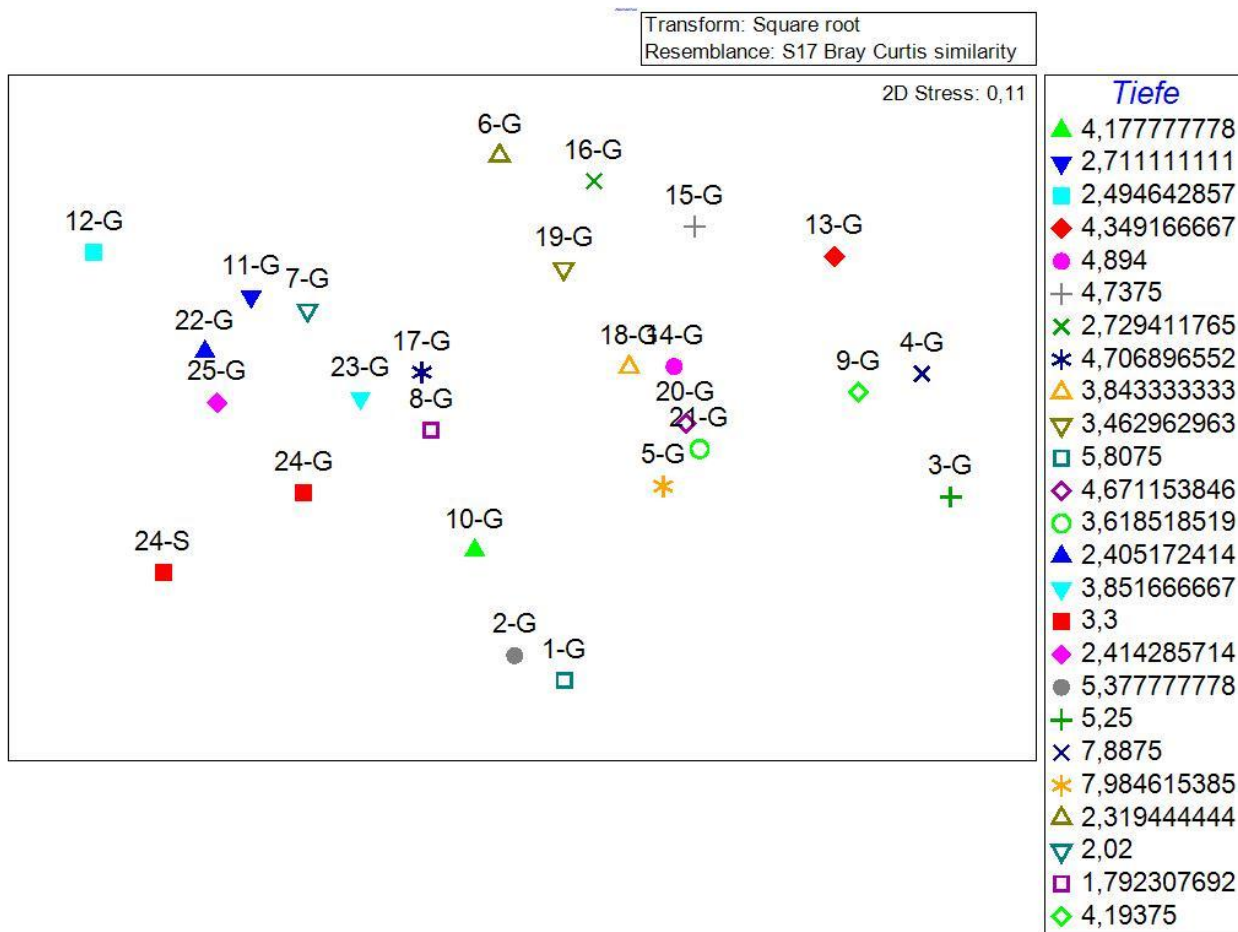


Abbildung 17: MDS-Plot der 25 untersuchten Stationen auf Grundlage der Abundanz und der mittleren Gewässertiefe (m) der Jahre 1993 - 2007. Stationen 1 und 2 = Seeseite; Stationen 3 - 25 = Watt.

ARTENVORKOMMEN: In den Wattflächen (Seegatt inklusive Rückseitenwatt) konnten über den Untersuchungszeitraum von 1993 - 2007 alle 49 Arten erfasst werden. Auf der Seeseite im Bereich vor den Inseln konnten hingegen über die Jahre nur 37 Arten erfasst werden. Zu den Arten die hier nicht vorkamen gehörten der Ährenfisch, der Güster, der Ornament-Leierfisch, der Wolfsbarsch, die Vierbärtige Seequappe, die Große Schlagennadel, die Doggerscharbe, das Flussneunauge, der Kleine Scheibenbauch, die Fleckengrundel, das Rotauge und die Grasnadel.

ABUNDANZ: Im Watt (Rückseitenwatt inklusive der Seegatt) konnten im Frühjahr im Durchschnitt über die Jahre 1993 - 2007 43 Individuen / 1000 m² nachgewiesen werden (Abb. 18 a oben). Im Frühjahr der Jahre 1993 - 1997 schwankte die Individuenzahl im Watt deutlich stärker als in den folgenden Jahren (1998 - 2007). Im Mittel konnten hier

zwischen minimal 6 Individuen / 1000 m² (Jahr 1996) und maximal 196 Individuen / 1000 m² (Jahr 1997) erfasst werden. In den Folgejahren 1998 - 2007 schwankte die mittlere Individuenzahl zwischen 6 und 30 Individuen / 1000 m² in den Jahren 2006 und 2000.

Im Sommer war die Individuendichte in den Wattflächen deutlich höher als im Frühjahr. Hier konnten im Mittel über den gesamten Untersuchungszeitraum 139 Individuen / 1000 m² erfasst werden (Abb. 18 b oben). Die mittlere Individuendichte schwankte dennoch recht stark zwischen den einzelnen Jahren. Am wenigsten Individuen (35 Individuen / 1000 m²) waren im Jahr 2002 vertreten. Im Sommer des Jahres 1996 konnten hingegen im Durchschnitt 555 Individuen / 1000 m² erfasst werden. Insgesamt war die Individuendichte in den Wattflächen in den ersten Untersuchungsjahren höher als in den späteren Jahren ab 2003.

Im Bereich vor den Inseln (Seeseite) konnten im Frühjahr durchschnittlich 23 Individuen / 1000 m² über den gesamten Untersuchungszeitraum nachgewiesen werden. Für den Bereich vor den Inseln kann mangels ausreichender Daten keine Aussage über die Abundanz aller Jahre getroffen werden (Abb. 18 a & b unten). Dennoch zeigen die Daten, dass im Bereich vor den Inseln im Schnitt weniger Individuen erfasst werden konnten, als in den Wattflächen der gleichen Jahre. Auf der Seeseite schwankte die Individuendichte insgesamt zwischen 6 Individuen / 1000 m² (Jahr 2007) und 75 Individuen / 1000 m² (Jahr 2000) im Frühjahr sowie 0 Individuen / 1000 m² und 261 Individuen / 1000 m² (Jahr 1994) im Sommer. Im Bereich vor den Inseln war die Individuendichte nicht nur im Frühjahr niedriger als im Sommer, sondern auch insgesamt niedriger als in den Wattflächen. Im gesamten Mittel über die Jahre konnten 76 Individuen / 1000 m² im Sommer im Bereich vor den Inseln erfasst werden (Abb. 18 b unten).

BIOMASSE: Die Gesamtbiomasse reichte im Frühjahr in den Wattflächen (Rückseitenwatt inklusive der Seegatt) innerhalb der untersuchten Jahre 1993 - 2007 von 26,53 g / 1000 m² im Jahr 1996 bis zu 473,54 g / 1000 m² im Jahr 1994. Im gesamten Mittel über die Jahre wurde eine Biomasse 170,18 g / 1000 m² ermittelt (Abb. 19 a oben).

Im Sommer belief sich die mittlere Biomasse in den Wattflächen über alle Jahre auf 396,51 g / 1000 m² (Abb. 19 b oben). Insgesamt schien die ermittelte Biomasse in den ersten Untersuchungsjahren (1993 - 1999) im Durchschnitt etwas höher zu sein als in den Folgejahren. Im Jahr 2007 (449,00 g /1000 m²) hingegen steigt die Biomasse zum Vorjahr (188,52 g / 1000 m²) wieder geringfügig an. Die geringste durchschnittliche Biomasse konnte im Jahr 2005 (121,69 g / 1000 m²) vernommen werden. Im Sommer 1996 konnte mit durchschnittlich 1711,59 g / 1000 m² die höchste Biomasse ermittelt werden. Hier nimmt alleine die Scholle mit 1429,07 g / 1000 m² einen maßgeblichen Teil der Gesamtbiomasse ein.

Im Bereich vor den Inseln (Seeseite) schwankte die Biomasse im Frühjahr hingegen zwischen 18,83 g / 1000 m² im Jahr 2006 und 787,88 g / 1000 m² im Jahr 2000. Im Durchschnitt konnte über die gesamten Jahre eine mittlere Biomasse von 160,43 g / 1000 m² ermittelt werden (Abb. 19 a unten). Insgesamt schien sich die Biomasse im Kompartiment vor den Inseln über die Jahre relativ konstant zu halten. Eine Ausnahme bildet hier das Frühjahr 2000, in dem mit Abstand deutlich mehr Biomasse ermittelt werden konnte.

Im Bereich vor den Inseln (Seeseite) konnte im Sommer über alle Jahre eine mittlere Biomasse von 819,79 g /1000 m² erfasst werden (Abb. 19 b unten). Somit ist hier die durchschnittliche Biomasse höher als in den Wattflächen. Dennoch wurden zum Teil auch relativ geringe Biomassen ermittelt, wie z.B. im Sommer 2000 mit durchschnittlich 82,66 g / 1000 m². Die maximale durchschnittliche Biomasse wurde im Jahr 1997 erfasst. Hier konnte im Durchschnitt eine Biomasse von 2999,11 g / 1000 m² ermittelt werden. Hier nimmt ebenfalls die Scholle mit durchschnittlich 2661,79 g / 1000 m² einen Großteil der Biomasse ein. Aber auch die Flunder war hier mit 123,50 g / 1000 m² mit einer verhältnismäßig höheren Biomasse vertreten als in den anderen Jahren.

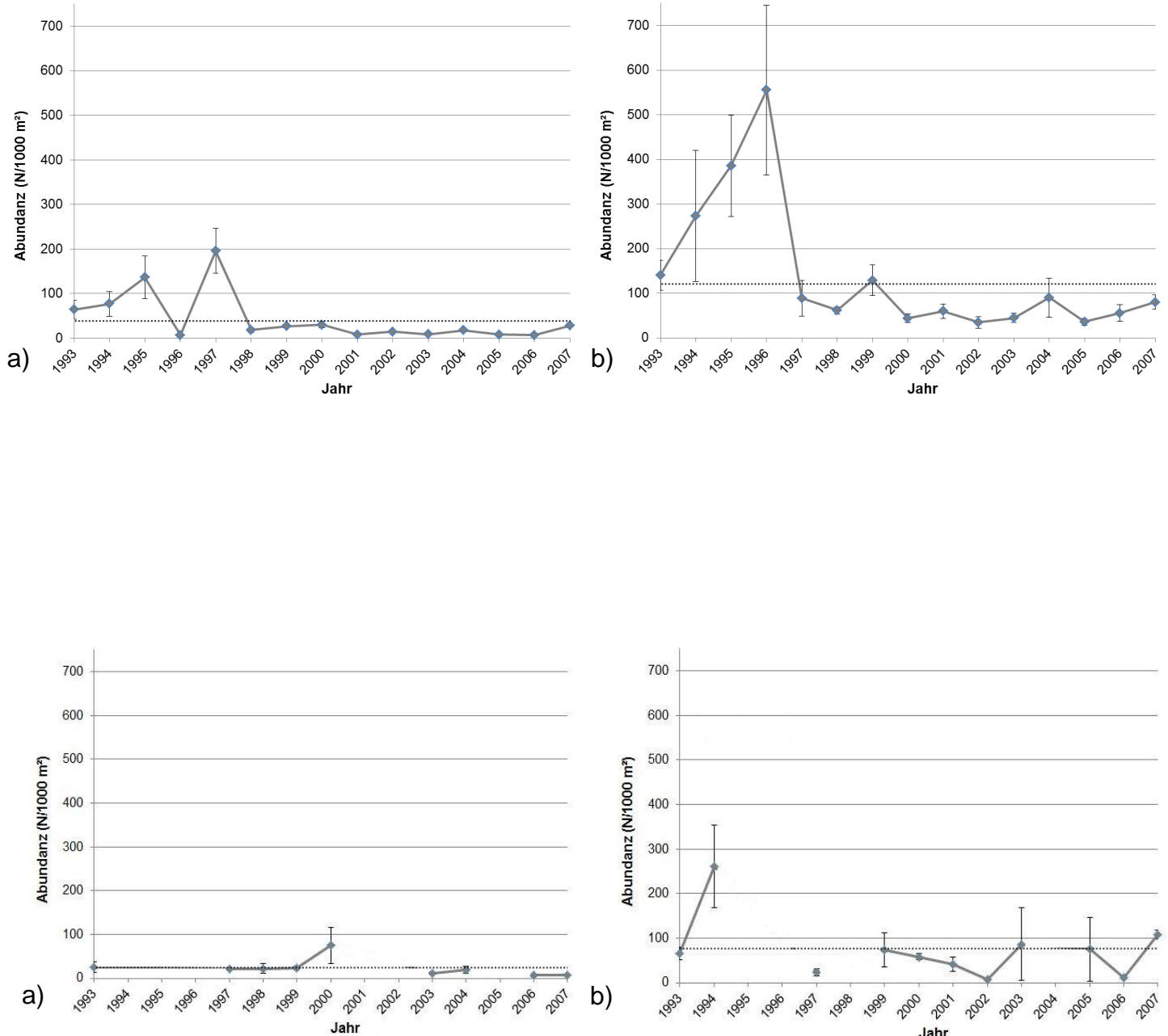


Abbildung 18: Mittlere Abundanz (N / 1000 m²) der Jahre 1993 - 2007. Oben: In den Wattflächen a) im Frühjahr und b) im Sommer. Unten: Im Bereich vor den Inseln (Seeseite) a) im Frühjahr und b) im Sommer. Fehlerbalken = SE. Das langfristige Mittel der Abundanz über die Jahre 1993 - 2007 ist als gestrichelte Linie dargestellt.

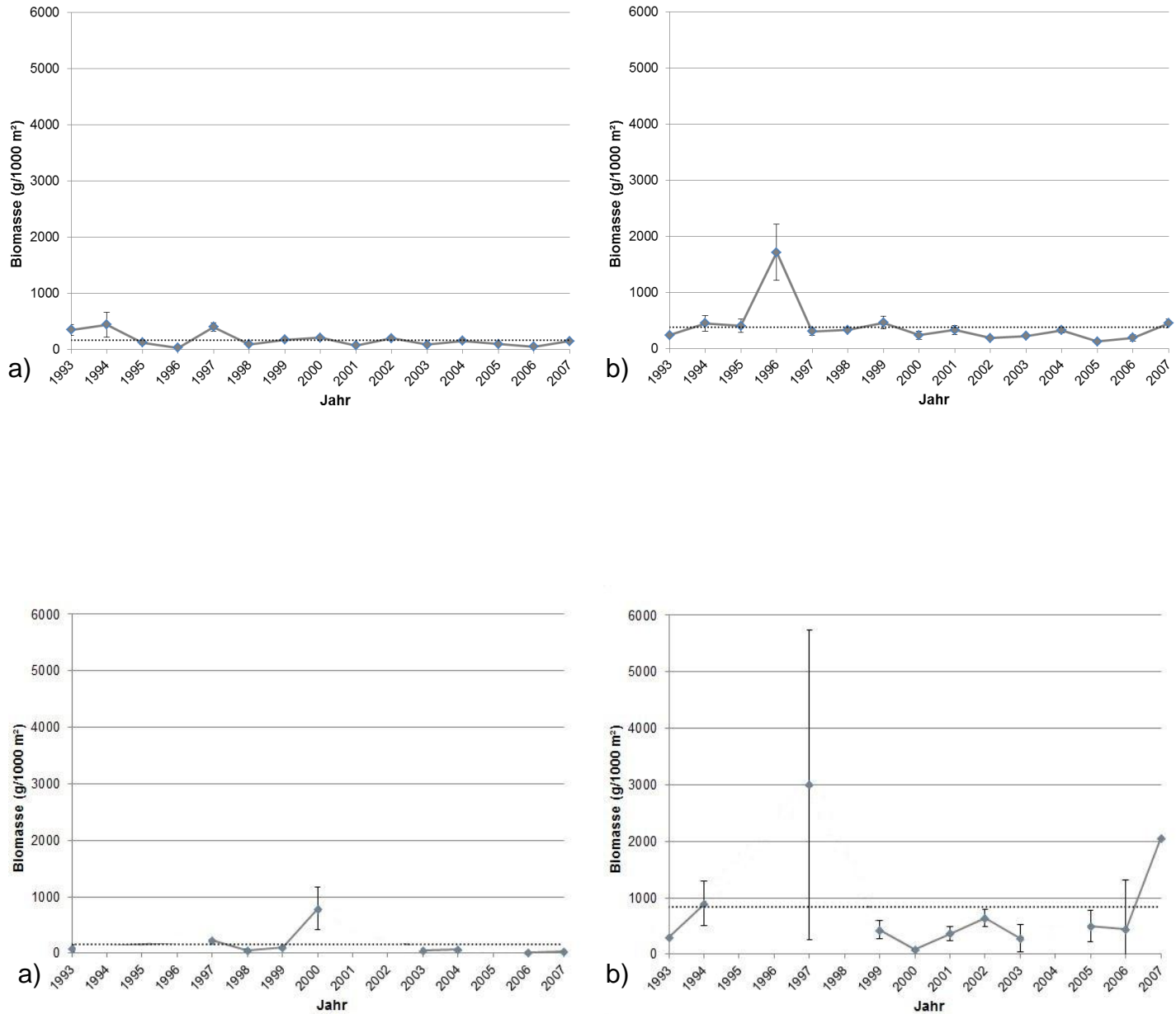


Abbildung 19: Mittlere Biomasse (g / 1000 m²) der Jahre 1993 - 2007. Oben: In den Wattflächen a) im Frühjahr und b) im Sommer. Unten: Im Bereich vor den Inseln (Seeseite) a) im Frühjahr und b) im Sommer. Fehlerbalken = SE. Das langfristige Mittel der Biomasse über die Jahre 1993 - 2007 ist als gestrichelte Linie dargestellt.

SIMPER: Tabelle 8 zeigt die Ähnlichkeiten der Fischgemeinschaften im Frühjahr sowohl für das Kompartiment Watt, als auch für den Bereich vor den Inseln. Die mittlere Ähnlichkeit der Fischgemeinschaft im Frühjahr der Wattflächen liegt bei 68 %. Die Sandgrundel (Beitrag von 20,84 %), die Scholle (Beitrag von 13,06 %) und die Flunder (Beitrag von 10,26 %) sind hier typische Vertreter. Gemeinsam tragen diese drei Arten mit 44,16 % zur Ähnlichkeit innerhalb dieser Gemeinschaft bei.

Die mittlere Ähnlichkeit der Gemeinschaft im Bereich vor den Inseln (Seeseite) liegt im Frühjahr bei 62,81 %. Typische Vertreter sind hier ebenfalls die Sandgrundel (Beitrag von 25,35 %), aber auch der Steinpicker (Beitrag von 11,10 %) und der Hering (Beitrag von 11,03 %). Insgesamt tragen diese drei Arten zu einer Ähnlichkeit von 47,48 % innerhalb der Gemeinschaft im Frühjahr bei.

Der mittlere Unterschied zwischen den Fischgemeinschaften der Wattflächen und dem Bereich vor den Inseln beträgt 41,37 % (Tab. 9). Für die Unterschiede zwischen den Gemeinschaften sind vor allem die Kliesche (Beitrag von 10,66 %), der Steinpicker (Beitrag von 10,48 %) und die Sandgrundel (Beitrag 10,35 %) die verantwortlichen Arten. Diese drei Arten tragen mit 31,48 % zu den Unterschieden in den Gemeinschaften bei.

Tabelle 8: Ergebnisse der SIMPER-Analyse auf Grundlage der Abundanz der Fischarten im Frühjahr für die Kompartimente Watt und Seeseite der Jahre 1993 - 2007. Dargestellt sind die Arten, die zu 90 % der Ähnlichkeit einer Gemeinschaft beitragen, mit der mittleren Abundanz (Av. Abund.), der mittleren Ähnlichkeit in % (Av. Sim.) zwischen den Replikaten einer Gruppe, dem Quotient aus der mittleren Ähnlichkeit und der jeweiligen Standardabweichung (Sim/SD) sowie dem prozentualen Beitrag (Contrib%) und dem kumulativen Beitrag (Cum. %).

	Species	Av. Abund	Av. Sim	Sim/SD	Contrib%	Cum.%
Watt	POMA MIN	3,16	14,2	3	20,84	20,84
	PLEU PLA	1,95	8,89	3,37	13,06	33,9
	PLAT FLE	1,44	6,99	3,18	10,26	44,16
	OSME EPE	1,22	6,71	3,45	9,84	54
	CLUP HAR	1,34	6,66	2,64	9,77	63,77
	GAST ACU	0,94	4,61	2,46	6,77	70,54
	AGON CAT	0,57	3,37	3,09	4,95	75,5
	SPRA SPR	0,58	2,45	2,38	3,59	79,09
	MYOX SCO	0,52	2,41	1,62	3,54	82,63
	GADU MOR	0,42	2,17	2,42	3,19	85,81
	SYNG ROS	0,49	1,86	1,68	2,74	88,55
	ZOAR VIV	0,46	1,86	1,47	2,73	91,27
Vor Inseln	POMA MIN	2,8	15,92	-	25,35	25,35
	AGON CAT	2,06	6,97	-	11,1	36,45
	CLUP HAR	1,43	6,93	-	11,03	47,48
	PLEU PLA	1,78	6,21	-	9,89	57,37
	LIMA LIM	1,58	5,04	-	8,03	65,39
	SYNG ROS	1,13	5,03	-	8	73,4
	MERL MER	1,15	3,15	-	5,01	78,41
	OSME EPE	0,67	2,63	-	4,19	82,59
	CILI MUS	0,44	2,38	-	3,79	86,39
	SPRA SPR	0,55	2,31	-	3,68	90,07

Tabelle 9: Ergebnisse der SIMPER-Analyse auf Grundlage der Abundanz der Fischarten im Frühjahr für die Kompartimente Watt und Seeseite der Jahre 1993 - 2007. Dargestellt sind die Arten, die zu 90 % der Unähnlichkeit einer Gemeinschaft beitragen, mit der mittleren Abundanz (Av. Abund.) für beide Jahreszeiten (Frühjahr und Sommer), der mittleren Unähnlichkeit in % (Av. Diss.) zwischen den zu testenden Gruppen, dem Quotient aus der mittleren Unähnlichkeit und der jeweiligen Standardabweichung (Diss/SD) sowie dem prozentualen Beitrag (Contrib%) und dem kumulativen Beitrag (Cum. %).

Species	Group Watt	Group Vor Inseln	Av.Diss	Diss/SD	Contrib%	Cum.%
	Av.Abund	Av.Abund				
LIMA LIM	0,09	1,58	4,41	2,86	10,66	10,66
AGON CAT	0,57	2,06	4,33	2,17	10,48	21,13
POMA MIN	3,16	2,8	4,28	1,49	10,35	31,48
PLEU PLA	1,95	1,78	3	1,25	7,25	38,74
PLAT FLE	1,44	1,05	2,98	1,47	7,21	45,95
MERL MER	0,3	1,15	2,43	1,54	5,87	51,82
SYNG ROS	0,49	1,13	2,24	2,25	5,43	57,25
OSME EPE	1,22	0,67	1,94	1,44	4,69	61,93
GAST ACU	0,94	0,57	1,66	1,11	4,01	65,94
CLUP HAR	1,34	1,43	1,64	1,32	3,96	69,91
ZOAR VIV	0,46	0	1,43	1,51	3,46	73,37
MYOX SCO	0,52	0,15	1,37	1,3	3,31	76,68
SPRA SPR	0,58	0,55	1,06	0,71	2,55	79,24
GADU MOR	0,42	0,24	1,01	1,25	2,44	81,68
BUGL LUT	0,02	0,36	0,99	1,05	2,38	84,06
POMA MIC	0,39	0,11	0,96	1,31	2,32	86,38
SOLE SOL	0,17	0,47	0,92	2,15	2,21	88,59
CILI MUS	0,2	0,44	0,86	1,7	2,08	90,67

Average dissimilarity = 41,37

Die SIMPER-Analyse für die Fischgemeinschaften im Sommer der Kompartimente Watt und Seeseite zeigt, dass für die Wattflächen im Sommer vor allem die Arten Scholle (Beitrag von 27,52 %), Kleine Seenadel (Beitrag 11,63 %) und Sandgrundel (Beitrag von 7,96 %) charakteristisch sind und gemeinsam mit 47,10 % zur Ähnlichkeit innerhalb der Gemeinschaft beitragen. Die mittlere Ähnlichkeit der Gemeinschaft insgesamt liegt hier bei 64,32 % (Tab. 10).

Die mittlere Ähnlichkeit der Gemeinschaft im Bereich vor den Inseln ist im Sommer deutlich höher als die Ähnlichkeit der Gemeinschaft in den Wattflächen. Hier beträgt die mittlere Ähnlichkeit 80,42 %. Charakteristische Arten sind Scholle (Beitrag von 33,08 %), Wittling (Beitrag von 14,26 %) und Sandgrundel (Beitrag 8,22 %). Insgesamt tragen diese drei Arten mit 55,55 % zur Ähnlichkeit innerhalb dieser Gemeinschaft bei. Während der Stint in den Wattflächen im Sommer (Beitrag von 6,42 %) einen recht typischen Vertreter darstellt, so leistet er im Bereich vor den Inseln lediglich einen Beitrag von 2,09 %.

Unterschiede zwischen den Gemeinschaften der beiden Kompartimente lassen sich im Sommer vor allen durch die Arten Scholle (Beitrag von 17,96 %), Wittling (Beitrag von 9,75 %) und Kleine Seenadel (Beitrag von 6,94 %) erklären (Tab. 11). Gemeinsam tragen die drei zuvor genannten Arten zu 34,47 % der Unähnlichkeit bei. Die durchschnittliche Unähnlichkeit zwischen den beiden Kompartimenten im Sommer beträgt insgesamt 37,88 %.

Tabelle 10: Ergebnisse der SIMPER-Analyse auf Grundlage der Abundanz der Fischarten im Sommer für die Kompartimente Watt und Seeseite der Jahre 1993 - 2007. Dargestellt sind die Arten, die zu 90 % der Ähnlichkeit einer Gemeinschaft beitragen, mit der mittleren Abundanz (Av. Abund.), der mittleren Ähnlichkeit in % (Av. Sim.) zwischen den Replikaten einer Gruppe, dem Quotient aus der mittleren Ähnlichkeit und der jeweiligen Standardabweichung (Sim/SD) sowie der prozentuale Beitrag (Contrib%) und der kumulative Beitrag (Cum. %).

	Species	Av. Abund	Av. Sim	Sim/SD	Contrib%	Cum.%
Watt Av.Sim: 64,32	PLEU PLA	7,51	17,7	3,06	27,52	27,52
	SYNG ROS	3,1	7,48	3	11,63	39,15
	POMA MIN	2,37	5,12	2,15	7,96	47,1
	MERL MER	1,52	4,28	2,05	6,66	53,76
	OSME EPE	1,4	4,13	4,35	6,42	60,18
	LIPA LIP	1,36	3,78	2,23	5,88	66,06
	MYOX SCO	1,47	3,09	1,8	4,8	70,86
	CLUP HAR	1,35	3,02	2,59	4,69	75,55
	PLAT FLE	1,11	2,51	2,72	3,91	79,46
	CILI MUS	0,8	2,26	2,15	3,51	82,98
	SOLE SOL	0,83	2,1	2,48	3,27	86,24
	ZOAR VIV	0,87	1,75	1,49	2,72	88,97
	SPRA SPR	0,65	1,73	2	2,69	91,66
Vor Inseln Av.Sim.: 80,42	PLEU PLA	7,56	26,6	-	33,08	33,08
	MERL MER	3,43	11,47	-	14,26	47,34
	POMA MIN	1,85	6,61	-	8,22	55,55
	SYNG ROS	2,44	5,98	-	7,43	62,99
	LIPA LIP	1,26	3,49	-	4,34	67,32
	AGON CAT	1,19	3,33	-	4,14	71,47
	SPRA SPR	1,01	3,26	-	4,05	75,52
	CLUP HAR	0,88	2,85	-	3,54	79,06
	LIMA LIM	0,82	2,24	-	2,78	81,85
	SOLE SOL	0,71	2,15	-	2,68	84,52
	CALL LYR	0,6	2,02	-	2,51	87,04
	CHEL LUC	0,58	1,96	-	2,44	89,47
	OSME EPE	0,79	1,68	-	2,09	91,56

Tabelle 11: Ergebnisse der SIMPER-Analyse auf Grundlage der Abundanz der Fischarten im Sommer für die Kompartimente Watt und Seeseite der Jahre 1993 - 2007. Dargestellt sind die Arten, die zu 90 % der Unähnlichkeit einer Gemeinschaft beitragen, mit der mittleren Abundanz (Av. Abund.) für beide Jahreszeiten (Frühjahr und Sommer), der mittleren Unähnlichkeit in % (Av. Diss.) zwischen den zu testenden Gruppen und der jeweiligen Standardabweichung (Diss/SD) sowie der prozentuale Beitrag (Contrib%) und der kumulative Beitrag (Cum. %).

Species	Group Watt	Group Vor Inseln	Av.Diss	Diss/SD	Contrib%	Cum.%
	Av.Abund	Av.Abund				
PLEU PLA	7,51	7,56	6,8	1,99	17,96	17,96
MERL MER	1,52	3,43		2,43	9,57	27,53
SYNG ROS	3,1	2,44		1,24	6,94	34,47
POMA MIN	2,37	1,85		1,65	6,05	40,53
MYOX SCO	1,47	0,37		1,14	5,07	45,6
AGON CAT	0,56	1,19		2,01	3,92	49,52
ZOAR VIV	0,87	0,06		1,55	3,69	53,21
PLAT FLE	1,11	0,38		0,98	3,32	56,53
LIMA LIM	0,28	0,82		1,83	3,29	59,82
OSME EPE	1,4	0,79		1,39	3,21	63,04
CILI MUS	0,8	0,2		2,07	2,99	66,03
CLUP HAR	1,35	0,88		0,72	2,85	68,88
CHEL LUC	0,01	0,58		4,87	2,85	71,73
CALL LYR	0,06	0,6		3,25	2,71	74,44
LIPA LIP	1,36	1,26		1,21	2,71	77,15
CLUPEA Z	0,26	0,44		1,17	2,16	79,31
SPRA SPR	0,65	1,01		1,49	2,16	81,46
PHOL GUN	0,4	0		1,07	1,88	83,34
SOLE SOL	0,83	0,71		0,91	1,69	85,03
GADU MOR	0,51	0,35		1,17	1,56	86,59
MICR KIT	0,35	0,32		1,6	1,42	88
ARNO LAT	0,02	0,29		2,92	1,38	89,39
TRIS LUS	0,09	0,29	0,51	1,26	1,35	90,74

Average dissimilarity = 37,88

ARTENZAHL: Im Watt (Seegatt inklusive Rückseitenwatt) konnten über die Jahre (1993 - 2007) im Frühjahr durchschnittlich 8 Arten pro Hol erfasst werden (Abb. 20 a oben). Deutlich auffallend ist hier das Jahr 1996, in dem am wenigsten Arten nachgewiesen werden konnten. An allen untersuchten Stationen der Wattflächen im Jahr 1996 konnten lediglich zwischen 1 - 5 Arten erfasst werden. Die höchste Artenzahl insgesamt wurde an der Station Nr. 4 im Jahr 2000 vernommen; hier konnten 16 Arten erfasst werden.

Im Sommer konnten im Watt signifikant mehr Arten erfasst werden (nicht normalverteilt; U-Test: $p = 2,35e-12$) als im Frühjahr (Abb. 20 a und b oben). Im Mittel über die Jahre waren hier 10 Arten an jeder Station vertreten, zwei mehr als im Frühjahr. Die geringste Artenzahl mit 2 Arten wurde im Sommer 1996 an der Station Nr. 19 vernommen. Maximal konnten 18 Arten pro Station (Jahr 1996, 1998 und 2007) erfasst werden.

Die Artenzahl im Bereich vor den Inseln (Seeseite) belief sich im Durchschnitt über die Jahre ebenfalls auf 8 Arten im Frühjahr (Abb. 20 b unten). Die geringste Artenzahl belief sich hier auf 2 Arten, während maximal 15 Arten an der Station Nr. 2 (Jahr 2000) nachgewiesen werden konnten.

Im Bereich vor den Inseln konnten im Sommer über die Jahre zwischen 6 - 19 Arten pro Station erfasst werden. Die durchschnittliche Artenzahl über die Jahre 1993 - 2007 betrug 11 Arten und ist damit signifikant höher als im Frühjahr (nicht normalverteilt; U-Test: $p = 0,05e-05$). Die maximale Artenzahl von 19 Arten wurde im Jahr 2006 an der Station Nr. 2 erfasst. Lediglich 6 Arten konnten sowohl im Jahr 1994 an der Station Nr. 1 und im Jahr 2005 an der Station Nr. 1 vernommen werden.

Im Bereich vor den Inseln konnten zwar durchschnittlich mehr Arten erfasst werden als in den Wattflächen, jedoch statistisch nicht signifikant.

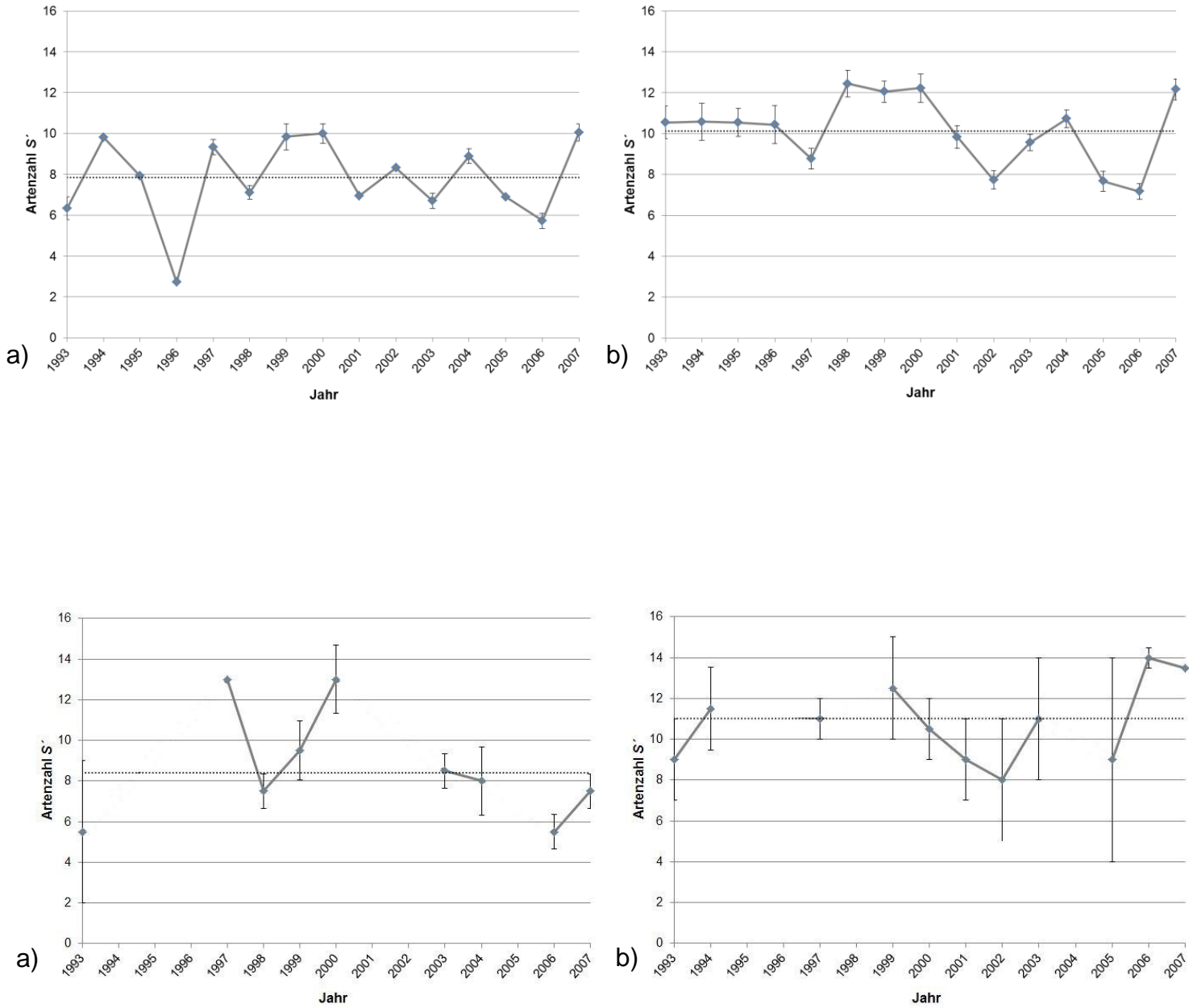


Abbildung 20: Mittlere Artenzahl der Jahre 1993 - 2007. Oben: In den Wattflächen a) im Frühjahr und b) im Sommer. Unten: Im Bereich vor den Inseln (Seeseite) a) im Frühjahr und b) im Sommer. Fehlerbalken = SE. Das langfristige Mittel der Artenzahl über die Jahre 1993 - 2007 ist als gestrichelte Linie dargestellt.

Die Diversität H' (Artenreichtum) schwankte in den Wattflächen im Frühjahr der Jahre 1993 - 2007 im Durchschnitt zwischen Werten von 0 bis 2,24. An einigen Stationen innerhalb der Jahre 1993, 1996 und 2001 wurde eine Diversität von null ermittelt, da an diesen Stationen lediglich eine Art erfasst werden konnte. Das langfristige Mittel der Diversität aller Jahre betrug 1,40. Abbildung 21 a (oben) zeigt, dass ebenfalls die Diversität im Frühjahr 1996 mit $H' = 0,59$ deutlich geringer ist, als in allen anderen Jahren.

Im Sommer konnte über die Jahre in den Wattflächen eine mittlere Diversität von $H' = 1,33$ ermittelt werden (Abb. 21 b oben). Die maximale Diversität von $H' = 2,31$ wurde innerhalb eines Hols im Jahr 1995 erreicht. Das Jahr 1996 zeigte den geringsten Artenreichtum und sondert sich deutlich von allen anderen Jahren ab. Hier wurde eine durchschnittliche Diversität von $H' = 0,28$ ermittelt, mit Minimumwerten von $H' = 0,04$ an der Station Nr. 11.

Der Artenreichtum im Bereich vor den Inseln schwankte im Frühjahr über die Jahre zwischen Werten von 0,56 - 2,11 und weicht damit nicht deutlich von der Diversität in den Wattflächen ab (Abb. 21 a unten). Auch im Mittel aller Jahre konnte, wie in den Wattflächen, eine durchschnittliche Diversität von 1,40 erreicht werden. Die größte Diversität konnte im Jahr 1997 mit $H' = 2,11$ vernommen werden. Allerdings ist hier zu berücksichtigen, dass dieser Wert lediglich von einer Station (Station Nr. 1) stammt.

Im Bereich vor den Inseln schwankte die Diversität im Sommer zwischen Werten von 0,32 - 1,88. Im Mittel über die Jahre betrug die Diversität hier $H' = 1,29$ (Abb. 21 b unten).

Zwischen den Jahreszeiten (Frühjahr / Sommer) konnte mittels U-Test (Daten nicht normalverteilt) keine signifikanten Unterschiede in dem Artenreichtum für beide Kompartimente ermittelt werden. Allerdings unterscheidet sich der Artenreichtum zwischen den beiden Kompartimenten Watt und Seeseite signifikant voneinander (nicht normalverteilt; U-Test: $p = 4,61\text{e-}39$ im Frühjahr und $p = 1,12\text{e-}52$ im Sommer der beiden Kompartimente).

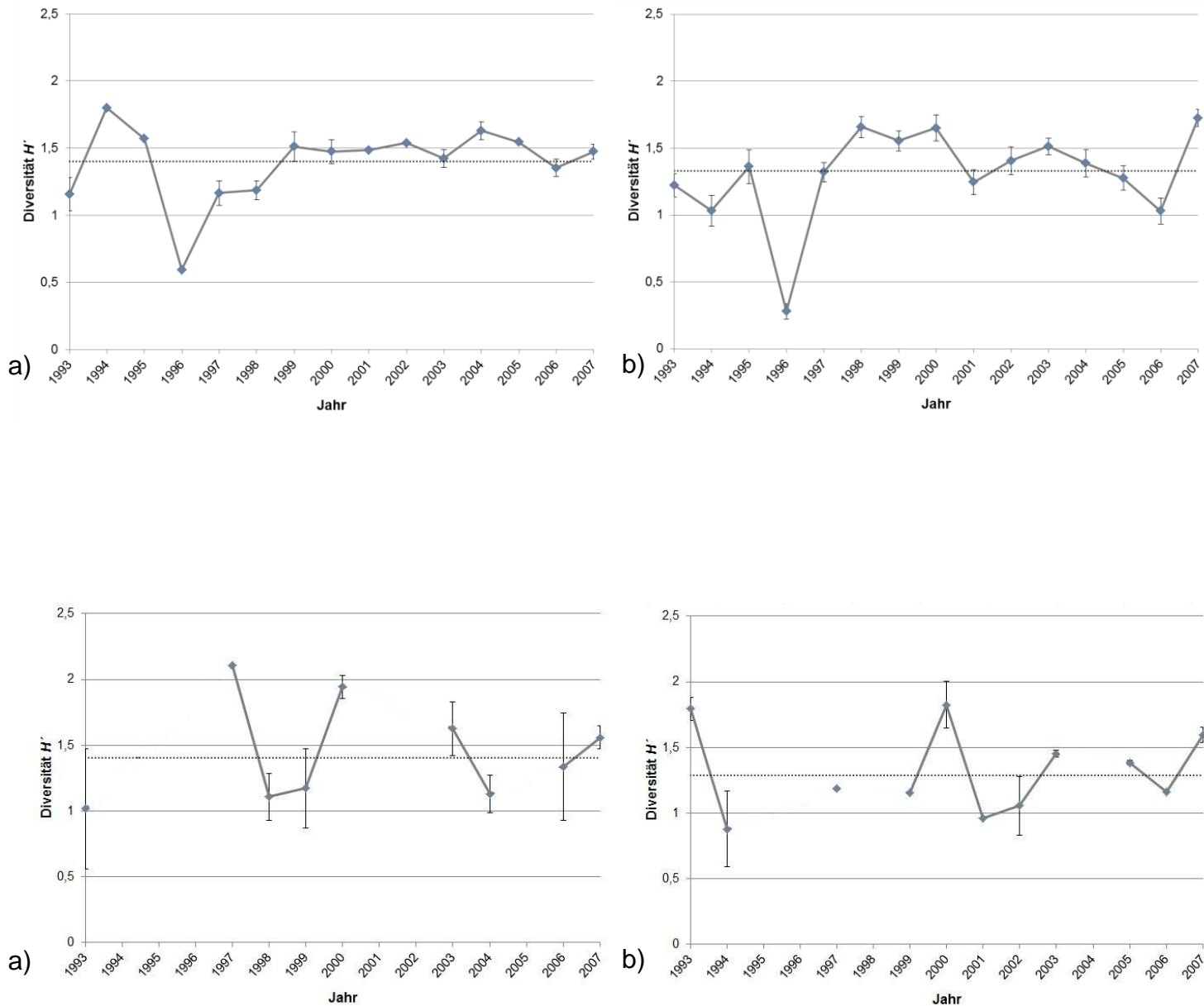


Abbildung 21: Shannon-Diversität H' der Jahre 1993 - 2007. Oben: In den Wattflächen a) im Frühjahr und b) im Sommer. Unten: Im Bereich vor den Inseln (Seeseite) a) im Frühjahr und b) im Sommer. Fehlerbalken = SE. Das langfristige Mittel der Diversität über die Jahre 1993 - 2007 ist als gestrichelte Linie dargestellt.

Die Aquität / Artengleichheit (Evenness J') nahm im Mittel über die Jahre 1993 - 2007 im Frühjahr der Wattflächen einen Wert von $J' = 0,72$ an. Eine maximale Artengleichheit von $J' = 1$ konnte innerhalb einzelner Hols sowohl im Jahr 1996 als auch an Stationen des Jahres 2006 erreicht werden. Auffallend in Abbildung 22 a (oben) ist vor allem das Frühjahr 1997. Hier wurde im Durchschnitt über alle Jahre die geringste Artengleichheit ($J' = 0,52$) erreicht. Aber auch der Abfall der Artengleichheit im Jahr 2007 fällt ins Auge. Während im Jahr 2006 noch eine mittlere Artengleichheit von $J' = 0,80$ ermittelt werden konnte, konnte im darauffolgenden Jahr 2007 lediglich eine mittlere Artengleichheit von $J' = 0,65$ erreicht werden.

Im Sommer des Kompartiments Watt konnte über die Jahre eine mittlere Artengleichheit von $J' = 0,59$ erfasst werden. Damit ist die Artengleichheit im Durchschnitt im Frühjahr signifikant höher als im Sommer (nicht normalverteilt; U-Test: $p = 1,50e-15$). Minimal- und Maximalwerte aller Jahre lagen hier bei $J' = 0,03$ und $J' = 0,97$. Abbildung 22 b (oben) zeigt unverkennbar, wie bereits auch für die Artenzahl und die Diversität, dass sich das Jahr 1996 deutlich von allen anderen absondert. Auch hier zeigte das Jahr 1996 im Durchschnitt die geringste Artengleichheit ($J' = 0,12$).

Im Bereich vor den Inseln war die durchschnittliche Artengleichheit im Frühjahr über alle Jahre im Schnitt um einen Wert von 0,3 geringer als in den Wattflächen. Hier konnte ein mittlerer Wert von $J' = 0,69$ ermittelt werden (Abb. 22 a unten). Der geringste Wert von $J' = 0,42$ über alle Jahre konnte dem Jahr 1999 zugeordnet werden, während der höchste Wert von $J' = 0,88$ im Jahr 2006 erfasst wurde. Mit mittleren Werten von $J' = 0,53$ und $J' = 0,52$ wiesen die Jahre 1998 und 2004 im Frühjahr die geringste durchschnittliche Artengleichheit auf.

Die Werte für die Artengleichheit im Bereich vor den Inseln schwankten im Sommer zwischen $J' = 0,13$ und $J' = 0,88$. Das Mittel über alle Jahre betrug $J' = 0,55$ und ist damit signifikant geringer als im Frühjahr (nicht normalverteilt; U-Test: $p = 0,027$). Die größte durchschnittliche Artengleichheit konnte im Sommer 1993 ($J' = 0,83$) erreicht werden (Abb. 22 b unten).

Zwischen den beiden Kompartimenten selber konnte kein signifikanter Unterschied vernommen werden.

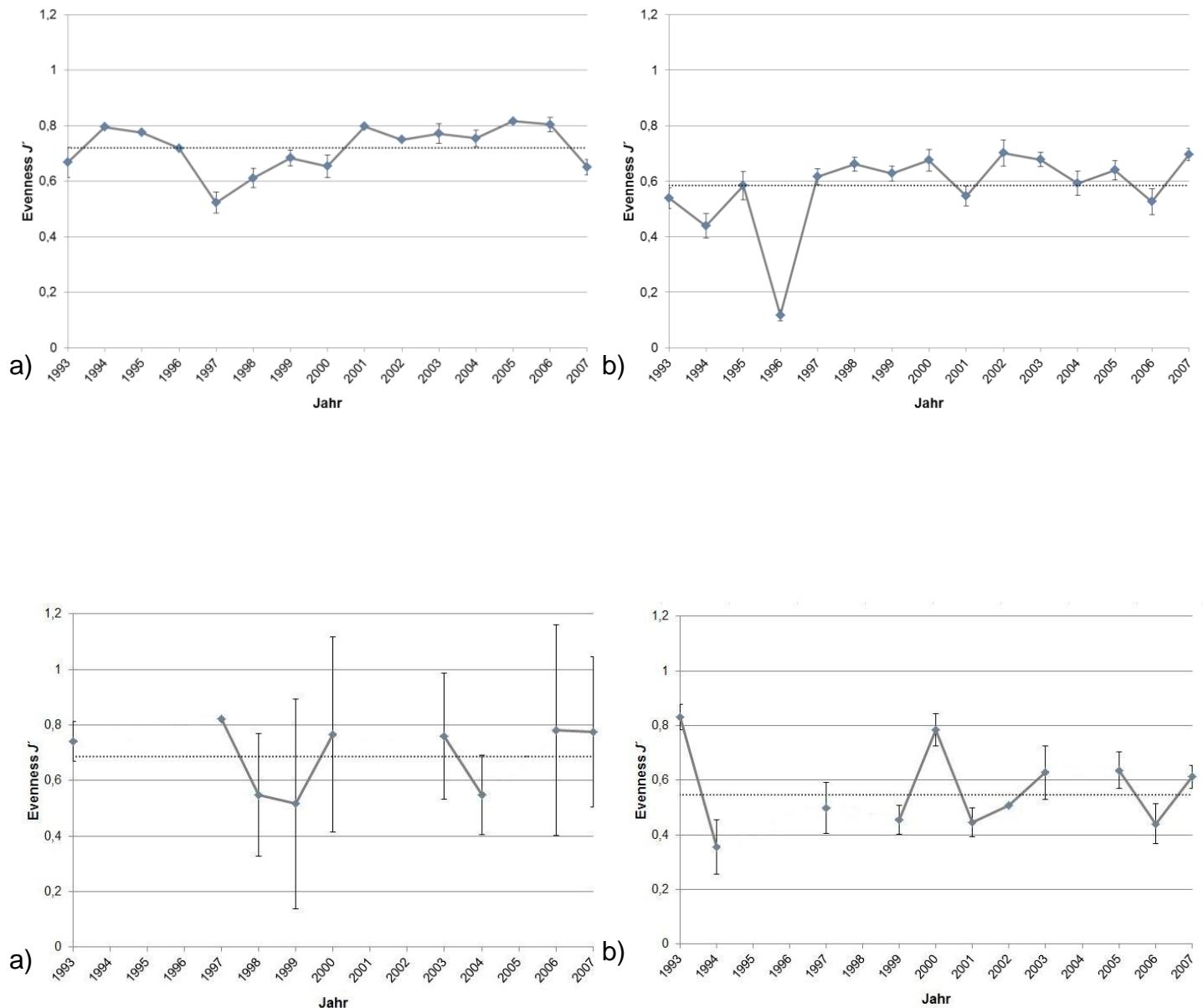


Abbildung 22: Artengleichheit J' der Jahre 1993 - 2007. Oben: In den Wattflächen a) im Frühjahr und b) im Sommer. Unten: Im Bereich vor den Inseln (Seeseite) a) im Frühjahr und b) im Sommer. Fehlerbalken = SE. Das langfristige Mittel der Artengleichheit über die Jahre 1993 - 2007 ist als gestrichelte Linie dargestellt.

4.4 Vorrangig betrachtete Fischarten

In diesem Kapitel soll speziell auf die Fischarten des TMAP Monitorings sowie Arten der MRSL-Meldungen eingegangen werden. Für alle 14 im Folgenden aufgeführten Fischarten werden sowohl die Abundanz als auch die Biomasse der jeweiligen Jahre 1993 - 2007, getrennt nach den Jahreszeiten (Frühjahr und Sommer) und den Kompartimenten (Watt und Seeseite), dargestellt.

Kleiner Sandaal (*Ammodytes lancea*)

Der Kleine Sandaal (*A. lancea*) zeigte innerhalb der untersuchten Jahre von 1993 - 2007 eine relativ geringe Präsenz. Zwischen den Jahreszeiten (Frühjahr / Sommer) konnten keine deutlichen Unterschiede im Vorkommen der Art vermerkt werden. Der Kleine Sandaal war in den Jahren 1998 und 1999 weder im Frühjahr noch im Sommer anzutreffen (Abb. 23 a und b). Die größte Präsenz von 22,22 % zeigte die Art im Sommer des Jahres 2007.

Während zwischen den Jahreszeiten (Frühjahr / Sommer) keine deutlichen Unterschiede im Vorkommen des Kleinen Sandaals ermittelt werden konnten, so konnte er aber in den Wattflächen insgesamt häufiger erfasst werden (Abb. 24), wobei zu berücksichtigen ist, dass die Anzahl der befischten Stationen auf der Seeseite deutlich geringer als in den Wattflächen ist. Im Bereich vor den Inseln konnte der Kleine Sandaal ausschließlich im Jahr 1994 (0,075 Individuen / 1000 m²) nachgewiesen werden. Ansonsten war dieser lediglich in den Wattflächen, wenn auch nicht mit hoher Individuenzahl aber dennoch relativ konstant über die Jahre, vertreten. Im Frühjahr der Wattflächen belief sich die mittlere Abundanz über alle Jahre auf 0,039 Individuen / 1000 m² und im Sommer auf 0,021 Individuen / 1000 m².

Die Biomasse war dementsprechend ebenso gering. Diese schwankte in den Wattflächen zwischen 0 - 0,70 g / 1000 m² (gesamtes Mittel: 0,21 g / 1000 m²) im Frühjahr und zwischen 0 - 0,58 g / 1000 m² im Sommer (gesamtes Mittel: 0,13 g / 1000 m²) (Abb. 25 a und b).

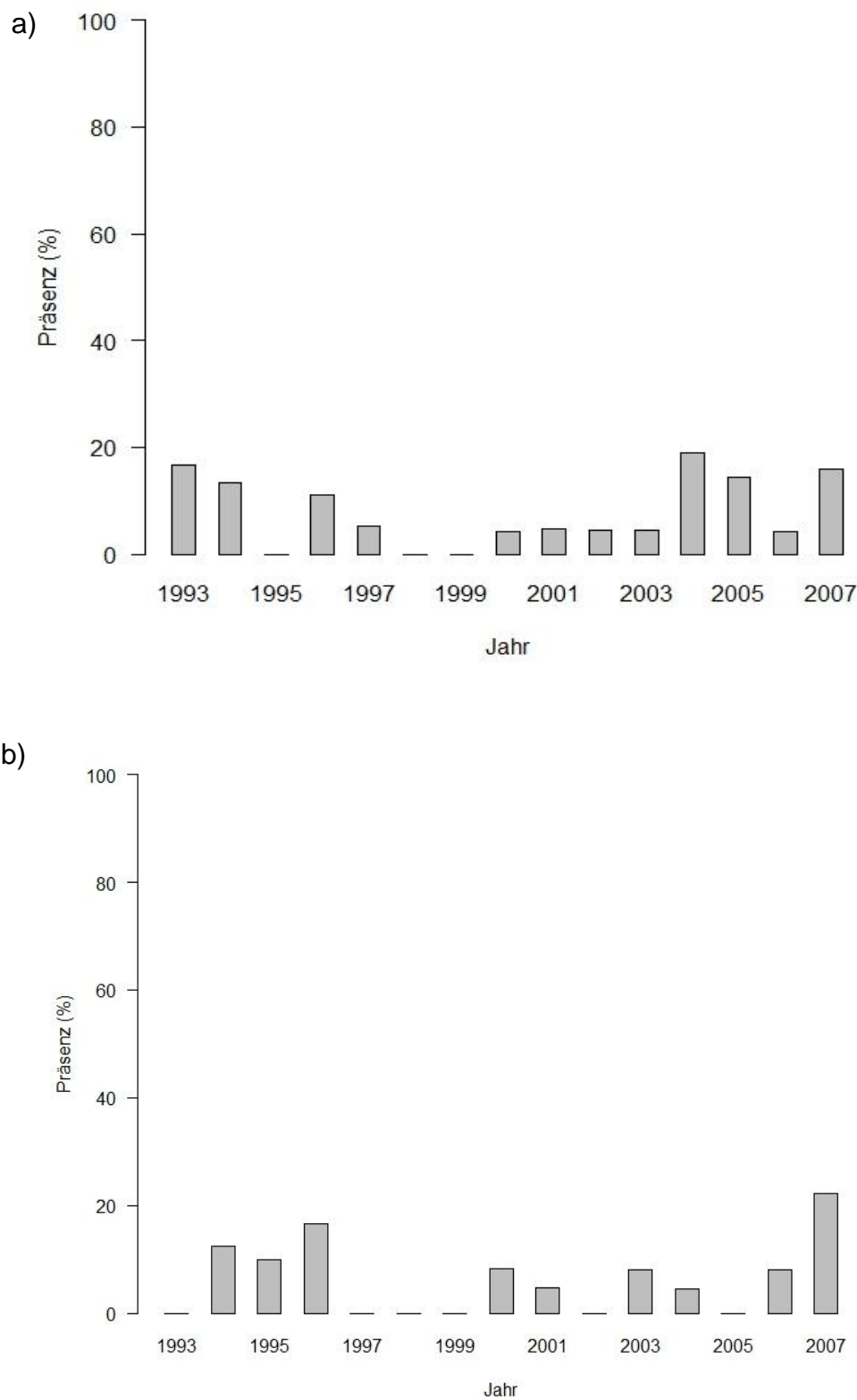


Abbildung 23: Präsenz (%) des Kleinen Sandaals (*Ammodytes lancea*) im a) Frühjahr und b) Sommer der Jahre 1993 - 2007.

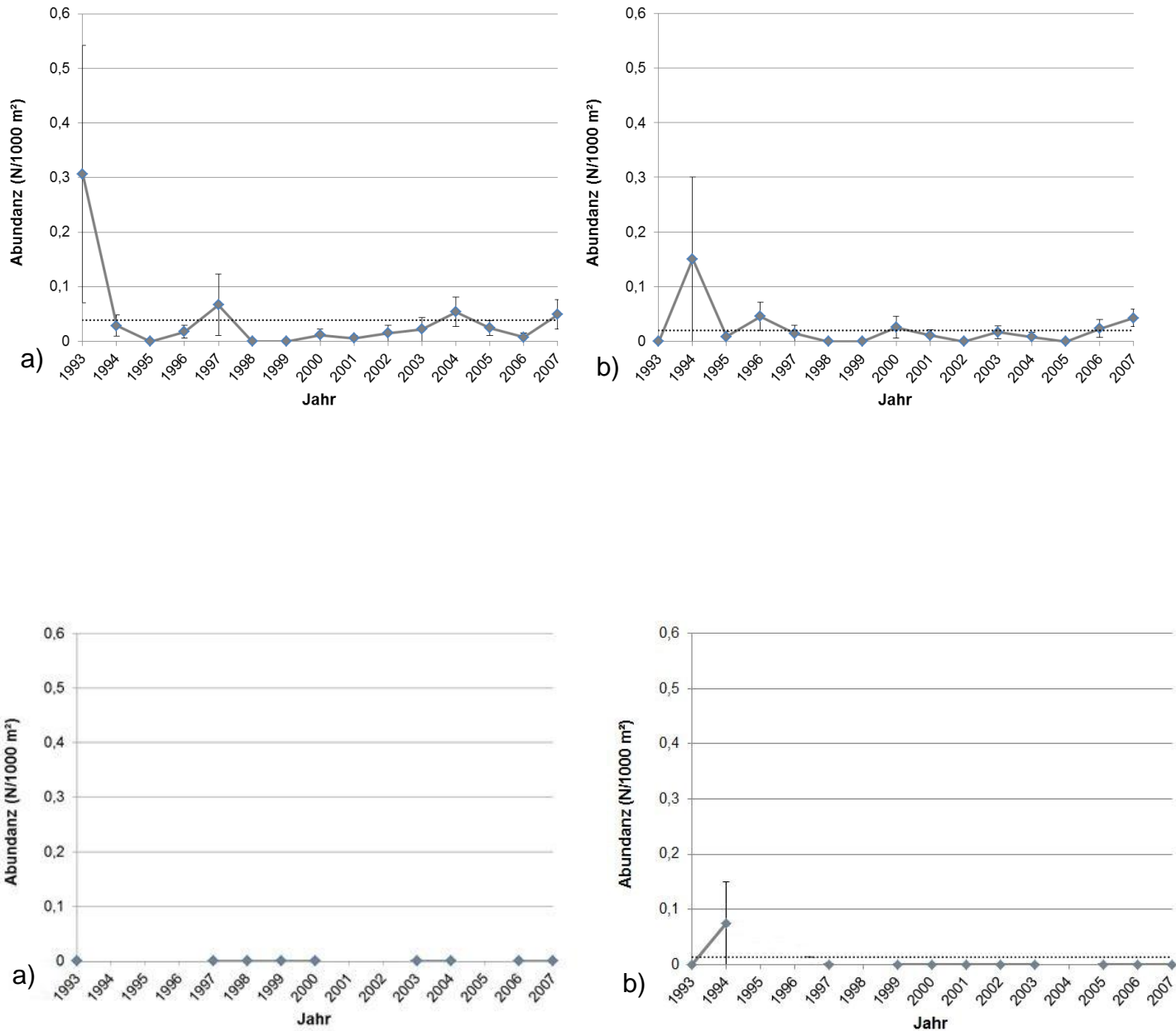


Abbildung 24: Mittlere Abundanz (N / 1000 m²) des Kleinen Sandaals (*Ammodytes lancea*) über die Jahre 1993 - 2007. Oben: In den Wattflächen a) im Frühjahr und b) im Sommer. Unten: Im Bereich vor den Inseln (Seeseite) a) im Frühjahr und b) im Sommer. Fehlerbalken = SE. Das langfristige Mittel der Abundanz über die Jahre 1993 - 2007 ist als gestrichelte Linie dargestellt.

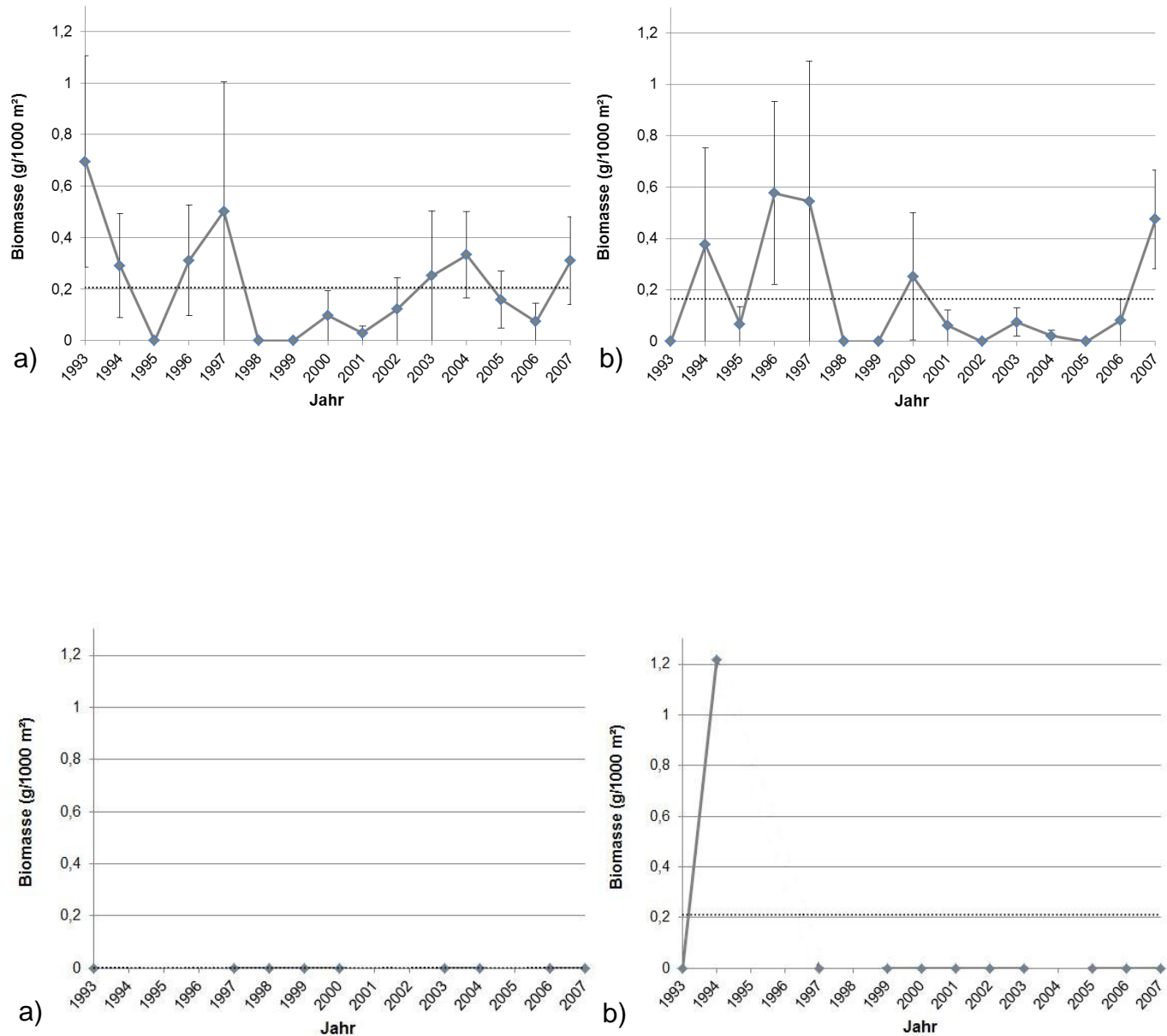


Abbildung 25: Mittlere Biomasse (g / 1000 m²) des Kleinen Sandaals (*Ammodytes lancea*) über die Jahre 1993 - 2007. Oben: In den Wattflächen a) im Frühjahr und b) im Sommer. Unten: Im Bereich vor den Inseln (Seeseite) a) im Frühjahr und b) im Sommer. Fehlerbalken = SE. Das langfristige Mittel der Biomasse über die Jahre 1993 - 2007 ist als gestrichelte Linie dargestellt.

Großer Sandaal (*Hyperoplus lanceolatus*)

Der demersal lebende Große Sandaal (*H. lanceolatus*) konnte innerhalb des gesamten Untersuchungszeitraumes lediglich in drei Jahren nachgewiesen werden (Abb. 26). Dementsprechend war die Präsenz sehr gering; im Frühjahr konnte er ausschließlich im Jahr 2000 mit einer Präsenz von 4,17 % nachgewiesen werden. Im Sommer konnte er immerhin in drei Jahren nachgewiesen werden. Hier kam er mit einer Präsenz von jeweils 4,55 % (Jahr 1993), 5,00 % (Jahr 1997) und 4,17 % (Jahr 2000) vor.

Entsprechend der geringen Präsenz hielten sich die Individuendichte sowie die Biomasse über die Jahre ebenso gering. Die größte durchschnittliche Abundanz (0,08 Individuen / 1000 m²) konnte im Sommer im Bereich vor den Inseln vermerkt werden. In allen anderen Jahren in denen der Große Sandaal vertreten war schwankte die mittlere Abundanz zwischen 0,008 - 0,034 Individuen / 1000 m² (Abb. 27).

Die Biomasse belief sich innerhalb der drei Jahre, an denen die Art nachgewiesen werden konnte, auf lediglich 0,05 g / 1000 m² im Frühjahr des Jahres 2000 in den Wattflächen und maximal 1,28 g / 1000 m² im Sommer im Bereich vor den Inseln (Jahr 1997, Station Nr. 1) (Abb. 28).

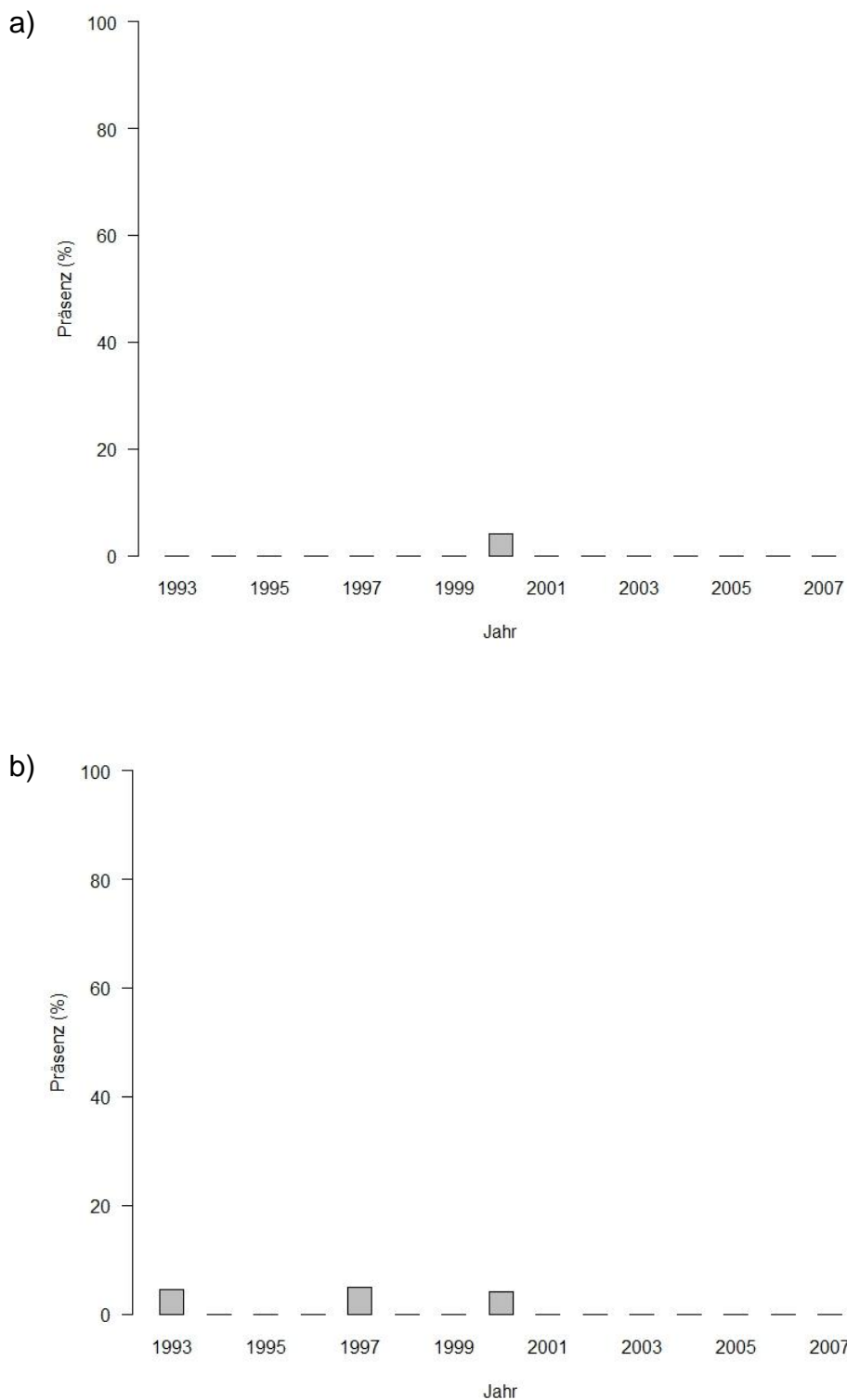


Abbildung 26: Präsenz (%) des Großen Sandaals (*Hyperoplus lanceolatus*) im a) Frühjahr und b) Sommer der Jahre 1993 - 2007.

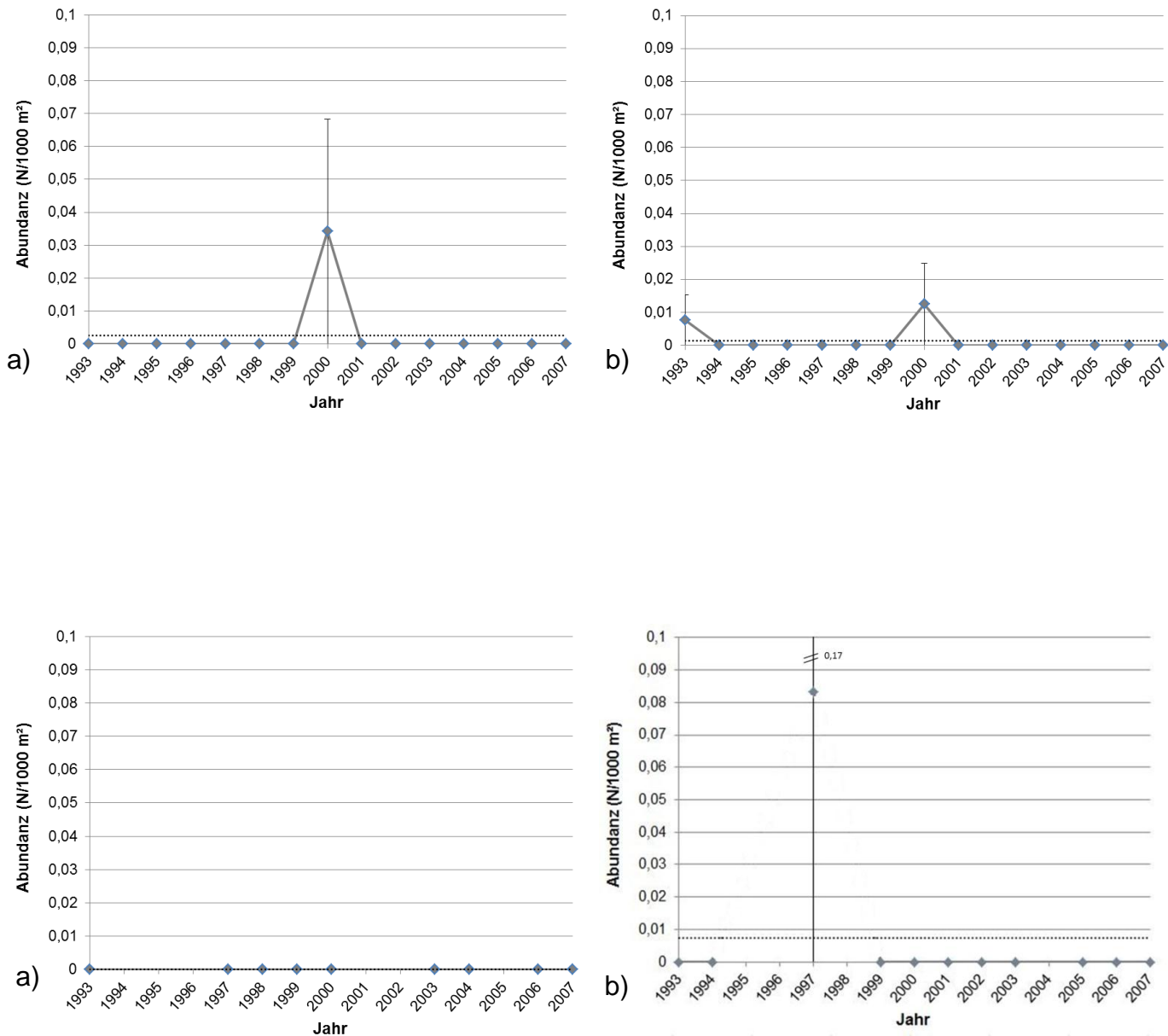


Abbildung 27: Mittlere Abundanz (N / 1000 m²) des Großen Sandaals (*Hyperoplus lanceolatus*) über die Jahre 1993 - 2007.
 Oben: In den Wattflächen a) im Frühjahr und b) im Sommer. Unten: Im Bereich vor den Inseln (Seeseite) a) im Frühjahr und b) im Sommer. Fehlerbalken = SE. Das langfristige Mittel der Abundanz über die Jahre 1993 - 2007 ist als gestrichelte Linie dargestellt.

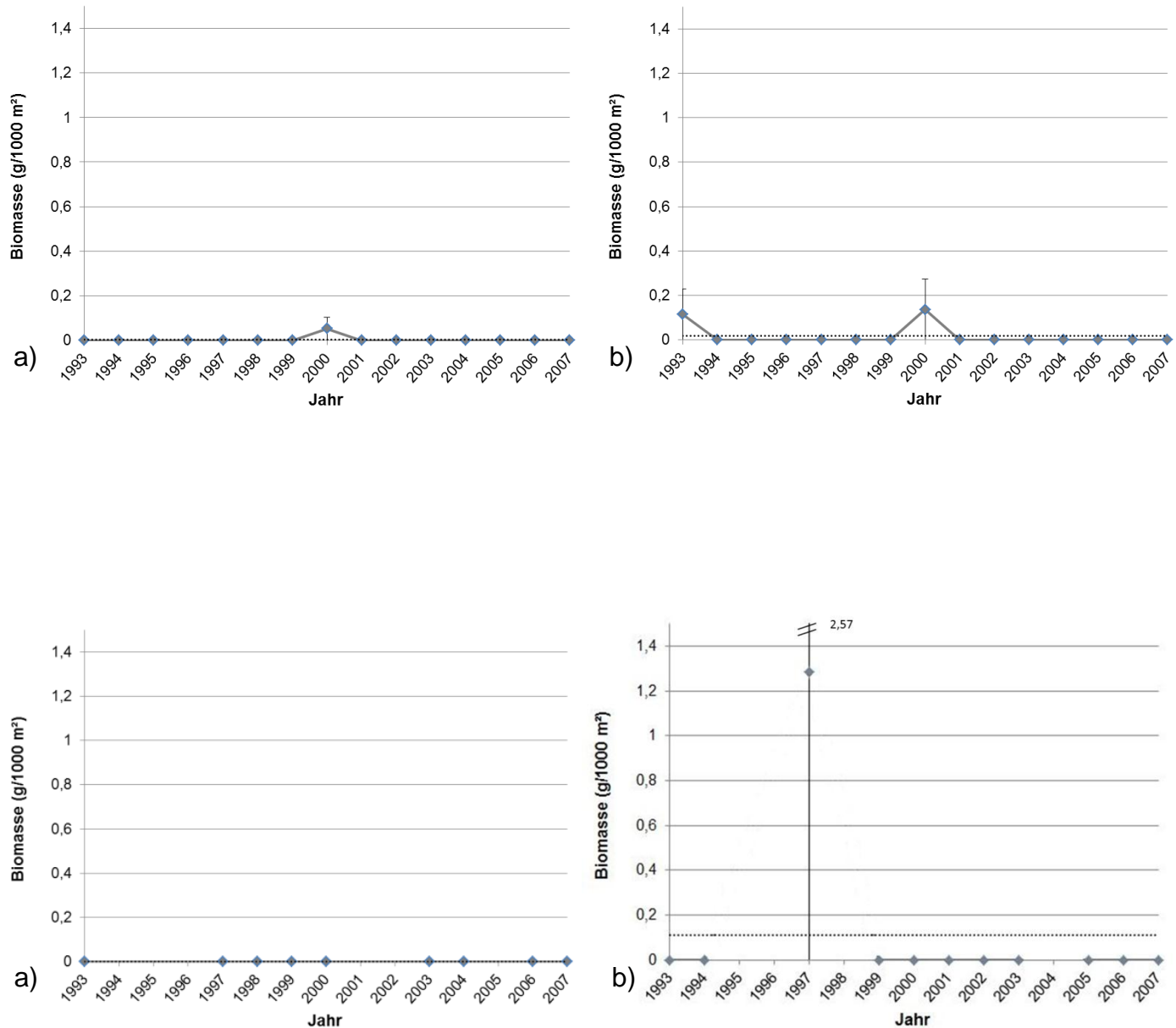


Abbildung 28: Mittlere Biomasse (g / 1000 m²) des Großen Sandaals (*Hyperoplus lanceolatus*) über die Jahre 1993 - 2007. Oben: In den Wattflächen a) im Frühjahr und b) im Sommer. Unten: Im Bereich vor den Inseln (Seeseite) a) im Frühjahr und b) im Sommer. Fehlerbalken = SE. Das langfristige Mittel der Biomasse über die Jahre 1993 - 2007 ist als gestrichelte Linie dargestellt.

Europäischer Aal (*Anguilla anguilla*)

Der Aal (*A. anguilla*) zeigte insgesamt über die Jahre eine geringe Präsenz. Jedoch war er in den Sommermonaten häufiger vertreten als im Frühjahr eines jeden Jahres (Abb. 29). Im Frühjahr konnte der Aal ausschließlich in den Jahren 1996 und 2000 nachgewiesen werden. Die größte Präsenz konnte im Sommer des Jahres 1998 nachgewiesen werden. Hier war der Aal mit einer durchschnittlichen Präsenz von 16,67 % vertreten.

Der Aal war über die Jahre durchschnittlich mit einer geringen Abundanz vertreten. Im Bereich vor den Inseln war dieser lediglich im Jahre 1993 vertreten (Abb. 30 a und b unten). Hier konnte er mit 0,29 Individuen / 1000 m² nachgewiesen werden. Die größte Individuendichte insgesamt zeigte der Aal an der Station Nr. 15 im Jahr 2004. Hier konnte er mit einer durchschnittlichen Individuendichte von 0,84 Individuen / 1000 m² erfasst werden.

In den Sommermonaten der Wattflächen, wo der Aal immerhin in neun der 15 untersuchten Jahre anzutreffen war, schwankte die Biomasse in den Jahren in denen er präsent war zwischen minimal 0,20 g / 1000 m² (Jahr 2000) und maximal 6,29 g / 1000 m² (Jahr 2007). Im gesamten Mittel war er hier mit einer Biomasse von durchschnittlich 1,46 g / 1000 m² vertreten, während er in den Sommermonaten im Watt lediglich mit einer Biomasse von 0,03 g / 1000 m² nachgewiesen werden konnte (Abb. 31 b oben).

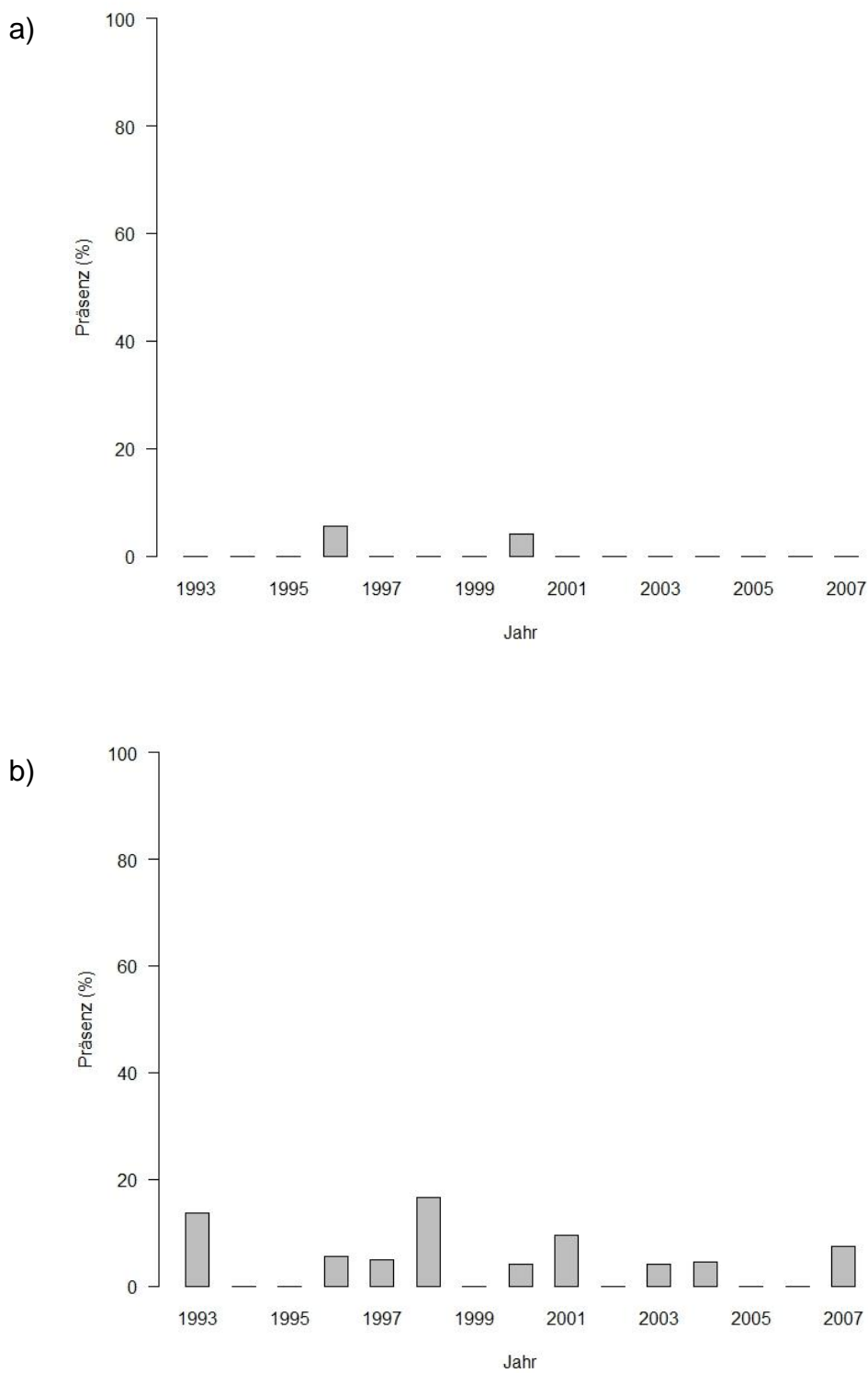


Abbildung 29: Präsenz (%) des Europäischen Aals (*Anguilla anguilla*) im a) Frühjahr und b) Sommer der Jahre 1993 - 2007.

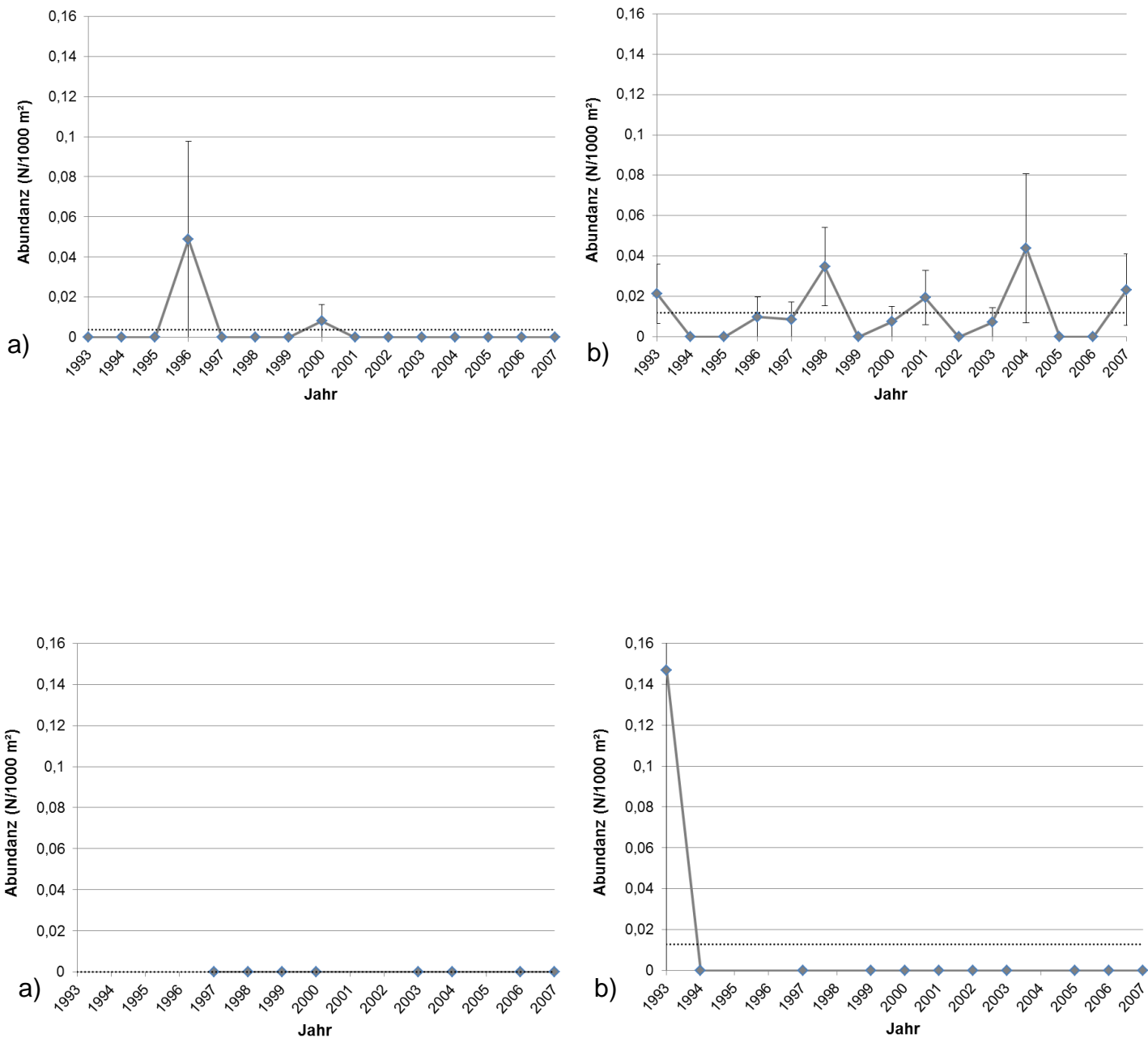


Abbildung 30: Mittlere Abundanz (N / 1000 m²) des Aals (*Anguilla anguilla*) über die Jahre 1993 - 2007. Oben: In den Wattflächen a) im Frühjahr und b) im Sommer. Unten: Im Bereich vor den Inseln (Seeseite) a) im Frühjahr und b) im Sommer. Fehlerbalken = SE. Das langfristige Mittel der Abundanz über die Jahre 1993 - 2007 ist als gestrichelte Linie dargestellt.

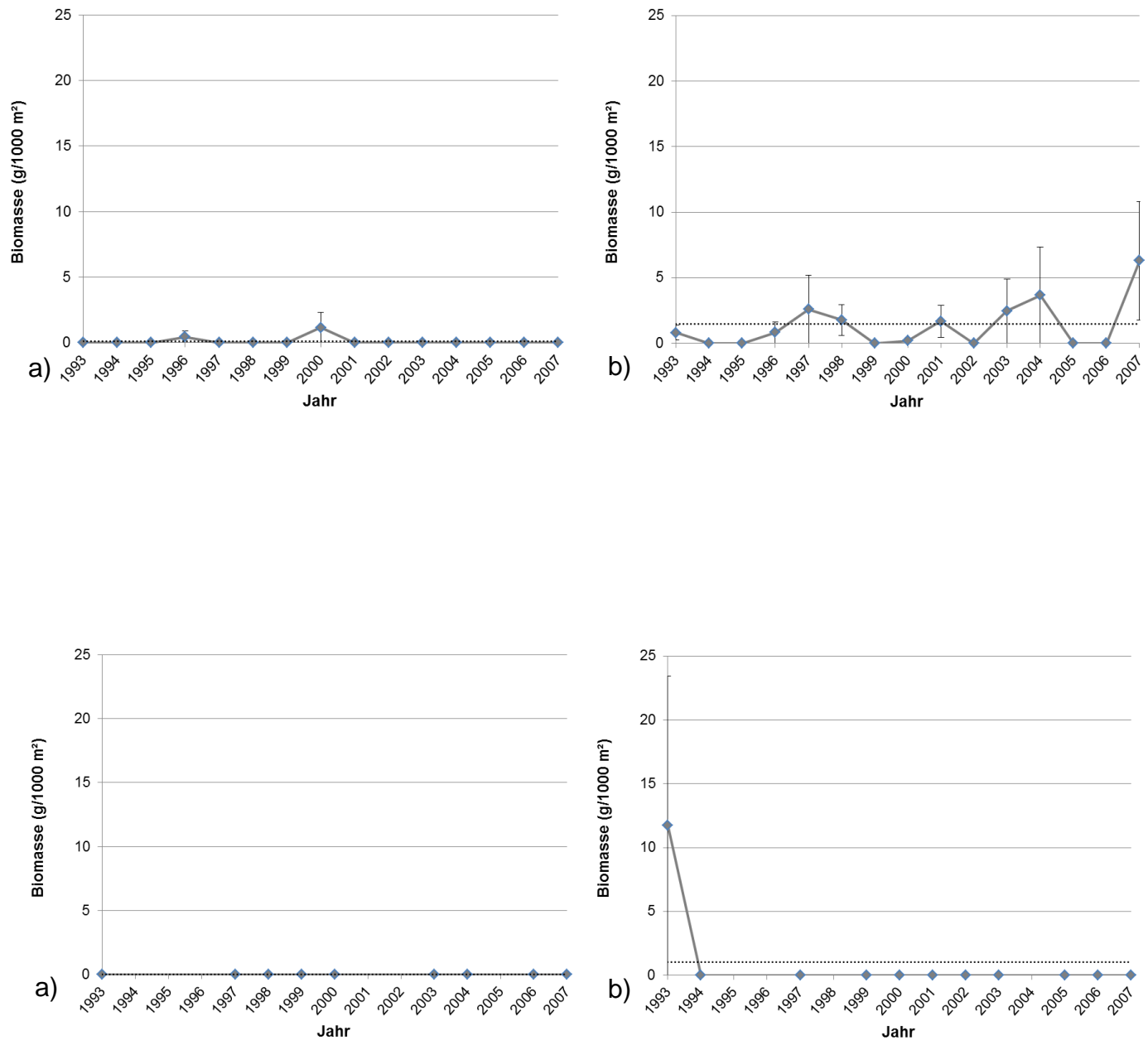


Abbildung 31: Mittlere Biomasse (g / 1000 m²) des Aals (*Anguilla anguilla*) über die Jahre 1993 - 2007. Oben: In den Wattflächen a) im Frühjahr und b) im Sommer. Unten: Im Bereich vor den Inseln (Seeseite) a) im Frühjahr und b) im Sommer. Fehlerbalken = SE. Das langfristige Mittel der Biomasse über die Jahre 1993 - 2007 ist als gestrichelte Linie dargestellt.

Aalmutter (*Zoarces viviparus*)

Die demersal lebende Aalmutter (*Z. viviparus*) ist vor allem in der arktischen-borealen Zone verbreitet und kommt in der Regel in Tiefen zwischen 0 - 40 m vor. Die südliche Nordsee stellt die südliche Verbreitungsgrenze dieser Art dar. Die Aalmutter war im Frühjahr der untersuchten Jahre mit einer Präsenz zwischen 11,11 % - 62,50 % und im Sommer mit einer Präsenz zwischen 15,00 - 85,00 % vertreten (Abb. 32 a und b). Im Durchschnitt war die Präsenz im Sommer über alle Jahre um knapp 14,30 % höher als im Frühjahr. Im Sommer des Jahres 1999 war die Präsenz der Aalmutter am höchsten, hier konnte sie an 85 % der untersuchten Stationen nachgewiesen werden.

Maximale Individuendichten von bis zu 6,46 / 1000 m² konnten im Sommer 1999 in den Wattflächen erreichen werden (Abb. 33 b oben). Die Aalmutter kam im Bereich vor den Inseln gar nicht vor. Alle Individuen wurden demnach in den Wattflächen vernommen. Hier schwankten die Individuenzahlen durchschnittlich zwischen 0,03 - 6,46 Individuen /1000 m² im Frühjahr und 0,06 - 1,12 Individuen / 1000 m² im Sommer der untersuchten Jahre 1993 - 2007.

Die mittlere Biomasse der Aalmutter betrug in den Wattflächen im Frühjahr 3,94 g / 1000 m² und im Sommer 11,12 g / 1000 m² (Abb. 34 a und b oben). Die höchste Biomasse konnte im Sommer des Jahres 1999 verzeichnet werden. Hier betrug die durchschnittliche Biomasse 56,25 g / 1000 m².

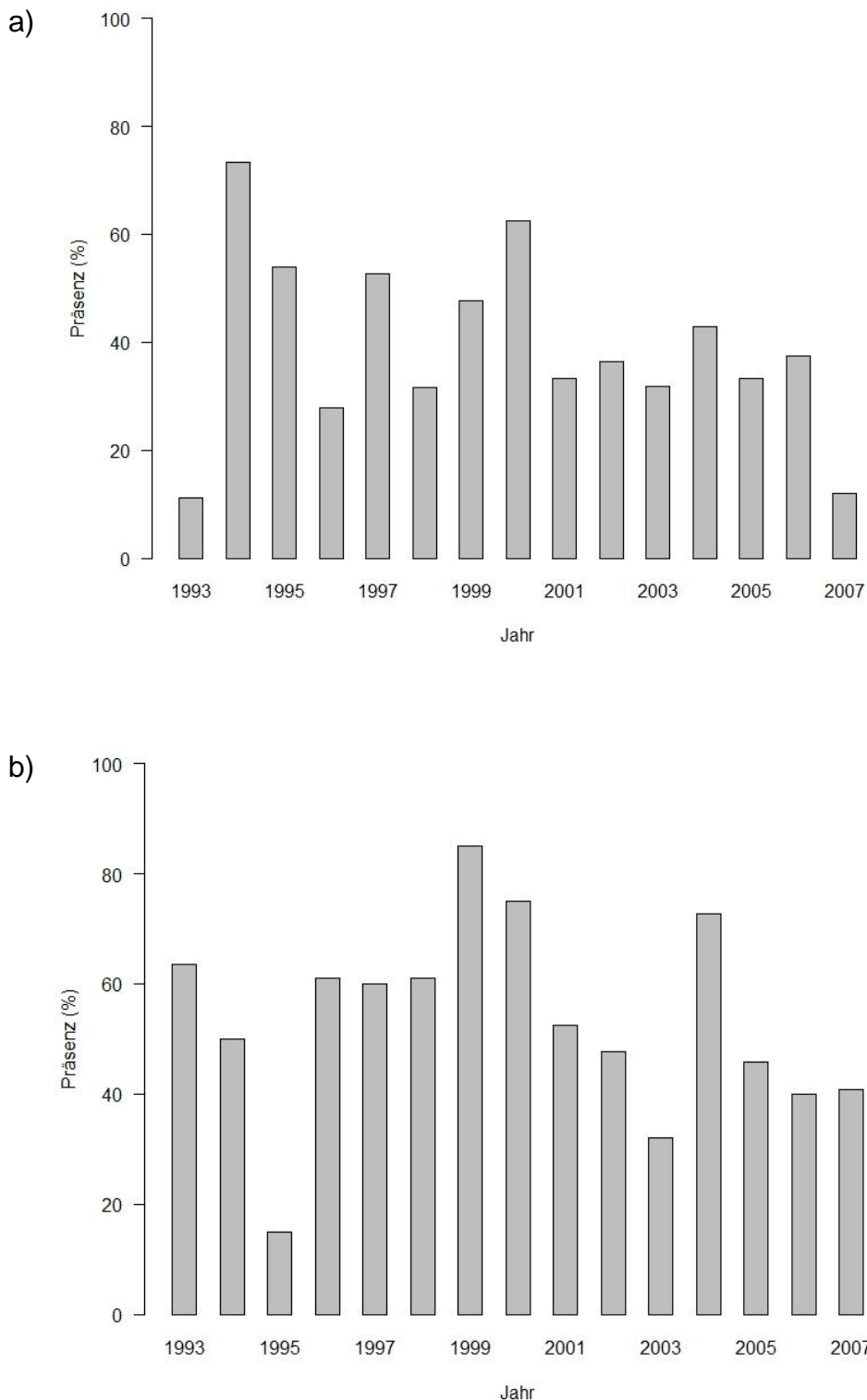


Abbildung 32: Präsenz (%) der Aalmutter (*Zoarces viviparus*) im a) Frühjahr und b) Sommer der Jahre 1993 - 2007.

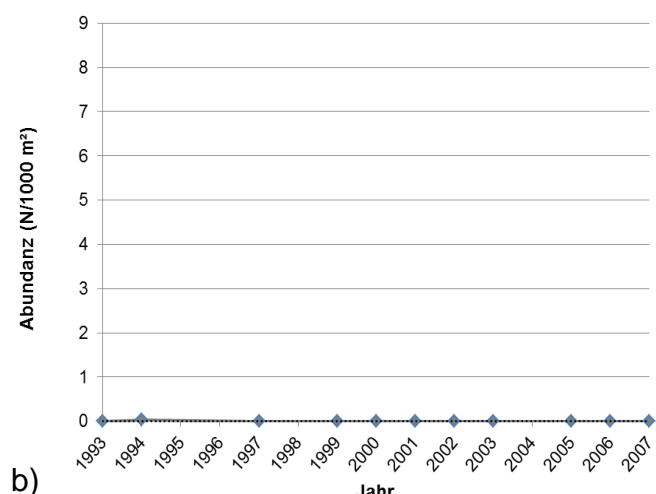
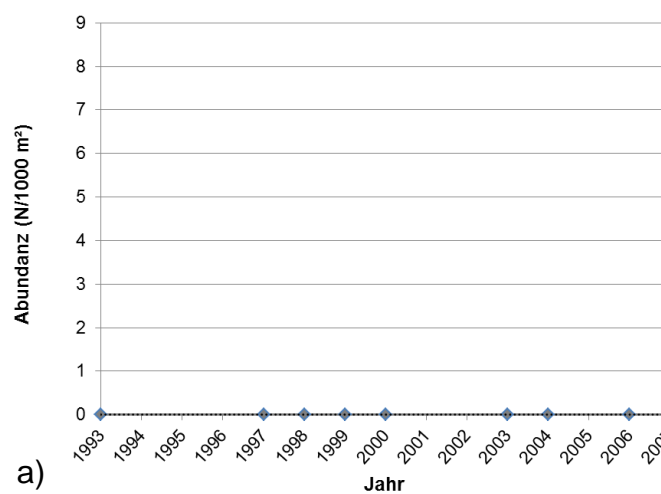
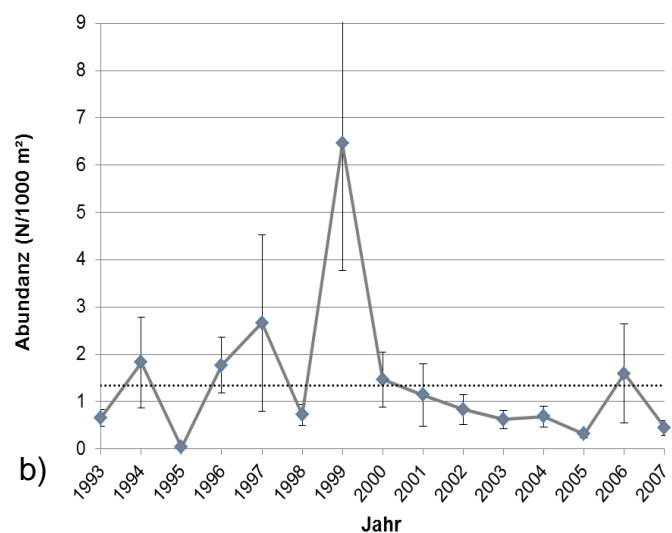
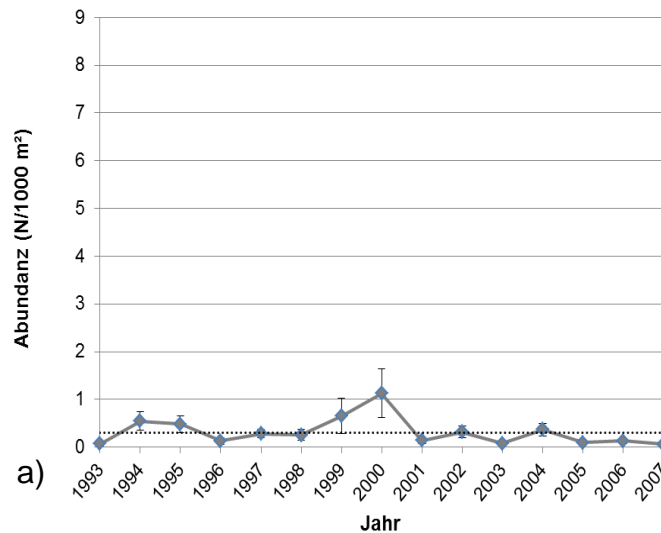


Abbildung 33: Mittlere Abundanz (N / 1000 m²) der Aalmutter (*Zoarces viviparus*) über die Jahre 1993 - 2007. Oben: In den Wattflächen a) im Frühjahr und b) im Sommer. Unten: Im Bereich vor den Inseln (Seeseite) a) im Frühjahr und b) im Sommer. Fehlerbalken = SE. Das langfristige Mittel der Abundanz über die Jahre 1993 - 2007 ist als gestrichelte Linie dargestellt.

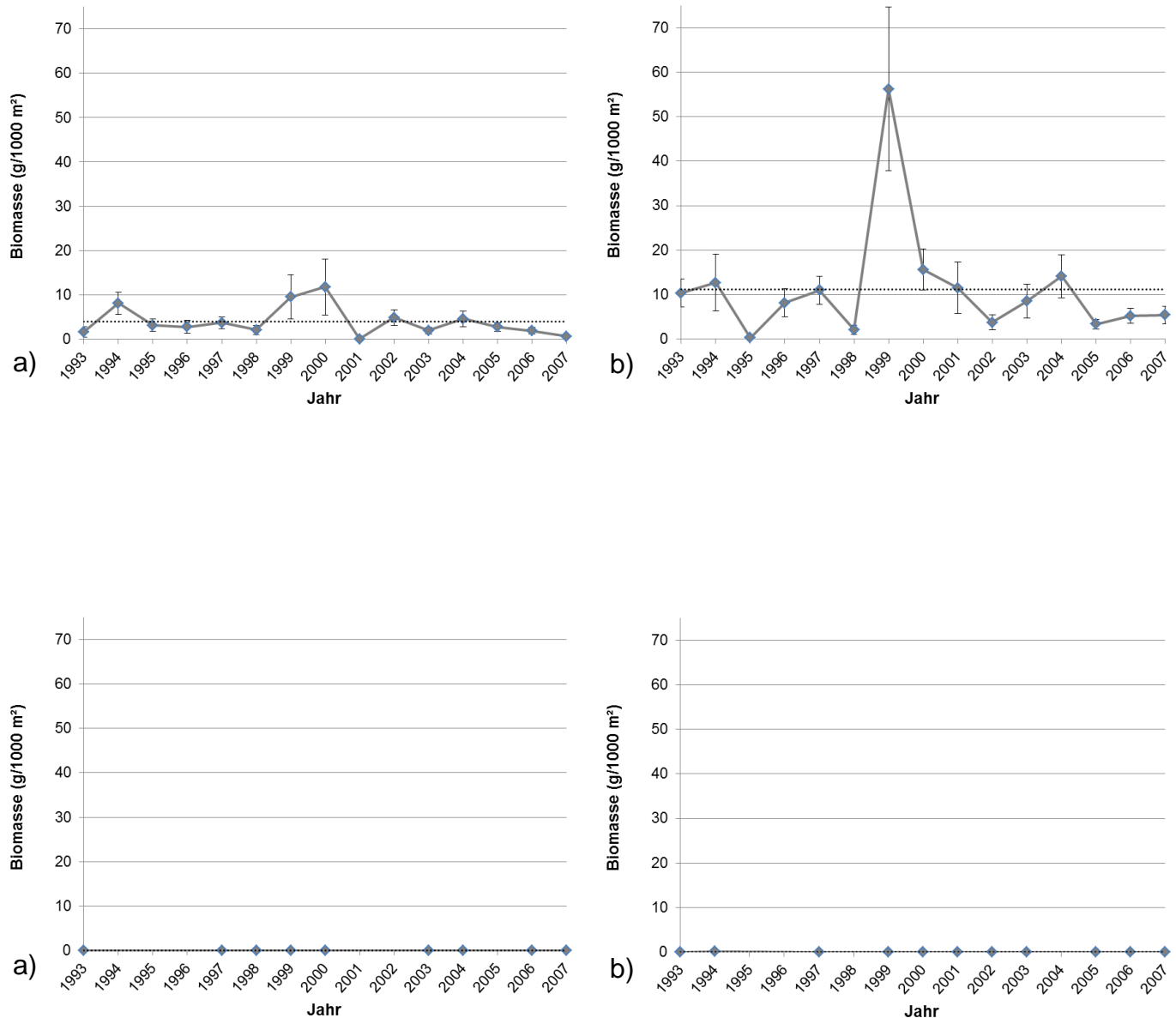


Abbildung 34: Mittlere Biomasse (g / 1000 m²) der Aalmutter (*Zoarces viviparus*) über die Jahre 1993 - 2007. Oben: In den Wattflächen a) im Frühjahr und b) im Sommer. Unten: Im Bereich vor den Inseln (Seeseite) a) im Frühjahr und b) im Sommer. Fehlerbalken = SE. Das langfristige Mittel der Biomasse über die Jahre 1993 - 2007 ist als gestrichelte Linie dargestellt.

Kliesche (*Limanda limanda*)

Die Kliesche (*L. limanda*) zeigte nur geringe Unterschiede in der Präsenz zwischen den Jahreszeiten. Dennoch konnte diese Art im Frühjahr in weniger Jahren nachgewiesen werden als im Sommer (Abb. 35 a und b). Im Frühjahr war die Kliesche an insgesamt neun von 15 Jahren vertreten, während sie im Sommer in 13 der 15 untersuchten Jahre nachgewiesen werden konnte. Im gesamten Mittel über die Jahre war die Kliesche im Sommer (13,14 %) geringfügig häufiger nachzuweisen als im Frühjahr (9,25 %).

Insgesamt zeigte die Kliesche in dem Bereich vor den Inseln eine höhere Individuendichte als in den Wattflächen; sowohl im Frühjahr als auch im Sommer (Abb. 36). Im gesamten Mittel über die Jahre kam die Kliesche im Frühjahr in den Wattflächen mit einer Abundanz von 0,022 Individuen / 1000 m² und im Sommer mit 0,23 Individuen / 1000 m² vor. Im Bereich vor den Inseln konnte ein langfristiges Mittel von 3,12 Individuen / 1000 m² im Frühjahr und 0,74 Individuen / 1000 m² im Sommer ermittelt werden. Dennoch ist die relativ hohe Abundanz auf der Seeseite im Frühjahr vor allem auf die hohe Individuendichte von ca. 15 Individuen / 1000 m² im Jahr 1993 zurückzuführen. Hier konnte eine maximale Individuendichte von 30 Individuen / 1000 m² an der Station Nr. 2 erfasst werden.

Während in dem gesamten Untersuchungszeitraum keine deutlichen Schwankungen in der Biomasse der Kliesche erfasst werden konnten, so war das Jahr 1993 (Seeseite im Frühjahr) eine Ausnahme. Hier ist mit deutlichem Abstand die höchste Biomasse ermittelt worden (Abb. 37 a unten). Im Mittel wurde in diesem Jahr eine Biomasse 813,62 g / 1000 m² erfasst. Zu berücksichtigen ist dennoch, dass für das Jahr 1993 im Bereich vor den Inseln lediglich zwei Stationen zur Datenauswertung zur Verfügung standen. Hier wurde an der Station Nr. 1 kein Individuum erfasst, womit die Biomasse gleich null ist und an der Station Nr. 2 konnte eine außergewöhnlich hohe Biomasse von 1627,25 g / 1000 m² ermittelt werden.

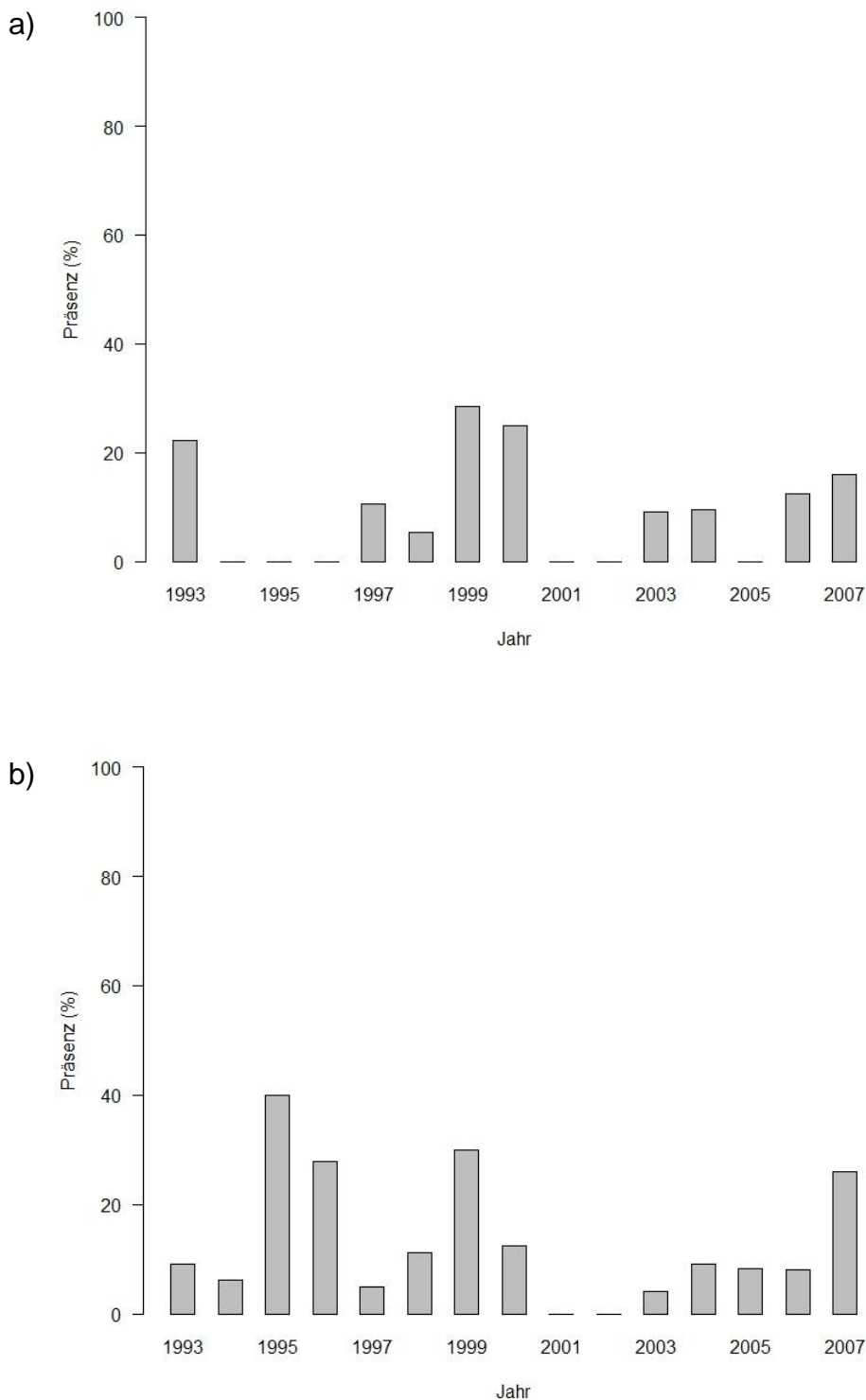


Abbildung 35: Präsenz (%) der Kliesche (*Limanda limanda*) im a) Frühjahr und b) Sommer der Jahre 1993 - 2007.

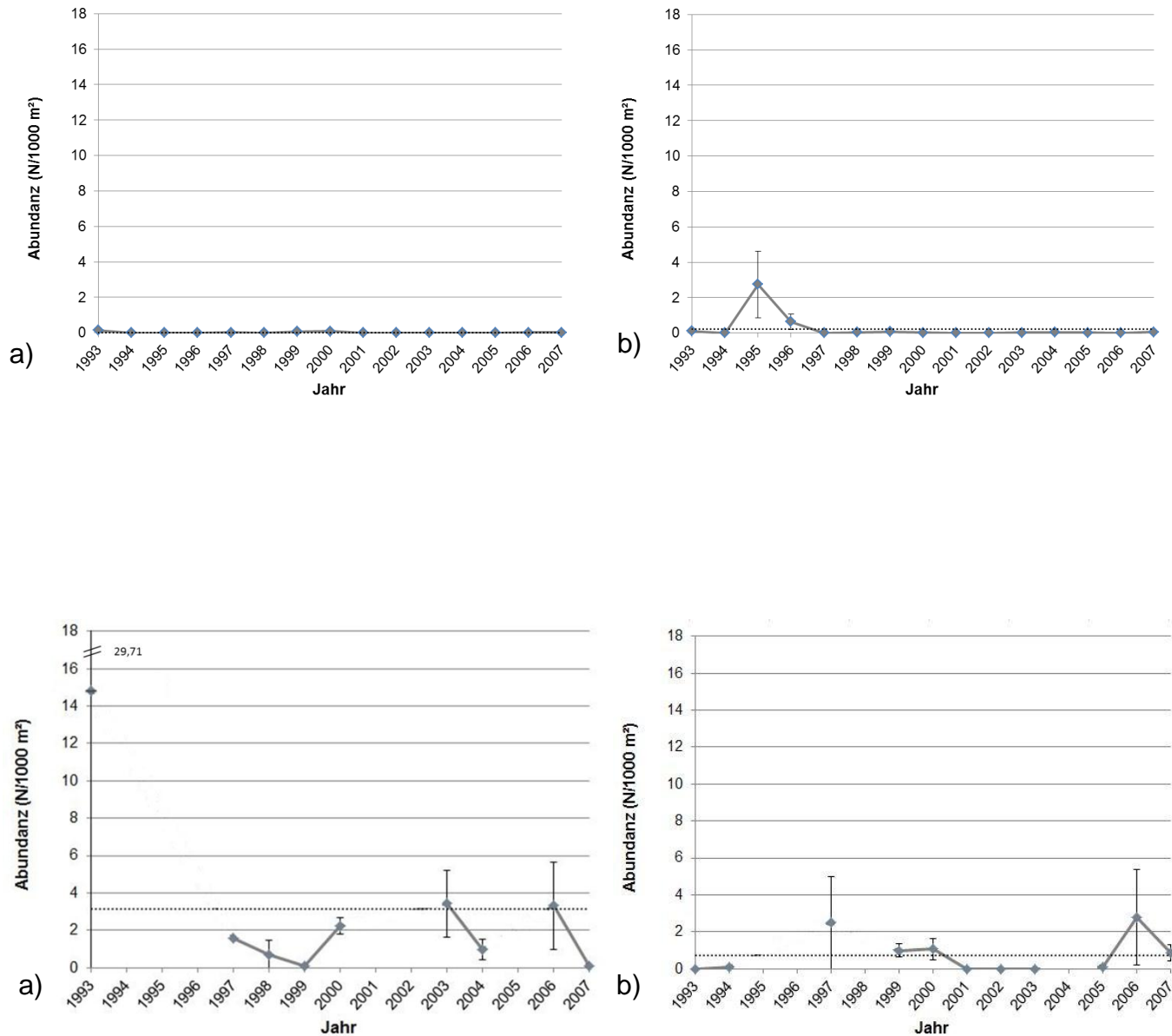


Abbildung 36: Mittlere Abundanz (N / 1000 m²) der Kliesche (*Limanda limanda*) über die Jahre 1993 - 2007. Oben: In den Wattflächen a) im Frühjahr und b) im Sommer. Unten: Im Bereich vor den Inseln (Seeseite) a) im Frühjahr und b) im Sommer. Fehlerbalken = SE. Das langfristige Mittel der Abundanz über die Jahre 1993 - 2007 ist als gestrichelte Linie dargestellt.

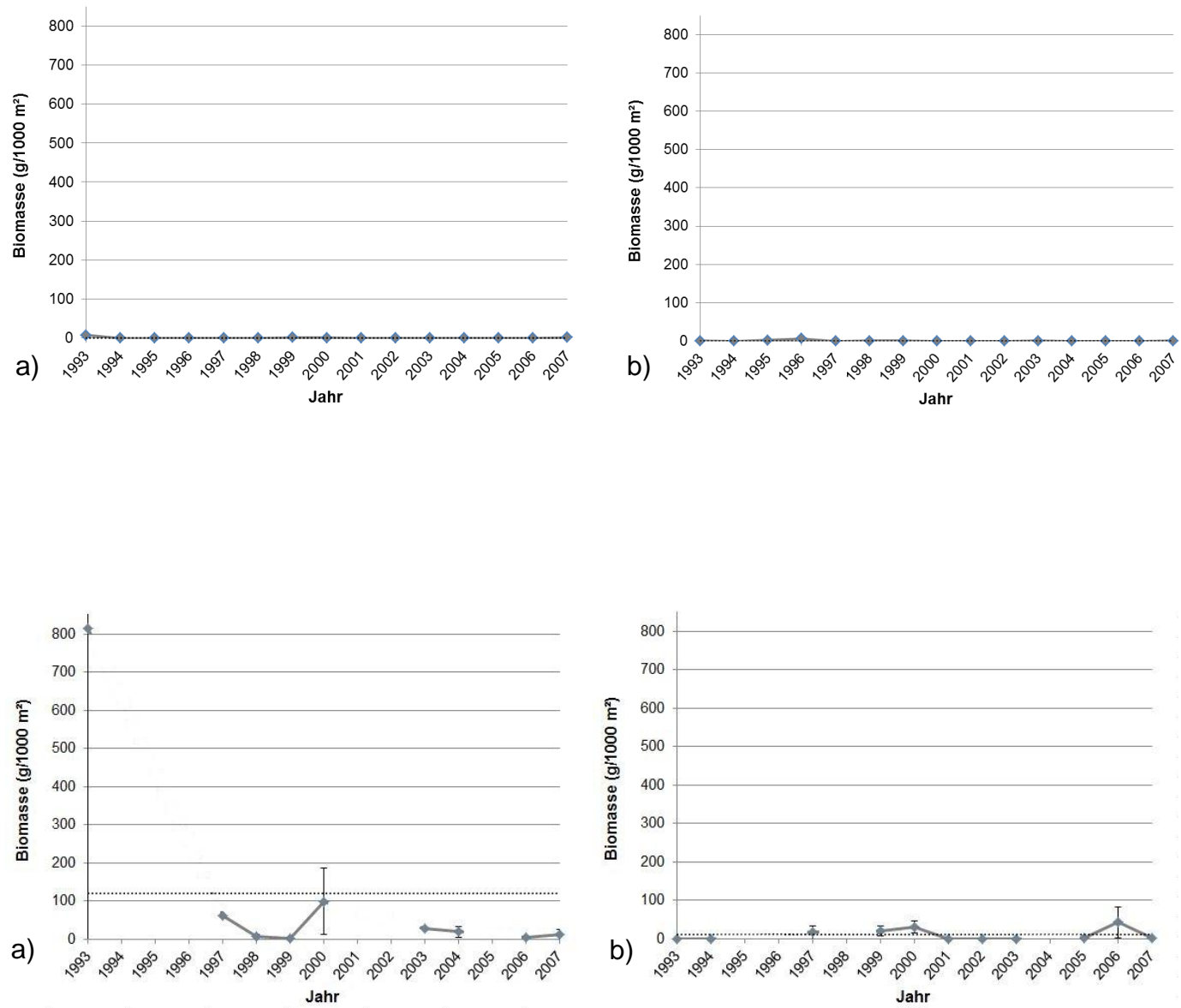


Abbildung 37: Mittlere Biomasse (g / 1000 m²) der Kliesche (*Limanda limanda*) über die Jahre 1993 - 2007. Oben: In den Wattflächen a) im Frühjahr und b) im Sommer. Unten: Im Bereich vor den Inseln (Seeseite) a) im Frühjahr und b) im Sommer. Fehlerbalken = SE. Das langfristige Mittel der Biomasse über die Jahre 1993 - 2007 ist als gestrichelte Linie dargestellt.

Kabeljau (*Gadus morhua*)

Der Kabeljau (*G. morhua*) war über die untersuchten Jahre von 1993 - 2007 im Frühjahr mit einer Präsenz von 0 % (Jahre 1993 und 1996) bis zu 93,33 % im Jahr 1994 vertreten (Abb. 38 a und b). Im Sommer war der Kabeljau durchschnittlich an weniger Untersuchungsjahren anzutreffen. In den Sommermonaten der Jahre 1993, 1994, 1997, 1999, 2002 und 2005 konnte dieser nicht nachgewiesen werden. In allen anderen Jahren schwankte die Präsenz zwischen 4 % (Jahr 2006) und 77,77 % (Jahr 1996 und 1998).

Der Kabeljau zeigte insgesamt eine höhere Individuendichte im Watt als in dem Bereich vor den Inseln (Abb. 39), wobei auch hier zu berücksichtigen ist, dass die Anzahl der befischten Stationen auf der Seeseite deutlich geringer war als im Watt. Auf der Seeseite konnte er im Frühjahr lediglich im Jahr 1997 mit einer Abundanz von durchschnittlich ca. 2 Individuen / 1000 m² erfasst werden. Auch im Sommer konnte der Kabeljau auf der Seeseite ausschließlich in drei Jahren nachgewiesen werden. Mit Individuendichten von 0,18 (Jahr 2001), 1,48 (Jahr 2000) und 0,07 Individuen (Jahr 2007) auf einer Fläche von 1000 m², war er aber auch hier nur spärlich vertreten.

Die Biomasse des Kabeljaus betrug im Frühjahr 1997 im Bereich vor den Inseln durchschnittlich 76,25 g / 1000 m² (Abb. 40 a unten). Im Sommer schwankte die Biomasse auf der Seeseite zwischen 0 - 14,83 g pro 1000 m², während das gesamte Mittel über die Jahre hier 1,50 g / 1000 m² betrug. In den Wattflächen war die mittlere Biomasse über die Jahre für die jeweiligen Jahreszeiten höher als im Bereich vor den Inseln. Im Frühjahr schwankte die Biomasse hier zwischen 0 g / 1000 m² (Jahr 1993 und 1996) und 37,57 g / 1000 m² (Jahr 1995) sowie im Sommer zwischen 0 g / 1000 m² und 6,91 g / 1000 m².

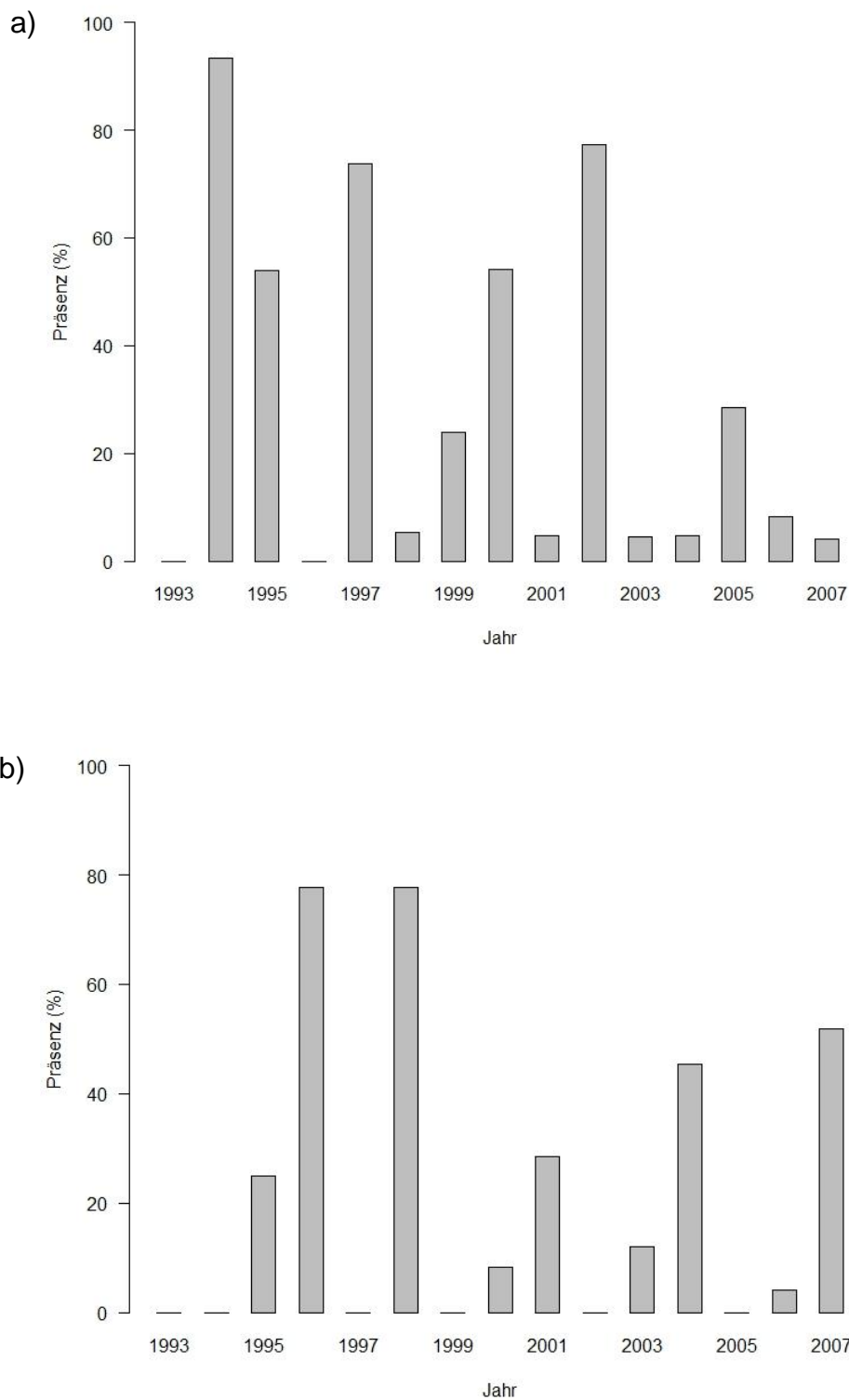


Abbildung 38: Präsenz (%) des Kabeljaus (*Gadus morhua*) im a) Frühjahr und b) Sommer der Jahre 1993 - 2007.

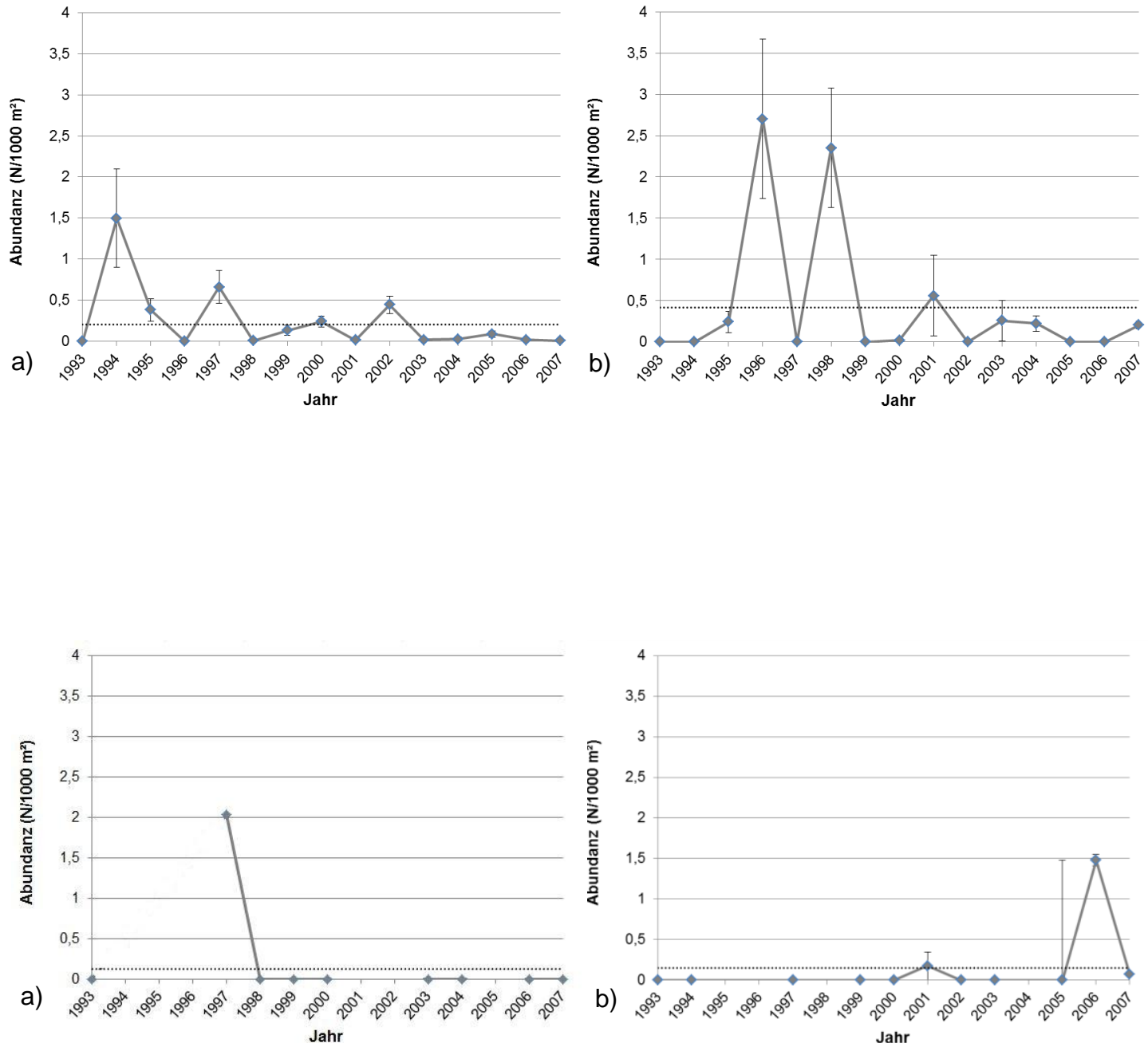


Abbildung 39: Mittlere Abundanz (N / 1000 m²) des Kabeljaus (*Gadus morhua*) über die Jahre 1993 - 2007. Oben: In den Wattflächen a) im Frühjahr und b) im Sommer. Unten: Im Bereich vor den Inseln (Seeseite) a) im Frühjahr und b) im Sommer. Fehlerbalken = SE. Das langfristige Mittel der Abundanz über die Jahre 1993 - 2007 ist als gestrichelte Linie dargestellt.

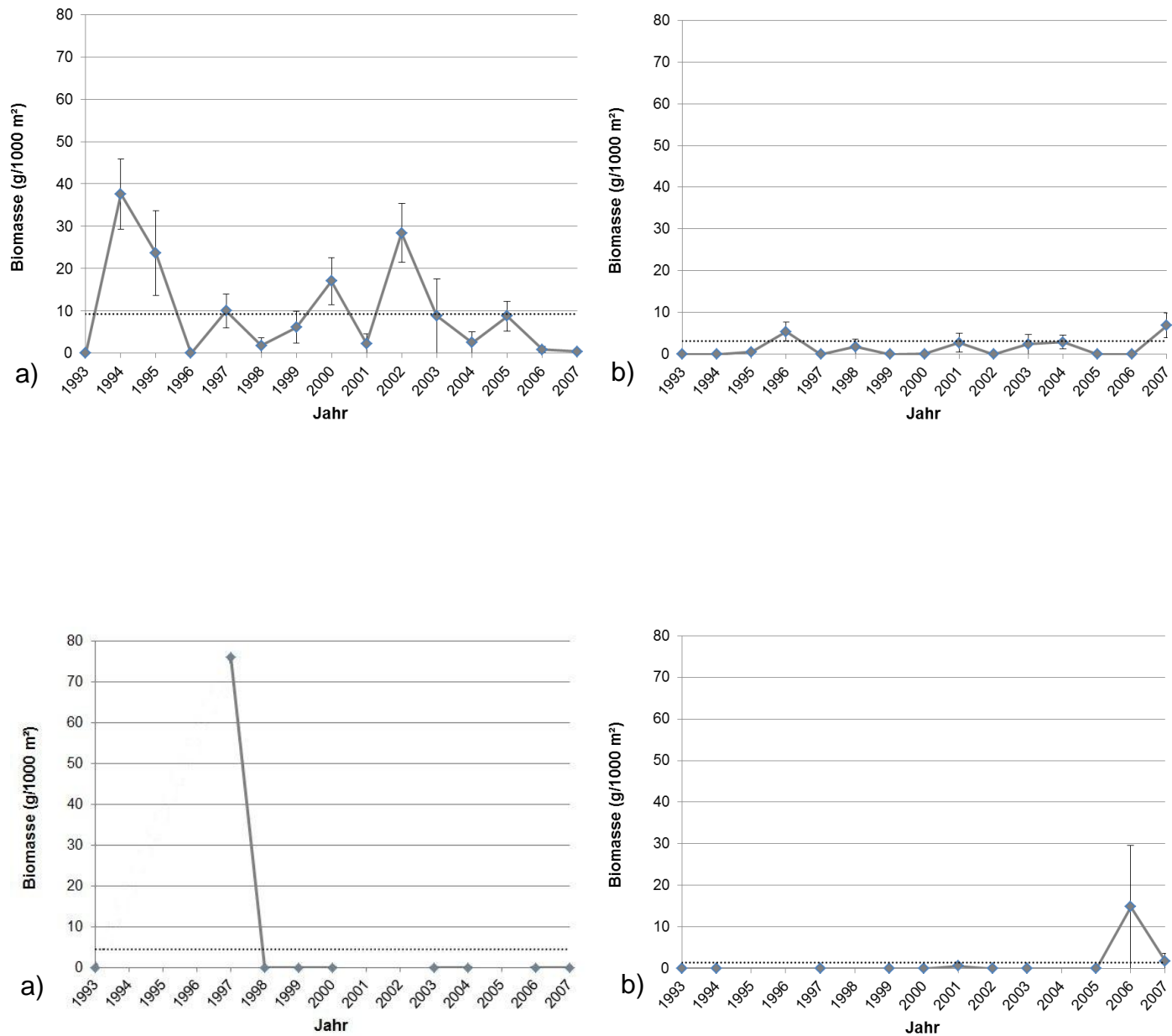


Abbildung 40: Mittlere Biomasse (g / 1000 m²) des Kabeljaus (*Gadus morhua*) über die Jahre 1993 - 2007. Oben: In den Wattflächen a) im Frühjahr und b) im Sommer. Unten: Im Bereich vor den Inseln (Seeseite) a) im Frühjahr und b) im Sommer. Fehlerbalken = SE. Das langfristige Mittel der Biomasse über die Jahre 1993 - 2007 ist als gestrichelte Linie dargestellt.

Scholle (*Pleuronectes platessa*)

Eine der dominierenden und charakteristischen Arten der südlichen Deutschen Bucht ist die Scholle (*P. platessa*); sowohl in den Wattflächen als auch auf der Seeseite. Im Gegensatz zu den meisten Arten, kam sie nicht nur im Sommer sondern auch im Frühjahr häufig vor, wenn auch die Präsenz im Sommer nochmal deutlich höher war (Abb. 41 a und b). Im Sommer konnte die Scholle in 10 von 15 untersuchten Jahren und im Frühjahr in drei von 15 Jahren eine Präsenz von 100 % vorweisen. Die geringste Präsenz zeigte die Scholle im Frühjahr 2003, wo sie lediglich an 36,36 % der untersuchten Stationen nachgewiesen werden konnte.

Im Bereich der Wattflächen zeigte die Scholle vor allem im Sommer des Jahres 1996 eine auffällig hohe Individuendichte (überwiegend Juvenile ≤ 5 cm) mit durchschnittlich über 854 Individuen / 1000 m² (Abb. 42 b oben). Demnach war die Individuendichte im Frühjahr 1997 ebenso höher als in den anderen Jahren im Frühjahr. Auf der Seeseite schwankte die Abundanz der Scholle im Frühjahr zwischen 0,06 Individuen (Jahr 2003) und 117 Individuen (Jahr 1997) pro 1000 m². Das langfristige Mittel über alle Jahre betrug hier 11,15 Individuen / 1000 m². Dieses war im Bereich vor den Inseln im Sommer schon deutlich höher. Hier wurde ein langfristiges Mittel von 106,37 Individuen / 1000 m² ermittelt (Abb. 42 b unten). Im Sommer waren im Durchschnitt zwischen 2,46 Individuen (Jahr 2005) und 411,31 Individuen (Jahr 2001) auf einer Fläche von 1000 m² vertreten.

Die Biomasse der Scholle erreichte ihr Maximum ebenso im Sommer des Jahres 1996 und im Sommer des Jahres 1997 (Abb. 43). Im Sommer des Jahres 1996 konnte eine Biomasse von durchschnittlich 1429,07 g / 1000 m² erreicht werden. An einer Station aus dem Jahr 1996 konnte sogar eine totale Biomasse von 8333,17 g / 1000 m² ermittelt werden. Im Frühjahr 1997 betrug die durchschnittliche Biomasse etwa 2661,79 g / 1000 m². Die größte totale Biomasse innerhalb des Jahres 1997 belief sich hier auf 5190,28 g / 1000 m² an der Station Nr. 2.

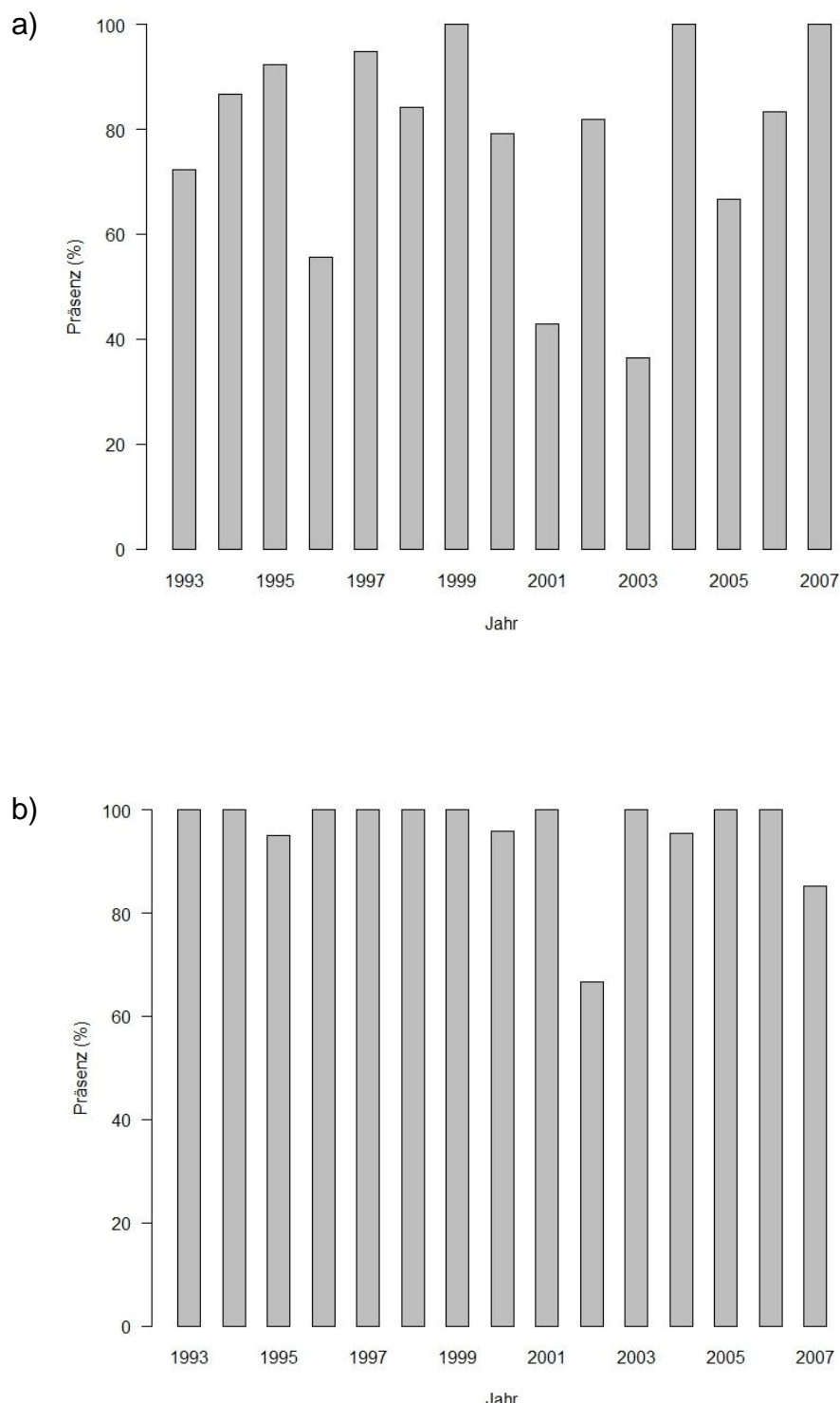


Abbildung 41: Präsenz (%) der Scholle (*Pleuronectes platessa*) im a) Frühjahr und b) Sommer der Jahre 1993 - 2007.

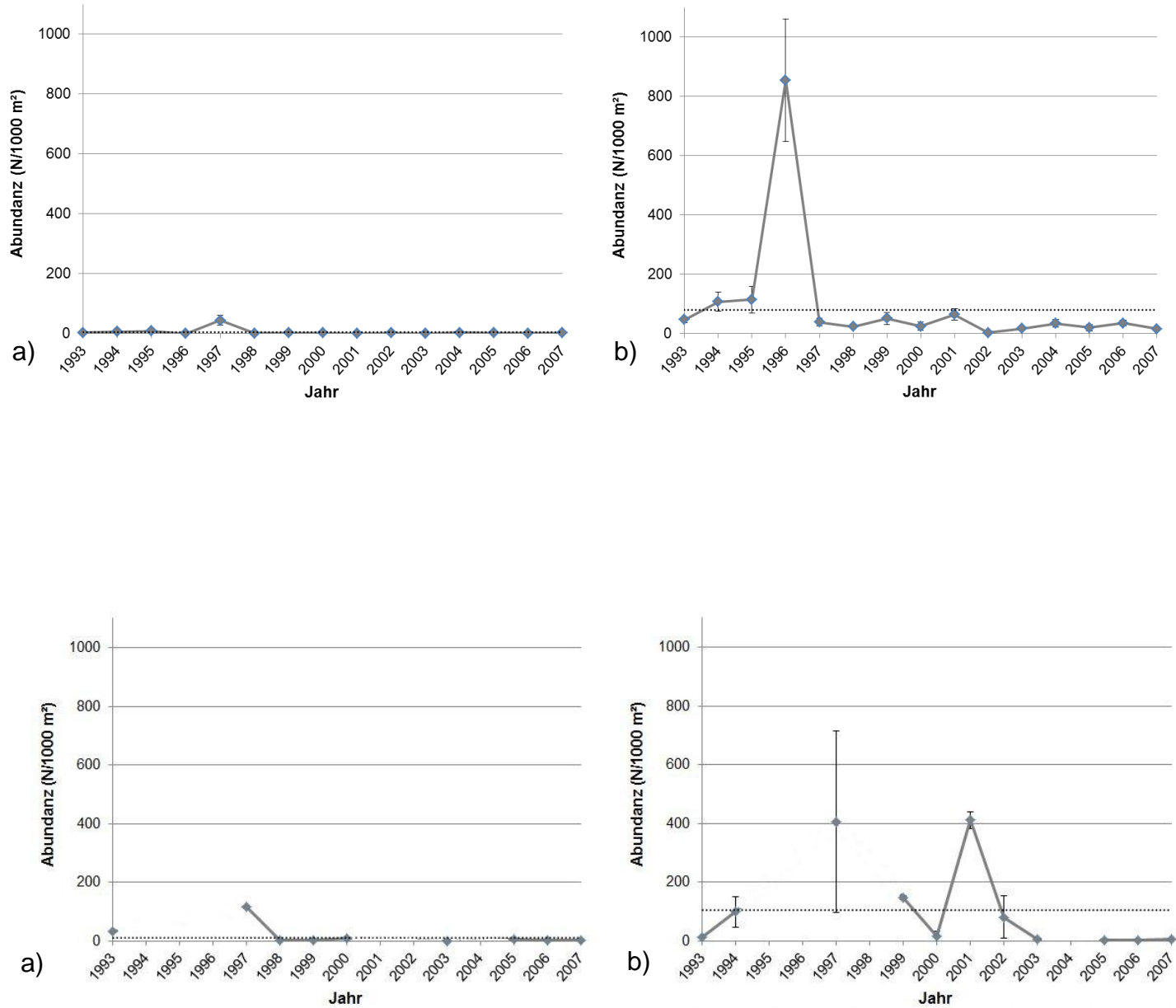


Abbildung 42: Mittlere Abundanz (N / 1000 m²) der Scholle (*Pleuronectes platessa*) über die Jahre 1993 - 2007. Oben: In den Wattflächen a) im Frühjahr und b) im Sommer. Unten: Im Bereich vor den Inseln (Seeseite) a) im Frühjahr und b) im Sommer. Fehlerbalken = SE. Das langfristige Mittel der Abundanz über die Jahre 1993 - 2007 ist als gestrichelte Linie dargestellt.

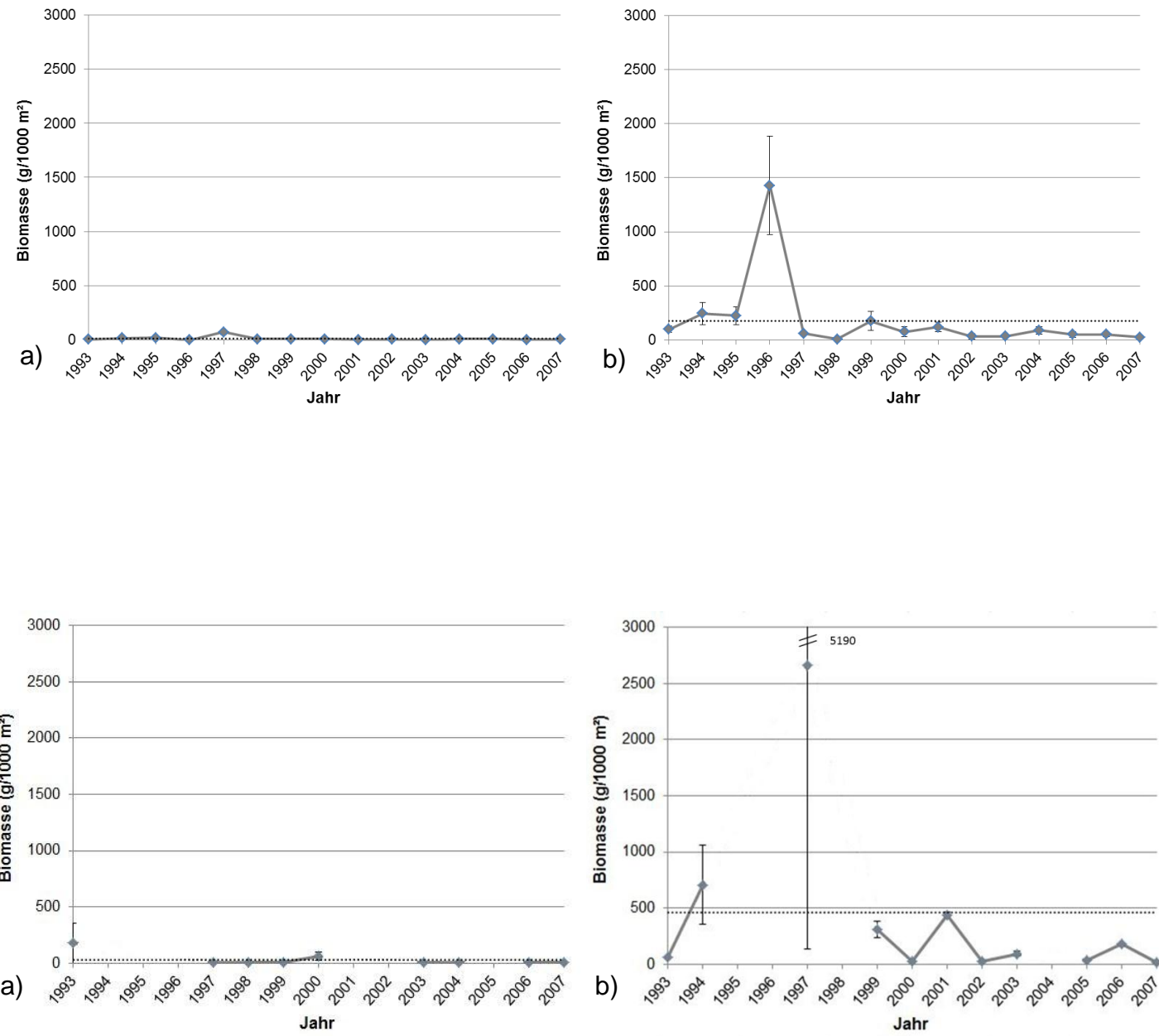


Abbildung 43: Mittlere Biomasse (g / 1000 m²) der Scholle (*Pleuronectes platessa*) über die Jahre 1993 - 2007. Oben: In den Wattflächen a) im Frühjahr und b) im Sommer. Unten: Im Bereich vor den Inseln (Seeseite) a) im Frühjahr und b) im Sommer. Fehlerbalken = SE. Das langfristige Mittel der Biomasse über die Jahre 1993 - 2007 ist als gestrichelte Linie dargestellt.

Seezunge (*Solea solea*)

Die Seezunge (*S. solea*) hat ihr hauptsächliches Verbreitungsgebiet im östlichen Atlantik sowie im Mittelmeer. In der südlichen Deutschen Bucht zeigte sie eine Präsenz zwischen 0 - 47,37 % im Frühjahr und 22,22 - 94,44 % im Sommer der Untersuchungsjahre 1993 - 2007 (Abb. 44). Am häufigsten war die Seezunge im Sommer des Jahres 1998 vertreten; hier konnte sie an 94,44 % der untersuchten Stationen nachgewiesen werden.

Die Individuendichte der Seezunge war insgesamt im Sommer höher als im Frühjahr eines jeden Jahres. Im gesamten Mittel belief sich die Abundanz im Sommer im Bereich vor den Inseln auf 0,51 Individuen und in den Wattflächen auf 0,95 Individuen pro 1000 m². Mit durchschnittlich 3 - 4 Individuen / 1000 m² kam die Seezunge am häufigsten im Sommer der Jahre 2002 und 2007 vor (Abb. 45).

Im Frühjahr der Wattflächen konnte im Jahr 1993 die höchste Biomasse von 39,93 g / 1000 m² ermittelt werden (Abb. 46 a oben). In den darauffolgenden Jahren erreichte sie hier mit Ausnahme des Jahres 2000 (3,21 g / 1000 m²) keine Biomasse > 1 g / 1000 m². Dennoch lag das gesamte Mittel über die Jahre hier bei 2,79 g / 1000 m² aufgrund der relativ hohen Biomasse in dem Jahr 1993. Auf der Seeseite schwankte die Biomasse der Seezunge im Frühjahr zwischen 0 - 11,70 g / 1000 m² und im Sommer zwischen 0 - 43,72 g / 1000 m². Die Biomasse von 43,72 g / 1000 m² im Sommer des Jahres 2007 war unter allen Jahren die höchste Biomasse die insgesamt erfasst werden konnte.

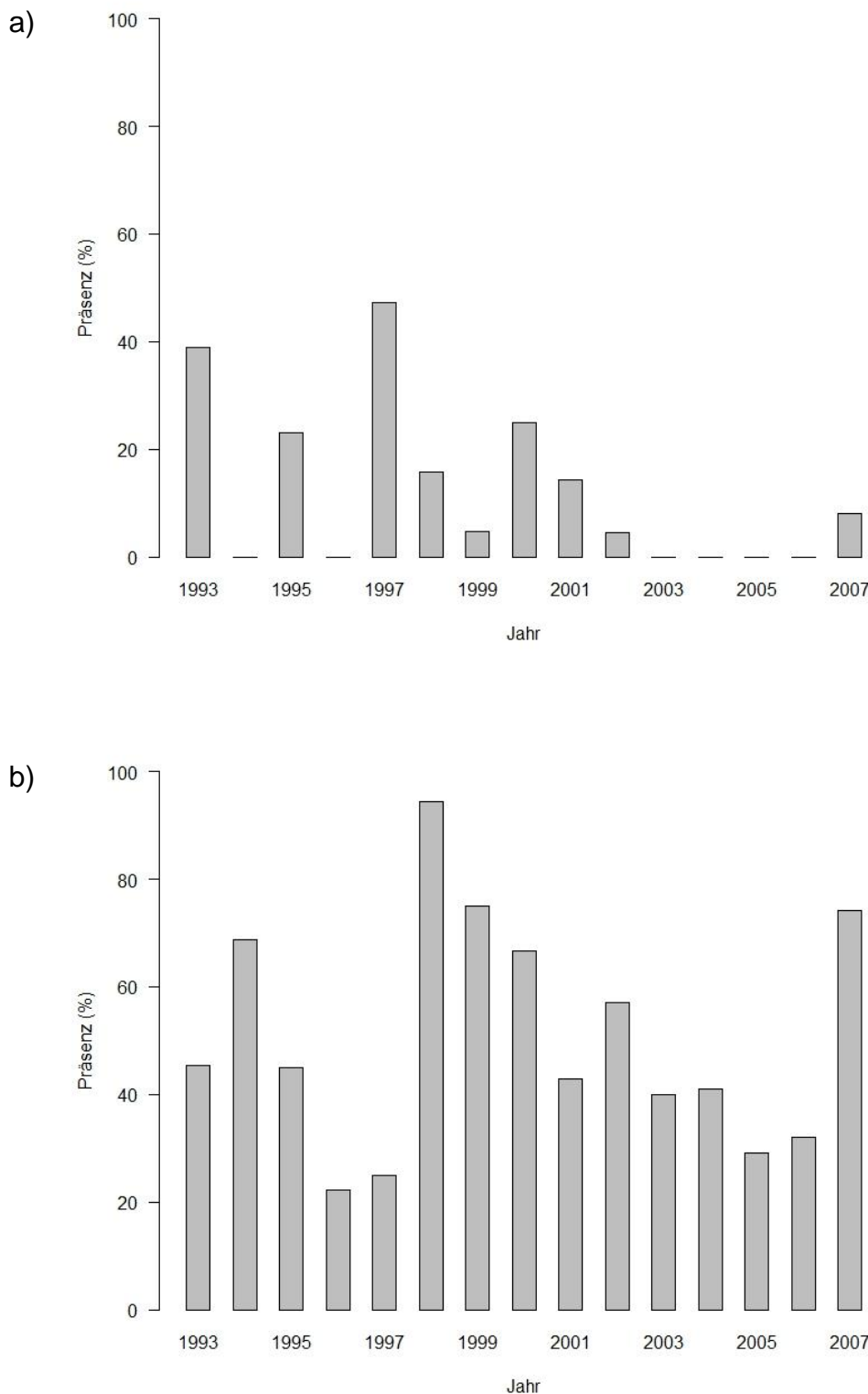


Abbildung 44: Präsenz (%) der Seezunge (*Solea solea*) im a) Frühjahr und b) Sommer der Jahre 1993 - 2007.

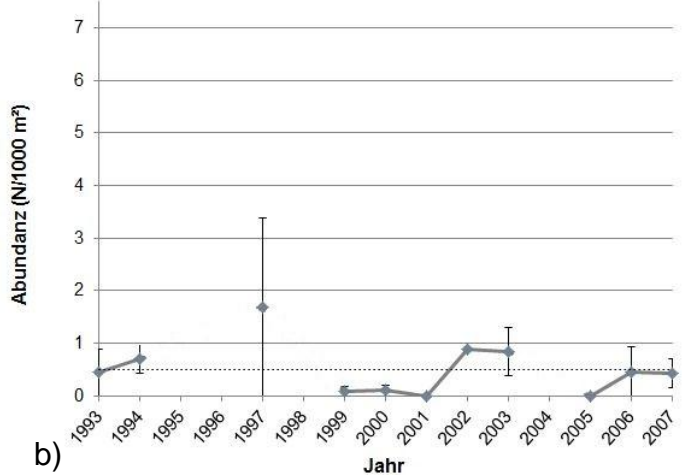
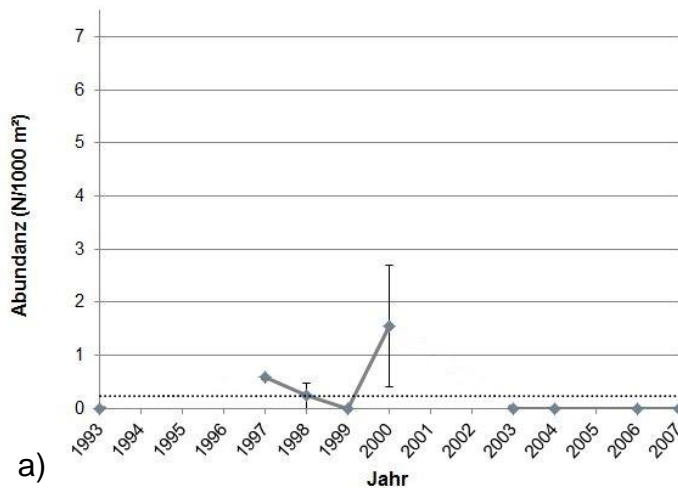
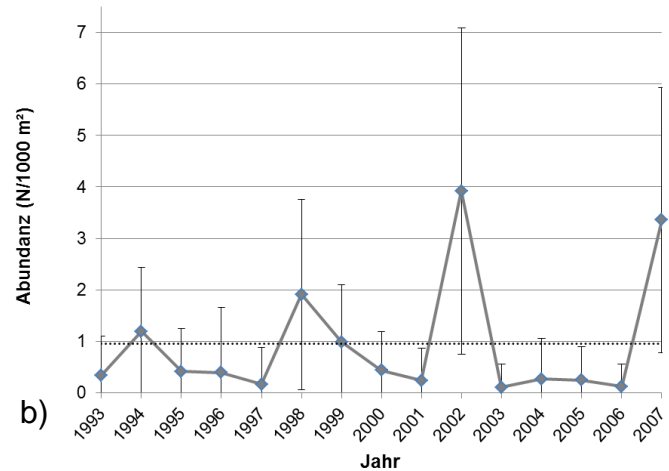
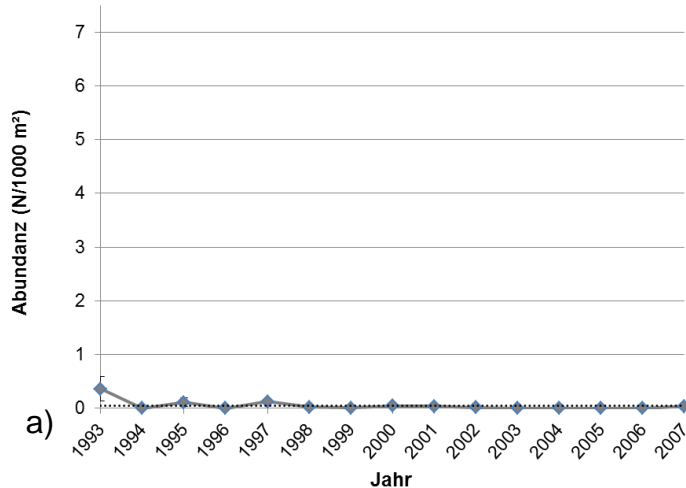


Abbildung 45: Mittlere Abundanz (N / 1000 m²) der Seezunge (*Solea solea*) über die Jahre 1993 - 2007. Oben: In den Wattflächen a) im Frühjahr und b) im Sommer. Unten: Im Bereich vor den Inseln (Seeseite) a) im Frühjahr und b) im Sommer. Fehlerbalken = SE. Das langfristige Mittel der Abundanz über die Jahre 1993 - 2007 ist als gestrichelte Linie dargestellt.

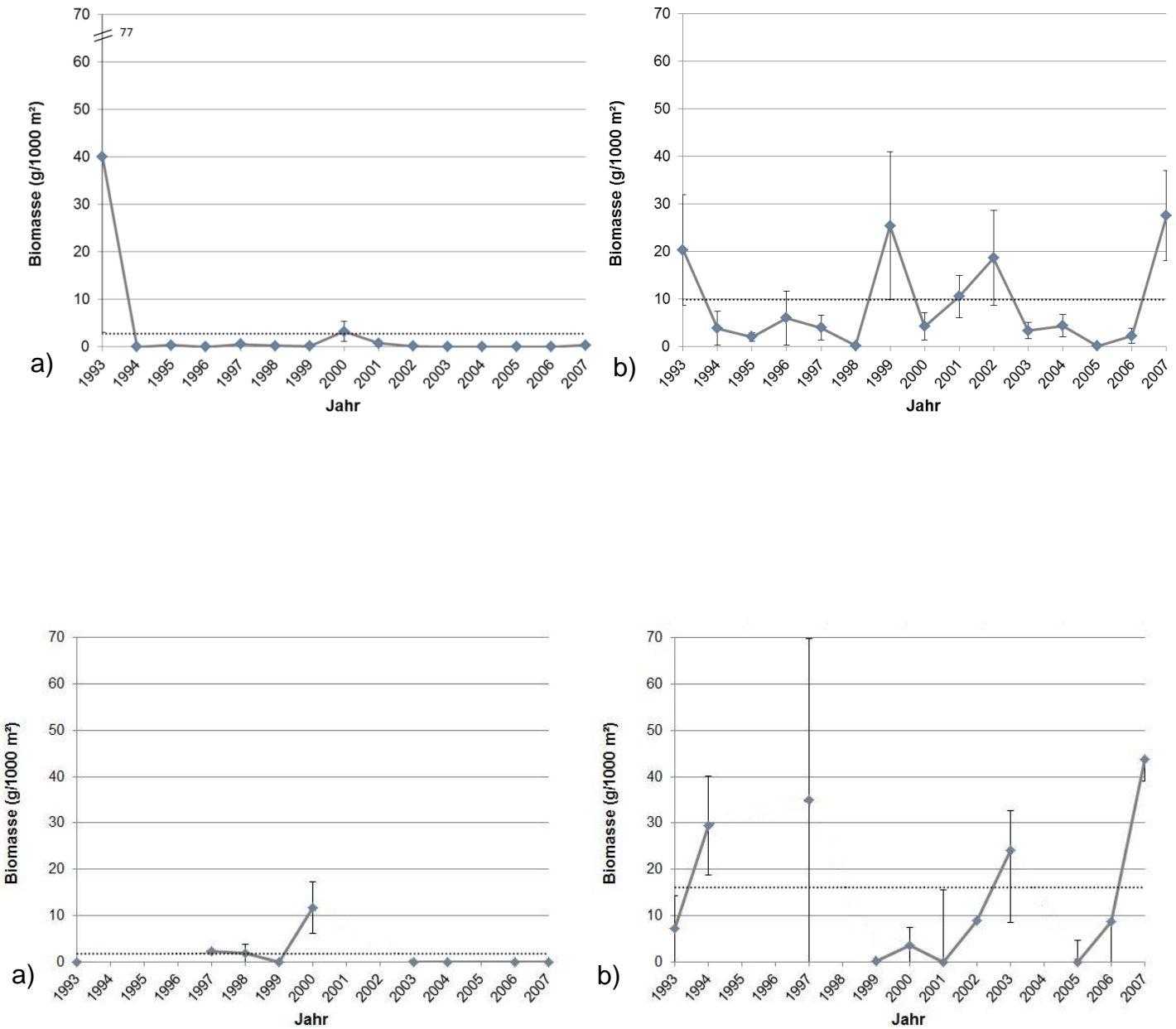


Abbildung 46: Mittlere Biomasse (g / 1000 m²) der Seezunge (*Solea solea*) über die Jahre 1993 - 2007. Oben: In den Wattflächen a) im Frühjahr und b) im Sommer. Unten: Im Bereich vor den Inseln (Seeseite) a) im Frühjahr und b) im Sommer. Fehlerbalken = SE. Das langfristige Mittel der Biomasse über die Jahre 1993 - 2007 ist als gestrichelte Linie dargestellt.

Steinbutt (*Scophthalmus maximus*)

Der Steinbutt (*S. maximus*) kam im Frühjahr über den gesamten Untersuchungszeitraum von 15 Jahren nur selten vor (Abb. 47). Er konnte im Frühjahr ausschließlich im Jahr 2000 mit einer Präsenz von 4,17 % nachgewiesen werden. Im Sommer war er deutlich häufiger anzutreffen. Hier konnte er in neun von 15 Jahren nachgewiesen werden. Die Präsenz schwankte zwischen 0 - 20 %.

Während er im Frühjahr im Bereich vor den Inseln überhaupt nicht erfasst werden konnte (Abb. 48 a unten), konnte er im Frühjahr 2000 im Watt mit durchschnittlich 0,006 Individuen / 1000 m² nachgewiesen werden. Hier kam er lediglich an einer Station (Nr. 20) mit einem Individuum vor. Auch im Sommer zeigte er keine hohe Individuendichte. Im gesamten Mittel über die Jahre war der Steinbutt im Sommer im Bereich vor den Inseln mit 0,056 Individuen und im Watt mit 0,008 Individuen auf einer Fläche von 1000 m² vertreten.

Die höchste Biomasse von 22,63 g / 1000 m² wurde im Sommer 1994 im Bereich vor den Inseln vernommen (Abb. 49 b unten). In allen anderen Jahren schwankte die Biomasse im Sommer zwischen 0,00 und 11,07 g auf einer Fläche von 1000 m². Die mittlere Biomasse in Bereich vor den Inseln betrug im Frühjahr 0 g / 1000 m² und im Sommer 6,76 g / 1000 m². In den Wattflächen konnte hingegen eine mittlere Biomasse von 0,008 g / 1000 m² im Frühjahr und 0,75 g / 1000 m² im Sommer vermerkt werden.

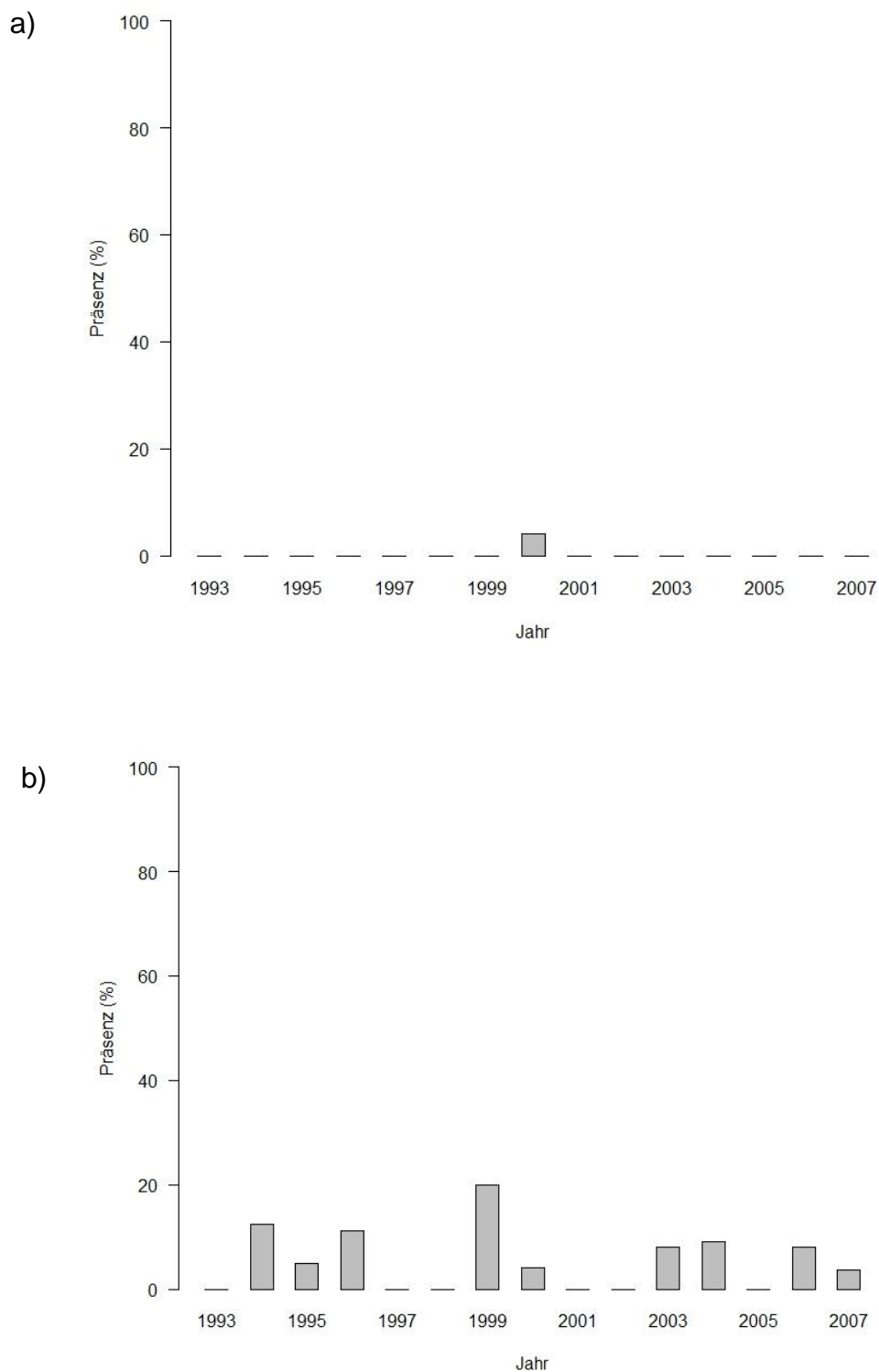


Abbildung 47: Präsenz (%) des Steinbutts (*Scophthalmus maximus*) im a) Frühjahr und b) Sommer der Jahre 1993 - 2007.

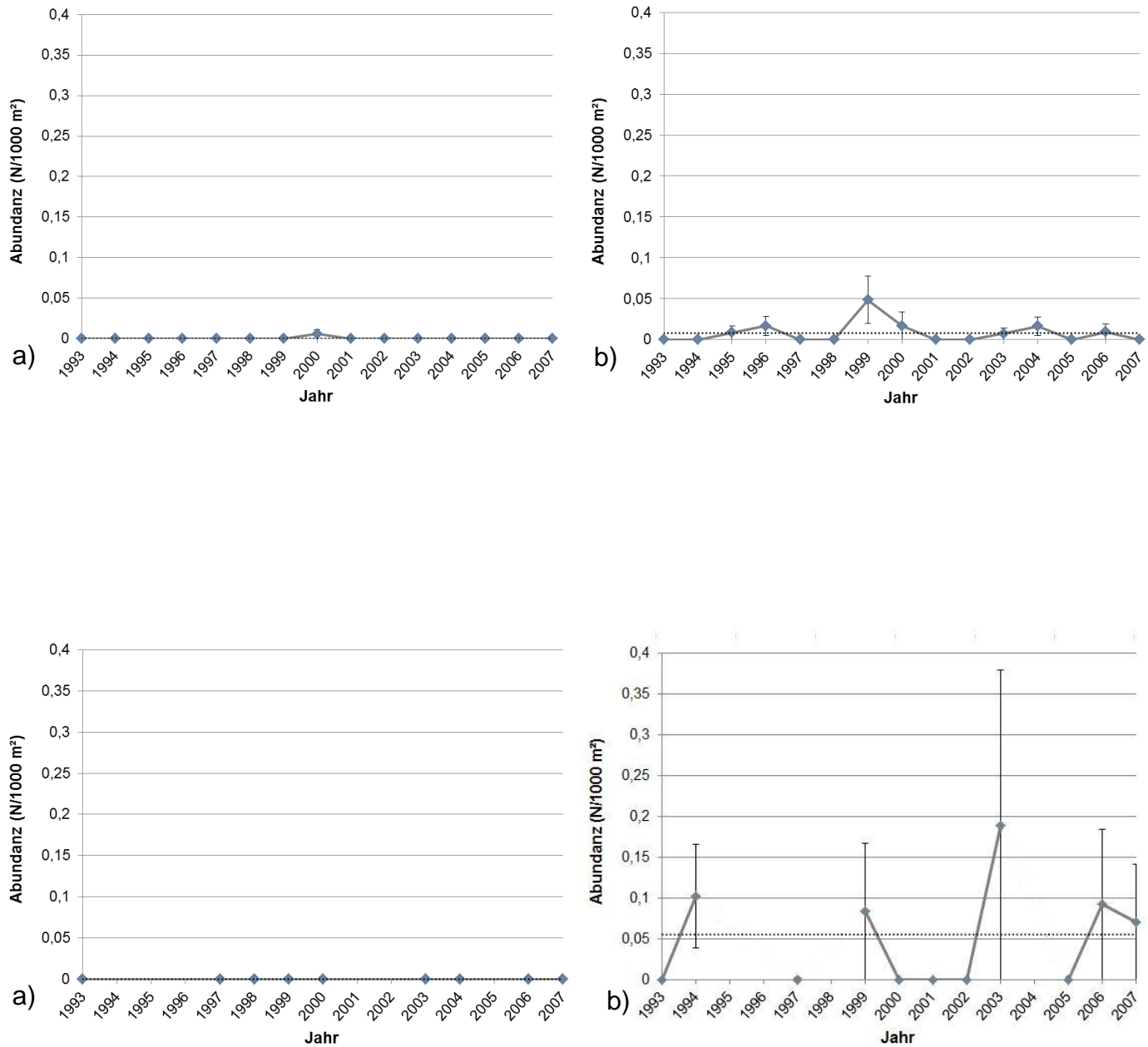


Abbildung 48: Mittlere Abundanz (N / 1000 m²) des Steinbutts (*Scophthalmus maximus*) über die Jahre 1993 - 2007. Oben: In den Wattflächen a) im Frühjahr und b) im Sommer. Unten: Im Bereich vor den Inseln (Seeseite) a) im Frühjahr und b) im Sommer. Fehlerbalken = SE. Das langfristige Mittel der Abundanz über die Jahre 1993 - 2007 ist als gestrichelte Linie dargestellt.

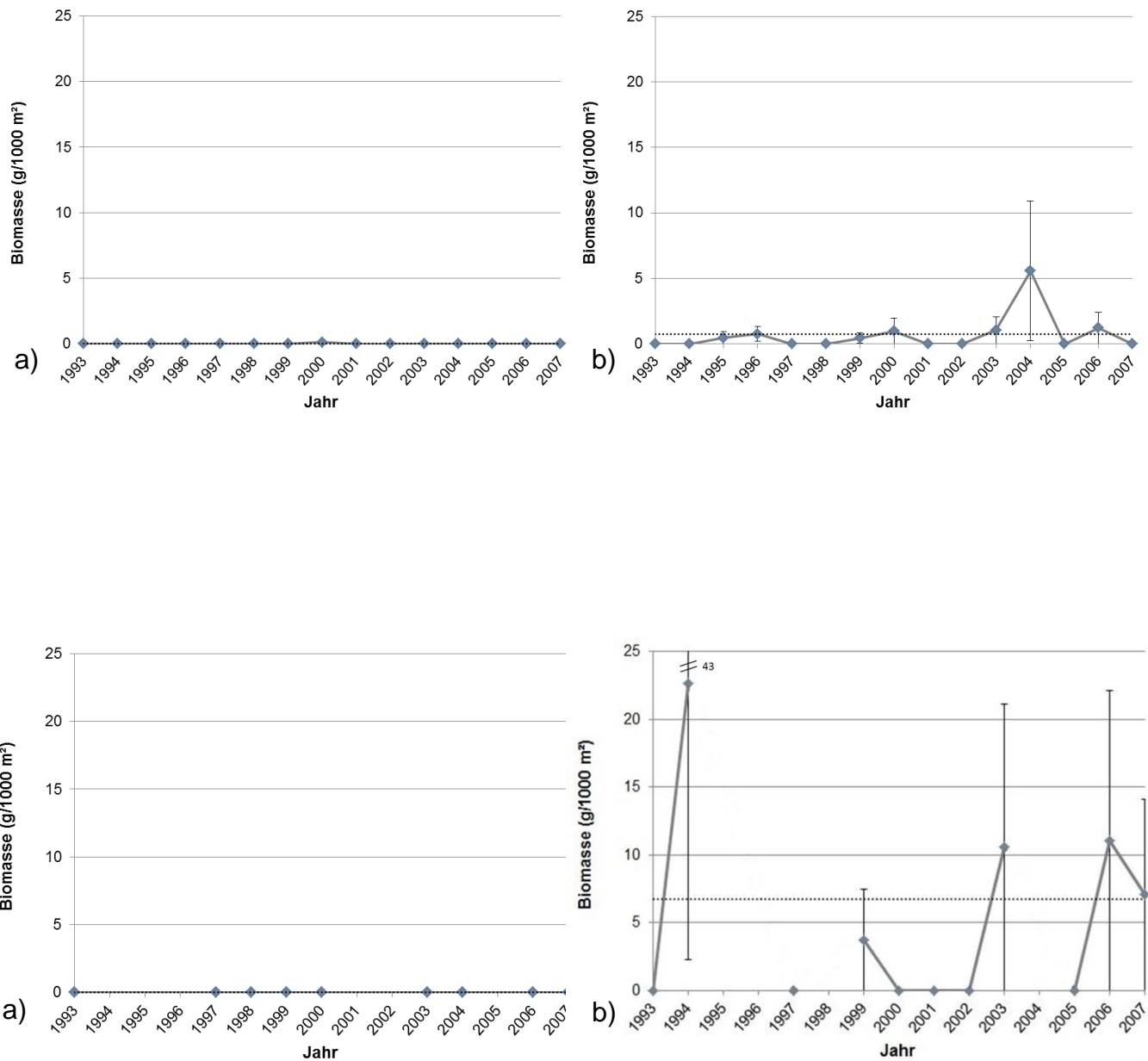


Abbildung 49: Mittlere Biomasse (g / 1000 m²) des Steinbutts (*Scophthalmus maximus*) über die Jahre 1993 - 2007. Oben: In den Wattflächen a) im Frühjahr und b) im Sommer. Unten: Im Bereich vor den Inseln (Seeseite) a) im Frühjahr und b) im Sommer. Fehlerbalken = SE. Das langfristige Mittel der Biomasse über die Jahre 1993 - 2007 ist als gestrichelte Linie dargestellt.

Glattbutt (*Scophthalmus rhombus*)

Der Glattbutt (*S. rhombus*) konnte insgesamt in acht der 15 untersuchten Jahre nachgewiesen werden (Abb. 50). Er war sowohl im Frühjahr als auch im Sommer vertreten. Im Frühjahr zeigte er eine Präsenz von bis zu 9,52 % im Jahr 2005 und im Sommer von bis zu 11,11 % im Jahr 1996.

Im Bereich vor den Inseln war der Glattbutt im Frühjahr nicht vorhanden und auch im Sommer konnte er hier lediglich im Jahr 1994 (0,07 Individuen / 1000 m²) nachgewiesen werden (Abb. 51 a und b unten). In den Wattflächen kam dieser in mehreren Jahren vor. Die größte Individuendichte wurde für das Frühjahr 2005 ermittelt. Hier war der Glattbutt durchschnittlich mit 0,02 Individuen / 1000 m² vertreten. In diesem Jahr konnte er an zwei Stationen mit jeweils einem Individuum nachgewiesen werden.

Im Bereich vor den Inseln konnte im Frühjahr 1994 insgesamt die höchste Biomasse mit 4,14 g / 1000 m² ermittelt werden. Im Mittel betrug die Biomasse hier über alle Jahre 0,72 g / 1000 m². In den Wattflächen war die mittlere Biomasse insgesamt niedriger. Hier konnten Werte von 0,10 g / 1000 m² im Frühjahr und 0,14 g / 1000 m² im Sommer ermittelt werden (Abb. 52 a und b oben).

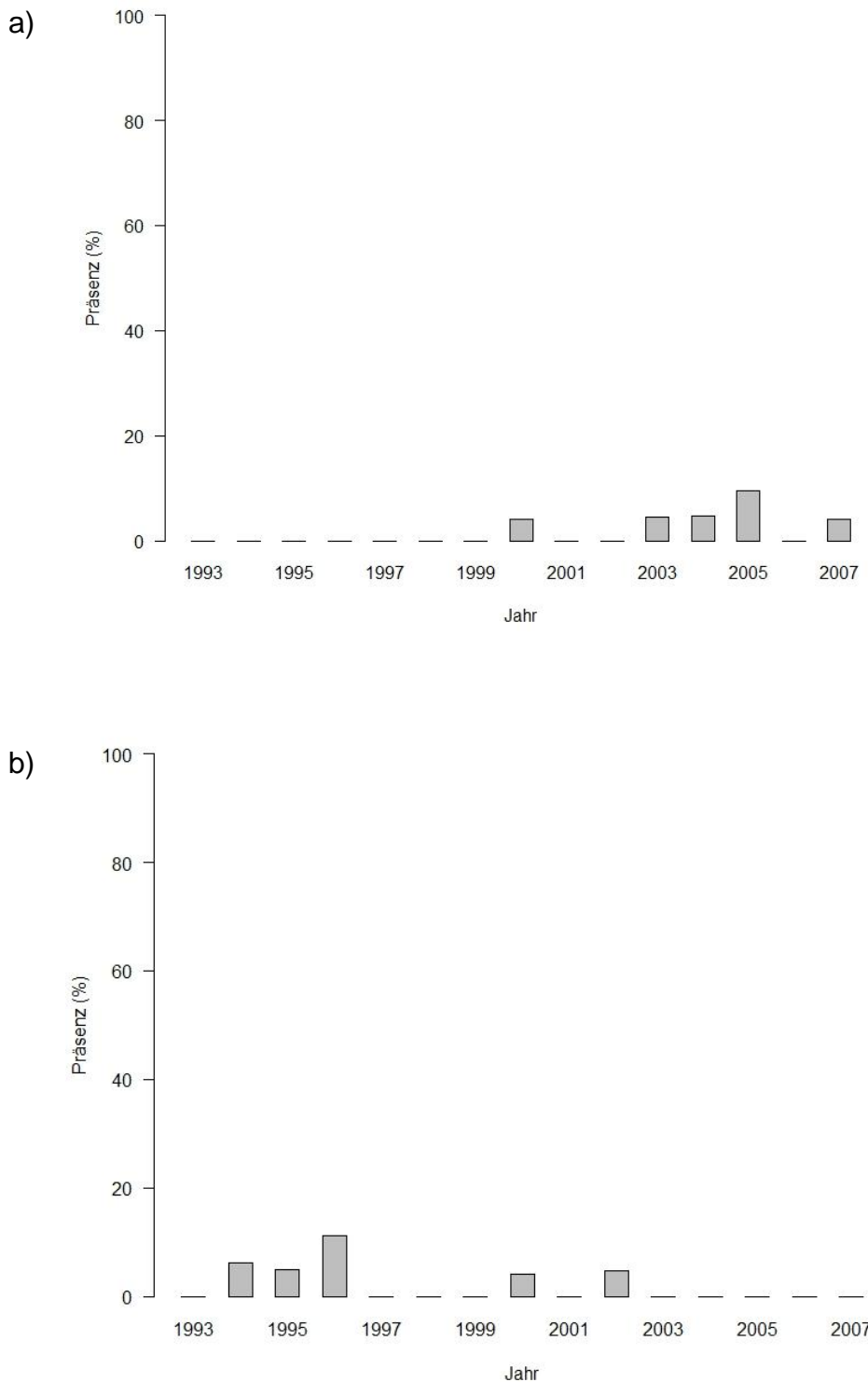


Abbildung 50: Präsenz (%) des Glattbutts (*Scophthalmus rhombus*) im a) Frühjahr und b) Sommer der Jahre 1993 - 2007.

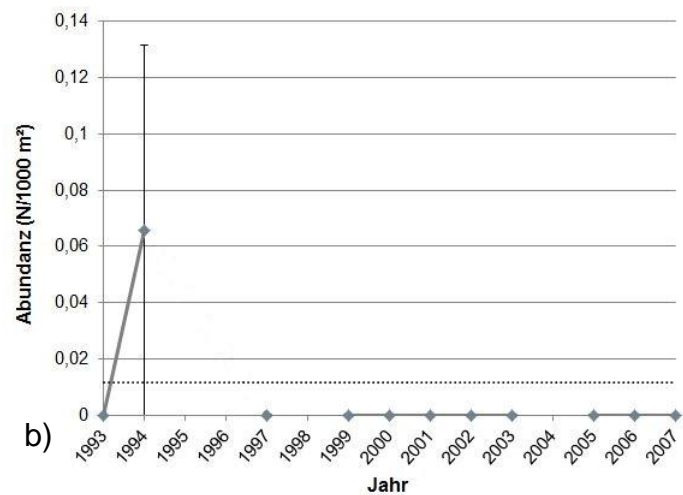
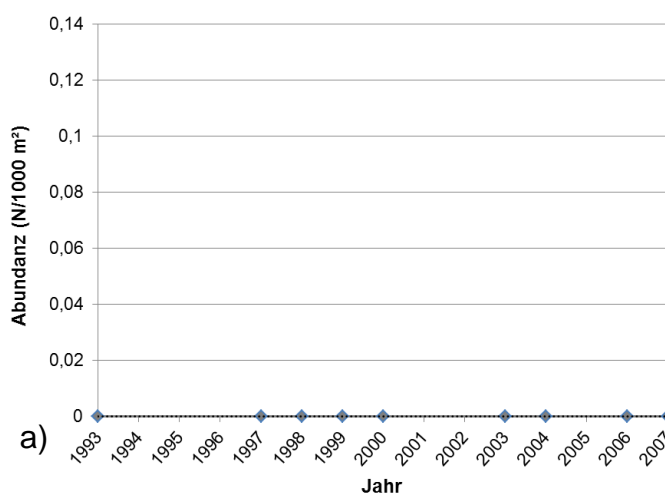
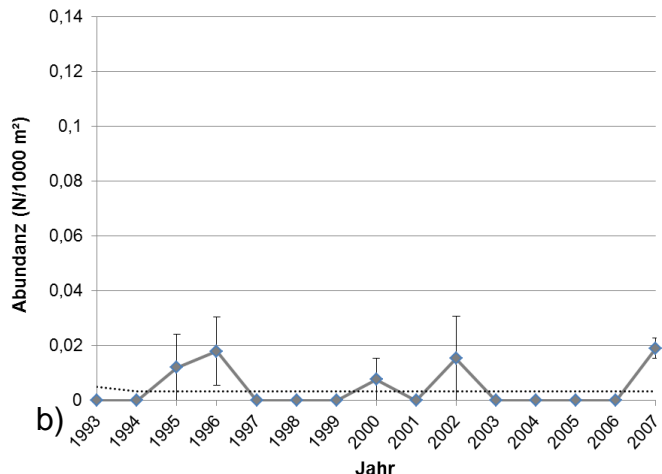
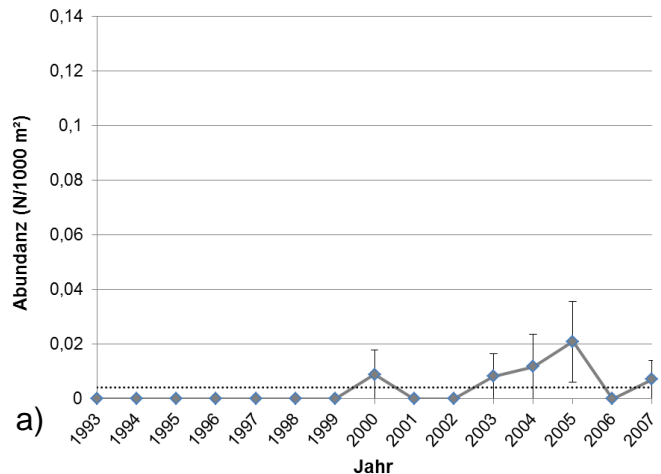


Abbildung 51: Mittlere Abundanz (N / 1000 m²) des Glattbutts (*Scophthalmus rhombus*) über die Jahre 1993 - 2007. Oben: In den Wattflächen a) im Frühjahr und b) im Sommer. Unten: Im Bereich vor den Inseln (Seeseite) a) im Frühjahr und b) im Sommer. Fehlerbalken = SE. Das langfristige Mittel der Abundanz über die Jahre 1993 - 2007 ist als gestrichelte Linie dargestellt.

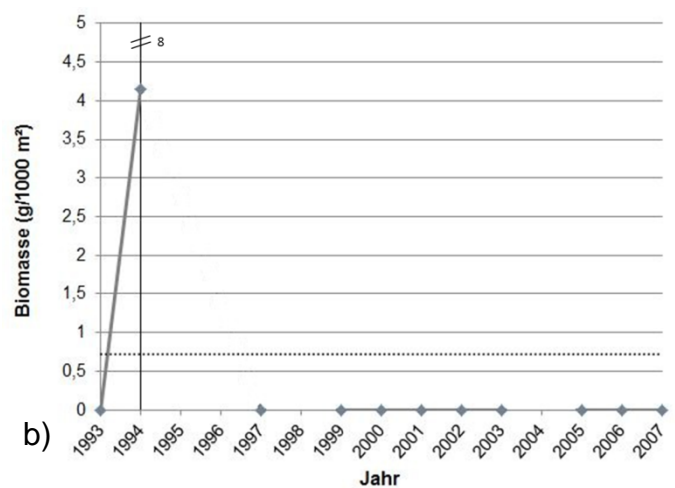
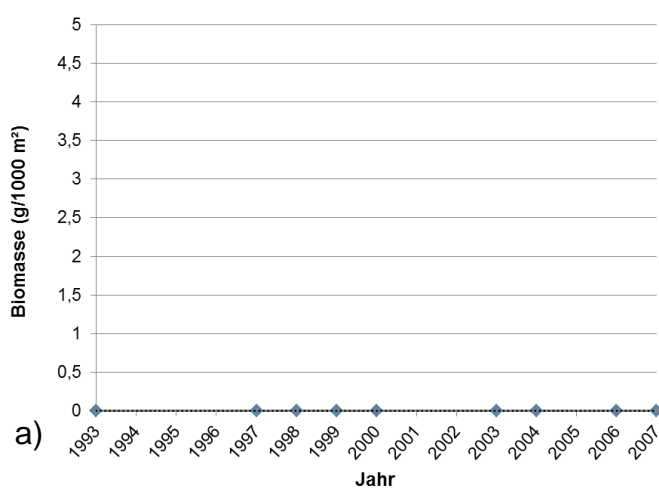
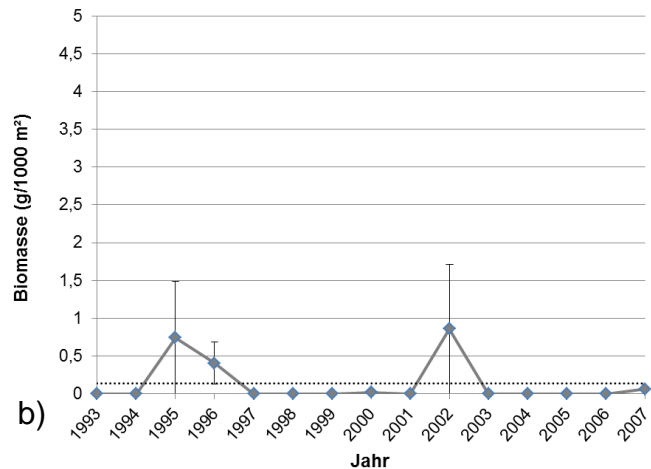
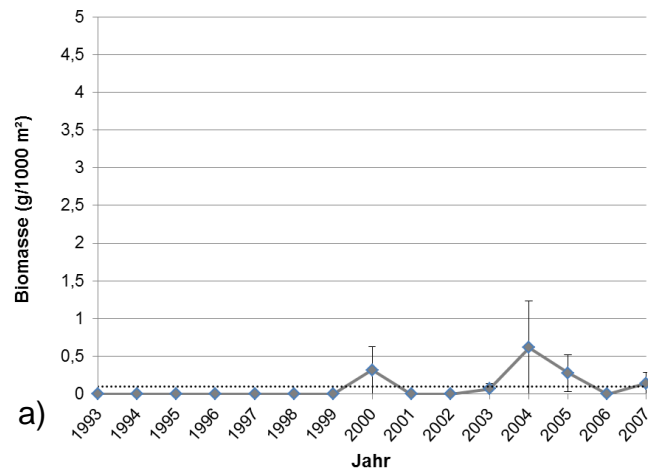


Abbildung 52: Mittlere Biomasse (g / 1000 m²) des Glattbutts (*Scophthalmus rhombus*) über die Jahre 1993 - 2007. Oben: In den Wattflächen a) im Frühjahr und b) im Sommer. Unten: Im Bereich vor den Inseln (Seeseite) a) im Frühjahr und b) im Sommer. Fehlerbalken = SE. Das langfristige Mittel der Biomasse über die Jahre 1993 - 2007 ist als gestrichelte Linie dargestellt.

Sprotte (*Sprattus sprattus*)

Die Sprotte (*S. sprattus*) war eine der wenigen Arten, die mit einer relativ hohen Präsenz sowohl im Frühjahr als auch im Sommer in der südlichen Deutschen Bucht vorkamen (Abb. 53). Im Frühjahr der Jahre 1993 - 2007 konnte die Sprotte in allen Jahren, mit Ausnahme des Jahres 1996, in dem nicht ein einziges Individuum gefangen wurde, nachgewiesen werden. In allen anderen Jahren schwankte die Präsenz zwischen minimal 7,69 % (Jahr 1995) und maximal 86,67 % (Jahr 1994). Die mittlere Präsenz über alle Jahre im Frühjahr betrug 38,72 %. Diese konnte im Sommer wiederum übertroffen werden. Hier kam die Sprotte im gesamten Mittel an 47,84 % aller befischten Stationen vor. Die geringste Präsenz (11,11 %) innerhalb der Sommermonate zeigte sie im Jahr 1998, während größte Präsenz (70,83 %) im Jahr 2000 vermerkt wurde.

Im gesamten Mittel konnte die Sprotte im Watt sowohl im Frühjahr (0,56 Individuen / 1000 m²) als auch im Sommer (0,51 Individuen / 1000 m²) durchschnittlich mit weniger als einem Individuum nachgewiesen werden (Abb. 54). Im Bereich der Wattflächen konnte die höchste Individuenzahl im Frühjahr 1993 mit durchschnittlich 6 Individuen / 1000 m² ermittelt werden. Auf der Seeseite betrug die mittlere Individuenzahl im Frühjahr 0,31 Individuen / 1000 m² über alle Jahre. Lediglich im Sommer konnte auf der Seeseite eine durchschnittliche Individuenzahl von > 1 Individuum / 1000 m² nachgewiesen werden. Die Individuenzahl schwankte hier zwischen 0,08 Individuen / 1000 m² im Jahr 2007 und maximal 3,14 Individuen / 1000 m² im Jahr 2006.

Die mittlere Biomasse im Bereich vor den Inseln betrug über die Jahre insgesamt 1,20 g / 1000 m² im Frühjahr und 5,74 g / 1000 m² im Sommer. In den Wattflächen wurde über die Jahre eine mittlere Biomasse von 1,55 g / 1000 m² im Frühjahr und von 2,37 g / 1000 m² im Sommer ermittelt. Die höchste Biomasse insgesamt wurde auf der Seeseite im Sommer des Jahres 2006 nachgewiesen. Hier konnte im Durchschnitt eine Biomasse von 17,42 g / 1000 m² erfasst werden (Abb. 55 b unten).

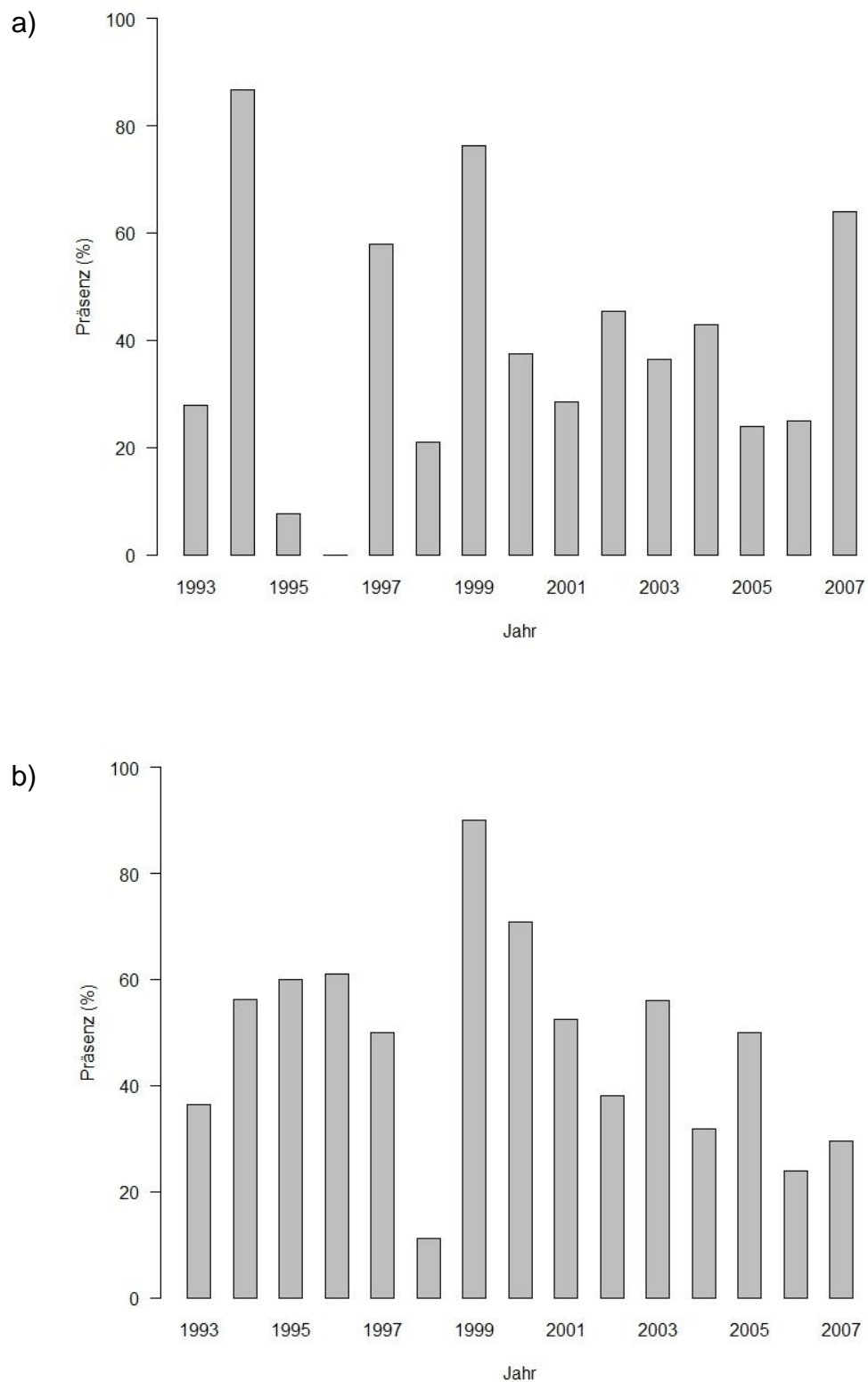


Abbildung 53: Präsenz (%) der Sprotte (*Sprattus sprattus*) im a) Frühjahr und b) Sommer der Jahre 1993 - 2007.

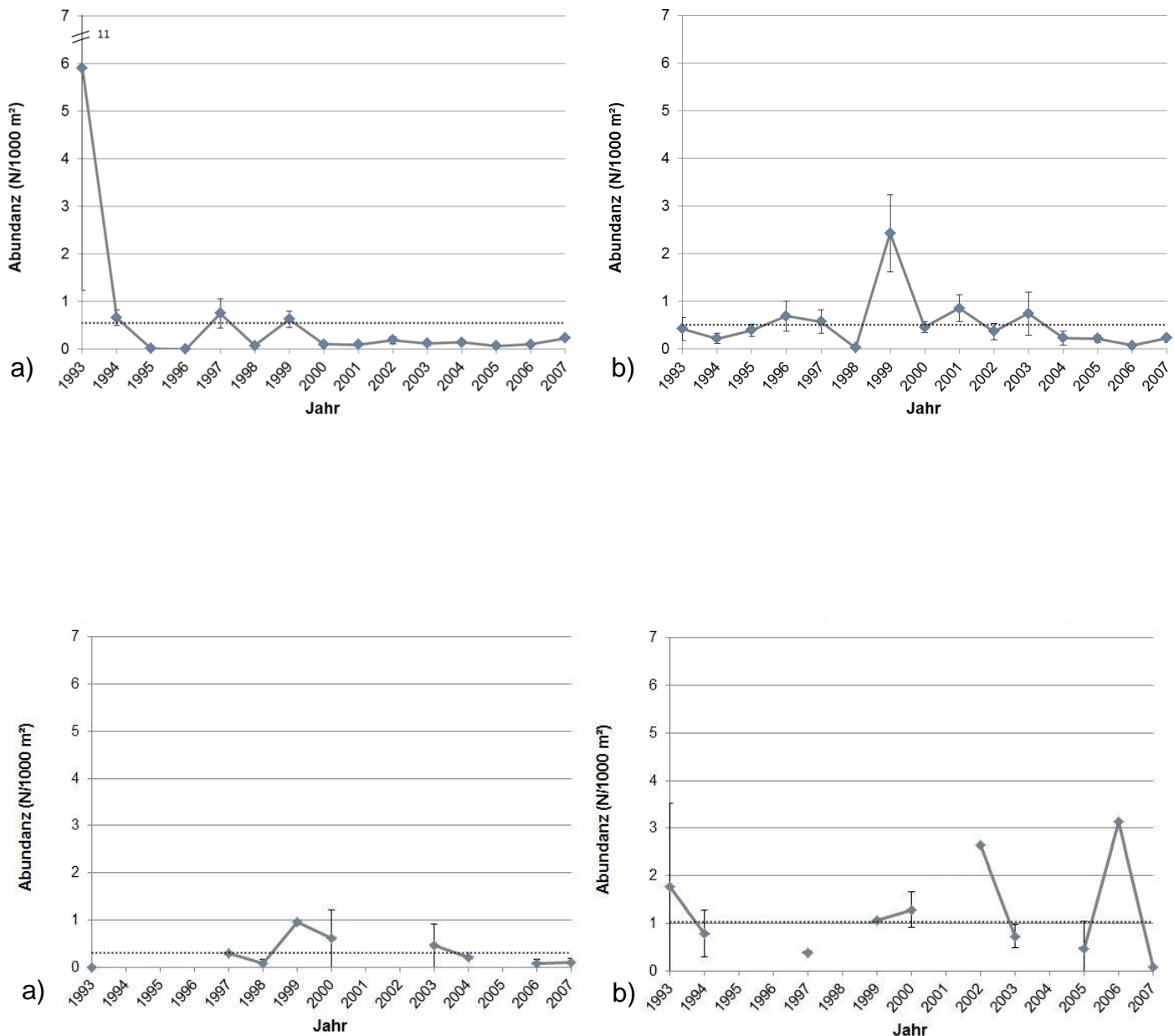


Abbildung 54: Mittlere Abundanz (N / 1000 m²) der Sprotte (*Sprattus sprattus*) über die Jahre 1993 - 2007. Oben: In den Wattflächen a) im Frühjahr und b) im Sommer. Unten: Im Bereich vor den Inseln (Seeseite) a) im Frühjahr und b) im Sommer. Fehlerbalken = SE. Das langfristige Mittel der Abundanz über die Jahre 1993 - 2007 ist als gestrichelte Linie dargestellt.

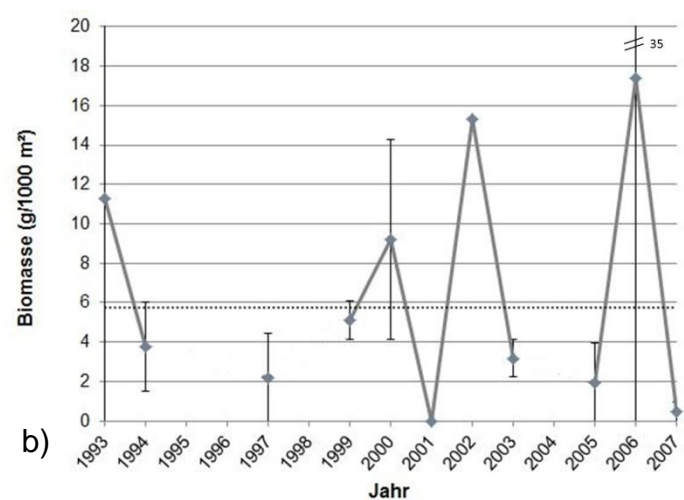
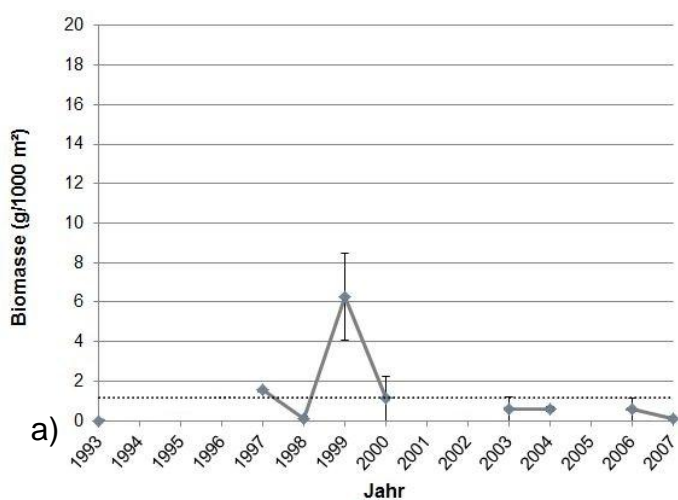
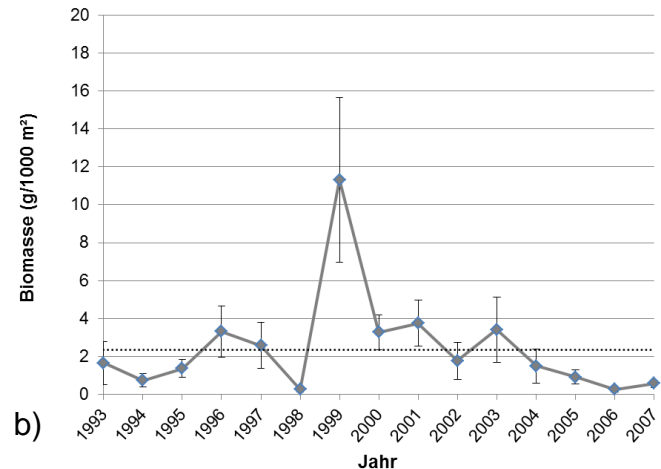
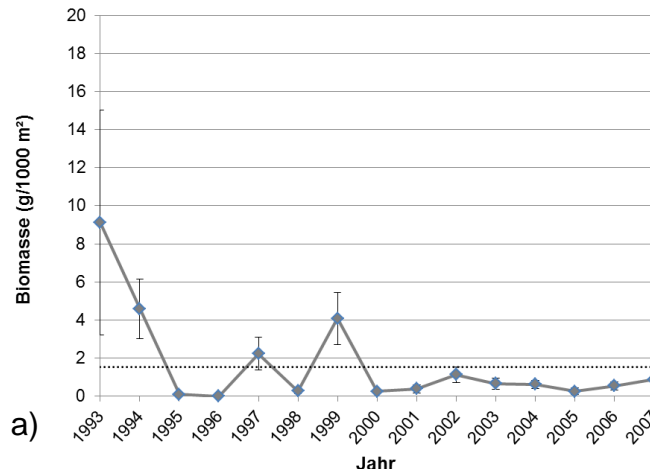


Abbildung 55: Mittlere Biomasse (g / 1000 m²) der Sprotte (*Sprattus sprattus*) über die Jahre 1993 - 2007. Oben: In den Wattflächen a) im Frühjahr und b) im Sommer. Unten: Im Bereich vor den Inseln (Seeseite) a) im Frühjahr und b) im Sommer. Fehlerbalken = SE. Das langfristige Mittel der Biomasse über die Jahre 1993 - 2007 ist als gestrichelte Linie dargestellt.

Wittling (*Merlangius merlangus*)

Der Wittling (*M. merlangus*) konnte in den Sommermonaten in jedem Jahr nachgewiesen werden. Im Frühjahr hingegen konnte er in den Jahren 1996, 1998, 2004 und 2006 nicht erfasst werden (Abb. 56). Die mittlere Präsenz über die Jahre betrug 15,92 % im Frühjahr und 49,26 % im Sommer. Innerhalb der Sommermonate wurde im Jahr 2002 die geringste Präsenz (9,52 %) und im Jahr 2000 die höchste Präsenz von 100 % ermittelt.

Die höchste durchschnittliche Individuendichte (67,89 Individuen / 1000 m²) konnte im Sommer im Bereich vor den Inseln vermerkt werden. Die mittlere Individuendichte betrug hier über die Jahre 11,80 Individuen / 1000 m² (Abb. 57 b unten). Im Frühjahr war die mittlere Abundanz mit 1,77 Individuen / 1000 m² deutlich geringer. Innerhalb der Frühjahrsmonate konnte im Jahr 2000 mit 11,91 Individuen / 1000 m² die größte Individuendichte nachgewiesen werden. Bei mittleren Abundanzen von 0,14 Individuen / 1000 m² im Frühjahr und 2,60 Individuen / 1000 m² im Sommer, schwankten die Individuendichten in den Wattflächen zwischen 0 Individuen / 1000 m² (im Frühjahr der Jahre 1993, 1996, 1998, 2003, 2004, und 2006) und 21,62 Individuen / 1000 m² im Sommer des Jahres 2001.

Die Biomasse des Wittlings zeigte ähnliche Ergebnisse wie bereits die Daten die Abundanz. Die höchste Biomasse insgesamt konnte im Frühjahr auf der Seeseite im Jahr 2000 mit 265,37 g / 1000 m² erfasst werden (Abb. 58 a unten). Hier konnte an den beiden befischten Stationen (Stationen 1 und 2) ein großer Unterschied in der Biomasse vernommen werden. Zum einen wurde eine Biomasse von 467,62 g / 1000 m² und zum anderen eine Biomasse von 63,13 g / 1000 m² erfasst. Im Watt schwankte die Biomasse zwischen 0 g / 1000 m² und 40,34 g / 1000 m² im Frühjahr sowie zwischen 0 g / 1000 m² und 118,52 g / 1000 m² im Sommer.

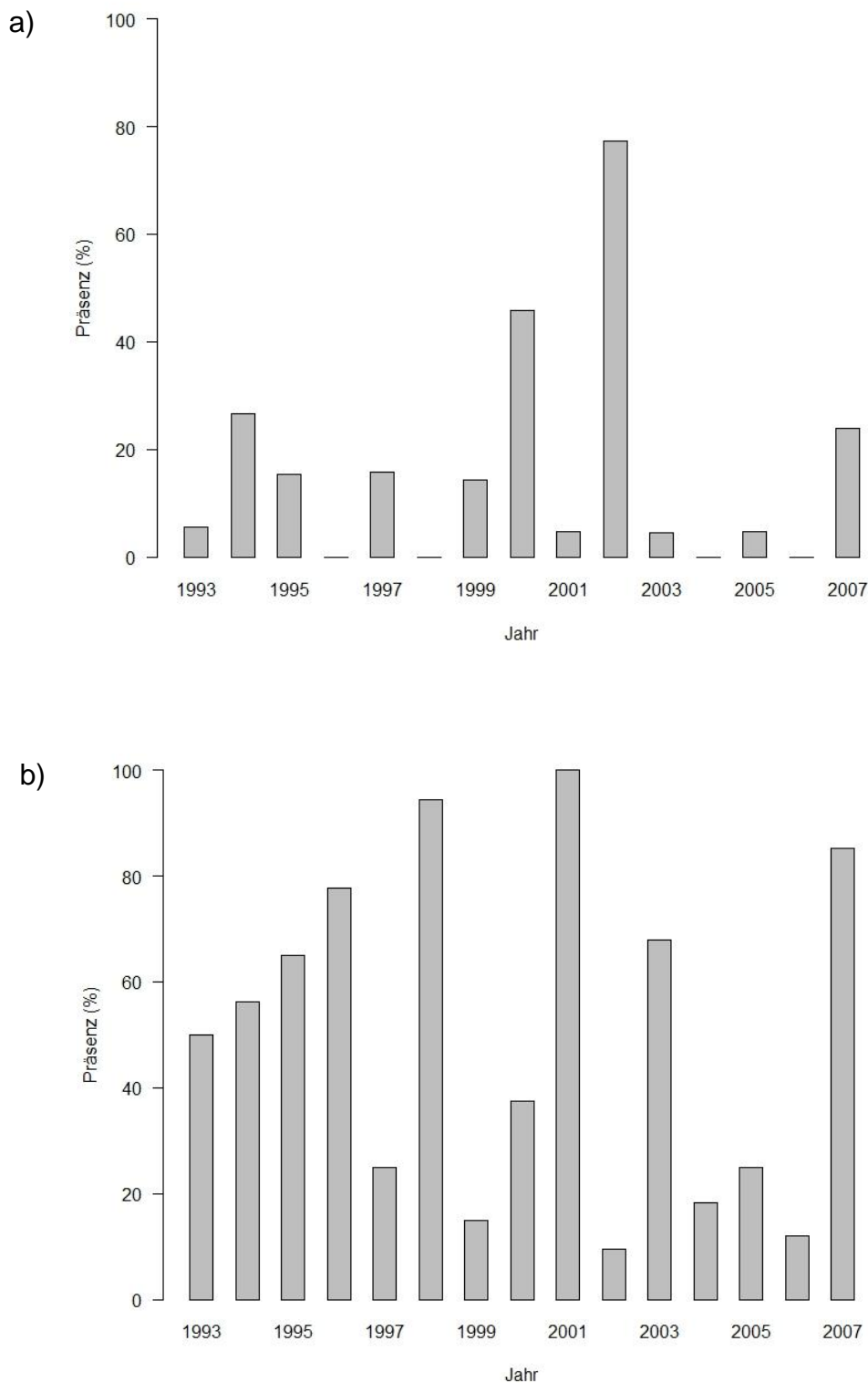


Abbildung 56: Präsenz (%) des Wittlings (*Merlangius merlangus*) im a) Frühjahr und b) Sommer der Jahre 1993 - 2007.

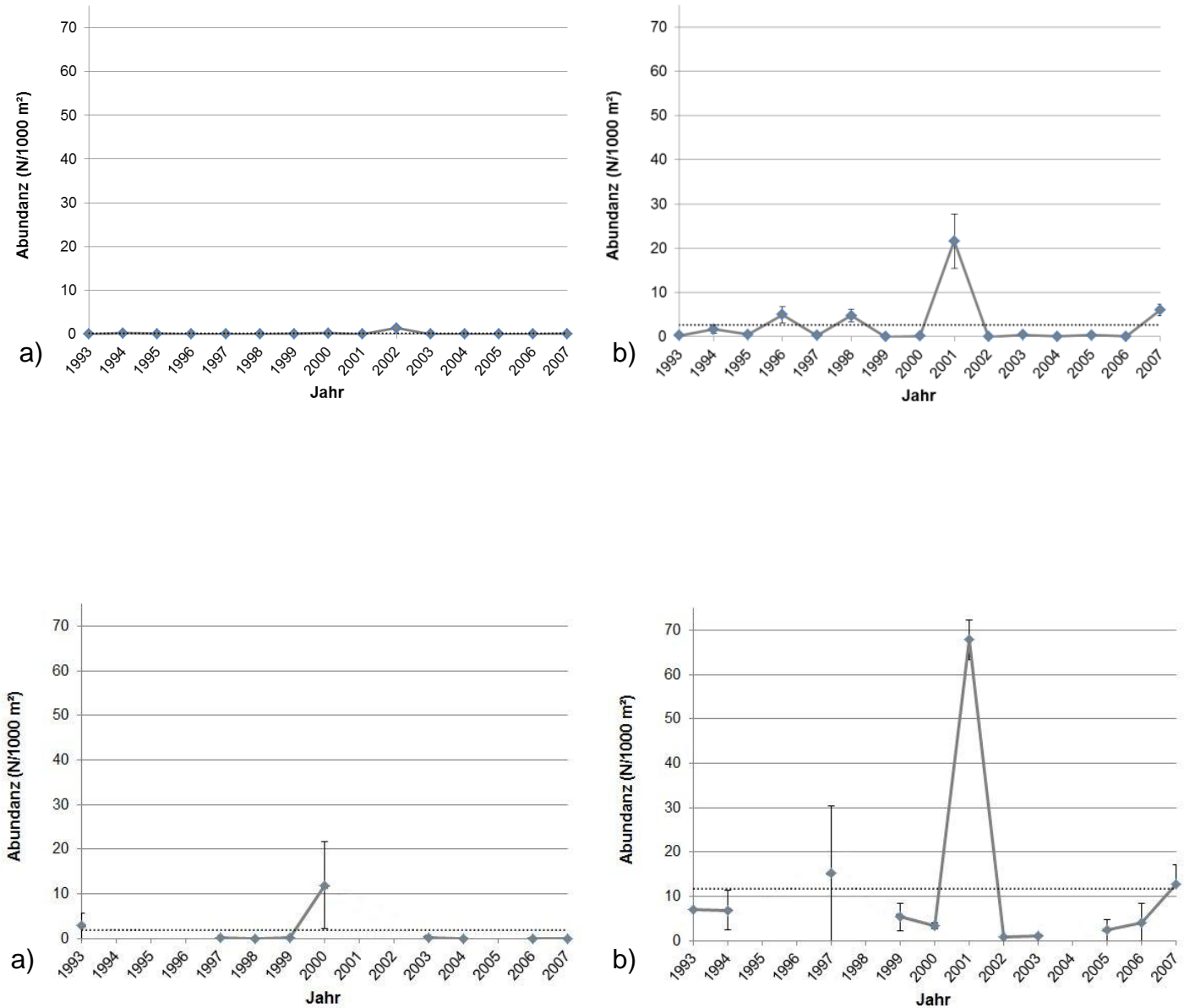


Abbildung 57: Mittlere Abundanz (N / 1000 m²) des Wittlings (*Merlangius merlangus*) der Jahre 1993 - 2007. Oben: In den Wattflächen a) im Frühjahr und b) Sommer. Unten: Im Bereich vor den Inseln (Seeseite) a) im Frühjahr und b) im Sommer. Fehlerbalken = SE. Das langfristige Mittel der Abundanz über die Jahre 1993 - 2007 ist als gestrichelte Linie dargestellt.

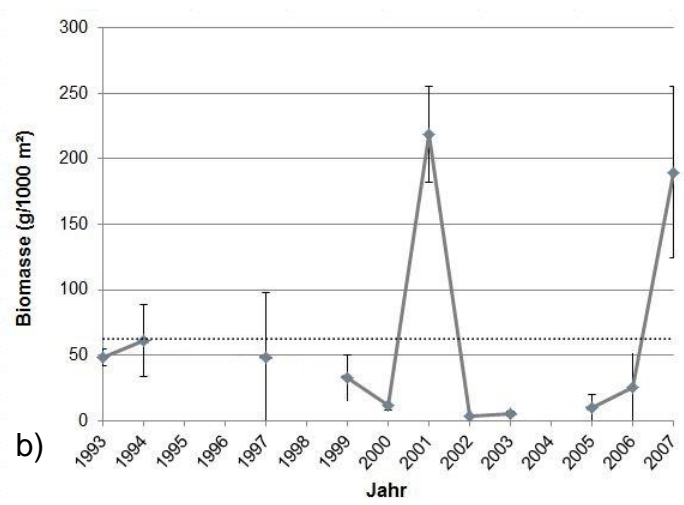
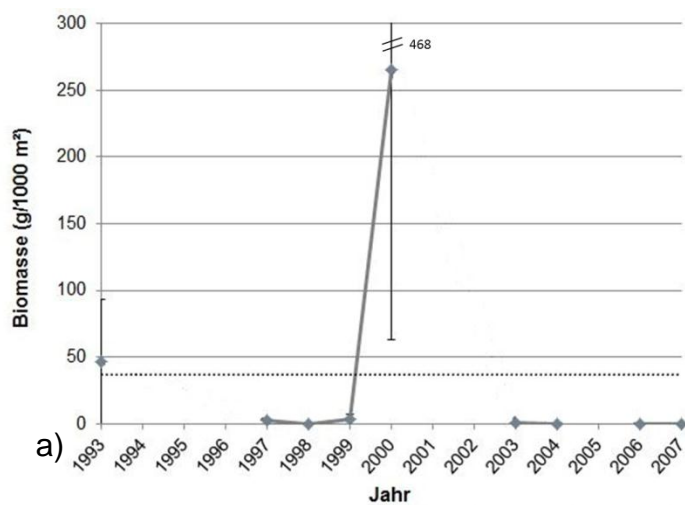
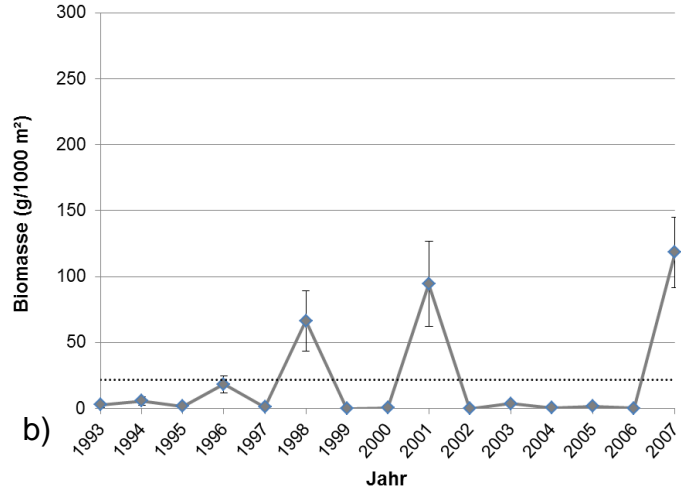
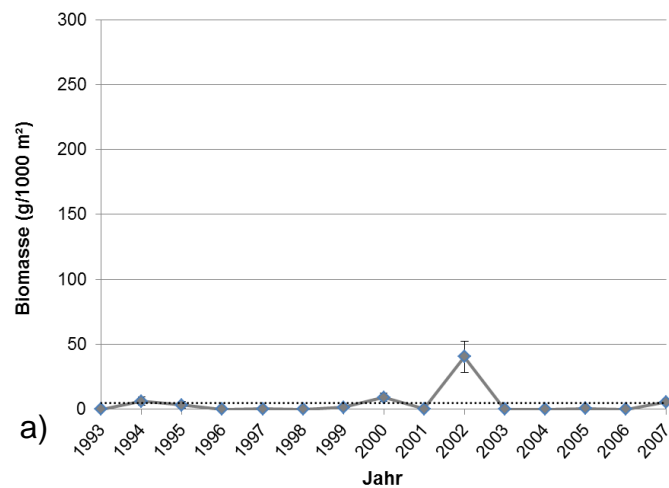


Abbildung 58: Mittlere Biomasse (g / 1000 m²) des Wittlings (*Merlangius merlangus*) der Jahre 1993 - 2007. Oben: In den Wattflächen a) im Frühjahr und b) im Sommer. Oben: Im Bereich vor den Inseln (Seeseite) a) im Frühjahr und b) im Sommer. Fehlerbalken = SE. Das langfristige Mittel der Biomasse über die Jahre 1993 - 2007 ist als gestrichelte Linie dargestellt.

Flunder (*Platichthys flesus*)

Die Flunder (*P. flesus*) konnte insgesamt mit einer hohen Präsenz nachgewiesen werden. Abbildung 59 zeigt, dass die Flunder in jedem der untersuchten Jahre sowohl im Frühjahr als auch im Sommer vorhanden war. Zudem ist sie eine der wenigen Arten, die im Frühjahr an den untersuchten Stationen häufiger nachgewiesen werden konnte als im Sommer der entsprechenden Jahre. Im gesamten Mittel war die Flunder im Frühjahr der Jahre 1993 - 2007 mit einer Präsenz von 79,01% und im Sommer mit 62,51 % vertreten. Die geringste Präsenz zeigte sie im Frühjahr 1993, hier konnte sie lediglich an 22,22 % der untersuchten Stationen erfasst werden. In den darauffolgenden Jahren 1994 und 1995 zeigte sie hingegen im Frühjahr eine Präsenz von 100 %.

Die Individuendichte der Flunder war in den Wattflächen im Durchschnitt höher als im Bereich vor den Inseln (Abb. 60). In den Wattflächen betrug die mittlere Abundanz über alle Jahre im Frühjahr 2,85 Individuen / 1000 m² und im Sommer 1,84 Individuen / 1000 m² während im Bereich vor den Inseln im Mittel 1,75 Individuen / 1000 m² im Frühjahr und 0,16 Individuen / 1000 m² im Sommer nachgewiesen werden konnten. Insgesamt konnten im Watt im Frühjahr des Jahres 1995 mit durchschnittlich 13,69 Individuen / 1000 m² die meisten Individuen erfasst werden.

Die durchschnittliche Biomasse schwankte im Frühjahr in den Wattflächen zwischen 0,98 g / 1000 m² im Jahr 1996 und 66,69 g / 1000 m² im Jahr 2002 sowie im Sommer zwischen 9,78 g / 1000 m² im Jahr 1998 und 125,11 g / 1000 m² im Jahr 2004. Im gesamten Mittel über die Jahre konnte für die Wattflächen eine Biomasse von 33,65 g im Frühjahr und 40,23 g im Sommer, sowie für den Bereich vor den Inseln eine mittlere Biomasse von 55,02 g im Frühjahr und 15,78 g im Sommer auf einer Fläche von 1000 m² ermittelt werden (Abb. 61).

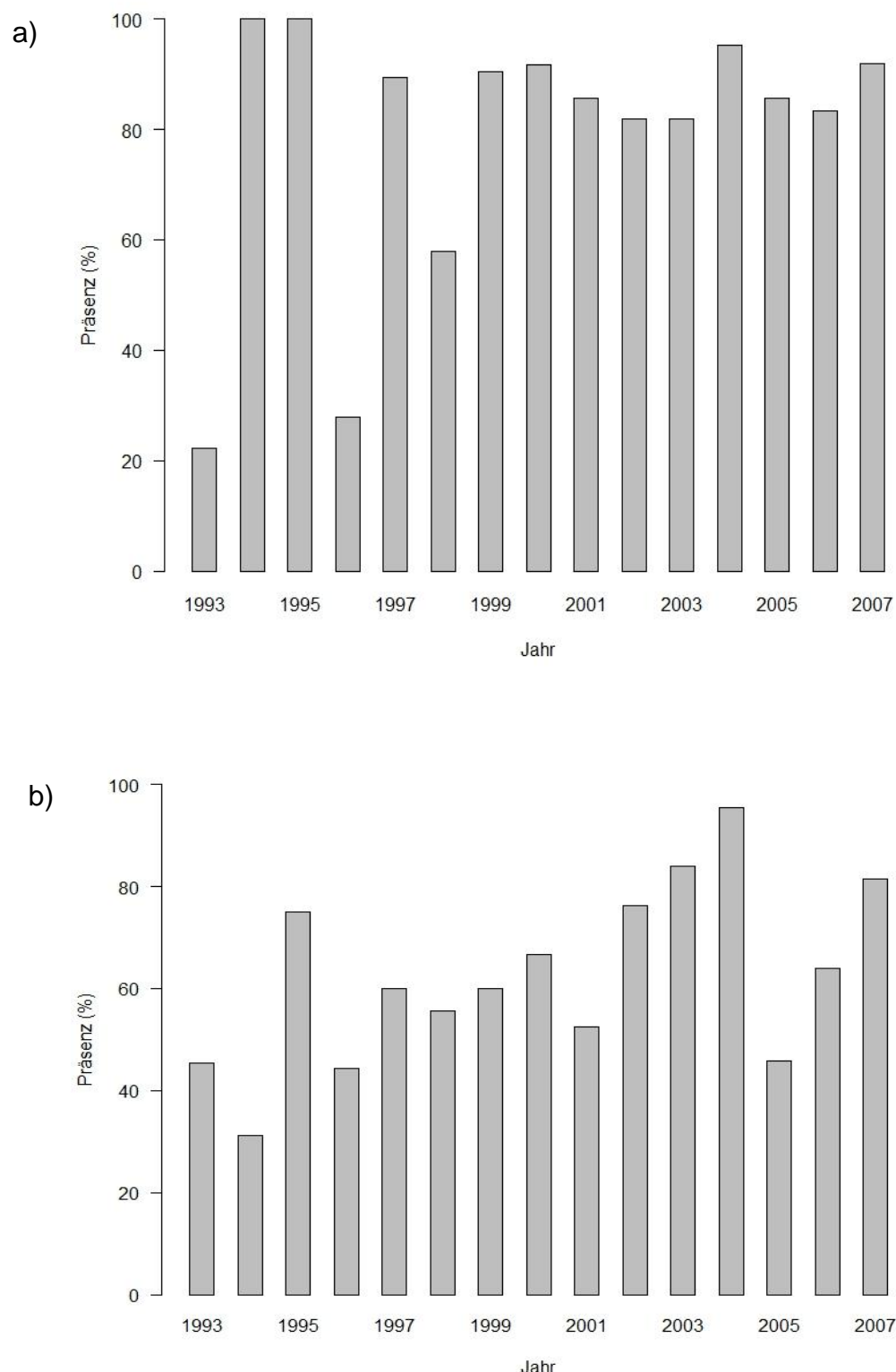


Abbildung 59: Präsenz (%) der Flunder (*Platichthys flesus*) im a) Frühjahr und b) Sommer der Jahre 1993 - 2007.

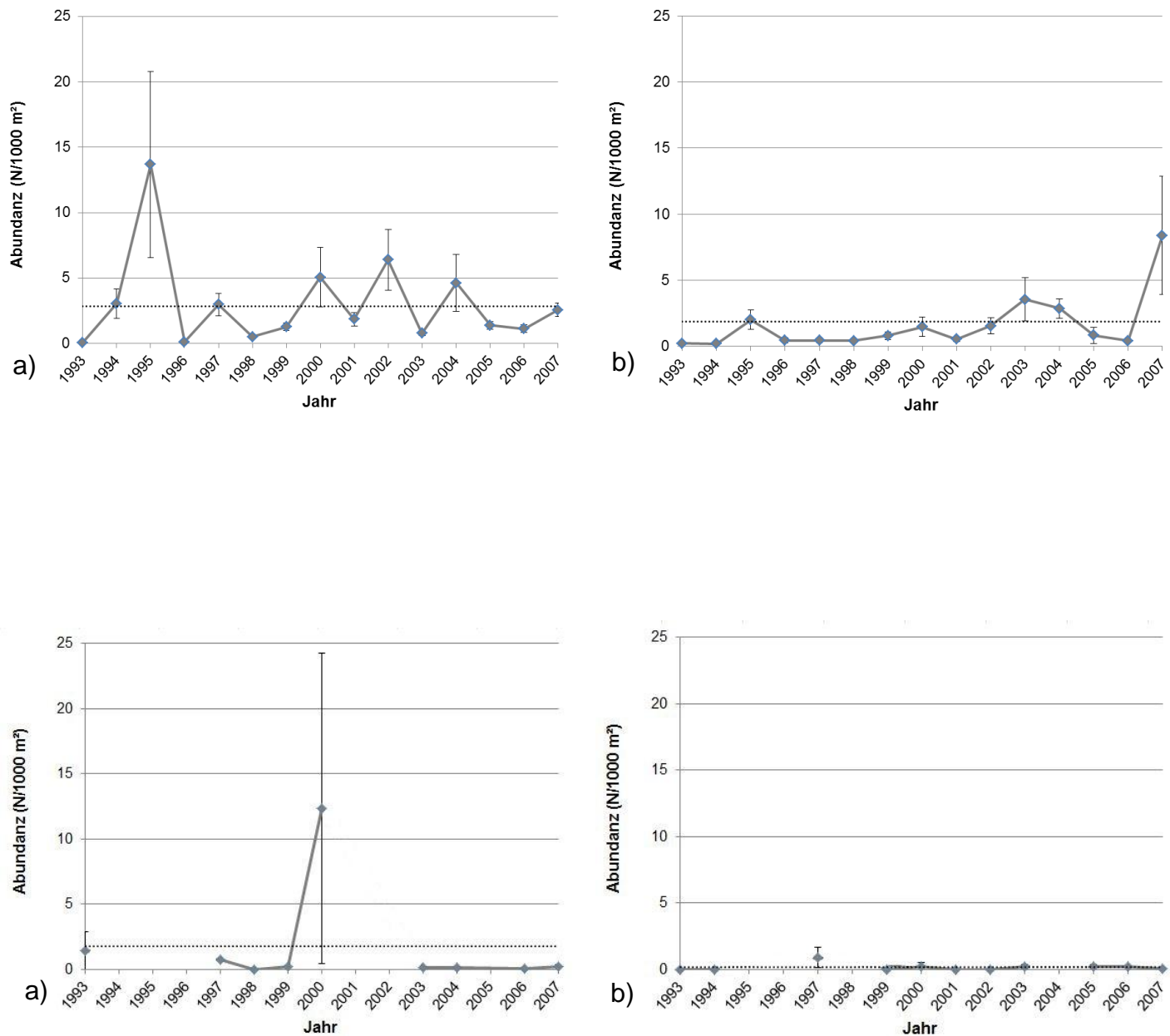


Abbildung 60: Mittlere Abundanz (N / 1000 m²) der Flunder (*Platichthys flesus*) über die Jahre 1993 - 2007. Oben: In den Wattflächen a) im Frühjahr und b) im Sommer. Unten: Im Bereich vor den Inseln (Seeseite) a) im Frühjahr und b) im Sommer. Fehlerbalken = SE. Das langfristige Mittel der Abundanz über die Jahre 1993 - 2007 ist als gestrichelte Linie dargestellt.

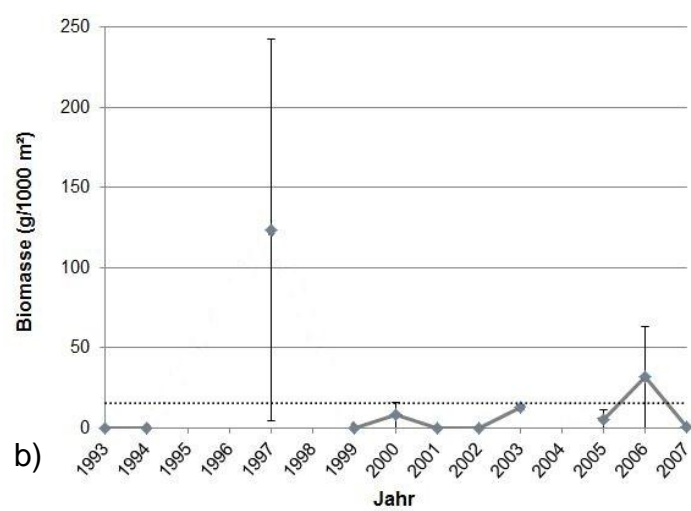
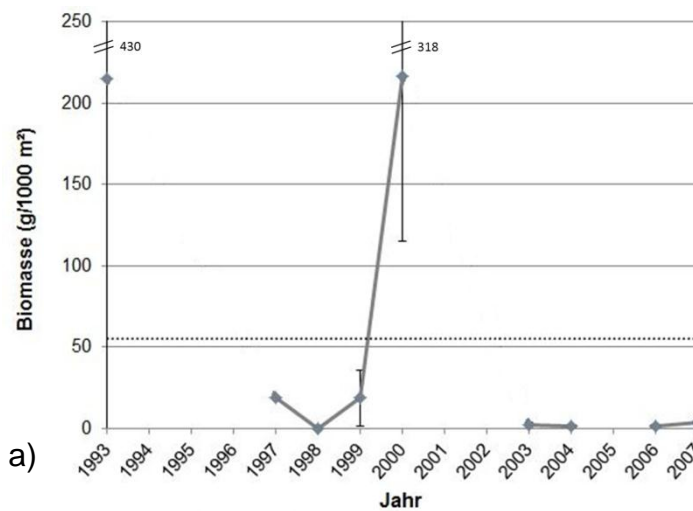
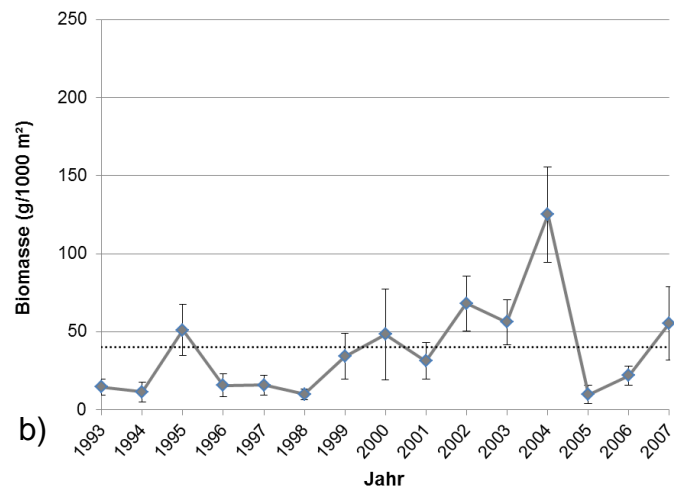
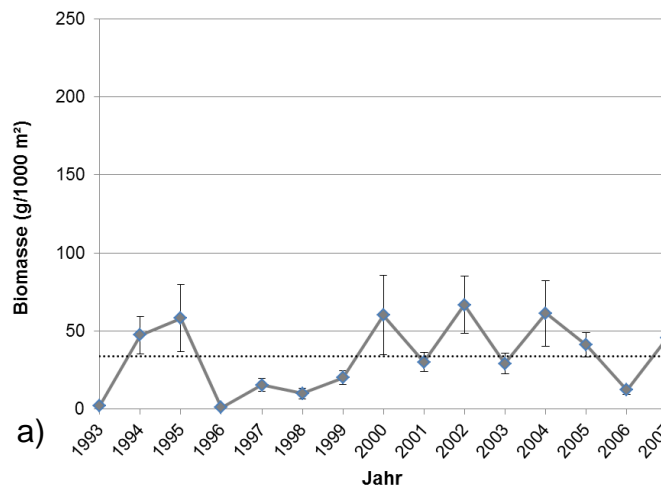


Abbildung 61: Mittlere Biomasse (g / 1000 m²) der Flunder (*Platichthys flesus*) über die Jahre 1993 - 2007. Oben: In den Wattflächen a) im Frühjahr und b) im Sommer. Unten: Im Bereich vor den Inseln (Seeseite) a) im Frühjahr und b) im Sommer. Fehlerbalken = SE. Das langfristige Mittel der Biomasse über die Jahre 1993 - 2007 ist als gestrichelte Linie dargestellt.

Hering (*Clupea harengus*)

Der Hering (*C. harengus*) war ausnahmslos in allen Jahren sowohl im Frühjahr als auch im Sommer vertreten und kam mit relativ hohen Präsenzen vor (Abb. 62). Im Sommer der Jahre 1993 - 2007 wies er Präsenzen zwischen 8 % (Jahr 2006) und 90,91 % (Jahr 2004) auf. Im gesamten Mittel über die Jahre war der Hering im Sommer an 61,17 % aller befischten Stationen vorhanden. Im Durchschnitt war der Hering damit im Frühjahr, wo er eine Präsenz von 64,96 % im gesamten Mittel aufwies, geringfügig häufiger vertreten als im Sommer. Die geringste Präsenz innerhalb der Frühjahrsdaten zeigte der Hering im Jahr 1996 mit 22,22 %. Die größte Präsenz wurde für das Jahr 1999 mit 95,24 % ermittelt.

In den Wattflächen war der Hering sowohl im Frühjahr als auch im Sommer in jedem Jahr präsent. Im Bereich vor den Inseln konnte er in den Jahren 1993 und 2006 im Frühjahr und im Jahr 1997 im Sommer nicht nachgewiesen werden (Abb. 63 a und b unten). Im Watt schwankte die durchschnittliche Abundanz zwischen 0,08 - 8,73 Individuen im Frühjahr und 0,02 - 24,42 Individuen im Sommer auf einer Fläche von 1000 m². Im Bereich vor den Inseln konnten maximale Individuendichten von 13,34 Individuen (Jahr 1999) im Frühjahr und 1,98 Individuen (Jahr 2002) im Sommer pro 1000 m² verzeichnet werden.

Die mittlere Biomasse schwankte im Watt zwischen 12,41 g / 1000 m² (Sommer) und 15,54 g / 1000 m² (Frühjahr) und im Bereich vor den Inseln zwischen 4,18 g / 1000 m² (Sommer) und 16,95 g / 1000 m² (Frühjahr) auf einer Fläche von 1000 m². Die höchste Biomasse insgesamt konnte im Frühjahr des Jahres 2000 auf der Seeseite verzeichnet werden (Abb. 64 a unten). Hier betrug die durchschnittliche Biomasse 78,26 g / 1000 m². Dennoch unterschied sich die ermittelte Biomasse der jeweiligen Stationen (Station 1 und 2) auffallend. An der einen Station auf der Seeseite konnte eine Biomasse von 10,45 g / 1000 m² und an der anderen eine Biomasse von 146,08 g / 1000 m² erfasst werden.

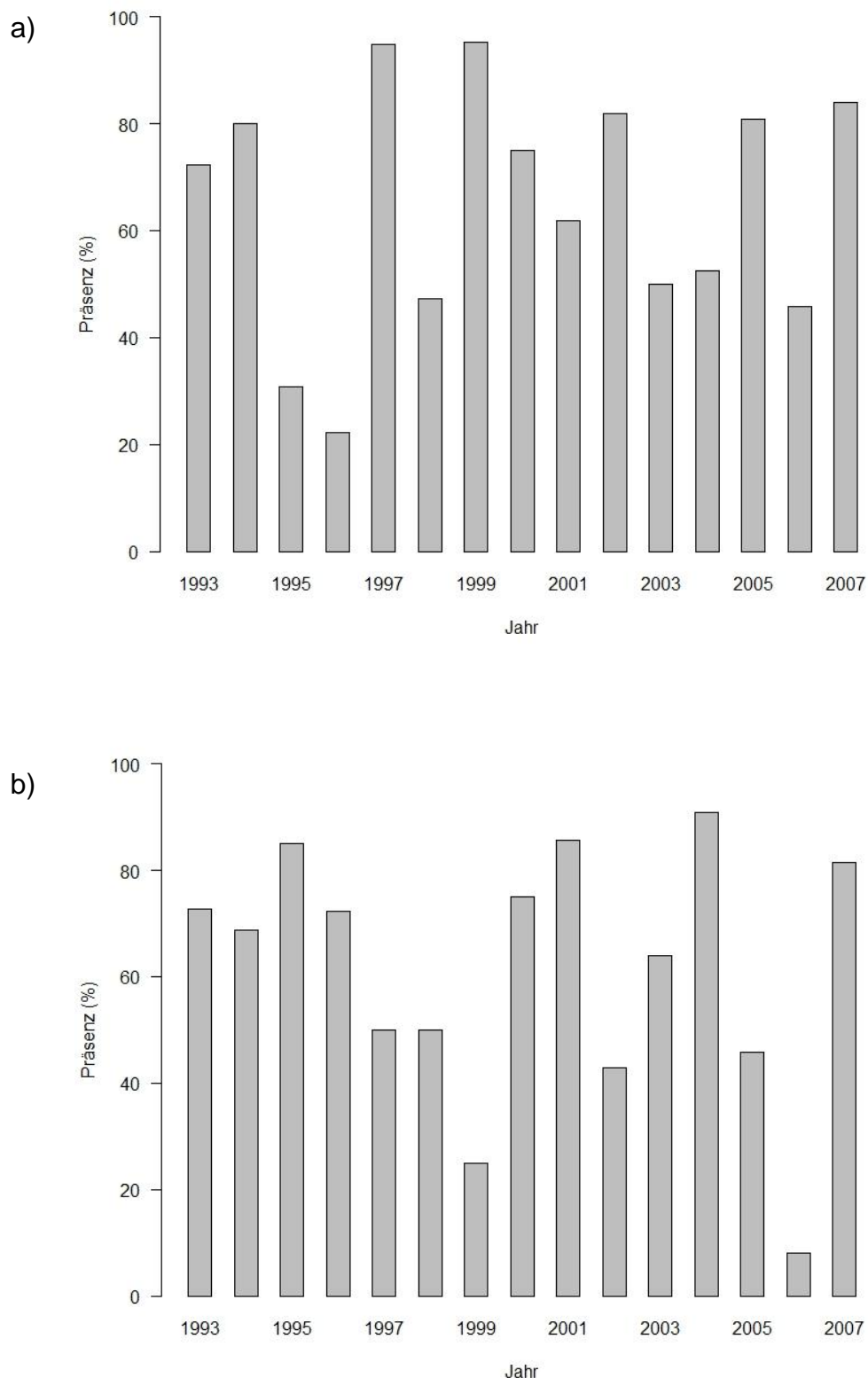


Abbildung 62: Präsenz (%) des Herings (*Clupea harengus*) im a) Frühjahr und b) Sommer der Jahre 1993 - 2007.

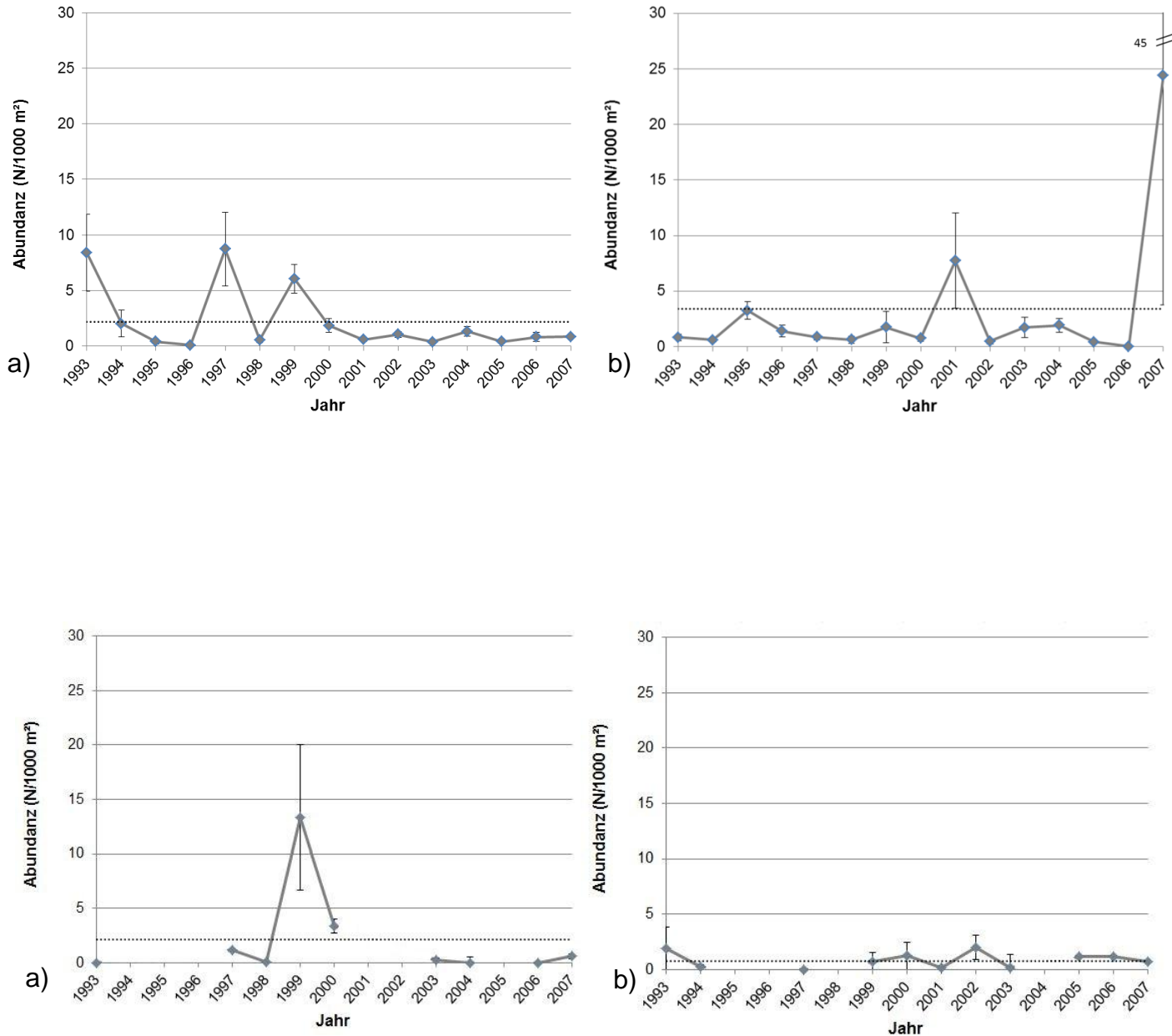


Abbildung 63: Mittlere Abundanz (N / 1000 m²) des Herings (*Clupea harengus*) über die Jahre 1993 - 2007. Oben: In den Wattflächen a) im Frühjahr und b) im Sommer. Unten: Im Bereich vor den Inseln (Seeseite) a) im Frühjahr und b) im Sommer. Fehlerbalken = SE. Das langfristige Mittel der Abundanz über die Jahre 1993 - 2007 ist als gestrichelte Linie dargestellt.

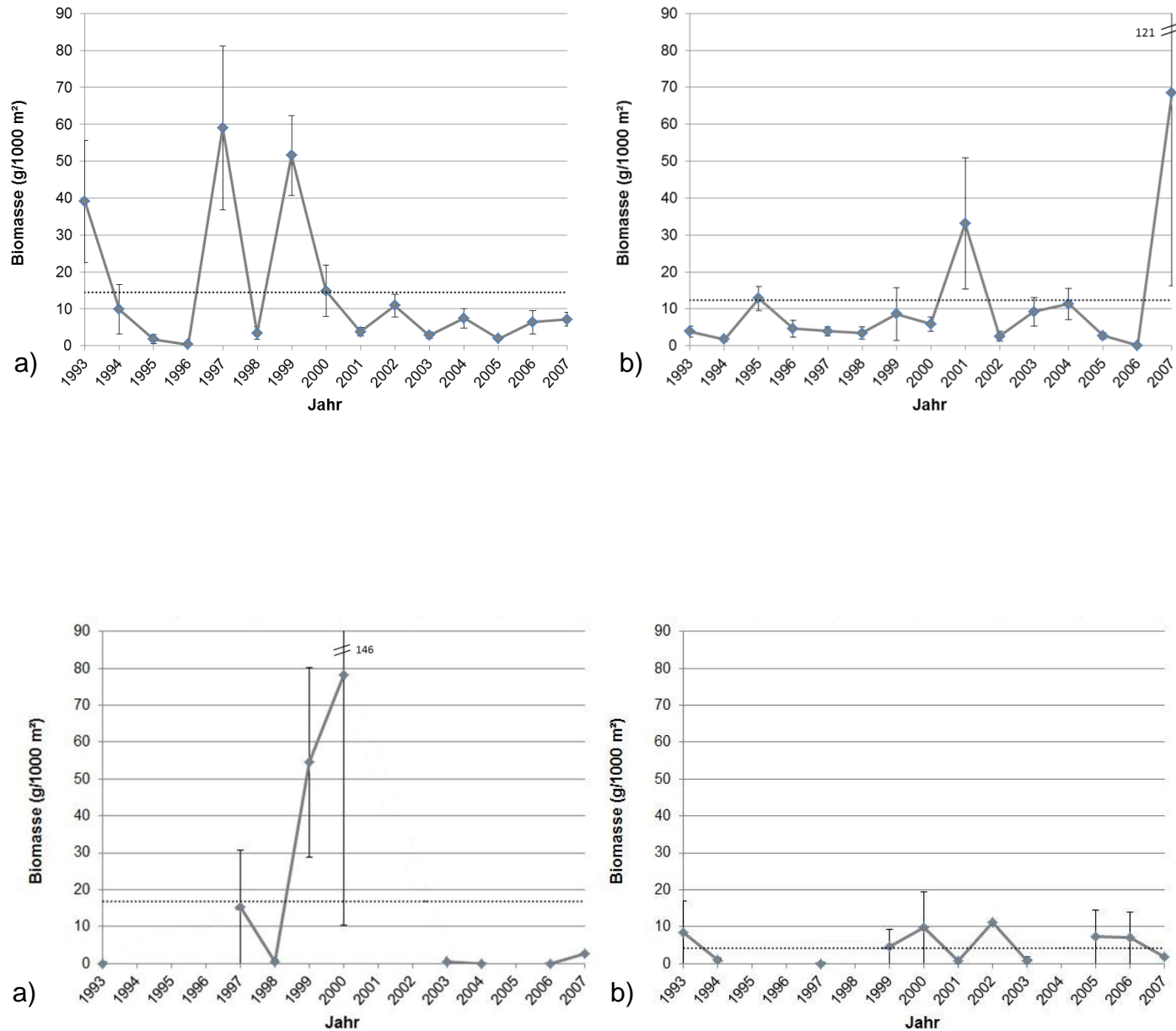


Abbildung 64: Mittlere Biomasse (g / 1000 m²) des Herings (*Clupea harengus*) über die Jahre 1993 - 2007. Oben: In den Wattflächen a) im Frühjahr und b) im Sommer. Unten: Im Bereich vor den Inseln (Seeseite) a) im Frühjahr und b) im Sommer. Fehlerbalken = SE. Das langfristige Mittel der Biomasse über die Jahre 1993 - 2007 ist als gestrichelte Linie dargestellt.

5. DISKUSSION

5.1 Artenvorkommen

Die Gewässer der Nordsee beherbergen derzeit über 220 Fischarten (DAAN *et al.* 1990), welche sich im großen Umfang in ihrer Ökologie unterscheiden. Von diesen kommen ca. 110 Arten im gesamten Wattenmeer vor. Innerhalb dieser Untersuchungen konnten im ostfriesischen Wattenmeer 49 Arten nachgewiesen werden, während in Untersuchungen der Ökosystemforschung im Schleswig-Holsteinischen Wattenmeer 60 Arten erfasst werden konnten (BRECKLING *et al.* 1994). KNUST *et al.* (1995) konnten im Untersuchungsgebiet des niedersächsischen Wattenmeeres 42 Fischarten, sieben weniger als in diesen Untersuchungen, nachweisen. Während in diesen Untersuchungen zusätzlich die Finte, der Ährenfisch, der Güster, der Ornament-Leierfisch, der Wolfsbarsch, die Große Schlangennadel, der Westliche Stichling, die Doggerscharbe, der Kleine Scheibenbauch, die Fleckengrundel und das Rotauge erfasst werden konnten, konnten die Arten Grasgrundel, Zwergstichling und Dicklippige Meeräsche im Gegensatz zu den Untersuchungen von KNUST *et al.* (1995) hier nicht nachgewiesen werden, da sich diese Auswertung ausschließlich die Fänge der 3 m-Baumkurre beschränkte, während in KNUST *et al.* (1995) sowohl Fänge aus 3 m- als auch 8 m-Baumkurren miteinbezogen wurden.

Unter den insgesamt 49 erfassten Fischarten waren Arten vertreten, die auf der Roten Liste der gefährdeten Fischarten Deutschlands aufgeführt sind. Innerhalb der Kategorie „gefährdet“ fällt z.B. der Aal (*Anguilla anguilla*), welcher innerhalb der Untersuchungen in neun von 15 Jahren nachgewiesen werden konnte. In der Kategorie „stark gefährdet“ finden sich Finte (*Alosa fallax*) und Flussneunauge (*Lampetra fluviatilis*) wieder. Die Finte konnte im Frühjahr sowohl im Watt als auch im Bereich vor den Inseln nachgewiesen werden. Im Sommer kam sie nicht vor. Das Flussneunauge konnte hingegen ausschließlich in den Sommermonaten in den Wattflächen erfasst werden. Die Fleckengrundel (*Pomatoschistus pictus*), welche als potentiell gefährdet eingestuft wird, konnte in den Jahren 2004, 2006 und 2007 nachgewiesen werden. Der Große

Scheibenbauch (*Liparis liparis*), welcher der Kategorie „gefährdet“ zugeschrieben wird, war in diesen Untersuchungen regelmäßig in den Fängen vertreten. Die potenziell gefährdete Große Schlangennadel (*Entelurus aequoreus*) konnte insgesamt an je zwei Stationen der Jahre 2006 und 2007 nachgewiesen werden. Diese Art kommt vor allem in Seegraswiesen vor, welche im Wattenmeer in der Vergangenheit zunehmend abgenommen hatten. Dieser Habitatsverlust könnte unter anderem in der Vergangenheit zum Rückgang dieser Art beigetragen haben (FRICKE *et al.* 1995). Im gesamten Untersuchungszeitraum von 15 Jahren konnten die in der Vergangenheit regelmäßig vertretenen Arten Stör, Nagelrochen, Nordseeschnäpel und Maifisch nicht nachgewiesen werden.

Die Ergebnisse der Untersuchungen zeigen, dass die Fischfauna des ostfriesischen Wattenmeeres eindeutig von den beiden Arten Scholle (Kinderstube) und Sandgrundel (nahezu sesshafte Art) dominiert wird. Aber auch die Kleine Seenadel (nahezu sesshafte Art) und der Wittling (Kinderstube) sind vor allem in den Sommermonaten charakteristische Arten im Wattenmeer. Im Frühjahr sind dies neben der Scholle und der Sandgrundel vornehmlich der Hering (Kinderstube), die Flunder (nahezu sesshafte Art) und der Steinpicker (sesshafte Art). Auch KNUST *et al.* (1995) ermittelten mittels 3 m- und 8 m-Baumkurre für die Jahre 1992 - 1995, dass die Fischfauna im niedersächsischen Wattenmeer vor allem durch die zuvor genannten Arten geprägt und dominiert wird.

Aufgrund der hohen Dynamik des Wattenmeeres kann die Artenzahl sehr unterschiedlich innerhalb einzelner Jahre und auch zwischen den jeweiligen Jahreszeiten sein. Diese Schwankungen können sowohl auf die saisonalen Unterschiede, aber auch auf die Invasion einzelner Arten zurückzuführen sein wie z.B. die überdurchschnittliche Einwanderung von Wittlingen im Jahr 2001 (VORBERG 2001), welche auch in diesen Untersuchungen zu erkennen war (Abb. 57 und 58). Der Wittling zeigte in den Jahren 2000 und 2001 eine deutlich höhere Abundanz und Biomasse als in allen anderen untersuchten Jahren. Bei dem Westlichen Stichling (*Gasterosteus aculeatus*) konnte hingegen ein deutlicher Unterschied in dem Vorkommen bezüglich der Jahreszeiten erfasst werden. Dieser zeigte im Frühjahr über die Jahre eine deutlich

größere Präsenz als in den Sommermonaten, was gegebenenfalls darauf zurückzuführen ist, dass sich der Westliche Stichling im Frühjahr auf den Weg zu den Laichplätzen im Süßwasser macht. Der gewöhnliche Hornhecht (*Belone belone*) zeigte unter allen Arten mit die geringste Präsenz und Individuendichte. Seine Verbreitung unterliegt saisonalen Migrationen. So hält sich der Hornhecht nahezu ausschließlich in den Monaten Mai - Juli im Wattenmeer auf (RUTH & BERGHAHN 1989). Aber auch die Erwärmung der Gewässer von küstennahen Bereichen im Sommer führt zur Abwanderung einiger Fischarten in die kälteren und tieferen Gewässer der Nordsee (VORBERG 2001). HERMANT *et al.* (2010) zeigten, dass sich im Golf von Biskaya mit der Erwärmung der Gewässer die geografische Verbreitung von Fischen verändert. So nimmt die Abundanz von Arten der nördlich gemäßigten Regionen ab, während die südlichen Arten zunehmen. Für die Kliesche, die Scholle und die Flunder konnte eine drastische Reduzierung der Individuendichten nachgewiesen werden. Insgesamt zeigten dort von 20 untersuchten Plattfischen fünf einen Rückgang, während sechs Arten sich weiter ausweiten konnten (HERMANT *et al.* 2010). In dieser Arbeit konnten keine drastischen Rückgänge innerhalb der Jahre 1993 - 2007 verzeichnet werden, wobei sich der kalte Winter 1995 hinsichtlich der Abundanz der Scholle in den Folgejahren positiv ausgewirkt hat.

Im Schnitt war die Gesamtindividuenzahl im Sommer deutlich höher als im Frühjahr eines jeden Jahres. Zudem konnte ebenso ein Unterschied zwischen den Kompartimenten Watt und See hervorgehoben werden. So ist die Individuendichte im Watt deutlich höher als in den tieferen Gebieten im Bereich vor den Inseln. Oft werden die Individuen im Watt durch Jungstadien und juvenile Tiere dominiert, die hier die Individuenzahlen „hochtreiben“. Für eine Vielzahl von Arten, wie z.B. Scholle, Hering, Sprotte und Seezunge dienen die Ästuarbereiche und die flachen Küstengewässer des Wattenmeeres als Kinderstube wo sie das hohe Nahrungsangebot der Watten nutzen (KNUST *et al.* 1995; AMENDA 2005). Adulte Tiere wandern hingegen zunehmend in Tiefe Gewässer der Nordsee ab. In den Untersuchungen ist zu erkennen, dass zwar die Abundanz deutlich höher im Bereich der Wattflächen ist, die Gesamtbiomasse hingegen im Bereich vor den Inseln (vor allem im Sommer) größer ist. Dies ist darauf zurückzuführen, dass hier zwar weniger Individuen, dafür aber mehr ausgewachsene

und somit größere Individuen leben. Die Werte für die Gesamtabundanz in den Sommermonaten 1993 und 1994 waren in etwa vergleichbar mit den ermittelten Werten von KNUST *et al.* (1995), da hier z.T. auch die gleichen Proben vorliegen.

Während in der durchschnittlichen Artenzahl jahreszeitliche Unterschiede zu erkennen waren, so unterschied sich die Artenzahl geographisch nur gering. Im Sommer waren im Schnitt 2 - 3 Arten mehr vertreten als im Frühjahr eines jeden Jahres. Die Artenzahl war im Durchschnitt im Sommer auf der Seeseite am höchsten, hier konnten im Mittel 11 Arten nachgewiesen werden. In der Diversität waren zwischen den Jahreszeiten oder den Kompartimenten keine signifikanten Unterschiede zu ermitteln.

In nahezu allen Ergebnissen ist zu sehen, dass vor allem das Jahr 1996 eine Sonderstellung innerhalb des Untersuchungszeitraumes einnimmt. Sowohl die Artenzahl als auch die Diversität war in diesem Jahr deutlich geringer als in allen anderen untersuchten Jahren. Auch die Individuendichte und die Biomasse unterschieden sich hier von den anderen Jahren. So waren diese im Frühjahr 1996 geringer und im Sommer deutlich höher als in den meisten untersuchten Jahren von 1993 - 2007. Die geringe Diversität ist darauf zurückzuführen, dass in diesem Jahr insgesamt wenig Arten nachgewiesen werden konnten und die Familie Pleuronectidae mit einem deutlich höheren Anteil von 97,06 % als in allen anderen Jahren dominierte. Vor allem die Scholle war hier deutlich verstärkt in den Fängen vertreten. Diese Veränderungen in der Artgemeinschaft des Jahres 1996 haben zum Teil auch noch im Frühjahr 1997 bestand. Die Sonderstellung dieser Jahre wird vor allem auf den kalten Winter im Jahr 1995 / 1996 zurückzuführen sein. Hier betrug die durchschnittliche Oberflächentemperatur von Dezember 1995 bis März 1996 -0,5 °C. Das ostfriesische Wattenmeer war von einer Eisschicht über 48 Tage nahezu vollständig bedeckt. Nachdem das Eis wieder zu schmelzen begann, zeigten Untersuchungen, dass die Salinität, auch aufgrund der geringen Süßwasserzufuhr, hier unnatürlich hoch war (GÜNTHER & NIESEL 1999). Im ostfriesischen Wattenmeer wurden anoxische Sedimentoberflächen sowie Veränderungen in der Artenzusammensetzung des Phytoplanktons nachgewiesen. Im März konnte eine Blüte von kaltadaptierten Diatomen (*Coscinodiscus concinnus*) beobachtet werden, welche die Fähigkeit besitzen intrazelluläres Öl zu produzieren,

dass nach dem Absterben der Blüte einen Lipidfilm auf dem Oberflächenwasser hinterließ (GÜNTHER & NIESEL 1999). Diese außergewöhnlichen Winterverhältnisse haben sich somit auch auf die hier lebenden Organismen ausgewirkt. Einerseits wurden massive Verluste bei Teilen der Macrofauna und andererseits ungewöhnlich hohe Rekrutierungen bei Arten in der darauffolgenden Saison vernommen (STRASSER 2000, ZIEGELMEIER 1964). Schwankungen in der Individuendichte der Seezunge sind z.B. auch aufgrund eines strengen Winters der Jahre 1962/62 bekannt, in denen sich der Laichbestand um mehr als die Hälfte reduzierte (MILLNER & WHITING 1996). Die Scholle scheint hingegen eine der wenigen Arten zu sein, die von den Bedingungen des extremen Winters nicht negativ beeinflusst wurde und hinsichtlich der erhöhten Biomasse und Individuenzahl in den Folgejahren sogar davon profitieren konnte.

5.2 Vorrangig betrachtete Fischarten

Kleiner Sandaal (*Ammodytes lancea*)

Der Kleine Sandaal kommt in der Regel in großen Schwärmen vor. Im Sommer halten sie sich an der Wasseroberfläche auf, wo sie in einigen Regionen zum Teil auch kommerziell gefangen werden (ROGERS *et al.* 1998). Im Winter und bei Gefahr halten sie sich überwiegend eingegraben im Sandboden auf. In den untersuchten Jahren war der Kleine Sandaal mit einer geringen Präsenz von durchschnittlich 6,34 % im Sommer und 7,86 % im Frühjahr vertreten. Der Kleine Sandaal ist hauptsächlich küstennah zu finden; so kam er in den Watten deutlich häufiger vor als im Bereich vor den Inseln, wo er ausschließlich im Jahr 1994 nachgewiesen werden konnte.

Großer Sandaal (*Hyperoplus laneolatus*)

Der Große Sandaal lebt vor allem küstennah im Meer, im Brackwasser in der Gezeitenzone sowie in Flussmündungen. Er ist nachaktiv und geht in Schwärmen auf Nahrungssuche. Der Große Sandaal konnte ausschließlich in den Jahren 1993, 1997 und 2000 nachgewiesen werden. Hier kam er sowohl im Watt als auch in den tieferen Gebieten auf der Seeseite vor. Während er in den Untersuchungen von KNUST *et al.* (1995) lediglich in den Monaten Juli und September erfasst werden konnte, so konnte er

in diesen Untersuchungen auch im Frühjahr an einer Station des Jahres 2000 nachgewiesen werden.

Europäischer Aal (*Anguilla anguilla*)

Der Aal ist ein am Boden lebender katadromer Wanderfisch, welcher zum Laichen vom Süßwasser in das Meer abwandert. Aale sind hauptsächlich nachtaktiv, sodass er in den tagsüber durchgeführten Untersuchungen in den Fängen unterrepräsentiert sein kann. Tagsüber hält er sich vor allem in Unterschlüpfen zwischen Pflanzen und Wurzeln auf. Auch der Aal war überwiegend im Bereich der Wattflächen und nur spärlich auf der Seeseite zu finden. Im Bereich vor den Inseln konnte er lediglich im Sommer 1993 nachgewiesen werden. In allen anderen Jahren war er ausschließlich in den Wattflächen zu finden. Im Sommer war der Aal häufiger anzutreffen als im Frühjahr der jeweiligen Jahre. In den Wattflächen konnte er im Sommer maximale Individuendichten von durchschnittlich 0,84 Individuen / 1000 m² erreichen. Das langfristige Mittel über die Jahre lag hier bei 0,012 Individuen / 1000 m². In einigen Jahren, wie z.B. 1994 und 1995, war der Aal nicht in den Fängen vertreten. Auch ältere Untersuchungen zeigten, dass der Aal im Sommer 1994 ausschließlich im Osterems mit einer Individuendichte < 0,1 Individuen / 1000 m² vorkam. In Gebieten der Schluchter, Wichter Ee, Otzumer Balje, Harle und der Blauen Balje war er im Jahr 1994 nicht vertreten (KNUST *et al.* 1995).

Aalmutter (*Zoarces viviparus*)

Die Aalmutter ist ein Bodenfisch, der sich im Litoral in Tiefen von bis zu 40 m aufhält, aber auch in Brackwasserzonen vorkommt. Die Paarungszeit der Aalmutter beschränkt sich auf den Spätsommer (August), sodass die Larven im Zeitraum von Januar bis Februar schlüpfen. Im ostfriesischen Wattenmeer beschränkte sich das Vorkommen ausschließlich auf die Wattflächen. Auf der Seeseite im Bereich vor den Inseln konnte sie nicht erfasst werden. In den Wattflächen konnten im Jahr 1999 Individuendichten von bis zu 50 Individuen / 1000 m² erreicht werden. Im Durchschnitt waren die Individuendichten jedoch deutlich geringer. Die stark schwankenden Individuendichten der untersuchten Stationen deuten darauf hin, dass die Aalmutter nur kleinräumig vermehrt vorkommt. Dies ist darauf zurückzuführen, dass die Aalmutter vor allem Bereiche

bevorzugt, die mit Schill durchsetzt sind um auf Beute zu lauern (KNUST *et al.* 1995). Die Aalmutter gehört zu den Standfischen der Seegrasregionen des Wattenmeeres. Somit findet sie im Wattboden der Priele geeignete Lebensbedingungen und hält sich weniger im Bereich vor den Inseln auf. Im saisonalen Vergleich tritt die Aalmutter am häufigsten in den Sommermonaten auf. Im Frühjahr der Untersuchungen konnten im gesamten Mittel lediglich 0,31 Individuen / 1000 m² nachgewiesen werden, während im Sommer im gesamten Mittel 1,35 Individuen / 1000 m² vertreten waren.

Kliesche (*Limanda limanda*)

Die Kliesche ist eine weit verbreitete, am Boden lebende Art des Wattenmeeres. Die Laichgebiete der Kliesche erstrecken sich nahezu über die gesamte Nordsee (VAN DER LAND 1991), unter anderem einschließlich der Deutschen Bucht nördlich der Ostfriesischen Inseln. Individuen der Altersklasse 0 welche sich in tieferen Gewässern aufhalten, wandern im Herbst in den Küstenbereich der Gezeitenzone (BOLLE *et al.* 1994). So ist auch hier eine Tendenz der räumlichen Trennung von juvenilen und adulten Individuen zu erkennen. BOLLE *et al.* (1994) beobachteten, dass die Individuendichten der Altersklassen 0 und 1 in flacheren Küstenbereichen höher waren als in den übrigen Gebieten der Nordsee. Die Kliesche kam in den Untersuchungsjahren relativ unregelmäßig und mit einer geringen Präsenz (Frühjahr 9,25 %; Sommer 13,14 %) vor. Die Individuendichte betrug im gesamten Mittel über die Jahre in den Wattflächen < 0,25 Individuen / 1000 m². Im Bereich vor den Inseln konnte in den Sommermonaten eine Individuendichte von 0,74 Individuen / 1000 m² ermittelt werden. Lediglich im Frühjahr konnte im Bereich vor den Inseln eine mittlere Individuendichte von etwa 3 Individuen / 1000 m² erfasst werden. Auch KNUST *et al.* (1995) ermittelten hier ähnliche Werte in den Jahren 1993 - 1994. So betrug die Präsenz der Kliesche hier < 10 % und die Individuendichte < 0,1 Individuen / 1000 m². In anderen Gebieten wie des ersten Offshore-Windparks Horns Rev an der dänischen Küste scheint die Kliesche weiter verbreitet zu sein als in Bereichen des ostfriesischen Wattenmeeres. Hier konnte in den Jahren 1989 - 1999 eine Individuendichte von mehr als 64 Individuen / 1000 m² nachgewiesen werden (HOFFMANN *et al.* 2000). Auch in Untersuchungen im niederländischen Wattenmeer von 1980 - 1993 war die Kliesche häufiger vertreten. Hier war sie neben der Scholle und der Seezunge die dominanteste Art, wobei die Fänge im

Küstenbereich konstanter waren als in Mündungsbereichen, wo die Abundanz deutlicheren Schwankungen unterlegen war (VAN LEEUWEN *et al.* 1994).

Kabeljau (*Gadus morhua*)

Der Kabeljau gehört zu den Wanderfischen, welche zwischen der Küste und dem offenen Meer der Nordsee Laich- und Nahrungswanderungen durchführen. Ihm kommt eine hohe wirtschaftliche Bedeutung in der Fischerei zu (PÖRTNER *et al.* 2001). Das Verbreitungsgebiet erstreckt sich über Grönland und die Barentssee bis hin zu temperierten Gebieten wie der Nordsee (BJÖRNSSON *et al.* 2001). Die Jungfische sind pelagisch und gehen im Alter zur Bodenlebensweise über. KNUST *et al.* (1995) ermittelten für die Wintermonate (Januar - März) des Jahres 1994 die höchste Biomasse mit etwa 40 g / 1000 m² für den Kabeljau. In diesen Untersuchungen konnte im Frühjahr (März) 1994 eine ähnliche Biomasse (37,57 g / 1000 m²) des Kabeljaus im Bereich der Wattflächen erfasst werden, wobei der Kabeljau hier insgesamt nicht den höchsten Biomassenanteil unter allen Arten ausmachte. In diesen Untersuchungen wurde die Biomasse in den Wattflächen im Frühjahr 1994 z.B. von der Flunder übertroffen (47,42 g / 1000 m²). War der Kabeljau in den Untersuchungen vertreten, zeigte er überwiegend eine relativ hohe Präsenz in den Fängen. Dennoch kam er nur mit geringer Individuenzahl und geringer Biomasse vor, welche zum Teil auf die hohen Discardraten in der Fischerei zurückzuführen sein können.

Scholle (*Pleuronectes platessa*)

Die Scholle ist ein Bodenfisch, welcher vor allem über Sand- und Schlickgrund in Tiefen zwischen 10 - 50 m vorkommt. Auch die Scholle gilt als ein wichtiger Nutzfisch der Nordsee. Sie ist sowohl eine der dominierenden Arten im Wattenmeer der südlichen Deutschen Bucht, als auch eine der charakteristischsten Arten. Mittels SIMPER-Analyse konnte bestätigt werden, dass die Scholle sowohl in den Wattflächen als auch auf der Seeseite im Frühjahr und im Sommer einen typischen Vertreter der Artgemeinschaft darstellt. Die Individuendichte zeigte über die Jahre kaum Schwankungen, die Scholle war durchweg über alle Jahre vertreten. Die Ausnahme bildeten die Jahre 1996 und 1997, in denen ein deutlich verstärktes Auftreten der Scholle auftrat. Die Scholle nutzt das Wattenmeer vor allem als Kinderstube. Im Frühjahr laichen die Tiere und die

Jungstadien verweilen das erste Frühjahr in den flachen Gewässern, wo sie vor Fressfeinden geschützt sind und ein ausreichendes Nahrungsangebot vorfinden. In nördlicheren Gebieten fehlen jüngere Schollen fast vollständig, ihre Individuendichten nehmen mit zunehmender Gewässertiefe ab (PIHL 1989). Nach KNUST *et al.* (1995) zeigte die Scholle im Sommer 1993 unter allen Arten sowohl die höchste Individuendichte (> 100 Individuen / 1000 m^2) als auch die größte Biomasse ($> 500\text{ g} / 1000\text{ m}^2$). Die Werte dieser Arbeit sind für die Scholle im Jahr 1993 deutlich geringer. Im Durchschnitt wurden in den Wattflächen im Sommer des Jahres 1993 47 Individuen / 1000 m^2 erfasst, wobei stellenweise an einzelnen Stationen ebenso bis zu 150 Individuen / 1000 m^2 verzeichnet werden konnten. Insgesamt waren die Abundanz sowie die Biomasse der Scholle im Sommer deutlich höher als im Frühjahr, was darauf zurückzuführen ist, dass die Scholle im Herbst in tiefere Gewässer der Nordsee abwandert. Auch PIHL (1989) verzeichnete eine erhöhte Individuendichte in den Monaten Juli und August in der Laholm Bucht in Schweden.

Seezunge (*Solea solea*)

Die Seezunge ist eine benthisch lebende Art und kommt bevorzugt über schlammigen und sandigen Grund vor, wo sie tagsüber hauptsächlich am Meeresboden verweilt. Im Sommer ist sie auch häufig im Brackwasser und Flussmündungen anzutreffen. Die Laichgebiete erstrecken sich von der Belgischen Küste über Helgoland und der Dänischen Küste, wo im April die meisten Eier nachgewiesen werden konnten (VAN DER LAND 1991). In den Jahren 1980 - 1993 zeigte die Seezunge eine graduelle Abnahme der Individuendichte in den niederländischen Bereichen des Wattenmeeres (VAN LEEUWEN *et al.* 1994). In dieser Arbeit konnte kein deutlicher Trend hinsichtlich einer Abnahme in der Abundanz der Seezunge erkannt werden. Allerdings war die Seezunge im Sommer häufiger und mit höheren Individuendichten vertreten als im Frühjahr. Während die Seezunge im Frühjahr lediglich an 12,11 % aller untersuchten Stationen vorkam, erreichte sie im Sommer eine Präsenz von 50,58 %. Im Zeitraum vom Herbst 1992 bis zum Frühjahr 1995 konnten Knust *et al.* (1995) eine durchschnittliche Präsenz von < 30 % nachweisen. Im Watt konnte im Sommer mit durchschnittlich 0,95 Individuen / 1000 m^2 die größte Individuendichte ermittelt werden. An der Küste vor England konnten hingegen zum Teil deutlich höhere Individuendichten nachgewiesen

werden. In den Gewässern östlich von England wurden hier durchschnittlich 13,96 Individuen der Altersklasse 0 auf einer Fläche von 1000 m² erfasst (ROGERS & MILLNER 1996).

Steinbutt (*Scophthalmus maximus*)

Der Steinbutt bevorzugt flache Gewässerbereiche (10 - 40 m Tiefe) mit steinigen und sandigen Untergrund sowie Muschelschill- oder Geröllgrund. Juvenile kommen hingegen vor allem in Flachwasserzonen von < 1 m Tiefe vor. Die Nordsee stellt für den Steinbutt, als auch für den Glattbutt, die nördliche Verbreitungsgrenze dar, wobei sie an der östlichen Küste von England relativ häufig vorkommen (ROGERS *et al.* 1998). Im ostfriesischen Wattenmeer kam der Steinbutt im Frühjahr nahezu gar nicht vor. Hier konnte er lediglich im Jahr 2000 mit einer Präsenz von 4,17 % erfasst werden. Im Sommer zeigte er eine durchschnittliche Präsenz von 5,44 % über alle Jahre. Generell kommt der Steinbutt vor allem in offenen Küstenbereichen vor (GIBSON 1994). Auch in diesen Untersuchungen war die Individuendichte auf der Seeseite (0,056 Individuen / 1000 m² im Sommer) geringfügig höher als in den Wattflächen (0,0004 Individuen / 1000 m² im Sommer). Andere Untersuchungen zeigten, dass der Steinbutt in den Gewässern vor England mit höheren Individuendichten vertreten ist. Hier konnte er in Gewässern nördlich von England mit 0,432 Individuen / 1000 m² nachgewiesen werden (ROGERS & MILLNER 1996).

Glattbutt (*Scophthalmus rhombus*)

Der Glattbutt, welcher überwiegend am Meeresboden auf sandigem sowie gemischem Substrat lebt, hat sein Verbreitungsgebiet im Atlantik. Hier kommt er an der europäischen Küste bis nach Marokko in Tiefen von etwa 5 - 50 m vor. Insgesamt zeigte der Glattbutt innerhalb der Jahre 1993 - 2007 eine geringe Präsenz von etwa 2 %. Auch in den Untersuchungen von KNUST *et al.* (1995) war der Glattbutt mit einer Präsenz von ca. 5 % relativ selten vertreten. Im Bereich vor den Inseln konnte dieser lediglich im Jahr 1994 nachgewiesen werden, während er in den Wattflächen in acht der 15 untersuchten Jahre erfasst werden konnte. Entsprechend der geringen Präsenz waren auch Abundanz und Biomasse gering. Der Glattbutt war im gesamten Mittel über die Jahre 1993 - 2007 mit einer Individuendichte von 0,0039 Individuen / 1000 m² vertreten. In den

Gewässern bei England zeigte dieser geringfügig höhere Individuendichten. In Gewässern südlich von England konnte eine Individuendichte von 0,158 Individuen / 1000 m² und in Nordengland von 0,225 Individuen / 1000 m² erfasst werden (ROGERS & MILLNER 1996).

Sprotte (*Sprattus sprattus*)

Die Sprotte ist eine schwarmbildende pelagisch lebende Art mit einem Verbreitungsgebiet im Atlantik. Hier kommt sie sowohl in Nord- und Ostsee, als auch im Schwarzen Meer und dem Mittelmeer vor. KNUST *et al.* (1995) ermittelten für die Sprotte in den Jahren 1992 - 1995 insgesamt eine Präsenz von über 40 %. Während die Sprotte hier im Sommer 1993 eine Präsenz von etwa 20 % zeigte, konnte für den Winter 1994 eine deutlich höhere Präsenz von über 70 % erfasst werden (KNUST *et al.* 1995). Innerhalb dieser Untersuchungen von 1993 - 2007 zeigte sie eine relative Präsenz von 38,72 % im Frühjahr und 47,84 % im Sommer. Dennoch konnte im Mittel über die Jahre nur eine Individuendichte von < 1 Individuum / 1000 m² nachgewiesen werden. Hier ist jedoch zu berücksichtigen, dass mit der 3 m-Baumkurre pelagisch lebende Arten nur unzureichend gefangen werden, weshalb die Sprotte in diesen Untersuchungen unterrepräsentiert sein wird. Zudem sind Sprotten vor allem nachts aktiv in Schwärmen unterwegs (REISE *et al.* 2010), zu Zeiten, in denen hier keine Befischungen durchgeführt worden sind.

Wittling (*Merlangius merlangus*)

Der Wittling kommt vor allem in Küstengebieten mit schlammigen oder sandigen Grund und Seegraswiesen in Tiefen bis zu ca. 200 m vor. Der Wittling zeigte im Sommer (49,26 %) eine deutlich höhere Präsenz als im Frühjahr (15,92 %). Im Jahr 2001 war eine überdurchschnittliche Individuendichte des Wittlings zu verzeichnen. Der Wittling zeigte hier im Durchschnitt eine deutlich höhere Abundanz (45 Individuen / 1000 m² im Sommer) und Biomasse (156,36 g / 1000 m² im Sommer) als in allen anderen untersuchten Jahren. Diese befristeten Massenauftritte des Wittlings in den Wattflächen können bereits auf eine sich allmählich verändernde Fischgemeinschaft bezüglich der Artenzusammensetzung und Populationsstruktur hindeuten (KNUST *et al.* 1995). Auch andere Untersuchungen wie z.B. von LOZÁN (1990) gaben erste Hinweise auf

Veränderungen in der Artenzusammensetzung von Fischgemeinschaften sowie auf einen Rückgang von diadromen Fischarten.

Flunder (*Platichthys flesus*)

Auch die Flunder ist ein wichtiger Nutzfisch der Nordsee. Sie ist eine nachtaktive Art, welche hauptsächlich im Meer anzutreffen ist, aber auch im Brackwasser der Ästuare vorkommt. Sie war innerhalb dieser Untersuchungen in den Wattflächen mit deutlich höheren Individuendichten vertreten als auf der Seeseite vor den Inseln. Die Flunder verlässt das Wattenmeer sowie die Mündungsbereiche lediglich zum Laichen in die offene Nordsee (VAN LEEUWEN *et al.* 1994). Sie zeigte über alle Jahre hinweg eine durchgehend hohe Präsenz. Im Frühjahr war die Flunder durchschnittlich über alle Jahre mit einer Präsenz von 79,01 % und im Sommer mit 62,51 % vertreten. Insgesamt konnte in der Vergangenheit (seit den 70er Jahren) ein starker Rückgang der Flunder vernommen werden (LOZÁN 1990), wobei in diesen Untersuchungen über die 15 Jahre kein weiterer deutlicher Abfall vermerkt werden konnte. In den Jahren 1993 - 2007 konnten im gesamten Mittel etwa 2 Individuen / 1000 m² nachgewiesen werden. An einer Station des Jahres 1995 wurden sogar 113 Individuen / 1000 m² erfasst.

Hering (*Clupea harengus*)

Der Hering ist ein Schwarmfisch mit hoher wirtschaftlicher Bedeutung, der sein Hauptverbreitungsgebiet im Nordatlantik von der Ostküste Nordamerikas bis hin zur Küste Nord- und Westeuropas hat. Der Hering konnte sowohl im Watt als auch auf der Seeseite nachgewiesen werden. Die Präsenz zeigte keine deutlichen Unterschiede zwischen Frühjahr (64,96 %) und Sommer (61,12 %). Durchschnittlich war er über alle Jahre mit einer Individuendichte zwischen 1 - 3 Individuen / 1000 m² vertreten. KNUST *et al.* (1995) ermittelten hier ähnliche Ergebnisse in der Abundanz und Biomasse des Herings innerhalb der Jahre 1993 - 1994. Dennoch fluktuierten die Individuendichte sowie die Biomasse des Herings von Jahr zu Jahr, wobei kein klarer Trend zu erkennen war. Diese Schwankungen konnten auch in anderen Untersuchungen in der Meldorf-Bucht vernommen werden (VORBERG *et al.* 2005).

5.3 Abschließende Bewertung langzeitlicher Veränderungen

Wie nicht anders zu erwarten, zeigen fast alle Abundanz - und Biomassewerte eine hohe Schwankungsbreite von Jahr zu Jahr. Für keine der untersuchten Arten war ein eindeutiger Trend in der Bestandsentwicklung zu erkennen. Auch die Gemeinschaftsanalysen (Cluster / MDS) zeigen keine gerichteten Veränderungen über die Jahre, auch wenn Einzelereignisse wie der lange kalte Winter 1995 / 96 deutlich in der MDS Analyse herausgearbeitet wurde (Frühjahrswerte 1996 und 1997) und zeigt, dass die Wassertemperatur auch für das Wattenmeer einen der wichtigsten abiotischen Parameter darstellt. Wenn wir uns auf mögliche Auswirkungen von Temperaturveränderungen auf die Fischfauna des Wattenmeeres konzentrieren, so muss zunächst in Betracht gezogen werden, dass die jährliche Schwankungsbreite über 20°C beträgt. Die Fauna, und dies gilt insbesondere für die sesshaften Arten, ist an eine solch

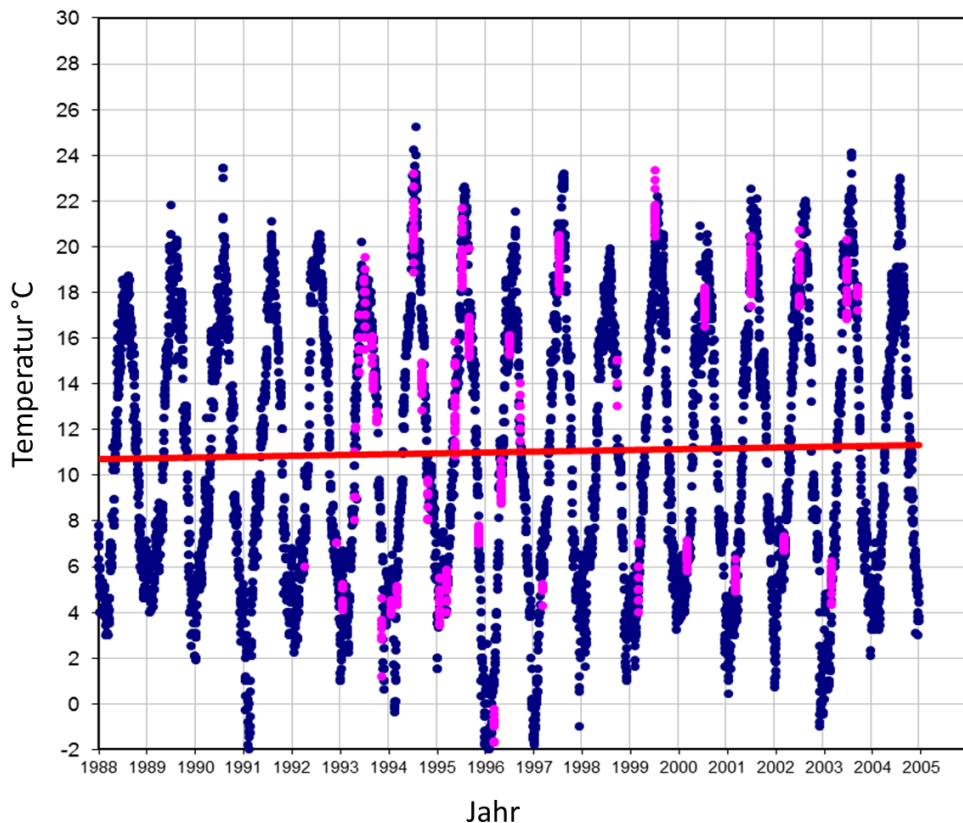


Abbildung 65: Entwicklung der Wassertemperatur (°C) im niedersächsischen Wattenmeer der Jahre 1988 – 2005. Synoptische Daten des DWD an der Station Norderney (Langzeitrend). Eigene Messungen während der Probenahmen bei Langeoog und Spiekeroog.

hohe Schwankungsbreite angepasst. Ein leichter Anstieg der mittleren Jahrestemperatur um 0,6 °C von 1988 bis 2005 (nach Daten DWD für Norderney, Abb. 65) wird von daher noch keine allzu drastischen Auswirkungen auf die Artenzusammensetzung, Abundanz und Biomasse haben. Allerdings ist die Entwicklung der mittleren Wassertemperaturen nicht unbedingt der signifikante Parameter, da die mittleren Sommertemperaturen im selben Zeitraum mit 1,8 °C (gleicher Datensatz DWD) deutlich höher gestiegen sind und es anscheinend einen Zusammenhang gibt zwischen der mittleren Artenzahl pro Station und der Sommertemperatur. Auch wenn die Analyse aufgrund der schlechten linearen Anpassung ($R^2 = 0,26$) kein statistisch signifikantes Ergebnis liefert, so ist der Trend doch erkennbar: Höhere Sommertemperaturen, führen zu einer niedrigen Anzahl von Fischarten im Wattenmeer, was impliziert, dass einige Fischarten vermutlich in die tieferen und auch kälteren Bereiche der Nordsee abwandern.

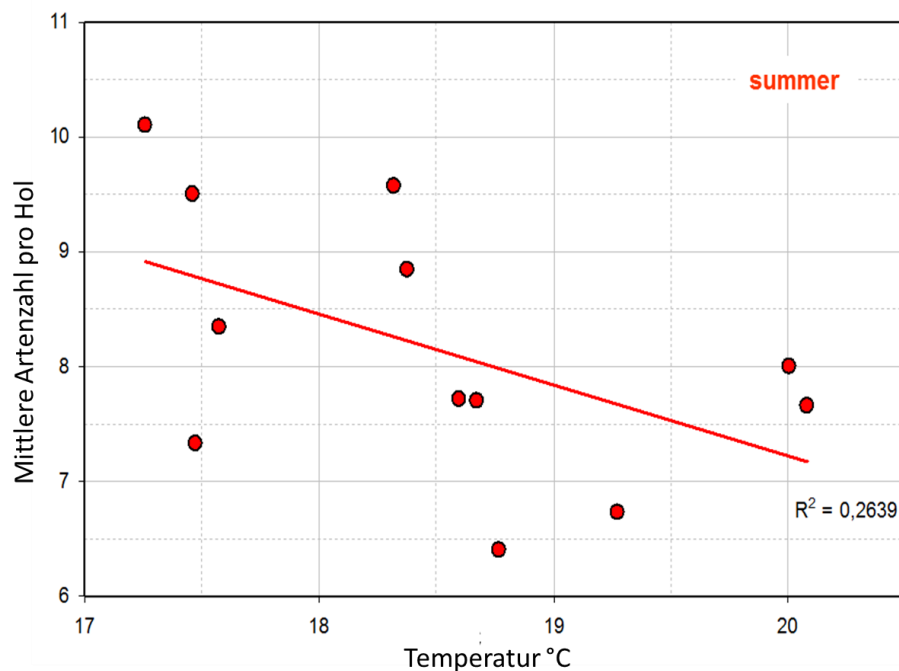


Abbildung 66: Mittlere Anzahl der Arten aller Hols eines Jahres versus Wassertemperatur (°C) im Sommer (Daten aus dem Sommer der Jahre 1993 - 2005).

Dieser Trend konnte auch für die mittlere und südliche Nordsee gezeigt werden. Mit zunehmend wärmeren Temperaturen verlagern sich die Verbreitungsgrenzen der borealen Arten nach Norden (PERRY *et al.* 2005). Für die boreale Aalmutter (*Zoarces viviparus*) konnten PÖRTNER & KNUST (2007) einen signifikanten Zusammenhang

zwischen klimatischen Ereignissen, wie besonders warmen Sommern und einer hohen Mortalität dieser Art nachweisen und die physiologischen Grundlagen als Wirkungsursache belegen. Darüberhinaus zeigte eine Populationsanalyse, dass besonders die älteren und großen Individuen von der hohen Mortalität betroffen sind, was physiologisch gut begründbar ist (PÖRTNER & KNUST 2007, PÖRTNER *et al.* 2008).

Dieses Beispiel mag belegen, dass die Bestandsentwicklung und Artenzusammensetzung nicht unbedingt geeignete Parameter sind, um frühzeitige Hinweise auf mögliche Veränderungen geben. Das Beispiel der Aalmutter zeigt, dass erst eine detaillierte Auswertung der Felddaten inklusive Populationsparameter und der abiotischen Parameter, sowie die mittlerweile guten Kenntnisse der Physiologie dieser Art einen sicheren Hinweis auf mögliche zukünftige Entwicklungen gibt, ohne das jetzt schon eine signifikante Bestandveränderung feststellbar wäre.

Aber nicht nur klimatische Veränderungen beeinflussen die Fischbestände des Wattenmeeres. Auch eine sich verändernde Nährstoffbelastung kann zu einer Veränderung in der Primär- und Sekundärproduktion führen und somit die Nahrungsverfügbarkeit für Fische beeinflussen (BOLLE *et al.* 2009). Temperatur und Nahrungsverfügbarkeit stellen zwar zwei wesentliche beeinflussende Faktoren dar, dennoch gibt es weitere Parameter, die die Fischfauna der Wattenmeere beeinflussen können. Hierzu zählen u.a. Fischerei, Habitatsverlust, Prädation und Eutrophierung der Küstengewässer. Bereits in den 1960er und 1970er Jahren konnte aufgrund der Eutrophierung eine erhöhte Primär- und Sekundärproduktion vernommen werden, welche mit einer erhöhten Wachstumsrate der Scholle einherging (TULP & BOLLE 2009). In den letzten 15 Jahren kam es jedoch zu einem Rückgang der Nährstoffbelastung, sodass der Parameter Eutrophierung heutzutage nicht mehr als einer der wichtigsten Einflussfaktoren gewertet werden kann. Die Fischerei, welche in den letzten Jahren ebenso deutlich zurück gegangen ist, beeinflusst vor allem die Artenzusammensetzung sowie die Alters- bzw. Größenstrukturen. Die Entnahme von vor allem größeren Fischprädatoren führte in den letzten 30 Jahren zu einer höheren Individuendichte von kleineren Fischen und Fischarten (TULP & BOLLE 2009). Oftmals spielen mehrere Umweltfaktoren, die sich gegenseitig bedingen, zusammen und beeinflussen somit erst im Zusammenspiel die Fischbestände maßgeblich.

5.4 Abschließende Beurteilung der Monitoringstrategie

Im Folgenden soll nochmals auf die Methodik der Probennahme (Fanggerät, Zeiten, Aufwand etc.) und Probenaufarbeitung eingegangen werden. Einige dieser Aspekte wurden bereits sehr ausführlich in KNUST *et al.* (1995), KNUST (1996), KNUST *et al.* (1997) diskutiert. Festzuhalten ist, dass sich auch in den Nachfolgejahren bis 2007 die 3 m-Baumkurre als ein bewährtes und praktikables Fanggerät herausgestellt hat. Die Jahreszeiten Frühjahr und Sommer stellen einen guten Kompromiss zwischen bezahlbarem Aufwand und der Erfassung der jahreszeitlichen Veränderung der Fischbesiedlung dar, wobei das Frühjahr als Standing Stock der Überwinterer angesehen werden kann und der Sommer als die Jahreszeit mit dem höchsten Artenvorkommen.

Aufgrund der Bedeutung der Küstengebiete wurden in der Vergangenheit Monitoringprogramme entwickelt um die ökologischen Prozesse des Wattenmeeres und die Ansprüche und Bedingungen der Fischfauna genauer zu ermitteln und zu verstehen. Ein umfassendes Monitoringprogramm geht jedoch mit einem hohen zeitlichen Aufwand einher und bedarf einer strickt einzuhaltenden Methodik. Untersuchungsprogramme wie DFS und DYFS lieferten erste wichtige Erkenntnisse in Bezug auf die Fischfauna der deutschen und niederländischen Küstengebiete. Wenn auch hier großflächige und repräsentative Gebiete der Küstengewässer untersucht werden konnten, fehlen hier vor allem saisonale Vergleiche (Tab. 12). So konnte die Anzahl der vorkommenden Arten, auch im räumlichen Bezug, sicherlich gut dargestellt werden. Dennoch können nur schwer Aussagen zur Dynamik der Arten getroffen werden, wobei gerade das Wattenmeer von Saisongästen und Wanderfischen geprägt ist. Untersuchungen der DYFS beschränkten sich überwiegend auf den Herbst (September - Oktober). Dadurch können gegebenenfalls Arten die sich nur im Sommer als Saisongäste im Wattenmeer aufhalten gar nicht oder nur unzureichend erfasst werden. In diesen Untersuchungen ist es demnach gegensätzlich. Dadurch, dass sowohl im Frühjahr als auch im Sommer Befischungen durchgeführt wurden, kann die Dynamik einzelner Fischarten besser nachvollzogen werden, während das Untersuchungsgebiet hier lediglich auf die Gewässer um die Inseln Langeoog und Spiekeroog beschränkt ist. Wie auch in dieser

Arbeit, wurde in der DYFS ausschließlich mit Baumkuren befischt, welche einen unzureichenden Überblick über das quantitative Vorkommen pelagischer Arten geben. Hier gibt z.B. das SHS-Programm deutlich verlässlichere Aussagen.

Tabelle 12: Übersicht verschiedener Monitoringprogramme (BOLLE et al. 2009).

	DFS	DYFS	SHS	Diese Arbeit
Jahr	Seit 1970	Seit 1970	Seit 1991	1993 - 2007
Zeitraum	April-Mai ; September-Oktober	April-Mai (bis 2005); September-Oktober	August	März-April; Juni-August
Gebiet	Niederländisches Wattenmeer; Ems-Dollard Mündungsregion; Scheldt Mündungsregion; Küstengewässer der niederländischen-belgischen Grenze bis hin zu Esbjerg, Dänemark.	Ostfriesland; Schleswig-Holstein Region; Elbe-, Weser-, Jade-Ästuare, Hörnum Tief	Meldorf Bucht; Hörnum-Tief (seit 2001)	Rückseitenwatt von Spiekeroog und Langeoog; 5 m-Tiefenlinie vor Langeoog
Fischereigerät	3 m-Baumkurre; 6 m-Baumkurre	3 m-Baumkurre	Hame (9x10 m Netzöffnung)	3 m-Baumkurre
Maschenweite	20 mm	20 mm	-	10 mm

Im Rahmen der ÖSF wurde in Schleswig-Holstein das gesamte Wattenmeer weiträumig untersucht, während sich der grundlagenorientierte Teil (SWAP) auf den Bereich um die Sylt-Rømø Bucht konzentrierte und im niedersächsischen Wattenmeer der Schwerpunkt auf dem Rückseitenwatt von Spiekeroog lag (BEHRENDTS et al. 2004). Die im Rahmen dieser Arbeit mittels 3 m-Baumkurre befaschten Stationen im Bereich der Gewässer um die ostfriesischen Inseln Langeoog und Spiekeroog decken lediglich einen geringen Teil des gesamten Wattenmeeres ab. Dennoch können die befaschten Stationen in den Prielsystemen insofern als repräsentativ für das niedersächsische Watt angesehen werden, da auch vorangegangene Untersuchungen zeigten, dass die Fischfauna in den unterschiedlichen Rückseitenwatten relativ ähnlich ist (mit Ausnahme der Osterems) (KNUST et al. 1995). Zu berücksichtigen sind dennoch immer die z.T. unterschiedlichen Habitatstrukturen und dadurch kleinräumigen Verteilungsmuster der Fische. Um möglichst alle Habitatstrukturen in die Untersuchungen mit einzubeziehen wurden in dieser Arbeit Stationen auf der Seeseite (Bereich vor den Inseln), zwischen den Inseln (Wassertiefen von z.T. 20 m), in den Baljen (Wassertiefen zwischen 5 - 15 m) und in den abzweigenden Prielen gewählt. Die einzelnen Kompartimente mit ihren

unterschiedlichen Gegebenheiten unterscheiden sich demnach z.T. in der Besiedlungsstruktur der Fische. Während einige Arten (z.B. die Aalmutter) vor allem flachere Priele bevorzugen (KNUST *et al.* 1995), sind pelagische Arten wie Hering bevorzugt in den tieferen Gewässern zu finden. Weiterhin ist bei der Wahl der Beprobungsorte zu berücksichtigen, dass sich die Fischfauna in den Ästuarbereichen z.B. von Weser und Ems unterscheiden kann. Diese Übergangsgewässer sind vor allem durch Wanderfischarten geprägt. Lachs, Schnäpel und Meerneunauge suchen die Flüsse als Laichgebiete auf, während andere Arten wie z.B. der Aal von den Flüssen in das Meer wandern. Diese vom Süßwasser beeinflussten Gebiete sollten dementsprechend ebenso berücksichtigt werden.

Auch die Anzahl der durchgeführten Fänge spielt bei den Untersuchungen eine wesentliche Rolle. So steigt mit zunehmender Anzahl der Fänge und des befischten Volumens die Anzahl der gefundenen Arten. Das Volumen hängt wiederum von der Größe des Netzes, der Holdauer sowie der Strömungsgeschwindigkeit ab (VORBERG 2001). In dieser Arbeit wurden insgesamt 25, über das Untersuchungsgebiet verteilte, Stationen zwei Mal im Jahr befischt. KNUST *et al.* (1995) ermittelten, dass bei der Baumkurrenfischerei mit 19 Fängen ca. 87 % der maximalen Artenanzahl bzw. bei 10 Fängen 75 % aller Arten erfasst werden konnten. BRECKLING *et al.* (1994) kamen zu dem Ergebnis, dass in der Regel 9 - 10 Hols ausreichen, um das mit einer Baumkurre fangbare Artenspektrum zu erfassen, da bereits nach etwa dem fünften Hol 90 % der Fischarten mindestens einmal im Fang vertreten sind.

Um wirklich alle Arten in verschiedenen Kompartimenten, wie tiefen und flachen Bereichen, Prielen, Ästuaren usw. zu erfassen, wäre es sinnvoll unterschiedliche Fangmethoden und -geräte synchron zu verwenden sowie im besten Fall mehrmals verteilt über das Jahr Untersuchungen durchzuführen (HINZ 1989). Je nach Absicht der Untersuchungen kommen unterschiedliche Gerätschaften zum Einsatz. Eine gewöhnliche Baumkurre ist effektiv, wenn es darum geht die Präsenz einzelner Arten nachzuweisen, wohingegen 2 m und 3 m-Baumkuren deutlich effektiver sind um zusätzlich auch in flacheren Gebieten arbeiten zu können und vor allem die demersale Fischfauna zu erfassen.

Aufgrund der hohen Dynamik des Wattenmeeres (offenes, tidenbeeinflusstes System) ist bei den Befischungen ebenso auf den Zeitpunkt sowie den Zeitraum der Untersuchungen zu achten. Das Wattenmeer ist geprägt von deutlichen jahreszeitlichen und tageszeitlichen Schwankungen der abiotischen Faktoren (Temperatur, Salinität, Wassertiefe), wodurch eine Erfassung der Fischfauna über das ganze Jahr hinweg optimal wäre. Da dies in der Regel jedoch allein aus Kostengründen nicht realisierbar ist, ist es wichtig den Zeitpunkt der Befischungen bewusst zu wählen. Um die Dynamik der Fischfauna zumindest im gewissen Umfang einschätzen zu können, sollten die Untersuchungen weiterhin mindestens zwei Mal im Jahr zu unterschiedlichen Jahreszeiten realisiert werden. In vergangenen Untersuchungen wurde bereits erkannt, dass in den Sommermonaten (Juni - August) die höchste Individuendichte und Artenzahl erfasst werden konnte (KNUST *et al.* 1995), sodass es sinnvoll ist, diesen Zeitraum zur Probennahme beizubehalten. In den Wintermonaten von Januar bis März sind hingegen die geringste Individuendichte und Artenzahl zu vernehmen, sowie vor allem auch Arten, die ausschließlich in den Wintermonaten das Wattenmeer aufsuchen. Demnach sind die in dieser Arbeit untersuchten Zeiträume gut gewählt um mögliche saisonale Veränderungen in der Fischfauna kenntlich zu machen und auch Arten zu erfassen, die sich nicht dauerhaft im Wattenmeer aufhalten. Aber nicht nur der Zeitraum, auch der Zeitpunkt der Befischungen ist insofern von Bedeutung, da einige Arten wie z.B. die Scholle tideale Wanderungen durchführen. So kann sich die Individuendichte bestimmter Arten bei Hoch- und Niedrigwasser deutlich unterscheiden. Untersuchungen zeigten, dass sich mit dem Tidenverlauf auch die Nährstoffkonzentrationen merklich verändern. So konnten Maximalwerte überwiegend bei Niedrigwasser gemessen werden, wohingegen bei Hochwasser die Konzentration von Nährsalzen deutlich niedriger war (BEHRENDs *et al.* 2004). Die Wanderungen einiger Fischarten sind zudem intraspezifisch und hängen demnach auch vom Alter bzw. der Größe einzelner Individuen ab (KNUST *et al.* 1995).

BOLLE *et al.* (2009) definierten 48 Fischarten, die innerhalb vier unterschiedlicher Untersuchungsprogramme (DFS, DYFS, SHS, SFIS) erhoben wurden, als derzeitige Fischfauna des Wattenmeeres. Insgesamt verzeichneten TULP & BOLLE (2009) über die Jahre 1970 - 2005 einen Rückgang der Biomasse sowie der Individuendichte im

Wattenmeer. Während die Biomasse von 1970 bis in die 80er Jahre zunahm, wurde in den folgenden Jahren eine nahezu kontinuierliche Abnahme vernommen. In den anderen Gebieten der niederländischen Küstenregion und Westerscheide war dieser Trend nicht so eindeutig zu erkennen, wenngleich auch hier insgesamt eher eine Abnahme der Biomasse vernommen werden konnte. Die Analyse der vorrangig betrachteten Arten zeigte sowohl für die Abundanz als auch für die Biomasse recht hohe Schwankungen, welche für ein solch dynamisches Ökosystem als normal betrachtet werden können. Diese konnten auch in den Untersuchungen von TULP & BOLLE (2009) veranschaulicht werden. Dennoch konnte in der Arbeit der zuvor erwähnte Langzeittrend in der Reduktion der gesamten Biomasse und Individuendichte von 1970 bis 2005 erfasst werden. Dieser konnte in dieser Arbeit innerhalb der Jahre 1993 bis 2007 in solchem Maß nicht nachvollzogen werden. Auch die Gemeinschaftsanalysen zeigen keine gerichteten Veränderungen über die Jahre.

Die Ermittlung der absoluten Abundanz von Fischen oder auch anderen Organismen bezogen auf eine bestimmte Fläche stellt sich in der Realität immer wieder als schwierig heraus. Dennoch hängt die Effizienz der Fähigkeit von Fischen stark von der angewandten Methode ab. So ist es ein Ziel, die Probennahmestrategie weitestgehend zu optimieren. In dieser Arbeit lag der Schwerpunkt auf der Ermittlung der Besiedlungsdichten und Artenzusammensetzung der Fische aus dem ostfriesischen Wattenmeer. Aufgrund der relativ flachen Bereiche im Watt, ist hier ein Manövrieren mit großen Geräten zum Teil schwierig, weshalb eine 3 m-Baumkurre für diese Gebiete als angemessenes Gerät angesehen werden kann um Veränderungen hinsichtlich der bodennahen Besiedlung zu beobachten. Dennoch ist zu berücksichtigen, dass mit einer Baumkurre die Individuendichten von demersalen Organismen zwar verhältnismäßig gut eingeschätzt werden können, pelagische Arten wie z.B. Sprotte, Stint und Hering aber aufgrund der geringen Bauhöhe des Gerätes im Fang unterrepräsentiert sein können (KNUST *et al.* 1995). Alle Hols wurden mit demselben Gerät (3 m-Baumkurre) durchgeführt, die Schleppzeiten betragen ca. 10 Minuten, wobei nicht auf das tageszeitliche Regime geachtet wurde. Somit können nachtaktive Arten wie z.B. die Seezunge und der Aal bei den tagsüber durchgeführten Befischungen unterrepräsentiert sein. Generell wäre eine möglichst breite Baumkurre von z.B. 8 m von Vorteil, um bei

gleicher Schleppzeit eine möglichst große Fläche abzufischen und somit auch den Erfassungsgrad von seltenen Fischarten zu vergrößern. Zudem ist bekannt, dass größere Geräte seitlich fliehende Tiere wie z.B. den Wittling besser fangen (BRECKLING *et al.* 1994) als die 3 m-Baumkurren. Dies wäre jedoch wiederum in flachen Bereichen im Wattenmeer nicht möglich gewesen, da es hier zu Schwierigkeiten beim Manövrieren kommen würde. Weiterhin können schnellere und äußerst aktive Fischarten die vor dem Netz fliehen aufgrund der relativ geringen Schleppzeit von 10 Minuten unterrepräsentiert sein. Die Schleppzeit spielt insofern eine wichtige Rolle, als dass Tiere die versuchen vor dem Netz zu entkommen früher oder später wieder vom Netz eingeholt werden können, wenn die Schleppzeit von ausreichender Dauer ist. Versuchen sie ausschließlich vor dem Netz zu fliehen, werden sie solange gescheucht, bis sie vor Erschöpfung doch in das Netz absinken (BRECKLING *et al.* 1994). Dennoch ist die 3 m-Baumkurre eines der besten Geräte um Veränderungen der demersalen Fischfauna festzustellen sowie Neubesiedlungen erkennbar zu machen. Einige demersale Fischarten wie die Scholle und die Kliesche graben sich bei Gefahr zum Teil in den Meeresboden ein und werden mit kleineren Geräten eher erfasst als mit größeren Geräten, die häufiger über dem Meeresgrund schweben. BRECKLING *et al.* (1994) erkannten im Vergleich zwischen Baumkurren- und Hamenfängen einen deutlichen Unterschied in der Fähigkeit zwischen demersal lebenden und pelagisch lebenden Fischarten. So gehen sie davon aus, dass der im Pelagial lebende Hering mittels Baumkurre um einen Faktor von etwa 10^3 unterschätzt werden kann. Auch Stint und Wittling können mit einem Faktor von 10^2 unterrepräsentiert sein. Zu ähnlichen Ergebnissen kamen auch KNUST *et al.* (1995), welche darauf hinweisen, dass die beiden pelagischen Arten Hering und Sprotte mit der Baumkurre deutlich seltener aufgezeichnet wurden als mit Hamen. Im Gegenzug wurden Sandgrundel und Scholle mit Hamen deutlich seltener erfasst. Da die benthisch lebende Scholle aber auch in den Hamenfängen vertreten war, wird davon ausgegangen, dass sich bis zu 1% aller Individuen tagsüber im Pelagial aufhalten (BRECKLING *et al.* 1994). KNUST *et al.* (1995) ermittelten zudem im Vergleich zwischen der Baumkurre (3 m mit Grundkette und Vorlaufkette) und einer kommerziellen Krabbenkurre (7,5 m mit Rollengeschirr) gewisse Unterschiede in der Fähigkeit von pelagischen Arten wie Sprotte und Hering im Verhältnis von 1:2 bis 1:30. Der Vergleich der Fähigkeit einer 3 m-Baumkurre mit

Rollengeschirr und einer 3 m-Baumkurre mit Grund- und Vorlaufkette ergab, dass zum einen die Scholle eine höhere Fähigkeit gegenüber anderen Plattfischen wie Kliesche und Flunder zeigte, zum anderen die ermittelte Individuendichte des Stints bei der Baumkurre mit Grundkette höher lag. Im Gegensatz dazu werden Sprotte und Hering deutlich häufiger mittels Baumkurre mit Rollengeschirr erfasst (KNUST *et al.* 1995).

Für folgende Monitoringprogramme ist es weiterhin sinnvoll die Untersuchungen sowohl im Winter / Frühjahr als auch im Sommer / Herbst durchzuführen um die saisonale Dynamik in der Fischfauna des Wattenmeeres herauszuarbeiten. Um einen gesamten Überblick über die Fischfauna des Wattenmeeres zu erhalten, sollten zudem nicht nur Untersuchungen mit einer Baumkurre durchgeführt werden, da hiermit ausschließlich die demersale Fischfauna zureichend dargestellt werden kann. Pelagische Fischarten werden zwar erfasst, aber können quantitativ nicht ausreichend verzeichnet werden. Kein Gerät würde alle Fischarten (sowohl pelagisch als auch demersal lebende) ausreichend erfassen und ein quantitativ realistisches Bild der Fauna wiedergeben (BOLLE *et al.* 2009). Um die Unterschiede der Kompartimente Watt und Seeseite (Bereich vor den Inseln) deutlicher herauszuarbeiten, wäre es zudem ratsam mit der 3 m-Baumkurre zusätzliche Dauerstationen im Bereich vor den Inseln einzurichten, da sich die Auswertungen hier auf lediglich zwei Stationen beschränken. Da in diesem Bereich die Gewässertiefen zunehmen und einige Fischarten als adulte Tiere in tiefere Gewässer abwandern, wäre es hier möglich, Unterschiede im Artenvorkommen sowie in der Längenverteilung der Fische deutlicher herauszuarbeiten. Insgesamt wurden im Bereich vor den Inseln (Seeseite) weniger Arten nachgewiesen als im Watt. Hier ist aber demnach zu berücksichtigen, dass auf der Seeseite eben lediglich zwei Stationen dauerhaft untersucht wurden.

6. ZUSAMMENFASSUNG UND FAZIT

Um vor dem Hintergrund der Meeressstrategie-Rahmenrichtlinie einen guten Zustand der Meeresumwelt zu erreichen und Bewertungsverfahren zu entwickeln, sind Langzeituntersuchungen wie diese von großer Bedeutung um die derzeitige Fischfauna und ihre Entwicklung erfassen zu können. Zusammen mit weiteren Untersuchungen, wie der DYFS, kann eine gute Grundlage geschaffen werden, um Bewertungskriterien für die relevanten Indikatoren auszumachen. Insgesamt konnten in dem Untersuchungszeitraum von 1993 - 2007 im niedersächsischen Wattenmeer 49 Arten nachgewiesen werden. Während im Watt alle 49 Arten vertreten waren, konnten im Bereich vor den Inseln mit 37 Arten deutlich weniger erfasst werden. Die charakteristischen Arten des Wattenmeeres sind vor allem Scholle und Sandgrundel, welche sowohl im Frühjahr als auch im Sommer die dominierenden Arten darstellen. Auch Arten die auf der Roten Liste für gefährdete Arten Deutschlands aufgeführt sind (z.B. Aal, Finte und Flussneunauge) konnten im Untersuchungsgebiet nachgewiesen werden. Die Analyse der räumlichen und zeitlichen Variabilität der Abundanz und Biomasse der Fischfauna zeigte eine hohe Schwankungsbreite zwischen den jeweiligen Jahren. Für die einzelnen Arten waren keine eindeutigen Trends in der Bestandsentwicklung innerhalb der Jahre 1993 - 2007 zu erkennen. Auffällig sind lediglich die Artenzusammensetzung und Abundanz einzelner Arten im Frühjahr 1996 und 1997. In diesen Jahren war vor allem die Scholle mit deutlich höherer Biomasse und Abundanz vertreten. Der kalte Winter 1995 / 1996 lässt somit darauf schließen, dass die Temperatur für die Fischfauna des Wattenmeeres einen der wichtigsten abiotischen Parameter darstellt.

7. LITERATUR

- Amenda, C. (2005): Zukunftsperspektiven des Wattenmeeres – Möglichkeiten zur Sicherung eines Ökosystems. Diplomarbeit. GRIN Verlag, 137 S.
- Asmus, H., Asmus, R. (1985): The importance of grazing food chain for energy flow and production in three intertidal sand bottom communities of the northern Wadden Sea. *Helgoländer Meeresuntersuchungen* 39: 273-301.
- Behrends, B., Dittmann, S., Liebezeit, G., Kaiser, M., Knoke, V., Petri, G., Rahmel, J., Roy, M., Scheiffarth, G., Wilhelmsen, U. (2004): Gesamtsynthese Ökosystemforschung Wattenmeer. Umweltbundesamt, Berlin. 442 S.
- Berg, S., Krog, C., Muss, B., Nielsen, J., Fricke, R., Berghahn, R., Neudecker, Th., Wolff, W.J. (1996): Red List of Lampreys and Marine Fishes of the Wadden Sea. *Helgoländer Meeresuntersuchungen* 50: 101-105.
- Björnsson, B., Steinarsson, A., Oddgeirsson, M. (2001): Optimal temperature for growth and feed conversion of immature cod (*Gadus morhua* L.). *ICES Journal of Marine Research* 58: 29-38.
- Bolle, L.J., Dapper, R., Witte, J IJ., Van der Veer, H.W. (1994): Nursery grounds of dab (*Limanda limanda* L.) in the Southern North Sea. *Netherlands Journal of Sea Research* 32 (3/4): 299-307.
- Bolle, L.J., Neudecker, T., Vorberg, R., Damm, U., Diederichs, B., Jager, Z., Scholle, J., Daenhardt, A., Lüerßen, G., Marencic, H. (2009): Trends in Wadden Sea Fisch Fauna, Part I: Trilateral Cooperation. Wageningen, IMARES. 67 S.
- Breckling, P., Beermann-Schleiff, S., Achenbach, I., Opitz, S., Waltemath, M., Berghahn, R., Nellen, W., Schnack, D. (1994): Fische und Krebse im Wattenmeer. Ökosystemforschung Wattenmeer – Teilvorhaben Schleswig-Holsteinisches Wattenmeer. 185 S.
- Common Wadden Sea Secretariat (CWSS) (HRSG.) (2001): Final Report of the Trilateral Working Group on Coastal Protection and Sea Level Rise. Wadden Sea Ecosystem 13. Common Wadden Sea Secretariat, Wilhelmshaven, Germany. 64 S.

Common Wadden Sea Secretariat (CWSS) (HRSG.) (2010): Wadden Sea Plan 2010.

Eleventh Trilateral Governmental Conference on the Protection of the Wadden Sea. Common Wadden Sea Secretariat, Wilhelmshaven, Germany. 105 S.

Daan, N., Bromley, P.J., Hislop, J.R.G., Nielsen, N.A. (1990): Ecology of North Sea fish. Netherlands Journal of Sea Research 26 (2-4): 343-386.

Dänhardt, A., Becker, P.H. (2008): Die Bedeutung umweltbedingter Verteilungsmuster von Schwarmfischen für Seevögel im Ökosystem Niedersächsisches Wattenmeer. Institut für Vogelforschung „Vogelwarte Helgoland“, Wilhelmshaven. 248 S.

Der Rat von Sachverständigen für Umweltfragen (SRU) (Hrsg.) (2004):

Meeresumweltschutz für Nord- und Ostsee. Sondergutachten. Berlin, Deutschland. 269 S.

Diembeck, D. (2008): Populationsdynamik von kommerziell genutzten Fischarten in (durch Offshore-Windkraftanlagen) veränderter Ökosystemstruktur. Dissertation, Christian-Albrechts-Universität zu Kiel. 136 S.

Dulvy, N.K., Rogers, S.I., Jennings, S., Stelzenmüller, V., Dye, S.R., Skjoldal, H.R. (2008): Climate change and deepening of the North Sea fish assemblage: a biotic indicator of warming seas. Journal of Applied Ecology 45: 1029-1039.

Ehrich, S. (1995): Ist die gegenwärtig verstärkte Einwanderung südlicher Fischarten in die Nordsee schon eine Folge des Treibhauseffektes? Inf. Fischwirtsch. 42 (4): 176-178.

Fricke, R., Berghahn, R., Neudecker, T. (1995): Rote Liste der Biotoptypen, Tier- und Pflanzenarten des deutschen Wattenmeer- und Nordseebereichs. Schriftreihe für Landschaftspflege und Naturschutz 44: 101-114.

Gibson, R.N. (1994): Impact of habitat quality and quantity on the recruitment of juvenile flatfishes. Netherlands Journal of Sea Research 32 (2): 191-206.

Günther, C.-P., Niesel, V. (1999): Effects of the Ice Winter 1995/96. IN: Diettmann, S. (Eds.): The Wadden Sea Ecosystem. Stability Properties and Mechanisms. Springer Verlag Berlin, Germany. 297 S.

Hellwig, T (2012): Die Geoökosysteme des Nordsee-Wattenmeeres – Fachwissenschaftliche und fachdidaktische Betrachtungen mit Unterrichtsentwurf. Studienarbeit. Grin Verlag, Deutschland. 60 S.

- Hermant, M., Lobry, J., Bonhommeau, S., Poulard, J.-C., Le Pape, O. (2010): Impact of warming on abundance and occurrence of flatfish populations in the Bay of Biscay (France). *Journal of Sea Research* 64: 45-53.
- Hinz, V. (1989): Monitoring the fish fauna in the Wadden Sea with special reference to different fishing methods and effects of wind and light on catches. *Helgoländer Meeresuntersuchungen* 43: 447-459.
- Hoffmann, E., Astrup, J., Larsen, F., Munch-Petersen, S., Støttrup, J. (2000): Effects of marine windfarms on the distribution of fish, shellfish and marine mammals in the Horns Rev area. Report to ELSAMPROJEKT A/S. Danish Institute for Fisheries Research, Charlottenlund, Dänemark. 40 S.
- Hofstede, J.L.A. (2000): Steuerungsfaktoren der morphologischen Entwicklung an der Aussenküste des Wattenmeeres, dargestellt an drei Fallstudien. IN: Blotevogel, H.H. (Hrsg.), Ossenbrügge J. (Hrsg.), Wood G. (Hrsg.) (2000): Lokal verankert – weltweit vernetzt. Franz Steiner Verlag, Stuttgart, Deutschland. 1. Auflage, 637 S.
- Hofstede, J.L.A. (2003): Integrated management of artificially created salt marshes in the Wadden Sea of Schleswig-Holstein, Germany. *Wetlands Ecology and Management* 11: 183-194.
- Institut für Angewandte Fischbiologie GmbH (IAFA) (HRSG.) (2010): Fischbiologische Erhebungen während der Bauphase des OWP alpha ventus. Bericht über zwei Befischungen im Sommer und Herbst 2009. Hamburg, Deutschland. 58 S.
- Kellnreitner, F. (2012): The trophic structure of a Wadden Sea fish community and its feeding interactions with alien species. Dissertation, University of Kiel.
- Knust, R., Gautier, M., Ulleweitz, J. (1995): Entwicklung einer Umweltbeobachtungsstrategie für Fische und Dekapoden. *Ökosystemforschung Niedersächsisches Wattenmeer*. 171 S.
- Knust, R. (1996): Thematischer Report Umweltbeobachtung im Wattenmeer im Allgemeinen und die Konzeption einer Monitoringstrategie für die Ökosystemkompartimente evertebrates Benthos und Fisch- und Decapodenfauna. *Ökosystemforschung Niedersächsisches Wattenmeer im Besonderem*. Nationalparkverwaltung Niedersächsisches Wattenmeer.
- Knust, R., Michael Gautier M., Hoppmann I., Fischer T., Schneiderat U., Ulleweitz, J.

(1997): Ökologische Begleituntersuchungen zum Projekt EUROPIPE. Teilprojekt Krebse und Fische.

Lotze, H.K. (2005): Radical changes in the Wadden Sea fauna and flora over the last 2,000 years. *Helgol Mar Res* 59: 71-83.

Lozán, J.L. (1990): Zur Gefährdung der Fischfauna - Das Beispiel der diadromen Fischarten und Bemerkungen über andere Spezies. In: Warnsignale aus der Nordsee, Lozán, Lenz, Rachor, Watermann & v. Westernhagen. Paul Parey Verlag, Hamburg. 231-247 S.

MacKenzie, B.R., Schiedek, D. (2007): Daily ocean monitoring since the 1860s shows record warming of northern European seas. *Global Change Biology* 13: 1335-1347.

Millner, R.S., Whiting, C.L. (1996): Long-term changes in growth and population abundance of sole in the North Sea from 1940 to the present. *ICES Journal of Marine Science* 53: 1185-1195.

Pihl, L. (1989): Abundance, biomass and production of juvenile flatfish in southeastern Kattegat. *Netherlands Journal of Sea Research* 24 (1): 69-81.

Perry, A.L., Low, P.J., Ellis, J.R., Reynolds, J.D. (2005): Climate Change and Distribution Shifts in Marine Fishes. *SCIENCE*, 308, 1912-1915.

Pörtner, H.O., Berdal, B., Blust, R., Brix, O., Colosimo, A., De Wachter, B., Giuliani, A., Johansen, T., Fischer, T., Knust, R., Lannig, G., Naevdal, G., Nedenes, A., Nyhammer, G., Sartoris, F.J., Serendero, I., Sirabella, P., Thorkildsen, S., Zakhartsev, M. (2001): Climate induced temperature effects on growth performance, fecundity and recruitment in marine fish: developing a hypothesis for cause and effect relationships in Atlantic cod (*Gadus morhua*) and common eelpout (*Zaoreces viviparus*). *Continental Shelf Research* 21: 1975-1997.

Pörtner, H.O., Knust, R. (2007): Climate Change Affects Marine Fishes Through the Oxygen Limitation of Thermal Tolerance, *SCIENCE*, 315, 95-97.

Pörtner, H.O., Farrell, A. P., Knust, R., Lannig, G, Mark, F. C. and Storch, D. (2009): Adapting to Climate Change – Response, *SCIENCE*, 323, 876-877.

Reise, K. (2005): Coast of change: habitat loss and transformations in the Wadden Sea. *Helgol. Mar. Res.* 59: 9-21.

- Reise, K., Baptist, M., Burbridge, P., Dankers, N., Fischer, L., Flemming, B., Oost, A.P., Smit, C. (2010): The Wadden Sea – A Universally Outstanding Tidal Wetland. *Wadden Sea Ecosystem* 29: S. 7-24. Common Wadden Sea Secretariat, Wilhelmshaven, Germany.
- Rieber, S (2008): Zur Geoökologie von Watt- und Marschgebieten in Norddeutschland und ihre Veränderung durch den Menschen. Studienarbeit. GRIN Verlag, München, Deutschland. 72 S.
- Rogers, S.I., Millner, R.S. (1996): Factors affecting the annual abundance and regional distribution of English inshore demersal fish populations: 1973 to 1995. *ICES Journal of Marine Science* 53: 1094-1112.
- Rogers, S.I., Millner, R.S., Mead, T.A. (1998): The distribution and abundance of young fish on the east and south coast of England (1981 - 1997). *Science Series Technical Report No. 108.* 130 S.
- Ruth, M., Berghahn, R. (1989): Biological monitoring of fish and crustaceans in the Wadden Sea - potential and problems. *Helgoländer Meeresuntersuchungen* 43: 479-487.
- Sterr, H. (1995): Klimawandel und mögliche Auswirkungen auf die deutsche Nordseeküste. Institut für Chemie und Biologie des Meeres, Universität Oldenburg. 15 S.
- Strasser, M. (2000): Rekrutierungsmuster ausgewählter Wattfauna nach unterschiedlich strengen Wintern. *Berichte der Polarforschung* 377. 127 S.
- Tulp, I., Bolle, L.J. (2009): Trends in Wadden Sea Fish Fauna, Part II: Dutch Demersal Fish Survey (DFS). Wageningen, IMARES. 33 S.
- Van Beusekom, J.E.E., De Jonge, V.N. (2002): Long-term changes in Wadden Sea nutrient cycles: importance of organic matter import from the North Sea. *Hydrobiologia* 475/476: 185-194.
- Van Beusekom, J.E.E. (2005): A historic perspective on the Wadden Sea eutrophication. *Hegol. Mar. Res.* 59: 45-54.
- Van der Land, M. A. (1991): Distribution of flatfish eggs in the 1989 egg surveys in the southeastern North Sea, and mortality of plaice and sole eggs. *Netherlands Journal of Sea Research* 27 (3/4): 277-286.

Van Leeuwen, P.I., Rijnsdorp, A.D., Vingerhoed, B. (1994): Variations in abundance and distribution of demersal fish species in the coastal zone of the Southeastern North Sea between 1980 - 1993. International council for the exploration of the sea. 11 S.

Vorberg, R. (2001): Monitoring der Fische im Wattenmeer. IN: Landesamt für den Nationalpark Schleswig-Holsteinisches Wattenmeer (HRSG.) (2001): Wattenmeermonitoring 2001. Landesamt für den Nationalpark Schleswig-Holsteinisches Wattenmeer. Tönning, Deutschland. 63 S.

Vorberg, R., Bolle, L., Jager, Z., Neudecker, T. (2005): Fish. IN: Wadden Sea Ecosystem No. 19: 219-236. Common Wadden Sea Secretariat, Wilhelmshaven.

Wolff, W.J., Zijlstra, J.J. (1980): Management of the Wadden Sea. Helgoländer Meeresunters. 33: 596-613.

Wolff, W.J. (2013): Ecology of the Wadden Sea: Research in the past and challenges for the future. Journal of Sea Research (in press).

Ziegelmeier, E. (1964): Einwirkungen des kalten Winters 1962/63 auf das Makrobenthos im Ostteil der Deutschen Bucht. Helgoländer Wiss. Meeresunter. 10: 216-229.

8. ANHANG

Tabelle 13: Übersicht über alle befischten Stationen der Jahre 1993 - 2007. Alle Probennahmen wurden mit einer 3 m-Baumkurre mit Grundkette durchgeführt.

Expedition	Station	Datum	Startzeit	Start Latitude	Start Längengrad	Endzeit	Ende Latitude	Ende Längengrad	Distanz (m)	Mittlere Tiefe (m)
PO0100	0001	2000/03/12	07:19:00	53,7265000000	7,7151666667	07:32:00	53,7238333333	7,7260000000	1273,07	3,35
PO0100	0002	2000/03/12	08:02:00	53,7251666667	7,7403333333	08:18:00	53,7291666667	7,7513333333	1402,87	2,60
PO0100	0003	2000/03/12	08:53:00	53,7315000000	7,7590000000	09:11:00	53,7390000000	7,7750000000	2220,39	1,30
PO0100	0004	2000/03/12	10:34:00	53,7278333333	7,7073333333	10:47:00	53,7376666667	7,6986666667	2048,69	3,40
PO0100	0005	2000/03/12	11:07:00	53,7433333333	7,6893333333	11:23:00	53,7456666667	7,6701666667	2118,89	2,70
PO0100	0006	2000/03/12	11:37:00	53,7568333333	7,6491666667	11:53:00	53,7463333333	7,6655000000	2627,64	3,65
PO0100	0007	2000/03/12	13:02:00	53,7791666667	7,5721666667	13:12:00	53,7798333333	7,5721666667	123,47	5,50
PO0100	0008	2000/03/12	13:53:00	53,7725000000	7,4750000000	14:09:00	53,7725000000	7,4596666667	1657,60	6,10
PO0100	0009	2000/03/12	14:48:00	53,7515000000	7,4313333333	14:58:00	53,7435000000	7,4375000000	1624,95	6,40
PO0100	0010	2000/03/12	15:30:00	53,7321666667	7,4366666667	15:46:00	53,7183333333	7,4480000000	2840,83	5,50
PO0100	0011	2000/03/12	16:06:00	53,7176666667	7,4513333333	16:16:00	53,7153333333	7,4671666667	1769,12	10,65
PO0100	0012	2000/03/12	16:56:00	53,7025000000	7,5251666667	17:05:00	53,7088333333	7,5131666667	1751,50	4,05
PO0100	0013	2000/03/12	17:39:00	53,7000000000	7,5495000000	17:49:00	53,6988333333	7,5381666667	1247,66	3,50
PO0100	0014	2000/03/13	07:58:00	53,7056666667	7,4430000000	08:05:00	53,7136666667	7,4478333333	1571,48	2,25
PO0100	0015	2000/03/13	08:43:00	53,7106666667	7,4338333333	08:53:00	53,7153333333	7,4458333333	1561,39	2,80
PO0100	0016	2000/03/13	09:37:00	53,7101666667	7,4621666667	09:45:00	53,7050000000	7,4698333333	1267,33	0,80
PO0100	0017	2000/03/13	09:53:00	53,7030000000	7,4730000000	10:00:00	53,6970000000	7,4748333333	1128,84	1,40
PO0100	0018	2000/03/13	10:23:00	53,6910000000	7,4868333333	10:35:00	53,6975000000	7,4745000000	1799,46	1,50
PO0100	0019	2000/03/13	11:14:00	53,7173333333	7,4835000000	11:26:00	53,7165000000	7,4758333333	844,88	3,00
PO0100	0021	2000/03/13	12:01:00	53,7251666667	7,5101666667	12:11:00	53,7295000000	7,5248333333	1779,66	3,45
PO0100	0023	2000/03/13	12:55:00	53,7250000000	7,5500000000	13:05:00	53,7246666667	7,5653333333	1661,95	3,25
PO0100	0024	2000/03/13	14:02:00	53,7175000000	7,5111666667	14:12:00	53,7095000000	7,5225000000	1924,42	4,30
PO0100	0025	2000/03/13	14:37:00	53,7025000000	7,5693333333	14:51:00	53,7028333333	7,5918333333	2440,00	7,20
PO0100	0026	2000/03/13	15:18:00	53,7008333333	7,6171666667	15:30:00	53,7040000000	7,6335000000	1865,31	3,70
PO0101	0001	2001/03/13	06:40:00	53,7258333333	7,7166666667	06:48:00	53,7240000000	7,7248333333	947,48	4,00
PO0101	0002	2001/03/13	07:04:00	53,7255000000	7,7423333333	07:16:00	53,7296666667	7,7520000000	1300,57	3,05
PO0101	0003	2001/03/13	07:34:00	53,7313333333	7,7598333333	07:55:00	53,7388333333	7,7745000000	2109,71	2,35

Expedition	Station	Datum	Startzeit	Start Latitude	Start Längengrad	Endzeit	Ende Latitude	Ende Längengrad	Distanz (m)	Mittlere Tiefe (m)
PO0101	0004	2001/03/13	09:15:00	53,7276333333	7,7071666667	09:29:00	53,7366666667	7,6981666667	1936,12	2,05
PO0101	0005	2001/03/13	09:50:00	53,7435000000	7,6901666667	10:08:00	53,7450000000	7,6720000000	1985,67	3,15
PO0101	0006	2001/03/13	10:26:00	53,7563333333	7,6491666667	10:41:00	53,7463333333	7,6656666667	2572,36	3,95
PO0101	0007	2001/03/13	12:28:00	53,7038333333	7,6325000000	12:40:00	53,7008333333	7,6163333333	1838,61	4,00
PO0101	0009	2001/03/13	14:22:00	53,6991666667	7,5471666667	14:36:00	53,6998333333	7,5333333333	1504,93	4,50
PO0101	0010	2001/03/13	15:34:00	53,7445000000	7,4373333333	15:42:00	53,7513333333	7,4313333333	1422,37	7,00
PO0101	0011	2001/03/13	16:15:00	53,7193333333	7,4470000000	16:31:00	53,7325000000	7,4360000000	2713,95	4,40
PO0101	0013	2001/03/14	07:08:00	53,7060000000	7,4430000000	07:16:00	53,7131666667	7,4478333333	1426,90	2,40
PO0101	0014	2001/03/14	07:32:00	53,7110000000	7,4346666667	07:40:00	53,7146666667	7,4451666667	1325,07	3,75
PO0101	0015	2001/03/14	08:15:00	53,6915000000	7,4855000000	08:21:00	53,6943333333	7,4791666667	864,37	3,50
PO0101	0016	2001/03/14	08:41:00	53,7016666667	7,4733333333	08:47:00	53,7050000000	7,4703333333	697,76	2,70
PO0101	0017	2001/03/14	09:02:00	53,7063333333	7,4671666667	09:09:00	53,7111666667	7,4618333333	1065,55	1,50
PO0101	0018	2001/03/14	09:24:00	53,7168333333	7,4780000000	09:36:00	53,7173333333	7,4955000000	1898,33	3,55
PO0101	0019	2001/03/14	09:54:00	53,7210000000	7,4846666667	10:05:00	53,7226666667	7,5015000000	1849,43	2,60
PO0101	0020	2001/03/14	10:35:00	53,7256666667	7,5110000000	10:43:00	53,7293333333	7,5240000000	1563,13	2,80
PO0101	0022	2001/03/14	11:06:00	53,7243333333	7,5535000000	11:10:00	53,7240000000	7,5600000000	706,75	4,15
PO0101	0023	2001/03/14	12:55:00	53,7170000000	7,5123333333	13:05:00	53,7098333333	7,5221666667	1702,08	4,45
PO0101	0024	2001/03/14	13:38:00	53,7081666667	7,5143333333	13:47:00	53,7025000000	7,5256666667	1615,74	3,75
PO0102	0001	2002/03/19	07:17:00	53,7258333333	7,7166666667	07:24:00	53,7238333333	7,7246666667	942,35	3,95
PO0102	0002	2002/03/19	07:46:00	53,7255000000	7,7420000000	07:56:00	53,7293333333	7,7346666667	1065,26	3,50
PO0102	0003	2002/03/19	08:15:00	53,7310000000	7,7571666667	08:33:00	53,7381666667	7,7736666667	2225,55	1,85
PO0102	0004	2002/03/19	10:11:00	53,7275000000	7,7073333333	10:28:00	53,7375000000	7,6995000000	2036,99	3,50
PO0102	0005	2002/03/19	11:11:00	53,7561666667	7,6490000000	11:26:00	53,7463333333	7,6658333333	2575,61	4,75
PO0102	0006	2002/03/19	11:49:00	53,7450000000	7,6738333333	11:59:00	53,7435000000	7,6916666667	1949,96	5,55
PO0102	0007	2002/03/19	13:47:00	53,7036666667	7,6331666667	14:02:00	53,7006666667	7,6331666667	555,60	3,45
PO0102	0008	2002/03/19	14:30:00	53,7028333333	7,5898333333	14:48:00	53,7023333333	7,5680000000	2368,77	4,95
PO0102	0009	2002/03/19	15:16:00	53,7000000000	7,5476666667	15:25:00	53,6986666667	7,5380000000	1076,80	4,55
PO0102	0010	2002/03/19	16:01:00	53,7033333333	7,5233333333	16:13:00	53,7093333333	7,5126666667	1603,61	5,20
PO0102	0011	2002/03/20	06:29:00	53,7060000000	7,4436666667	06:37:00	53,7140000000	7,4481666667	1559,80	2,40
PO0102	0012	2002/03/20	07:00:00	53,7106666667	7,4333333333	07:08:00	53,7146666667	7,4451666667	1480,93	2,25
PO0102	0013	2002/03/20	07:41:00	53,7101666667	7,4623333333	07:48:00	53,7058333333	7,4680000000	1010,59	1,30
PO0102	0014	2002/03/20	07:59:00	53,7046666667	7,4726666667	08:09:00	53,6971666667	7,4751666667	1415,20	3,70
PO0102	0015	2002/03/20	08:28:00	53,6915000000	7,4860000000	08:40:00	53,6975000000	7,4746666667	1656,90	2,55
PO0102	0016	2002/03/20	09:14:00	53,7170000000	7,4780000000	09:26:00	53,7176666667	7,4956666667	1918,09	4,25

Expedition	Station	Datum	Startzeit	Start Latitude	Start Längengrad	Endzeit	Ende Latitude	Ende Längengrad	Distanz (m)	Mittlere Tiefe (m)
PO0102	0017	2002/03/20	09:46:00	53,7208333333	7,4848333333	10:00:00	53,7226666667	7,5021666667	1908,11	4,35
PO0102	0018	2002/03/20	10:41:00	53,7250000000	7,5100000000	10:51:00	53,7295000000	7,5243333333	1761,90	3,60
PO0102	0020	2002/03/20	11:44:00	53,7243333333	7,5540000000	11:50:00	53,7245000000	7,5626666667	939,24	3,15
PO0102	0021	2002/03/20	12:58:00	53,7306666667	7,4375000000	13:12:00	53,7183333333	7,4491666667	2610,39	6,30
PO0102	0022	2002/03/20	13:30:00	53,7178333333	7,4511666667	13:40:00	53,7146666667	7,4673333333	1847,24	9,75
PO0102	0023	2002/03/20	13:59:00	53,7178333333	7,5103333333	14:10:00	53,7098333333	7,5225000000	1983,25	4,90
PO0103	0001	2003/03/11	07:59:00	53,7310000000	7,7583333333	08:14:00	53,7390000000	7,7746666667	2307,02	3,00
PO0103	0002	2003/03/11	08:37:00	53,7296666667	7,7520000000	08:46:00	53,7250000000	7,7411666667	1457,23	3,65
PO0103	0003	2003/03/11	09:03:00	53,7241666667	7,7276666667	09:13:00	53,7275000000	7,7130000000	1704,26	4,00
PO0103	0004	2003/03/11	09:32:00	53,7275000000	7,7071666667	09:46:00	53,7381666667	7,6981666667	2202,75	2,30
PO0103	0005	2003/03/11	10:02:00	53,7436666667	7,6898333333	10:16:00	53,7451666667	7,6713166667	2023,17	3,05
PO0103	0006	2003/03/11	10:49:00	53,7568333333	7,6490000000	11:04:00	53,7463333333	7,6656666667	2652,03	4,95
PO0103	0007	2003/03/11	13:41:00	53,7796666667	7,5751666667	13:54:00	53,7791666667	7,5598333333	1659,73	6,50
PO0103	0008	2003/03/11	14:27:00	53,7725000000	7,4760000000	14:40:00	53,7725000000	7,4590000000	1837,78	6,20
PO0103	0009	2003/03/11	15:07:00	53,7510000000	7,4316666667	15:16:00	53,7438333333	7,4383333333	1510,66	6,95
PO0103	0010	2003/03/11	16:04:00	53,7318333333	7,4363333333	16:21:00	53,7191666667	7,4486666667	2699,54	5,75
PO0103	0011	2003/03/11	16:35:00	53,7183333333	7,4500000000	16:48:00	53,7145000000	7,4673333333	2007,77	9,15
PO0103	0012	2003/03/12	08:05:00	53,7051666667	7,4435000000	08:14:00	53,7138333333	7,4476666667	1667,38	2,80
PO0103	0013	2003/03/12	08:40:00	53,7105000000	7,4326666667	08:47:00	53,7136666667	7,4428333333	1248,12	1,95
PO0103	0015	2003/03/12	09:46:00	53,7056666667	7,4721666667	09:56:00	53,6976666667	7,4748333333	1509,54	3,20
PO0103	0016	2003/03/12	10:36:00	53,6910000000	7,4873333333	10:48:00	53,6975000000	7,4746666667	1826,49	2,75
PO0103	0017	2003/03/12	11:33:00	53,7168333333	7,4775000000	11:44:00	53,7176666667	7,4946666667	1866,33	5,10
PO0103	0018	2003/03/12	12:00:00	53,7208333333	7,4840000000	12:11:00	53,7226666667	7,5025000000	2032,60	5,00
PO0103	0019	2003/03/12	13:59:00	53,7185000000	7,5113333333	14:09:00	53,7098333333	7,5221666667	1988,53	3,95
PO0103	0020	2003/03/12	14:24:00	53,7095000000	7,5121666667	14:35:00	53,7033333333	7,5240000000	1717,42	4,85
PO0103	0021	2003/03/12	15:00:00	53,6985000000	7,5396666667	15:07:00	53,6996666667	7,5481666667	946,61	4,10
PO0103	0022	2003/03/12	16:11:00	53,7021666667	7,5686666667	16:24:00	53,7023333333	7,5871666667	2005,85	2,90
PO0103	0023	2003/03/12	16:55:00	53,7008333333	7,6175000000	17:06:00	53,7033333333	7,6315000000	1586,82	4,00
PO0104	0001	2004/03/16	10:06:00	53,7265166667	7,7156166667	10:16:00	53,7241333333	7,7263000000	1238,45	3,45
PO0104	0002	2004/03/16	11:03:00	53,7253000000	7,7421833333	11:14:00	53,7298333333	7,7526333333	1409,16	3,05
PO0104	0003	2004/03/16	11:35:00	53,7311666667	7,7577500000	11:50:00	53,7371833333	7,7709333333	1810,82	3,10
PO0104	0004	2004/03/16	12:53:00	53,7309333333	7,7048833333	13:04:00	53,7387500000	7,6973500000	1661,60	3,20
PO0104	0005	2004/03/16	13:32:00	53,7437166667	7,6901166667	13:45:00	53,7449500000	7,6744333333	1712,67	3,35
PO0104	0006	2004/03/16	14:38:00	53,7564833333	7,6490000000	14:49:00	53,7482333333	7,6618166667	2063,33	5,80

Expedition	Station	Datum	Startzeit	Start Latitude	Start Längengrad	Endzeit	Ende Latitude	Ende Längengrad	Distanz (m)	Mittlere Tiefe (m)
PO0104	0007	2004/03/16	17:15:00	53,7028000000	7,6293833333	17:26:00	53,7008500000	7,6167833333	1412,94	2,80
PO0104	0008	2004/03/16	17:48:00	53,7026333333	7,5906000000	18:01:00	53,7017500000	7,5746500000	1736,89	3,90
PO0104	0009	2004/03/16	18:38:00	53,6994000000	7,5481333333	18:48:00	53,6986000000	7,5383500000	1071,06	3,15
PO0104	0010	2004/03/17	08:44:00	53,7031666667	7,5241500000	08:53:00	53,7093666667	7,5123666667	1717,50	4,55
PO0104	0011	2004/03/17	09:25:00	53,7172500000	7,4938666667	09:36:00	53,7168333333	7,4760000000	1937,34	5,25
PO0104	0013	2004/03/17	10:16:00	53,7186166667	7,4481000000	10:33:00	53,7319833333	7,4362833333	2786,79	5,15
PO0104	0014	2004/03/17	10:56:00	53,7437833333	7,4400000000	11:03:00	53,7507833333	7,4359500000	1368,48	4,10
PO0104	0015	2004/03/17	12:07:00	53,7058000000	7,4434666667	12:15:00	53,7129500000	7,4481333333	1417,48	2,35
PO0104	0016	2004/03/17	12:41:00	53,7104000000	7,4329666667	12:48:00	53,7138000000	7,4430833333	1264,29	2,00
PO0104	0017	2004/03/17	13:58:00	53,7098333333	7,4635000000	14:08:00	53,7067500000	7,4758500000	1455,27	2,15
PO0104	0020	2004/03/17	15:31:00	53,7210333333	7,4843500000	15:43:00	53,7228500000	7,5027500000	2021,39	3,45
PO0104	0021	2004/03/17	16:09:00	53,7236000000	7,5110000000	16:20:00	53,7286500000	7,5274500000	2012,22	4,80
PO0104	0023	2004/03/17	17:03:00	53,7249666667	7,5582166667	17:09:00	53,7247166667	7,5690333333	1172,50	1,65
PO0104	0024	2004/03/17	18:33:00	53,7726500000	7,4607333333	18:42:00	53,7725833333	7,4766666667	1722,50	6,10
PO0104	0025	2004/03/17	19:08:00	53,7791833333	7,5617166667	19:16:00	53,7791833333	7,5756333333	1504,05	6,85
PO0105	0001	2005/03/16	06:32:00	53,7265000000	7,7150000000	06:44:00	53,7236666667	7,7251666667	1219,80	5,70
PO0105	0002	2005/03/16	07:04:00	53,7251666667	7,7423333333	07:15:00	53,7301666667	7,7538333333	1551,98	2,95
PO0105	0003	2005/03/16	07:43:00	53,7310000000	7,7573333333	08:01:00	53,7371666667	7,7713333333	1897,90	2,70
PO0105	0004	2005/03/16	08:32:00	53,7291666667	7,7063333333	08:44:00	53,7386666667	7,6978333333	1985,57	3,15
PO0105	0005	2005/03/16	09:09:00	53,7438333333	7,6890000000	09:24:00	53,7451666667	7,6725000000	1802,74	3,10
PO0105	0006	2005/03/16	09:51:00	53,7561666667	7,6495000000	10:06:00	53,7476666667	7,6636666667	2197,15	5,10
PO0105	0007	2005/03/16	13:23:00	53,7036666667	7,6323333333	13:38:00	53,7008333333	7,6168333333	1760,41	2,50
PO0105	0008	2005/03/16	14:12:00	53,7023333333	7,5916666667	14:25:00	53,7018333333	7,5753333333	1773,16	3,65
PO0105	0009	2005/03/16	15:09:00	53,6993333333	7,5483333333	15:20:00	53,6986666667	7,5381666667	1109,22	3,40
PO0105	0010	2005/03/16	15:47:00	53,7030000000	7,5243333333	15:58:00	53,7090000000	7,5131666667	1643,13	5,65
PO0105	0011	2005/03/16	16:20:00	53,7101666667	7,5213333333	16:32:00	53,7178333333	7,5100000000	1877,29	5,05
PO0105	0012	2005/03/16	16:55:00	53,7150000000	7,4651666667	17:07:00	53,7186666667	7,4498333333	1794,76	7,95
PO0105	0013	2005/03/17	07:13:00	53,7053333333	7,4438333333	07:22:00	53,7130000000	7,4481666667	1495,53	2,60
PO0105	0015	2005/03/17	08:25:00	53,7133333333	7,4661666667	08:36:00	53,7071666667	7,4753333333	1513,69	2,60
PO0105	0016	2005/03/17	08:48:00	53,7016666667	7,4731666667	08:53:00	53,7058333333	7,4731666667	771,67	3,60
PO0105	0017	2005/03/17	09:13:00	53,6913333333	7,4861666667	09:22:00	53,6963333333	7,4761666667	1426,04	3,85
PO0105	0018	2005/03/17	09:47:00	53,7165000000	7,4771666667	09:58:00	53,7180000000	7,4941666667	1862,72	4,10
PO0105	0019	2005/03/17	10:18:00	53,7210000000	7,4850000000	10:29:00	53,7226666667	7,5020000000	1867,23	3,95
PO0105	0020	2005/03/17	10:52:00	53,7240000000	7,5135000000	11:03:00	53,7286666667	7,5276666667	1761,01	4,20

Expedition	Station	Datum	Startzeit	Start Latitude	Start Längengrad	Endzeit	Ende Latitude	Ende Längengrad	Distanz (m)	Mittlere Tiefe (m)
PO0105	0022	2005/03/17	12:06:00	53,7245000000	7,5693333333	12:18:00	53,7245000000	7,5563333333	1408,09	3,05
PO0105	0023	2005/03/17	13:17:00	53,7110000000	7,4416666667	13:25:00	53,7101666667	7,4326666667	987,51	3,25
PO0106	0001	2006/03/21	06:51:00	53,7259166667	7,7166333333	07:03:00	53,7240833333	7,7284000000	1318,93	3,00
PO0106	0002	2006/03/21	07:35:00	53,7253833333	7,7412166667	07:48:00	53,7306000000	7,7381666667	1021,03	3,05
PO0106	0003	2006/03/21	08:14:00	53,7318833333	7,7619000000	08:27:00	53,7383000000	7,7593833333	1219,20	1,90
PO0106	0004	2006/03/21	08:59:00	53,7290000000	7,7063000000	09:12:00	53,7382666667	7,6981500000	1929,77	1,30
PO0106	0005	2006/03/21	09:31:00	53,7436833333	7,6897000000	09:45:00	53,7452166667	7,6712500000	2016,89	3,00
PO0106	0006	2006/03/21	10:18:00	53,7566166667	7,6483000000	10:31:00	53,7497833333	7,6611383333	1898,72	5,30
PO0106	0007	2006/03/21	11:36:00	53,7796666667	7,5755333333	11:49:00	53,7787833333	7,5598333333	1704,65	5,90
PO0106	0008	2006/03/21	12:30:00	53,7725833333	7,4792000000	12:45:00	53,7729000000	7,4605666667	2015,18	6,15
PO0106	0009	2006/03/21	13:27:00	53,7440000000	7,4396000000	13:41:00	53,7513666667	7,4348833333	1456,66	5,55
PO0106	0010	2006/03/21	14:00:00	53,7311166667	7,4375166667	14:14:00	53,7190333333	7,4487833333	2548,93	4,10
PO0106	0011	2006/03/21	14:32:00	53,7185000000	7,4501666667	14:43:00	53,7147666667	7,4668833333	1938,71	7,05
PO0106	0012	2006/03/21	15:13:00	53,6986333333	7,5377500000	15:21:00	53,7001166667	7,5481000000	1155,33	2,40
PO0106	0013	2006/03/22	07:20:00	53,7066500000	7,4441500000	07:29:00	53,7151833333	7,4490000000	1665,49	1,40
PO0106	0014	2006/03/22	07:46:00	53,7104333333	7,4326833333	07:57:00	53,7152500000	7,4466666667	1758,38	2,25
PO0106	0016	2006/03/22	08:53:00	53,7054833333	7,4726500000	09:03:00	53,6977000000	7,4746166667	1457,16	1,35
PO0106	0017	2006/03/22	09:17:00	53,6920666667	7,4867000000	09:28:00	53,6984166667	7,4740500000	1806,89	2,05
PO0106	0018	2006/03/22	09:53:00	53,7171333333	7,4779500000	10:05:00	53,7168666667	7,4953666667	1887,69	3,15
PO0106	0020	2006/03/22	11:20:00	53,7237000000	7,5121000000	11:31:00	53,7286833333	7,5278666667	1941,08	4,45
PO0106	0022	2006/03/22	12:24:00	53,7246333333	7,5693000000	12:34:00	53,7244166667	7,5567333333	1361,74	2,95
PO0106	0019	2006/03/22	13:06:00	53,7211500000	7,4850500000	13:15:00	53,7224833333	7,4985666667	1484,89	3,50
PO0106	0023	2006/03/22	14:57:00	53,7171833333	7,5116833333	15:08:00	53,7092333333	7,5231166667	1924,27	4,65
PO0106	0024	2006/03/22	15:18:00	53,7083166667	7,5140666667	15:29:00	53,7026166667	7,5255166667	1629,37	3,10
PO0106	0025	2006/03/22	16:05:00	53,7023500000	7,5689333333	16:20:00	53,7026000000	7,5913666667	2432,45	3,55
PO0106	0026	2006/03/22	16:30:00	53,7007000000	7,6178000000	16:41:00	53,7040500000	7,6343166667	1895,03	2,90
PO0107	0001	2007/03/13	08:35:00	53,7265500000	7,7153666667	08:47:00	53,7242833333	7,7327833333	1932,55	4,20
PO0107	0002	2007/03/13	09:07:00	53,7257166667	7,7432833333	09:17:00	53,7299500000	7,7524333333	1263,59	3,45
PO0107	0003	2007/03/13	09:42:00	53,7309000000	7,7562500000	09:58:00	53,7377500000	7,7725166667	2170,55	2,25
PO0107	0004	2007/03/13	10:47:00	53,7283166667	7,7069500000	11:01:00	53,7387166667	7,6977833333	2166,77	1,70
PO0107	0008	2007/03/13	11:17:00	53,7466666667	7,6647166667	11:32:00	53,7534000000	7,6505833333	1973,25	4,60
PO0107	0005	2007/03/13	11:23:00	53,7433833333	7,6900666667	11:33:00	53,7447666667	7,6742333333	1732,67	3,55
PO0107	0009	2007/03/13	14:23:00	53,7792000000	7,5751000000	14:35:00	53,7790000000	7,5587166667	1771,03	5,95
PO0107	0010	2007/03/13	15:09:00	53,7725333333	7,4749000000	15:22:00	53,7726666667	7,4586333333	1758,67	6,15

Expedition	Station	Datum	Startzeit	Start Latitude	Start Längengrad	Endzeit	Ende Latitude	Ende Längengrad	Distanz (m)	Mittlere Tiefe (m)
PO0107	0011	2007/03/13	15:53:00	53,7439166667	7,4397666667	16:04:00	53,7524333333	7,4347500000	1668,09	5,85
PO0107	0012	2007/03/13	16:22:00	53,7314000000	7,4383500000	16:35:00	53,7193333333	7,4485166667	2491,31	7,40
PO0107	0013	2007/03/13	16:48:00	53,7213166667	7,4496500000	17:00:00	53,7300833333	7,4408666667	1881,76	18,15
PO0107	0014	2007/03/13	18:13:00	53,7172833333	7,5111166667	18:26:00	53,7091166667	7,5232000000	2000,52	4,55
PO0107	0015	2007/03/14	09:26:00	53,7183333333	7,4508833333	09:37:00	53,7148666667	7,4681666667	1979,63	7,70
PO0107	0016	2007/03/14	09:53:00	53,7132000000	7,4472666667	10:03:00	53,7062333333	7,4426666667	1383,20	2,45
PO0107	0017	2007/03/14	10:20:00	53,7139833333	7,4451166667	10:30:00	53,7107333333	7,4327500000	1469,11	2,75
PO0107	0019	2007/03/14	11:35:00	53,7053333333	7,4739000000	11:44:00	53,6976166667	7,4747833333	1432,33	3,60
PO0107	0020	2007/03/14	12:01:00	53,6911666667	7,4860333333	12:15:00	53,6988166667	7,4740333333	1923,72	2,85
PO0107	0021	2007/03/14	12:48:00	53,7171333333	7,4777833333	13:01:00	53,7180333333	7,4977000000	2164,29	5,15
PO0107	0022	2007/03/14	13:18:00	53,7209666667	7,4835833333	13:31:00	53,7230500000	7,5031166667	2150,85	3,00
PO0107	0023	2007/03/14	14:08:00	53,7247666667	7,5683833333	14:18:00	53,7242833333	7,5548333333	1470,39	2,30
PO0107	0025	2007/03/14	15:24:00	53,7285666667	7,5262000000	15:40:00	53,7228833333	7,5108833333	1964,67	5,30
PO0107	0026	2007/03/14	16:02:00	53,7090166667	7,5134166667	16:12:00	53,7023166667	7,5271166667	1935,20	4,30
PO0107	0027	2007/03/14	16:37:00	53,6994500000	7,5488833333	16:47:00	53,6988500000	7,5380333333	1181,65	3,10
PO0107	0028	2007/03/14	17:48:00	53,7027000000	7,5895333333	18:02:00	53,7023500000	7,5690333333	2223,36	2,85
PO0107	0029	2007/03/14	18:20:00	53,7008000000	7,6178166667	18:30:00	53,7038000000	7,6340166667	1842,05	2,50
PO0196	000101A	1996/03/12	08:26:00	53,7273333333	7,7178333333	08:35:00	53,7248333333	7,7305000000	1447,92	2,90
PO0196	000201A	1996/03/12	08:50:00	53,7251666667	7,7393333333	09:01:00	53,7305000000	7,7538333333	1855,16	3,45
PO0196	000301A	1996/03/12	09:15:00	53,7325000000	7,7621666667	09:28:00	53,7395000000	7,7758333333	1967,21	2,45
PO0196	000401A	1996/03/12	10:06:00	53,7281666667	7,7096666667	10:19:00	53,7380000000	7,7011666667	2040,48	2,70
PO0196	000501A	1996/03/12	10:53:00	53,7456666667	7,6876666667	11:06:00	53,7478333333	7,6678333333	2183,50	2,05
PO0196	000601A	1996/03/12	11:26:00	53,7581666667	7,6518333333	11:37:00	53,7495000000	7,6608333333	1877,31	3,30
PO0196	000701A	1996/03/12	13:35:00	53,7483333333	7,4348333333	13:46:00	53,7395000000	7,4430000000	1859,44	4,70
PO0196	000901A	1996/03/12	14:40:00	53,7343333333	7,4368333333	14:51:00	53,7233333333	7,4465000000	2290,44	7,05
PO0196	001101A	1996/03/12	16:04:00	53,7005000000	7,5385000000	16:13:00	53,7020000000	7,5518333333	1472,00	4,75
PO0196	001201A	1996/03/12	16:39:00	53,7028333333	7,5810000000	16:47:00	53,7040000000	7,5926666667	1283,07	2,85
PO0196	001301A	1996/03/12	17:06:00	53,7021666667	7,6176666667	17:15:00	53,7046666667	7,6328333333	1708,11	2,55
PO0196	001401A	1996/03/13	08:02:00	53,7076666667	7,5248333333	08:09:00	53,7148333333	7,5170000000	1575,53	4,50
PO0196	001501A	1996/03/13	08:58:00	53,7046666667	7,4408333333	09:09:00	53,7128333333	7,4478333333	1692,09	1,55
PO0196	001601A	1996/03/13	09:31:00	53,7113333333	7,4611666667	09:42:00	53,7061666667	7,4718333333	1500,71	1,20
PO0196	001701A	1996/03/13	09:58:00	53,7060000000	7,4735000000	10:08:00	53,6975000000	7,4773333333	1628,13	2,50
PO0196	001901A	1996/03/13	11:36:00	53,7173333333	7,4768333333	11:48:00	53,7178333333	7,4948333333	1952,40	2,90
PO0196	002001A	1996/03/13	12:00:00	53,7235000000	7,5031666667	12:11:00	53,7218333333	7,4860000000	1884,98	3,65

Expedition	Station	Datum	Startzeit	Start Latitude	Start Längengrad	Endzeit	Ende Latitude	Ende Längengrad	Distanz (m)	Mittlere Tiefe (m)
PO0196	002101A	1996/03/13	12:32:00	53,7163333333	7,4681666667	12:47:00	53,7201666667	7,4498333333	2109,33	7,15
PO0197	000101A	1997/03/18	11:10:00	53,7275000000	7,7160000000	11:22:00	53,7248333333	7,7303333333	1629,07	2,90
PO0197	000201A	1997/03/18	11:52:00	53,7250000000	7,7390000000	12:03:00	53,7308333333	7,7545000000	1996,24	2,90
PO0197	000301A	1997/03/18	12:22:00	53,7320000000	7,7623333333	12:35:00	53,7385000000	7,7741666667	1757,99	2,05
PO0197	000401A	1997/03/18	13:17:00	53,7283333333	7,7086666667	13:27:00	53,7376666667	7,7006666667	1742,05	2,85
PO0197	000501A	1997/03/18	13:38:00	53,7450000000	7,6866666667	13:51:00	53,7468333333	7,6673333333	2119,64	3,15
PO0197	000601A	1997/03/18	14:07:00	53,7476666667	7,6626666667	14:19:00	53,7576666667	7,6508333333	2251,44	3,30
PO0197	000701A	1997/03/18	15:10:00	53,7815000000	7,5935000000	15:25:00	53,7808333333	7,5723333333	2290,74	4,90
PO0197	000901A	1997/03/18	16:57:00	53,7488333333	7,4348333333	17:07:00	53,7400000000	7,4431666667	1868,07	4,30
PO0197	001101A	1997/03/18	18:50:00	53,7030000000	7,5811666667	18:58:00	53,7038333333	7,5936666667	1363,84	3,90
PO0197	001201A	1997/03/19	10:16:00	53,7026666667	7,6176666667	10:27:00	53,7045000000	7,6333333333	1731,97	3,40
PO0197	001301A	1997/03/19	11:02:00	53,7018333333	7,5523333333	11:12:00	53,7000000000	7,5385000000	1537,73	4,00
PO0197	001401A	1997/03/19	12:00:00	53,7080000000	7,5241666667	12:08:00	53,7146666667	7,5161666667	1508,66	4,95
PO0197	001601A	1997/03/19	13:08:00	53,7056666667	7,4416666667	13:17:00	53,7126666667	7,4483333333	1484,16	2,30
PO0197	001701A	1997/03/19	13:32:00	53,7111666667	7,4605000000	13:44:00	53,7058333333	7,4713333333	1534,37	2,10
PO0197	001801A	1997/03/19	13:56:00	53,7061666667	7,4711666667	14:07:00	53,6976666667	7,4768333333	1689,83	2,95
PO0197	001901A	1997/03/19	14:26:00	53,6971666667	7,4771666667	14:38:00	53,6913333333	7,4901666667	1776,14	2,60
PO0197	002001A	1997/03/19	15:12:00	53,7198333333	7,4500000000	15:25:00	53,7161666667	7,4683333333	2099,16	7,50
PO0197	002101A	1997/03/19	15:43:00	53,7173333333	7,4750000000	15:57:00	53,7168333333	7,4973333333	2421,52	3,90
PO0197	002201A	1997/03/19	16:16:00	53,7218333333	7,4860000000	16:27:00	53,7233333333	7,5026666667	1826,63	3,70
PO0198	0001	1998/03/24	10:54:00	53,7398333333	7,4405000000	11:05:00	53,7510000000	7,4370000000	2102,47	4,90
PO0198	0003	1998/03/24	12:21:00	53,7161666667	7,4676666667	12:33:00	53,7193333333	7,4515000000	1847,14	2,00
PO0198	0004	1998/03/24	13:02:00	53,7096666667	7,4641666667	13:08:00	53,7063333333	7,4701666667	896,67	4,00
PO0198	0005	1998/03/24	13:23:00	53,7041666667	7,4743333333	13:30:00	53,6980000000	7,4761666667	1159,23	2,05
PO0198	0006	1998/03/24	13:54:00	53,6973333333	7,4766666667	14:04:00	53,6915000000	7,4885000000	1677,47	1,60
PO0198	0007	1998/03/24	15:17:00	53,7118333333	7,4471666667	15:26:00	53,7045000000	7,4406666667	1529,99	1,70
PO0198	0009	1998/03/24	16:17:00	53,7171666667	7,4773333333	16:29:00	53,7185000000	7,4953333333	1965,76	5,90
PO0198	0010	1998/03/24	16:52:00	53,7143333333	7,5016666667	16:59:00	53,7073333333	7,5253333333	2873,87	4,75
PO0198	0011	1998/03/24	17:16:00	53,6998333333	7,5386666667	17:25:00	53,7021666667	7,5528333333	1595,54	5,00
PO0198	0012	1998/03/24	18:12:00	53,7033333333	7,5843333333	18:18:00	53,7043333333	7,5940000000	1064,15	4,25
PO0198	0013	1998/03/24	18:35:00	53,7025000000	7,6185000000	18:44:00	53,7045000000	7,6330000000	1614,94	3,85
PO0198	0021	1998/03/25	17:09:00	53,7721666667	7,4565000000	17:22:00	53,7718333333	7,4758333333	2090,98	4,00
PO0198	0022	1998/03/25	17:57:00	53,7783333333	7,5621666667	18:05:00	53,7795000000	7,5748333333	1385,92	5,55
PO0198	0025	1998/03/26	12:35:00	53,7390000000	7,7746666667	12:40:00	53,7363333333	7,7683333333	844,98	3,30

Expedition	Station	Datum	Startzeit	Start Latitude	Start Längengrad	Endzeit	Ende Latitude	Ende Längengrad	Distanz (m)	Mittlere Tiefe (m)
PO0198	0026	1998/03/26	13:03:00	53,7315000000	7,7570000000	13:08:00	53,7293333333	7,7510000000	763,65	4,60
PO0198	0028	1998/03/26	14:25:00	53,7250000000	7,7290000000	14:34:00	53,7275000000	7,7150000000	1533,70	3,20
PO0198	0032	1998/03/26	17:25:00	53,7568333333	7,6518333333	17:30:00	53,7531666667	7,6556666667	795,68	6,00
PO0198	0033	1998/03/26	17:49:00	53,7456666667	7,6863333333	17:55:00	53,7438333333	7,6948333333	980,58	6,10
PO0198	0034	1998/03/26	18:26:00	53,7286666667	7,7085000000	18:31:00	53,7325000000	7,7050000000	804,77	2,30
PO0199	0001	1999/03/13	12:19:00	53,7263333333	7,7191666667	12:29:00	53,7255000000	7,7338333333	1596,00	3,70
PO0199	0002	1999/03/13	12:51:00	53,7256666667	7,7411666667	13:00:00	53,7306666667	7,7540000000	1670,06	3,30
PO0199	0003	1999/03/13	13:19:00	53,7321666667	7,7625000000	13:30:00	53,7396666667	7,7761666667	2029,43	1,85
PO0199	0004	1999/03/13	14:16:00	53,7285000000	7,7083333333	14:27:00	53,7380000000	7,7001666667	1969,11	1,95
PO0199	0005	1999/03/13	14:43:00	53,7450000000	7,6883333333	14:59:00	53,7460000000	7,6671666667	2298,19	2,25
PO0199	0006	1999/03/13	15:21:00	53,7566666667	7,6510000000	15:34:00	53,7476666667	7,6656666667	2301,36	3,85
PO0199	0007	1999/03/13	16:39:00	53,7795000000	7,5733333333	16:50:00	53,7766666667	7,5611666667	1415,81	5,75
PO0199	0008	1999/03/13	17:26:00	53,7713333333	7,4741666667	17:42:00	53,7685000000	7,4558333333	2050,41	4,90
PO0199	0009	1999/03/13	18:07:00	53,7486666667	7,4375000000	18:17:00	53,7381666667	7,4418333333	2000,36	6,65
PO0199	0011	1999/03/14	11:07:00	53,7003333333	7,5380000000	11:20:00	53,7021666667	7,5528333333	1643,62	7,15
PO0199	0012	1999/03/14	11:48:00	53,7026666667	7,5806666667	11:58:00	53,7036666667	7,5921666667	1260,37	2,65
PO0199	0013	1999/03/14	12:14:00	53,7023333333	7,6175000000	12:27:00	53,7043333333	7,6328333333	1703,01	2,90
PO0199	0014	1999/03/14	13:11:00	53,7075000000	7,5240000000	13:22:00	53,7146666667	7,5166666667	1547,01	2,15
PO0199	0015	1999/03/14	13:36:00	53,7233333333	7,5030000000	13:48:00	53,7216666667	7,4841666667	2063,31	3,65
PO0199	0016	1999/03/14	14:15:00	53,7053333333	7,4411666667	14:24:00	53,7123333333	7,4476666667	1475,45	1,55
PO0199	0017	1999/03/14	15:02:00	53,7113333333	7,4348333333	15:13:00	53,7161666667	7,4465000000	1549,03	1,90
PO0199	0018	1999/03/14	15:30:00	53,7196666667	7,4501666667	15:44:00	53,7163333333	7,4665000000	1874,19	8,05
PO0199	0019	1999/03/14	16:00:00	53,7168333333	7,4778333333	16:12:00	53,7186666667	7,4950000000	1890,64	4,25
PO0199	0020	1999/03/14	16:33:00	53,7100000000	7,4628333333	16:40:00	53,7060000000	7,4710000000	1154,25	1,50
PO0199	0021	1999/03/14	16:53:00	53,7040000000	7,4741666667	17:00:00	53,6978333333	7,4761666667	1162,47	3,25
PO0199	0022	1999/03/14	17:16:00	53,6968333333	7,4770000000	17:26:00	53,6916666667	7,4888333333	1600,75	2,30
PO0200	0001	2000/07/24	08:54:00	53,7260000000	7,7183333333	09:02:00	53,7241666667	7,7256666667	863,81	2,15
PO0200	0002	2000/07/24	09:30:00	53,7246666667	7,7405000000	09:43:00	53,7296666667	7,7520000000	1552,00	3,25
PO0200	0003	2000/07/24	10:20:00	53,7315000000	7,7598333333	10:36:00	53,7386666667	7,7736666667	2001,19	2,30
PO0200	0004	2000/07/24	11:33:00	53,7288333333	7,7065000000	11:45:00	53,7396666667	7,6965000000	2279,84	2,20
PO0200	0005	2000/07/24	12:17:00	53,7435000000	7,6893333333	12:31:00	53,7451666667	7,6706666667	2043,70	2,55
PO0200	0006	2000/07/24	13:12:00	53,7558333333	7,6496666667	13:27:00	53,7468333333	7,6646666667	2326,42	3,35
PO0200	0007	2000/07/24	14:24:00	53,7791666667	7,5733333333	14:36:00	53,7790000000	7,5603333333	1405,32	5,80
PO0200	0008	2000/07/24	15:11:00	53,7725000000	7,4760000000	15:24:00	53,7716666667	7,4611666667	1610,99	5,75

Expedition	Station	Datum	Startzeit	Start Latitude	Start Längengrad	Endzeit	Ende Latitude	Ende Längengrad	Distanz (m)	Mittlere Tiefe (m)
PO0200	0009	2000/07/24	15:55:00	53,7506666667	7,4323333333	16:03:00	53,7433333333	7,4378333333	1482,83	6,25
PO0200	0010	2000/07/24	16:38:00	53,7325000000	7,4365000000	16:54:00	53,7186666667	7,4481666667	2856,61	7,40
PO0200	0011	2000/07/24	17:22:00	53,7181666667	7,4513333333	17:33:00	53,7156666667	7,4661666667	1672,52	11,50
PO0200	0012	2000/07/25	09:39:00	53,7060000000	7,4430000000	09:48:00	53,7146666667	7,4468333333	1657,96	2,30
PO0200	0014	2000/07/25	11:33:00	53,7098333333	7,4635000000	11:38:00	53,7056666667	7,4685000000	942,96	1,10
PO0200	0015	2000/07/25	11:54:00	53,7041666667	7,4721666667	12:01:00	53,6971666667	7,4750000000	1332,30	2,05
PO0200	0016	2000/07/25	12:12:00	53,6910000000	7,4866666667	12:24:00	53,6975000000	7,4748333333	1759,53	2,80
PO0200	0017	2000/07/25	13:34:00	53,7210000000	7,4858333333	13:46:00	53,7226666667	7,5021666667	1796,05	4,50
PO0200	0018	2000/07/25	14:34:00	53,7165000000	7,4778333333	14:45:00	53,7171666667	7,4953333333	1900,11	3,55
PO0200	0019	2000/07/25	15:10:00	53,7175000000	7,5108333333	15:21:00	53,7098333333	7,5218333333	1853,87	3,93
PO0200	0020	2000/07/25	16:14:00	53,7085000000	7,5145000000	16:23:00	53,7025000000	7,5256666667	1643,15	4,15
PO0200	0021	2000/07/27	08:28:00	53,6995000000	7,5350000000	08:37:00	53,7005000000	7,5476666667	1385,77	5,75
PO0200	0022	2000/07/27	09:14:00	53,7021666667	7,5691666667	09:28:00	53,7026666667	7,5913333333	2404,89	3,20
PO0200	0023	2000/07/27	10:03:00	53,7010000000	7,6170000000	10:13:00	53,7043333333	7,6340000000	1943,61	4,45
PO0200	0024	2000/07/27	11:28:00	53,7243333333	7,5645000000	11:37:00	53,7250000000	7,5491666667	1665,39	4,60
PO0200	0026	2000/07/27	13:20:00	53,7291666667	7,5223333333	13:31:00	53,7245000000	7,5086666667	1714,01	3,00
PO0201	0001	2001/07/09	06:33:00	53,7245000000	7,7410000000	06:43:00	53,7295000000	7,7518333333	1494,68	3,00
PO0201	0002	2001/07/09	07:31:00	53,7313333333	7,7595000000	07:49:00	53,7390000000	7,7746666667	2170,80	2,40
PO0201	0003	2001/07/09	08:21:00	53,7240000000	7,7271666667	08:30:00	53,7270000000	7,7136666667	1564,19	4,00
PO0201	0004	2001/07/09	09:08:00	53,7280000000	7,7071666667	09:22:00	53,7383333333	7,6976666667	2172,66	3,60
PO0201	0005	2001/07/09	10:03:00	53,7435000000	7,6903333333	10:18:00	53,7451666667	7,6713333333	2079,37	2,70
PO0201	0006	2001/07/09	10:59:00	53,7573333333	7,6483333333	11:14:00	53,7461666667	7,6655000000	2779,69	3,80
PO0201	0007	2001/07/09	12:51:00	53,7036666667	7,6325000000	13:02:00	53,7008333333	7,6183333333	1623,00	3,50
PO0201	0008	2001/07/09	13:33:00	53,7023333333	7,5906666667	13:46:00	53,7015000000	7,5741666667	1795,46	3,45
PO0201	0011	2001/07/09	15:48:00	53,7105000000	7,5211666667	15:58:00	53,7165000000	7,5121666667	1478,48	4,91
PO0201	0012	2001/07/10	07:05:00	53,7060000000	7,4435000000	07:14:00	53,7135000000	7,4476666667	1460,56	1,90
PO0201	0013	2001/07/10	07:49:00	53,7121666667	7,4373333333	07:55:00	53,7143333333	7,4443333333	858,14	2,20
PO0201	0014	2001/07/10	08:30:00	53,7101666667	7,4626666667	08:36:00	53,7068333333	7,4661666667	724,57	1,00
PO0201	0015	2001/07/10	09:10:00	53,7051666667	7,4718333333	09:19:00	53,6973333333	7,4745000000	1479,26	1,20
PO0201	0016	2001/07/10	09:51:00	53,6970000000	7,4750000000	10:04:00	53,6908333333	7,4878333333	1800,36	1,80
PO0201	0017	2001/07/10	11:04:00	53,7168333333	7,4783333333	11:15:00	53,7176666667	7,4951666667	1830,35	4,20
PO0201	0018	2001/07/10	12:11:00	53,7725000000	7,4601666667	12:22:00	53,7726666667	7,4763333333	1747,96	5,65
PO0201	0019	2001/07/10	12:57:00	53,7790000000	7,5523333333	13:09:00	53,7791666667	7,5700000000	1909,59	6,60
PO0201	0023	2001/07/11	08:58:00	53,7226666667	7,5016666667	09:10:00	53,7208333333	7,4998333333	393,35	3,35

Expedition	Station	Datum	Startzeit	Start Latitude	Start Längengrad	Endzeit	Ende Latitude	Ende Längengrad	Distanz (m)	Mittlere Tiefe (m)
PO0201	0024	2001/07/11	10:31:00	53,7436666667	7,4375000000	10:41:00	53,7511666667	7,4311666667	1548,88	5,35
PO0201	0025	2001/07/11	11:00:00	53,7323333333	7,4361666667	11:16:00	53,7190000000	7,4480000000	2782,13	6,10
PO0201	0026	2001/07/11	12:06:00	53,7178333333	7,4508333333	12:13:00	53,7145000000	7,4620000000	1358,31	6,55
PO0202	0001	2002/07/16	13:23:00	53,7258666667	7,7174666667	13:29:00	53,7257166667	7,7288333333	1231,42	4,50
PO0202	0002	2002/07/16	14:10:00	53,7261000000	7,7437833333	14:17:00	53,7310333333	7,7538833333	1425,19	4,70
PO0202	0006	2002/07/16	17:18:00	53,7793333333	7,5739000000	17:28:00	53,7793166667	7,5599000000	1513,05	7,05
PO0202	0007	2002/07/16	18:57:00	53,7189000000	7,4478333333	19:06:00	53,7265333333	7,4393333333	1687,10	2,40
PO0202	0008	2002/07/16	19:17:00	53,7180666667	7,4503666667	19:30:00	53,7151333333	7,4670166667	1884,03	6,90
PO0202	0009	2002/07/17	09:00:00	53,7055333333	7,4434000000	09:09:00	53,7135166667	7,4476666667	1549,14	2,15
PO0202	0010	2002/07/17	09:51:00	53,7104166667	7,4326666667	09:59:00	53,7131166667	7,4424000000	1167,33	2,10
PO0202	0011	2002/07/17	10:55:00	53,7105000000	7,4623000000	11:02:00	53,7059166667	7,4686166667	1090,52	0,80
PO0202	0012	2002/07/17	11:21:00	53,7051666667	7,4725833333	11:30:00	53,6980500000	7,4744000000	1332,64	2,35
PO0202	0013	2002/07/17	12:00:00	53,6917666667	7,4861000000	12:13:00	53,6976666667	7,4746666667	1652,65	2,45
PO0202	0015	2002/07/17	13:47:00	53,7166500000	7,4771666667	13:59:00	53,7174166667	7,4958000000	2023,85	4,00
PO0202	0016	2002/07/17	14:19:00	53,7208500000	7,4832666667	14:31:00	53,7224833333	7,5017166667	2021,39	5,70
PO0202	0017	2002/07/17	16:04:00	53,7179333333	7,5108000000	16:11:00	53,7129833333	7,5176000000	1176,14	5,00
PO0202	0018	2002/07/17	16:30:00	53,7088666667	7,5137000000	16:40:00	53,7027666667	7,5250666667	1671,63	4,75
PO0202	0019	2002/07/18	09:38:00	53,7311000000	7,7587833333	09:53:00	53,7385500000	7,7739000000	2140,65	3,50
PO0202	0021	2002/07/18	10:39:00	53,7344666667	7,7016500000	10:50:00	53,7429333333	7,6919833333	1885,14	2,85
PO0202	0022	2002/07/18	11:20:00	53,7449666667	7,6725166667	11:33:00	53,7435333333	7,6919333333	2118,13	2,95
PO0202	0023	2002/07/18	12:12:00	53,7573833333	7,6487500000	12:30:00	53,7464500000	7,6666000000	2798,19	4,20
PO0202	0024	2002/07/18	17:00:00	53,6988166667	7,5390166667	17:08:00	53,6949333333	7,5482166667	1229,82	4,10
PO0202	0025	2002/07/18	18:01:00	53,7023500000	7,5694000000	18:07:00	53,7013166667	7,5788000000	1036,90	3,25
PO0202	0026	2002/07/18	18:25:00	53,7009666667	7,6173333333	18:36:00	53,7039166667	7,6335500000	1841,00	4,75
PO0203	0001	2003/07/07	10:13:00	53,7381666667	7,7730000000	10:23:00	53,7315000000	7,7606666667	1818,65	3,10
PO0203	0002	2003/07/07	11:13:00	53,7315000000	7,7583333333	11:26:00	53,7263333333	7,7436666667	1854,29	2,90
PO0203	0003	2003/07/07	12:19:00	53,7242333333	7,7278333333	12:29:00	53,7266166667	7,7148000000	1479,04	2,35
PO0203	0004	2003/07/07	12:55:00	53,7281666667	7,7070000000	13:06:00	53,7376666667	7,6985000000	1985,59	2,00
PO0203	0005	2003/07/07	13:30:00	53,7436666667	7,6905000000	13:44:00	53,7451666667	7,6718333333	2039,26	3,15
PO0203	0006	2003/07/07	14:18:00	53,7570000000	7,6490000000	14:31:00	53,7470000000	7,6653333333	2559,84	6,10
PO0203	0007	2003/07/07	16:02:00	53,7792833333	7,5754833333	16:14:00	53,7796000000	7,5611500000	1550,17	6,40
PO0203	0008	2003/07/07	16:52:00	53,7728000000	7,4760166667	17:01:00	53,7728500000	7,4597500000	1758,50	6,40
PO0203	0010	2003/07/08	10:13:00	53,7056666667	7,4435000000	10:22:00	53,7136666667	7,4483333333	1571,48	1,95
PO0203	0011	2003/07/08	11:12:00	53,7105000000	7,4331666667	11:20:00	53,7141666667	7,4441666667	1371,90	1,70

Expedition	Station	Datum	Startzeit	Start Latitude	Start Längengrad	Endzeit	Ende Latitude	Ende Längengrad	Distanz (m)	Mittlere Tiefe (m)
PO0203	0012	2003/07/08	12:02:00	53,7132500000	7,4670166667	12:12:00	53,7066333333	7,4748833333	1492,82	1,90
PO0203	0013	2003/07/08	13:01:00	53,7046666667	7,4726666667	13:08:00	53,6990000000	7,4738333333	1057,06	2,60
PO0203	0014	2003/07/08	13:42:00	53,6910000000	7,4866666667	13:53:00	53,6971666667	7,4751666667	1691,06	2,80
PO0203	0015	2003/07/08	14:55:00	53,7524333333	7,4341333333	15:01:00	53,7454000000	7,4388166667	1397,68	3,90
PO0203	0016	2003/07/08	15:46:00	53,7315000000	7,4370000000	15:59:59	53,7185000000	7,4488333333	2727,50	6,10
PO0203	0017	2003/07/08	16:53:00	53,7181666667	7,4503333333	17:02:00	53,7145000000	7,4680000000	2031,07	8,30
PO0203	0018	2003/07/09	12:03:00	53,7226666667	7,5018333333	12:13:00	53,7210000000	7,4836666667	1991,98	2,40
PO0203	0019	2003/07/09	13:20:00	53,7166666667	7,4766666667	13:33:00	53,7175000000	7,4945000000	1938,34	3,40
PO0203	0020	2003/07/09	14:02:00	53,7240000000	7,5116666667	14:10:00	53,7280000000	7,5238333333	1511,70	4,40
PO0203	0022	2003/07/09	15:19:00	53,7246666667	7,5680000000	15:27:00	53,7248333333	7,5596666667	903,14	2,25
PO0203	0023	2003/07/09	17:11:00	53,7180000000	7,5100000000	17:21:00	53,7100000000	7,5213333333	1924,40	3,80
PO0203	0024	2003/07/09	17:43:00	53,7090000000	7,5136666667	17:53:00	53,7030000000	7,5248333333	1643,13	5,40
PO0203	0025	2003/07/09	18:37:00	53,6985000000	7,5391666667	18:44:00	53,6988333333	7,5475000000	905,67	3,70
PO0203	0026	2003/07/09	20:02:00	53,7021666667	7,5693333333	20:07:00	53,7016666667	7,5785000000	998,09	4,25
PO0203	0027	2003/07/09	20:24:00	53,7008333333	7,6175000000	20:31:00	53,7025000000	7,6285000000	1231,86	3,30
PO0204	0001	2004/07/12	13:19:00	53,7279666667	7,7127833333	13:30:00	53,7241500000	7,7277183333	1712,33	3,50
PO0204	0002	2004/07/12	14:04:00	53,7254500000	7,7426666667	14:14:00	53,7294666667	7,7513500000	1199,06	3,40
PO0204	0003	2004/07/12	14:44:00	53,7309000000	7,7562500000	14:58:00	53,7375500000	7,7721000000	2112,30	2,90
PO0204	0005	2004/07/12	15:23:00	53,7435666667	7,6892000000	15:38:00	53,7452333333	7,6724166667	1842,46	3,20
PO0204	0004	2004/07/12	15:38:00	53,7309166667	7,7045333333	15:51:00	53,7403333333	7,6958666667	1980,36	2,55
PO0204	0007	2004/07/12	18:49:00	53,7042833333	7,6341000000	19:01:00	53,7008666667	7,6164333333	2017,07	3,10
PO0204	0008	2004/07/12	19:33:00	53,7023833333	7,5914833333	19:44:00	53,7020166667	7,5777500000	1490,40	3,20
PO0204	0009	2004/07/13	11:00:00	53,6988333333	7,5380166667	11:05:00	53,6983000000	7,5446666667	727,78	4,60
PO0204	0010	2004/07/13	11:53:00	53,7029000000	7,5244166667	12:01:00	53,7086333333	7,5136500000	1577,81	3,65
PO0204	0011	2004/07/13	12:30:00	53,7099166667	7,5220000000	12:41:00	53,7172166667	7,5109333333	1807,18	3,55
PO0204	0012	2004/07/13	13:19:00	53,7173000000	7,4940666667	13:31:00	53,7161833333	7,4754000000	2033,05	3,55
PO0204	0013	2004/07/13	14:07:00	53,7055500000	7,4438333333	14:16:00	53,7132833333	7,4475833333	1488,76	1,75
PO0204	0014	2004/07/13	14:50:00	53,7106666667	7,4328333333	14:59:00	53,7145833333	7,4454833333	1550,92	2,50
PO0204	0015	2004/07/13	15:34:00	53,7130333333	7,4662500000	15:44:00	53,7070166667	7,4753833333	1490,45	1,95
PO0204	0016	2004/07/13	16:02:00	53,7057000000	7,4725833333	16:09:00	53,6984333333	7,4739833333	1354,32	3,00
PO0204	0017	2004/07/13	16:50:00	53,6928166667	7,4862333333	16:56:00	53,6956333333	7,4792000000	924,06	1,95
PO0204	0018	2004/07/13	17:25:00	53,7209833333	7,4836000000	17:36:00	53,7227666667	7,5026166667	2086,31	3,90
PO0204	0019	2004/07/13	18:06:00	53,7237166667	7,5113833333	18:17:00	53,7289833333	7,5282333333	2069,27	5,05
PO0204	0020	2004/07/14	12:03:00	53,7147833333	7,4661166667	12:14:00	53,7190166667	7,4495833333	1955,40	8,35

Expedition	Station	Datum	Startzeit	Start Latitude	Start Längengrad	Endzeit	Ende Latitude	Ende Längengrad	Distanz (m)	Mittlere Tiefe (m)
PO0204	0021	2004/07/14	12:33:00	53,7192500000	7,4481666667	12:45:00	53,7297000000	7,4388333333	2183,47	6,55
PO0204	0022	2004/07/14	13:34:00	53,7511333333	7,4357333333	13:45:00	53,7435333333	7,4395166667	1465,86	3,85
PO0204	0024	2004/07/14	16:39:00	53,7246000000	7,5550000000	16:48:00	53,7246500000	7,5667833333	1276,33	2,65
PO0205	0001	2005/07/12	08:37:00	53,7268833333	7,7141333333	08:46:00	53,7239000000	7,7247166667	1272,50	4,10
PO0205	0002	2005/07/12	09:19:00	53,7251833333	7,7401166667	09:29:00	53,7299333333	7,7527833333	1629,65	2,90
PO0205	0003	2005/07/12	09:51:00	53,7386000000	7,7736666667	10:04:00	53,7316000000	7,7600166667	1965,89	1,75
PO0205	0004	2005/07/12	10:34:00	53,7285166667	7,7069500000	10:45:00	53,7307833333	7,6995666667	1776,59	3,00
PO0205	0005	2005/07/12	11:32:00	53,7435500000	7,6902000000	11:42:00	53,7448500000	7,6776333333	1381,22	2,80
PO0205	0006	2005/07/12	12:25:00	53,7568666667	7,6487000000	12:39:00	53,7467333333	7,6641833333	2515,62	#DIV/0!
PO0205	0007	2005/07/12	14:45:00	53,7797166667	7,5747500000	14:56:00	53,7787333333	7,5583000000	1787,14	6,50
PO0205	0008	2005/07/12	15:31:00	53,7722166667	7,4761833333	15:42:00	53,7725500000	7,4597666667	1775,80	6,10
PO0205	0009	2005/07/13	09:17:00	53,7105500000	7,4336500000	09:26:00	53,7136000000	7,4452500000	1378,16	1,50
PO0205	0010	2005/07/13	09:56:00	53,7131166667	7,4668333333	10:06:00	53,7069000000	7,4745500000	1423,02	2,15
PO0205	0011	2005/07/13	10:30:00	53,7060833333	7,4729333333	10:40:00	53,6980333333	7,4746666667	1502,66	2,65
PO0205	0012	2005/07/13	11:09:00	53,6908500000	7,4865666667	11:22:00	53,6975000000	7,4750166667	1756,62	1,70
PO0205	0013	2005/07/13	12:15:00	53,7312833333	7,4378333333	12:29:00	53,7194500000	7,4487166667	2488,44	5,60
PO0205	0014	2005/07/13	13:01:00	53,7437833333	7,4396166667	13:17:00	53,7521000000	7,4351000000	1615,93	4,45
PO0205	0015	2005/07/13	13:40:00	53,7179166667	7,4515333333	13:49:00	53,7145000000	7,4669166667	1782,86	6,50
PO0205	0016	2005/07/13	14:14:00	53,7179666667	7,5105000000	14:24:00	53,7095333333	7,5223166667	2019,65	4,20
PO0205	0017	2005/07/13	14:52:00	53,7089833333	7,5133166667	15:03:00	53,7028333333	7,5251166667	1712,69	3,65
PO0205	0018	2005/07/14	09:13:00	53,7057500000	7,4437666667	09:21:00	53,7137833333	7,4476500000	1546,16	2,00
PO0205	0020	2005/07/14	10:38:00	53,7210666667	7,4855166667	10:50:00	53,7227833333	7,5021166667	1810,04	2,90
PO0205	0021	2005/07/14	11:28:00	53,7240500000	7,5124333333	11:41:00	53,7288833333	7,5279500000	1904,07	3,30
PO0205	0023	2005/07/14	12:58:00	53,7247666667	7,5582000000	13:06:00	53,7245666667	7,5699000000	1267,81	1,80
PO0205	0024	2005/07/14	15:18:00	53,6985500000	7,5401833333	15:25:00	53,7002666667	7,5482333333	928,91	4,15
PO0205	0025	2005/07/14	15:51:00	53,7024166667	7,5691333333	16:02:00	53,7023333333	7,5842333333	1637,08	3,75
PO0205	0026	2005/07/14	16:37:00	53,7008000000	7,6174833333	16:51:00	53,7041333333	7,6342166667	1916,24	3,10
PO0206	0001	2006/07/04	08:25:00	53,7789500000	7,5598666667	08:36:00	53,7794333333	7,5747333333	1609,21	5,25
PO0206	0002	2006/07/04	09:09:00	53,7729000000	7,4761333333	09:19:00	53,7729666667	7,4594166667	1807,16	4,85
PO0206	0004	2006/07/04	11:22:00	53,7156666667	7,4472333333	11:27:00	53,7130000000	7,4422500000	731,77	3,65
PO0206	0005	2006/07/04	11:46:00	53,7131000000	7,4671000000	11:57:00	53,7068666667	7,4749500000	1434,04	2,10
PO0206	0006	2006/07/04	12:19:00	53,7055833333	7,4727166667	12:28:00	53,6982833333	7,4743500000	1363,51	2,45
PO0206	0007	2006/07/04	12:52:00	53,6913666667	7,4863000000	13:04:00	53,6968500000	7,4755333333	1547,45	2,05
PO0206	0008	2006/07/04	13:53:00	53,7171500000	7,4776833333	14:05:00	53,7175000000	7,4956333333	1945,89	4,25

Expedition	Station	Datum	Startzeit	Start Latitude	Start Längengrad	Endzeit	Ende Latitude	Ende Längengrad	Distanz (m)	Mittlere Tiefe (m)
PO0206	0009	2006/07/04	14:30:00	53,7209333333	7,4840000000	14:42:00	53,7228666667	7,5022666667	2010,89	4,10
PO0206	0010	2006/07/04	15:44:00	53,7085500000	7,5136833333	15:54:00	53,7027500000	7,5251666667	1644,15	2,85
PO0206	0011	2006/07/05	06:43:00	53,7042000000	7,6336833333	06:55:00	53,7008000000	7,6167000000	1945,87	3,60
PO0206	0012	2006/07/05	07:22:00	53,7024833333	7,5917500000	07:34:00	53,7018166667	7,5757500000	1738,98	3,30
PO0206	0013	2006/07/05	08:05:00	53,6991833333	7,5493666667	08:13:00	53,6990333333	7,5374833333	1288,75	3,40
PO0206	0014	2006/07/05	09:01:00	53,7098500000	7,5216666667	09:14:00	53,7180833333	7,5112500000	1897,14	3,85
PO0206	0015	2006/07/05	09:36:00	53,7150500000	7,4651333333	09:47:00	53,7185666667	7,4512833333	1635,86	7,50
PO0206	0016	2006/07/05	10:15:00	53,7199000000	7,4482333333	10:28:00	53,7307000000	7,4380666667	2283,24	4,60
PO0206	0017	2006/07/05	10:55:00	53,7519666667	7,4347333333	11:07:00	53,7447333333	7,4398500000	1449,52	3,75
PO0206	0018	2006/07/05	11:48:00	53,7233333333	7,5107833333	11:59:00	53,7274666667	7,5212000000	1363,41	4,80
PO0206	0023	2006/07/05	13:18:00	53,7313833333	7,7586833333	13:23:00	53,7295833333	7,7521500000	782,09	2,35
PO0206	0020	2006/07/05	13:34:00	53,7244166667	7,5575166667	13:39:00	53,7246833333	7,5643333333	739,99	2,05
PO0206	0026	2006/07/05	15:34:00	53,7568833333	7,6479333333	15:45:00	53,7484666667	7,6616666667	2153,47	6,80
PO0206	0021	2006/07/06	11:19:00	53,7264333333	7,7152833333	11:29:00	53,7239000000	7,7239000000	1044,58	5,45
PO0206	0022	2006/07/06	13:03:00	53,7383333333	7,7733166667	13:08:00	53,7342333333	7,7656500000	1124,94	2,20
PO0206	0024	2006/07/06	13:56:00	53,7298833333	7,7057166667	14:07:00	53,7377833333	7,6987833333	1644,43	2,00
PO0206	0025	2006/07/06	14:30:00	53,7436833333	7,6892333333	14:40:00	53,7445333333	7,6755166667	1492,86	3,30
PO0206	0003	2007/07/04	10:56:00	53,7073333333	7,4445166667	11:05:00	53,7144666667	7,4489166667	1404,52	2,00
PO0207	0001	2007/07/31	05:31:00	53,7268833333	7,7146500000	05:43:00	53,7240166667	7,7280000000	1540,33	2,75
PO0207	0002	2007/07/31	06:04:00	53,7253666667	7,7421833333	06:16:00	53,7294333333	7,7512666667	1238,94	2,80
PO0207	0003	2007/07/31	06:37:00	53,7310166667	7,7572000000	06:51:00	53,7367666667	7,7704166667	1783,76	1,95
PO0207	0004	2007/07/31	07:22:00	53,7301833333	7,7055666667	07:35:00	53,7389333333	7,6978833333	1821,55	2,35
PO0207	0007	2007/07/31	09:24:00	53,7565666667	7,6487666667	09:38:00	53,7466333333	7,6657166667	2597,61	5,80
PO0207	0008	2007/07/31	09:58:00	53,7446166667	7,6733166667	10:10:00	53,7435333333	7,6925000000	2085,86	4,65
PO0207	0009	2007/07/31	11:18:00	53,7039000000	7,6334333333	11:33:00	53,7007833333	7,6163833333	1936,44	3,20
PO0207	0010	2007/07/31	12:06:00	53,7024333333	7,5907666667	12:20:00	53,7020833333	7,5742166667	1795,38	3,40
PO0207	0011	2007/07/31	12:55:00	53,7005000000	7,5544000000	13:07:00	53,6986500000	7,5411000000	1482,17	4,55
PO0207	0012	2007/07/31	13:48:00	53,7031666667	7,5238666667	13:58:00	53,7094500000	7,5121833333	1719,86	5,00
PO0207	0013	2007/07/31	14:21:00	53,7105333333	7,5209666667	14:33:00	53,7183333333	7,5083333333	1990,16	5,60
PO0207	0014	2007/07/31	15:04:00	53,7184333333	7,4509666667	15:17:00	53,7148833333	7,4667833333	1835,50	8,45
PO0207	0015	2007/08/01	06:47:00	53,7076833333	7,4446833333	06:56:00	53,7155000000	7,4491166667	1525,29	1,60
PO0207	0016	2007/08/01	07:13:00	53,7148000000	7,4471000000	07:23:00	53,7111333333	7,4342500000	1549,24	1,90
PO0207	0017	2007/08/01	07:58:00	53,7131500000	7,4676500000	08:08:00	53,7068000000	7,4744333333	1386,90	2,25
PO0207	0018	2007/08/01	08:22:00	53,6992666667	7,4738666667	08:30:00	53,7061166667	7,4731500000	1271,00	2,50

Expedition	Station	Datum	Startzeit	Start Latitude	Start Längengrad	Endzeit	Ende Latitude	Ende Längengrad	Distanz (m)	Mittlere Tiefe (m)
PO0207	0019	2007/08/01	08:47:00	53,6909166667	7,4861333333	08:58:00	53,6970833333	7,4752000000	1646,27	1,80
PO0207	0020	2007/08/01	09:28:00	53,7238333333	7,5124166667	09:39:00	53,7288833333	7,5278666667	1916,97	3,85
PO0207	0022	2007/08/01	10:36:00	53,7247333333	7,5696000000	10:47:00	53,7248833333	7,5576166667	1298,25	1,70
PO0207	0023	2007/08/01	11:21:00	53,7180166667	7,4952500000	11:40:00	53,7170333333	7,4779333333	1884,99	6,45
PO0207	0024	2007/08/01	11:54:00	53,7208500000	7,5062500000	12:22:00	53,7188333333	7,4812500000	2734,00	10,40
PO0207	0025	2007/08/01	12:50:00	53,7207500000	7,4504333333	13:09:00	53,7309333333	7,4400666667	2194,88	16,65
PO0207	0026	2007/08/01	13:23:00	53,7315000000	7,4377500000	13:38:00	53,7182666667	7,4496166667	2760,40	4,50
PO0207	0027	2007/08/02	08:48:00	53,7210333333	7,4839833333	09:04:00	53,7225833333	7,5024666667	2022,70	2,60
PO0207	0028	2007/08/02	10:06:00	53,7435000000	7,4400333333	10:20:00	53,7519166667	7,4350833333	1648,24	3,55
PO0207	0029	2007/08/02	10:52:00	53,7722833333	7,4583333333	11:04:00	53,7722333333	7,4802166667	2365,73	4,95
PO0207	0030	2007/08/02	13:04:00	53,7789666667	7,5575333333	13:14:00	53,7790333333	7,5764666667	2046,28	6,90
PO0293	000102X	1993/04/26	08:00:00	53,7395000000	7,7760000000	08:07:00	53,7348333333	7,7666666667	1329,63	2,00
PO0293	000201X	1993/04/26	08:33:00	53,7311666667	7,7565000000	08:43:00	53,7260000000	7,7433333333	2615,16	2,50
PO0293	000301X	1993/04/26	09:05:00	53,7251666667	7,7326666667	09:15:00	53,7265000000	7,7200000000	1393,96	2,50
PO0293	001001X	1993/04/26	13:57:00	53,7550000000	7,6531666667	14:05:00	53,7465000000	7,6620000000	1841,63	3,00
PO0293	001301X	1993/04/26	15:07:00	53,7371666667	7,7010000000	15:17:00	53,7306666667	7,7060000000	1319,93	1,75
PO0293	001401X	1993/04/26	15:19:00	53,7280000000	7,7073333333	15:29:00	53,7348333333	7,7025000000	1369,49	1,00
PO0293	001801SB	1993/04/27	09:15:00	53,7778333333	7,5671666667	09:25:00	53,7780000000	7,5580000000	991,22	4,00
PO0293	001901SB	1993/04/27	10:05:00	53,7738333333	7,4888333333	10:15:00	53,7748333333	7,4793333333	1043,48	4,00
PO0293	002601X	1993/04/28	09:22:00	53,7465000000	7,4333333333	09:31:00	53,7376666667	7,4403333333	1802,87	6,00
PO0293	003101X	1993/04/28	11:50:00	53,7263333333	7,5763333333	12:00:00	53,7248333333	7,5613333333	1648,23	1,75
PO0293	003201X	1993/04/28	12:42:00	53,7206666667	7,4468333333	12:48:00	53,7166666667	7,4596666667	1575,40	4,00
PO0293	003301X	1993/04/28	13:00:00	53,7126666667	7,4480000000	13:08:00	53,7026666667	7,4408333333	2008,31	2,50
PO0293	003501X	1993/04/28	13:54:00	53,7101666667	7,4686666667	14:00:00	53,7028333333	7,4761666667	1582,85	2,50
PO0293	003601X	1993/04/28	14:29:00	53,7011666667	7,4755000000	14:36:00	53,6943333333	7,4846666667	1609,20	4,00
PO0293	003701X	1993/04/28	14:47:00	53,6933333333	7,4863333333	14:55:00	53,6885000000	7,4921666667	1096,16	3,50
PO0293	003801X	1993/04/28	15:31:00	53,7131666667	7,5191666667	15:40:00	53,7060000000	7,5250000000	1470,15	6,50
PO0293	003901X	1993/04/28	15:49:00	53,7040000000	7,5338333333	15:57:00	53,7035000000	7,5466666667	1394,28	7,00
PO0293	004101X	1993/04/28	16:38:00	53,7023333333	7,6098333333	16:46:00	53,7033333333	7,6225000000	1385,62	3,50
PO0293	004201X	1993/04/28	17:17:00	53,7113333333	7,6920000000	17:26:00	53,7175000000	7,7011666667	1513,58	2,50
PO0294	000201A	1994/03/08	10:16:00	53,6903333333	7,4883333333	10:24:00	53,6960000000	7,4798333333	1396,84	4,10
PO0294	000301A	1994/03/08	11:01:00	53,6986666667	7,4770000000	11:10:00	53,7061666667	7,4723333333	1478,27	4,00
PO0294	000401A	1994/03/08	11:53:00	53,7066666667	7,4708333333	12:03:00	53,7113333333	7,4600000000	1457,93	2,25
PO0294	000501A	1994/03/08	12:43:00	53,7395000000	7,4403333333	12:52:00	53,7476666667	7,4368333333	1559,18	3,25

Expedition	Station	Datum	Startzeit	Start Latitude	Start Längengrad	Endzeit	Ende Latitude	Ende Längengrad	Distanz (m)	Mittlere Tiefe (m)
PO0294	000601A	1994/03/08	13:08:00	53,7380000000	7,4400000000	13:19:00	53,7468333333	7,4340000000	1760,12	7,30
PO0294	000701A	1994/03/08	14:02:00	53,7216666667	7,4868333333	14:12:00	53,7230000000	7,5025000000	1714,95	4,15
PO0294	000801A	1994/03/08	15:02:00	53,7250000000	7,5123333333	15:12:00	53,7291666667	7,5248333333	1558,27	7,40
PO0294	000901A	1994/03/08	16:07:00	53,7255000000	7,5603333333	16:10:00	53,7260000000	7,5761666667	1717,39	2,60
PO0294	001001A	1994/03/08	16:58:00	53,7095000000	7,5166666667	17:06:00	53,7045000000	7,5250000000	1293,58	8,15
PO0294	001101A	1994/03/08	17:22:00	53,7020000000	7,5326666667	17:31:00	53,6993333333	7,5491666667	1855,83	6,00
PO0294	001201A	1994/03/08	18:20:00	53,7023333333	7,6110000000	18:30:00	53,7043333333	7,6275000000	1826,66	3,70
PO0294	001301A	1994/03/09	08:07:00	53,7300000000	7,7116666667	08:15:00	53,7251666667	7,7205000000	1310,14	11,55
PO0294	001901A	1994/03/09	10:35:00	53,7266666667	7,7398333333	10:45:00	53,7300000000	7,7508333333	1341,73	7,85
PO0294	002101A	1994/03/09	14:31:00	53,7291666667	7,7126666667	14:39:00	53,7258333333	7,7215000000	1138,55	6,95
PO0294	002201A	1994/03/09	14:59:00	53,7265000000	7,7411666667	15:07:00	53,7300000000	7,7506666667	1216,00	6,65
PO0295	000101A	1995/03/22	08:05:00	53,7108333333	7,4618333333	08:16:00	53,7060000000	7,4721666667	1433,74	1,20
PO0295	000301A	1995/03/22	09:16:00	53,6916666667	7,4878333333	09:25:00	53,6965000000	7,4798333333	1246,58	2,40
PO0295	000401A	1995/03/22	10:06:00	53,7125000000	7,4486666667	10:19:00	53,7033333333	7,4415000000	1866,94	1,10
PO0295	000601A	1995/03/22	11:21:00	53,7486666667	7,4375000000	11:30:00	53,7388333333	7,4418333333	1880,55	4,95
PO0295	000801A	1995/03/22	14:42:00	53,7325000000	7,4408333333	14:53:00	53,7228333333	7,4501666667	2055,91	17,80
PO0295	001001A	1995/03/22	15:15:00	53,7218333333	7,4885000000	15:27:00	53,7231666667	7,5035000000	1643,51	5,30
PO0295	000901A	1995/03/22	15:33:00	53,7201666667	7,4513333333	15:46:00	53,7163333333	7,4691666667	2058,40	10,90
PO0295	001101A	1995/03/23	09:17:00	53,7255000000	7,5750000000	09:27:00	53,7250000000	7,5586666667	1771,51	2,45
PO0295	001301A	1995/03/23	10:25:00	53,7288333333	7,5231666667	10:38:00	53,7243333333	7,5115000000	1513,65	7,10
PO0295	001401A	1995/03/23	11:25:00	53,7175000000	7,4748333333	11:36:00	53,7171666667	7,4948333333	2167,11	4,00
PO0295	001501A	1995/03/23	12:01:00	53,7135000000	7,5170000000	12:09:00	53,7066666667	7,5265000000	1631,45	4,70
PO0295	001601A	1995/03/23	12:56:00	53,7026666667	7,5378333333	13:05:00	53,7035000000	7,5543333333	1795,38	6,95
PO0295	001701A	1995/03/23	13:38:00	53,7028333333	7,5823333333	13:45:00	53,7038333333	7,5951666667	1403,50	3,55
PO0297	000101A	1997/07/22	06:33:00	53,7273333333	7,7161666667	06:46:00	53,7248333333	7,7301666667	1585,42	3,15
PO0297	000201A	1997/07/22	07:09:00	53,7250000000	7,7386666667	07:23:00	53,7308333333	7,7545000000	2026,69	1,75
PO0297	000301A	1997/07/22	07:42:00	53,7320000000	7,7615000000	07:55:00	53,7393333333	7,7756666667	2048,65	1,95
PO0297	000401A	1997/07/22	08:47:00	53,7280000000	7,7090000000	08:58:00	53,7373333333	7,7010000000	1933,44	2,35
PO0297	000501A	1997/07/22	09:13:00	53,7455000000	7,6871666667	09:27:00	53,7475000000	7,6673333333	2178,06	3,10
PO0297	000601A	1997/07/22	09:36:00	53,7480000000	7,6626666667	09:51:00	53,7578333333	7,6503333333	2257,66	4,20
PO0297	000701A	1997/07/22	10:47:00	53,7816666667	7,5880000000	11:02:00	53,7796666667	7,5698333333	1997,89	5,50
PO0297	000801A	1997/07/22	11:43:00	53,7731666667	7,4906666667	11:53:00	53,7706666667	7,4790000000	1343,55	5,55
PO0297	000901A	1997/07/22	12:49:00	53,7483333333	7,4353333333	13:00:00	53,7391666667	7,4418333333	1837,66	7,75
PO0297	001101A	1997/07/22	14:32:00	53,6998333333	7,5386666667	14:46:00	53,7020000000	7,5521666667	1517,65	4,85

Expedition	Station	Datum	Startzeit	Start Latitude	Start Längengrad	Endzeit	Ende Latitude	Ende Längengrad	Distanz (m)	Mittlere Tiefe (m)
PO0297	001201A	1997/07/22	15:46:00	53,7030000000	7,5803333333	15:54:00	53,7038333333	7,5928333333	1363,84	4,15
PO0297	001301A	1997/07/22	16:31:00	53,7023333333	7,6171666667	16:41:00	53,7041666667	7,6306666667	1502,37	3,05
PO0297	001401A	1997/07/23	07:35:00	53,7106666667	7,4620000000	07:44:00	53,7058333333	7,4720000000	1405,70	2,00
PO0297	001501A	1997/07/23	08:00:00	53,7060000000	7,4728333333	08:10:00	53,6976666667	7,4765000000	1593,71	3,15
PO0297	001601A	1997/07/23	08:33:00	53,6960000000	7,4790000000	08:42:00	53,6915000000	7,4900000000	1455,22	1,75
PO0297	001701A	1997/07/23	09:30:00	53,7163333333	7,4670000000	09:43:00	53,7205000000	7,4495000000	2046,99	6,20
PO0297	001801A	1997/07/23	10:01:00	53,7176666667	7,4745000000	10:14:00	53,7171666667	7,4956666667	2295,18	3,25
PO0297	001901A	1997/07/23	10:35:00	53,7218333333	7,4870000000	10:46:00	53,7235000000	7,5041666667	1884,98	3,75
PO0297	002001A	1997/07/23	11:29:00	53,7123333333	7,4481666667	11:37:00	53,7061666667	7,4416666667	1341,87	2,85
PO0297	002201A	1997/07/23	13:06:00	53,7140000000	7,5181666667	13:15:00	53,7068333333	7,5238333333	1462,46	5,15
PO0298	0001	1998/07/07	14:27:00	53,7265000000	7,7186666667	14:38:00	53,7250000000	7,7311666667	1382,07	2,40
PO0298	0002	1998/07/07	15:16:00	53,7251666667	7,7395000000	15:30:00	53,7301666667	7,7530000000	1730,63	3,45
PO0298	0003	1998/07/07	16:26:00	53,7321666667	7,7620000000	16:41:00	53,7395000000	7,7755000000	1995,18	3,15
PO0298	0004	1998/07/07	17:50:00	53,7291666667	7,7080000000	18:01:00	53,7373333333	7,7006666667	1708,22	2,15
PO0298	0005	1998/07/07	18:42:00	53,7575000000	7,6511666667	18:54:00	53,7491666667	7,6645000000	2112,52	7,65
PO0298	0006	1998/07/07	19:25:00	53,7466666667	7,6683333333	19:36:00	53,7441666667	7,6883333333	2213,43	3,45
PO0298	0007	1998/07/08	12:42:00	53,6998333333	7,5383333333	12:54:00	53,7021666667	7,5538333333	1735,14	7,10
PO0298	0008	1998/07/08	14:12:00	53,7030000000	7,5810000000	14:21:00	53,7036666667	7,5925000000	1252,78	4,05
PO0298	0009	1998/07/08	14:58:00	53,7021666667	7,6165000000	15:10:00	53,7043333333	7,6330000000	1833,18	3,55
PO0298	0010	1998/07/08	16:24:00	53,7058333333	7,4413333333	16:31:00	53,7125000000	7,4473333333	1395,45	2,40
PO0298	0011	1998/07/08	17:14:00	53,7118333333	7,4356666667	17:24:00	53,7163333333	7,4461666667	1410,35	1,85
PO0298	0012	1998/07/08	18:23:00	53,7490000000	7,4373333333	18:34:00	53,7388333333	7,4403333333	1910,66	4,75
PO0298	0014	1998/07/08	19:05:00	53,7100000000	7,4633333333	19:13:00	53,7055000000	7,4711666667	1189,71	1,45
PO0298	0015	1998/07/08	19:36:00	53,7046666667	7,4735000000	19:44:00	53,6985000000	7,4758333333	1169,75	3,50
PO0298	0016	1998/07/08	20:09:00	53,6970000000	7,4776666667	20:18:00	53,6915000000	7,4893333333	1624,29	4,05
PO0298	0017	1998/07/08	21:06:00	53,7200000000	7,4500000000	21:18:00	53,7160000000	7,4673333333	2018,78	9,15
PO0298	0018	1998/07/08	21:27:00	53,7216666667	7,4860000000	21:38:00	53,7231666667	7,5018333333	1737,48	4,25
PO0298	0019	1998/07/08	22:04:00	53,7140000000	7,5176666667	22:13:00	53,7068333333	7,5248333333	1537,82	5,00
PO0299	0001	1999/07/19	08:51:00	53,7065000000	7,4441666667	09:00:00	53,7156666667	7,4485000000	1761,42	2,15
PO0299	0002	1999/07/19	09:46:00	53,7120000000	7,4361666667	09:51:00	53,7133333333	7,4415000000	628,49	1,45
PO0299	0003	1999/07/19	11:06:00	53,7106666667	7,4625000000	11:11:14	53,7060000000	7,4715000000	1303,26	0,95
PO0299	0004	1999/07/19	11:35:00	53,7033333333	7,4743333333	11:41:00	53,6981666667	7,4761666667	977,29	3,00
PO0299	0005	1999/07/19	12:09:00	53,6978333333	7,4761666667	12:21:00	53,6916666667	7,4900000000	1885,41	1,85
PO0299	0006	1999/07/19	13:07:00	53,7168333333	7,4761666667	13:18:00	53,7190000000	7,4948333333	2061,83	5,60

Expedition	Station	Datum	Startzeit	Start Latitude	Start Längengrad	Endzeit	Ende Latitude	Ende Längengrad	Distanz (m)	Mittlere Tiefe (m)
PO0299	0007	1999/07/19	13:34:00	53,7216666667	7,4863333333	13:45:00	53,7233333333	7,5030000000	1831,58	4,35
PO0299	0008	1999/07/19	14:42:00	53,7493333333	7,4376666667	14:52:00	53,7388333333	7,4415000000	1988,36	6,60
PO0299	0010	1999/07/19	15:35:00	53,7190000000	7,4515000000	15:47:00	53,7163333333	7,4698333333	2046,79	9,05
PO0299	0011	1999/07/19	16:20:00	53,7146666667	7,5168333333	16:29:00	53,7076666667	7,5251666667	1579,95	5,35
PO0299	0012	1999/07/19	16:41:00	53,6993333333	7,5391666667	16:52:00	53,7021666667	7,5516666667	1453,27	4,85
PO0299	0013	1999/07/19	18:43:00	53,7726666667	7,4576666667	18:57:00	53,7728333333	7,4761666667	2000,15	5,30
PO0299	0014	1999/07/19	19:25:00	53,7783333333	7,5628333333	19:32:00	53,7790000000	7,5721666667	1016,25	5,45
PO0299	0015	1999/07/20	09:09:00	53,7266666667	7,7171666667	09:20:00	53,7243333333	7,7290000000	1352,56	4,40
PO0299	0016	1999/07/20	10:05:00	53,7255000000	7,7425000000	10:17:00	53,7300000000	7,7516666667	1296,19	2,70
PO0299	0017	1999/07/20	11:04:00	53,7320000000	7,7606666667	11:19:00	53,7393333333	7,7753333333	2089,48	2,85
PO0299	0018	1999/07/20	12:17:00	53,7273333333	7,7090000000	12:29:00	53,7375000000	7,7008333333	2080,18	1,60
PO0299	0019	1999/07/20	13:26:00	53,7438333333	7,6918333333	13:44:00	53,7456666667	7,6705000000	2333,65	2,85
PO0299	0020	1999/07/20	14:17:00	53,7580000000	7,6495000000	14:31:00	53,7476666667	7,6646666667	2520,89	3,20
PO0299	0022	1999/07/20	16:40:00	53,7035000000	7,5928333333	16:51:00	53,7030000000	7,5805000000	1340,23	4,65
PO0396	000101A	1996/07/09	10:27:00	53,7275000000	7,7163333333	10:39:00	53,7248333333	7,7301666667	1577,55	3,55
PO0396	000201A	1996/07/09	11:17:00	53,7250000000	7,7398333333	11:33:00	53,7306666667	7,7543333333	1888,75	2,40
PO0396	000301A	1996/07/09	11:59:00	53,7321666667	7,7620000000	12:16:00	53,7401666667	7,7775000000	2238,55	1,95
PO0396	000401A	1996/07/09	13:36:00	53,7308333333	7,7060000000	13:46:00	53,7385000000	7,6915000000	2116,76	3,25
PO0396	000501A	1996/07/09	14:21:00	53,7471666667	7,6675000000	14:35:00	53,7450000000	7,6900000000	2467,80	3,50
PO0396	000601A	1996/07/09	15:18:00	53,7590000000	7,6495000000	15:32:00	53,7480000000	7,6633333333	2527,84	3,75
PO0396	000701A	1996/07/09	17:40:00	53,7141666667	7,5166666667	17:50:00	53,7065000000	7,5250000000	1682,76	5,80
PO0396	000801A	1996/07/09	18:30:00	53,6998333333	7,5390000000	18:42:00	53,7025000000	7,5540000000	1699,58	5,25
PO0396	000901A	1996/07/09	19:19:00	53,7031666667	7,5810000000	19:28:00	53,7036666667	7,5931666667	1322,19	4,70
PO0396	001001A	1996/07/09	19:56:00	53,7023333333	7,6170000000	20:09:00	53,7043333333	7,6325000000	1720,65	4,15
PO0396	001201A	1996/07/10	12:02:00	53,7055000000	7,4411666667	12:11:00	53,7118333333	7,4490000000	1447,96	2,40
PO0396	001401A	1996/07/10	13:16:00	53,7400000000	7,4426666667	13:27:00	53,7483333333	7,4351666667	1743,78	2,80
PO0396	001501A	1996/07/10	13:54:00	53,7200000000	7,4506666667	14:07:00	53,7161666667	7,4678333333	1990,77	7,70
PO0396	001601A	1996/07/10	14:29:00	53,7108333333	7,4606666667	14:38:00	53,7061666667	7,4710000000	1414,67	1,50
PO0396	001701A	1996/07/10	15:01:00	53,7056666667	7,4721666667	15:12:00	53,6975000000	7,4766666667	1589,20	2,00
PO0396	001801A	1996/07/10	15:39:00	53,6956666667	7,4790000000	15:49:00	53,6920000000	7,4905000000	1420,05	2,40
PO0396	001901A	1996/07/10	16:28:00	53,7173333333	7,4753333333	16:42:00	53,7180000000	7,4960000000	2242,52	3,95
PO0396	002001A	1996/07/10	17:02:00	53,7218333333	7,4865000000	17:11:00	53,7231666667	7,5020000000	1697,07	5,30
PO0495	000101A	1995/07/18	09:03:00	53,7280000000	7,7160000000	09:16:00	53,7246666667	7,7295000000	1587,12	3,25
PO0495	000201A	1995/07/18	09:52:00	53,7250000000	7,7405000000	10:07:00	53,7303333333	7,7535000000	1153,44	3,10

Expedition	Station	Datum	Startzeit	Start Latitude	Start Längengrad	Endzeit	Ende Latitude	Ende Längengrad	Distanz (m)	Mittlere Tiefe (m)
PO0495	000301A	1995/07/18	10:41:00	53,7320000000	7,7618333333	10:57:00	53,7398333333	7,7770000000	2191,08	2,15
PO0495	000401A	1995/07/18	11:43:00	53,7280000000	7,7098333333	11:54:00	53,7373333333	7,7015000000	1949,88	2,35
PO0495	000501A	1995/07/18	12:29:00	53,7453333333	7,6891666667	12:48:00	53,7460000000	7,6681666667	2276,01	2,75
PO0495	000601A	1995/07/18	13:28:00	53,7575000000	7,6525000000	13:40:00	53,7475000000	7,6653333333	2314,68	5,90
PO0495	000701A	1995/07/18	16:07:00	53,7483333333	7,4403333333	16:18:00	53,7388333333	7,4423333333	1772,67	5,30
PO0495	000901A	1995/07/18	17:37:00	53,7330000000	7,4396666667	17:49:00	53,7240000000	7,4475000000	1870,26	16,25
PO0495	001001A	1995/07/18	18:21:00	53,7205000000	7,4508333333	18:38:00	53,7163333333	7,4696666667	2181,47	11,60
PO0495	001102A	1995/07/19	10:29:00	53,7110000000	7,4610000000	10:40:00	53,7056666667	7,4721666667	1562,19	1,55
PO0495	001201A	1995/07/19	10:55:00	53,7053333333	7,4728333333	11:05:00	53,6981666667	7,4763333333	1380,44	1,95
PO0495	001301A	1995/07/19	11:32:00	53,6961666667	7,4790000000	11:41:00	53,6916666667	7,4890000000	1367,72	1,85
PO0495	001401A	1995/07/19	12:25:00	53,7126666667	7,4485000000	12:37:00	53,7046666667	7,4415000000	1664,55	1,70
PO0495	001502A	1995/07/19	13:31:00	53,7045000000	7,4410000000	13:40:00	53,7138333333	7,4440000000	1758,85	1,00
PO0495	001601A	1995/07/19	14:34:00	53,7168333333	7,4776666667	14:42:00	53,7178333333	7,4958333333	1976,98	3,95
PO0495	001701A	1995/07/19	15:12:00	53,7216666667	7,4860000000	15:21:00	53,7233333333	7,5028333333	1849,38	3,80
PO0495	001801A	1995/07/19	15:50:00	53,7138333333	7,5156666667	15:58:00	53,7065000000	7,5260000000	1760,31	5,80
PO0495	001901A	1995/07/19	16:25:00	53,7001666667	7,5391666667	16:33:00	53,7020000000	7,5520000000	1432,18	5,85
PO0495	002001A	1995/07/19	17:09:00	53,7028333333	7,5800000000	17:17:00	53,7031666667	7,5933333333	1446,76	3,55
PO0495	002101A	1995/07/19	17:49:00	53,7025000000	7,6173333333	17:59:00	53,7046666667	7,6325000000	1692,41	3,75
PO0594	000101A	1994/07/11	07:12:00	53,7278333333	7,7171666667	07:22:00	53,7251666667	7,7315000000	1629,05	2,45
PO0594	000201A	1994/07/11	07:44:00	53,7248333333	7,7385000000	08:00:00	53,7308333333	7,7536666667	1983,11	2,10
PO0594	000301A	1994/07/11	09:04:00	53,7321666667	7,7610000000	09:23:00	53,7403333333	7,7775000000	2361,36	2,05
PO0594	000501A	1994/07/11	12:09:00	53,7381666667	7,6998333333	12:19:00	53,7283333333	7,7086666667	2057,01	2,60
PO0594	000601A	1994/07/11	12:54:00	53,7580000000	7,6511666667	13:03:00	53,7473333333	7,6640000000	2414,60	6,00
PO0594	001401A	1994/07/12	08:26:00	53,6920000000	7,4886666667	08:36:00	53,6973333333	7,4775000000	1562,71	2,25
PO0594	001501A	1994/07/12	09:18:00	53,7128333333	7,4483333333	09:29:00	53,7043333333	7,4405000000	1788,55	1,10
PO0594	001701A	1994/07/12	11:10:00	53,7498333333	7,4376666667	11:21:00	53,7380000000	7,4430000000	2266,28	3,45
PO0594	001901A	1994/07/12	12:54:00	53,7048333333	7,5378333333	13:06:00	53,7048333333	7,5526666667	1607,94	3,95
PO0594	002001A1	1994/07/12	13:44:00	53,7056666667	7,5770000000	13:54:00	53,7058333333	7,5938333333	1824,93	4,80
PO0594	002101A	1994/07/12	14:35:00	53,7025000000	7,6111666667	14:47:00	53,7040000000	7,6258333333	1614,06	4,30
PO0594	006501A	1994/07/19	10:45:00	53,7818333333	7,5925000000	10:58:00	53,7801666667	7,5658333333	2898,28	5,30
PO0594	006801A	1994/07/19	12:45:00	53,7725000000	7,4751666667	12:55:00	53,7731666667	7,4541666667	2273,52	4,00
PO0594	007001A	1994/07/19	14:07:00	53,7751666667	7,4796666667	14:15:00	53,7745000000	7,4913333333	1267,13	4,00
PO0594	007101A	1994/07/19	14:47:00	53,7783333333	7,5600000000	14:54:00	53,7793333333	7,5701666667	1114,28	3,95
PO0594	007201A	1994/07/19	15:43:00	53,7458333333	7,6751666667	15:53:00	53,7445000000	7,6908333333	1713,40	2,25

Expedition	Station	Datum	Startzeit	Start Latitude	Start Längengrad	Endzeit	Ende Latitude	Ende Längengrad	Distanz (m)	Mittlere Tiefe (m)
PO0693	000301S	1993/07/12	10:16:00	53,7396666667	7,7763333333	10:26:00	53,7323333333	7,7636666667	1930,06	2,30
PO0693	000401S	1993/07/12	10:55:00	53,7318333333	7,7611666667	11:06:00	53,7276666667	7,7488333333	1542,49	1,45
PO0693	000501S	1993/07/12	11:44:00	53,7251666667	7,7298333333	11:54:00	53,7268333333	7,7186666667	1248,21	2,20
PO0693	000601S	1993/07/12	12:52:00	53,7343333333	7,7041666667	13:02:00	53,7265000000	7,7095000000	1561,47	1,75
PO0693	000901S	1993/07/12	15:58:00	53,7496666667	7,6820000000	16:08:00	53,7460000000	7,6958333333	1643,76	13,50
PO0693	001001S	1993/07/12	16:27:00	53,7466666667	7,6665000000	16:42:00	53,7536666667	7,6541666667	1860,52	4,15
PO0693	001201S	1993/07/13	08:52:00	53,7043333333	7,6315000000	09:03:00	53,7023333333	7,6168333333	1632,54	3,65
PO0693	001301S	1993/07/13	09:46:00	53,7038333333	7,5920000000	09:56:00	53,7031666667	7,5795000000	1360,69	3,60
PO0693	001401S	1993/07/13	10:32:00	53,7016666667	7,5525000000	10:42:00	53,7003333333	7,5375000000	1644,90	4,85
PO0693	001701B	1993/07/13	13:35:00	53,7385000000	7,4405000000	13:44:00	53,7465000000	7,4361666667	1554,07	4,35
PO0693	001801B	1993/07/13	13:49:00	53,7466666667	7,4328333333	13:59:00	53,7388333333	7,4390000000	1596,91	8,25
PO0693	001901B	1993/07/13	14:24:00	53,7216666667	7,4866666667	14:34:00	53,7233333333	7,5048333333	1991,93	5,20
PO0693	002001B	1993/07/13	15:01:00	53,7248333333	7,5116666667	15:11:00	53,7290000000	7,5260000000	1733,57	8,30
PO0693	002201B	1993/07/13	16:54:00	53,7253333333	7,5613333333	17:04:00	53,7260000000	7,5751666667	1503,36	4,05
PO0693	002301B	1993/07/14	09:08:00	53,7071666667	7,5248333333	09:18:00	53,7145000000	7,5153333333	1704,26	6,25
PO0693	002401B	1993/07/14	10:56:00	53,6903333333	7,4923333333	11:06:00	53,6955000000	7,4826666667	1419,39	2,80
PO0693	002601B	1993/07/15	10:24:00	53,6971666667	7,4801666667	10:34:00	53,7048333333	7,4760000000	1490,00	2,50
PO0693	002701B	1993/07/15	10:59:00	53,7056666667	7,4766666667	11:07:00	53,7116666667	7,4708333333	1278,47	2,80
PO0693	002901B	1993/07/15	12:08:00	53,7036666667	7,4416666667	12:20:00	53,7116666667	7,4486666667	1664,57	2,00
PO0693	003001B	1993/07/15	12:43:00	53,7160000000	7,4593333333	12:55:00	53,7208333333	7,4493333333	1405,36	8,00
PO0693	003101B	1993/07/15	14:53:00	53,7755000000	7,4833333333	15:01:00	53,7751666667	7,4930000000	1046,71	4,65
PO0693	003201B	1993/07/15	15:35:00	53,7790000000	7,5646666667	15:43:00	53,7811666667	7,5745000000	1135,94	4,55

Tabelle 14: Übersicht der totalen Abundanz, der totalen Biomasse (g) sowie der Individuendichte / 1000 m² und der Biomasse (g) / 1000 m² der einzelnen Arten an den jeweiligen untersuchten Stationen der Jahre 1993 - 2007.

Expedition	Station	Rubincode	Totale Abundanz	Totalgewicht (g)	N / 1000 m ²	g / 1000 m ²
PO0100	0001	CILI MUS	1	30,71	0,26	8,04
PO0100	0001	GADU MOR	3	166,49	0,79	43,59
PO0100	0001	GAST ACU	1	2,67	0,26	0,70
PO0100	0001	HYPE LAN	3	4,59	0,79	1,20
PO0100	0001	MERL MER	1	37,75	0,26	9,88
PO0100	0001	OSME EPE	3	39,04	0,79	10,22
PO0100	0001	PLAT FLE	8	226,85	2,09	59,40
PO0100	0001	PLEU PLA	3	11,07	0,79	2,90
PO0100	0001	POMA MIC	1	0,35	0,26	0,09
PO0100	0001	POMA MIN	2	6,97	0,52	1,82
PO0100	0001	SOLE SOL	1	4,89	0,26	1,28
PO0100	0001	ZOAR VIV	2	41,78	0,52	10,94
PO0100	0002	AGON CAT	1	21,04	0,24	5,00
PO0100	0002	CLUP HAR	3	19,01	0,71	4,52
PO0100	0002	GADU MOR	1	116,55	0,24	27,69
PO0100	0002	GAST ACU	1	2,04	0,24	0,48
PO0100	0002	OSME EPE	31	375,74	7,37	89,28
PO0100	0002	PLAT FLE	48	768,59	11,41	182,62
PO0100	0002	PLEU PLA	1	3,21	0,24	0,76
PO0100	0002	POMA MIC	1	0,35	0,24	0,08
PO0100	0002	POMA MIN	2	4,80	0,48	1,14
PO0100	0002	ZOAR VIV	19	307,91	4,51	73,16
PO0100	0003	AGON CAT	2	37,31	0,30	5,60
PO0100	0003	CILI MUS	6	64,25	0,90	9,65
PO0100	0003	CLUP HAR	1	4,94	0,15	0,74
PO0100	0003	GADU MOR	1	75,68	0,15	11,36
PO0100	0003	GAST ACU	1	2,12	0,15	0,32
PO0100	0003	OSME EPE	1	10,70	0,15	1,61
PO0100	0003	PHOL GUN	4	29,10	0,60	4,37
PO0100	0003	PLAT FLE	341	3867,56	51,19	580,61
PO0100	0003	PLEU PLA	24	123,55	3,60	18,55
PO0100	0003	POMA MIN	63	115,76	9,46	17,38
PO0100	0003	ZOAR VIV	75	882,48	11,26	132,48
PO0100	0004	CLUP HAR	66	303,79	10,74	49,43
PO0100	0004	GAST ACU	8	18,42	1,30	3,00
PO0100	0004	OSME EPE	6	26,15	0,98	4,25
PO0100	0004	PLAT FLE	13	167,44	2,12	27,24
PO0100	0004	PLEU PLA	53	278,61	8,62	45,33
PO0100	0004	POMA MIC	3	2,59	0,49	0,42
PO0100	0004	POMA MIN	420	667,34	68,34	108,58
PO0100	0004	SYNG ROS	1	0,43	0,16	0,07
PO0100	0004	ZOAR VIV	1	16,09	0,16	2,62
PO0100	0005	CLUP HAR	19	112,66	2,99	17,72
PO0100	0005	GAST ACU	7	14,18	1,10	2,23
PO0100	0005	OSME EPE	7	178,03	1,10	28,01
PO0100	0005	PLAT FLE	6	110,01	0,94	17,31
PO0100	0005	PLEU PLA	35	140,35	5,51	22,08
PO0100	0005	POMA MIN	56	104,12	8,81	16,38
PO0100	0005	SPRA SPR	3	11,65	0,47	1,83
PO0100	0005	SYNG ROS	2	1,14	0,31	0,18
PO0100	0006	AGON CAT	2	20,73	0,25	2,63
PO0100	0006	CILI MUS	1	17,76	0,13	2,25
PO0100	0006	CLUP HAR	3	13,16	0,38	1,67

Expedition	Station	Rubincode	Totale Abundanz	Totalgewicht (g)	N / 1000 m ²	g / 1000 m ²
PO0100	0006	GADU MOR	5	305,03	0,63	38,70
PO0100	0006	LIMA LIM	2	72,41	0,25	9,19
PO0100	0006	MERL MER	2	51,30	0,25	6,51
PO0100	0006	OSME EPE	6	88,27	0,76	11,20
PO0100	0006	PHOL GUN	1	7,40	0,13	0,94
PO0100	0006	PLAT FLE	11	185,02	1,40	23,47
PO0100	0006	PLEU PLA	39	189,99	4,95	24,10
PO0100	0006	POMA MIN	29	48,63	3,68	6,17
PO0100	0006	PSET MAX	1	19,68	0,13	2,50
PO0100	0006	ZOAR VIV	1	8,37	0,13	1,06
PO0100	0007	AGON CAT	1	6,22	2,70	16,79
PO0100	0007	CLUP HAR	1	3,87	2,70	10,45
PO0100	0007	GAST ACU	2	3,86	5,40	10,42
PO0100	0007	LIMA LIM	1	68,66	2,70	185,36
PO0100	0007	MERL MER	8	173,21	21,60	467,62
PO0100	0007	OSME EPE	1	4,56	2,70	12,31
PO0100	0007	PLAT FLE	9	117,93	24,30	318,38
PO0100	0007	PLEU PLA	5	37,13	13,50	100,24
PO0100	0007	POMA MIN	9	8,27	24,30	22,33
PO0100	0007	SOLE SOL	1	6,43	2,70	17,36
PO0100	0007	SYNG ROS	5	0,93	13,50	2,51
PO0100	0008	AGON CAT	8	30,58	1,61	6,15
PO0100	0008	CALL LYR	1	2,94	0,20	0,59
PO0100	0008	CILI MUS	1	63,11	0,20	12,69
PO0100	0008	CLUP HAR	20	726,40	4,02	146,07
PO0100	0008	GAST ACU	1	2,25	0,20	0,45
PO0100	0008	LIMA LIM	9	54,72	1,81	11,00
PO0100	0008	MERL MER	11	313,93	2,21	63,13
PO0100	0008	OSME EPE	1	3,98	0,20	0,80
PO0100	0008	PHOL GUN	1	9,86	0,20	1,98
PO0100	0008	PLAT FLE	2	573,37	0,40	115,30
PO0100	0008	PLEU PLA	22	128,87	4,42	25,91
PO0100	0008	POMA MIN	78	95,84	15,69	19,27
PO0100	0008	SOLE SOL	2	30,04	0,40	6,04
PO0100	0008	SPRA SPR	6	11,26	1,21	2,26
PO0100	0008	SYNG ROS	5	1,51	1,01	0,30
PO0100	0009	CLUP HAR	19	753,90	3,90	154,65
PO0100	0009	GADU MOR	1	46,00	0,21	9,44
PO0100	0009	GAST ACU	1	1,45	0,21	0,30
PO0100	0009	MERL MER	7	247,47	1,44	50,76
PO0100	0009	PLAT FLE	1	61,89	0,21	12,70
PO0100	0009	PLEU PLA	2	5,97	0,41	1,22
PO0100	0009	POMA MIN	1	1,81	0,21	0,37
PO0100	0009	SCOP RHO	1	35,43	0,21	7,27
PO0100	0009	SOLE SOL	2	132,18	0,41	27,11
PO0100	0009	SPRA SPR	1	1,31	0,21	0,27
PO0100	0009	SYNG ROS	1	0,51	0,21	0,10
PO0100	0010	AGON CAT	1	33,27	0,12	3,90
PO0100	0010	BUGL LUT	1	3,80	0,12	0,45
PO0100	0010	CALL LYR	1	2,24	0,12	0,26
PO0100	0010	CILI MUS	3	122,31	0,35	14,35
PO0100	0010	CLUP HAR	2	89,39	0,23	10,49
PO0100	0010	GADU MOR	1	86,81	0,12	10,19
PO0100	0010	GAST ACU	193	417,58	22,65	49,00
PO0100	0010	LIMA LIM	1	26,98	0,12	3,17
PO0100	0010	MERL MER	3	108,71	0,35	12,76
PO0100	0010	OSME EPE	4	131,64	0,47	15,45

Expedition	Station	Rubincode	Totale Abundanz	Totalgewicht (g)	N / 1000 m ²	g / 1000 m ²
PO0100	0010	PHOL GUN	1	11,94	0,12	1,40
PO0100	0010	PLAT FLE	3	102,61	0,35	12,04
PO0100	0010	PLEU PLA	6	15,72	0,70	1,84
PO0100	0010	POMA MIC	2	1,96	0,23	0,23
PO0100	0010	POMA MIN	8	17,46	0,94	2,05
PO0100	0010	SYNG ROS	1	0,10	0,12	0,01
PO0100	0011	CALL LYR	1	3,84	0,19	0,72
PO0100	0011	GADU MOR	1	44,65	0,19	8,41
PO0100	0011	GAST ACU	8	13,75	1,51	2,59
PO0100	0011	MERL MER	7	253,11	1,32	47,69
PO0100	0011	OSME EPE	2	13,93	0,38	2,62
PO0100	0011	PLAT FLE	3	260,20	0,57	49,03
PO0100	0011	POMA MIN	3	2,48	0,57	0,47
PO0100	0011	SOLE SOL	1	220,00	0,19	41,45
PO0100	0011	ZOAR VIV	1	14,95	0,19	2,82
PO0100	0012	AGON CAT	1	24,97	0,19	4,75
PO0100	0012	CILI MUS	3	47,89	0,57	9,11
PO0100	0012	CLUP HAR	1	3,21	0,19	0,61
PO0100	0012	GADU MOR	7	577,56	1,33	109,92
PO0100	0012	LIPA LIP	1	39,78	0,19	7,57
PO0100	0012	MERL MER	3	133,87	0,57	25,48
PO0100	0012	MYOX SCO	1	28,36	0,19	5,40
PO0100	0012	PLAT FLE	3	280,46	0,57	53,38
PO0100	0012	POMA MIN	4	7,01	0,76	1,33
PO0100	0013	CILI MUS	4	65,48	1,07	17,49
PO0100	0013	GADU MOR	1	167,39	0,27	44,72
PO0100	0013	MERL MER	1	23,66	0,27	6,32
PO0100	0013	MYOX SCO	3	416,20	0,80	111,19
PO0100	0013	OSME EPE	2	53,20	0,53	14,21
PO0100	0013	PHOL GUN	1	3,02	0,27	0,81
PO0100	0013	PLAT FLE	11	101,71	2,94	27,17
PO0100	0013	ZOAR VIV	2	16,94	0,53	4,53
PO0100	0014	AGON CAT	2	51,48	0,42	10,92
PO0100	0014	CLUP HAR	2	10,86	0,42	2,30
PO0100	0014	GAST ACU	3	7,14	0,64	1,51
PO0100	0014	LIMA LIM	1	21,64	0,21	4,59
PO0100	0014	OSME EPE	1	4,92	0,21	1,04
PO0100	0014	PHOL GUN	2	14,40	0,42	3,05
PO0100	0014	PLAT FLE	12	223,40	2,55	47,39
PO0100	0014	PLEU PLA	11	122,20	2,33	25,92
PO0100	0014	POMA MIN	52	93,11	11,03	19,75
PO0100	0014	ZOAR VIV	1	9,93	0,21	2,11
PO0100	0015	AGON CAT	1	2,91	0,21	0,62
PO0100	0015	CILI MUS	5	40,01	1,07	8,54
PO0100	0015	CLUP HAR	13	53,84	2,78	11,49
PO0100	0015	GAST ACU	3	6,51	0,64	1,39
PO0100	0015	LIMA LIM	1	25,63	0,21	5,47
PO0100	0015	PHOL GUN	9	45,10	1,92	9,63
PO0100	0015	PLAT FLE	5	81,46	1,07	17,39
PO0100	0015	PLEU PLA	3	6,91	0,64	1,48
PO0100	0015	POMA MIC	13	9,12	2,78	1,95
PO0100	0015	POMA MIN	207	331,79	44,19	70,83
PO0100	0015	SPRA SPR	1	3,97	0,21	0,85
PO0100	0015	ZOAR VIV	4	41,35	0,85	8,83
PO0100	0016	AMMO LAN	1	8,52	0,26	2,24
PO0100	0016	CLUP HAR	15	64,95	3,95	17,08
PO0100	0016	OSME EPE	2	3,86	0,53	1,02

Expedition	Station	Rubincode	Totale Abundanz	Totalgewicht (g)	N / 1000 m ²	g / 1000 m ²
PO0100	0016	PLAT FLE	2	33,57	0,53	8,83
PO0100	0016	PLEU PLA	6	16,81	1,58	4,42
PO0100	0016	POMA MIC	19	14,13	5,00	3,72
PO0100	0016	POMA MIN	101	144,56	26,57	38,02
PO0100	0016	SYNG ROS	1	0,21	0,26	0,06
PO0100	0017	CILI MUS	1	1,61	0,30	0,48
PO0100	0017	CLUP HAR	31	137,91	9,15	40,72
PO0100	0017	GAST ACU	23	65,15	6,79	19,24
PO0100	0017	OSME EPE	1	5,75	0,30	1,70
PO0100	0017	PLAT FLE	2	25,91	0,59	7,65
PO0100	0017	PLEU PLA	8	30,86	2,36	9,11
PO0100	0017	POMA MIC	7	5,54	2,07	1,64
PO0100	0017	POMA MIN	326	522,82	96,26	154,38
PO0100	0017	SPRA SPR	1	1,66	0,30	0,49
PO0100	0017	ZOAR VIV	2	24,10	0,59	7,12
PO0100	0018	AGON CAT	1	27,40	0,19	5,08
PO0100	0018	CLUP HAR	15	79,32	2,78	14,69
PO0100	0018	GAST ACU	10	23,92	1,85	4,43
PO0100	0018	OSME EPE	2	27,48	0,37	5,09
PO0100	0018	PHOL GUN	3	9,38	0,56	1,74
PO0100	0018	PLAT FLE	48	638,28	8,89	118,24
PO0100	0018	PLEU PLA	1	1,70	0,19	0,31
PO0100	0018	POMA MIC	22	14,19	4,08	2,63
PO0100	0018	POMA MIN	158	242,80	29,27	44,98
PO0100	0018	ZOAR VIV	1	6,36	0,19	1,18
PO0100	0019	CLUP HAR	9	39,54	3,55	15,60
PO0100	0019	GAST ACU	1	3,45	0,39	1,36
PO0100	0019	MERL MER	1	58,17	0,39	22,95
PO0100	0019	OSME EPE	5	29,04	1,97	11,46
PO0100	0019	PLAT FLE	6	288,54	2,37	113,84
PO0100	0019	PLEU PLA	6	29,85	2,37	11,78
PO0100	0019	POMA MIN	38	69,77	14,99	27,53
PO0100	0019	SPRA SPR	1	1,56	0,39	0,62
PO0100	0024	GADU MOR	3	253,39	0,52	43,89
PO0100	0024	MYOX SCO	4	239,81	0,69	41,54
PO0100	0024	OSME EPE	1	8,38	0,17	1,45
PO0100	0024	PLAT FLE	1	17,93	0,17	3,11
PO0100	0024	PLEU PLA	1	3,89	0,17	0,67
PO0100	0024	POMA MIN	4	8,50	0,69	1,47
PO0100	0024	SPRA SPR	1	2,57	0,17	0,45
PO0100	0025	CLUP HAR	1	6,89	0,14	0,94
PO0100	0025	GADU MOR	4	272,35	0,55	37,21
PO0100	0025	GAST ACU	1	2,07	0,14	0,28
PO0100	0025	LIPA LIP	1	54,94	0,14	7,51
PO0100	0025	PLAT FLE	5	163,24	0,68	22,30
PO0100	0025	POMA MIN	14	27,89	1,91	3,81
PO0100	0025	ZOAR VIV	1	11,85	0,14	1,62
PO0100	0026	AGON CAT	2	22,21	0,36	3,97
PO0100	0026	CILI MUS	6	93,16	1,07	16,65
PO0100	0026	GADU MOR	1	34,50	0,18	6,17
PO0100	0026	LIPA LIP	3	91,42	0,54	16,34
PO0100	0026	MERL MER	3	154,30	0,54	27,57
PO0100	0026	MYOX SCO	2	39,64	0,36	7,08
PO0100	0026	OSME EPE	3	21,13	0,54	3,78
PO0100	0026	POMA MIN	11	24,36	1,97	4,35
PO0100	0026	SOLE SOL	1	21,82	0,18	3,90
PO0100	0026	SPRA SPR	2	6,99	0,36	1,25

Expedition	Station	Rubincode	Totale Abundanz	Totalgewicht (g)	N / 1000 m ²	g / 1000 m ²
PO0100	0026	ZOAR VIV	12	123,66	2,14	22,10
PO0101	0001	AGON CAT	1	7,84	0,35	2,76
PO0101	0001	CLUP HAR	8	51,43	2,81	18,09
PO0101	0001	GADU MOR	1	142,16	0,35	50,01
PO0101	0001	GAST ACU	7	22,52	2,46	7,92
PO0101	0001	OSME EPE	1	9,06	0,35	3,19
PO0101	0001	PLAT FLE	2	26,61	0,70	9,36
PO0101	0001	PLEU PLA	2	15,23	0,70	5,36
PO0101	0001	POMA MIC	2	1,07	0,70	0,38
PO0101	0001	POMA MIN	11	24,33	3,87	8,56
PO0101	0001	SOLE SOL	1	31,60	0,35	11,12
PO0101	0002	AGON CAT	2	50,63	0,51	12,98
PO0101	0002	CLUP HAR	10	64,45	2,56	16,52
PO0101	0002	GAST ACU	1	2,70	0,26	0,69
PO0101	0002	OSME EPE	17	118,62	4,36	30,40
PO0101	0002	PLAT FLE	9	197,68	2,31	50,66
PO0101	0002	POMA MIN	4	6,04	1,03	1,55
PO0101	0003	AGON CAT	3	88,06	0,47	13,91
PO0101	0003	CILI MUS	1	8,50	0,16	1,34
PO0101	0003	CLUP HAR	1	5,29	0,16	0,84
PO0101	0003	MYOX SCO	2	45,70	0,32	7,22
PO0101	0003	OSME EPE	5	30,81	0,79	4,87
PO0101	0003	PLAT FLE	29	662,80	4,58	104,72
PO0101	0003	PLEU PLA	1	2,97	0,16	0,47
PO0101	0003	POMA MIN	7	18,14	1,11	2,87
PO0101	0003	SPRA SPR	4	28,71	0,63	4,54
PO0101	0003	ZOAR VIV	2		0,32	0,00
PO0101	0004	AGON CAT	1	3,10	0,17	0,53
PO0101	0004	CLUP HAR	12	67,35	2,07	11,60
PO0101	0004	GAST ACU	7	16,11	1,21	2,77
PO0101	0004	OSME EPE	8	43,89	1,38	7,56
PO0101	0004	PLAT FLE	18	204,86	3,10	35,27
PO0101	0004	PLEU PLA	11	64,04	1,89	11,03
PO0101	0004	POMA MIN	12	40,42	2,07	6,96
PO0101	0004	SOLE SOL	1	12,58	0,17	2,17
PO0101	0004	SPRA SPR	1	3,08	0,17	0,53
PO0101	0005	AGON CAT	1	17,62	0,17	2,96
PO0101	0005	CLUP HAR	1	8,10	0,17	1,36
PO0101	0005	GAST ACU	6	18,92	1,01	3,18
PO0101	0005	OSME EPE	9	77,56	1,51	13,02
PO0101	0005	PLAT FLE	9	181,98	1,51	30,55
PO0101	0005	PLEU PLA	4	18,00	0,67	3,02
PO0101	0005	POMA MIC	1	1,20	0,17	0,20
PO0101	0005	POMA MIN	13	32,17	2,18	5,40
PO0101	0005	SPRA SPR	1	1,84	0,17	0,31
PO0101	0006	AGON CAT	4	52,34	0,52	6,78
PO0101	0006	CLUP HAR	2	11,02	0,26	1,43
PO0101	0006	GAST ACU	1	2,96	0,13	0,38
PO0101	0006	OSME EPE	8	140,26	1,04	18,18
PO0101	0006	PLAT FLE	3	55,43	0,39	7,18
PO0101	0006	POMA MIN	13	26,00	1,68	3,37
PO0101	0007	CLUP HAR	8	63,64	1,45	11,54
PO0101	0007	MYOX SCO	4	80,36	0,73	14,57
PO0101	0007	OSME EPE	15	245,73	2,72	44,55
PO0101	0007	PLAT FLE	2	119,15	0,36	21,60
PO0101	0007	POMA MIN	11	35,51	1,99	6,44
PO0101	0009	CILI MUS	1	14,01	0,22	3,10

Expedition	Station	Rubincode	Totale Abundanz	Totalgewicht (g)	N / 1000 m ²	g / 1000 m ²
PO0101	0009	MYOX SCO	6	137,93	1,33	30,55
PO0101	0009	OSME EPE	2	12,14	0,44	2,69
PO0101	0009	PHOL GUN	1	6,49	0,22	1,44
PO0101	0009	PLAT FLE	5	179,80	1,11	39,82
PO0101	0009	POMA MIC	2	1,20	0,44	0,27
PO0101	0009	POMA MIN	2	4,92	0,44	1,09
PO0101	0009	ZOAR VIV	5		1,11	0,00
PO0101	0010	GAST ACU	1	2,52	0,23	0,59
PO0101	0011	AGON CAT	4	38,74	0,49	4,76
PO0101	0011	AMMO LAN	1	5,15	0,12	0,63
PO0101	0011	GAST ACU	8	21,80	0,98	2,68
PO0101	0011	MERL MER	1	19,53	0,12	2,40
PO0101	0011	OSME EPE	4	39,78	0,49	4,89
PO0101	0011	PLAT FLE	3	37,58	0,37	4,62
PO0101	0011	PLEU PLA	3	19,93	0,37	2,45
PO0101	0011	POMA MIC	5	5,07	0,61	0,62
PO0101	0011	POMA MIN	4	8,60	0,49	1,06
PO0101	0013	GAST ACU	1	1,25	0,23	0,29
PO0101	0013	OSME EPE	3	19,03	0,70	4,45
PO0101	0013	PLAT FLE	9	172,38	2,10	40,27
PO0101	0013	POMA MIC	1	0,68	0,23	0,16
PO0101	0013	POMA MIN	4	11,36	0,93	2,65
PO0101	0014	AGON CAT	1	18,27	0,25	4,60
PO0101	0014	CILI MUS	1	10,54	0,25	2,65
PO0101	0014	GAST ACU	1	2,87	0,25	0,72
PO0101	0014	MYOX SCO	1	6,69	0,25	1,68
PO0101	0014	PLAT FLE	17	225,54	4,28	56,74
PO0101	0014	PLEU PLA	2	10,12	0,50	2,55
PO0101	0014	ZOAR VIV	1		0,25	0,00
PO0101	0015	GAST ACU	7	22,78	2,70	8,78
PO0101	0015	MYOX SCO	1	10,17	0,39	3,92
PO0101	0015	PLAT FLE	28	226,63	10,80	87,40
PO0101	0015	POMA MIN	4	6,69	1,54	2,58
PO0101	0016	CLUP HAR	1	6,85	0,48	3,27
PO0101	0016	GAST ACU	1	1,49	0,48	0,71
PO0101	0016	MYOX SCO	1	7,60	0,48	3,63
PO0101	0016	OSME EPE	1	8,94	0,48	4,27
PO0101	0016	PLAT FLE	7	133,39	3,34	63,72
PO0101	0016	PLEU PLA	2	10,32	0,96	4,93
PO0101	0016	POMA MIC	2	2,23	0,96	1,07
PO0101	0016	POMA MIN	13	31,71	6,21	15,15
PO0101	0016	SPRA SPR	1	2,75	0,48	1,31
PO0101	0016	ZOAR VIV	1		0,48	0,00
PO0101	0017	CLUP HAR	3	25,46	0,94	7,96
PO0101	0017	GAST ACU	10	23,04	3,13	7,21
PO0101	0017	OSME EPE	7	32,28	2,19	10,10
PO0101	0017	PLEU PLA	4	81,84	1,25	25,60
PO0101	0017	POMA MIC	3	2,10	0,94	0,66
PO0101	0017	POMA MIN	40	104,82	12,51	32,79
PO0101	0018	GAST ACU	2	2,60	0,35	0,46
PO0101	0018	OSME EPE	2	17,19	0,35	3,02
PO0101	0018	PLAT FLE	4	74,32	0,70	13,05
PO0101	0018	POMA MIC	5	4,51	0,88	0,79
PO0101	0018	POMA MIN	26	35,84	4,57	6,29
PO0101	0018	SPRA SPR	1	2,44	0,18	0,43
PO0101	0019	CLUP HAR	1	4,04	0,18	0,73
PO0101	0019	MYOX SCO	3	81,50	0,54	14,69

Expedition	Station	Rubincode	Totale Abundanz	Totalgewicht (g)	N / 1000 m ²	g / 1000 m ²
PO0101	0019	OSME EPE	1	7,64	0,18	1,38
PO0101	0019	PHOL GUN	1	2,40	0,18	0,43
PO0101	0019	PLAT FLE	7	136,45	1,26	24,59
PO0101	0019	PLEU PLA	1	4,28	0,18	0,77
PO0101	0019	POMA MIN	1	2,70	0,18	0,49
PO0101	0019	ZOAR VIV	1	11,25	0,18	2,03
PO0101	0020	CLUP HAR	1	6,64	0,21	1,42
PO0101	0020	GAST ACU	1	2,17	0,21	0,46
PO0101	0020	OSME EPE	2	20,95	0,43	4,47
PO0101	0020	PHOL GUN	1	11,10	0,21	2,37
PO0101	0020	PLAT FLE	5	91,16	1,07	19,44
PO0101	0020	POMA MIC	1	0,77	0,21	0,16
PO0101	0020	POMA MIN	1	3,49	0,21	0,74
PO0101	0022	GAST ACU	1	2,58	0,47	1,22
PO0101	0022	OSME EPE	2	19,00	0,94	8,96
PO0101	0022	PLAT FLE	1	58,41	0,47	27,55
PO0101	0022	POMA MIN	8	17,35	3,77	8,18
PO0101	0022	SPRA SPR	1	2,68	0,47	1,26
PO0101	0022	ZOAR VIV	1		0,47	0,00
PO0101	0023	CLUP HAR	1	5,50	0,20	1,08
PO0101	0023	MYOX SCO	3	76,48	0,59	14,98
PO0101	0023	OSME EPE	2	16,38	0,39	3,21
PO0101	0023	POMA MIN	7	23,95	1,37	4,69
PO0101	0023	SOLE SOL	1	11,51	0,20	2,25
PO0101	0024	AGON CAT	5	55,91	1,03	11,53
PO0101	0024	CILI MUS	1	5,41	0,21	1,12
PO0101	0024	CLUP HAR	5	38,95	1,03	8,04
PO0101	0024	MYOX SCO	4	87,94	0,83	18,14
PO0101	0024	OSME EPE	2	7,19	0,41	1,48
PO0101	0024	PLAT FLE	4	127,23	0,83	26,25
PO0101	0024	POMA MIC	1	1,12	0,21	0,23
PO0101	0024	POMA MIN	5	8,68	1,03	1,79
PO0101	0024	ZOAR VIV	1		0,21	0,00
PO0102	0001	AGON CAT	2	44,65	0,71	15,79
PO0102	0001	CLUPEA Z	7	2,24	2,48	0,79
PO0102	0001	CLUP HAR	8	160,72	2,83	56,85
PO0102	0001	GADU MOR	4	223,85	1,41	79,18
PO0102	0001	GAST ACU	2	4,73	0,71	1,67
PO0102	0001	MERL MER	17	550,88	6,01	194,86
PO0102	0001	MYOX SCO	1	8,41	0,35	2,97
PO0102	0001	PLAT FLE	1	16,45	0,35	5,82
PO0102	0001	PLEU PLA	3	15,28	1,06	5,40
PO0102	0001	POMA MIN	2	5,57	0,71	1,97
PO0102	0001	SOLE SOL	1	7,56	0,35	2,67
PO0102	0001	SPRA SPR	1	8,32	0,35	2,94
PO0102	0002	CLUPEA Z	2	0,78	0,63	0,24
PO0102	0002	CLUP HAR	6	68,54	1,88	21,45
PO0102	0002	GADU MOR	5	375,60	1,56	117,53
PO0102	0002	GAST ACU	3	4,44	0,94	1,39
PO0102	0002	MERL MER	2	35,09	0,63	10,98
PO0102	0002	MYOX SCO	3	15,06	0,94	4,71
PO0102	0002	OSME EPE	4	92,76	1,25	29,03
PO0102	0002	PLAT FLE	15	194,40	4,69	60,83
PO0102	0002	PLEU PLA	1	5,07	0,31	1,59
PO0102	0002	POMA MIN	1	3,53	0,31	1,10
PO0102	0002	SYNG ROS	1	0,35	0,31	0,11
PO0102	0002	ZOAR VIV	3	52,86	0,94	16,54

Expedition	Station	Rubincode	Totale Abundanz	Totalgewicht (g)	N / 1000 m ²	g / 1000 m ²
PO0102	0003	AGON CAT	3	32,07	0,45	4,80
PO0102	0003	CILI MUS	1	10,25	0,15	1,54
PO0102	0003	CLUPEA Z	3	0,84	0,45	0,13
PO0102	0003	CLUP HAR	4	76,14	0,60	11,40
PO0102	0003	GADU MOR	1	47,41	0,15	7,10
PO0102	0003	GAST ACU	2	5,07	0,30	0,76
PO0102	0003	MERL MER	17	465,44	2,55	69,71
PO0102	0003	MYOX SCO	6	53,25	0,90	7,98
PO0102	0003	OSME EPE	7	167,44	1,05	25,08
PO0102	0003	PLAT FLE	27	311,37	4,04	46,64
PO0102	0003	PLEU PLA	8	27,96	1,20	4,19
PO0102	0003	POMA MIC	1	0,56	0,15	0,08
PO0102	0003	POMA MIN	4	6,20	0,60	0,93
PO0102	0003	ZOAR VIV	9	100,57	1,35	15,06
PO0102	0004	AGON CAT	3	83,05	0,49	13,59
PO0102	0004	CLUPEA Z	4	1,42	0,65	0,23
PO0102	0004	CLUP HAR	21	161,67	3,44	26,46
PO0102	0004	GADU MOR	4	271,50	0,65	44,43
PO0102	0004	GAST ACU	1	1,61	0,16	0,26
PO0102	0004	MERL MER	18	507,86	2,95	83,11
PO0102	0004	MYOX SCO	3	27,00	0,49	4,42
PO0102	0004	OSME EPE	43	987,08	7,04	161,53
PO0102	0004	PLAT FLE	50	1209,98	8,18	198,00
PO0102	0004	PLEU PLA	3	23,24	0,49	3,80
PO0102	0004	SPRA SPR	5	19,65	0,82	3,22
PO0102	0004	SYNG ROS	1	0,32	0,16	0,05
PO0102	0004	ZOAR VIV	1	11,56	0,16	1,89
PO0102	0005	AGON CAT	1	25,90	0,13	3,35
PO0102	0005	GADU MOR	1	79,06	0,13	10,23
PO0102	0005	MERL MER	1	20,52	0,13	2,66
PO0102	0005	MYOX SCO	3	40,00	0,39	5,18
PO0102	0005	PLAT FLE	3	46,45	0,39	6,01
PO0102	0006	CLUP HAR	1	8,00	0,17	1,37
PO0102	0006	GADU MOR	1	145,23	0,17	24,83
PO0102	0006	GAST ACU	1	2,06	0,17	0,35
PO0102	0006	MERL MER	1	23,61	0,17	4,04
PO0102	0006	PLAT FLE	10	167,94	1,71	28,71
PO0102	0006	PLEU PLA	2	5,14	0,34	0,88
PO0102	0006	POMA MIN	1	0,49	0,17	0,08
PO0102	0006	SPRA SPR	1	3,49	0,17	0,60
PO0102	0006	SYNG ROS	1	0,47	0,17	0,08
PO0102	0007	CLUP HAR	5	29,07	3,00	17,44
PO0102	0007	MERL MER	8	251,49	4,80	150,88
PO0102	0007	MYOX SCO	2	23,35	1,20	14,01
PO0102	0007	PLAT FLE	2	94,04	1,20	56,42
PO0102	0007	SPRA SPR	1	12,83	0,60	7,70
PO0102	0007	ZOAR VIV	3	28,86	1,80	17,31
PO0102	0008	AGON CAT	1	17,42	0,14	2,45
PO0102	0008	CLUP HAR	4	28,73	0,56	4,04
PO0102	0008	GADU MOR	3	206,93	0,42	29,12
PO0102	0008	MERL MER	14	403,35	1,97	56,76
PO0102	0008	OSME EPE	1	35,40	0,14	4,98
PO0102	0008	PLAT FLE	1	16,40	0,14	2,31
PO0102	0009	AGON CAT	1	23,28	0,31	7,21
PO0102	0009	GADU MOR	3	179,41	0,93	55,54
PO0102	0009	MERL MER	10	321,64	3,10	99,57
PO0102	0009	MYOX SCO	4	64,94	1,24	20,10

Expedition	Station	Rubincode	Totale Abundanz	Totalgewicht (g)	N / 1000 m ²	g / 1000 m ²
PO0102	0009	PLEU PLA	2	4,38	0,62	1,36
PO0102	0010	AGON CAT	2	34,89	0,42	7,25
PO0102	0010	CLUP HAR	2	69,71	0,42	14,49
PO0102	0010	GADU MOR	7	424,52	1,46	88,24
PO0102	0010	MERL MER	5	133,98	1,04	27,85
PO0102	0010	MYOX SCO	7	100,06	1,46	20,80
PO0102	0010	PLAT FLE	3	219,82	0,62	45,69
PO0102	0011	AGON CAT	1	18,54	0,21	3,96
PO0102	0011	CLUP HAR	2	5,75	0,43	1,23
PO0102	0011	GADU MOR	1	49,32	0,21	10,54
PO0102	0011	MYOX SCO	3	38,50	0,64	8,23
PO0102	0011	OSME EPE	4	103,63	0,85	22,15
PO0102	0011	PLAT FLE	68	961,36	14,53	205,45
PO0102	0011	PLEU PLA	5	21,40	1,07	4,57
PO0102	0011	SPRA SPR	1	9,83	0,21	2,10
PO0102	0012	AGON CAT	9	206,98	2,03	46,59
PO0102	0012	CILI MUS	5	61,67	1,13	13,88
PO0102	0012	CLUP HAR	4	13,83	0,90	3,11
PO0102	0012	GADU MOR	4	237,24	0,90	53,40
PO0102	0012	GAST ACU	2	5,03	0,45	1,13
PO0102	0012	MYOX SCO	11	111,32	2,48	25,06
PO0102	0012	OSME EPE	2	49,79	0,45	11,21
PO0102	0012	PHOL GUN	9	41,15	2,03	9,26
PO0102	0012	PLAT FLE	6	72,74	1,35	16,37
PO0102	0012	PLEU PLA	12	35,99	2,70	8,10
PO0102	0012	POMA MIN	22	36,05	4,95	8,11
PO0102	0012	ZOAR VIV	2	28,62	0,45	6,44
PO0102	0013	AMMO LAN	1	8,11	0,33	2,68
PO0102	0013	CLUPEA Z	5	1,29	1,65	0,43
PO0102	0013	CLUP HAR	8	51,20	2,64	16,89
PO0102	0013	GAST ACU	1	1,39	0,33	0,46
PO0102	0013	MYOX SCO	2	26,97	0,66	8,90
PO0102	0013	PLEU PLA	53	155,87	17,48	51,41
PO0102	0013	POMA MIN	16	26,26	5,28	8,66
PO0102	0013	SPRA SPR	4	12,91	1,32	4,26
PO0102	0013	SYNG ROS	1	0,38	0,33	0,13
PO0102	0014	AGON CAT	2	41,66	0,47	9,81
PO0102	0014	CLUPEA Z	2	0,93	0,47	0,22
PO0102	0014	CLUP HAR	14	84,78	3,30	19,97
PO0102	0014	GAST ACU	9	25,07	2,12	5,90
PO0102	0014	MYOX SCO	6	74,95	1,41	17,65
PO0102	0014	OSME EPE	4	68,14	0,94	16,05
PO0102	0014	PLAT FLE	43	367,27	10,13	86,51
PO0102	0014	PLEU PLA	64	184,17	15,07	43,38
PO0102	0014	POMA MIN	29	62,36	6,83	14,69
PO0102	0014	ZOAR VIV	1	13,76	0,24	3,24
PO0102	0015	AGON CAT	2	44,26	0,40	8,90
PO0102	0015	CLUP HAR	8	176,77	1,61	35,56
PO0102	0015	GADU MOR	1	85,90	0,20	17,28
PO0102	0015	GAST ACU	3	8,82	0,60	1,77
PO0102	0015	MERL MER	1	17,90	0,20	3,60
PO0102	0015	MYOX SCO	5	40,04	1,01	8,06
PO0102	0015	OSME EPE	4	37,23	0,80	7,49
PO0102	0015	PLAT FLE	186	1417,09	37,42	285,09
PO0102	0015	PLEU PLA	7	22,58	1,41	4,54
PO0102	0015	POMA MIN	6	13,18	1,21	2,65
PO0102	0015	SYNG ROS	7	22,58	1,41	4,54

Expedition	Station	Rubincode	Totale Abundanz	Totalgewicht (g)	N / 1000 m ²	g / 1000 m ²
PO0102	0015	ZOAR VIV	2	132,29	0,40	26,61
PO0102	0016	CLUPEA Z	1	0,18	0,17	0,03
PO0102	0016	CLUP HAR	1	4,38	0,17	0,76
PO0102	0016	MERL MER	22	634,81	3,82	110,32
PO0102	0016	OSME EPE	4	88,49	0,70	15,38
PO0102	0016	PLAT FLE	5	171,12	0,87	29,74
PO0102	0016	PLEU PLA	3	11,57	0,52	2,01
PO0102	0016	POMA MIN	1	1,63	0,17	0,28
PO0102	0016	SYNG ROS	1	0,36	0,17	0,06
PO0102	0017	AGON CAT	1	13,95	0,17	2,44
PO0102	0017	CILI MUS	1	100,00	0,17	17,47
PO0102	0017	CLUP HAR	5	21,83	0,87	3,81
PO0102	0017	GAST ACU	5	13,68	0,87	2,39
PO0102	0017	MYOX SCO	30	507,95	5,24	88,74
PO0102	0017	PHOL GUN	1	11,09	0,17	1,94
PO0102	0017	PLAT FLE	37	463,80	6,46	81,02
PO0102	0017	PLEU PLA	10	43,86	1,75	7,66
PO0102	0017	POMA MIN	1	1,26	0,17	0,22
PO0102	0017	SPRA SPR	1	9,38	0,17	1,64
PO0102	0017	ZOAR VIV	9	119,04	1,57	20,80
PO0102	0018	AGON CAT	1	13,23	0,19	2,50
PO0102	0018	GADU MOR	1	43,38	0,19	8,21
PO0102	0018	MERL MER	3	100,64	0,57	19,04
PO0102	0018	MYOX SCO	12	151,79	2,27	28,72
PO0102	0018	PLAT FLE	121	1326,53	22,89	250,97
PO0102	0018	PLEU PLA	1	3,27	0,19	0,62
PO0102	0018	ROCC LAB	1	13,90	0,19	2,63
PO0102	0020	GADU MOR	2	117,66	0,71	41,76
PO0102	0020	MERL MER	1	12,96	0,35	4,60
PO0102	0020	MYOX SCO	1	9,88	0,35	3,51
PO0102	0020	PLAT FLE	2	122,04	0,71	43,31
PO0102	0020	PLEU PLA	1	10,53	0,35	3,74
PO0102	0021	CLUPEA Z	2	0,95	0,26	0,12
PO0102	0021	CLUP HAR	1	21,42	0,13	2,74
PO0102	0021	GAST ACU	4	11,37	0,51	1,45
PO0102	0021	MERL MER	2	48,35	0,26	6,17
PO0102	0021	OSME EPE	2	5,33	0,26	0,68
PO0102	0021	PLAT FLE	6	144,09	0,77	18,40
PO0102	0021	PLEU PLA	4	13,24	0,51	1,69
PO0102	0021	SPRA SPR	1	5,16	0,13	0,66
PO0102	0021	SYNG ROS	1	0,42	0,13	0,05
PO0102	0022	AGON CAT	1	13,91	0,18	2,51
PO0102	0022	CLUP HAR	1	6,10	0,18	1,10
PO0102	0022	GADU MOR	1	141,24	0,18	25,49
PO0102	0022	MERL MER	7	184,31	1,26	33,26
PO0102	0022	PLEU PLA	3	9,29	0,54	1,68
PO0102	0022	POMA MIN	1	2,18	0,18	0,39
PO0102	0022	SPRA SPR	1	5,05	0,18	0,91
PO0102	0023	AGON CAT	1	22,72	0,17	3,82
PO0102	0023	CLUP HAR	1	4,51	0,17	0,76
PO0102	0023	GADU MOR	1	72,71	0,17	12,22
PO0102	0023	MERL MER	3	60,05	0,50	10,09
PO0102	0023	PLEU PLA	1	2,67	0,17	0,45
PO0102	0023	SPRA SPR	1	3,89	0,17	0,65
PO0103	0001	CLUP HAR	5	38,72	0,72	5,59
PO0103	0001	GAST ACU	1	1,07	0,14	0,15
PO0103	0001	MYOX SCO	1	98,10	0,14	14,17

Expedition	Station	Rubincode	Totale Abundanz	Totalgewicht (g)	N / 1000 m ²	g / 1000 m ²
PO0103	0001	OSME EPE	15	142,55	2,17	20,60
PO0103	0001	PLAT FLE	15	366,34	2,17	52,93
PO0103	0001	POMA MIN	21	36,07	3,03	5,21
PO0103	0001	ZOAR VIV	2	55,00	0,29	7,95
PO0103	0002	AGON CAT	2	37,10	0,46	8,49
PO0103	0002	CLUP HAR	2	9,89	0,46	2,26
PO0103	0002	GAST ACU	4	7,27	0,91	1,66
PO0103	0002	OSME EPE	10	170,93	2,29	39,10
PO0103	0002	PLAT FLE	8	210,50	1,83	48,15
PO0103	0002	POMA MIC	1	0,44	0,23	0,10
PO0103	0002	POMA MIN	18	29,98	4,12	6,86
PO0103	0003	GAST ACU	3	6,80	0,59	1,33
PO0103	0003	MYOX SCO	1	35,46	0,20	6,94
PO0103	0003	OSME EPE	6	74,59	1,17	14,59
PO0103	0003	POMA MIN	11	25,06	2,15	4,90
PO0103	0004	CLUP HAR	3	20,51	0,45	3,10
PO0103	0004	GAST ACU	17	37,76	2,57	5,71
PO0103	0004	OSME EPE	18	146,18	2,72	22,12
PO0103	0004	PLAT FLE	12	121,54	1,82	18,39
PO0103	0004	PLEU PLA	2	4,89	0,30	0,74
PO0103	0004	POMA MIN	10	13,63	1,51	2,06
PO0103	0004	ROCC LAB	1	13,92	0,15	2,11
PO0103	0004	SPRA SPR	1	4,88	0,15	0,74
PO0103	0005	AGON CAT	4	57,71	0,66	9,51
PO0103	0005	GAST ACU	5	12,17	0,82	2,01
PO0103	0005	OSME EPE	11	58,40	1,81	9,62
PO0103	0005	PLAT FLE	7	506,52	1,15	83,45
PO0103	0005	PLEU PLA	1	3,00	0,16	0,49
PO0103	0005	POMA MIN	8	7,91	1,32	1,30
PO0103	0005	SCOP RHO	1	8,34	0,16	1,37
PO0103	0006	AGON CAT	3	8,12	0,38	1,02
PO0103	0006	CILI MUS	1	10,30	0,13	1,29
PO0103	0006	GAST ACU	4	7,60	0,50	0,96
PO0103	0006	OSME EPE	12	104,95	1,51	13,19
PO0103	0006	PLAT FLE	4	360,00	0,50	45,25
PO0103	0006	POMA MIN	7	12,53	0,88	1,57
PO0103	0007	AGON CAT	4	19,72	0,80	3,96
PO0103	0007	CLUP HAR	2	3,41	0,40	0,68
PO0103	0007	LIMA LIM	26	136,25	5,22	27,36
PO0103	0007	PLAT FLE	1	18,58	0,20	3,73
PO0103	0007	PLEU PLA	9	65,81	1,81	13,22
PO0103	0007	POMA MIC	1	0,75	0,20	0,15
PO0103	0007	POMA MIN	13	22,95	2,61	4,61
PO0103	0007	SYNG ROS	1	0,61	0,20	0,12
PO0103	0008	AGON CAT	9	77,95	1,63	14,14
PO0103	0008	CLUPEA Z	2	0,47	0,36	0,09
PO0103	0008	GAST ACU	1	1,98	0,18	0,36
PO0103	0008	LIMA LIM	9	158,35	1,63	28,72
PO0103	0008	MERL MER	1	2,52	0,18	0,46
PO0103	0008	PLEU PLA	4	23,53	0,73	4,27
PO0103	0008	POMA MIN	24	36,13	4,35	6,55
PO0103	0008	SPRA SPR	5	6,60	0,91	1,20
PO0103	0008	SYNG ROS	3	1,10	0,54	0,20
PO0103	0009	AGON CAT	1	2,47	0,22	0,55
PO0103	0009	AMMO LAN	2	22,77	0,44	5,02
PO0103	0009	PLAT FLE	1	310,00	0,22	68,40
PO0103	0009	POMA MIN	1	1,26	0,22	0,28

Expedition	Station	Rubincode	Totale Abundanz	Totalgewicht (g)	N / 1000 m ²	g / 1000 m ²
PO0103	0010	AGON CAT	7	21,31	0,86	2,63
PO0103	0010	CLUP HAR	1	0,46	0,12	0,06
PO0103	0010	GAST ACU	3	5,77	0,37	0,71
PO0103	0010	OSME EPE	32	206,23	3,95	25,46
PO0103	0010	PHOL GUN	1	4,43	0,12	0,55
PO0103	0010	PLAT FLE	2	36,53	0,25	4,51
PO0103	0010	PLEU PLA	1	3,92	0,12	0,48
PO0103	0010	POMA MIN	81	147,40	10,00	18,20
PO0103	0010	SPRA SPR	1	1,59	0,12	0,20
PO0103	0011	AGON CAT	1	3,05	0,17	0,51
PO0103	0011	OSME EPE	4	19,42	0,66	3,22
PO0103	0011	PLEU PLA	1	4,04	0,17	0,67
PO0103	0011	POMA MIC	1	1,14	0,17	0,19
PO0103	0011	POMA MIN	16	15,21	2,66	2,53
PO0103	0011	SPRA SPR	4	18,60	0,66	3,09
PO0103	0011	SYNG ROS	1	0,26	0,17	0,04
PO0103	0012	AGON CAT	2	27,02	0,40	5,40
PO0103	0012	CLUP HAR	5	44,42	1,00	8,88
PO0103	0012	OSME EPE	14	101,89	2,80	20,37
PO0103	0012	PLAT FLE	10	158,26	2,00	31,64
PO0103	0012	POMA MIC	1	1,15	0,20	0,23
PO0103	0012	POMA MIN	4	4,55	0,80	0,91
PO0103	0013	OSME EPE	2	12,59	0,53	3,36
PO0103	0013	PLAT FLE	5	134,23	1,34	35,85
PO0103	0013	POMA MIC	1	0,81	0,27	0,22
PO0103	0013	POMA MIN	1	0,86	0,27	0,23
PO0103	0013	ZOAR VIV	1	35,00	0,27	9,35
PO0103	0015	AGON CAT	3	8,14	0,66	1,80
PO0103	0015	CLUP HAR	8	52,61	1,77	11,62
PO0103	0015	GAST ACU	8	20,89	1,77	4,61
PO0103	0015	OSME EPE	84	561,38	18,55	123,96
PO0103	0015	PLAT FLE	6	451,68	1,32	99,74
PO0103	0015	POMA MIC	1	0,47	0,22	0,10
PO0103	0015	POMA MIN	19	37,55	4,20	8,29
PO0103	0015	SPRA SPR	1	1,66	0,22	0,37
PO0103	0016	AGON CAT	2	5,31	0,36	0,97
PO0103	0016	CILI MUS	2	20,03	0,36	3,66
PO0103	0016	CLUP HAR	5	43,86	0,91	8,00
PO0103	0016	GAST ACU	5	13,42	0,91	2,45
PO0103	0016	OSME EPE	99	737,47	18,07	134,59
PO0103	0016	PLAT FLE	4	100,21	0,73	18,29
PO0103	0016	POMA MIN	7	19,00	1,28	3,47
PO0103	0016	SPRA SPR	2	18,85	0,36	3,44
PO0103	0016	ZOAR VIV	1	12,00	0,18	2,19
PO0103	0017	AGON CAT	1	10,74	0,18	1,92
PO0103	0017	GAST ACU	5	8,05	0,89	1,44
PO0103	0017	OSME EPE	17	93,99	3,04	16,79
PO0103	0017	PLAT FLE	2	49,63	0,36	8,86
PO0103	0017	PLEU PLA	1	4,54	0,18	0,81
PO0103	0017	POMA MIC	3	3,29	0,54	0,59
PO0103	0017	POMA MIN	64	76,33	11,43	13,63
PO0103	0018	AGON CAT	3	31,33	0,49	5,14
PO0103	0018	CILI MUS	1	5,70	0,16	0,93
PO0103	0018	CLUP HAR	2	13,84	0,33	2,27
PO0103	0018	MYOX SCO	1	27,65	0,16	4,53
PO0103	0018	OSME EPE	2	11,07	0,33	1,82
PO0103	0018	PLAT FLE	4	107,37	0,66	17,61

Expedition	Station	Rubincode	Totale Abundanz	Totalgewicht (g)	N / 1000 m ²	g / 1000 m ²
PO0103	0018	POMA MIN	3	1,99	0,49	0,33
PO0103	0018	ZOAR VIV	1	35,00	0,16	5,74
PO0103	0019	AGON CAT	2	16,22	0,34	2,72
PO0103	0019	OSME EPE	6	47,24	1,01	7,92
PO0103	0019	PLAT FLE	1	31,32	0,17	5,25
PO0103	0019	POMA MIC	2	2,07	0,34	0,35
PO0103	0019	POMA MIN	22	32,40	3,69	5,43
PO0103	0019	ZOAR VIV	1	16,31	0,17	2,73
PO0103	0020	AGON CAT	1	2,25	0,19	0,44
PO0103	0020	CLUP HAR	5	38,96	0,97	7,56
PO0103	0020	GAST ACU	4	8,48	0,78	1,65
PO0103	0020	MYOX SCO	1	25,83	0,19	5,01
PO0103	0020	OSME EPE	23	202,22	4,46	39,25
PO0103	0020	PLAT FLE	3	109,94	0,58	21,34
PO0103	0020	POMA MIN	9	27,35	1,75	5,31
PO0103	0020	SPRA SPR	3	20,78	0,58	4,03
PO0103	0020	ZOAR VIV	1	41,00	0,19	7,96
PO0103	0021	AGON CAT	3	27,14	1,06	9,56
PO0103	0021	GADU MOR	1	500,00	0,35	176,07
PO0103	0021	OSME EPE	3	16,80	1,06	5,92
PO0103	0021	PLAT FLE	1	16,42	0,35	5,78
PO0103	0021	POMA MIC	2	1,23	0,70	0,43
PO0103	0021	POMA MIN	3	2,51	1,06	0,88
PO0103	0021	SPRA SPR	1	3,58	0,35	1,26
PO0103	0021	ZOAR VIV	1	9,94	0,35	3,50
PO0103	0022	AGON CAT	1	30,00	0,17	4,99
PO0103	0022	OSME EPE	3	28,39	0,50	4,72
PO0103	0022	PLAT FLE	1	103,00	0,17	17,12
PO0103	0022	POMA MIN	2	1,54	0,33	0,26
PO0103	0023	CLUP HAR	3	18,26	0,63	3,84
PO0103	0023	OSME EPE	7	49,46	1,47	10,39
PO0103	0023	PLEU PLA	1	1,25	0,21	0,26
PO0103	0023	POMA MIC	2	1,78	0,42	0,37
PO0103	0023	POMA MIN	5	7,82	1,05	1,64
PO0104	0001	CILI MUS	1	6,45	0,27	1,74
PO0104	0001	GADU MOR	2	185,00	0,54	49,79
PO0104	0001	MYOX SCO	11	113,59	2,96	30,57
PO0104	0001	PHOL GUN	4	15,40	1,08	4,14
PO0104	0001	PLAT FLE	6	58,40	1,61	15,72
PO0104	0001	PLEU PLA	4	5,05	1,08	1,36
PO0104	0001	POMA MIC	4	2,59	1,08	0,70
PO0104	0001	POMA MIN	11	19,15	2,96	5,15
PO0104	0001	ZOAR VIV	5	49,00	1,35	13,19
PO0104	0002	AGON CAT	2	22,84	0,47	5,40
PO0104	0002	CLUP HAR	1	40,00	0,24	9,46
PO0104	0002	GAST ACU	1	3,01	0,24	0,71
PO0104	0002	MYOX SCO	6	700,00	1,42	165,58
PO0104	0002	OSME EPE	6	76,05	1,42	17,99
PO0104	0002	PLAT FLE	11	131,30	2,60	31,06
PO0104	0002	PLEU PLA	29	79,45	6,86	18,79
PO0104	0002	POMA MIN	20	35,62	4,73	8,43
PO0104	0002	POMA PIC	2	1,66	0,47	0,39
PO0104	0002	SPRA SPR	1	1,60	0,24	0,38
PO0104	0002	ZOAR VIV	1	20,00	0,24	4,73
PO0104	0003	CLUP HAR	26	227,00	4,79	41,79
PO0104	0003	GAST ACU	2	5,18	0,37	0,95
PO0104	0003	OSME EPE	7	50,90	1,29	9,37

Expedition	Station	Rubincode	Totale Abundanz	Totalgewicht (g)	N / 1000 m ²	g / 1000 m ²
PO0104	0003	PLAT FLE	11	135,67	2,02	24,97
PO0104	0003	PLEU PLA	5	11,88	0,92	2,19
PO0104	0003	POMA MIC	3	1,57	0,55	0,29
PO0104	0003	POMA MIN	12	27,47	2,21	5,06
PO0104	0003	ZOAR VIV	1	13,20	0,18	2,43
PO0104	0004	AGON CAT	1	5,50	0,20	1,10
PO0104	0004	GAST ACU	3	9,03	0,60	1,81
PO0104	0004	MYOX SCO	2	47,18	0,40	9,46
PO0104	0004	OSME EPE	16	109,09	3,21	21,88
PO0104	0004	PLAT FLE	24	317,48	4,81	63,69
PO0104	0004	PLEU PLA	10	38,01	2,01	7,63
PO0104	0004	POMA MIN	6	14,14	1,20	2,84
PO0104	0004	SPRA SPR	3	14,19	0,60	2,85
PO0104	0005	AGON CAT	5	62,42	0,97	12,15
PO0104	0005	ALOS FAL	1	3,96	0,19	0,77
PO0104	0005	AMMO LAN	2	14,61	0,39	2,84
PO0104	0005	CLUP HAR	1	4,18	0,19	0,81
PO0104	0005	GAST ACU	1	2,22	0,19	0,43
PO0104	0005	MYOX SCO	1	14,20	0,19	2,76
PO0104	0005	OSME EPE	9	127,30	1,75	24,78
PO0104	0005	PLAT FLE	9	278,95	1,75	54,29
PO0104	0005	PLEU PLA	100	305,60	19,46	59,48
PO0104	0005	POMA MIC	1	0,76	0,19	0,15
PO0104	0005	POMA MIN	4	7,06	0,78	1,37
PO0104	0006	AGON CAT	2	41,39	0,32	6,69
PO0104	0006	AMMO LAN	1	7,92	0,16	1,28
PO0104	0006	CLUP HAR	2	10,42	0,32	1,68
PO0104	0006	GAST ACU	2	5,66	0,32	0,91
PO0104	0006	OSME EPE	6	88,33	0,97	14,27
PO0104	0006	PLAT FLE	16	613,82	2,58	99,16
PO0104	0006	PLEU PLA	4	10,84	0,65	1,75
PO0104	0006	POMA MIN	11	12,93	1,78	2,09
PO0104	0006	SPRA SPR	2	9,58	0,32	1,55
PO0104	0007	AGON CAT	1	3,26	0,24	0,77
PO0104	0007	CILI MUS	1	9,56	0,24	2,26
PO0104	0007	MYOX SCO	1	6,48	0,24	1,53
PO0104	0007	OSME EPE	4	54,46	0,94	12,85
PO0104	0007	PLAT FLE	1	19,82	0,24	4,68
PO0104	0007	PLEU PLA	4	10,79	0,94	2,55
PO0104	0007	POMA MIC	1	0,88	0,24	0,21
PO0104	0007	POMA MIN	9	31,01	2,12	7,32
PO0104	0007	ZOAR VIV	1	28,00	0,24	6,61
PO0104	0008	LIPA LIP	1	100,00	0,19	19,19
PO0104	0008	MYOX SCO	5	66,87	0,96	12,83
PO0104	0008	OSME EPE	5	58,26	0,96	11,18
PO0104	0008	PLAT FLE	3	42,38	0,58	8,13
PO0104	0008	PLEU PLA	22	87,13	4,22	16,72
PO0104	0008	POMA MIN	26	71,60	4,99	13,74
PO0104	0008	POMA PIC	7	3,72	1,34	0,71
PO0104	0008	SPRA SPR	3	9,76	0,58	1,87
PO0104	0008	SYNG ROS	1	0,46	0,19	0,09
PO0104	0009	MYOX SCO	11	87,88	3,42	27,35
PO0104	0009	OSME EPE	1	6,70	0,31	2,09
PO0104	0009	PLAT FLE	3	54,82	0,93	17,06
PO0104	0009	PLEU PLA	12	33,09	3,73	10,30
PO0104	0009	POMA MIN	6	11,55	1,87	3,59
PO0104	0010	AGON CAT	4	68,80	0,78	13,35

Expedition	Station	Rubincode	Totale Abundanz	Totalgewicht (g)	N / 1000 m ²	g / 1000 m ²
PO0104	0010	CILI MUS	2	35,15	0,39	6,82
PO0104	0010	CLUP HAR	1	5,25	0,19	1,02
PO0104	0010	GAST ACU	1	3,06	0,19	0,59
PO0104	0010	MYOX SCO	7	81,27	1,36	15,77
PO0104	0010	OSME EPE	8	124,28	1,55	24,12
PO0104	0010	PLAT FLE	14	229,29	2,72	44,50
PO0104	0010	PLEU PLA	11	50,07	2,13	9,72
PO0104	0010	POMA MIN	13	13,57	2,52	2,63
PO0104	0010	SPRA SPR	1	7,82	0,19	1,52
PO0104	0010	ZOAR VIV	1	7,00	0,19	1,36
PO0104	0011	AGON CAT	4	75,71	0,69	13,03
PO0104	0011	GAST ACU	1	2,23	0,17	0,38
PO0104	0011	MYOX SCO	1	18,79	0,17	3,23
PO0104	0011	PLAT FLE	6	51,13	1,03	8,80
PO0104	0011	PLEU PLA	15	31,41	2,58	5,40
PO0104	0011	POMA MIN	24	53,24	4,13	9,16
PO0104	0011	POMA PIC	1	0,49	0,17	0,08
PO0104	0011	SYNG ROS	1	0,16	0,17	0,03
PO0104	0013	AGON CAT	5	74,40	0,60	8,90
PO0104	0013	AMMO LAN	3	11,68	0,36	1,40
PO0104	0013	GAST ACU	8	18,69	0,96	2,24
PO0104	0013	OSME EPE	8	99,90	0,96	11,95
PO0104	0013	PLAT FLE	30	591,71	3,59	70,78
PO0104	0013	PLEU PLA	12	67,09	1,44	8,02
PO0104	0013	POMA MIC	2	1,28	0,24	0,15
PO0104	0013	POMA MIN	28	49,75	3,35	5,95
PO0104	0013	SPRA SPR	4	19,28	0,48	2,31
PO0104	0014	AGON CAT	1	2,32	0,24	0,57
PO0104	0014	GAST ACU	2	3,06	0,49	0,75
PO0104	0014	OSME EPE	1	5,27	0,24	1,28
PO0104	0014	PLAT FLE	7	336,39	1,71	81,94
PO0104	0014	PLEU PLA	1	3,61	0,24	0,88
PO0104	0014	POMA MIC	1	1,21	0,24	0,29
PO0104	0014	POMA MIN	11	12,36	2,68	3,01
PO0104	0015	AGON CAT	5	32,39	1,18	7,62
PO0104	0015	CLUP HAR	8	34,23	1,88	8,05
PO0104	0015	GAST ACU	4	12,17	0,94	2,86
PO0104	0015	MYOX SCO	19	263,37	4,47	61,93
PO0104	0015	OSME EPE	8	62,38	1,88	14,67
PO0104	0015	PLAT FLE	34	557,45	8,00	131,09
PO0104	0015	PLEU PLA	1	2,33	0,24	0,55
PO0104	0015	POMA MIN	3	11,41	0,71	2,68
PO0104	0015	SCOP RHO	1	52,50	0,24	12,35
PO0104	0015	ZOAR VIV	3	41,00	0,71	9,64
PO0104	0016	AGON CAT	2	29,10	0,53	7,67
PO0104	0016	ALOS FAL	1	3,93	0,26	1,04
PO0104	0016	CILI MUS	7	112,12	1,85	29,56
PO0104	0016	CLUP HAR	24	118,78	6,33	31,32
PO0104	0016	GAST ACU	3	8,33	0,79	2,20
PO0104	0016	MYOX SCO	4	49,08	1,05	12,94
PO0104	0016	OSME EPE	5	119,39	1,32	31,48
PO0104	0016	PLAT FLE	171	1643,78	45,08	433,39
PO0104	0016	PLEU PLA	10	29,19	2,64	7,70
PO0104	0016	POMA MIN	13	29,32	3,43	7,73
PO0104	0016	ZOAR VIV	8	123,00	2,11	32,43
PO0104	0017	AGON CAT	2	36,42	0,46	8,34
PO0104	0017	CLUP HAR	11	47,61	2,52	10,91

Expedition	Station	Rubincode	Totale Abundanz	Totalgewicht (g)	N / 1000 m ²	g / 1000 m ²
PO0104	0017	GAST ACU	139	420,29	31,84	96,27
PO0104	0017	MYOX SCO	12	198,32	2,75	45,43
PO0104	0017	OSME EPE	9	102,75	2,06	23,54
PO0104	0017	PLAT FLE	9	165,50	2,06	37,91
PO0104	0017	PLEU PLA	3	20,19	0,69	4,62
PO0104	0017	POMA MIC	2	1,54	0,46	0,35
PO0104	0020	AMMO LAN	1	6,88	0,16	1,13
PO0104	0020	CLUP HAR	21	96,39	3,46	15,90
PO0104	0020	GAST ACU	4	12,02	0,66	1,98
PO0104	0020	MYOX SCO	6	106,26	0,99	17,52
PO0104	0020	OSME EPE	1	3,36	0,16	0,55
PO0104	0020	PLAT FLE	19	209,86	3,13	34,61
PO0104	0020	PLEU PLA	19	72,06	3,13	11,88
PO0104	0020	POMA MIN	8	20,15	1,32	3,32
PO0104	0020	SPRA SPR	3	11,08	0,49	1,83
PO0104	0021	CLUP HAR	24	130,43	3,98	21,61
PO0104	0021	GAST ACU	1	2,27	0,17	0,38
PO0104	0021	MYOX SCO	3	78,51	0,50	13,01
PO0104	0021	OSME EPE	3	14,18	0,50	2,35
PO0104	0021	PLAT FLE	7	212,60	1,16	35,22
PO0104	0021	PLEU PLA	29	93,62	4,80	15,51
PO0104	0021	POMA MIC	4	3,96	0,66	0,66
PO0104	0021	POMA MIN	24	33,77	3,98	5,59
PO0104	0021	SYNG ROS	5	1,47	0,83	0,24
PO0104	0021	ZOAR VIV	2	59,00	0,33	9,77
PO0104	0023	CLUP HAR	3	21,90	0,85	6,23
PO0104	0023	MYOX SCO	27	234,27	7,68	66,60
PO0104	0023	OSME EPE	6	64,67	1,71	18,39
PO0104	0023	PLAT FLE	6	104,43	1,71	29,69
PO0104	0023	PLEU PLA	4	23,18	1,14	6,59
PO0104	0023	POMA MIN	4	9,26	1,14	2,63
PO0104	0023	ZOAR VIV	5	40,00	1,42	11,37
PO0104	0024	AGON CAT	9	78,56	1,74	15,20
PO0104	0024	LIMA LIM	8	176,81	1,55	34,22
PO0104	0024	PLEU PLA	9	38,27	1,74	7,41
PO0104	0024	POMA MIN	105	146,59	20,32	28,37
PO0104	0024	SPRA SPR	1	2,49	0,19	0,48
PO0104	0024	SYNG ROS	10	2,35	1,94	0,45
PO0104	0025	AGON CAT	3	31,44	0,66	6,97
PO0104	0025	LIMA LIM	2	19,78	0,44	4,38
PO0104	0025	MYOX SCO	1	42,88	0,22	9,50
PO0104	0025	OSME EPE	1	27,27	0,22	6,04
PO0104	0025	PLAT FLE	1	8,84	0,22	1,96
PO0104	0025	PLEU PLA	5	17,17	1,11	3,81
PO0104	0025	POMA MIC	1	1,10	0,22	0,24
PO0104	0025	POMA MIN	32	70,95	7,09	15,72
PO0104	0025	SPRA SPR	1	3,31	0,22	0,73
PO0104	0025	SYNG ROS	1	0,18	0,22	0,04
PO0105	0001	CLUP HAR	2	10,17	0,55	2,78
PO0105	0001	GAST ACU	3	7,71	0,82	2,11
PO0105	0001	MERL MER	1	50,79	0,27	13,88
PO0105	0001	OSME EPE	1	4,20	0,27	1,15
PO0105	0001	PLAT FLE	2	26,38	0,55	7,21
PO0105	0001	PLEU PLA	11	34,97	3,01	9,56
PO0105	0001	POMA MIN	5	14,40	1,37	3,94
PO0105	0001	SCOP RHO	1	19,48	0,27	5,32
PO0105	0002	CLUP HAR	3	17,61	0,64	3,78

Expedition	Station	Rubincode	Totale Abundanz	Totalgewicht (g)	N / 1000 m ²	g / 1000 m ²
PO0105	0002	GAST ACU	2	5,26	0,43	1,13
PO0105	0002	OSME EPE	7	36,02	1,50	7,74
PO0105	0002	PLAT FLE	9	216,66	1,93	46,53
PO0105	0002	PLEU PLA	6	24,49	1,29	5,26
PO0105	0002	POMA MIN	7	15,20	1,50	3,26
PO0105	0002	ZOAR VIV	1	26,35	0,21	5,66
PO0105	0003	CLUP HAR	2	11,81	0,35	2,07
PO0105	0003	GADU MOR	2	200,00	0,35	35,13
PO0105	0003	GAST ACU	2	4,26	0,35	0,75
PO0105	0003	MYOX SCO	1	43,00	0,18	7,55
PO0105	0003	OSME EPE	14	117,70	2,46	20,67
PO0105	0003	PLAT FLE	32	608,89	5,62	106,94
PO0105	0003	PLEU PLA	51	181,60	8,96	31,89
PO0105	0003	POMA MIN	11	29,08	1,93	5,11
PO0105	0003	ZOAR VIV	2	32,15	0,35	5,65
PO0105	0004	GAST ACU	12	33,10	2,01	5,56
PO0105	0004	OSME EPE	8	95,68	1,34	16,06
PO0105	0004	PLAT FLE	20	230,04	3,36	38,62
PO0105	0004	PLEU PLA	8	44,78	1,34	7,52
PO0105	0004	POMA MIN	3	2,94	0,50	0,49
PO0105	0005	AGON CAT	1	6,88	0,18	1,27
PO0105	0005	AMMO LAN	1	6,36	0,18	1,18
PO0105	0005	CLUP HAR	2	8,75	0,37	1,62
PO0105	0005	GAST ACU	8	18,47	1,48	3,42
PO0105	0005	OSME EPE	3	29,24	0,55	5,41
PO0105	0005	PLAT FLE	16	620,90	2,96	114,81
PO0105	0005	PLEU PLA	18	67,38	3,33	12,46
PO0105	0005	POMA MIN	4	7,67	0,74	1,42
PO0105	0006	AGON CAT	1	6,42	0,15	0,97
PO0105	0006	CLUP HAR	2	13,50	0,30	2,05
PO0105	0006	GADU MOR	2	250,00	0,30	37,93
PO0105	0006	GAST ACU	1	2,44	0,15	0,37
PO0105	0006	PLAT FLE	8	393,60	1,21	59,71
PO0105	0006	POMA MIN	4	11,62	0,61	1,76
PO0105	0007	CLUP HAR	5	18,78	0,95	3,56
PO0105	0007	GADU MOR	1	50,00	0,19	9,47
PO0105	0007	GAST ACU	1	2,31	0,19	0,44
PO0105	0007	MYOX SCO	1	15,00	0,19	2,84
PO0105	0007	OSME EPE	4	25,64	0,76	4,85
PO0105	0007	PLAT FLE	3	223,12	0,57	42,25
PO0105	0007	PLEU PLA	2	7,08	0,38	1,34
PO0105	0007	POMA MIN	2	4,57	0,38	0,87
PO0105	0007	ZOAR VIV	2	33,12	0,38	6,27
PO0105	0008	CLUP HAR	1	3,81	0,19	0,72
PO0105	0008	MYOX SCO	4	81,36	0,75	15,29
PO0105	0008	OSME EPE	3	22,83	0,56	4,29
PO0105	0008	PLEU PLA	1	1,58	0,19	0,30
PO0105	0008	POMA MIC	1	0,29	0,19	0,05
PO0105	0008	POMA MIN	5	12,18	0,94	2,29
PO0105	0008	ZOAR VIV	1	55,00	0,19	10,34
PO0105	0009	CLUP HAR	2	8,53	0,60	2,56
PO0105	0009	MYOX SCO	3	109,18	0,90	32,81
PO0105	0009	OSME EPE	2	14,57	0,60	4,38
PO0105	0009	PLAT FLE	2	24,31	0,60	7,31
PO0105	0009	POMA MIC	1	0,23	0,30	0,07
PO0105	0009	POMA MIN	4	2,62	1,20	0,79
PO0105	0009	SPRA SPR	2	12,31	0,60	3,70

Expedition	Station	Rubincode	Totale Abundanz	Totalgewicht (g)	N / 1000 m ²	g / 1000 m ²
PO0105	0010	AGON CAT	9	61,50	1,83	12,48
PO0105	0010	CLUP HAR	3	13,14	0,61	2,67
PO0105	0010	ENCH CIM	1	3,10	0,20	0,63
PO0105	0010	MYOX SCO	1	11,55	0,20	2,34
PO0105	0010	OSME EPE	6	32,33	1,22	6,56
PO0105	0010	PLAT FLE	3	86,65	0,61	17,58
PO0105	0010	PLEU PLA	10	37,95	2,03	7,70
PO0105	0010	POMA MIN	12	5,50	2,43	1,12
PO0105	0011	AMMO LAN	1	0,77	0,18	0,14
PO0105	0011	MYOX SCO	1	185,00	0,18	32,85
PO0105	0011	OSME EPE	2	10,14	0,36	1,80
PO0105	0011	PLAT FLE	6	180,29	1,07	32,01
PO0105	0011	PLEU PLA	1	1,85	0,18	0,33
PO0105	0011	POMA MIN	10	16,30	1,78	2,89
PO0105	0012	CLUP HAR	2	5,58	0,37	1,04
PO0105	0012	GADU MOR	1	165,00	0,19	30,64
PO0105	0012	GAST ACU	4	9,17	0,74	1,70
PO0105	0012	PLAT FLE	6	298,77	1,11	55,49
PO0105	0012	PLEU PLA	3	11,21	0,56	2,08
PO0105	0012	POMA MIN	18	37,52	3,34	6,97
PO0105	0012	SCOP RHO	1	4,32	0,19	0,80
PO0105	0012	SPRA SPR	1	1,84	0,19	0,34
PO0105	0013	CILI MUS	1	6,85	0,22	1,53
PO0105	0013	CLUP HAR	2	9,80	0,45	2,18
PO0105	0013	GAST ACU	1	2,42	0,22	0,54
PO0105	0013	PLAT FLE	5	244,27	1,11	54,44
PO0105	0013	POMA MIN	4	6,34	0,89	1,41
PO0105	0015	AGON CAT	1	5,74	0,22	1,26
PO0105	0015	CLUP HAR	5	21,52	1,10	4,74
PO0105	0015	GADU MOR	1	110,00	0,22	24,22
PO0105	0015	GAST ACU	2	5,10	0,44	1,12
PO0105	0015	MYOX SCO	4	83,46	0,88	18,38
PO0105	0015	OSME EPE	4	26,47	0,88	5,83
PO0105	0015	PLAT FLE	8	253,93	1,76	55,92
PO0105	0015	POMA MIN	4	6,95	0,88	1,53
PO0105	0016	CLUP HAR	1	6,29	0,43	2,72
PO0105	0016	OSME EPE	4	30,21	1,73	13,05
PO0105	0016	PLAT FLE	4	85,13	1,73	36,77
PO0105	0016	PLEU PLA	17	55,36	7,34	23,91
PO0105	0016	POMA MIN	18	36,88	7,78	15,93
PO0105	0016	ZOAR VIV	1	27,03	0,43	11,68
PO0105	0017	CILI MUS	1	9,20	0,23	2,15
PO0105	0017	CLUP HAR	5	24,33	1,17	5,69
PO0105	0017	GAST ACU	3	6,81	0,70	1,59
PO0105	0017	OSME EPE	8	70,32	1,87	16,44
PO0105	0017	PLAT FLE	16	549,85	3,74	128,53
PO0105	0017	PLEU PLA	76	348,28	17,76	81,41
PO0105	0017	POMA MIC	1	0,49	0,23	0,11
PO0105	0017	POMA MIN	10	16,05	2,34	3,75
PO0105	0017	ZOAR VIV	1	55,00	0,23	12,86
PO0105	0018	AMMO LAN	1	12,24	0,18	2,19
PO0105	0018	CLUP HAR	1	5,68	0,18	1,02
PO0105	0018	OSME EPE	1	5,57	0,18	1,00
PO0105	0018	PLAT FLE	1	180,00	0,18	32,21
PO0105	0018	PLEU PLA	5	15,82	0,89	2,83
PO0105	0018	POMA MIN	9	10,82	1,61	1,94
PO0105	0018	SPRA SPR	1	2,12	0,18	0,38

Expedition	Station	Rubincode	Totale Abundanz	Totalgewicht (g)	N / 1000 m ²	g / 1000 m ²
PO0105	0019	CLUP HAR	3	13,91	0,54	2,48
PO0105	0019	GADU MOR	4	304,86	0,71	54,42
PO0105	0019	GAST ACU	3	7,18	0,54	1,28
PO0105	0019	MYOX SCO	1	10,81	0,18	1,93
PO0105	0019	OSME EPE	1	3,25	0,18	0,58
PO0105	0019	PLAT FLE	9	318,83	1,61	56,92
PO0105	0019	POMA MIN	1	0,46	0,18	0,08
PO0105	0019	ZOAR VIV	2	49,74	0,36	8,88
PO0105	0020	CLUP HAR	1	1,93	0,19	0,37
PO0105	0020	MYOX SCO	2	172,00	0,38	32,56
PO0105	0020	OSME EPE	1	7,01	0,19	1,33
PO0105	0020	PLEU PLA	3	8,22	0,57	1,56
PO0105	0020	POMA MIN	5	2,24	0,95	0,42
PO0105	0020	SPRA SPR	1	1,31	0,19	0,25
PO0105	0022	MYOX SCO	1	25,00	0,24	5,92
PO0105	0022	POMA MIN	4	7,36	0,95	1,74
PO0105	0023	CILI MUS	1	9,14	0,34	3,09
PO0105	0023	OSME EPE	1	5,47	0,34	1,85
PO0105	0023	PLAT FLE	2	31,66	0,68	10,69
PO0105	0023	POMA MIC	1	0,22	0,34	0,07
PO0105	0023	POMA MIN	11	33,92	3,71	11,45
PO0105	0023	SPRA SPR	1	2,53	0,34	0,85
PO0106	0001	CLUP HAR	7	67,00	1,77	16,93
PO0106	0001	GAST ACU	15	41,29	3,79	10,44
PO0106	0001	OSME EPE	8	101,71	2,02	25,71
PO0106	0001	PLAT FLE	12	182,92	3,03	46,23
PO0106	0001	PLEU PLA	2	7,75	0,51	1,96
PO0106	0001	ZOAR VIV	1	7,73	0,25	1,95
PO0106	0002	AGON CAT	1	1,88	0,33	0,61
PO0106	0002	CLUP HAR	17	162,80	5,55	53,15
PO0106	0002	GAST ACU	12	32,97	3,92	10,76
PO0106	0002	OSME EPE	16	104,26	5,22	34,04
PO0106	0002	PLAT FLE	13	95,40	4,24	31,15
PO0106	0002	PLEU PLA	3	6,58	0,98	2,15
PO0106	0002	POMA MIN	2	8,57	0,65	2,80
PO0106	0003	CLUP HAR	2	12,96	0,55	3,54
PO0106	0003	GAST ACU	5	15,27	1,37	4,17
PO0106	0003	OSME EPE	18	88,26	4,92	24,13
PO0106	0003	PLAT FLE	14	134,45	3,83	36,76
PO0106	0003	PLEU PLA	3	12,05	0,82	3,29
PO0106	0003	POMA MIN	1	2,58	0,27	0,71
PO0106	0003	SPRA SPR	1	11,15	0,27	3,05
PO0106	0003	ZOAR VIV	1	11,05	0,27	3,02
PO0106	0004	GAST ACU	4	9,22	0,69	1,59
PO0106	0004	PLAT FLE	6	67,93	1,04	11,73
PO0106	0004	PLEU PLA	3	13,92	0,52	2,40
PO0106	0004	POMA MIN	1	1,18	0,17	0,20
PO0106	0005	CLUP HAR	1	5,96	0,17	0,99
PO0106	0005	PLAT FLE	1	7,97	0,17	1,32
PO0106	0005	POMA MIN	1	3,21	0,17	0,53
PO0106	0005	SPRA SPR	1	6,38	0,17	1,05
PO0106	0006	GAST ACU	1	2,46	0,18	0,43
PO0106	0006	OSME EPE	9	74,85	1,58	13,14
PO0106	0006	PLEU PLA	1	1,61	0,18	0,28
PO0106	0006	POMA MIN	1	1,70	0,18	0,30
PO0106	0007	GAST ACU	2	5,01	0,39	0,98
PO0106	0007	LIMA LIM	29	35,04	5,67	6,85

Expedition	Station	Rubincode	Totale Abundanz	Totalgewicht (g)	N / 1000 m ²	g / 1000 m ²
PO0106	0007	OSME EPE	2	26,59	0,39	5,20
PO0106	0007	PLEU PLA	13	53,13	2,54	10,39
PO0106	0007	POMA MIN	3	7,42	0,59	1,45
PO0106	0008	AGON CAT	3	8,00	0,50	1,32
PO0106	0008	LIMA LIM	6	6,54	0,99	1,08
PO0106	0008	PLAT FLE	1	12,11	0,17	2,00
PO0106	0008	PLEU PLA	7	29,48	1,16	4,88
PO0106	0008	POMA MIN	4	14,16	0,66	2,34
PO0106	0008	SPRA SPR	1	7,03	0,17	1,16
PO0106	0009	AGON CAT	1	3,54	0,23	0,81
PO0106	0009	GADU MOR	1	22,32	0,23	5,11
PO0106	0009	GAST ACU	1	2,53	0,23	0,58
PO0106	0009	PLAT FLE	1	29,30	0,23	6,70
PO0106	0009	PLEU PLA	10	33,00	2,29	7,55
PO0106	0010	AGON CAT	4	13,10	0,52	1,71
PO0106	0010	GAST ACU	14	33,55	1,83	4,39
PO0106	0010	OSME EPE	4	19,30	0,52	2,52
PO0106	0010	PLAT FLE	6	46,54	0,78	6,09
PO0106	0010	PLEU PLA	12	52,68	1,57	6,89
PO0106	0010	POMA MIN	4	12,68	0,52	1,66
PO0106	0010	ZOAR VIV	1	15,41	0,13	2,02
PO0106	0011	AMMO LAN	1	9,78	0,17	1,68
PO0106	0011	OSME EPE	3	72,08	0,52	12,39
PO0106	0011	PLAT FLE	11	117,16	1,89	20,14
PO0106	0011	PLEU PLA	8	32,77	1,38	5,63
PO0106	0011	POMA MIN	5	11,04	0,86	1,90
PO0106	0012	CLUP HAR	1	5,20	0,29	1,50
PO0106	0012	GAST ACU	1	2,06	0,29	0,59
PO0106	0012	MYOX SCO	1	5,55	0,29	1,60
PO0106	0012	OSME EPE	25	172,18	7,21	49,68
PO0106	0012	PLAT FLE	12	115,01	3,46	33,18
PO0106	0012	PLEU PLA	4	16,46	1,15	4,75
PO0106	0012	POMA MIN	3	6,67	0,87	1,92
PO0106	0012	ZOAR VIV	4	47,55	1,15	13,72
PO0106	0013	CILI MUS	1	54,95	0,20	11,00
PO0106	0013	GAST ACU	4	10,70	0,80	2,14
PO0106	0013	OSME EPE	2	7,23	0,40	1,45
PO0106	0013	PLAT FLE	1	4,85	0,20	0,97
PO0106	0013	POMA MIN	1	3,63	0,20	0,73
PO0106	0014	CILI MUS	1	3,91	0,19	0,74
PO0106	0014	CLUP HAR	1	6,25	0,19	1,18
PO0106	0014	GAST ACU	1	2,12	0,19	0,40
PO0106	0014	PHOL GUN	1	5,30	0,19	1,00
PO0106	0014	PLAT FLE	1	14,41	0,19	2,73
PO0106	0014	PLEU PLA	1	7,21	0,19	1,37
PO0106	0016	PLEU PLA	2	6,56	0,46	1,50
PO0106	0016	POMA MIN	1	0,60	0,23	0,14
PO0106	0017	CLUP HAR	1	8,67	0,18	1,60
PO0106	0017	GAST ACU	7	18,03	1,29	3,33
PO0106	0017	OSME EPE	1	2,22	0,18	0,41
PO0106	0017	PLAT FLE	4	33,37	0,74	6,16
PO0106	0017	POMA MIN	1	1,92	0,18	0,35
PO0106	0017	ZOAR VIV	1	17,83	0,18	3,29
PO0106	0018	GAST ACU	1	1,40	0,18	0,25
PO0106	0018	OSME EPE	10	49,61	1,77	8,76
PO0106	0018	PLAT FLE	1	13,06	0,18	2,31
PO0106	0018	POMA MIN	2	8,64	0,35	1,53

Expedition	Station	Rubincode	Totale Abundanz	Totalgewicht (g)	N / 1000 m ²	g / 1000 m ²
PO0106	0019	CLUP HAR	1	12,50	0,22	2,81
PO0106	0019	GADU MOR	1	66,51	0,22	14,93
PO0106	0019	GAST ACU	5	13,81	1,12	3,10
PO0106	0019	LIMA LIM	1	9,83	0,22	2,21
PO0106	0019	MYOX SCO	1	28,58	0,22	6,42
PO0106	0019	OSME EPE	5	168,13	1,12	37,74
PO0106	0019	PLAT FLE	6	84,06	1,35	18,87
PO0106	0019	PLEU PLA	2	6,27	0,45	1,41
PO0106	0019	POMA MIN	1	4,48	0,22	1,01
PO0106	0019	ZOAR VIV	1	35,15	0,22	7,89
PO0106	0020	GAST ACU	2	5,68	0,34	0,98
PO0106	0020	OSME EPE	3	15,96	0,52	2,74
PO0106	0020	PLEU PLA	1	3,52	0,17	0,60
PO0106	0020	ZOAR VIV	1	36,84	0,17	6,33
PO0106	0022	CLUP HAR	1	4,85	0,24	1,19
PO0106	0022	OSME EPE	6	22,60	1,47	5,53
PO0106	0022	PLAT FLE	9	98,41	2,20	24,09
PO0106	0022	PLEU PLA	1	3,45	0,24	0,84
PO0106	0022	POMA MIN	2	5,43	0,49	1,33
PO0106	0022	ZOAR VIV	1	13,54	0,24	3,31
PO0106	0023	GAST ACU	1	2,79	0,17	0,48
PO0106	0023	OSME EPE	8	50,66	1,39	8,78
PO0106	0023	PLAT FLE	2	103,86	0,35	17,99
PO0106	0023	PLEU PLA	6	15,74	1,04	2,73
PO0106	0023	POMA MIN	3	7,08	0,52	1,23
PO0106	0024	CLUP HAR	38	250,81	7,77	51,31
PO0106	0024	GAST ACU	6	13,07	1,23	2,67
PO0106	0024	MYOX SCO	1	32,50	0,20	6,65
PO0106	0024	OSME EPE	82	332,58	16,78	68,04
PO0106	0024	PLAT FLE	3	42,05	0,61	8,60
PO0106	0024	PLEU PLA	3	17,98	0,61	3,68
PO0106	0024	POMA MIN	10	29,52	2,05	6,04
PO0106	0024	SPRA SPR	3	14,26	0,61	2,92
PO0106	0025	CLUP HAR	13	89,02	1,78	12,20
PO0106	0025	GAST ACU	10	27,46	1,37	3,76
PO0106	0025	OSME EPE	24	123,49	3,29	16,92
PO0106	0025	PLAT FLE	1	7,86	0,14	1,08
PO0106	0025	PLEU PLA	1	2,83	0,14	0,39
PO0106	0025	POMA MIN	1	3,33	0,14	0,46
PO0106	0025	SPRA SPR	4	24,38	0,55	3,34
PO0106	0026	GAST ACU	1	2,41	0,18	0,42
PO0106	0026	OSME EPE	17	74,12	2,99	13,04
PO0106	0026	PLAT FLE	2	9,55	0,35	1,68
PO0106	0026	PLEU PLA	1	6,15	0,18	1,08
PO0106	0026	SPRA SPR	4	11,19	0,70	1,97
PO0106	0026	ZOAR VIV	1	12,34	0,18	2,17
PO0107	0001	AGON CAT	6	70,98	1,03	12,24
PO0107	0001	CLUP HAR	2	25,50	0,34	4,40
PO0107	0001	MERL MER	2	134,09	0,34	23,13
PO0107	0001	OSME EPE	31	275,67	5,35	47,55
PO0107	0001	PLAT FLE	18	374,10	3,10	64,53
PO0107	0001	PLEU PLA	1	5,53	0,17	0,95
PO0107	0001	POMA MIN	40	95,34	6,90	16,44
PO0107	0001	SOLE SOL	4	34,40	0,69	5,93
PO0107	0001	SPRA SPR	4	24,40	0,69	4,21
PO0107	0002	AGON CAT	4	45,27	1,06	11,94
PO0107	0002	ALOS FAL	2	11,88	0,53	3,13

Expedition	Station	Rubincode	Totale Abundanz	Totalgewicht (g)	N / 1000 m ²	g / 1000 m ²
PO0107	0002	CLUP HAR	3	41,93	0,79	11,06
PO0107	0002	GAST ACU	1	2,41	0,26	0,64
PO0107	0002	MYOX SCO	1	18,68	0,26	4,93
PO0107	0002	OSME EPE	26	166,75	6,86	43,99
PO0107	0002	PLAT FLE	31	466,32	8,18	123,01
PO0107	0002	PLEU PLA	19	83,76	5,01	22,10
PO0107	0002	POMA MIC	1	0,81	0,26	0,21
PO0107	0002	POMA MIN	105	212,18	27,70	55,97
PO0107	0002	SPRA SPR	1	2,17	0,26	0,57
PO0107	0002	ZOAR VIV	1	6,91	0,26	1,82
PO0107	0003	AGON CAT	4	80,03	0,61	12,29
PO0107	0003	AMMO LAN	2	13,10	0,31	2,01
PO0107	0003	ATHE PRE	3	11,69	0,46	1,80
PO0107	0003	CLUP HAR	15	108,74	2,30	16,70
PO0107	0003	GAST ACU	1	3,16	0,15	0,49
PO0107	0003	OSME EPE	68	383,61	10,44	58,91
PO0107	0003	PLAT FLE	29	471,92	4,45	72,47
PO0107	0003	PLEU PLA	15	49,39	2,30	7,58
PO0107	0003	POMA MIC	1	1,05	0,15	0,16
PO0107	0003	POMA MIN	290	482,82	44,54	74,15
PO0107	0003	SYNG ROS	1	0,51	0,15	0,08
PO0107	0004	ALOS FAL	15	92,88	2,31	14,29
PO0107	0004	ATHE PRE	8	27,26	1,23	4,19
PO0107	0004	CLUP HAR	18	80,77	2,77	12,43
PO0107	0004	GAST ACU	5	13,09	0,77	2,01
PO0107	0004	OSME EPE	33	323,98	5,08	49,84
PO0107	0004	PLAT FLE	12	132,38	1,85	20,37
PO0107	0004	PLEU PLA	17	36,88	2,62	5,67
PO0107	0004	POMA MIC	16	13,22	2,46	2,03
PO0107	0004	POMA MIN	398	647,53	61,23	99,62
PO0107	0004	SPRA SPR	5	13,93	0,77	2,14
PO0107	0004	SYNG ROS	11	3,41	1,69	0,52
PO0107	0005	AGON CAT	1	3,16	0,19	0,61
PO0107	0005	ALOS FAL	5	31,09	0,96	5,98
PO0107	0005	AMMO LAN	3	18,22	0,58	3,51
PO0107	0005	ATHE PRE	1	3,04	0,19	0,58
PO0107	0005	CLUP HAR	4	21,89	0,77	4,21
PO0107	0005	OSME EPE	20	303,21	3,85	58,33
PO0107	0005	PLAT FLE	7	127,92	1,35	24,61
PO0107	0005	PLEU PLA	8	20,85	1,54	4,01
PO0107	0005	POMA MIN	18	43,47	3,46	8,36
PO0107	0005	SPRA SPR	2	8,79	0,38	1,69
PO0107	0005	SYNG ROS	3	0,66	0,58	0,13
PO0107	0008	AGON CAT	3	2,78	0,51	0,47
PO0107	0008	ALOS FAL	6	21,45	1,01	3,62
PO0107	0008	AMMO LAN	1	4,56	0,17	0,77
PO0107	0008	LIMA LIM	1	96,42	0,17	16,29
PO0107	0008	MYOX SCO	1	100,00	0,17	16,89
PO0107	0008	OSME EPE	27	227,46	4,56	38,42
PO0107	0008	PLAT FLE	28	567,47	4,73	95,86
PO0107	0008	PLEU PLA	7	19,89	1,18	3,36
PO0107	0008	POMA MIN	92	198,15	15,54	33,47
PO0107	0008	SCOP RHO	1	20,00	0,17	3,38
PO0107	0008	SPRA SPR	2	14,37	0,34	2,43
PO0107	0008	SYNG ROS	2	0,46	0,34	0,08
PO0107	0009	ALOS FAL	3	15,74	0,56	2,96
PO0107	0009	CLUP HAR	2	13,28	0,38	2,50

Expedition	Station	Rubincode	Totale Abundanz	Totalgewicht (g)	N / 1000 m ²	g / 1000 m ²
PO0107	0009	CLUPEIDX	1	0,84	0,19	0,16
PO0107	0009	LIMA LIM	1	134,37	0,19	25,29
PO0107	0009	PLAT FLE	2	41,80	0,38	7,87
PO0107	0009	PLEU PLA	2	4,71	0,38	0,89
PO0107	0009	POMA MIN	12	17,75	2,26	3,34
PO0107	0009	SYNG ROS	4	1,52	0,75	0,29
PO0107	0010	AGON CAT	6	12,65	1,14	2,40
PO0107	0010	ALOS FAL	1	7,54	0,19	1,43
PO0107	0010	CLUP HAR	4	15,98	0,76	3,03
PO0107	0010	OSME EPE	1	0,91	0,19	0,17
PO0107	0010	PLEU PLA	5	32,03	0,95	6,07
PO0107	0010	POMA MIN	22	39,28	4,17	7,45
PO0107	0010	SPRA SPR	1	1,17	0,19	0,22
PO0107	0010	SYNG ROS	2	0,62	0,38	0,12
PO0107	0011	ALOS FAL	3	23,94	0,60	4,78
PO0107	0011	GAST ACU	1	3,60	0,20	0,72
PO0107	0011	OSME EPE	1	3,33	0,20	0,67
PO0107	0011	PLEU PLA	4	8,33	0,80	1,66
PO0107	0011	POMA MIN	7	17,01	1,40	3,40
PO0107	0011	SPRA SPR	1	0,79	0,20	0,16
PO0107	0012	AGON CAT	5	54,14	0,67	7,24
PO0107	0012	ALOS FAL	12	98,43	1,61	13,17
PO0107	0012	AMMO LAN	1	8,56	0,13	1,15
PO0107	0012	CILI MUS	3	109,28	0,40	14,62
PO0107	0012	GAST ACU	6	16,30	0,80	2,18
PO0107	0012	MERL MER	1	60,00	0,13	8,03
PO0107	0012	OSME EPE	10	70,52	1,34	9,44
PO0107	0012	PLAT FLE	11	192,85	1,47	25,80
PO0107	0012	PLEU PLA	1	2,70	0,13	0,36
PO0107	0012	POMA MIC	1	0,84	0,13	0,11
PO0107	0012	POMA MIN	50	153,43	6,69	20,53
PO0107	0012	SPRA SPR	3	4,51	0,40	0,60
PO0107	0012	SYNG ROS	1	0,28	0,13	0,04
PO0107	0013	ALOS FAL	7	54,82	1,24	9,71
PO0107	0013	GAST ACU	1	3,75	0,18	0,66
PO0107	0013	OSME EPE	7	62,62	1,24	11,09
PO0107	0013	PLAT FLE	5	77,91	0,89	13,80
PO0107	0013	PLEU PLA	3	12,72	0,53	2,25
PO0107	0013	POMA MIN	4	10,92	0,71	1,93
PO0107	0013	SPRA SPR	2	2,10	0,35	0,37
PO0107	0014	ALOS FAL	4	27,71	0,67	4,62
PO0107	0014	CLUP HAR	1	10,28	0,17	1,71
PO0107	0014	MERL MER	1	70,00	0,17	11,66
PO0107	0014	MYOX SCO	7	116,13	1,17	19,35
PO0107	0014	OSME EPE	7	18,10	1,17	3,02
PO0107	0014	PLAT FLE	5	77,71	0,83	12,95
PO0107	0014	PLEU PLA	11	27,82	1,83	4,64
PO0107	0014	POMATOSZ	1	1,41	0,17	0,23
PO0107	0014	POMA MIC	1	0,44	0,17	0,07
PO0107	0014	POMA MIN	130	219,59	21,66	36,59
PO0107	0014	SYNG ROS	1	0,18	0,17	0,03
PO0107	0015	AGON CAT	2	17,65	0,34	2,97
PO0107	0015	ALOS FAL	3	20,78	0,51	3,50
PO0107	0015	CILI MUS	1	28,12	0,17	4,73
PO0107	0015	CLUP HAR	7	39,01	1,18	6,57
PO0107	0015	OSME EPE	53	407,00	8,92	68,53
PO0107	0015	PLAT FLE	45	856,12	7,58	144,15

Expedition	Station	Rubincode	Totale Abundanz	Totalgewicht (g)	N / 1000 m ²	g / 1000 m ²
PO0107	0015	PLEU PLA	9	45,74	1,52	7,70
PO0107	0015	POMA MIN	35	53,50	5,89	9,01
PO0107	0015	SPRA SPR	1	10,07	0,17	1,70
PO0107	0015	SYNG ROS	1	0,41	0,17	0,07
PO0107	0016	AGON CAT	1	16,42	0,24	3,96
PO0107	0016	ATHE PRE	8	24,62	1,93	5,93
PO0107	0016	CLUP HAR	12	68,22	2,89	16,44
PO0107	0016	LIMA LIM	1	22,82	0,24	5,50
PO0107	0016	MYOX SCO	1	42,81	0,24	10,32
PO0107	0016	OSME EPE	21	228,84	5,06	55,15
PO0107	0016	PLAT FLE	8	107,45	1,93	25,89
PO0107	0016	PLEU PLA	5	9,67	1,20	2,33
PO0107	0016	POMA MIC	2	1,83	0,48	0,44
PO0107	0016	POMA MIN	30	65,75	7,23	15,84
PO0107	0017	ATHE PRE	5	22,13	1,13	5,02
PO0107	0017	CLUP HAR	2	12,49	0,45	2,83
PO0107	0017	OSME EPE	7	106,19	1,59	24,09
PO0107	0017	PLAT FLE	2	28,90	0,45	6,56
PO0107	0017	PLEU PLA	61	123,14	13,84	27,94
PO0107	0017	POMA MIC	5	5,56	1,13	1,26
PO0107	0017	POMA MIN	36	68,11	8,17	15,45
PO0107	0019	AGON CAT	1	2,01	0,23	0,47
PO0107	0019	ALOS FAL	1	7,20	0,23	1,68
PO0107	0019	ATHE PRE	52	158,45	12,10	36,87
PO0107	0019	CLUP HAR	2	8,24	0,47	1,92
PO0107	0019	DICE LAB	1	17,81	0,23	4,14
PO0107	0019	GAST ACU	4	9,38	0,93	2,18
PO0107	0019	OSME EPE	5	20,61	1,16	4,80
PO0107	0019	PLAT FLE	4	46,70	0,93	10,87
PO0107	0019	PLEU PLA	31	56,33	7,21	13,11
PO0107	0019	POMA MIC	8	8,02	1,86	1,87
PO0107	0019	POMA MIN	265	492,76	61,67	114,68
PO0107	0019	SPRA SPR	2	3,62	0,47	0,84
PO0107	0019	SYNG ROS	1	0,40	0,23	0,09
PO0107	0020	ATHE PRE	4	14,38	0,69	2,49
PO0107	0020	CLUP HAR	12	97,34	2,08	16,87
PO0107	0020	GAST ACU	2	4,07	0,35	0,71
PO0107	0020	MYOX SCO	1	8,48	0,17	1,47
PO0107	0020	OSME EPE	8	111,54	1,39	19,33
PO0107	0020	PLAT FLE	1	5,94	0,17	1,03
PO0107	0020	PLEU PLA	11	17,62	1,91	3,05
PO0107	0020	POMA MIC	5	4,45	0,87	0,77
PO0107	0020	POMA MIN	45	81,87	7,80	14,19
PO0107	0020	SYNG ROS	1	0,33	0,17	0,06
PO0107	0021	AGON CAT	2	38,96	0,31	6,00
PO0107	0021	ALOS FAL	4	28,91	0,62	4,45
PO0107	0021	CLUP HAR	1	7,27	0,15	1,12
PO0107	0021	OSME EPE	7	12,23	1,08	1,88
PO0107	0021	PLAT FLE	1	31,27	0,15	4,82
PO0107	0021	PLEU PLA	15	23,59	2,31	3,63
PO0107	0021	POMA MIN	23	33,18	3,54	5,11
PO0107	0021	SPRA SPR	2	8,67	0,31	1,34
PO0107	0022	ALOS FAL	1	9,00	0,15	1,39
PO0107	0022	CLUP HAR	2	11,28	0,31	1,75
PO0107	0022	GAST ACU	2	5,16	0,31	0,80
PO0107	0022	MYOX SCO	1	33,37	0,15	5,17
PO0107	0022	PLAT FLE	9	109,90	1,39	17,03

Expedition	Station	Rubincode	Totale Abundanz	Totalgewicht (g)	N / 1000 m ²	g / 1000 m ²
PO0107	0022	PLEU PLA	1	3,53	0,15	0,55
PO0107	0022	POMA MIC	7	8,37	1,08	1,30
PO0107	0022	POMA MIN	56	91,22	8,68	14,14
PO0107	0022	SPRA SPR	2	9,25	0,31	1,43
PO0107	0022	SYNG ROS	2	1,17	0,31	0,18
PO0107	0023	AGON CAT	2	48,00	0,45	10,88
PO0107	0023	CLUP HAR	2	6,48	0,45	1,47
PO0107	0023	DICE LAB	1	16,56	0,23	3,75
PO0107	0023	GAST ACU	1	3,24	0,23	0,73
PO0107	0023	MYOX SCO	4	80,93	0,91	18,35
PO0107	0023	OSME EPE	8	122,91	1,81	27,86
PO0107	0023	PLAT FLE	16	330,81	3,63	74,99
PO0107	0023	PLEU PLA	2	8,02	0,45	1,82
PO0107	0023	POMA MIC	2	1,63	0,45	0,37
PO0107	0023	POMA MIN	56	123,94	12,70	28,10
PO0107	0023	SPRA SPR	2	10,10	0,45	2,29
PO0107	0023	SYNG ROS	1	0,61	0,23	0,14
PO0107	0023	ZOAR VIV	2	38,00	0,45	8,61
PO0107	0025	AGON CAT	1	2,74	0,17	0,46
PO0107	0025	ALOS FAL	1	8,75	0,17	1,48
PO0107	0025	CLUP HAR	1	3,46	0,17	0,59
PO0107	0025	MERL MER	4	257,04	0,68	43,61
PO0107	0025	OSME EPE	8	62,18	1,36	10,55
PO0107	0025	PLAT FLE	15	222,25	2,54	37,71
PO0107	0025	PLEU PLA	4	21,78	0,68	3,70
PO0107	0025	POMA MIN	53	97,12	8,99	16,48
PO0107	0025	SOLE SOL	1	13,17	0,17	2,23
PO0107	0025	SPRA SPR	1	2,26	0,17	0,38
PO0107	0025	SYNG ROS	2	0,59	0,34	0,10
PO0107	0026	AGON CAT	3	48,60	0,52	8,37
PO0107	0026	ALOS FAL	1	7,92	0,17	1,36
PO0107	0026	CLUP HAR	1	6,81	0,17	1,17
PO0107	0026	OSME EPE	70	452,43	12,06	77,93
PO0107	0026	PLAT FLE	20	419,86	3,44	72,32
PO0107	0026	PLEU PLA	2	4,79	0,34	0,83
PO0107	0026	POMA MIC	3	1,69	0,52	0,29
PO0107	0026	POMA MIN	49	87,40	8,44	15,05
PO0107	0027	AGON CAT	1	3,29	0,28	0,93
PO0107	0027	CLUP HAR	6	131,66	1,69	37,14
PO0107	0027	MERL MER	1	120,00	0,28	33,85
PO0107	0027	MYOX SCO	2	43,50	0,56	12,27
PO0107	0027	OSME EPE	3	25,98	0,85	7,33
PO0107	0027	PLAT FLE	31	616,58	8,74	173,93
PO0107	0027	PLEU PLA	33	65,40	9,31	18,45
PO0107	0027	POMA MIC	5	4,84	1,41	1,37
PO0107	0027	POMA MIN	48	76,63	13,54	21,62
PO0107	0027	SYNG ROS	1	0,24	0,28	0,07
PO0107	0027	ZOAR VIV	2	18,50	0,56	5,22
PO0107	0028	AGON CAT	3	25,43	0,45	3,81
PO0107	0028	CLUP HAR	10	80,72	1,50	12,10
PO0107	0028	DICE LAB	2	14,55	0,30	2,18
PO0107	0028	GADU MOR	1	61,62	0,15	9,24
PO0107	0028	LIMA LIM	1	35,63	0,15	5,34
PO0107	0028	OSME EPE	42	261,81	6,30	39,25
PO0107	0028	PLAT FLE	20	435,14	3,00	65,24
PO0107	0028	PLEU PLA	1	8,62	0,15	1,29
PO0107	0028	POMA MIN	40	82,85	6,00	12,42

Expedition	Station	Rubincode	Totale Abundanz	Totalgewicht (g)	N / 1000 m ²	g / 1000 m ²
PO0107	0028	SPRA SPR	2	4,52	0,30	0,68
PO0107	0028	SYNG ROS	1	0,28	0,15	0,04
PO0107	0029	CLUP HAR	7	111,99	1,27	20,27
PO0107	0029	MERL MER	1	60,36	0,18	10,92
PO0107	0029	MYOX SCO	1	12,02	0,18	2,18
PO0107	0029	OSME EPE	19	123,46	3,44	22,34
PO0107	0029	PLAT FLE	2	29,04	0,36	5,26
PO0107	0029	PLEU PLA	1	2,82	0,18	0,51
PO0107	0029	POMA MIN	22	50,96	3,98	9,22
PO0196	000101A	GAST ACU	5	15,37	1,18	3,54
PO0196	000101A	PLAT FLE	5	50,71	1,18	11,67
PO0196	000101A	PLEU PLA	1	2,20	0,23	0,51
PO0196	000201A	PLEU PLA	1	3,80	0,18	0,68
PO0196	000301A	ZOAR VIV	1	16,00	0,17	2,71
PO0196	000401A	PLAT FLE	2	10,70	0,33	1,75
PO0196	000401A	PLEU PLA	8	14,66	1,33	2,39
PO0196	000501A	PLEU PLA	2	4,20	0,31	0,64
PO0196	000601A	OSME EPE	1	3,20	0,18	0,57
PO0196	000601A	PLEU PLA	1	1,60	0,18	0,28
PO0196	000701A	AMMO LAN	1	17,30	0,18	3,10
PO0196	000701A	CLUP HAR	1	2,70	0,18	0,48
PO0196	000701A	GAST ACU	59	163,67	10,65	29,34
PO0196	000701A	OSME EPE	19	119,13	3,33	21,36
PO0196	000701A	PLEU PLA	4	4,08	0,67	0,73
PO0196	000901A	GAST ACU	1	2,30	0,15	0,33
PO0196	000901A	OSME EPE	8	17,40	1,16	2,53
PO0196	000901A	PLEU PLA	1	0,90	0,15	0,13
PO0196	001101A	ANGU ANG	4	36,82	0,93	8,34
PO0196	001101A	CLUP HAR	4	20,86	0,93	4,72
PO0196	001101A	GAST ACU	196	504,41	44,47	114,22
PO0196	001101A	OSME EPE	49	318,27	11,12	72,07
PO0196	001201A	GAST ACU	27	68,25	6,91	17,73
PO0196	001201A	OSME EPE	27	74,45	6,91	19,34
PO0196	001201A	ZOAR VIV	2	29,50	0,52	7,66
PO0196	001301A	CLUP HAR	1	4,80	0,20	0,94
PO0196	001301A	OSME EPE	3	2,80	0,59	0,55
PO0196	001301A	ZOAR VIV	6	117,60	1,17	22,95
PO0196	001401A	GAST ACU	5	15,91	0,96	3,37
PO0196	001401A	OSME EPE	14	43,64	2,89	9,23
PO0196	001401A	PLAT FLE	1	9,20	0,21	1,95
PO0196	001401A	PLEU PLA	9	23,64	1,92	5,00
PO0196	001401A	ZOAR VIV	2	85,20	0,42	18,03
PO0196	001501A	ZOAR VIV	1	10,10	0,20	1,99
PO0196	001601A	GAST ACU	1	2,80	0,22	0,62
PO0196	001601A	OSME EPE	1	3,20	0,22	0,71
PO0196	001601A	PLEU PLA	4	4,30	0,89	0,96
PO0196	001701A	OSME EPE	1	2,60	0,20	0,53
PO0196	001901A	GAST ACU	1	2,40	0,17	0,41
PO0196	001901A	OSME EPE	6	80,90	1,02	13,81
PO0196	001901A	PLEU PLA	1	1,50	0,17	0,26
PO0196	002001A	GAST ACU	1	3,80	0,18	0,67
PO0196	002001A	OSME EPE	4	10,00	0,71	1,77
PO0196	002001A	PLAT FLE	1	9,10	0,18	1,61
PO0196	002101A	AMMO LAN	1	17,80	0,16	2,81
PO0196	002101A	CLUP HAR	1	2,60	0,16	0,41
PO0196	002101A	GAST ACU	15	41,30	2,37	6,53
PO0196	002101A	OSME EPE	34	341,60	5,37	53,98

Expedition	Station	Rubincode	Totale Abundanz	Totalgewicht (g)	N / 1000 m ²	g / 1000 m ²
PO0196	002101A	PLAT FLE	3	10,50	0,47	1,66
PO0197	000101A	AGON CAT	2	3,90	0,41	0,80
PO0197	000101A	CLUPEA Z	33	146,97	6,76	30,07
PO0197	000101A	CLUP HAR	272	1724,04	55,75	352,77
PO0197	000101A	GADU MOR	1	4,50	0,20	0,92
PO0197	000101A	GAST ACU	17	49,54	3,38	10,14
PO0197	000101A	MYOX SCO	2	11,70	0,41	2,39
PO0197	000101A	OSME EPE	1	33,60	0,20	6,88
PO0197	000101A	PLAT FLE	8	87,52	1,69	17,91
PO0197	000101A	PLEU PLA	248	631,65	50,68	129,25
PO0197	000101A	POMA MIN	1362	2440,73	278,77	499,41
PO0197	000101A	SPRA SPR	3	11,20	0,61	2,29
PO0197	000101A	ZOAR VIV	1	12,90	0,20	2,64
PO0197	000201A	AGON CAT	4	6,90	0,67	1,15
PO0197	000201A	CLUP HAR	117	823,13	19,47	137,45
PO0197	000201A	GAST ACU	11	20,19	1,90	3,37
PO0197	000201A	MYOX SCO	3	25,60	0,50	4,27
PO0197	000201A	OSME EPE	17	52,05	2,85	8,69
PO0197	000201A	PLAT FLE	14	80,21	2,37	13,39
PO0197	000201A	PLEU PLA	296	609,24	49,39	101,73
PO0197	000201A	POMA MIN	1126	1945,20	188,08	324,81
PO0197	000201A	SPRA SPR	5	14,80	0,83	2,47
PO0197	000201A	SYNG ROS	3	0,43	0,47	0,07
PO0197	000301A	AGON CAT	2	45,20	0,38	8,57
PO0197	000301A	CLUP HAR	1	3,70	0,19	0,70
PO0197	000301A	GADU MOR	2	39,30	0,38	7,45
PO0197	000301A	GAST ACU	6	20,77	1,09	3,94
PO0197	000301A	PLAT FLE	29	113,08	5,47	21,44
PO0197	000301A	PLEU PLA	1540	2340,00	292,07	443,69
PO0197	000301A	POMA MIN	2025	2734,62	383,96	518,51
PO0197	000301A	SOLE SOL	1	8,70	0,19	1,65
PO0197	000301A	ZOAR VIV	2	23,40	0,38	4,44
PO0197	000401A	CLUPEA Z	21	106,60	4,02	20,40
PO0197	000401A	CLUP HAR	37	214,70	7,08	41,08
PO0197	000401A	GAST ACU	13	26,00	2,49	4,97
PO0197	000401A	OSME EPE	3	31,60	0,57	6,05
PO0197	000401A	PLAT FLE	3	20,00	0,57	3,83
PO0197	000401A	PLEU PLA	78	103,30	14,92	19,77
PO0197	000401A	POMA MIN	116	172,40	22,20	32,99
PO0197	000401A	SPRA SPR	6	24,60	1,15	4,71
PO0197	000401A	ZOAR VIV	1	8,20	0,19	1,57
PO0197	000501A	AGON CAT	7	16,50	1,10	2,59
PO0197	000501A	CLUPEA Z	17	51,60	2,67	8,11
PO0197	000501A	CLUP HAR	132	757,60	20,76	119,14
PO0197	000501A	GADU MOR	3	39,00	0,47	6,13
PO0197	000501A	GAST ACU	10	24,70	1,57	3,88
PO0197	000501A	OSME EPE	9	64,50	1,42	10,14
PO0197	000501A	PLAT FLE	7	48,90	1,10	7,69
PO0197	000501A	PLEU PLA	43	95,60	6,76	15,03
PO0197	000501A	POMA MIN	121	256,70	19,03	40,37
PO0197	000501A	SOLE SOL	1	2,50	0,16	0,39
PO0197	000501A	SPRA SPR	29	74,10	4,56	11,65
PO0197	000501A	SYNG ROS	1	0,17	0,16	0,03
PO0197	000601A	AGON CAT	1	1,80	0,15	0,27
PO0197	000601A	CLUP HAR	96	668,30	14,21	98,94
PO0197	000601A	GAST ACU	28	52,70	4,15	7,80
PO0197	000601A	OSME EPE	8	82,10	1,18	12,16

Expedition	Station	Rubincode	Totale Abundanz	Totalgewicht (g)	N / 1000 m ²	g / 1000 m ²
PO0197	000601A	PLEU PLA	12	16,50	1,78	2,44
PO0197	000601A	POMA MIN	77	156,80	11,40	23,21
PO0197	000601A	SPRA SPR	29	75,10	4,29	11,12
PO0197	000701A	AGON CAT	22	81,70	3,20	11,89
PO0197	000701A	CLUPEA Z	3	4,10	0,44	0,60
PO0197	000701A	CLUP HAR	8	105,70	1,16	15,38
PO0197	000701A	GADU MOR	14	524,00	2,04	76,25
PO0197	000701A	GAST ACU	3	6,50	0,44	0,95
PO0197	000701A	LIMA LIM	11	422,70	1,60	61,51
PO0197	000701A	MERL MER	1	19,20	0,15	2,79
PO0197	000701A	MYOX SCO	4	50,00	0,58	7,28
PO0197	000701A	OSME EPE	4	86,10	0,58	12,53
PO0197	000701A	PLAT FLE	5	128,70	0,73	18,73
PO0197	000701A	PLEU PLA	21	45,30	3,06	6,59
PO0197	000701A	POMA MIN	45	92,10	6,55	13,40
PO0197	000701A	SOLE SOL	4	15,40	0,58	2,24
PO0197	000701A	SPRA SPR	2	10,70	0,29	1,56
PO0197	000901A	AGON CAT	5	62,80	0,89	11,21
PO0197	000901A	AMMO LAN	6	56,23	1,13	10,03
PO0197	000901A	GADU MOR	2	31,10	0,36	5,55
PO0197	000901A	MERL MER	1	2,90	0,18	0,52
PO0197	000901A	OSME EPE	1	2,70	0,18	0,48
PO0197	000901A	PLAT FLE	1	122,90	0,18	21,93
PO0197	000901A	PLEU PLA	13	15,79	2,25	2,82
PO0197	000901A	POMA MIN	44	68,23	7,89	12,17
PO0197	000901A	SOLE SOL	3	26,10	0,54	4,66
PO0197	001101A	AGON CAT	4	77,20	0,98	18,87
PO0197	001101A	BUGL LUT	1	5,00	0,24	1,22
PO0197	001101A	CLUP HAR	7	90,20	1,71	22,05
PO0197	001101A	GADU MOR	5	92,80	1,22	22,68
PO0197	001101A	MYOX SCO	7	93,50	1,71	22,85
PO0197	001101A	PLAT FLE	11	126,80	2,69	30,99
PO0197	001101A	PLEU PLA	157	501,77	38,32	122,64
PO0197	001101A	POMA MIN	131	287,47	31,94	70,26
PO0197	001101A	SOLE SOL	1	2,20	0,24	0,54
PO0197	001101A	ZOAR VIV	6	93,50	1,47	22,85
PO0197	001201A	CLUP HAR	201	1504,25	38,67	289,51
PO0197	001201A	GAST ACU	1	1,40	0,19	0,27
PO0197	001201A	MYOX SCO	3	68,80	0,58	13,24
PO0197	001201A	OSME EPE	7	166,77	1,29	32,10
PO0197	001201A	PLAT FLE	13	50,90	2,58	9,80
PO0197	001201A	PLEU PLA	181	334,87	34,80	64,45
PO0197	001201A	POMA MIN	502	811,73	96,67	156,23
PO0197	001201A	SPRA SPR	13	48,22	2,58	9,28
PO0197	001201A	ZOAR VIV	3	29,50	0,58	5,68
PO0197	001301A	CLUP HAR	19	186,90	4,12	40,51
PO0197	001301A	GADU MOR	4	28,10	0,87	6,09
PO0197	001301A	GAST ACU	1	1,90	0,22	0,41
PO0197	001301A	MYOX SCO	11	213,40	2,38	46,26
PO0197	001301A	OSME EPE	2	42,00	0,43	9,10
PO0197	001301A	POMA MIN	196	293,73	42,45	63,67
PO0197	001301A	SPRA SPR	1	1,90	0,22	0,41
PO0197	001301A	ZOAR VIV	5	44,80	1,08	9,71
PO0197	001401A	AGON CAT	7	13,10	1,55	2,89
PO0197	001401A	CLUPEA Z	2	6,20	0,44	1,37
PO0197	001401A	CLUP HAR	5	40,80	1,10	9,01
PO0197	001401A	GADU MOR	8	191,10	1,77	42,22

Expedition	Station	Rubincode	Totale Abundanz	Totalgewicht (g)	N / 1000 m ²	g / 1000 m ²
PO0197	001401A	PLAT FLE	3	30,50	0,66	6,74
PO0197	001401A	PLEU PLA	14	47,50	3,09	10,49
PO0197	001401A	POMA MIN	54	146,40	11,93	32,35
PO0197	001401A	SOLE SOL	2	7,80	0,44	1,72
PO0197	001401A	SPRA SPR	1	5,40	0,22	1,19
PO0197	001401A	ZOAR VIV	3	38,10	0,66	8,42
PO0197	001601A	AGON CAT	10	22,10	2,25	4,96
PO0197	001601A	CLUPEA Z	2	2,70	0,45	0,61
PO0197	001601A	CLUP HAR	1	3,00	0,22	0,67
PO0197	001601A	GADU MOR	1	4,20	0,22	0,94
PO0197	001601A	GAST ACU	7	12,77	1,59	2,87
PO0197	001601A	OSME EPE	1	15,80	0,22	3,55
PO0197	001601A	PLAT FLE	64	374,56	14,34	84,12
PO0197	001601A	PLEU PLA	326	522,12	73,29	117,26
PO0197	001601A	POMA MIN	1163	1782,02	261,30	400,23
PO0197	001701A	AGON CAT	3	6,80	0,65	1,48
PO0197	001701A	CLUPEA Z	4	11,10	0,87	2,41
PO0197	001701A	CLUP HAR	15	67,50	3,26	14,66
PO0197	001701A	GAST ACU	19	41,50	4,13	9,02
PO0197	001701A	LIMA LIM	1	0,20	0,22	0,04
PO0197	001701A	OSME EPE	4	58,70	0,87	12,75
PO0197	001701A	PLAT FLE	6	31,10	1,30	6,76
PO0197	001701A	PLEU PLA	538	595,40	116,88	129,35
PO0197	001701A	POMA MIN	907	1120,60	197,04	243,44
PO0197	001801A	CLUPEA Z	9	62,97	1,73	12,42
PO0197	001801A	CLUP HAR	9	41,55	1,73	8,20
PO0197	001801A	GADU MOR	1	24,60	0,20	4,85
PO0197	001801A	GAST ACU	31	80,03	6,04	15,79
PO0197	001801A	OSME EPE	9	104,96	1,73	20,70
PO0197	001801A	PLAT FLE	13	97,52	2,59	19,24
PO0197	001801A	PLEU PLA	700	919,24	138,02	181,33
PO0197	001801A	POMA MIN	1023	1563,41	201,86	308,40
PO0197	001801A	SOLE SOL	1	3,00	0,20	0,59
PO0197	001801A	SPRA SPR	1	2,90	0,20	0,57
PO0197	001901A	ARNO LAT	8	13,89	1,53	2,61
PO0197	001901A	CLUP HAR	16	109,50	3,07	20,55
PO0197	001901A	GADU MOR	8	46,58	1,53	8,74
PO0197	001901A	GAST ACU	25	62,92	4,60	11,81
PO0197	001901A	OSME EPE	2	34,30	0,38	6,44
PO0197	001901A	PLAT FLE	49	151,99	9,20	28,52
PO0197	001901A	PLEU PLA	409	482,12	76,68	90,48
PO0197	001901A	POMA MIN	2639	3144,40	495,34	590,12
PO0197	001901A	ZOAR VIV	1	12,90	0,19	2,42
PO0197	002001A	AGON CAT	15	31,70	2,38	5,03
PO0197	002001A	BLIC BJO	1	3,70	0,16	0,59
PO0197	002001A	CLUPEA Z	1	0,60	0,16	0,10
PO0197	002001A	CLUP HAR	8	66,10	1,27	10,50
PO0197	002001A	GADU MOR	22	447,90	3,49	71,12
PO0197	002001A	GAST ACU	1	2,20	0,16	0,35
PO0197	002001A	MYOX SCO	1	56,00	0,16	8,89
PO0197	002001A	OSME EPE	4	81,00	0,64	12,86
PO0197	002001A	PLAT FLE	20	165,00	3,18	26,20
PO0197	002001A	PLEU PLA	46	97,80	7,30	15,53
PO0197	002001A	POMA MIN	39	69,00	6,19	10,96
PO0197	002001A	RUTI RUT	1	12,60	0,16	2,00
PO0197	002001A	SOLE SOL	2	5,80	0,32	0,92
PO0197	002001A	SPRA SPR	2	5,20	0,32	0,83

Expedition	Station	Rubincode	Totale Abundanz	Totalgewicht (g)	N / 1000 m ²	g / 1000 m ²
PO0197	002001A	ZOAR VIV	1	24,70	0,16	3,92
PO0197	002101A	AGON CAT	36	78,00	4,96	10,74
PO0197	002101A	CILI MUS	1	61,10	0,14	8,41
PO0197	002101A	CLUP HAR	6	32,90	0,83	4,53
PO0197	002101A	GADU MOR	4	101,90	0,55	14,03
PO0197	002101A	GAST ACU	2	3,50	0,28	0,48
PO0197	002101A	MERL MER	1	13,40	0,14	1,84
PO0197	002101A	OSME EPE	1	33,20	0,14	4,57
PO0197	002101A	PLAT FLE	5	45,30	0,69	6,24
PO0197	002101A	PLEU PLA	24	52,00	3,30	7,16
PO0197	002101A	POMA MIN	50	85,40	6,88	11,76
PO0197	002201A	AGON CAT	15	30,90	2,74	5,64
PO0197	002201A	ARNO LAT	2	1,84	0,31	0,34
PO0197	002201A	CLUP HAR	4	54,50	0,73	9,95
PO0197	002201A	GADU MOR	2	49,31	0,31	9,00
PO0197	002201A	PLAT FLE	5	25,16	0,92	4,59
PO0197	002201A	PLEU PLA	17	44,78	3,06	8,17
PO0197	002201A	POMA MIN	74	190,19	13,47	34,71
PO0197	002201A	SOLE SOL	1	2,70	0,18	0,49
PO0197	002201A	ZOAR VIV	4	69,80	0,73	12,74
PO0198	0001	AGON CAT	1	1,13	0,16	0,18
PO0198	0001	CLUP HAR	1	2,78	0,16	0,44
PO0198	0001	OSME EPE	2	27,81	0,32	4,41
PO0198	0001	POMA MIN	13	24,79	2,06	3,93
PO0198	0001	SOLE SOL	1	10,17	0,16	1,61
PO0198	0001	SYNG ROS	10	3,06	1,59	0,49
PO0198	0003	AGON CAT	1	11,68	0,18	2,11
PO0198	0003	CLUP HAR	10	57,16	1,80	10,32
PO0198	0003	GAST ACU	1	2,40	0,18	0,43
PO0198	0003	OSME EPE	17	108,29	3,07	19,54
PO0198	0003	PLEU PLA	4	35,86	0,72	6,47
PO0198	0003	POMA MIN	17	47,93	3,07	8,65
PO0198	0004	AGON CAT	2	22,89	0,74	8,51
PO0198	0004	CLUPEA Z	28	6,76	10,41	2,51
PO0198	0004	CLUP HAR	3	10,53	1,12	3,91
PO0198	0004	GAST ACU	1	3,66	0,37	1,36
PO0198	0004	OSME EPE	7	60,49	2,60	22,49
PO0198	0004	PLEU PLA	6	34,62	2,23	12,87
PO0198	0004	POMA MIN	29	56,66	10,78	21,06
PO0198	0004	SYNG ROS	1	0,15	0,37	0,06
PO0198	0005	OSME EPE	2	45,00	0,58	12,94
PO0198	0005	PLAT FLE	2	7,06	0,58	2,03
PO0198	0005	PLEU PLA	1	6,04	0,29	1,74
PO0198	0005	POMA MIN	22	42,48	6,33	12,22
PO0198	0005	ROCC LAB	1	6,42	0,29	1,85
PO0198	0006	AGON CAT	1	4,42	0,20	0,88
PO0198	0006	GAST ACU	19	47,22	3,78	9,38
PO0198	0006	OSME EPE	2	10,46	0,40	2,08
PO0198	0006	PHOL GUN	2	5,34	0,40	1,06
PO0198	0006	PLAT FLE	6	144,88	1,19	28,79
PO0198	0006	PLEU PLA	32	246,36	6,36	48,95
PO0198	0006	POMA MIC	1	0,94	0,20	0,19
PO0198	0006	POMA MIN	71	108,80	14,11	21,62
PO0198	0006	SPRA SPR	1	6,79	0,20	1,35
PO0198	0006	ZOAR VIV	1	10,82	0,20	2,15
PO0198	0007	GAST ACU	1	3,19	0,22	0,69
PO0198	0007	MYOX SCO	1	14,28	0,22	3,11

Expedition	Station	Rubincode	Totale Abundanz	Totalgewicht (g)	N / 1000 m ²	g / 1000 m ²
PO0198	0007	OSME EPE	8	100,21	1,74	21,83
PO0198	0007	PLAT FLE	3	35,82	0,65	7,80
PO0198	0007	PLEU PLA	1	5,01	0,22	1,09
PO0198	0007	POMA MIN	29	44,85	6,32	9,77
PO0198	0007	ZOAR VIV	1	6,42	0,22	1,40
PO0198	0009	AGON CAT	1	2,63	0,17	0,45
PO0198	0009	OSME EPE	12	76,12	2,03	12,91
PO0198	0009	PLAT FLE	1	55,28	0,17	9,37
PO0198	0009	PLEU PLA	2	8,73	0,34	1,48
PO0198	0009	POMA MIN	23	43,67	3,90	7,41
PO0198	0009	SOLE SOL	1	10,82	0,17	1,83
PO0198	0009	SYNG ROS	1	0,41	0,17	0,07
PO0198	0010	GADU MOR	1	294,89	0,12	34,20
PO0198	0010	MYOX SCO	1	43,93	0,12	5,10
PO0198	0010	OSME EPE	1	20,28	0,12	2,35
PO0198	0010	PLAT FLE	1	76,08	0,12	8,82
PO0198	0010	PLEU PLA	1	6,09	0,12	0,71
PO0198	0010	POMA MIN	31	67,81	3,60	7,87
PO0198	0011	CLUP HAR	1	5,06	0,21	1,06
PO0198	0011	GAST ACU	1	1,73	0,21	0,36
PO0198	0011	MYOX SCO	1	10,69	0,21	2,23
PO0198	0011	OSME EPE	7	116,65	1,46	24,37
PO0198	0011	PLAT FLE	12	186,04	2,51	38,87
PO0198	0011	PLEU PLA	3	23,43	0,63	4,89
PO0198	0011	POMA MIN	19	39,21	3,97	8,19
PO0198	0012	AGON CAT	1	2,53	0,31	0,79
PO0198	0012	CLUP HAR	2	9,01	0,63	2,82
PO0198	0012	OSME EPE	4	23,80	1,25	7,46
PO0198	0012	PLAT FLE	2	22,55	0,63	7,06
PO0198	0012	PLEU PLA	5	35,17	1,57	11,02
PO0198	0012	POMA MIN	16	37,24	5,01	11,67
PO0198	0012	SPRA SPR	2	5,86	0,63	1,84
PO0198	0013	AGON CAT	3	33,36	0,62	6,89
PO0198	0013	MYOX SCO	5	59,90	1,03	12,36
PO0198	0013	OSME EPE	8	114,03	1,65	23,54
PO0198	0013	PLAT FLE	1	37,59	0,21	7,76
PO0198	0013	PLEU PLA	7	45,63	1,44	9,42
PO0198	0013	POMA MIN	36	73,53	7,43	15,18
PO0198	0013	ZOAR VIV	4	48,17	0,83	9,94
PO0198	0021	AGON CAT	3	21,08	0,48	3,36
PO0198	0021	CLUP HAR	1	5,68	0,16	0,91
PO0198	0021	GAST ACU	1	1,85	0,16	0,29
PO0198	0021	OSME EPE	6	46,80	0,96	7,46
PO0198	0021	POMA MIN	46	56,61	7,33	9,02
PO0198	0021	SOLE SOL	3	23,28	0,48	3,71
PO0198	0021	SPRA SPR	1	1,39	0,16	0,22
PO0198	0021	SYNG ROS	10	3,68	1,59	0,59
PO0198	0022	AGON CAT	4	24,69	0,96	5,94
PO0198	0022	GAST ACU	1	0,64	0,24	0,15
PO0198	0022	LIMA LIM	6	49,86	1,44	11,99
PO0198	0022	OSME EPE	12	109,28	2,89	26,28
PO0198	0022	PLEU PLA	3	15,52	0,72	3,73
PO0198	0022	POMA MIN	101	148,63	24,29	35,75
PO0198	0022	SYNG ROS	11	4,59	2,65	1,10
PO0198	0025	AGON CAT	1	31,69	0,39	12,50
PO0198	0025	CLUP HAR	5	60,65	1,97	23,93
PO0198	0025	MYOX SCO	2	19,10	0,79	7,53

Expedition	Station	Rubincode	Totale Abundanz	Totalgewicht (g)	N / 1000 m ²	g / 1000 m ²
PO0198	0025	OSME EPE	1	3,80	0,39	1,50
PO0198	0025	PLEU PLA	2	12,97	0,79	5,12
PO0198	0025	POMA MIN	25	44,55	9,86	17,57
PO0198	0025	ROCC LAB	1	5,45	0,39	2,15
PO0198	0025	ZOAR VIV	5	41,05	1,97	16,19
PO0198	0026	AGON CAT	12	64,63	5,24	28,21
PO0198	0026	GAST ACU	1	1,99	0,44	0,87
PO0198	0026	OSME EPE	3	16,01	1,31	6,99
PO0198	0026	PLAT FLE	1	24,41	0,44	10,65
PO0198	0026	PLEU PLA	5	23,72	2,18	10,35
PO0198	0026	POMA MIN	196	478,24	85,55	208,75
PO0198	0026	SYNG ROS	1	0,29	0,44	0,13
PO0198	0026	ZOAR VIV	2	19,87	0,87	8,67
PO0198	0028	AGON CAT	5	12,50	1,09	2,72
PO0198	0028	ARNO LAT	1	2,91	0,22	0,63
PO0198	0028	GAST ACU	5	13,02	1,09	2,83
PO0198	0028	MYOX SCO	9	89,72	1,96	19,50
PO0198	0028	OSME EPE	3	55,27	0,65	12,01
PO0198	0028	PHOL GUN	1	10,58	0,22	2,30
PO0198	0028	PLAT FLE	5	72,30	1,09	15,71
PO0198	0028	PLEU PLA	11	67,95	2,39	14,77
PO0198	0028	POMA MIN	61	133,88	13,26	29,10
PO0198	0032	AGON CAT	2	3,81	0,84	1,60
PO0198	0032	CLUP HAR	10	49,64	4,19	20,80
PO0198	0032	OSME EPE	2	14,11	0,84	5,91
PO0198	0032	POMA MIN	23	56,81	9,64	23,80
PO0198	0032	SYNG ROS	3	1,52	1,26	0,64
PO0198	0033	AGON CAT	1	1,69	0,34	0,57
PO0198	0033	CLUP HAR	1	6,03	0,34	2,05
PO0198	0033	GAST ACU	1	2,50	0,34	0,85
PO0198	0033	MYOX SCO	1	114,72	0,34	39,00
PO0198	0033	OSME EPE	5	45,94	1,70	15,62
PO0198	0033	PLEU PLA	1	5,14	0,34	1,75
PO0198	0033	POMA MIN	25	61,11	8,50	20,77
PO0198	0033	SPRA SPR	1	6,12	0,34	2,08
PO0198	0033	ZOAR VIV	1	4,45	0,34	1,51
PO0198	0034	AGON CAT	1	3,49	0,41	1,45
PO0198	0034	GAST ACU	1	1,38	0,41	0,57
PO0198	0034	OSME EPE	37	367,79	15,33	152,34
PO0198	0034	PLAT FLE	2	124,22	0,83	51,45
PO0198	0034	PLEU PLA	3	18,53	1,24	7,68
PO0198	0034	POMA MIN	6	16,03	2,49	6,64
PO0198	0034	SYNG ROS	1	0,33	0,41	0,14
PO0199	0001	AGON CAT	3	15,61	0,63	3,26
PO0199	0001	CLUP HAR	46	377,75	9,61	78,90
PO0199	0001	GADU MOR	3	136,00	0,63	28,40
PO0199	0001	GAST ACU	10	31,00	2,09	6,47
PO0199	0001	MYOX SCO	2	20,05	0,42	4,19
PO0199	0001	OSME EPE	2	23,53	0,42	4,91
PO0199	0001	PLAT FLE	2	27,75	0,42	5,80
PO0199	0001	PLEU PLA	5	19,90	1,04	4,16
PO0199	0001	POMA MIN	18	23,67	3,76	4,94
PO0199	0001	SPRA SPR	2	20,25	0,42	4,23
PO0199	0001	ZOAR VIV	5	92,16	1,04	19,25
PO0199	0002	CLUP HAR	63	467,92	12,57	93,39
PO0199	0002	GAST ACU	9	19,75	1,80	3,94
PO0199	0002	MYOX SCO	1	15,66	0,20	3,13

Expedition	Station	Rubincode	Totale Abundanz	Totalgewicht (g)	N / 1000 m ²	g / 1000 m ²
PO0199	0002	OSME EPE	19	391,40	3,79	78,12
PO0199	0002	PLAT FLE	4	39,24	0,80	7,83
PO0199	0002	PLEU PLA	4	17,36	0,80	3,46
PO0199	0002	POMA MIN	13	13,07	2,59	2,61
PO0199	0002	SPRA SPR	3	18,33	0,60	3,66
PO0199	0002	ZOAR VIV	1	13,03	0,20	2,60
PO0199	0003	AGON CAT	1	3,97	0,16	0,65
PO0199	0003	CLUP HAR	39	295,05	6,41	48,46
PO0199	0003	GADU MOR	1	62,15	0,16	10,21
PO0199	0003	GAST ACU	8	21,50	1,31	3,53
PO0199	0003	MYOX SCO	17	174,80	2,79	28,71
PO0199	0003	OSME EPE	15	258,48	2,46	42,46
PO0199	0003	PHOL GUN	1	4,49	0,16	0,74
PO0199	0003	PLAT FLE	12	56,70	1,97	9,31
PO0199	0003	PLEU PLA	12	75,50	1,97	12,40
PO0199	0003	POMA MIC	4	2,82	0,66	0,46
PO0199	0003	POMA MIN	25	29,04	4,11	4,77
PO0199	0003	SPRA SPR	1	7,33	0,16	1,20
PO0199	0003	ZOAR VIV	46	603,10	7,56	99,06
PO0199	0004	CLUP HAR	120	628,10	20,31	106,33
PO0199	0004	GAST ACU	6	11,29	1,02	1,91
PO0199	0004	OSME EPE	2	8,66	0,34	1,47
PO0199	0004	PLAT FLE	3	44,07	0,51	7,46
PO0199	0004	PLEU PLA	9	38,70	1,52	6,55
PO0199	0004	POMA MIC	2	1,36	0,34	0,23
PO0199	0004	POMA MIN	200	273,53	33,86	46,30
PO0199	0004	SPRA SPR	11	65,00	1,86	11,00
PO0199	0005	AGON CAT	3	14,81	0,44	2,15
PO0199	0005	CLUP HAR	34	189,87	4,93	27,54
PO0199	0005	GAST ACU	5	12,81	0,73	1,86
PO0199	0005	MYOX SCO	2	39,66	0,29	5,75
PO0199	0005	OSME EPE	8	64,58	1,16	9,37
PO0199	0005	PLAT FLE	2	22,59	0,29	3,28
PO0199	0005	PLEU PLA	7	38,11	1,02	5,53
PO0199	0005	POMA MIC	2	3,10	0,29	0,45
PO0199	0005	POMA MIN	105	104,51	15,23	15,16
PO0199	0005	SPRA SPR	2	19,10	0,29	2,77
PO0199	0006	AGON CAT	3	12,51	0,43	1,81
PO0199	0006	CLUP HAR	69	597,86	9,99	86,60
PO0199	0006	GAST ACU	9	20,87	1,30	3,02
PO0199	0006	LIMA LIM	3	22,63	0,43	3,28
PO0199	0006	MYOX SCO	2	41,68	0,29	6,04
PO0199	0006	OSME EPE	6	40,61	0,87	5,88
PO0199	0006	PLAT FLE	4	96,58	0,58	13,99
PO0199	0006	PLEU PLA	19	97,60	2,75	14,14
PO0199	0006	POMA MIN	33	46,51	4,78	6,74
PO0199	0006	SPRA SPR	21	158,41	3,04	22,94
PO0199	0006	SYNG ROS	1	0,18	0,14	0,03
PO0199	0007	AGON CAT	2	21,28	0,47	5,01
PO0199	0007	CLUP HAR	85	341,15	20,01	80,32
PO0199	0007	MERL MER	1	28,20	0,24	6,64
PO0199	0007	OSME EPE	1	6,61	0,24	1,56
PO0199	0007	PLAT FLE	1	6,58	0,24	1,55
PO0199	0007	PLEU PLA	1	5,62	0,24	1,32
PO0199	0007	POMA MIN	18	25,24	4,24	5,94
PO0199	0007	SPRA SPR	4	36,07	0,94	8,49
PO0199	0008	AGON CAT	10	54,17	1,63	8,81

Expedition	Station	Rubincode	Totale Abundanz	Totalgewicht (g)	N / 1000 m ²	g / 1000 m ²
PO0199	0008	CILI MUS	1	2,45	0,16	0,40
PO0199	0008	CLUP HAR	41	176,68	6,67	28,72
PO0199	0008	GAST ACU	1	2,37	0,16	0,39
PO0199	0008	LIMA LIM	1	29,63	0,16	4,82
PO0199	0008	OSME EPE	2	14,66	0,33	2,38
PO0199	0008	PLAT FLE	1	221,12	0,16	35,95
PO0199	0008	PLEU PLA	2	14,70	0,33	2,39
PO0199	0008	POMATOSZ	1	3,43	0,16	0,56
PO0199	0008	POMA MIN	54	51,80	8,78	8,42
PO0199	0008	SPRA SPR	6	25,19	0,98	4,10
PO0199	0008	SYNG ROS	4	1,52	0,65	0,25
PO0199	0009	AGON CAT	1	3,38	0,17	0,56
PO0199	0009	CLUP HAR	10	59,04	1,67	9,84
PO0199	0009	LIMA LIM	1	34,02	0,17	5,67
PO0199	0009	PLAT FLE	2	359,24	0,33	59,86
PO0199	0009	PLEU PLA	4	13,28	0,67	2,21
PO0199	0009	POMA MIN	2	2,61	0,33	0,43
PO0199	0009	SPRA SPR	2	6,64	0,33	1,11
PO0199	0011	AGON CAT	3	34,54	0,61	7,00
PO0199	0011	CLUP HAR	38	286,48	7,71	58,10
PO0199	0011	GADU MOR	1	48,79	0,20	9,89
PO0199	0011	GAST ACU	6	15,55	1,22	3,15
PO0199	0011	MYOX SCO	9	143,29	1,83	29,06
PO0199	0011	OSME EPE	9	147,67	1,83	29,95
PO0199	0011	PLAT FLE	18	254,53	3,65	51,62
PO0199	0011	PLEU PLA	4	22,84	0,81	4,63
PO0199	0011	POMA MIC	1	0,66	0,20	0,13
PO0199	0011	POMA MIN	9	11,02	1,83	2,23
PO0199	0011	ZOAR VIV	6	110,59	1,22	22,43
PO0199	0012	CLUP HAR	66	666,50	17,46	176,27
PO0199	0012	GAST ACU	10	25,90	2,64	6,85
PO0199	0012	MYOX SCO	1	20,62	0,26	5,45
PO0199	0012	OSME EPE	22	419,48	5,82	110,94
PO0199	0012	PLAT FLE	8	94,74	2,12	25,06
PO0199	0012	PLEU PLA	3	17,13	0,79	4,53
PO0199	0012	POMA MIC	1	1,07	0,26	0,28
PO0199	0012	POMA MIN	8	11,54	2,12	3,05
PO0199	0012	SPRA SPR	5	50,04	1,32	13,23
PO0199	0012	ZOAR VIV	1	13,05	0,26	3,45
PO0199	0013	AGON CAT	1	5,60	0,20	1,10
PO0199	0013	CILI MUS	1	5,15	0,20	1,01
PO0199	0013	CLUP HAR	17	310,58	3,33	60,79
PO0199	0013	GADU MOR	1	14,19	0,20	2,78
PO0199	0013	GAST ACU	3	6,32	0,59	1,24
PO0199	0013	MYOX SCO	9	280,35	1,76	54,87
PO0199	0013	OSME EPE	27	340,41	5,28	66,63
PO0199	0013	PHOL GUN	1	4,59	0,20	0,90
PO0199	0013	PLAT FLE	12	251,52	2,35	49,23
PO0199	0013	PLEU PLA	11	60,92	2,15	11,92
PO0199	0013	POMA MIC	11	10,52	2,15	2,06
PO0199	0013	POMA MIN	86	109,42	16,83	21,42
PO0199	0013	SPRA SPR	4	12,31	0,78	2,41
PO0199	0013	SYNG ROS	2	0,77	0,39	0,15
PO0199	0013	ZOAR VIV	4	37,91	0,78	7,42
PO0199	0014	AGON CAT	1	15,93	0,22	3,43
PO0199	0014	CLUP HAR	8	96,55	1,72	20,80
PO0199	0014	GAST ACU	11	26,42	2,37	5,69

Expedition	Station	Rubincode	Totale Abundanz	Totalgewicht (g)	N / 1000 m ²	g / 1000 m ²
PO0199	0014	MERL MER	1	75,35	0,22	16,24
PO0199	0014	MYOX SCO	2	28,37	0,43	6,11
PO0199	0014	OSME EPE	1	4,71	0,22	1,01
PO0199	0014	PLAT FLE	2	38,05	0,43	8,20
PO0199	0014	PLEU PLA	1	8,98	0,22	1,93
PO0199	0014	POMA MIC	2	2,03	0,43	0,44
PO0199	0014	POMA MIN	48	60,77	10,34	13,09
PO0199	0015	CILI MUS	8	114,54	1,29	18,50
PO0199	0015	CLUP HAR	7	50,20	1,13	8,11
PO0199	0015	GADU MOR	7	440,28	1,13	71,13
PO0199	0015	GAST ACU	40	117,38	6,46	18,96
PO0199	0015	LIMA LIM	1	10,62	0,16	1,72
PO0199	0015	MYOX SCO	25	419,62	4,04	67,79
PO0199	0015	OSME EPE	2	65,12	0,32	10,52
PO0199	0015	PHOL GUN	2	8,46	0,32	1,37
PO0199	0015	PLAT FLE	20	350,71	3,23	56,66
PO0199	0015	PLEU PLA	34	148,73	5,49	24,03
PO0199	0015	POMA MIN	28	47,56	4,52	7,68
PO0199	0015	SOLE SOL	1	15,42	0,16	2,49
PO0199	0015	SPRA SPR	2	3,68	0,32	0,59
PO0199	0015	ZOAR VIV	4	111,63	0,65	18,03
PO0199	0016	CILI MUS	2	14,97	0,45	3,38
PO0199	0016	CLUP HAR	2	16,26	0,45	3,67
PO0199	0016	GAST ACU	29	60,93	6,55	13,77
PO0199	0016	MYOX SCO	1	13,25	0,23	2,99
PO0199	0016	OSME EPE	9	49,57	2,03	11,20
PO0199	0016	PHOL GUN	1	5,77	0,23	1,30
PO0199	0016	PLAT FLE	3	49,84	0,68	11,26
PO0199	0016	PLEU PLA	4	30,02	0,90	6,78
PO0199	0016	POMA MIN	7	5,56	1,58	1,26
PO0199	0016	ZOAR VIV	1	9,13	0,23	2,06
PO0199	0017	CILI MUS	1	2,39	0,22	0,51
PO0199	0017	CLUP HAR	2	16,06	0,43	3,46
PO0199	0017	GAST ACU	2	4,66	0,43	1,00
PO0199	0017	MYOX SCO	2	55,07	0,43	11,85
PO0199	0017	OSME EPE	8	143,82	1,72	30,95
PO0199	0017	PLAT FLE	9	139,69	1,94	30,06
PO0199	0017	PLEU PLA	7	40,10	1,51	8,63
PO0199	0017	POMA MIC	7	5,32	1,51	1,14
PO0199	0017	POMA MIN	55	61,56	11,84	13,25
PO0199	0017	ZOAR VIV	4	62,14	0,86	13,37
PO0199	0018	AGON CAT	2	25,30	0,36	4,50
PO0199	0018	CLUP HAR	47	667,70	8,36	118,75
PO0199	0018	GAST ACU	12	24,90	2,13	4,43
PO0199	0018	LIMA LIM	2	65,24	0,36	11,60
PO0199	0018	MYOX SCO	2	86,40	0,36	15,37
PO0199	0018	OSME EPE	5	64,57	0,89	11,48
PO0199	0018	PLAT FLE	1	12,18	0,18	2,17
PO0199	0018	PLEU PLA	2	7,83	0,36	1,39
PO0199	0018	POMA MIC	1	0,90	0,18	0,16
PO0199	0018	POMA MIN	26	21,81	4,62	3,88
PO0199	0018	SPRA SPR	9	71,69	1,60	12,75
PO0199	0019	AGON CAT	2	13,09	0,35	2,31
PO0199	0019	CLUP HAR	31	379,49	5,47	66,91
PO0199	0019	GAST ACU	7	17,20	1,23	3,03
PO0199	0019	MERL MER	2	79,76	0,35	14,06
PO0199	0019	MYOX SCO	3	232,83	0,53	41,05

Expedition	Station	Rubincode	Totale Abundanz	Totalgewicht (g)	N / 1000 m ²	g / 1000 m ²
PO0199	0019	OSME EPE	11	89,40	1,94	15,76
PO0199	0019	PLEU PLA	2	12,35	0,35	2,18
PO0199	0019	POMA MIN	28	28,56	4,94	5,04
PO0199	0019	SPRA SPR	1	2,24	0,18	0,39
PO0199	0020	CLUP HAR	5	2,09	1,44	0,60
PO0199	0020	CLUP HAR	4	20,87	1,16	6,03
PO0199	0020	GAST ACU	1	2,11	0,29	0,61
PO0199	0020	LIMA LIM	1	1,25	0,29	0,36
PO0199	0020	OSME EPE	1	6,17	0,29	1,78
PO0199	0020	PLEU PLA	4	22,86	1,16	6,60
PO0199	0020	POMA MIC	1	1,12	0,29	0,32
PO0199	0020	POMA MIN	24	26,51	6,93	7,66
PO0199	0020	SPRA SPR	2	7,80	0,58	2,25
PO0199	0021	AGON CAT	2	30,57	0,57	8,77
PO0199	0021	CILI MUS	1	6,43	0,29	1,84
PO0199	0021	GAST ACU	7	18,80	2,01	5,39
PO0199	0021	MYOX SCO	1	13,94	0,29	4,00
PO0199	0021	OSME EPE	2	3,07	0,57	0,88
PO0199	0021	PLAT FLE	7	74,30	2,01	21,31
PO0199	0021	PLEU PLA	9	56,90	2,58	16,32
PO0199	0021	POMA MIC	11	7,10	3,15	2,04
PO0199	0021	POMA MIN	229	352,24	65,66	101,00
PO0199	0022	AGON CAT	4	38,37	0,83	7,99
PO0199	0022	CLUP HAR	34	274,92	7,08	57,25
PO0199	0022	GAST ACU	3	8,26	0,62	1,72
PO0199	0022	LOTIDAEX	3	16,28	0,62	3,39
PO0199	0022	OSME EPE	12	184,45	2,50	38,41
PO0199	0022	PLAT FLE	19	183,47	3,96	38,21
PO0199	0022	PLEU PLA	10	72,77	2,08	15,15
PO0199	0022	POMA MIC	1	0,26	0,21	0,05
PO0199	0022	POMA MIN	22	17,39	4,58	3,62
PO0199	0022	SPRA SPR	2	15,26	0,42	3,18
PO0199	0022	ZOAR VIV	1	15,05	0,21	3,13
PO0200	0001	AGON CAT	2	15,82	0,77	6,10
PO0200	0001	CILI MUS	29	112,38	11,19	43,37
PO0200	0001	CLUP HAR	1	3,38	0,39	1,30
PO0200	0001	HIPP PLA	2	4,13	0,77	1,59
PO0200	0001	LIPA LIP	12	50,33	4,63	19,42
PO0200	0001	MYOX SCO	6	24,93	2,32	9,62
PO0200	0001	OSME EPE	6	153,87	2,32	59,38
PO0200	0001	PLAT FLE	34	1710,00	13,12	659,87
PO0200	0001	PLEU PLA	32	196,90	12,35	75,98
PO0200	0001	POMA MIN	3	8,99	1,16	3,47
PO0200	0001	PSET MAX	1	58,28	0,39	22,49
PO0200	0001	SOLE SOL	4	161,44	1,54	62,30
PO0200	0001	SPRA SPR	2	10,92	0,77	4,21
PO0200	0001	SYNG ROS	13	4,03	5,02	1,56
PO0200	0001	ZOAR VIV	5	111,92	1,93	43,19
PO0200	0002	AGON CAT	1	0,87	0,21	0,19
PO0200	0002	CILI MUS	17	54,59	3,65	11,72
PO0200	0002	CLUP HAR	2	14,11	0,43	3,03
PO0200	0002	LIPA LIP	12	37,11	2,58	7,97
PO0200	0002	MICR KIT	2	5,12	0,43	1,10
PO0200	0002	MYOX SCO	27	103,62	5,80	22,26
PO0200	0002	OSME EPE	7	164,79	1,50	35,39
PO0200	0002	PHOL GUN	1	2,19	0,21	0,47
PO0200	0002	PLAT FLE	10	331,97	2,15	71,30

Expedition	Station	Rubincode	Totale Abundanz	Totalgewicht (g)	N / 1000 m ²	g / 1000 m ²
PO0200	0002	PLEU PLA	161	585,40	34,58	125,73
PO0200	0002	POMA MIN	13	39,89	2,79	8,57
PO0200	0002	SOLE SOL	10	7,27	2,15	1,56
PO0200	0002	SPRA SPR	2	6,57	0,43	1,41
PO0200	0002	SYNG ROS	25	4,16	5,37	0,89
PO0200	0002	ZOAR VIV	63	450,27	13,53	96,71
PO0200	0003	AMMO LAN	1	0,64	0,17	0,11
PO0200	0003	CILI MUS	8	26,77	1,33	4,46
PO0200	0003	CLUPEA Z		13,55	0,00	2,26
PO0200	0003	CLUP HAR	6	44,33	1,00	7,38
PO0200	0003	LIPA LIP	9	28,89	1,50	4,81
PO0200	0003	MYOX SCO	19	76,71	3,16	12,78
PO0200	0003	OSME EPE	8	177,78	1,33	29,61
PO0200	0003	PHOL GUN	1	2,77	0,17	0,46
PO0200	0003	PLAT FLE	19	1084,54	3,16	180,65
PO0200	0003	PLEU PLA	1981	6386,63	329,97	1063,81
PO0200	0003	POMA MIN	14	36,08	2,33	6,01
PO0200	0003	SOLE SOL	3	2,12	0,50	0,35
PO0200	0003	SPRA SPR	3	68,56	0,50	11,42
PO0200	0003	SYNG ROS	31	8,66	5,16	1,44
PO0200	0003	ZOAR VIV	19	164,62	3,16	27,42
PO0200	0004	CILI MUS	3	6,27	0,44	0,92
PO0200	0004	CLUP HAR	4	18,06	0,58	2,64
PO0200	0004	PLEU PLA	181	301,48	26,46	44,08
PO0200	0004	POMA MIN	160	385,87	23,39	56,42
PO0200	0004	SYNG ROS	85	18,61	12,43	2,72
PO0200	0004	ZOAR VIV	1	6,01	0,15	0,88
PO0200	0005	AGON CAT	1	1,26	0,16	0,21
PO0200	0005	CILI MUS	5	15,87	0,82	2,59
PO0200	0005	CLUPEA Z		12,77	0,00	2,08
PO0200	0005	CLUP HAR	13	82,48	2,12	13,45
PO0200	0005	MERL MER	1	1,53	0,16	0,25
PO0200	0005	MYOX SCO	2	12,73	0,33	2,08
PO0200	0005	OSME EPE	1	28,33	0,16	4,62
PO0200	0005	PLEU PLA	53	161,23	8,64	26,30
PO0200	0005	POMA MIN	7	20,95	1,14	3,42
PO0200	0005	SPRA SPR	8	59,58	1,30	9,72
PO0200	0005	SYNG ROS	25	8,45	4,08	1,38
PO0200	0005	ZOAR VIV	2	33,54	0,33	5,47
PO0200	0006	AMMO LAN	3	39,87	0,43	5,71
PO0200	0006	CILI MUS	2	11,27	0,29	1,61
PO0200	0006	CLUPEA Z	1	4,90	0,14	0,70
PO0200	0006	CLUP HAR	10	71,60	1,43	10,26
PO0200	0006	HYPE LAN	2	21,91	0,29	3,14
PO0200	0006	LIPA LIP	5	24,90	0,72	3,57
PO0200	0006	MERL MER	1	8,94	0,14	1,28
PO0200	0006	MYOX SCO	1	2,14	0,14	0,31
PO0200	0006	OSME EPE	16	416,48	2,29	59,67
PO0200	0006	PLEU PLA	50	183,81	7,16	26,34
PO0200	0006	POMA MIN	1	3,39	0,14	0,49
PO0200	0006	SOLE SOL	2	2,06	0,29	0,30
PO0200	0006	SPRA SPR	4	29,11	0,57	4,17
PO0200	0006	SYNG ROS	69	18,62	9,89	2,67
PO0200	0007	AGON CAT	1	0,65	0,24	0,15
PO0200	0007	LIMA LIM	2	60,60	0,47	14,37
PO0200	0007	LIPA LIP	4	25,84	0,95	6,13
PO0200	0007	MERL MER	17	63,34	4,03	15,02

Expedition	Station	Rubincode	Totale Abundanz	Totalgewicht (g)	N / 1000 m ²	g / 1000 m ²
PO0200	0007	PLAT FLE	2	65,99	0,47	15,65
PO0200	0007	PLEU PLA	14	51,70	3,32	12,26
PO0200	0007	POMA MIN	5	5,44	1,19	1,29
PO0200	0007	SPRA SPR	3	17,35	0,71	4,12
PO0200	0007	SYNG ROS	12	11,64	2,85	2,76
PO0200	0008	AGON CAT	5	4,90	1,03	1,01
PO0200	0008	CLUPEA Z	3	18,79	0,62	3,89
PO0200	0008	CLUP HAR	12	93,57	2,48	19,36
PO0200	0008	GADIDAEX	9	24,96	1,86	5,16
PO0200	0008	LIMA LIM	8	221,71	1,66	45,87
PO0200	0008	MERL MER	13	39,24	2,69	8,12
PO0200	0008	MYOX SCO	1	6,51	0,21	1,35
PO0200	0008	OSME EPE	7	82,60	1,45	17,09
PO0200	0008	PLEU PLA	54	221,97	11,17	45,93
PO0200	0008	POMA MIN	5	7,03	1,03	1,45
PO0200	0008	SOLE SOL	1	35,40	0,21	7,32
PO0200	0008	SPRA SPR	9	68,92	1,86	14,26
PO0200	0008	SYNG ROS	64	62,26	13,24	12,88
PO0200	0008	TRIG LUC	1	124,45	0,21	25,75
PO0200	0009	CLUP HAR	2	12,58	0,45	2,83
PO0200	0009	MERL MER	1	2,74	0,22	0,62
PO0200	0009	OSME EPE	1	41,25	0,22	9,27
PO0200	0009	PLAT FLE	1	37,18	0,22	8,36
PO0200	0009	SYNG ROS	1	0,25	0,22	0,06
PO0200	0010	AGON CAT	1	1,21	0,12	0,14
PO0200	0010	CILI MUS	1	4,15	0,12	0,48
PO0200	0010	CLUPEA Z	4	17,36	0,47	2,03
PO0200	0010	CLUP HAR	43	333,70	5,02	38,94
PO0200	0010	EUTR GUR	1	1,07	0,12	0,12
PO0200	0010	GADU MOR	2	10,54	0,23	1,23
PO0200	0010	LIMA LIM	1	11,22	0,12	1,31
PO0200	0010	MERL MER	1	5,08	0,12	0,59
PO0200	0010	MYOX SCO	1	6,18	0,12	0,72
PO0200	0010	OSME EPE	10	174,65	1,17	20,38
PO0200	0010	PLAT FLE	2	106,63	0,23	12,44
PO0200	0010	PLEU PLA	36	81,75	4,20	9,54
PO0200	0010	POMA MIN	33	81,25	3,85	9,48
PO0200	0010	SOLE SOL	1	0,70	0,12	0,08
PO0200	0010	SPRA SPR	19	137,49	2,22	16,04
PO0200	0010	SYNG ROS	65	34,17	7,58	3,99
PO0200	0010	TRAC VIP	2	21,21	0,23	2,47
PO0200	0010	ZOAR VIV	2	15,58	0,23	1,82
PO0200	0011	AGON CAT	4	27,67	0,80	5,51
PO0200	0011	CILI MUS	6	29,74	1,20	5,93
PO0200	0011	CLUP HAR	1	15,69	0,20	3,13
PO0200	0011	LIPA LIP	6	35,55	1,20	7,09
PO0200	0011	MERL MER	8	25,35	1,59	5,05
PO0200	0011	MYOX SCO	1	5,50	0,20	1,10
PO0200	0011	OSME EPE	5	137,06	1,00	27,32
PO0200	0011	PLEU PLA	8	21,38	1,59	4,26
PO0200	0011	SPRA SPR	6	35,95	1,20	7,16
PO0200	0011	SYNG ROS	2	1,91	0,40	0,38
PO0200	0011	ZOAR VIV	1	33,09	0,20	6,59
PO0200	0012	AGON CAT	2	2,16	0,40	0,43
PO0200	0012	CILI MUS	4	15,98	0,80	3,21
PO0200	0012	CLUP HAR	1	7,62	0,20	1,53
PO0200	0012	LIPA LIP	5	21,24	1,01	4,27

Expedition	Station	Rubincode	Totale Abundanz	Totalgewicht (g)	N / 1000 m ²	g / 1000 m ²
PO0200	0012	MYOX SCO	13	55,75	2,61	11,21
PO0200	0012	OSME EPE	1	19,05	0,20	3,83
PO0200	0012	PHOL GUN	3	20,74	0,60	4,17
PO0200	0012	PLAT FLE	3	177,68	0,60	35,72
PO0200	0012	PLEU PLA	38	83,50	7,64	16,79
PO0200	0012	POMA MIN	15	40,46	3,02	8,13
PO0200	0012	SOLE SOL	1	0,97	0,20	0,20
PO0200	0012	SPRA SPR	1	11,33	0,20	2,28
PO0200	0012	SYNG ROS	17	3,73	3,42	0,75
PO0200	0012	ZOAR VIV	4	104,49	0,80	21,01
PO0200	0014	AGON CAT	1	1,08	0,35	0,38
PO0200	0014	CILI MUS	6	8,20	2,12	2,90
PO0200	0014	EUTR GUR	1	0,26	0,35	0,09
PO0200	0014	PLEU PLA	106	282,67	37,47	99,92
PO0200	0014	POMA MIC	1	0,18	0,35	0,06
PO0200	0014	POMA MIN	41	88,70	14,49	31,36
PO0200	0014	SYNG ROS	111	23,78	39,24	8,41
PO0200	0015	CILI MUS	5	9,09	1,25	2,27
PO0200	0015	CLUP HAR	2	14,67	0,50	3,67
PO0200	0015	OSME EPE	1	18,13	0,25	4,54
PO0200	0015	PLAT FLE	1	3,31	0,25	0,83
PO0200	0015	PLEU PLA	29	73,42	7,26	18,37
PO0200	0015	POMA MIN	170	492,86	42,53	123,31
PO0200	0015	SPRA SPR	1	4,60	0,25	1,15
PO0200	0015	SYNG ROS	90	19,34	22,52	4,84
PO0200	0016	CILI MUS	9	27,94	1,71	5,29
PO0200	0016	CLUP HAR	1	11,51	0,19	2,18
PO0200	0016	MYOX SCO	33	86,92	6,25	16,47
PO0200	0016	OSME EPE	8	206,85	1,52	39,19
PO0200	0016	PHOL GUN	3	7,12	0,57	1,35
PO0200	0016	PLAT FLE	60	411,52	11,37	77,96
PO0200	0016	PLEU PLA	61	147,00	11,56	27,85
PO0200	0016	POMA MIC	70	34,41	13,26	6,52
PO0200	0016	POMA MIN	324	526,54	61,38	99,75
PO0200	0016	SOLE SOL	1	0,25	0,19	0,05
PO0200	0016	SYNG ROS	37	7,86	7,01	1,49
PO0200	0016	ZOAR VIV	10	66,31	1,89	12,56
PO0200	0017	CILI MUS	5	26,36	0,93	4,89
PO0200	0017	CLUP HAR	4	32,61	0,74	6,05
PO0200	0017	LIPA LIP	11	61,75	2,04	11,46
PO0200	0017	LIPA MON	2	9,25	0,37	1,72
PO0200	0017	MERL MER	1	3,52	0,19	0,65
PO0200	0017	MYOX SCO	14	68,14	2,60	12,65
PO0200	0017	OSME EPE	1	18,93	0,19	3,51
PO0200	0017	PHOL GUN	2	12,47	0,37	2,31
PO0200	0017	PLEU PLA	85	230,05	15,78	42,70
PO0200	0017	POMA MIC	2	0,42	0,37	0,08
PO0200	0017	POMA MIN	90	219,63	16,70	40,76
PO0200	0017	SOLE SOL	5	6,95	0,93	1,29
PO0200	0017	SPRA SPR	1	6,39	0,19	1,19
PO0200	0017	SYNG ROS	46	9,15	8,54	1,70
PO0200	0017	ZOAR VIV	10	132,09	1,86	24,51
PO0200	0018	AGON CAT	1	0,83	0,18	0,15
PO0200	0018	CLUPEA Z	1	10,69	0,18	1,88
PO0200	0018	LIPA LIP	3	18,80	0,53	3,30
PO0200	0018	MERL MER	1	3,72	0,18	0,65
PO0200	0018	MYOX SCO	3	15,67	0,53	2,75

Expedition	Station	Rubincode	Totale Abundanz	Totalgewicht (g)	N / 1000 m ²	g / 1000 m ²
PO0200	0018	OSME EPE	4	96,25	0,70	16,88
PO0200	0018	PLAT FLE	1	6,28	0,18	1,10
PO0200	0018	PLEU PLA	83	219,63	14,56	38,53
PO0200	0018	POMA MIN	6	12,79	1,05	2,24
PO0200	0018	SCOP RHO	1	2,42	0,18	0,42
PO0200	0018	SOLE SOL	3	1,98	0,53	0,35
PO0200	0018	SYNG ROS	8	4,47	1,40	0,78
PO0200	0018	ZOAR VIV	3	56,58	0,53	9,93
PO0200	0019	AGON CAT	6	7,54	1,08	1,36
PO0200	0019	CILI MUS	14	56,31	2,52	10,12
PO0200	0019	LIPA LIP	10	38,54	1,80	6,93
PO0200	0019	MICR KIT	1	2,00	0,18	0,36
PO0200	0019	MYOX SCO	12	68,15	2,16	12,25
PO0200	0019	PHOL GUN	6	17,86	1,08	3,21
PO0200	0019	PLAT FLE	2	117,37	0,36	21,10
PO0200	0019	PLEU PLA	12	19,72	2,16	3,55
PO0200	0019	SOLE SOL	8	158,10	1,44	28,43
PO0200	0019	SYNG ROS	2	0,12	0,36	0,02
PO0200	0019	ZOAR VIV	3	46,32	0,54	8,33
PO0200	0020	CILI MUS	1	0,25	0,20	0,05
PO0200	0020	GADU MOR	1	4,53	0,20	0,92
PO0200	0020	LIPA LIP	1	3,06	0,20	0,62
PO0200	0020	MYOX SCO	39	194,75	7,91	39,51
PO0200	0020	OSME EPE	7	196,63	1,42	39,89
PO0200	0020	PHOL GUN	1	12,95	0,20	2,63
PO0200	0020	PLAT FLE	1	31,89	0,20	6,47
PO0200	0020	PLEU PLA	161	481,85	32,66	97,75
PO0200	0020	POMA MIC	2	0,47	0,41	0,10
PO0200	0020	POMA MIN	30	80,62	6,09	16,35
PO0200	0020	SOLE SOL	1	1,04	0,20	0,21
PO0200	0020	SPRA SPR	4	18,67	0,81	3,79
PO0200	0020	SYNG ROS	28	8,03	5,68	1,63
PO0200	0020	ZOAR VIV	4	26,21	0,81	5,32
PO0200	0021	CILI MUS	10	35,38	2,41	8,51
PO0200	0021	LIPA LIP	4	17,66	0,96	4,25
PO0200	0021	MYOX SCO	9	38,75	2,16	9,32
PO0200	0021	OSME EPE	4	99,92	0,96	24,03
PO0200	0021	PHOL GUN	2	7,09	0,48	1,71
PO0200	0021	PLAT FLE	1	4,35	0,24	1,05
PO0200	0021	PLEU PLA	1	7,63	0,24	1,84
PO0200	0021	POMA MIN	5	14,08	1,20	3,39
PO0200	0021	SPRA SPR	1	4,77	0,24	1,15
PO0200	0021	SYNG ROS	8	4,25	1,92	1,02
PO0200	0021	ZOAR VIV	9	86,55	2,16	20,82
PO0200	0022	CILI MUS	8	40,07	1,11	5,55
PO0200	0022	CLUPEA Z	2	11,09	0,28	1,54
PO0200	0022	CLUP HAR	1	12,01	0,14	1,66
PO0200	0022	LIPA LIP	1	3,32	0,14	0,46
PO0200	0022	MICR KIT	1	2,17	0,14	0,30
PO0200	0022	MYOX SCO	3	9,59	0,42	1,33
PO0200	0022	OSME EPE	5	128,43	0,69	17,80
PO0200	0022	PLEU PLA	6	31,17	0,83	4,32
PO0200	0022	POMA MIC	1	0,13	0,14	0,02
PO0200	0022	POMA MIN	11	38,90	1,52	5,39
PO0200	0022	SOLE SOL	4	4,05	0,55	0,56
PO0200	0022	SPRA SPR	2	7,14	0,28	0,99
PO0200	0022	SYNG ROS	89	14,47	12,34	2,01

Expedition	Station	Rubincode	Totale Abundanz	Totalgewicht (g)	N / 1000 m ²	g / 1000 m ²
PO0200	0022	ZOAR VIV	3	71,65	0,42	9,93
PO0200	0023	ANGU ANG	1	26,09	0,17	4,47
PO0200	0023	CILI MUS	18	73,83	3,09	12,66
PO0200	0023	CLUP HAR	14	142,77	2,40	24,49
PO0200	0023	LIPA LIP	3	16,88	0,51	2,89
PO0200	0023	MYOX SCO	35	164,30	6,00	28,18
PO0200	0023	OSME EPE	18	490,72	3,09	84,16
PO0200	0023	PLAT FLE	4	140,63	0,69	24,12
PO0200	0023	PLEU PLA	27	68,04	4,63	11,67
PO0200	0023	POMA MIC	1	0,19	0,17	0,03
PO0200	0023	POMA MIN	104	369,89	17,84	63,44
PO0200	0023	SOLE SOL	4	6,20	0,69	1,06
PO0200	0023	SPRA SPR	6	43,12	1,03	7,40
PO0200	0023	SYNG ROS	44	5,70	7,55	0,98
PO0200	0023	ZOAR VIV	7	88,75	1,20	15,22
PO0200	0024	AGON CAT	1	10,11	0,20	2,02
PO0200	0024	CILI MUS	9	54,66	1,80	10,94
PO0200	0024	CLUP HAR	1	8,32	0,20	1,67
PO0200	0024	LIPA LIP	7	28,50	1,40	5,70
PO0200	0024	MICR KIT	2	4,44	0,40	0,89
PO0200	0024	MYOX SCO	16	79,64	3,20	15,94
PO0200	0024	OSME EPE	24	648,62	4,80	129,82
PO0200	0024	PHOL GUN	2	26,20	0,40	5,24
PO0200	0024	PLAT FLE	1	45,22	0,20	9,05
PO0200	0024	PLEU PLA	19	92,81	3,80	18,58
PO0200	0024	POMA MIC	1	0,14	0,20	0,03
PO0200	0024	POMA MIN	15	35,01	3,00	7,01
PO0200	0024	SOLE SOL	2	2,62	0,40	0,52
PO0200	0024	SYNG ROS	9	3,02	1,80	0,60
PO0200	0024	ZOAR VIV	13	237,01	2,60	47,44
PO0200	0026	AGON CAT	1	1,04	0,19	0,20
PO0200	0026	CILI MUS	6	15,77	1,17	3,07
PO0200	0026	CLUP HAR	6	53,55	1,17	10,41
PO0200	0026	LIPA LIP	6	22,29	1,17	4,33
PO0200	0026	MICR KIT	1	1,21	0,19	0,24
PO0200	0026	MYOX SCO	14	59,69	2,72	11,61
PO0200	0026	OSME EPE	7	221,40	1,36	43,06
PO0200	0026	PHOL GUN	4	16,20	0,78	3,15
PO0200	0026	PLAT FLE	1	7,87	0,19	1,53
PO0200	0026	PLEU PLA	7	17,90	1,36	3,48
PO0200	0026	POMA MIC	54	26,19	10,50	5,09
PO0200	0026	POMA MIN	169	292,24	32,87	56,83
PO0200	0026	SOLE SOL	1	1,37	0,19	0,27
PO0200	0026	SPRA SPR	3	16,37	0,58	3,18
PO0200	0026	SYNG ROS	16	3,78	3,11	0,74
PO0200	0026	ZOAR VIV	2	9,99	0,39	1,94
PO0201	0001	CLUP HAR	5	17,40	1,12	3,88
PO0201	0001	LIPA LIP	17	68,28	3,79	15,23
PO0201	0001	MERL MER	113	400,26	25,20	89,26
PO0201	0001	MICR KIT	1	2,82	0,22	0,63
PO0201	0001	MYOX SCO	247	446,19	55,08	99,51
PO0201	0001	OSME EPE	2	27,95	0,45	6,23
PO0201	0001	PLAT FLE	4	170,76	0,89	38,08
PO0201	0001	PLEU PLA	9	19,10	2,01	4,26
PO0201	0001	POMA MIN	3	5,82	0,67	1,30
PO0201	0001	SOLE SOL	6	343,36	1,34	76,57
PO0201	0001	SPRA SPR	5	19,52	1,12	4,35

Expedition	Station	Rubincode	Totale Abundanz	Totalgewicht (g)	N / 1000 m ²	g / 1000 m ²
PO0201	0001	SYNG ROS	11	5,95	2,45	1,33
PO0201	0001	TRIS LUS	3	26,88	0,67	5,99
PO0201	0001	ZOAR VIV	2	10,21	0,45	2,28
PO0201	0002	ANGU ANG	1	68,73	0,15	10,55
PO0201	0002	CLUP HAR	6	23,55	0,92	3,62
PO0201	0002	MERL MER	161	674,40	24,72	103,56
PO0201	0002	MYOX SCO	12	26,92	1,84	4,13
PO0201	0002	OSME EPE	11	249,44	1,69	38,30
PO0201	0002	PLAT FLE	9	422,80	1,38	64,92
PO0201	0002	PLEU PLA	237	599,95	36,39	92,12
PO0201	0002	SOLE SOL	7	218,39	1,07	33,53
PO0201	0002	SPRA SPR	7	32,13	1,07	4,93
PO0201	0002	SYNG ROS	31	17,86	4,76	2,74
PO0201	0002	ZOAR VIV	6	57,66	0,92	8,85
PO0201	0003	ANGU ANG	1	100,52	0,21	21,42
PO0201	0003	LIPA LIP	1	1,24	0,21	0,26
PO0201	0003	MERL MER	62	271,45	13,21	57,85
PO0201	0003	MICR KIT	3	5,19	0,64	1,11
PO0201	0003	MYOX SCO	10	22,27	2,13	4,75
PO0201	0003	OSME EPE	14	295,30	2,98	62,93
PO0201	0003	PLAT FLE	8	415,65	1,70	88,58
PO0201	0003	PLEU PLA	166	631,14	35,38	134,50
PO0201	0003	SOLE SOL	1	34,98	0,21	7,45
PO0201	0003	SPRA SPR	4	17,30	0,85	3,69
PO0201	0003	SYNG ROS	13	8,02	2,77	1,71
PO0201	0003	TRIS LUS	4	35,90	0,85	7,65
PO0201	0003	ZOAR VIV	8	189,36	1,70	40,35
PO0201	0004	CLUP HAR	538	2232,53	82,54	342,52
PO0201	0004	GADU MOR	3	11,58	0,46	1,78
PO0201	0004	MERL MER	280	1378,20	42,96	211,45
PO0201	0004	OSME EPE	10	93,10	1,53	14,28
PO0201	0004	PLEU PLA	2091	4904,80	320,80	752,50
PO0201	0004	POMA MIN	1	2,70	0,15	0,41
PO0201	0004	SYNG ROS	8	4,05	1,23	0,62
PO0201	0005	CLUP HAR	76	260,21	12,18	41,71
PO0201	0005	GADU MOR	2	11,10	0,32	1,78
PO0201	0005	LIPA LIP	3	12,23	0,48	1,96
PO0201	0005	MERL MER	289	814,00	46,33	130,49
PO0201	0005	MYOX SCO	1	4,40	0,16	0,71
PO0201	0005	OSME EPE	5	121,50	0,80	19,48
PO0201	0005	PLEU PLA	37	88,04	5,93	14,11
PO0201	0005	SOLE SOL	1	0,41	0,16	0,07
PO0201	0005	SPRA SPR	18	72,16	2,89	11,57
PO0201	0005	SYNG ROS	11	6,43	1,76	1,03
PO0201	0006	CLUP HAR	42	139,18	5,04	16,69
PO0201	0006	LIPA LIP	22	86,27	2,64	10,35
PO0201	0006	MERL MER	131	431,08	15,71	51,69
PO0201	0006	MYOX SCO	2	4,95	0,24	0,59
PO0201	0006	OSME EPE	2	72,27	0,24	8,67
PO0201	0006	PLAT FLE	1	31,63	0,12	3,79
PO0201	0006	PLEU PLA	136	308,71	16,31	37,02
PO0201	0006	SOLE SOL	5	143,50	0,60	17,21
PO0201	0006	SPRA SPR	1	3,74	0,12	0,45
PO0201	0006	SYNG ROS	7	3,91	0,84	0,47
PO0201	0007	AMMO LAN	1	5,71	0,21	1,17
PO0201	0007	CLUP HAR	5	30,82	1,03	6,33
PO0201	0007	MERL MER	16	76,27	3,29	15,66

Expedition	Station	Rubincode	Totale Abundanz	Totalgewicht (g)	N / 1000 m ²	g / 1000 m ²
PO0201	0007	MYOX SCO	71	149,29	14,58	30,66
PO0201	0007	OSME EPE	17	253,96	3,49	52,16
PO0201	0007	PLAT FLE	1	41,17	0,21	8,46
PO0201	0007	PLEU PLA	23	47,42	4,72	9,74
PO0201	0007	SPRA SPR	3	11,67	0,62	2,40
PO0201	0007	SYNG ROS	3	1,30	0,62	0,27
PO0201	0007	ZOAR VIV	7	129,45	1,44	26,59
PO0201	0008	CLUP HAR	17	115,06	3,16	21,36
PO0201	0008	MERL MER	39	183,25	7,24	34,02
PO0201	0008	MYOX SCO	35	64,65	6,50	12,00
PO0201	0008	OSME EPE	3	68,43	0,56	12,70
PO0201	0008	PLEU PLA	29	34,68	5,38	6,44
PO0201	0008	POMA MIN	5	12,56	0,93	2,33
PO0201	0008	SOLE SOL	2	142,52	0,37	26,46
PO0201	0008	SPRA SPR	6	30,81	1,11	5,72
PO0201	0008	SYNG ROS	11	6,40	2,04	1,19
PO0201	0008	ZOAR VIV	2	58,55	0,37	10,87
PO0201	0011	CLUP HAR	3	11,76	0,68	2,65
PO0201	0011	LIPA LIP	23	50,37	5,19	11,36
PO0201	0011	MERL MER	16	55,02	3,61	12,40
PO0201	0011	MYOX SCO	8	15,31	1,80	3,45
PO0201	0011	PLEU PLA	277	490,88	62,45	110,67
PO0201	0011	POMA MIN	3	6,26	0,68	1,41
PO0201	0011	SOLE SOL	1	131,15	0,23	29,57
PO0201	0011	SYNG ROS	4	2,03	0,90	0,46
PO0201	0011	ZOAR VIV	1	4,56	0,23	1,03
PO0201	0012	CLUP HAR	8	31,30	1,83	7,14
PO0201	0012	GADU MOR	2	10,05	0,46	2,29
PO0201	0012	LIPA LIP	18	67,41	4,11	15,38
PO0201	0012	MERL MER	16	94,40	3,65	21,54
PO0201	0012	MYOX SCO	18	33,80	4,11	7,71
PO0201	0012	OSME EPE	1	10,40	0,23	2,37
PO0201	0012	PLEU PLA	22	73,44	5,02	16,76
PO0201	0012	POMA MIN	2	3,28	0,46	0,75
PO0201	0012	ZOAR VIV	3	14,16	0,68	3,23
PO0201	0013	CLUP HAR	13	66,38	5,05	25,78
PO0201	0013	LIPA LIP	2	8,86	0,78	3,44
PO0201	0013	MERL MER	31	182,04	12,04	70,71
PO0201	0013	MYOX SCO	4	7,63	1,55	2,96
PO0201	0013	PHOL GUN	2	7,12	0,78	2,77
PO0201	0013	PLAT FLE	1	72,00	0,39	27,97
PO0201	0013	PLEU PLA	137	260,92	53,22	101,35
PO0201	0013	POMA MIN	6	19,96	2,33	7,75
PO0201	0013	SOLE SOL	1	0,27	0,39	0,10
PO0201	0013	SPRA SPR	12	51,27	4,66	19,92
PO0201	0013	SYNG ROS	6	1,88	2,33	0,73
PO0201	0013	ZOAR VIV	2	9,30	0,78	3,61
PO0201	0014	CLUP HAR	4	16,02	1,84	7,37
PO0201	0014	LIPA LIP	1	1,12	0,46	0,52
PO0201	0014	MERL MER	8	40,71	3,68	18,73
PO0201	0014	MYOX SCO	2	4,90	0,92	2,25
PO0201	0014	PLEU PLA	45	77,57	20,70	35,69
PO0201	0014	SYNG ROS	6	3,41	2,76	1,57
PO0201	0015	CLUP HAR	39	164,47	8,79	37,06
PO0201	0015	LIPA LIP	30	61,07	6,76	13,76
PO0201	0015	MERL MER	27	110,98	6,08	25,01
PO0201	0015	MYOX SCO	39	60,23	8,79	13,57

Expedition	Station	Rubincode	Totale Abundanz	Totalgewicht (g)	N / 1000 m ²	g / 1000 m ²
PO0201	0015	PLAT FLE	1	93,91	0,23	21,16
PO0201	0015	PLEU PLA	1010	1615,10	227,59	363,94
PO0201	0015	POMA MIN	10	30,48	2,25	6,87
PO0201	0015	SYNG ROS	16	7,00	3,61	1,58
PO0201	0015	ZOAR VIV	1	8,34	0,23	1,88
PO0201	0016	CLUP HAR	15	61,14	2,78	11,32
PO0201	0016	LIPA LIP	15	18,49	2,78	3,42
PO0201	0016	MERL MER	16	86,60	2,96	16,03
PO0201	0016	MYOX SCO	13	17,86	2,41	3,31
PO0201	0016	OSME EPE	4	64,30	0,74	11,91
PO0201	0016	PHOL GUN	30	21,09	5,55	3,90
PO0201	0016	PLAT FLE	10	581,77	1,85	107,71
PO0201	0016	PLEU PLA	330	742,80	61,10	137,53
PO0201	0016	POMA MIC	1	1,22	0,19	0,23
PO0201	0016	SYNG ROS	12	8,43	2,22	1,56
PO0201	0016	ZOAR VIV	12	75,19	2,22	13,92
PO0201	0017	BELO BEL	1	0,17	0,18	0,03
PO0201	0017	CLUP HAR	4	16,84	0,73	3,07
PO0201	0017	LIPA LIP	1	2,62	0,18	0,48
PO0201	0017	MERL MER	111	440,51	20,21	80,22
PO0201	0017	MYOX SCO	1	40,08	0,18	7,30
PO0201	0017	OSME EPE	2	49,28	0,36	8,97
PO0201	0017	PLEU PLA	56	136,24	10,20	24,81
PO0201	0017	SPRA SPR	3	14,78	0,55	2,69
PO0201	0017	SYNG ROS	2	1,42	0,36	0,26
PO0201	0018	AGON CAT	1	7,86	0,19	1,50
PO0201	0018	LIPA LIP	32	77,80	6,10	14,84
PO0201	0018	MERL MER	333	952,95	63,50	181,73
PO0201	0018	MYOX SCO	10	28,12	1,91	5,36
PO0201	0018	PLEU PLA	669	2179,84	127,58	415,69
PO0201	0018	POMA MIN	1	3,52	0,19	0,67
PO0201	0018	SYNG ROS	55	42,61	10,49	8,13
PO0201	0019	AGON CAT	8	19,48	1,40	3,40
PO0201	0019	CALL LYR	4	31,39	0,70	5,48
PO0201	0019	CLUP HAR	2	8,11	0,35	1,42
PO0201	0019	GADU MOR	2	7,19	0,35	1,26
PO0201	0019	LIPA LIP	15	35,88	2,62	6,26
PO0201	0019	MERL MER	414	1460,90	72,27	255,01
PO0201	0019	MYOX SCO	4	8,50	0,70	1,48
PO0201	0019	PLEU PLA	840	2672,68	146,63	466,54
PO0201	0019	POMA MIN	7	14,54	1,22	2,54
PO0201	0019	SYNG ROS	48	38,93	8,38	6,80
PO0201	0019	TRIG LUC	1	149,83	0,17	26,15
PO0201	0023	CLUP HAR	19	99,69	16,10	84,48
PO0201	0023	GADU MOR	11	52,92	9,32	44,85
PO0201	0023	MERL MER	136	745,40	115,25	631,67
PO0201	0023	MICR KIT	2	2,25	1,69	1,91
PO0201	0023	MYOX SCO	243	470,65	205,92	398,83
PO0201	0023	OSME EPE	15	207,10	12,71	175,50
PO0201	0023	PHOL GUN	2	5,09	1,69	4,31
PO0201	0023	PLAT FLE	3	233,92	2,54	198,23
PO0201	0023	PLEU PLA	233	457,96	197,45	388,09
PO0201	0023	POMA MIN	3	9,38	2,54	7,95
PO0201	0023	SYNG ROS	2	0,96	1,69	0,81
PO0201	0023	ZOAR VIV	15	125,67	12,71	106,50
PO0201	0024	MERL MER	89	304,35	19,15	65,50
PO0201	0024	PLEU PLA	3	6,87	0,65	1,48

Expedition	Station	Rubincode	Totale Abundanz	Totalgewicht (g)	N / 1000 m ²	g / 1000 m ²
PO0201	0024	SYNG ROS	4	3,29	0,86	0,71
PO0201	0024	TRIS LUS	1	15,42	0,22	3,32
PO0201	0025	CLUP HAR	8	30,24	0,96	3,62
PO0201	0025	GADU MOR	1	4,38	0,12	0,52
PO0201	0025	LIPA LIP	2	9,56	0,24	1,15
PO0201	0025	MERL MER	36	133,58	4,31	16,00
PO0201	0025	OSME EPE	2	31,77	0,24	3,81
PO0201	0025	PLAT FLE	1	27,58	0,12	3,30
PO0201	0025	PLEU PLA	29	131,01	3,47	15,70
PO0201	0025	SOLE SOL	2	71,61	0,24	8,58
PO0201	0025	SPRA SPR	9	43,30	1,08	5,19
PO0201	0025	SYNG ROS	8	4,61	0,96	0,55
PO0201	0026	CLUP HAR	10	40,47	2,45	9,93
PO0201	0026	GADU MOR	1	5,12	0,25	1,26
PO0201	0026	LIPA LIP	18	72,66	4,42	17,83
PO0201	0026	MERL MER	168	573,80	41,23	140,81
PO0201	0026	MICR KIT	1	1,67	0,25	0,41
PO0201	0026	MYOX SCO	5	70,08	1,23	17,20
PO0201	0026	OSME EPE	3	69,02	0,74	16,94
PO0201	0026	PLAT FLE	2	133,58	0,49	32,78
PO0201	0026	PLEU PLA	22	52,20	5,40	12,81
PO0201	0026	POMA MIN	4	10,97	0,98	2,69
PO0201	0026	SPRA SPR	9	42,09	2,21	10,33
PO0201	0026	SYNG ROS	4	2,82	0,98	0,69
PO0202	0001	CILI MUS	2	4,98	0,54	1,35
PO0202	0001	LIPA LIP	4	10,19	1,08	2,76
PO0202	0001	MICR KIT	6	18,41	1,62	4,98
PO0202	0001	MYOX SCO	2	5,14	0,54	1,39
PO0202	0001	OSME EPE	9	209,75	2,44	56,78
PO0202	0001	PLAT FLE	47	765,13	12,72	207,11
PO0202	0001	SOLE SOL	85	687,91	23,01	186,21
PO0202	0001	SPRA SPR	8	57,85	2,17	15,66
PO0202	0001	ZOAR VIV	11	32,79	2,98	8,88
PO0202	0002	AGON CAT	1	15,41	0,23	3,60
PO0202	0002	CILI MUS	1	1,45	0,23	0,34
PO0202	0002	LIPA LIP	16	42,10	3,74	9,85
PO0202	0002	MICR KIT	1	3,82	0,23	0,89
PO0202	0002	MYOX SCO	27	243,40	6,31	56,93
PO0202	0002	OSME EPE	6	146,92	1,40	34,36
PO0202	0002	PHOL GUN	1	8,39	0,23	1,96
PO0202	0002	PLAT FLE	9	465,17	2,10	108,80
PO0202	0002	PLEU PLA	1	4,22	0,23	0,99
PO0202	0002	POMA MIN	2	8,34	0,47	1,95
PO0202	0002	SOLE SOL	1	37,68	0,23	8,81
PO0202	0002	ZOAR VIV	2	14,84	0,47	3,47
PO0202	0006	CLUPEA Z	9	38,28	1,98	8,43
PO0202	0006	CLUP HAR	9	50,54	1,98	11,13
PO0202	0006	MERL MER	4	17,12	0,88	3,77
PO0202	0006	PLEU PLA	101	127,84	22,25	28,16
PO0202	0006	POMA MIN	2	4,43	0,44	0,98
PO0202	0006	SOLE SOL	4	40,76	0,88	8,98
PO0202	0006	SPRA SPR	12	69,52	2,64	15,32
PO0202	0006	SYNG ROS	6	7,43	1,32	1,64
PO0202	0006	TRIG LUC	1	117,70	0,22	25,93
PO0202	0007	CLUPEA Z	22	62,61	4,35	12,37
PO0202	0007	CLUP HAR	25	131,98	4,94	26,08
PO0202	0007	PLEU PLA	65	310,94	12,84	61,43

Expedition	Station	Rubincode	Totale Abundanz	Totalgewicht (g)	N / 1000 m ²	g / 1000 m ²
PO0202	0007	POMA MIN	1	0,24	0,20	0,05
PO0202	0007	SPRA SPR	16	72,73	3,16	14,37
PO0202	0007	SYNG ROS	11	5,34	2,17	1,06
PO0202	0008	CILI MUS	4	20,09	0,71	3,55
PO0202	0008	CLUPEA Z	5	15,94	0,88	2,82
PO0202	0008	CLUP HAR	4	25,17	0,71	4,45
PO0202	0008	LIPA LIP	1	4,43	0,18	0,78
PO0202	0008	OSME EPE	4	42,78	0,71	7,57
PO0202	0008	PLAT FLE	1	51,42	0,18	9,10
PO0202	0008	PLEU PLA	18	172,22	3,18	30,47
PO0202	0008	SOLE SOL	11	47,41	1,95	8,39
PO0202	0008	SPRA SPR	4	16,52	0,71	2,92
PO0202	0008	SYNG ROS	10	4,41	1,77	0,78
PO0202	0009	CILI MUS	1	1,08	0,22	0,23
PO0202	0009	LIPA LIP	44	56,63	9,47	12,19
PO0202	0009	MYOX SCO	57	340,43	12,26	73,25
PO0202	0009	PHOL GUN	4	24,51	0,86	5,27
PO0202	0009	PLAT FLE	3	194,80	0,65	41,92
PO0202	0009	PLEU PLA	2	10,10	0,43	2,17
PO0202	0009	ZOAR VIV	6	43,18	1,29	9,29
PO0202	0010	CILI MUS	3	10,68	0,86	3,05
PO0202	0010	CLUP HAR	1	3,91	0,29	1,12
PO0202	0010	PHOL GUN	3	8,03	0,86	2,29
PO0202	0010	PLAT FLE	5	653,87	1,43	186,71
PO0202	0010	PLEU PLA	6	12,90	1,71	3,68
PO0202	0010	POMA MIN	3	7,09	0,86	2,02
PO0202	0010	ZOAR VIV	12	78,03	3,43	22,28
PO0202	0011	BELO BEL	1	0,23	0,31	0,07
PO0202	0011	CLUPEA Z	4	7,79	1,22	2,38
PO0202	0011	PLEU PLA	27	71,88	8,25	21,97
PO0202	0011	POMA MIC	2	3,46	0,61	1,06
PO0202	0011	POMA MIN	12	15,96	3,67	4,88
PO0202	0011	SYNG ROS	6	5,30	1,83	1,62
PO0202	0012	OSME EPE	2	84,84	0,50	21,22
PO0202	0012	PLAT FLE	8	444,36	2,00	111,15
PO0202	0012	PLEU PLA	897	2053,29	224,37	513,59
PO0202	0012	POMA MIC	1	1,68	0,25	0,42
PO0202	0012	POMA MIN	26	53,15	6,50	13,29
PO0202	0012	SOLE SOL	2	0,83	0,50	0,21
PO0202	0012	SYNG ROS	1	0,03	0,25	0,01
PO0202	0012	ZOAR VIV	1	6,01	0,25	1,50
PO0202	0013	CLUP HAR	2	8,20	0,40	1,65
PO0202	0013	LIPA LIP	2	12,78	0,40	2,58
PO0202	0013	MYOX SCO	72	424,87	14,52	85,69
PO0202	0013	OSME EPE	4	108,65	0,81	21,91
PO0202	0013	PHOL GUN	2	18,22	0,40	3,67
PO0202	0013	PLAT FLE	16	861,49	3,23	173,76
PO0202	0013	PLEU PLA	20	55,06	4,03	11,11
PO0202	0013	POMA MIN	23	35,04	4,64	7,07
PO0202	0013	SYNG ROS	1	0,23	0,20	0,05
PO0202	0013	ZOAR VIV	22	149,13	4,44	30,08
PO0202	0015	CILI MUS	1	4,42	0,16	0,73
PO0202	0015	CLUPEA Z	1	0,63	0,16	0,10
PO0202	0015	CLUP HAR	1	5,41	0,16	0,89
PO0202	0015	MYOX SCO	5	36,67	0,82	6,04
PO0202	0015	OSME EPE	1	16,89	0,16	2,78
PO0202	0015	PLAT FLE	1	28,04	0,16	4,62

Expedition	Station	Rubincode	Totale Abundanz	Totalgewicht (g)	N / 1000 m ²	g / 1000 m ²
PO0202	0015	PLEU PLA	18	119,12	2,96	19,62
PO0202	0015	SOLE SOL	2	83,71	0,33	13,79
PO0202	0017	LIPA LIP	7	24,69	1,98	7,00
PO0202	0017	PLEU PLA	1	11,74	0,28	3,33
PO0202	0017	SOLE SOL	7	55,68	1,98	15,78
PO0202	0017	SYNG ROS	1	1,09	0,28	0,31
PO0202	0018	CILI MUS	5	11,99	1,00	2,39
PO0202	0018	LIPA LIP	48	112,06	9,57	22,35
PO0202	0018	PHOL GUN	1	4,56	0,20	0,91
PO0202	0018	PLAT FLE	8	389,81	1,60	77,73
PO0202	0018	POMA MIN	1	0,37	0,20	0,07
PO0202	0018	SOLE SOL	1	3,67	0,20	0,73
PO0202	0018	SYNG ACU	1	21,82	0,20	4,35
PO0202	0018	ZOAR VIV	3		0,60	0,00
PO0202	0019	CLUP HAR	6	36,66	0,93	5,71
PO0202	0019	LIPA LIP	3	12,64	0,47	1,97
PO0202	0019	MYOX SCO	4	16,83	0,62	2,62
PO0202	0019	OSME EPE	1	18,07	0,16	2,81
PO0202	0019	PLAT FLE	5	255,33	0,78	39,76
PO0202	0019	PLEU PLA	1	3,42	0,16	0,53
PO0202	0019	POMA MIC	1	1,89	0,16	0,29
PO0202	0019	POMA MIN	1	4,58	0,16	0,71
PO0202	0019	SPRA SPR	2	6,26	0,31	0,97
PO0202	0019	SYNG ROS	6	2,40	0,93	0,37
PO0202	0021	CILI MUS	1	5,18	0,18	0,92
PO0202	0021	CLUP HAR	8	30,53	1,41	5,40
PO0202	0021	OSME EPE	1	19,16	0,18	3,39
PO0202	0021	PLAT FLE	24	1510,90	4,24	267,16
PO0202	0021	PLEU PLA	55	182,01	9,73	32,18
PO0202	0021	POMA MIN	2	3,66	0,35	0,65
PO0202	0021	SOLE SOL	11	277,21	1,95	49,02
PO0202	0021	SYNG ROS	5	3,49	0,88	0,62
PO0202	0022	CILI MUS	12	18,81	1,89	2,96
PO0202	0022	CLUP HAR	8	51,64	1,26	8,13
PO0202	0022	MERL MER	1	7,16	0,16	1,13
PO0202	0022	OSME EPE	2	35,75	0,31	5,63
PO0202	0022	PLAT FLE	4	238,94	0,63	37,60
PO0202	0022	SPRA SPR	2	10,32	0,31	1,62
PO0202	0022	SYNG ROS	6	4,77	0,94	0,75
PO0202	0022	ZOAR VIV	1	8,32	0,16	1,31
PO0202	0023	CILI MUS	18	100,16	2,14	11,93
PO0202	0023	LIPA LIP	12	60,44	1,43	7,20
PO0202	0023	MYOX SCO	5	150,91	0,60	17,98
PO0202	0023	OSME EPE	2	34,77	0,24	4,14
PO0202	0023	PHOL GUN	1	20,05	0,12	2,39
PO0202	0023	PLAT FLE	10	714,60	1,19	85,13
PO0202	0023	PLEU PLA	3	21,65	0,36	2,58
PO0202	0023	SPRA SPR	3	13,52	0,36	1,61
PO0202	0023	SYNG ROS	2	1,75	0,24	0,21
PO0202	0024	CILI MUS	7	46,64	1,90	12,64
PO0202	0024	LIPA LIP	5	26,09	1,36	7,07
PO0202	0024	MYOX SCO	7	105,25	1,90	28,53
PO0202	0024	PHOL GUN	17	77,15	4,61	20,91
PO0202	0024	PLAT FLE	4	247,31	1,08	67,03
PO0202	0024	POMA MIN	1	0,11	0,27	0,03
PO0202	0024	ZOAR VIV	13		3,52	0,00
PO0202	0025	LIPA LIP	3	17,87	0,96	5,74

Expedition	Station	Rubincode	Totale Abundanz	Totalgewicht (g)	N / 1000 m ²	g / 1000 m ²
PO0202	0025	POMA MIN	1	3,50	0,32	1,13
PO0202	0025	SCOP RHO	1	56,04	0,32	18,02
PO0202	0025	SOLE SOL	1	0,27	0,32	0,09
PO0202	0025	SYNG ROS	3	3,06	0,96	0,98
PO0202	0026	CILI MUS	1	2,70	0,18	0,49
PO0202	0026	LIPA LIP	13	57,83	2,35	10,47
PO0202	0026	MYOX SCO	42	214,68	7,60	38,87
PO0202	0026	OSME EPE	1	16,97	0,18	3,07
PO0202	0026	PLAT FLE	1	61,43	0,18	11,12
PO0202	0026	POMA MIN	1	0,12	0,18	0,02
PO0202	0026	SOLE SOL	227	593,96	41,10	107,54
PO0202	0026	SYNG ROS	1	0,23	0,18	0,04
PO0202	0026	ZOAR VIV	2	11,97	0,36	2,17
PO0203	0001	AGON CAT	1	5,88	0,18	1,08
PO0203	0001	AMMO LAN	1	3,57	0,18	0,65
PO0203	0001	CLUP HAR	1	3,83	0,18	0,70
PO0203	0001	LIPA LIP	14	23,89	2,57	4,38
PO0203	0001	MYOX SCO	26	57,69	4,77	10,57
PO0203	0001	OSME EPE	44	822,73	8,06	150,80
PO0203	0001	PLAT FLE	18	1021,90	3,30	187,30
PO0203	0001	PLEU PLA	155	747,74	28,41	137,05
PO0203	0001	POMA MIN	17	48,16	3,12	8,83
PO0203	0001	SOLE SOL	1	12,55	0,18	2,30
PO0203	0001	SYNG ROS	1	0,66	0,18	0,12
PO0203	0001	ZOAR VIV	7	65,58	1,28	12,02
PO0203	0002	CLUPEA Z	4	17,77	0,72	3,19
PO0203	0002	CLUP HAR	2	14,64	0,36	2,63
PO0203	0002	LIPA LIP	8	16,00	1,44	2,88
PO0203	0002	MERL MER	1	9,99	0,18	1,80
PO0203	0002	MYOX SCO	1	3,30	0,18	0,59
PO0203	0002	OSME EPE	50	378,00	8,99	67,95
PO0203	0002	PLAT FLE	70	1123,14	12,58	201,90
PO0203	0002	PLEU PLA	25	94,32	4,49	16,96
PO0203	0002	POMA MIN	12	31,11	2,16	5,59
PO0203	0002	SOLE SOL	1	15,28	0,18	2,75
PO0203	0002	SPRA SPR	1	4,74	0,18	0,85
PO0203	0002	SYNG ROS	4	3,59	0,72	0,65
PO0203	0002	ZOAR VIV	17	372,53	3,06	66,97
PO0203	0003	CLUP HAR	7	36,74	1,58	8,28
PO0203	0003	LIPA LIP	1	2,61	0,23	0,59
PO0203	0003	MERL MER	1	6,96	0,23	1,57
PO0203	0003	MYOX SCO	13	34,12	2,93	7,69
PO0203	0003	OSME EPE	12	205,15	2,70	46,23
PO0203	0003	PLAT FLE	8	884,59	1,80	199,36
PO0203	0003	PLEU PLA	22	68,13	4,96	15,35
PO0203	0003	SOLE SOL	3	55,56	0,68	12,52
PO0203	0003	SYNG ROS	9	8,46	2,03	1,91
PO0203	0003	ZOAR VIV	2	11,01	0,45	2,48
PO0203	0004	CLUP HAR	126	501,36	21,15	84,17
PO0203	0004	PLEU PLA	769	1047,90	129,10	175,92
PO0203	0004	POMA MIN	158	472,68	26,52	79,35
PO0203	0004	SPRA SPR	64	235,66	10,74	39,56
PO0203	0004	SYNG ROS	28	21,82	4,70	3,66
PO0203	0005	AGON CAT	1	0,63	0,16	0,10
PO0203	0005	CLUP HAR	3	10,65	0,49	1,74
PO0203	0005	LIPA LIP	18	47,02	2,94	7,69
PO0203	0005	MERL MER	2	15,94	0,33	2,61

Expedition	Station	Rubincode	Totale Abundanz	Totalgewicht (g)	N / 1000 m ²	g / 1000 m ²
PO0203	0005	MYOX SCO	1	4,31	0,16	0,70
PO0203	0005	OSME EPE	18	282,67	2,94	46,20
PO0203	0005	PLAT FLE	10	92,67	1,63	15,15
PO0203	0005	PLEU PLA	100	189,37	16,35	30,95
PO0203	0005	POMA MIN	2	5,35	0,33	0,87
PO0203	0005	SPRA SPR	2	12,14	0,33	1,98
PO0203	0005	SYNG ROS	9	7,26	1,47	1,19
PO0203	0006	AGON CAT	1	8,06	0,13	1,05
PO0203	0006	CILI MUS	1	17,42	0,13	2,27
PO0203	0006	LIPA LIP	37	73,09	4,82	9,52
PO0203	0006	MERL MER	4	47,93	0,52	6,24
PO0203	0006	MYOX SCO	3	162,73	0,39	21,19
PO0203	0006	OSME EPE	4	108,33	0,52	14,11
PO0203	0006	PLAT FLE	8	528,91	1,04	68,87
PO0203	0006	PLEU PLA	7	20,77	0,91	2,70
PO0203	0006	SOLE SOL	1	186,73	0,13	24,32
PO0203	0006	SYNG ROS	1	1,03	0,13	0,13
PO0203	0007	LIPA LIP	23	62,72	4,95	13,49
PO0203	0007	MERL MER	4	16,16	0,86	3,47
PO0203	0007	PLAT FLE	1	65,41	0,22	14,07
PO0203	0007	PLEU PLA	91	313,54	19,57	67,42
PO0203	0007	POMA MIN	69	143,37	14,84	30,83
PO0203	0007	SOLE SOL	6	184,79	1,29	39,74
PO0203	0007	SPRA SPR	5	19,20	1,08	4,13
PO0203	0007	SYNG ROS	37	37,12	7,96	7,98
PO0203	0008	AGON CAT	1	0,45	0,19	0,09
PO0203	0008	CLUP HAR	2	9,16	0,38	1,74
PO0203	0008	LIPA LIP	11	28,83	2,09	5,46
PO0203	0008	MERL MER	7	39,36	1,33	7,46
PO0203	0008	MICR KIT	1	2,76	0,19	0,52
PO0203	0008	OSME EPE	1	23,64	0,19	4,48
PO0203	0008	PLAT FLE	1	62,08	0,19	11,77
PO0203	0008	PLEU PLA	148	625,41	28,05	118,55
PO0203	0008	POMA MIN	47	99,99	8,91	18,95
PO0203	0008	PSET MAX	2	111,54	0,38	21,14
PO0203	0008	SOLE SOL	2	44,67	0,38	8,47
PO0203	0008	SPRA SPR	2	11,80	0,38	2,24
PO0203	0008	SYNG ACU	1	28,62	0,19	5,43
PO0203	0008	SYNG ROS	118	139,62	22,37	26,47
PO0203	0010	LIMA LIM	1	106,20	0,21	22,53
PO0203	0010	LIPA LIP	3	6,93	0,64	1,47
PO0203	0010	MERL MER	1	13,12	0,21	2,78
PO0203	0010	MYOX SCO	17	42,03	3,61	8,92
PO0203	0010	OSME EPE	8	107,26	1,70	22,75
PO0203	0010	PLAT FLE	160	962,85	33,94	204,23
PO0203	0010	PLEU PLA	61	163,76	12,94	34,74
PO0203	0010	POMA MIN	4	12,63	0,85	2,68
PO0203	0010	SYNG ROS	1	0,63	0,21	0,13
PO0203	0010	ZOAR VIV	5	58,52	1,06	12,41
PO0203	0011	CLUP HAR	25	175,38	6,07	42,61
PO0203	0011	LIPA LIP	1	1,92	0,24	0,47
PO0203	0011	MYOX SCO	151	370,71	36,69	90,07
PO0203	0011	OSME EPE	14	224,70	3,40	54,60
PO0203	0011	PLAT FLE	1	3,33	0,24	0,81
PO0203	0011	PLEU PLA	85	186,53	20,65	45,32
PO0203	0011	POMA MIC	1	2,43	0,24	0,59
PO0203	0011	POMA MIN	32	87,86	7,78	21,35

Expedition	Station	Rubincode	Totale Abundanz	Totalgewicht (g)	N / 1000 m ²	g / 1000 m ²
PO0203	0011	SOLE SOL	1	0,72	0,24	0,17
PO0203	0011	SPRA SPR	4	22,74	0,97	5,53
PO0203	0011	SYNG ROS	2	1,65	0,49	0,40
PO0203	0011	ZOAR VIV	9	97,16	2,19	23,61
PO0203	0012	AMMO LAN	1	5,15	0,22	1,15
PO0203	0012	CLUPEA Z	2	6,92	0,45	1,55
PO0203	0012	LIPA LIP	2	6,48	0,45	1,45
PO0203	0012	MYOX SCO	6	24,50	1,34	5,47
PO0203	0012	OSME EPE	17	310,18	3,80	69,26
PO0203	0012	PLAT FLE	3	145,47	0,67	32,48
PO0203	0012	PLEU PLA	22	68,77	4,91	15,36
PO0203	0012	POMA MIN	10	27,98	2,23	6,25
PO0203	0012	SYNG ROS	2	1,68	0,45	0,38
PO0203	0013	CLUP HAR	3	11,60	0,95	3,66
PO0203	0013	MYOX SCO	2	3,22	0,63	1,02
PO0203	0013	OSME EPE	3	51,65	0,95	16,29
PO0203	0013	PLAT FLE	6	21,21	1,89	6,69
PO0203	0013	PLEU PLA	116	189,97	36,58	59,91
PO0203	0013	POMA MIC	1	1,52	0,32	0,48
PO0203	0013	POMA MIN	114	311,75	35,95	98,31
PO0203	0013	SOLE SOL	1	0,78	0,32	0,25
PO0203	0013	SPRA SPR	1	2,91	0,32	0,92
PO0203	0013	SYNG ROS	15	9,65	4,73	3,04
PO0203	0014	CLUP HAR	2	18,28	0,39	3,60
PO0203	0014	LIPA LIP	2	6,94	0,39	1,37
PO0203	0014	MYOX SCO	10	31,01	1,97	6,11
PO0203	0014	OSME EPE	36	641,46	7,10	126,44
PO0203	0014	PLAT FLE	105	604,06	20,70	119,07
PO0203	0014	PLEU PLA	58	102,88	11,43	20,28
PO0203	0014	POMA MIN	23	70,88	4,53	13,97
PO0203	0014	SPRA SPR	3	23,10	0,59	4,55
PO0203	0014	SYNG ROS	6	2,24	1,18	0,44
PO0203	0014	ZOAR VIV	6	43,87	1,18	8,65
PO0203	0015	CLUP HAR	1	4,47	0,24	1,07
PO0203	0015	MERL MER	2	11,92	0,48	2,84
PO0203	0015	OSME EPE	7	116,40	1,67	27,76
PO0203	0015	PLAT FLE	1	91,79	0,24	21,89
PO0203	0015	PLEU PLA	8	17,45	1,91	4,16
PO0203	0015	SYNG ROS	1	0,69	0,24	0,16
PO0203	0015	TRIS LUS	1	18,57	0,24	4,43
PO0203	0016	GADU MOR	1	11,28	0,12	1,38
PO0203	0016	LIPA LIP	12	52,10	1,47	6,37
PO0203	0016	MERL MER	6	54,66	0,73	6,68
PO0203	0016	MYOX SCO	4	18,37	0,49	2,25
PO0203	0016	OSME EPE	31	590,06	3,79	72,11
PO0203	0016	PLAT FLE	5	456,20	0,61	55,75
PO0203	0016	PLEU PLA	7	24,11	0,86	2,95
PO0203	0016	POMA MIN	6	19,71	0,73	2,41
PO0203	0016	SOLE SOL	6	264,75	0,73	32,36
PO0203	0016	SPRA SPR	3	20,38	0,37	2,49
PO0203	0016	SYNG ROS	6	6,50	0,73	0,79
PO0203	0017	GADU MOR	1	4,58	0,16	0,75
PO0203	0017	LIPA LIP	10	35,05	1,64	5,75
PO0203	0017	MERL MER	12	160,75	1,97	26,38
PO0203	0017	MYOX SCO	1	3,87	0,16	0,64
PO0203	0017	OSME EPE	10	221,35	1,64	36,33
PO0203	0017	PLAT FLE	1	3,93	0,16	0,64

Expedition	Station	Rubincode	Totale Abundanz	Totalgewicht (g)	N / 1000 m ²	g / 1000 m ²
PO0203	0017	PLEU PLA	45	146,32	7,39	24,01
PO0203	0017	POMA MIN	1	4,89	0,16	0,80
PO0203	0017	SPRA SPR	1	2,39	0,16	0,39
PO0203	0017	SYNG ROS	8	10,24	1,31	1,68
PO0203	0017	SYNG TYP	1	1,66	0,16	0,27
PO0203	0018	CLUP HAR	7	66,62	1,17	11,15
PO0203	0018	GADU MOR	35	329,46	5,86	55,13
PO0203	0018	LIPA LIP	123	288,62	20,58	48,30
PO0203	0018	MERL MER	5	51,46	0,84	8,61
PO0203	0018	MYOX SCO	277	979,40	46,35	163,89
PO0203	0018	OSME EPE	96	1795,90	16,06	300,52
PO0203	0018	PHOL GUN	1	13,15	0,17	2,20
PO0203	0018	PLAT FLE	5	279,44	0,84	46,76
PO0203	0018	PLEU PLA	99	305,48	16,57	51,12
PO0203	0018	POMA MIN	9	31,32	1,51	5,24
PO0203	0018	SYNG ROS	2	1,50	0,33	0,25
PO0203	0018	ZOAR VIV	5	74,45	0,84	12,46
PO0203	0019	ANGU ANG	1	342,52	0,17	58,90
PO0203	0019	CLUP HAR	16	75,24	2,75	12,94
PO0203	0019	LIPA LIP	2	6,50	0,34	1,12
PO0203	0019	MERL MER	1	8,86	0,17	1,52
PO0203	0019	OSME EPE	4	63,68	0,69	10,95
PO0203	0019	PLAT FLE	3	317,49	0,52	54,60
PO0203	0019	PLEU PLA	19	40,42	3,27	6,95
PO0203	0019	POMA MIN	1	5,18	0,17	0,89
PO0203	0019	SYNG ROS	21	18,98	3,61	3,26
PO0203	0020	LIPA LIP	8	28,54	1,76	6,29
PO0203	0020	MERL MER	2	15,40	0,44	3,40
PO0203	0020	OSME EPE	2	49,10	0,44	10,83
PO0203	0020	PLAT FLE	1	6,12	0,22	1,35
PO0203	0020	PLEU PLA	73	341,95	16,10	75,40
PO0203	0020	POMA MIN	2	6,08	0,44	1,34
PO0203	0020	SYNG ROS	9	7,06	1,98	1,56
PO0203	0022	CLUP HAR	1	5,78	0,37	2,13
PO0203	0022	LIPA LIP	2	2,03	0,74	0,75
PO0203	0022	MYOX SCO	7	14,92	2,58	5,51
PO0203	0022	OSME EPE	4	67,67	1,48	24,98
PO0203	0022	PLAT FLE	5	78,46	1,85	28,96
PO0203	0022	PLEU PLA	91	284,67	33,59	105,07
PO0203	0022	POMA MIN	42	124,87	15,50	46,09
PO0203	0022	SPRA SPR	1	3,84	0,37	1,42
PO0203	0022	SYNG ROS	7	4,62	2,58	1,71
PO0203	0023	CALL LYR	2	93,92	0,35	16,27
PO0203	0023	LIPA LIP	161	368,79	27,89	63,88
PO0203	0023	MERL MER	5	49,28	0,87	8,54
PO0203	0023	MYOX SCO	13	32,66	2,25	5,66
PO0203	0023	OSME EPE	4	58,13	0,69	10,07
PO0203	0023	PLAT FLE	9	342,72	1,56	59,36
PO0203	0023	PLEU PLA	28	47,52	4,85	8,23
PO0203	0023	POMA MIN	9	24,25	1,56	4,20
PO0203	0023	PSET MAX	1	143,92	0,17	24,93
PO0203	0023	SOLE SOL	1	31,75	0,17	5,50
PO0203	0023	SYNG ROS	3	2,47	0,52	0,43
PO0203	0024	CLUP HAR	7	56,62	1,42	11,49
PO0203	0024	LIPA LIP	2	5,81	0,41	1,18
PO0203	0024	MERL MER	9	59,80	1,83	12,13
PO0203	0024	MYOX SCO	8	18,06	1,62	3,66

Expedition	Station	Rubincode	Totale Abundanz	Totalgewicht (g)	N / 1000 m ²	g / 1000 m ²
PO0203	0024	OSME EPE	26	385,95	5,27	78,30
PO0203	0024	PLAT FLE	1	52,24	0,20	10,60
PO0203	0024	PLEU PLA	44	116,04	8,93	23,54
PO0203	0024	POMA MIN	1	3,52	0,20	0,71
PO0203	0024	SPRA SPR	3	20,45	0,61	4,15
PO0203	0024	SYNG ROS	8	9,46	1,62	1,92
PO0203	0025	CLUP HAR	11	89,05	4,05	32,77
PO0203	0025	LIPA LIP	3	8,65	1,10	3,18
PO0203	0025	MYOX SCO	3	11,37	1,10	4,18
PO0203	0025	OSME EPE	16	302,20	5,89	111,23
PO0203	0025	PLEU PLA	3	18,41	1,10	6,78
PO0203	0025	POMA MIN	1	1,92	0,37	0,71
PO0203	0025	SPRA SPR	7	45,15	2,58	16,62
PO0203	0025	SYNG ROS	4	3,14	1,47	1,16
PO0203	0025	ZOAR VIV	7	179,08	2,58	65,91
PO0203	0026	LIPA LIP	2	3,09	0,67	1,03
PO0203	0026	MERL MER	1	11,58	0,33	3,87
PO0203	0026	OSME EPE	1	15,15	0,33	5,06
PO0203	0026	PLEU PLA	2	2,86	0,67	0,96
PO0203	0026	SPRA SPR	2	10,24	0,67	3,42
PO0203	0026	SYNG ROS	12	11,63	4,01	3,88
PO0203	0027	CLUP HAR	1	5,15	0,27	1,39
PO0203	0027	MERL MER	1	4,81	0,27	1,30
PO0203	0027	MYOX SCO	1	5,62	0,27	1,52
PO0203	0027	OSME EPE	11	159,32	2,98	43,11
PO0203	0027	PLAT FLE	2	119,21	0,54	32,26
PO0203	0027	PLEU PLA	5	10,37	1,35	2,81
PO0203	0027	POMA MIC	1	2,30	0,27	0,62
PO0203	0027	SYNG ROS	2	0,44	0,54	0,12
PO0204	0001	AGON CAT	7	66,92	1,36	13,03
PO0204	0001	CLUP HAR	9	59,95	1,75	11,67
PO0204	0001	LIPA LIP	99	243,70	19,27	47,44
PO0204	0001	MERL MER	1	7,44	0,19	1,45
PO0204	0001	MYOX SCO	11	37,07	2,14	7,22
PO0204	0001	OSME EPE	11	362,37	2,14	70,54
PO0204	0001	PLAT FLE	36	1681,80	7,01	327,39
PO0204	0001	PLEU PLA	2	5,33	0,39	1,04
PO0204	0001	POMA MIN	2	3,59	0,39	0,70
PO0204	0001	SPRA SPR	3	12,66	0,58	2,46
PO0204	0001	SYNG ROS	3	3,56	0,58	0,69
PO0204	0001	TRIS LUS	3	50,49	0,58	9,83
PO0204	0002	AGON CAT	1	9,07	0,28	2,52
PO0204	0002	CALL LYR	1	10,19	0,28	2,83
PO0204	0002	CLUP HAR	2	10,45	0,56	2,91
PO0204	0002	LIPA LIP	78	228,90	21,68	63,63
PO0204	0002	MYOX SCO	41	164,78	11,40	45,81
PO0204	0002	OSME EPE	3	119,30	0,83	33,16
PO0204	0002	PLAT FLE	9	414,10	2,50	115,12
PO0204	0002	PLEU PLA	9	29,40	2,50	8,17
PO0204	0002	POMA MIN	4	7,93	1,11	2,20
PO0204	0002	SOLE SOL	1	27,32	0,28	7,59
PO0204	0002	SYNG ROS	8	1,58	2,22	0,44
PO0204	0003	CILI MUS	2	5,73	0,32	0,90
PO0204	0003	CLUP HAR	2	8,33	0,32	1,31
PO0204	0003	LIMA LIM	3	2,28	0,47	0,36
PO0204	0003	LIPA LIP	11	28,00	1,74	4,42
PO0204	0003	MERL MER	1	5,89	0,16	0,93

Expedition	Station	Rubincode	Totale Abundanz	Totalgewicht (g)	N / 1000 m ²	g / 1000 m ²
PO0204	0003	OSME EPE	4	169,69	0,63	26,78
PO0204	0003	PLAT FLE	15	915,41	2,37	144,46
PO0204	0003	PLEU PLA	31	79,89	4,89	12,61
PO0204	0003	POMA MIN	20	51,62	3,16	8,15
PO0204	0003	SOLE SOL	2	1,55	0,32	0,24
PO0204	0003	SPRA SPR	1	11,83	0,16	1,87
PO0204	0003	SYNG ROS	16	20,12	2,52	3,18
PO0204	0003	ZOAR VIV	4	111,88	0,63	17,66
PO0204	0004	ANGU ANG	1	500,00	0,17	84,16
PO0204	0004	CLUP HAR	29	195,72	4,88	32,94
PO0204	0004	MYOX SCO	1	38,31	0,17	6,45
PO0204	0004	OSME EPE	5	186,74	0,84	31,43
PO0204	0004	PLAT FLE	1	98,00	0,17	16,50
PO0204	0004	PLEU PLA	1090	2195,60	183,47	369,56
PO0204	0004	POMA MIN	22	59,52	3,70	10,02
PO0204	0004	SPRA SPR	20	122,43	3,37	20,61
PO0204	0004	SYNG ROS	55	51,89	9,26	8,73
PO0204	0004	ZOAR VIV	1	15,90	0,17	2,68
PO0204	0005	AGON CAT	1	13,08	0,18	2,37
PO0204	0005	CILI MUS	1	1,80	0,18	0,33
PO0204	0005	CLUP HAR	3	20,47	0,54	3,70
PO0204	0005	GADU MOR	1	2,20	0,18	0,40
PO0204	0005	MYOX SCO	13	158,82	2,35	28,73
PO0204	0005	OSME EPE	3	70,89	0,54	12,83
PO0204	0005	PLAT FLE	2	75,62	0,36	13,68
PO0204	0005	PLEU PLA	338	799,63	61,15	144,67
PO0204	0005	POMA MIN	1	1,41	0,18	0,26
PO0204	0005	SOLE SOL	12	168,35	2,17	30,46
PO0204	0005	SPRA SPR	2	17,74	0,36	3,21
PO0204	0005	SYNG ROS	3	1,67	0,54	0,30
PO0204	0005	TRIS LUS	1	4,43	0,18	0,80
PO0204	0007	AGON CAT	1	11,62	0,17	1,92
PO0204	0007	CILI MUS	5	15,96	0,83	2,64
PO0204	0007	CLUP HAR	10	62,76	1,65	10,37
PO0204	0007	GADU MOR	1	30,04	0,17	4,96
PO0204	0007	LIPA LIP	11	54,22	1,82	8,96
PO0204	0007	MERL MER	4	50,93	0,66	8,42
PO0204	0007	MYOX SCO	28	140,46	4,63	23,21
PO0204	0007	OSME EPE	1	16,43	0,17	2,72
PO0204	0007	PLAT FLE	3	162,12	0,50	26,79
PO0204	0007	PLEU PLA	2	3,88	0,33	0,64
PO0204	0007	POMA MIN	2	3,67	0,33	0,61
PO0204	0007	SYNG ROS	2	1,21	0,33	0,20
PO0204	0007	ZOAR VIV	3	52,04	0,50	8,60
PO0204	0008	CILI MUS	1	34,04	0,22	7,61
PO0204	0008	CLUP HAR	11	39,73	2,46	8,89
PO0204	0008	LIPA LIP	80	362,42	17,89	81,06
PO0204	0008	MYOX SCO	50	442,14	11,18	98,89
PO0204	0008	PHOL GUN	2	20,33	0,45	4,55
PO0204	0008	PLAT FLE	2	104,27	0,45	23,32
PO0204	0008	PLEU PLA	4	6,07	0,89	1,36
PO0204	0008	POMA MIN	9	19,81	2,01	4,43
PO0204	0008	SOLE SOL	1	37,64	0,22	8,42
PO0204	0008	ZOAR VIV	6	183,52	1,34	41,04
PO0204	0009	AGON CAT	1	17,60	0,46	8,06
PO0204	0009	CILI MUS	79	39,52	36,18	18,10
PO0204	0009	CLUP HAR	3	13,96	1,37	6,39

Expedition	Station	Rubincode	Totale Abundanz	Totalgewicht (g)	N / 1000 m ²	g / 1000 m ²
PO0204	0009	GADU MOR	3	53,18	1,37	24,36
PO0204	0009	LIPA LIP	2	6,23	0,92	2,85
PO0204	0009	MYOX SCO	53	324,65	24,27	148,69
PO0204	0009	PHOL GUN	1	12,68	0,46	5,81
PO0204	0009	PLAT FLE	3	145,86	1,37	66,81
PO0204	0009	POMA MIN	2	5,58	0,92	2,56
PO0204	0009	SYNG ROS	3	1,22	1,37	0,56
PO0204	0009	ZOAR VIV	10	228,93	4,58	104,85
PO0204	0010	CILI MUS	10	10,14	2,11	2,14
PO0204	0010	GADU MOR	1	5,33	0,21	1,13
PO0204	0010	LIPA LIP	19	27,10	4,01	5,73
PO0204	0010	MYOX SCO	3	124,51	0,63	26,30
PO0204	0010	PLAT FLE	2	109,17	0,42	23,06
PO0204	0010	PLEU PLA	6	22,37	1,27	4,73
PO0204	0010	POMA MIN	7	17,85	1,48	3,77
PO0204	0010	PSET MAX	1	25,00	0,21	5,28
PO0204	0010	ZOAR VIV	3	47,22	0,63	9,98
PO0204	0011	AMMO LAN	1	2,66	0,18	0,49
PO0204	0011	LIMA LIM	1	1,10	0,18	0,20
PO0204	0011	LIPA LIP	100	210,39	18,44	38,81
PO0204	0011	MYOX SCO	23	242,96	4,24	44,81
PO0204	0011	PLAT FLE	10	634,66	1,84	117,06
PO0204	0011	PLEU PLA	154	279,10	28,41	51,48
PO0204	0011	POMA MIN	15	26,39	2,77	4,87
PO0204	0011	ZOAR VIV	2	10,68	0,37	1,97
PO0204	0012	CLUP HAR	2	10,75	0,33	1,76
PO0204	0012	LIPA LIP	8	22,71	1,31	3,72
PO0204	0012	MYOX SCO	13	610,10	2,13	100,03
PO0204	0012	PLAT FLE	4	169,77	0,66	27,84
PO0204	0012	PLEU PLA	11	24,51	1,80	4,02
PO0204	0012	POMA MIN	1	1,66	0,16	0,27
PO0204	0012	PSET MAX	1	750,00	0,16	122,97
PO0204	0012	SYNG ROS	12	12,59	1,97	2,06
PO0204	0012	ZOAR VIV	1	25,59	0,16	4,20
PO0204	0013	CLUP HAR	2	11,05	0,45	2,47
PO0204	0013	GADU MOR	1	5,98	0,22	1,34
PO0204	0013	MYOX SCO	2	5,84	0,45	1,31
PO0204	0013	OSME EPE	2	83,81	0,45	18,77
PO0204	0013	PLAT FLE	17	844,30	3,81	189,04
PO0204	0013	PLEU PLA	8	31,23	1,79	6,99
PO0204	0013	ZOAR VIV	1	40,00	0,22	8,96
PO0204	0014	CILI MUS	1	2,67	0,21	0,57
PO0204	0014	CLUP HAR	66	443,69	14,19	95,36
PO0204	0014	GADU MOR	1	4,37	0,21	0,94
PO0204	0014	LIPA LIP	1	1,73	0,21	0,37
PO0204	0014	MYOX SCO	4	10,78	0,86	2,32
PO0204	0014	PHOL GUN	1	11,05	0,21	2,37
PO0204	0014	PLAT FLE	66	957,00	14,19	205,68
PO0204	0014	PLEU PLA	20	42,50	4,30	9,13
PO0204	0014	POMA MIN	5	14,38	1,07	3,09
PO0204	0014	SOLE SOL	1	0,75	0,21	0,16
PO0204	0014	SPRA SPR	2	12,78	0,43	2,75
PO0204	0014	ZOAR VIV	9	79,13	1,93	17,01
PO0204	0015	CALL LYR	1	26,17	0,22	5,85
PO0204	0015	CILI MUS	1	0,54	0,22	0,12
PO0204	0015	CLUP HAR	10	69,01	2,24	15,43
PO0204	0015	LIPA LIP	45	112,87	10,06	25,24

Expedition	Station	Rubincode	Totale Abundanz	Totalgewicht (g)	N / 1000 m ²	g / 1000 m ²
PO0204	0015	MYOX SCO	16	414,77	3,58	92,76
PO0204	0015	OSME EPE	4	76,56	0,89	17,12
PO0204	0015	PLAT FLE	18	947,28	4,03	211,86
PO0204	0015	PLEU PLA	18	92,58	4,03	20,71
PO0204	0015	POMA MIN	4	5,67	0,89	1,27
PO0204	0015	SYNG ROS	9	8,91	2,01	1,99
PO0204	0015	ZOAR VIV	2	51,07	0,45	11,42
PO0204	0016	CILI MUS	1	1,59	0,25	0,39
PO0204	0016	CLUP HAR	12	71,35	2,95	17,56
PO0204	0016	MYOX SCO	3	15,17	0,74	3,73
PO0204	0016	OSME EPE	2	39,24	0,49	9,66
PO0204	0016	PHOL GUN	1	3,91	0,25	0,96
PO0204	0016	PLEU PLA	293	679,47	72,11	167,24
PO0204	0016	POMA MIN	46	138,80	11,32	34,16
PO0204	0016	SPRA SPR	1	12,95	0,25	3,19
PO0204	0016	SYNG ROS	8	5,93	1,97	1,46
PO0204	0016	ZOAR VIV	3	97,77	0,74	24,06
PO0204	0017	CLUP HAR	11	73,93	3,97	26,67
PO0204	0017	LIPA LIP	1	2,77	0,36	1,00
PO0204	0017	MYOX SCO	2	8,30	0,72	2,99
PO0204	0017	OSME EPE	2	47,24	0,72	17,04
PO0204	0017	PLAT FLE	16	752,52	5,77	271,45
PO0204	0017	PLEU PLA	605	2104,95	218,24	759,31
PO0204	0017	POMA MIC	1	1,18	0,36	0,43
PO0204	0017	POMA MIN	35	104,64	12,63	37,75
PO0204	0017	SOLE SOL	6	4,53	2,16	1,63
PO0204	0017	SYNG ROS	14	9,93	5,05	3,58
PO0204	0017	ZOAR VIV	4	30,82	1,44	11,12
PO0204	0018	AGON CAT	4	28,80	0,64	4,60
PO0204	0018	CALL LYR	1	6,56	0,16	1,05
PO0204	0018	CILI MUS	2	8,13	0,32	1,30
PO0204	0018	CLUP HAR	14	77,75	2,24	12,42
PO0204	0018	GADU MOR	11	190,70	1,76	30,47
PO0204	0018	LIPA LIP	25	72,64	3,99	11,61
PO0204	0018	MYOX SCO	7	181,50	1,12	29,00
PO0204	0018	OSME EPE	5	137,08	0,80	21,90
PO0204	0018	PHOL GUN	2	25,30	0,32	4,04
PO0204	0018	PLAT FLE	27	1596,00	4,31	255,00
PO0204	0018	PLEU PLA	243	839,22	38,82	134,08
PO0204	0018	POMA MIN	2	4,26	0,32	0,68
PO0204	0018	SOLE SOL	2	1,99	0,32	0,32
PO0204	0018	SYNG ROS	1	1,35	0,16	0,22
PO0204	0018	ZOAR VIV	10	230,49	1,60	36,83
PO0204	0019	CLUP HAR	4	21,03	0,64	3,39
PO0204	0019	LIPA LIP	119	261,90	19,17	42,19
PO0204	0019	MERL MER	1	20,82	0,16	3,35
PO0204	0019	MYOX SCO	7	269,70	1,13	43,45
PO0204	0019	PLAT FLE	2	149,60	0,32	24,10
PO0204	0019	PLEU PLA	24	112,41	3,87	18,11
PO0204	0019	POMA MIN	2	4,21	0,32	0,68
PO0204	0019	SYNG ROS	1	0,81	0,16	0,13
PO0204	0020	AGON CAT	2	16,14	0,34	2,75
PO0204	0020	CLUP HAR	2	10,42	0,34	1,78
PO0204	0020	GADU MOR	1	4,51	0,17	0,77
PO0204	0020	LIPA LIP	18	79,91	3,07	13,62
PO0204	0020	MYOX SCO	2	108,43	0,34	18,48
PO0204	0020	OSME EPE	1	18,04	0,17	3,08

Expedition	Station	Rubincode	Totale Abundanz	Totalgewicht (g)	N / 1000 m ²	g / 1000 m ²
PO0204	0020	PLAT FLE	5	234,30	0,85	39,94
PO0204	0020	PLEU PLA	1	4,47	0,17	0,76
PO0204	0020	SYNG ROS	3	2,79	0,51	0,48
PO0204	0021	AGON CAT	1	8,85	0,15	1,35
PO0204	0021	CLUP HAR	1	4,28	0,15	0,65
PO0204	0021	CLUPEIDX	2	2,94	0,31	0,45
PO0204	0021	GADU MOR	1	4,95	0,15	0,76
PO0204	0021	LIPA LIP	34	142,42	5,19	21,74
PO0204	0021	MYOX SCO	4	170,73	0,61	26,06
PO0204	0021	OSME EPE	3	81,74	0,46	12,48
PO0204	0021	PLAT FLE	17	800,15	2,60	122,15
PO0204	0021	PLEU PLA	118	536,92	18,01	81,97
PO0204	0021	POMA MIN	6	14,65	0,92	2,24
PO0204	0021	SOLE SOL	2	300,00	0,31	45,80
PO0204	0021	SPRA SPR	1	2,23	0,15	0,34
PO0204	0021	SYNG ROS	5	3,43	0,76	0,52
PO0204	0021	ZOAR VIV	1	4,51	0,15	0,69
PO0204	0022	CLUP HAR	4	16,60	0,91	3,77
PO0204	0022	GADU MOR	1	3,13	0,23	0,71
PO0204	0022	LIPA LIP	1	4,96	0,23	1,13
PO0204	0022	OSME EPE	2	59,53	0,45	13,54
PO0204	0022	PLAT FLE	2	132,56	0,45	30,14
PO0204	0022	PLEU PLA	6	13,26	1,36	3,02
PO0204	0022	POMA MIN	2	5,54	0,45	1,26
PO0204	0022	SYNG ROS	2	1,15	0,45	0,26
PO0204	0022	TRIS LUS	1	2,30	0,23	0,52
PO0204	0024	AGON CAT	1	8,05	0,26	2,10
PO0204	0024	CLUP HAR	1	4,97	0,26	1,30
PO0204	0024	LIPA LIP	73	150,05	19,07	39,19
PO0204	0024	MYOX SCO	25	26,14	6,53	6,83
PO0204	0024	OSME EPE	16	460,43	4,18	120,25
PO0204	0024	PLAT FLE	39	2397,80	10,19	626,22
PO0204	0024	PLEU PLA	388	996,41	101,33	260,23
PO0204	0024	POMA MIC	1	1,61	0,26	0,42
PO0204	0024	POMA MIN	9	21,54	2,35	5,63
PO0204	0024	SOLE SOL	1	24,00	0,26	6,27
PO0204	0024	SYNG ROS	2	1,59	0,52	0,42
PO0204	0024	ZOAR VIV	3	90,82	0,78	23,72
PO0205	0001	CILI MUS	2	3,98	0,52	1,04
PO0205	0001	MYOX SCO	3	55,36	0,79	14,50
PO0205	0001	OSME EPE	37	567,39	9,69	148,63
PO0205	0001	PLAT FLE	1	43,37	0,26	11,36
PO0205	0001	PLEU PLA	53	143,57	13,88	37,61
PO0205	0001	POMA MIN	1	0,80	0,26	0,21
PO0205	0001	SOLE SOL	5	3,03	1,31	0,79
PO0205	0001	SPRA SPR	1	3,97	0,26	1,04
PO0205	0001	SYNG ROS	14	12,46	3,67	3,26
PO0205	0002	CILI MUS	1	1,00	0,20	0,20
PO0205	0002	CLUP HAR	3	21,90	0,61	4,48
PO0205	0002	OSME EPE	46	562,42	9,41	115,04
PO0205	0002	PLAT FLE	8	497,69	1,64	101,80
PO0205	0002	PLEU PLA	42	156,33	8,59	31,98
PO0205	0002	POMA MIN	16	34,19	3,27	6,99
PO0205	0002	SOLE SOL	6	4,34	1,23	0,89
PO0205	0002	SYNG ROS	7	5,84	1,43	1,19
PO0205	0002	ZOAR VIV	3	44,20	0,61	9,04
PO0205	0003	CLUP HAR	3	10,13	0,51	1,72

Expedition	Station	Rubincode	Totale Abundanz	Totalgewicht (g)	N / 1000 m ²	g / 1000 m ²
PO0205	0003	OSME EPE	32	378,60	5,43	64,19
PO0205	0003	PLEU PLA	52	210,25	8,82	35,65
PO0205	0003	POMA MIN	10	27,16	1,70	4,61
PO0205	0003	SPRA SPR	2	8,61	0,34	1,46
PO0205	0003	SYNG ROS	25	17,62	4,24	2,99
PO0205	0003	ZOAR VIV	2	13,29	0,34	2,25
PO0205	0004	OSME EPE	8	95,63	1,50	17,94
PO0205	0004	PLEU PLA	153	303,93	28,71	57,02
PO0205	0004	POMA MIN	64	151,35	12,01	28,40
PO0205	0004	SYNG ROS	6	5,41	1,13	1,02
PO0205	0005	OSME EPE	7	63,00	1,69	15,20
PO0205	0005	PLEU PLA	23	63,92	5,55	15,43
PO0205	0005	SYNG ROS	1	0,58	0,24	0,14
PO0205	0006	LIPA LIP	1	4,42	0,13	0,59
PO0205	0006	MERL MER	7	56,18	0,93	7,44
PO0205	0006	OSME EPE	68	1249,40	9,01	165,55
PO0205	0006	PLAT FLE	1	37,32	0,13	4,95
PO0205	0006	PLEU PLA	12	41,14	1,59	5,45
PO0205	0006	POMA MIN	3	5,30	0,40	0,70
PO0205	0006	SYNG ROS	3	3,78	0,40	0,50
PO0205	0007	ARNO LAT	1	3,04	0,19	0,57
PO0205	0007	CALL LYR	2	13,76	0,37	2,57
PO0205	0007	CHEL LUC	1	91,20	0,19	17,01
PO0205	0007	PLEU PLA	21	150,74	3,92	28,12
PO0205	0007	POMA MIN	2	5,20	0,37	0,97
PO0205	0007	SYNG ROS	2	1,97	0,37	0,37
PO0205	0008	CHEL LUC	1	58,19	0,19	10,92
PO0205	0008	CLUP HAR	12	76,91	2,25	14,44
PO0205	0008	LIMA LIM	1	20,60	0,19	3,87
PO0205	0008	LIPA LIP	1	1,86	0,19	0,35
PO0205	0008	MERL MER	25	106,13	4,69	19,92
PO0205	0008	OSME EPE	4	78,26	0,75	14,69
PO0205	0008	PLAT FLE	2	57,76	0,38	10,84
PO0205	0008	PLEU PLA	36	183,61	6,76	34,47
PO0205	0008	POMA MIN	7	13,80	1,31	2,59
PO0205	0008	SPRA SPR	5	20,92	0,94	3,93
PO0205	0008	SYNG ROS	56	59,78	10,51	11,22
PO0205	0008	TRIS MIN	1	11,62	0,19	2,18
PO0205	0009	CLUP HAR	4	22,54	0,97	5,45
PO0205	0009	LIMA LIM	1	0,33	0,24	0,08
PO0205	0009	LIPA LIP	9	11,33	2,18	2,74
PO0205	0009	MYOX SCO	6	11,47	1,45	2,77
PO0205	0009	OSME EPE	24	218,57	5,80	52,87
PO0205	0009	PHOL GUN	1	2,21	0,24	0,53
PO0205	0009	PLEU PLA	11	20,53	2,66	4,97
PO0205	0009	POMA MIN	19	43,37	4,60	10,49
PO0205	0009	SPRA SPR	7	34,47	1,69	8,34
PO0205	0009	SYNG ROS	11	4,05	2,66	0,98
PO0205	0009	ZOAR VIV	3	18,40	0,73	4,45
PO0205	0010	CILI MUS	1	2,87	0,23	0,67
PO0205	0010	CLUP HAR	3	18,91	0,70	4,43
PO0205	0010	MYOX SCO	1	1,45	0,23	0,34
PO0205	0010	OSME EPE	8	66,58	1,87	15,60
PO0205	0010	PHOL GUN	1	0,44	0,23	0,10
PO0205	0010	PLAT FLE	2	3,88	0,47	0,91
PO0205	0010	PLEU PLA	4	23,25	0,94	5,45
PO0205	0010	POMA MIN	10	20,08	2,34	4,70

Expedition	Station	Rubincode	Totale Abundanz	Totalgewicht (g)	N / 1000 m ²	g / 1000 m ²
PO0205	0010	SPRA SPR	1	4,31	0,23	1,01
PO0205	0010	SYNG ROS	2	1,86	0,47	0,44
PO0205	0011	MYOX SCO	1	1,19	0,22	0,26
PO0205	0011	OSME EPE	3	34,63	0,67	7,68
PO0205	0011	PLAT FLE	3	7,91	0,67	1,75
PO0205	0011	PLEU PLA	50	71,36	11,09	15,83
PO0205	0011	POMA MIN	66	137,10	14,64	30,41
PO0205	0011	SYNG ROS	9	5,24	2,00	1,16
PO0205	0012	CILI MUS	1	1,36	0,19	0,26
PO0205	0012	MYOX SCO	2	2,47	0,38	0,47
PO0205	0012	OSME EPE	18	185,58	3,42	35,22
PO0205	0012	PLAT FLE	73	474,13	13,85	89,97
PO0205	0012	PLEU PLA	1220	3018,04	231,51	572,70
PO0205	0012	POMA MIN	79	201,98	14,99	38,33
PO0205	0012	SOLE SOL	2	1,65	0,38	0,31
PO0205	0012	SPRA SPR	2	4,83	0,38	0,92
PO0205	0012	SYNG ROS	3	1,77	0,57	0,34
PO0205	0012	ZOAR VIV	4	19,93	0,76	3,78
PO0205	0013	MERL MER	30	139,91	4,02	18,74
PO0205	0013	OSME EPE	72	1082,95	9,64	145,06
PO0205	0013	PLEU PLA	122	484,89	16,34	64,95
PO0205	0013	POMA MIN	14	36,92	1,88	4,95
PO0205	0013	SYNG ROS	7	5,21	0,94	0,70
PO0205	0014	AGON CAT	1	10,39	0,21	2,14
PO0205	0014	CLUP HAR	1	6,11	0,21	1,26
PO0205	0014	LIPA LIP	2	4,27	0,41	0,88
PO0205	0014	MERL MER	5	40,96	1,03	8,45
PO0205	0014	OSME EPE	9	110,06	1,86	22,70
PO0205	0014	PLEU PLA	26	92,56	5,36	19,09
PO0205	0014	POMA MIN	1	2,86	0,21	0,59
PO0205	0014	SYNG ROS	2	1,97	0,41	0,41
PO0205	0015	MERL MER	7	25,99	1,31	4,86
PO0205	0015	OSME EPE	106	1489,70	19,82	278,52
PO0205	0015	PLEU PLA	54	176,98	10,10	33,09
PO0205	0015	POMA MIN	2	3,58	0,37	0,67
PO0205	0015	SYNG ROS	2	1,61	0,37	0,30
PO0205	0016	CLUP HAR	2	12,72	0,33	2,10
PO0205	0016	OSME EPE	25	505,61	4,13	83,45
PO0205	0016	PHOL GUN	1	8,33	0,17	1,37
PO0205	0016	PLEU PLA	50	125,93	8,25	20,78
PO0205	0016	POMA MIN	20	38,43	3,30	6,34
PO0205	0016	SPRA SPR	1	5,61	0,17	0,93
PO0205	0016	SYNG ROS	3	2,58	0,50	0,43
PO0205	0017	CLUP HAR	7	52,06	1,36	10,13
PO0205	0017	OSME EPE	19	211,49	3,70	41,16
PO0205	0017	PLEU PLA	389	1131,54	75,71	220,23
PO0205	0017	POMA MIN	9	19,82	1,75	3,86
PO0205	0017	SOLE SOL	2	1,75	0,39	0,34
PO0205	0017	SPRA SPR	2	8,56	0,39	1,67
PO0205	0017	SYNG ROS	17	15,88	3,31	3,09
PO0205	0017	ZOAR VIV	3	14,30	0,58	2,78
PO0205	0018	CLUPEIDX	6	19,56	1,29	4,22
PO0205	0018	MYOX SCO	1	1,07	0,22	0,23
PO0205	0018	OSME EPE	49	463,43	10,56	99,91
PO0205	0018	PLAT FLE	2	9,10	0,43	1,96
PO0205	0018	PLEU PLA	9	22,52	1,94	4,86
PO0205	0018	POMA MIN	8	22,04	1,72	4,75

Expedition	Station	Rubincode	Totale Abundanz	Totalgewicht (g)	N / 1000 m ²	g / 1000 m ²
PO0205	0018	ZOAR VIV	2	31,70	0,43	6,83
PO0205	0020	CILI MUS	1	2,00	0,18	0,37
PO0205	0020	CLUP HAR	13	89,70	2,39	16,52
PO0205	0020	MERL MER	1	3,47	0,18	0,64
PO0205	0020	MYOX SCO	1	1,96	0,18	0,36
PO0205	0020	OSME EPE	27	273,06	4,97	50,29
PO0205	0020	PLEU PLA	23	78,09	4,24	14,38
PO0205	0020	POMA MIN	10	24,14	1,84	4,45
PO0205	0020	SOLE SOL	5	3,32	0,92	0,61
PO0205	0020	SPRA SPR	1	4,56	0,18	0,84
PO0205	0020	SYNG ROS	2	1,75	0,37	0,32
PO0205	0020	ZOAR VIV	3	18,00	0,55	3,31
PO0205	0021	CILI MUS	4	12,76	0,70	2,23
PO0205	0021	OSME EPE	1	11,94	0,18	2,09
PO0205	0021	PLEU PLA	10	52,39	1,75	9,17
PO0205	0021	POMA MIN	4	7,50	0,70	1,31
PO0205	0021	SYNG ROS	14	4,48	2,45	0,78
PO0205	0021	ZOAR VIV	1	6,00	0,18	1,05
PO0205	0022	CILI MUS	1	0,32	0,29	0,09
PO0205	0023	MYOX SCO	1	3,13	0,26	0,82
PO0205	0023	OSME EPE	56	936,71	14,72	246,28
PO0205	0023	PLAT FLE	1	23,73	0,26	6,24
PO0205	0023	PLEU PLA	1	8,04	0,26	2,11
PO0205	0023	POMA MIN	4	8,17	1,05	2,15
PO0205	0023	SOLE SOL	2	1,11	0,53	0,29
PO0205	0023	SPRA SPR	2	10,19	0,53	2,68
PO0205	0023	SYNG ROS	1	0,89	0,26	0,23
PO0205	0023	ZOAR VIV	4	84,48	1,05	22,21
PO0205	0024	CILI MUS	1	4,00	0,36	1,44
PO0205	0024	CLUP HAR	3	18,37	1,08	6,59
PO0205	0024	MYOX SCO	1	1,55	0,36	0,56
PO0205	0024	OSME EPE	18	207,91	6,46	74,61
PO0205	0024	PHOL GUN	2	12,00	0,72	4,31
PO0205	0024	PLEU PLA	2	9,26	0,72	3,32
PO0205	0024	POMA MIC	1	0,85	0,36	0,31
PO0205	0024	POMA MIN	7	19,40	2,51	6,96
PO0205	0024	SOLE SOL	2	1,13	0,72	0,41
PO0205	0024	SYNG ROS	1	0,95	0,36	0,34
PO0205	0024	ZOAR VIV	1	8,00	0,36	2,87
PO0205	0025	OSME EPE	24	312,27	4,89	63,58
PO0205	0025	PLAT FLE	1	2,75	0,20	0,56
PO0205	0025	PLEU PLA	19	67,60	3,87	13,76
PO0205	0025	POMA MIN	2	3,28	0,41	0,67
PO0205	0025	SPRA SPR	2	8,28	0,41	1,69
PO0205	0025	SYNG ROS	2	1,57	0,41	0,32
PO0205	0025	ZOAR VIV	2	43,84	0,41	8,93
PO0205	0026	CLUP HAR	10	52,78	1,74	9,18
PO0205	0026	OSME EPE	45	438,07	7,83	76,20
PO0205	0026	PLAT FLE	1	31,80	0,17	5,53
PO0205	0026	PLEU PLA	6	10,01	1,04	1,74
PO0205	0026	POMA MIC	1	2,49	0,17	0,43
PO0205	0026	POMA MIN	4	10,05	0,70	1,75
PO0205	0026	SPRA SPR	1	4,07	0,17	0,71
PO0205	0026	SYNG ROS	3	0,26	0,52	0,05
PO0205	0026	ZOAR VIV	5	54,78	0,87	9,53
PO0206	0001	AGON CAT	2	8,27	0,41	1,71
PO0206	0001	ARNO LAT	5	41,02	1,04	8,50

Expedition	Station	Rubincode	Totale Abundanz	Totalgewicht (g)	N / 1000 m ²	g / 1000 m ²
PO0206	0001	CALL LYR	7	87,24	1,45	18,07
PO0206	0001	LIMA LIM	26	399,56	5,39	82,77
PO0206	0001	MICR KIT	1	2,35	0,21	0,49
PO0206	0001	PLEU PLA	349	884,47	72,29	183,21
PO0206	0001	POMA MIN	35	52,84	7,25	10,95
PO0206	0001	SYNG ROS	6	5,85	1,24	1,21
PO0206	0001	TRIG LUC	4	36,89	0,83	7,64
PO0206	0002	AGON CAT	26	66,20	4,80	12,21
PO0206	0002	ARNO LAT	4	28,82	0,74	5,32
PO0206	0002	CALL LYR	1	8,44	0,18	1,56
PO0206	0002	CLUP HAR	13	75,75	2,40	13,97
PO0206	0002	EUTR GUR	1	8,15	0,18	1,50
PO0206	0002	GADU MOR	16	160,80	2,95	29,66
PO0206	0002	LIMA LIM	1	15,24	0,18	2,81
PO0206	0002	LIPA LIP	1	2,38	0,18	0,44
PO0206	0002	MERL MER	45	279,24	8,30	51,51
PO0206	0002	MICR KIT	3	12,57	0,55	2,32
PO0206	0002	OSME EPE	2	72,41	0,37	13,36
PO0206	0002	PLAT FLE	2	341,93	0,37	63,07
PO0206	0002	PLEU PLA	421	973,90	77,65	179,64
PO0206	0002	POMA MIN	39	71,32	7,19	13,16
PO0206	0002	PSET MAX	1	120,00	0,18	22,13
PO0206	0002	SOLE SOL	5	93,85	0,92	17,31
PO0206	0002	SPRA SPR	34	188,86	6,27	34,84
PO0206	0002	SYNG ROS	46	43,87	8,48	8,09
PO0206	0002	TRIG LUC	13	665,73	2,40	122,79
PO0206	0003	CLUP HAR	2	8,46	0,47	2,01
PO0206	0003	MYOX SCO	18	25,84	4,27	6,13
PO0206	0003	OSME EPE	6	63,87	1,42	15,16
PO0206	0003	PLAT FLE	2	138,73	0,47	32,92
PO0206	0003	PLEU PLA	85	156,51	20,17	37,14
PO0206	0003	POMA MIN	11	20,89	2,61	4,96
PO0206	0003	SOLE SOL	1	0,27	0,24	0,06
PO0206	0003	SYNG ROS	8	5,29	1,90	1,26
PO0206	0003	ZOAR VIV	2	10,01	0,47	2,38
PO0206	0004	MYOX SCO	1	0,77	0,46	0,35
PO0206	0004	OSME EPE	2	22,18	0,91	10,10
PO0206	0004	PLAT FLE	1	32,43	0,46	14,77
PO0206	0004	PLEU PLA	51	98,66	23,23	44,94
PO0206	0004	POMA MIN	1	0,52	0,46	0,24
PO0206	0004	SYNG ROS	18	12,66	8,20	5,77
PO0206	0004	ZOAR VIV	2	13,47	0,91	6,14
PO0206	0005	MICR KIT	1	0,84	0,23	0,20
PO0206	0005	MYOX SCO	1	1,24	0,23	0,29
PO0206	0005	PLEU PLA	21	35,45	4,88	8,24
PO0206	0005	POMA MIC	1	0,73	0,23	0,17
PO0206	0005	SYNG ROS	2	1,31	0,46	0,30
PO0206	0006	MYOX SCO	6	6,94	1,47	1,70
PO0206	0006	OSME EPE	2	85,02	0,49	20,78
PO0206	0006	PLAT FLE	1	29,34	0,24	7,17
PO0206	0006	PLEU PLA	294	523,30	71,87	127,93
PO0206	0006	POMA MIN	13	22,60	3,18	5,52
PO0206	0006	SYNG ROS	8	5,92	1,96	1,45
PO0206	0007	MYOX SCO	5	8,44	1,08	1,82
PO0206	0007	OSME EPE	16	196,00	3,45	42,22
PO0206	0007	PHOL GUN	1	12,05	0,22	2,60
PO0206	0007	PLAT FLE	6	302,28	1,29	65,11

Expedition	Station	Rubincode	Totale Abundanz	Totalgewicht (g)	N / 1000 m ²	g / 1000 m ²
PO0206	0007	PLEU PLA	82	188,32	17,66	40,57
PO0206	0007	POMA MIN	4	7,60	0,86	1,64
PO0206	0007	SYNG ROS	1	0,52	0,22	0,11
PO0206	0007	ZOAR VIV	6	46,52	1,29	10,02
PO0206	0008	AMMO LAN	2	0,13	0,34	0,02
PO0206	0008	MICR KIT	1	1,04	0,17	0,18
PO0206	0008	OSME EPE	4	139,42	0,69	23,88
PO0206	0008	PLEU PLA	7	22,16	1,20	3,80
PO0206	0008	SYNG ROS	13	13,76	2,23	2,36
PO0206	0009	MYOX SCO	1	3,98	0,17	0,66
PO0206	0009	OSME EPE	30	347,44	4,97	57,59
PO0206	0009	PLAT FLE	3	68,31	0,50	11,32
PO0206	0009	PLEU PLA	973	2775,22	161,29	460,03
PO0206	0009	POMA MIN	1	0,98	0,17	0,16
PO0206	0009	SOLE SOL	2	27,72	0,33	4,59
PO0206	0009	SYNG ROS	4	3,54	0,66	0,59
PO0206	0010	ENTE AEQ	1	15,00	0,20	3,04
PO0206	0010	MYOX SCO	1	0,71	0,20	0,14
PO0206	0010	OSME EPE	4	37,98	0,81	7,70
PO0206	0010	PHOL GUN	1	0,41	0,20	0,08
PO0206	0010	PLEU PLA	21	21,22	4,26	4,30
PO0206	0010	SPRA SPR	1	4,60	0,20	0,93
PO0206	0010	SYNG ROS	18	14,70	3,65	2,98
PO0206	0011	MYOX SCO	3	4,08	0,51	0,70
PO0206	0011	OSME EPE	12	105,57	2,06	18,08
PO0206	0011	PLAT FLE	3	79,07	0,51	13,54
PO0206	0011	PLEU PLA	25	30,77	4,28	5,27
PO0206	0011	POMA MIN	8	17,63	1,37	3,02
PO0206	0011	SOLE SOL	3	41,96	0,51	7,19
PO0206	0011	SYNG ROS	4	2,66	0,69	0,46
PO0206	0011	ZOAR VIV	12	147,34	2,06	25,24
PO0206	0012	OSME EPE	6	55,13	1,15	10,57
PO0206	0012	PLAT FLE	2	84,70	0,38	16,24
PO0206	0012	PLEU PLA	15	15,53	2,88	2,98
PO0206	0012	POMA MIC	1	1,54	0,19	0,30
PO0206	0012	POMA MIN	9	16,17	1,73	3,10
PO0206	0012	SOLE SOL	2	29,00	0,38	5,56
PO0206	0012	SPRA SPR	1	1,68	0,19	0,32
PO0206	0012	SYNG ROS	12	11,45	2,30	2,19
PO0206	0012	ZOAR VIV	1	37,46	0,19	7,18
PO0206	0013	ENTE AEQ	1	19,00	0,26	4,91
PO0206	0013	MICR KIT	1	2,07	0,26	0,54
PO0206	0013	MYOX SCO	274	280,78	70,87	72,62
PO0206	0013	OSME EPE	18	179,85	4,66	46,52
PO0206	0013	PHOL GUN	3	13,35	0,78	3,45
PO0206	0013	PLAT FLE	1	73,41	0,26	18,99
PO0206	0013	PLEU PLA	205	201,45	53,02	52,10
PO0206	0013	POMA MIC	1	1,36	0,26	0,35
PO0206	0013	POMA MIN	9	11,81	2,33	3,05
PO0206	0013	SYNG ROS	4	3,21	1,03	0,83
PO0206	0013	ZOAR VIV	5	39,09	1,29	10,11
PO0206	0014	GAST ACU	1	0,13	0,18	0,02
PO0206	0014	MYOX SCO	2	4,35	0,35	0,76
PO0206	0014	PLEU PLA	5	5,47	0,88	0,96
PO0206	0014	POMA MIN	3	2,39	0,53	0,42
PO0206	0014	SYNG ROS	6	3,90	1,05	0,69
PO0206	0015	MERL MER	1	4,00	0,20	0,82

Expedition	Station	Rubincode	Totale Abundanz	Totalgewicht (g)	N / 1000 m ²	g / 1000 m ²
PO0206	0015	MYOX SCO	3	4,15	0,61	0,85
PO0206	0015	OSME EPE	1	38,94	0,20	7,93
PO0206	0015	PLAT FLE	1	42,00	0,20	8,56
PO0206	0015	PLEU PLA	75	230,85	15,28	47,04
PO0206	0015	SOLE SOL	2	180,00	0,41	36,68
PO0206	0015	SYNG ROS	9	8,00	1,83	1,63
PO0206	0016	LIPA LIP	1	0,76	0,15	0,11
PO0206	0016	MYOX SCO	3	7,00	0,44	1,02
PO0206	0016	PLEU PLA	27	45,43	3,94	6,63
PO0206	0016	SYNG ROS	2	1,94	0,29	0,28
PO0206	0017	AGON CAT	1	4,23	0,23	0,97
PO0206	0017	LIPA LIP	1	1,21	0,23	0,28
PO0206	0017	MERL MER	3	23,55	0,69	5,42
PO0206	0017	MYOX SCO	1	1,96	0,23	0,45
PO0206	0017	OSME EPE	34	665,17	7,82	152,96
PO0206	0017	PLEU PLA	43	63,96	9,89	14,71
PO0206	0017	POMA MIC	1	0,92	0,23	0,21
PO0206	0017	SPRA SPR	2	14,11	0,46	3,24
PO0206	0017	SYNG ROS	74	75,53	17,02	17,37
PO0206	0018	MICR KIT	1	4,30	0,24	1,05
PO0206	0018	MYOX SCO	1	2,60	0,24	0,64
PO0206	0018	PLEU PLA	18	32,84	4,40	8,03
PO0206	0018	POMA MIC	1	2,27	0,24	0,55
PO0206	0018	POMA MIN	1	0,71	0,24	0,17
PO0206	0018	SOLE SOL	1	0,25	0,24	0,06
PO0206	0018	SYNG ROS	53	34,90	12,96	8,53
PO0206	0018	ZOAR VIV	1	9,00	0,24	2,20
PO0206	0020	CALL RET	1	25,00	0,45	11,26
PO0206	0020	MICR KIT	1	1,81	0,45	0,82
PO0206	0020	MYOX SCO	4	4,31	1,80	1,94
PO0206	0020	OSME EPE	4	46,97	1,80	21,16
PO0206	0020	PHOL GUN	23	17,31	10,36	7,80
PO0206	0020	PLAT FLE	1	134,00	0,45	60,36
PO0206	0020	PLEU PLA	6	9,01	2,70	4,06
PO0206	0020	POMA MIN	2	3,40	0,90	1,53
PO0206	0020	SOLE SOL	1	0,41	0,45	0,18
PO0206	0020	SYNG ROS	2	0,68	0,90	0,31
PO0206	0020	ZOAR VIV	7	63,58	3,15	28,64
PO0206	0021	LIPARISZ	1		0,32	0,00
PO0206	0021	MYOX SCO	1	0,85	0,32	0,27
PO0206	0021	OSME EPE	9	149,92	2,87	47,84
PO0206	0021	PLEU PLA	8	13,80	2,55	4,40
PO0206	0021	POMA MIN	1	1,51	0,32	0,48
PO0206	0021	SYNG ROS	27	25,85	8,62	8,25
PO0206	0021	ZOAR VIV	1	50,00	0,32	15,96
PO0206	0022	MYOX SCO	1	1,61	0,30	0,48
PO0206	0022	OSME EPE	288	4214,00	85,34	1248,66
PO0206	0022	PLAT FLE	2	87,06	0,59	25,80
PO0206	0022	PLEU PLA	58	160,86	17,19	47,66
PO0206	0022	POMA MIN	11	28,16	3,26	8,34
PO0206	0022	SPRA SPR	1	3,06	0,30	0,91
PO0206	0022	SYNG ROS	9	7,88	2,67	2,33
PO0206	0023	OSME EPE	28	310,34	11,93	132,27
PO0206	0023	PHOL GUN	1	0,68	0,43	0,29
PO0206	0023	PLAT FLE	3	209,01	1,28	89,08
PO0206	0023	PLEU PLA	4	4,84	1,70	2,06
PO0206	0023	POMA MIN	1	2,32	0,43	0,99

Expedition	Station	Rubincode	Totale Abundanz	Totalgewicht (g)	N / 1000 m ²	g / 1000 m ²
PO0206	0023	SYNG ROS	8	5,89	3,41	2,51
PO0206	0023	ZOAR VIV	7	40,93	2,98	17,44
PO0206	0024	OSME EPE	7	79,34	1,42	16,08
PO0206	0024	PLAT FLE	1	35,00	0,20	7,09
PO0206	0024	PLEU PLA	876	1014,90	177,57	205,72
PO0206	0024	POMA MIN	29	53,87	5,88	10,92
PO0206	0024	POMA PIC	2	2,75	0,41	0,56
PO0206	0024	SPRA SPR	3	5,42	0,61	1,10
PO0206	0024	SYNG ROS	11	7,75	2,23	1,57
PO0206	0025	AMMO LAN	1	8,75	0,22	1,95
PO0206	0025	CILI MUS	1	0,29	0,22	0,06
PO0206	0025	PLAT FLE	2	190,00	0,45	42,42
PO0206	0025	PLEU PLA	64	81,88	14,29	18,28
PO0206	0025	PSET MAX	1	130,00	0,22	29,03
PO0206	0025	SYNG ROS	9	8,81	2,01	1,97
PO0206	0026	MYOX SCO	13	30,28	2,01	4,69
PO0206	0026	PLAT FLE	12	720,10	1,86	111,46
PO0206	0026	PLEU PLA	401	662,57	62,07	102,56
PO0206	0026	POMA MIN	5	9,64	0,77	1,49
PO0206	0026	SYNG ROS	10	7,75	1,55	1,20
PO0207	0001	AGON CAT	1	18,70	0,22	4,05
PO0207	0001	ANGU ANG	2	475,00	0,43	102,79
PO0207	0001	CILI MUS	21	197,19	4,54	42,67
PO0207	0001	CLUP HAR	13	38,21	2,81	8,27
PO0207	0001	GADU MOR	1	7,76	0,22	1,68
PO0207	0001	LIPA LIP	4	21,22	0,87	4,59
PO0207	0001	MERL MER	17	338,93	3,68	73,35
PO0207	0001	MYOX SCO	2	10,54	0,43	2,28
PO0207	0001	PLAT FLE	2	150,61	0,43	32,59
PO0207	0001	PLEU PLA	2	6,86	0,43	1,48
PO0207	0001	POMA MIN	2	5,79	0,43	1,25
PO0207	0001	SOLE SOL	89	895,91	19,26	193,88
PO0207	0001	SYNG ROS	3	0,59	0,65	0,13
PO0207	0001	TRIS MIN	1	24,04	0,22	5,20
PO0207	0002	AGON CAT	10	17,38	2,69	4,68
PO0207	0002	CHEL GUR	1	4,53	0,27	1,22
PO0207	0002	CILI MUS	7	63,96	1,88	17,21
PO0207	0002	CLUP HAR	2	7,65	0,54	2,06
PO0207	0002	ENTE AEQ.	1	4,80	0,27	1,29
PO0207	0002	GAST ACU	1	0,15	0,27	0,04
PO0207	0002	LIPA LIP	3	16,42	0,81	4,42
PO0207	0002	MERL MER	31	719,03	8,34	193,45
PO0207	0002	MYOX SCO	11	103,03	2,96	27,72
PO0207	0002	OSME EPE	1	27,36	0,27	7,36
PO0207	0002	PLAT FLE	5	364,81	1,35	98,15
PO0207	0002	PLEU PLA	4	11,11	1,08	2,99
PO0207	0002	POMA MIN	12	40,39	3,23	10,87
PO0207	0002	SOLE SOL	1	3,67	0,27	0,99
PO0207	0002	SYNG ROS	17	3,60	4,57	0,97
PO0207	0002	TRIS MIN	1	20,20	0,27	5,43
PO0207	0003	ATHE PRE	1	1,00	0,19	0,19
PO0207	0003	CHEL GUR	8	15,41	1,49	2,88
PO0207	0003	CILI MUS	5	52,67	0,93	9,84
PO0207	0003	CLUP HAR	12	25,54	2,24	4,77
PO0207	0003	LIMA LIM	1	1,94	0,19	0,36
PO0207	0003	MERL MER	91	1900,70	17,01	355,19
PO0207	0003	MYOX SCO	3	18,42	0,56	3,44

Expedition	Station	Rubincode	Totale Abundanz	Totalgewicht (g)	N / 1000 m ²	g / 1000 m ²
PO0207	0003	OSME EPE	9	200,82	1,68	37,53
PO0207	0003	PLAT FLE	2	146,51	0,37	27,38
PO0207	0003	PLEU PLA	119	291,11	22,24	54,40
PO0207	0003	POMA MIN	20	60,78	3,74	11,36
PO0207	0003	SOLE SOL	28	101,27	5,23	18,92
PO0207	0003	SPRA SPR	6	13,87	1,12	2,59
PO0207	0003	SYNG ROS	3	0,83	0,56	0,16
PO0207	0004	AGON CAT	2	1,64	0,37	0,30
PO0207	0004	CILI MUS	27	170,77	4,94	31,25
PO0207	0004	CLUP HAR	92	350,98	16,84	64,23
PO0207	0004	GADU MOR	3	48,63	0,55	8,90
PO0207	0004	MERL MER	53	1001,00	9,70	183,18
PO0207	0004	MYOX SCO	1	4,92	0,18	0,90
PO0207	0004	OSME EPE	147	1624,40	26,90	297,26
PO0207	0004	PLAT FLE	12	132,54	2,20	24,25
PO0207	0004	PLEU PLA	118	376,52	21,59	68,90
PO0207	0004	POMA MIN	14	38,04	2,56	6,96
PO0207	0004	SOLE SOL	1	2,63	0,18	0,48
PO0207	0004	SPRA SPR	5	20,22	0,91	3,70
PO0207	0004	SYNG ROS	167	71,88	30,56	13,15
PO0207	0007	CILI MUS	10	103,27	1,28	13,25
PO0207	0007	LIPA LIP	1	4,20	0,13	0,54
PO0207	0007	MERL MER	27	485,56	3,46	62,31
PO0207	0007	MYOX SCO	1	52,40	0,13	6,72
PO0207	0007	OSME EPE	12	257,66	1,54	33,06
PO0207	0007	PLAT FLE	1	65,34	0,13	8,38
PO0207	0007	PLEU PLA	1	2,81	0,13	0,36
PO0207	0007	SYNG ROS	3	1,40	0,38	0,18
PO0207	0007	TRIS MIN	1	18,61	0,13	2,39
PO0207	0008	CILI MUS	11	104,14	1,76	16,64
PO0207	0008	CLUP HAR	4	8,72	0,64	1,39
PO0207	0008	GADU MOR	1	34,46	0,16	5,51
PO0207	0008	MERL MER	12	204,91	1,92	32,75
PO0207	0008	MYOX SCO	1	68,08	0,16	10,88
PO0207	0008	OSME EPE	4	92,90	0,64	14,85
PO0207	0008	PLEU PLA	26	138,85	4,15	22,19
PO0207	0008	SOLE SOL	2	405,00	0,32	64,72
PO0207	0008	SPRA SPR	2	10,34	0,32	1,65
PO0207	0008	SYNG ROS	3	2,43	0,48	0,39
PO0207	0008	TRIS MIN	1	6,14	0,16	0,98
PO0207	0009	CILI MUS	40	348,21	6,89	59,94
PO0207	0009	GADU MOR	3	123,59	0,52	21,27
PO0207	0009	LIPA LIP	1	5,97	0,17	1,03
PO0207	0009	MERL MER	138	2776,90	23,75	478,01
PO0207	0009	MYOX SCO	22	281,85	3,79	48,52
PO0207	0009	OSME EPE	1	55,25	0,17	9,51
PO0207	0009	PLAT FLE	1	53,62	0,17	9,23
PO0207	0009	SOLE SOL	157	637,92	27,03	109,81
PO0207	0009	SPRA SPR	5	12,48	0,86	2,15
PO0207	0009	ZOAR VIV	3	42,00	0,52	7,23
PO0207	0010	AGON CAT	25	32,26	4,64	5,99
PO0207	0010	CILI MUS	20	137,98	3,71	25,62
PO0207	0010	CLUP HAR	2	6,27	0,37	1,16
PO0207	0010	GADU MOR	1	34,19	0,19	6,35
PO0207	0010	MERL MER	23	521,20	4,27	96,77
PO0207	0010	MYOX SCO	27	295,75	5,01	54,91
PO0207	0010	OSME EPE	2	38,13	0,37	7,08

Expedition	Station	Rubincode	Totale Abundanz	Totalgewicht (g)	N / 1000 m ²	g / 1000 m ²
PO0207	0010	PHOL GUN	2	13,78	0,37	2,56
PO0207	0010	PLAT FLE	4	182,72	0,74	33,92
PO0207	0010	PLEU PLA	2	3,90	0,37	0,72
PO0207	0010	POMA MIN	4	11,57	0,74	2,15
PO0207	0010	SOLE SOL	47	397,00	8,73	73,71
PO0207	0010	SYNG ROS	5	0,94	0,93	0,17
PO0207	0010	ZOAR VIV	2	26,87	0,37	4,99
PO0207	0011	CILI MUS	8	71,10	1,80	15,99
PO0207	0011	CLUP HAR	2	9,01	0,45	2,03
PO0207	0011	GADU MOR	3	62,30	0,67	14,01
PO0207	0011	MERL MER	42	999,46	9,45	224,77
PO0207	0011	MYOX SCO	237	944,71	53,30	212,46
PO0207	0011	OSME EPE	2	61,22	0,45	13,77
PO0207	0011	PLAT FLE	2	171,21	0,45	38,50
PO0207	0011	PLEU PLA	8	23,67	1,80	5,32
PO0207	0011	POMA MIN	37	96,76	8,32	21,76
PO0207	0011	TRIS MIN	1	18,93	0,22	4,26
PO0207	0011	ZOAR VIV	12	194,27	2,70	43,69
PO0207	0012	AGON CAT	2	2,01	0,39	0,39
PO0207	0012	CHEL GUR	1	1,52	0,19	0,29
PO0207	0012	CILI MUS	41	237,70	7,95	46,07
PO0207	0012	CLUP HAR	11	26,97	2,13	5,23
PO0207	0012	GADU MOR	1	8,64	0,19	1,67
PO0207	0012	LIPA LIP	2	11,47	0,39	2,22
PO0207	0012	MERL MER	95	1951,60	18,41	378,25
PO0207	0012	MYOX SCO	1	68,00	0,19	13,18
PO0207	0012	OSME EPE	2	20,60	0,39	3,99
PO0207	0012	PHOL GUN	1	6,95	0,19	1,35
PO0207	0012	PLEU PLA	23	109,43	4,46	21,21
PO0207	0012	SYNG ROS	3	1,07	0,58	0,21
PO0207	0012	ZOAR VIV	11	121,89	2,13	23,62
PO0207	0013	CILI MUS	6	58,35	1,00	9,77
PO0207	0013	LIMA LIM	3	5,85	0,50	0,98
PO0207	0013	MERL MER	31	674,17	5,19	112,92
PO0207	0013	MYOX SCO	1	40,00	0,17	6,70
PO0207	0013	OSME EPE	3	67,85	0,50	11,36
PO0207	0013	PLEU PLA	14	33,65	2,34	5,64
PO0207	0013	POMA MIN	4	11,82	0,67	1,98
PO0207	0013	SOLE SOL	1	4,77	0,17	0,80
PO0207	0013	SYNG ROS	2	0,25	0,33	0,04
PO0207	0014	CILI MUS	18	205,51	3,27	37,32
PO0207	0014	CLUPEIDX	1	2,00	0,18	0,36
PO0207	0014	LIPA LIP	2	5,63	0,36	1,02
PO0207	0014	MERL MER	57	1307,40	10,35	237,43
PO0207	0014	OSME EPE	3	67,48	0,54	12,25
PO0207	0014	PLAT FLE	2	223,88	0,36	40,66
PO0207	0014	SOLE SOL	3	101,91	0,54	18,51
PO0207	0014	SYNG ROS	2	1,95	0,36	0,35
PO0207	0015	AMMO LAN	1	3,50	0,22	0,76
PO0207	0015	CILI MUS	6	44,06	1,31	9,63
PO0207	0015	CLUP HAR	19	650,89	4,15	142,24
PO0207	0015	GADU MOR	3	37,43	0,66	8,18
PO0207	0015	LIPA LIP	1	7,37	0,22	1,61
PO0207	0015	MERL MER	1	7,03	0,22	1,54
PO0207	0015	MYOX SCO	1	70,00	0,22	15,30
PO0207	0015	OSME EPE	21	255,56	4,59	55,85
PO0207	0015	PLAT FLE	142	1635,96	31,03	357,52

Expedition	Station	Rubincode	Totale Abundanz	Totalgewicht (g)	N / 1000 m ²	g / 1000 m ²
PO0207	0015	PLEU PLA	93	293,08	20,32	64,05
PO0207	0015	POMA MIN	20	60,60	4,37	13,24
PO0207	0015	SYNG ROS	111	23,79	24,26	5,20
PO0207	0015	SYNG TYP	1	15,00	0,22	3,28
PO0207	0015	ZOAR VIV	1	50,00	0,22	10,93
PO0207	0016	CILI MUS	5	42,72	1,08	9,19
PO0207	0016	CLUP HAR	24	82,59	5,16	17,77
PO0207	0016	LIMA LIM	1	16,57	0,22	3,57
PO0207	0016	LIPA LIP	2	10,43	0,43	2,24
PO0207	0016	MYOX SCO	60	222,46	12,91	47,86
PO0207	0016	OSME EPE	29	359,49	6,24	77,35
PO0207	0016	PHOL GUN	2	20,00	0,43	4,30
PO0207	0016	PLAT FLE	341	2444,55	73,37	525,97
PO0207	0016	PLEU PLA	45	126,92	9,68	27,31
PO0207	0016	POMA MIN	70	231,50	15,06	49,81
PO0207	0016	SYNG ROS	26	6,64	5,59	1,43
PO0207	0016	ZOAR VIV	3	26,25	0,65	5,65
PO0207	0017	AGON CAT	1	0,80	0,24	0,19
PO0207	0017	AMMO LAN	1	12,93	0,24	3,11
PO0207	0017	CILI MUS	10	65,38	2,40	15,71
PO0207	0017	CLUP HAR	15	48,47	3,61	11,65
PO0207	0017	GADU MOR	1	3,74	0,24	0,90
PO0207	0017	MERL MER	1	4,89	0,24	1,18
PO0207	0017	MYOX SCO	7	128,63	1,68	30,92
PO0207	0017	OSME EPE	12	151,31	2,88	36,37
PO0207	0017	PLAT FLE	6	72,32	1,44	17,38
PO0207	0017	PLEU PLA	83	243,81	19,95	58,60
PO0207	0017	POMA MIN	10	27,63	2,40	6,64
PO0207	0017	SOLE SOL	1	2,07	0,24	0,50
PO0207	0017	SYNG ROS	70	12,99	16,82	3,12
PO0207	0017	ZOAR VIV	1	41,96	0,24	10,08
PO0207	0018	CILI MUS	1	4,80	0,26	1,26
PO0207	0018	CLUP HAR	164	439,98	43,01	115,39
PO0207	0018	MYOX SCO	1	2,95	0,26	0,77
PO0207	0018	OSME EPE	16	169,11	4,20	44,35
PO0207	0018	PLAT FLE	1	3,65	0,26	0,96
PO0207	0018	PLEU PLA	32	70,49	8,39	18,49
PO0207	0018	POMA MIN	77	251,54	20,19	65,97
PO0207	0018	SPRA SPR	2	4,22	0,52	1,11
PO0207	0018	SYNG ROS	140	35,41	36,72	9,29
PO0207	0019	CILI MUS	1	2,98	0,20	0,60
PO0207	0019	CLUP HAR	2659	6719,30	538,39	1360,51
PO0207	0019	MYOX SCO	5	19,47	1,01	3,94
PO0207	0019	OSME EPE	9	130,44	1,82	26,41
PO0207	0019	PHOL GUN	3	36,64	0,61	7,42
PO0207	0019	PLAT FLE	452	55,00	91,49	11,14
PO0207	0019	PLEU PLA	1402	615,00	283,87	124,52
PO0207	0019	POMA MIN	210	627,83	42,52	127,12
PO0207	0019	SPRA SPR	9	14,47	1,82	2,93
PO0207	0019	SYNG ROS	152	29,97	30,78	6,07
PO0207	0019	TRAC TRA	2	4,95	0,40	1,00
PO0207	0019	ZOAR VIV	1	5,89	0,20	1,19
PO0207	0020	ANGU ANG	1	350,00	0,17	60,86
PO0207	0020	CILI MUS	39	320,41	6,78	55,71
PO0207	0020	CLUP HAR	57	171,25	9,91	29,78
PO0207	0020	ENTE AEQ	1	10,00	0,17	1,74
PO0207	0020	GADU MOR	3	96,32	0,52	16,75

Expedition	Station	Rubincode	Totale Abundanz	Totalgewicht (g)	N / 1000 m ²	g / 1000 m ²
PO0207	0020	LIPA LIP	1	8,45	0,17	1,47
PO0207	0020	MERL MER	49	1180,30	8,52	205,24
PO0207	0020	OSME EPE	34	670,41	5,91	116,57
PO0207	0020	PLAT FLE	51	559,89	8,87	97,36
PO0207	0020	PLEU PLA	94	589,93	16,35	102,58
PO0207	0020	POMA MIN	22	77,73	3,83	13,52
PO0207	0020	SOLE SOL	15	51,32	2,61	8,92
PO0207	0020	SYNG ROS	13	3,00	2,26	0,52
PO0207	0020	TRAC TRA	1	2,88	0,17	0,50
PO0207	0022	CILI MUS	18	115,62	4,62	29,69
PO0207	0022	GADU MOR	2	54,69	0,51	14,04
PO0207	0022	LIPA LIP	1	2,09	0,26	0,54
PO0207	0022	MERL MER	16	312,12	4,11	80,14
PO0207	0022	MYOX SCO	30	150,56	7,70	38,66
PO0207	0022	OSME EPE	28	378,97	7,19	97,30
PO0207	0022	PHOL GUN	1	13,91	0,26	3,57
PO0207	0022	PLAT FLE	13	304,11	3,34	78,08
PO0207	0022	PLEU PLA	28	95,37	7,19	24,49
PO0207	0022	POMA MIN	88	263,02	22,59	67,53
PO0207	0022	SOLE SOL	14	52,04	3,59	13,36
PO0207	0022	SYNG ROS	4	1,01	1,03	0,26
PO0207	0022	ZOAR VIV	4	23,82	1,03	6,12
PO0207	0023	AMMO LAN	1	16,05	0,18	2,84
PO0207	0023	CILI MUS	15	130,65	2,65	23,10
PO0207	0023	CLUP HAR	2	11,98	0,35	2,12
PO0207	0023	MERL MER	4	80,60	0,71	14,25
PO0207	0023	MYOX SCO	2	145,70	0,35	25,76
PO0207	0023	OSME EPE	3	91,35	0,53	16,15
PO0207	0023	PLAT FLE	2	102,77	0,35	18,17
PO0207	0023	PLEU PLA	27	163,66	4,77	28,94
PO0207	0023	POMA MIN	3	6,65	0,53	1,18
PO0207	0023	SOLE SOL	14	282,57	2,48	49,97
PO0207	0023	SYNG ROS	2	1,20	0,35	0,21
PO0207	0024	AGON CAT	6	92,71	0,73	11,30
PO0207	0024	AMMO LAN	1	10,34	0,12	1,26
PO0207	0024	CILI MUS	36	344,30	4,39	41,98
PO0207	0024	CLUP HAR	2	4,90	0,24	0,60
PO0207	0024	GADU MOR	4	595,00	0,49	72,54
PO0207	0024	LIPA LIP	28	118,37	3,41	14,43
PO0207	0024	MERL MER	107	2161,30	13,05	263,51
PO0207	0024	MYOX SCO	21	927,14	2,56	113,04
PO0207	0024	OSME EPE	8	347,43	0,98	42,36
PO0207	0024	PHOL GUN	2	24,65	0,24	3,01
PO0207	0024	PLAT FLE	1	99,83	0,12	12,17
PO0207	0024	PLEU PLA	5	41,81	0,61	5,10
PO0207	0024	SOLE SOL	102	769,80	12,44	93,86
PO0207	0024	TRIS MIN	31	642,38	3,78	78,32
PO0207	0024	ZOAR VIV	1	52,00	0,12	6,34
PO0207	0025	AGON CAT	1	0,87	0,15	0,13
PO0207	0025	AMMO LAN	1	15,94	0,15	2,42
PO0207	0025	CILI MUS	25	257,23	3,80	39,07
PO0207	0025	CLUP HAR	6	14,76	0,91	2,24
PO0207	0025	LIPA LIP	11	47,13	1,67	7,16
PO0207	0025	MERL MER	13	293,07	1,97	44,51
PO0207	0025	MYOX SCO	1	55,54	0,15	8,43
PO0207	0025	SOLE SOL	6	146,51	0,91	22,25
PO0207	0025	SPRA SPR	3	5,62	0,46	0,85

Expedition	Station	Rubincode	Totale Abundanz	Totalgewicht (g)	N / 1000 m ²	g / 1000 m ²
PO0207	0025	SYNG ROS	11	6,26	1,67	0,95
PO0207	0025	TRIS MIN	4	85,46	0,61	12,98
PO0207	0026	CILI MUS	1	17,00	0,12	2,05
PO0207	0026	CLUP HAR	4	8,76	0,48	1,06
PO0207	0026	OSME EPE	1	13,44	0,12	1,62
PO0207	0026	PLAT FLE	1	55,62	0,12	6,72
PO0207	0026	POMA MIN	1	1,54	0,12	0,19
PO0207	0026	SOLE SOL	1	120,00	0,12	14,49
PO0207	0026	SYNG ROS	2	1,42	0,24	0,17
PO0207	0027	CHEL GUR	1	1,83	0,16	0,30
PO0207	0027	CHEL LUC	2	19,33	0,33	3,19
PO0207	0027	CILI MUS	1	5,74	0,16	0,95
PO0207	0027	CLUP HAR	5	14,02	0,82	2,31
PO0207	0027	GADU MOR	1	5,00	0,16	0,82
PO0207	0027	LIMA LIM	1	12,57	0,16	2,07
PO0207	0027	LIPA LIP	2	9,20	0,33	1,52
PO0207	0027	MERL MER	8	61,61	1,32	10,15
PO0207	0027	MYOX SCO	2	13,24	0,33	2,18
PO0207	0027	OSME EPE	5	106,41	0,82	17,54
PO0207	0027	PHOL GUN	1	10,00	0,16	1,65
PO0207	0027	PLAT FLE	2	11,55	0,33	1,90
PO0207	0027	PLEU PLA	22	59,19	3,63	9,75
PO0207	0027	POMA MIN	27	91,81	4,45	15,13
PO0207	0027	SCOP RHO	1	10,00	0,16	1,65
PO0207	0027	SOLE SOL	4	9,84	0,66	1,62
PO0207	0027	SYNG ROS	6	1,80	0,99	0,30
PO0207	0027	ZOAR VIV	5	130,20	0,82	21,46
PO0207	0028	AGON CAT	2	1,60	0,40	0,32
PO0207	0028	AMMO LAN	1	9,64	0,20	1,95
PO0207	0028	CLUP HAR	5	17,21	1,01	3,48
PO0207	0028	LIMA LIM	1	2,36	0,20	0,48
PO0207	0028	LIPA LIP	4	21,75	0,81	4,40
PO0207	0028	MERL MER	13	160,88	2,63	32,54
PO0207	0028	OSME EPE	1	22,62	0,20	4,57
PO0207	0028	PLAT FLE	1	4,26	0,20	0,86
PO0207	0028	PLEU PLA	19	83,77	3,84	16,94
PO0207	0028	POMA MIN	7	22,06	1,42	4,46
PO0207	0028	SOLE SOL	2	6,26	0,40	1,27
PO0207	0028	SYNG ROS	5	4,49	1,01	0,91
PO0207	0029	AGON CAT	8	16,87	1,13	2,38
PO0207	0029	CILI MUS	3	33,95	0,42	4,78
PO0207	0029	CLUP HAR	6	10,34	0,85	1,46
PO0207	0029	GADU MOR	1	25,73	0,14	3,63
PO0207	0029	LIMA LIM	3	7,17	0,42	1,01
PO0207	0029	LIPA LIP	4	32,14	0,56	4,53
PO0207	0029	MERL MER	60	882,46	8,45	124,34
PO0207	0029	PLAT FLE	1	4,24	0,14	0,60
PO0207	0029	PLEU PLA	8	34,39	1,13	4,85
PO0207	0029	POMA MIN	5	6,10	0,70	0,86
PO0207	0029	PSET MAX	1	100,00	0,14	14,09
PO0207	0029	SOLE SOL	5	343,13	0,70	48,35
PO0207	0029	SYNG ROS	14	14,21	1,97	2,00
PO0207	0029	TRIS MIN	2	24,71	0,28	3,48
PO0207	0030	AGON CAT	5	21,80	0,81	3,55
PO0207	0030	CILI MUS	3	28,23	0,49	4,60
PO0207	0030	CLUP HAR	4	13,15	0,65	2,14
PO0207	0030	LIMA LIM	8	21,06	1,30	3,43

Expedition	Station	Rubincode	Totale Abundanz	Totalgewicht (g)	N / 1000 m ²	g / 1000 m ²
PO0207	0030	LIPA LIP	2	10,68	0,33	1,74
PO0207	0030	MERL MER	105	1567,70	17,10	255,37
PO0207	0030	OSME EPE	2	39,91	0,33	6,50
PO0207	0030	PLEU PLA	13	132,70	2,12	21,62
PO0207	0030	POMA MIN	6	20,95	0,98	3,41
PO0207	0030	SOLE SOL	1	240,00	0,16	39,10
PO0207	0030	SPRA SPR	1	6,01	0,16	0,98
PO0207	0030	SYNG ROS	7	8,45	1,14	1,38
PO0207	0030	TRIS MIN	7	159,92	1,14	26,05
PO0293	000102X	AGON CAT	17	86,16	4,37	21,60
PO0293	000102X	POMA MIN	197	198,89	49,45	49,86
PO0293	000102X	SOLE SOL	16	2661,17	4,12	667,15
PO0293	000201X	AGON CAT	1	24,23	0,13	3,09
PO0293	000301X	AGON CAT	5	100,41	1,20	24,01
PO0293	000301X	CALL LYR	1	2,90	0,24	0,69
PO0293	000301X	OSME EPE	1	27,30	0,24	6,53
PO0293	000301X	PLEU PLA	6	81,60	1,43	19,51
PO0293	000301X	POMA MIN	12	12,70	2,87	3,04
PO0293	000301X	SOLE SOL	1	60,60	0,24	14,49
PO0293	000301X	SYNG ROS	223	81,29	53,22	19,44
PO0293	001001X	CLUPEA Z	51	177,00	9,23	32,04
PO0293	001001X	CLUP HAR	106	501,40	19,19	90,75
PO0293	001001X	OSME EPE	14	82,70	2,53	14,97
PO0293	001001X	PLEU PLA	2	8,60	0,36	1,56
PO0293	001001X	POMA MIN	62	49,40	11,22	8,94
PO0293	001001X	SPRA SPR	5	18,80	0,90	3,40
PO0293	001001X	SYNG ROS	55	19,30	9,95	3,49
PO0293	001301X	AMMO LAN	3	25,76	0,64	6,50
PO0293	001301X	CLUP HAR	207	893,35	52,29	225,60
PO0293	001301X	OSME EPE	3	21,21	0,64	5,36
PO0293	001301X	POMA MIN	63	70,95	15,94	17,92
PO0293	001301X	SPRA SPR	88	296,69	22,32	74,93
PO0293	001301X	SYNG ROS	33	5,30	8,29	1,34
PO0293	001401X	CLUP HAR	69	261,30	16,79	63,60
PO0293	001401X	OSME EPE	1	26,50	0,24	6,45
PO0293	001401X	POMA MIN	42	42,80	10,22	10,42
PO0293	001401X	SYNG ROS	34	7,80	8,28	1,90
PO0293	001801SB	AGON CAT	3	75,30		75,97
PO0293	001801SB	CILI MUS	1	89,32		90,11
PO0293	001901SB	AGON CAT	70	556,53		533,34
PO0293	001901SB	ARNO LAT	2	13,00		12,46
PO0293	001901SB	BUGL LUT	5	83,40		79,92
PO0293	001901SB	CILI MUS	2	174,66		167,38
PO0293	001901SB	LIMA LIM	31	1698,00		1627,25
PO0293	001901SB	MERL MER	6	97,30		93,25
PO0293	001901SB	PLAT FLE	3	448,60		429,91
PO0293	001901SB	PLEU PLA	33	368,70		353,34
PO0293	001901SB	TRAC VIP	1	9,80		9,39
PO0293	002601X	AGON CAT	1	5,50	0,18	1,02
PO0293	002601X	CLUP HAR	204	1140,40	37,72	210,85
PO0293	002601X	PLAT FLE	1	62,10	0,18	11,48
PO0293	002601X	PLEU PLA	3	26,40	0,55	4,88
PO0293	002601X	POMA MIN	4	4,50	0,74	0,83
PO0293	002601X	SYNG ROS	53	18,70	9,80	3,46
PO0293	003101X	AMMO LAN	2	14,70	0,40	2,97
PO0293	003101X	CLUP HAR	34	192,00	6,88	38,83
PO0293	003101X	OSME EPE	37	351,50	7,48	71,09

Expedition	Station	Rubincode	Totale Abundanz	Totalgewicht (g)	N / 1000 m ²	g / 1000 m ²
PO0293	003101X	PLEU PLA	9	55,60	1,82	11,24
PO0293	003101X	POMA MIN	11	23,30	2,22	4,71
PO0293	003101X	SOLE SOL	1	14,90	0,20	3,01
PO0293	003101X	SPRA SPR	407	400,00	82,31	80,89
PO0293	003101X	SYNG ROS	24	7,80	4,85	1,58
PO0293	003101X	ZOAR VIV	2	67,01	0,40	13,55
PO0293	003201X	AGON CAT	1	13,90	0,21	2,94
PO0293	003201X	CLUP HAR	3	13,70	0,63	2,90
PO0293	003201X	LIMA LIM	2	93,40	0,42	19,76
PO0293	003201X	OSME EPE	11	59,70	2,33	12,63
PO0293	003201X	PLAT FLE	1	28,30	0,21	5,99
PO0293	003201X	PLEU PLA	6	53,50	1,27	11,32
PO0293	003201X	POMA MIN	9	10,50	1,90	2,22
PO0293	003201X	SOLE SOL	1	6,60	0,21	1,40
PO0293	003201X	SYNG ROS	11	2,80	2,33	0,59
PO0293	003301X	CLUP HAR	5	46,70	0,83	7,75
PO0293	003301X	OSME EPE	27	197,50	4,48	32,78
PO0293	003301X	PLEU PLA	11	60,30	1,83	10,01
PO0293	003301X	POMA MIN	30	51,59	4,93	8,56
PO0293	003301X	SYNG ROS	5	1,70	0,83	0,28
PO0293	003501X	AMMO LAN	1	14,40	0,21	3,03
PO0293	003501X	CLUP HAR	8	32,60	1,68	6,87
PO0293	003501X	OSME EPE	9	94,40	1,90	19,88
PO0293	003501X	PLEU PLA	1	2,50	0,21	0,53
PO0293	003501X	POMA MIN	32	57,21	6,82	12,05
PO0293	003501X	SYNG ROS	6	1,70	1,26	0,36
PO0293	003601X	CLUP HAR	1	1,40	0,21	0,29
PO0293	003601X	OSME EPE	14	153,80	2,90	31,86
PO0293	003601X	PLAT FLE	2	96,40	0,41	19,97
PO0293	003601X	PLEU PLA	1	1,70	0,21	0,35
PO0293	003601X	POMA MIN	1	1,00	0,21	0,21
PO0293	003601X	SPRA SPR	2	14,70	0,41	3,04
PO0293	003601X	SYNG ROS	15	2,46	3,06	0,51
PO0293	003701X	CLUP HAR	8	28,30	2,43	8,61
PO0293	003701X	OSME EPE	11	87,30	3,35	26,55
PO0293	003701X	PLEU PLA	1	7,10	0,30	2,16
PO0293	003701X	POMA MIN	5	7,10	1,52	2,16
PO0293	003701X	SYNG ROS	6	1,30	1,82	0,40
PO0293	003801X	AGON CAT	1	17,40	0,23	3,95
PO0293	003801X	CLUP HAR	2	15,40	0,45	3,49
PO0293	003801X	LIMA LIM	6	411,70	1,36	93,35
PO0293	003801X	OSME EPE	9	166,70	2,04	37,80
PO0293	003801X	PLEU PLA	3	63,70	0,68	14,44
PO0293	003801X	POMA MIN	14	19,60	3,17	4,44
PO0293	003801X	SOLE SOL	2	83,10	0,45	18,84
PO0293	003801X	SYNG ROS	12	3,90	2,72	0,88
PO0293	003901X	AGON CAT	4	79,10	0,96	18,91
PO0293	003901X	CLUP HAR	3	25,80	0,72	6,17
PO0293	003901X	LIMA LIM	2	63,70	0,48	15,23
PO0293	003901X	OSME EPE	1	42,80	0,24	10,23
PO0293	003901X	PLEU PLA	13	59,12	3,11	14,13
PO0293	003901X	POMA MIN	86	110,57	20,57	26,43
PO0293	003901X	SOLE SOL	4	52,10	0,96	12,46
PO0293	003901X	SYNG ROS	4	1,40	0,96	0,33
PO0293	003901X	ZOAR VIV	2	70,04	0,48	16,74
PO0293	004101X	CLUP HAR	28	155,00	6,74	37,29
PO0293	004101X	OSME EPE	10	51,60	2,41	12,41

Expedition	Station	Rubincode	Totale Abundanz	Totalgewicht (g)	N / 1000 m ²	g / 1000 m ²
P00293	004101X	PLEU PLA	3	6,26	0,84	1,51
P00293	004101X	POMA MIN	3	7,65	0,84	1,84
P00293	004101X	SOLE SOL	1	5,50	0,24	1,32
P00293	004101X	SPRA SPR	1	7,70	0,24	1,85
P00293	004101X	SYNG ROS	12	2,73	2,99	0,66
P00294	000201A	AGON CAT	4	25,00	0,95	5,97
P00294	000201A	CILI MUS	1	4,50	0,24	1,07
P00294	000201A	CLUPEA Z	4	20,59	0,95	4,91
P00294	000201A	CLUP HAR	8	45,94	1,89	10,96
P00294	000201A	GADU MOR	4	59,41	0,95	14,18
P00294	000201A	GAST ACU	4	10,69	0,95	2,55
P00294	000201A	MYOX SCO	1	28,30	0,24	6,75
P00294	000201A	OSME EPE	4	52,28	0,95	12,48
P00294	000201A	PLAT FLE	24	260,59	5,67	62,19
P00294	000201A	PLEU PLA	12	28,51	2,84	6,80
P00294	000201A	POMA MIN	28	32,87	6,62	7,84
P00294	000201A	SPRA SPR	1	4,30	0,24	1,03
P00294	000201A	ZOAR VIV	3	34,70	0,72	8,28
P00294	000301A	AGON CAT	9	80,50	2,03	18,15
P00294	000301A	CLUP HAR	5	12,61	1,11	2,84
P00294	000301A	GADU MOR	5	270,43	1,11	60,98
P00294	000301A	GAST ACU	12	29,17	2,79	6,58
P00294	000301A	OSME EPE	5	48,70	1,11	10,98
P00294	000301A	PLAT FLE	69	718,58	15,61	162,03
P00294	000301A	PLEU PLA	129	594,25	28,98	134,00
P00294	000301A	POMA MIN	57	125,08	12,82	28,20
P00294	000301A	SPRA SPR	1	1,50	0,23	0,34
P00294	000401A	AGON CAT	4	30,70	0,91	7,02
P00294	000401A	CLUP HAR	78	452,05	17,81	103,36
P00294	000401A	GADU MOR	6	196,82	1,37	45,00
P00294	000401A	GAST ACU	6	12,88	1,37	2,95
P00294	000401A	OSME EPE	3	15,58	0,68	3,56
P00294	000401A	PLAT FLE	1	15,40	0,23	3,52
P00294	000401A	PLEU PLA	36	73,99	8,22	16,92
P00294	000401A	POMA MIN	27	36,25	6,16	8,29
P00294	000401A	SPRA SPR	1	13,30	0,23	3,04
P00294	000401A	SYNG ROS	3	1,20	0,68	0,27
P00294	000401A	TRIS LUS	1	25,80	0,23	5,90
P00294	000401A	ZOAR VIV	1	14,40	0,23	3,29
P00294	000501A	AGON CAT	2	11,20	0,43	2,39
P00294	000501A	AMMO LAN	1	8,30	0,21	1,77
P00294	000501A	CLUP HAR	3	24,60	0,64	5,26
P00294	000501A	GADU MOR	1	52,00	0,21	11,12
P00294	000501A	GAST ACU	4	8,00	0,86	1,71
P00294	000501A	OSME EPE	1	5,20	0,21	1,11
P00294	000501A	PLAT FLE	1	19,20	0,21	4,10
P00294	000501A	PLEU PLA	20	81,10	4,28	17,34
P00294	000501A	POMA MIN	2	4,10	0,43	0,88
P00294	000501A	SPRA SPR	6	45,00	1,28	9,62
P00294	000501A	SYNG ROS	1	0,70	0,21	0,15
P00294	000501A	ZOAR VIV	1	49,40	0,21	10,56
P00294	000601A	AGON CAT	1	5,60	0,19	1,06
P00294	000601A	AMMO LAN	1	13,70	0,19	2,59
P00294	000601A	CLUPEA Z	1	8,70	0,19	1,65
P00294	000601A	CLUP HAR	1	6,40	0,19	1,21
P00294	000601A	GADU MOR	2	125,40	0,38	23,75
P00294	000601A	GAST ACU	7	13,50	1,33	2,56

Expedition	Station	Rubincode	Totale Abundanz	Totalgewicht (g)	N / 1000 m ²	g / 1000 m ²
PO0294	000601A	OSME EPE	1	30,30	0,19	5,74
PO0294	000601A	PLAT FLE	2	33,50	0,38	6,34
PO0294	000601A	PLEU PLA	10	30,10	1,89	5,70
PO0294	000601A	POMA MIN	3	2,90	0,57	0,55
PO0294	000601A	SPRA SPR	2	6,10	0,38	1,16
PO0294	000701A	AGON CAT	6	47,70	1,17	9,27
PO0294	000701A	CLUP HAR	5	3,74	0,91	0,73
PO0294	000701A	GADU MOR	5	108,10	0,91	21,01
PO0294	000701A	GAST ACU	9	16,38	1,82	3,18
PO0294	000701A	MYOX SCO	4	129,40	0,78	25,15
PO0294	000701A	PLAT FLE	9	375,90	1,75	73,06
PO0294	000701A	PLEU PLA	33	92,66	6,37	18,01
PO0294	000701A	POMA MIN	2	9,70	0,39	1,89
PO0294	000701A	ZOAR VIV	6	95,30	1,17	18,52
PO0294	000801A	AGON CAT	3	32,00	0,64	6,85
PO0294	000801A	CLUP HAR	7	28,67	1,46	6,13
PO0294	000801A	GADU MOR	10	512,10	2,14	109,54
PO0294	000801A	GAST ACU	7	8,19	1,46	1,75
PO0294	000801A	MYOX SCO	4	84,70	0,86	18,12
PO0294	000801A	PLAT FLE	7	83,28	1,46	17,81
PO0294	000801A	PLEU PLA	20	58,02	4,38	12,41
PO0294	000801A	SPRA SPR	3	16,40	0,64	3,51
PO0294	000801A	ZOAR VIV	13	160,50	2,78	34,33
PO0294	000901A	GADU MOR	5	393,80	0,97	76,43
PO0294	000901A	GAST ACU	5	8,17	0,93	1,59
PO0294	000901A	MYOX SCO	2	61,10	0,39	11,86
PO0294	000901A	PLAT FLE	1	41,70	0,19	8,09
PO0294	000901A	PLEU PLA	10	15,38	1,87	2,99
PO0294	000901A	POMA MIN	10	15,38	1,87	2,99
PO0294	001001A	AGON CAT	1	4,70	0,26	1,21
PO0294	001001A	CILI MUS	1	5,00	0,26	1,29
PO0294	001001A	GADU MOR	4	151,70	1,03	39,09
PO0294	001001A	GAST ACU	1	3,30	0,26	0,85
PO0294	001001A	MERL MER	3	155,50	0,77	40,07
PO0294	001001A	PLAT FLE	11	183,72	2,87	47,34
PO0294	001001A	PLEU PLA	6	26,17	1,43	6,74
PO0294	001001A	POMA MIN	11	6,68	2,87	1,72
PO0294	001001A	SPRA SPR	6	85,18	1,43	21,95
PO0294	001001A	ZOAR VIV	3	65,80	0,77	16,96
PO0294	001101A	AGON CAT	1	6,60	0,18	1,19
PO0294	001101A	GADU MOR	2	89,20	0,36	16,02
PO0294	001101A	GAST ACU	14	33,88	2,48	6,09
PO0294	001101A	MYOX SCO	2	23,10	0,36	4,15
PO0294	001101A	PLAT FLE	35	417,66	6,21	75,02
PO0294	001101A	POMA MIN	7	6,91	1,24	1,24
PO0294	001101A	SPRA SPR	1	2,20	0,18	0,40
PO0294	001101A	ZOAR VIV	2	19,70	0,36	3,54
PO0294	001201A	CLUP HAR	3	11,32	0,52	2,06
PO0294	001201A	GADU MOR	2	110,40	0,36	20,15
PO0294	001201A	MYOX SCO	1	91,09	0,18	16,62
PO0294	001201A	PLAT FLE	3	28,86	0,52	5,27
PO0294	001201A	PLEU PLA	11	28,57	2,06	5,21
PO0294	001201A	POMA MIN	8	13,58	1,55	2,48
PO0294	001201A	SPRA SPR	1	3,00	0,18	0,55
PO0294	001201A	ZOAR VIV	2	9,80	0,36	1,79
PO0294	001301A	AGON CAT	3	54,77	0,76	13,93
PO0294	001301A	CILI MUS	1	3,50	0,25	0,89

Expedition	Station	Rubincode	Totale Abundanz	Totalgewicht (g)	N / 1000 m ²	g / 1000 m ²
PO0294	001301A	CLUP HAR	1	2,50	0,25	0,64
PO0294	001301A	GADU MOR	3	187,80	0,76	47,78
PO0294	001301A	GAST ACU	1	3,70	0,25	0,94
PO0294	001301A	MERL MER	1	30,80	0,25	7,84
PO0294	001301A	MYOX SCO	3	159,44	0,76	40,57
PO0294	001301A	PHOL GUN	1	7,60	0,25	1,93
PO0294	001301A	PLAT FLE	1	308,20	0,25	78,41
PO0294	001301A	SPRA SPR	4	17,90	1,03	4,55
PO0294	001301A	ZOAR VIV	2	9,90	0,51	2,52
PO0294	001901A	AGON CAT	1		0,25	0,00
PO0294	001901A	CLUP HAR	4	10,63	1,06	2,64
PO0294	001901A	GADU MOR	7	313,30	1,74	77,83
PO0294	001901A	GAST ACU	13	22,53	3,17	5,60
PO0294	001901A	MERL MER	4	119,67	1,06	29,73
PO0294	001901A	OSME EPE	2	18,28	0,53	4,54
PO0294	001901A	PLAT FLE	2	14,03	0,53	3,49
PO0294	001901A	PLEU PLA	11	21,26	2,64	5,28
PO0294	001901A	POMA MIN	4	4,68	1,06	1,16
PO0294	001901A	SPRA SPR	9	45,27	2,11	11,25
PO0294	002101A	AGON CAT	1	3,20	0,29	0,94
PO0294	002101A	CILI MUS	2	14,40	0,59	4,22
PO0294	002101A	CLUP HAR	6	24,98	1,76	7,31
PO0294	002101A	GAST ACU	3	5,42	0,88	1,59
PO0294	002101A	MERL MER	2	49,30	0,59	14,43
PO0294	002101A	OSME EPE	4	30,10	1,17	8,81
PO0294	002101A	PLAT FLE	18	239,90	5,29	70,24
PO0294	002101A	PLEU PLA	48	103,85	14,10	30,40
PO0294	002101A	POMA MIN	3	2,71	0,88	0,79
PO0294	002101A	SPRA SPR	3	28,29	0,88	8,28
PO0294	002101A	ZOAR VIV	1	53,80	0,29	15,75
PO0294	002201A	AGON CAT	3	32,10	0,82	8,80
PO0294	002201A	CLUP HAR	5	18,20	1,37	4,99
PO0294	002201A	GADU MOR	33	2,29	9,03	0,63
PO0294	002201A	GAST ACU	3	6,90	0,82	1,89
PO0294	002201A	MYOX SCO	1	19,50	0,27	5,35
PO0294	002201A	PLAT FLE	8	344,30	2,19	94,38
PO0294	002201A	PLEU PLA	5	12,13	1,25	3,32
PO0294	002201A	POMA MIN	5	4,35	1,25	1,19
PO0294	002201A	SPRA SPR	2	11,60	0,55	3,18
PO0294	002201A	ZOAR VIV	2	21,90	0,55	6,00
PO0295	000101A	CLUP HAR	7	26,40	1,63	6,14
PO0295	000101A	GAST ACU	21	41,50	4,88	9,65
PO0295	000101A	OSME EPE	47	90,70	10,93	21,09
PO0295	000101A	PLAT FLE	6	46,70	1,39	10,86
PO0295	000101A	PLEU PLA	62	123,80	14,41	28,78
PO0295	000101A	POMA MIN	52	77,50	12,09	18,02
PO0295	000301A	AGON CAT	2	56,90	0,53	15,21
PO0295	000301A	CILI MUS	1	23,80	0,27	6,36
PO0295	000301A	CLUPEA Z	1	3,20	0,27	0,86
PO0295	000301A	CLUP HAR	11	70,79	2,91	18,93
PO0295	000301A	GAST ACU	54	155,73	14,56	41,64
PO0295	000301A	OSME EPE	60	104,54	16,02	27,96
PO0295	000301A	PLAT FLE	152	1057,97	40,77	282,90
PO0295	000301A	PLEU PLA	38	95,29	10,19	25,48
PO0295	000301A	POMA MIN	419	561,93	112,11	150,26
PO0295	000301A	ZOAR VIV	3	30,50	0,80	8,16
PO0295	000401A	AGON CAT	2	35,60	0,36	6,36

Expedition	Station	Rubincode	Totale Abundanz	Totalgewicht (g)	N / 1000 m ²	g / 1000 m ²
PO0295	000401A	CLUP HAR	3	12,80	0,54	2,29
PO0295	000401A	GAST ACU	6	11,25	1,12	2,01
PO0295	000401A	OSME EPE	31	93,75	5,58	16,74
PO0295	000401A	PLAT FLE	94	687,50	16,74	122,75
PO0295	000401A	PLEU PLA	138	293,75	24,55	52,45
PO0295	000401A	POMA MIN	369	523,75	65,84	93,51
PO0295	000401A	SOLE SOL	6	13,13	1,12	2,34
PO0295	000401A	ZOAR VIV	1	12,70	0,18	2,27
PO0295	000601A	CALL LYR	1	3,10	0,18	0,55
PO0295	000601A	GADU MOR	1	35,30	0,18	6,26
PO0295	000601A	GAST ACU	1	1,80	0,18	0,32
PO0295	000601A	MYOX SCO	1	14,80	0,18	2,62
PO0295	000601A	PLAT FLE	3	19,40	0,53	3,44
PO0295	000601A	PLEU PLA	8	15,80	1,42	2,80
PO0295	000601A	POMA MIN	1	1,60	0,18	0,28
PO0295	000801A	CILI MUS	2	95,90	0,32	15,55
PO0295	000801A	GADU MOR	2	146,50	0,32	23,75
PO0295	000801A	MERL MER	1	43,20	0,16	7,00
PO0295	000801A	OSME EPE	2	21,70	0,32	3,52
PO0295	000801A	PLAT FLE	4	94,50	0,65	15,32
PO0295	000901A	AGON CAT	6	92,70	0,97	15,01
PO0295	000901A	CILI MUS	2	27,30	0,32	4,42
PO0295	000901A	CLUP HAR	1	5,50	0,16	0,89
PO0295	000901A	GADU MOR	2	192,47	0,38	31,17
PO0295	000901A	MERL MER	5	265,95	0,76	43,07
PO0295	000901A	MYOX SCO	1	21,60	0,16	3,50
PO0295	000901A	OSME EPE	1	8,70	0,16	1,41
PO0295	000901A	PLAT FLE	4	67,20	0,65	10,88
PO0295	000901A	PLEU PLA	2	4,80	0,32	0,78
PO0295	000901A	SPRA SPR	1	9,80	0,16	1,59
PO0295	000901A	TRIS LUS	2	105,21	0,38	17,04
PO0295	001001A	AGON CAT	2	26,80	0,41	5,44
PO0295	001001A	CALL LYR	1	3,00	0,20	0,61
PO0295	001001A	CILI MUS	2	29,40	0,41	5,96
PO0295	001001A	GADU MOR	8	494,90	1,62	100,37
PO0295	001001A	MYOX SCO	1	26,80	0,20	5,44
PO0295	001001A	PLAT FLE	10	292,20	2,03	59,26
PO0295	001001A	PLEU PLA	3	17,20	0,61	3,49
PO0295	001001A	ZOAR VIV	2	20,00	0,41	4,06
PO0295	001101A	AGON CAT	4	63,50	0,75	11,95
PO0295	001101A	GAST ACU	2	5,05	0,41	0,95
PO0295	001101A	MYOX SCO	1	15,90	0,19	2,99
PO0295	001101A	OSME EPE	4	30,31	0,83	5,70
PO0295	001101A	PHOL GUN	1	4,90	0,19	0,92
PO0295	001101A	PLAT FLE	70	746,64	13,23	140,49
PO0295	001101A	PLEU PLA	130	338,06	24,39	63,61
PO0295	001101A	POMA MIN	4	8,13	0,83	1,53
PO0295	001101A	ZOAR VIV	9	72,20	1,69	13,59
PO0295	001301A	AGON CAT	4	52,20	0,88	11,50
PO0295	001301A	BUGL LUT	4	19,77	0,87	4,35
PO0295	001301A	GADU MOR	8	599,32	1,74	131,98
PO0295	001301A	MYOX SCO	3	82,80	0,66	18,23
PO0295	001301A	OSME EPE	4	35,97	0,87	7,92
PO0295	001301A	PHOL GUN	2	18,90	0,44	4,16
PO0295	001301A	PLAT FLE	71	940,49	15,67	207,11
PO0295	001301A	PLEU PLA	95	536,46	20,89	118,14
PO0295	001301A	POMA MIN	4	9,49	0,87	2,09

Expedition	Station	Rubincode	Totale Abundanz	Totalgewicht (g)	N / 1000 m ²	g / 1000 m ²
PO0295	001301A	ZOAR VIV	6	83,20	1,32	18,32
PO0295	001401A	AGON CAT	2	25,40	0,31	3,91
PO0295	001401A	GAST ACU	1	1,30	0,15	0,20
PO0295	001401A	OSME EPE	7	95,30	1,08	14,66
PO0295	001401A	PLAT FLE	9	93,30	1,38	14,35
PO0295	001401A	PLEU PLA	15	80,60	2,31	12,40
PO0295	001401A	POMA MIN	11	25,30	1,69	3,89
PO0295	001401A	SOLE SOL	1	3,10	0,15	0,48
PO0295	001401A	ZOAR VIV	1	11,60	0,15	1,78
PO0295	001501A	AGON CAT	2	29,70	0,41	6,07
PO0295	001501A	GADU MOR	2	287,60	0,41	58,76
PO0295	001501A	MYOX SCO	1	27,60	0,20	5,64
PO0295	001501A	OSME EPE	3	17,60	0,61	3,60
PO0295	001501A	PLAT FLE	5	77,35	1,06	15,80
PO0295	001501A	PLEU PLA	3	13,19	0,53	2,70
PO0295	001501A	POMA MIN	3	2,07	0,53	0,42
PO0295	001501A	SOLE SOL	3	11,64	0,53	2,38
PO0295	001501A	ZOAR VIV	1	11,90	0,20	2,43
PO0295	001601A	AGON CAT	9	170,10	1,67	31,58
PO0295	001601A	CILI MUS	1	10,00	0,19	1,86
PO0295	001601A	GADU MOR	3	140,00	0,58	25,99
PO0295	001601A	PLAT FLE	6	115,26	1,16	21,40
PO0295	001601A	PLEU PLA	6	32,26	1,16	5,99
PO0295	001601A	POMA MIN	3	8,46	0,58	1,57
PO0295	001701A	AGON CAT	18	319,10	4,28	75,79
PO0295	001701A	MYOX SCO	1	34,90	0,24	8,29
PO0295	001701A	OSME EPE	1	2,80	0,24	0,67
PO0295	001701A	PLAT FLE	8	113,08	1,89	26,86
PO0295	001701A	PLEU PLA	16	69,28	3,78	16,45
PO0295	001701A	POMA MIN	8	6,37	1,89	1,51
PO0297	000101A	AGON CAT	1	7,60	0,21	1,60
PO0297	000101A	CLUPEA Z	7	16,35	1,56	3,44
PO0297	000101A	CLUP HAR	7	76,53	1,56	16,09
PO0297	000101A	MICR KIT	15	30,46	3,12	6,40
PO0297	000101A	MYOX SCO	21	80,20	4,42	16,86
PO0297	000101A	OSME EPE	7	150,83	1,56	31,71
PO0297	000101A	PLAT FLE	13	469,00	2,73	98,61
PO0297	000101A	PLEU PLA	89	260,80	18,75	54,83
PO0297	000101A	POMA MIN	37	89,90	7,81	18,90
PO0297	000101A	SOLE SOL	2	71,30	0,42	14,99
PO0297	000101A	SPRA SPR	7	31,21	1,56	6,56
PO0297	000101A	SYNG ROS	8	7,45	1,68	1,57
PO0297	000101A	ZOAR VIV	4	156,40	0,84	32,88
PO0297	000201A	AGON CAT	1	6,00	0,16	0,99
PO0297	000201A	CLUPEA Z	10	29,90	1,59	4,92
PO0297	000201A	CLUP HAR	19	79,09	3,17	13,01
PO0297	000201A	LIPA LIP	2	6,40	0,33	1,05
PO0297	000201A	MERL MER	1	1,80	0,16	0,30
PO0297	000201A	MICR KIT	68	124,43	11,11	20,46
PO0297	000201A	MYOX SCO	7	11,70	1,15	1,92
PO0297	000201A	OSME EPE	116	937,56	19,04	154,20
PO0297	000201A	PLEU PLA	675	1586,71	111,05	260,97
PO0297	000201A	POMA MIN	309	833,38	50,77	137,07
PO0297	000201A	SOLE SOL	2	45,10	0,33	7,42
PO0297	000201A	SPRA SPR	4	15,20	0,66	2,50
PO0297	000201A	SYNG ROS	241	32,12	39,66	5,28
PO0297	000301A	CLUPEA Z	5	18,60	0,81	3,03

Expedition	Station	Rubincode	Totale Abundanz	Totalgewicht (g)	N / 1000 m ²	g / 1000 m ²
PO0297	000301A	MERL MER	1	4,90	0,16	0,80
PO0297	000301A	MYOX SCO	20	35,00	3,25	5,69
PO0297	000301A	OSME EPE	29	269,53	4,76	43,85
PO0297	000301A	PLEU PLA	140	325,07	22,83	52,89
PO0297	000301A	POMA MIN	58	153,77	9,51	25,02
PO0297	000301A	SYNG ROS	12	7,13	1,90	1,16
PO0297	000301A	ZOAR VIV	1	22,40	0,16	3,64
PO0297	000401A	ANGU ANG	1	300,10	0,17	51,74
PO0297	000401A	CLUPEA Z	184	578,21	31,71	99,69
PO0297	000401A	CLUP HAR	20	71,10	3,43	12,26
PO0297	000401A	MYOX SCO	4	10,50	0,69	1,81
PO0297	000401A	OSME EPE	15	188,43	2,57	32,49
PO0297	000401A	PLEU PLA	676	1366,73	116,57	235,63
PO0297	000401A	POMA MIN	1357	3131,20	234,00	539,83
PO0297	000401A	SPRA SPR	19	69,70	3,28	12,02
PO0297	000401A	SYNG ROS	20	8,25	3,43	1,42
PO0297	000401A	ZOAR VIV	1	5,40	0,17	0,93
PO0297	000501A	CLUPEA Z	13	40,60	1,99	6,21
PO0297	000501A	LIPA LIP	1	2,00	0,15	0,31
PO0297	000501A	OSME EPE	5	55,40	0,77	8,48
PO0297	000501A	PLEU PLA	49	130,10	7,50	19,91
PO0297	000501A	POMA MIN	19	52,30	2,91	8,00
PO0297	000501A	SYNG ROS	2	0,82	0,31	0,13
PO0297	000601A	AGON CAT	1	4,50	0,15	0,66
PO0297	000601A	CLUPEA Z	49	181,95	7,26	26,86
PO0297	000601A	CLUP HAR	3	12,60	0,44	1,86
PO0297	000601A	LIPA LIP	3	9,70	0,44	1,43
PO0297	000601A	MERL MER	6	46,20	0,89	6,82
PO0297	000601A	MYOX SCO	2	52,80	0,30	7,80
PO0297	000601A	OSME EPE	31	365,14	4,54	53,91
PO0297	000601A	PLAT FLE	1	33,70	0,15	4,98
PO0297	000601A	PLEU PLA	98	224,37	14,52	33,13
PO0297	000601A	POMA MIN	25	54,71	3,63	8,08
PO0297	000601A	SPRA SPR	3	14,20	0,44	2,10
PO0297	000601A	SYNG ROS	12	0,98	1,82	0,15
PO0297	000701A	AGON CAT	24	113,10	4,00	18,87
PO0297	000701A	CALL LYR	13	119,10	2,17	19,87
PO0297	000701A	HYPE LAN	1	15,40	0,17	2,57
PO0297	000701A	LIMA LIM	30	200,90	5,01	33,52
PO0297	000701A	MICR KIT	6	7,90	1,00	1,32
PO0297	000701A	MYOX SCO	1	0,60	0,17	0,10
PO0297	000701A	OSME EPE	6	22,90	1,00	3,82
PO0297	000701A	PLAT FLE	1	25,00	0,17	4,17
PO0297	000701A	PLEU PLA	195	799,00	32,53	133,31
PO0297	000701A	POMA MIN	79	203,20	13,18	33,90
PO0297	000801A	AGON CAT	12	28,90	2,98	7,17
PO0297	000801A	CALL LYR	1	9,40	0,25	2,33
PO0297	000801A	EUTR GUR	7	3,40	1,69	0,84
PO0297	000801A	MERL MER	123	392,72	30,39	97,43
PO0297	000801A	MYOX SCO	1	2,30	0,25	0,57
PO0297	000801A	OSME EPE	34	334,86	8,44	83,08
PO0297	000801A	PLAT FLE	7	978,73	1,69	242,82
PO0297	000801A	PLEU PLA	960	20920,20	238,09	5190,28
PO0297	000801A	POMA MIN	54	130,00	13,51	32,25
PO0297	000801A	SOLE SOL	14	281,78	3,38	69,91
PO0297	000801A	SPRA SPR	3	17,80	0,74	4,42
PO0297	000801A	SYNG ROS	75	63,09	18,57	15,65

Expedition	Station	Rubincode	Totale Abundanz	Totalgewicht (g)	N / 1000 m ²	g / 1000 m ²
PO0297	000901A	AGON CAT	2	13,50	0,36	2,45
PO0297	000901A	LIPA LIP	1	1,90	0,18	0,34
PO0297	000901A	MERL MER	21	92,32	3,89	16,75
PO0297	000901A	MYOX SCO	2	84,00	0,36	15,24
PO0297	000901A	PLEU PLA	21	150,29	3,89	27,26
PO0297	000901A	SOLE SOL	2	30,70	0,36	5,57
PO0297	000901A	SYNG ROS	2	1,94	0,36	0,35
PO0297	001101A	AGON CAT	1	7,00	0,22	1,54
PO0297	001101A	LIPA LIP	3	11,20	0,66	2,46
PO0297	001101A	MYOX SCO	4	87,60	0,88	19,24
PO0297	001101A	OSME EPE	5	88,60	1,10	19,46
PO0297	001101A	PLAT FLE	3	122,50	0,66	26,91
PO0297	001101A	PLEU PLA	4	58,10	0,88	12,76
PO0297	001101A	POMA MIN	126	251,23	27,59	55,18
PO0297	001101A	SPRA SPR	2	9,60	0,44	2,11
PO0297	001101A	SYNG ROS	3	3,04	0,66	0,67
PO0297	001101A	ZOAR VIV	5	114,50	1,10	25,15
PO0297	001201A	CLUPEA Z	1	4,20	0,24	1,03
PO0297	001201A	CLUP HAR	16	56,07	3,92	13,70
PO0297	001201A	MICR KIT	16	35,25	3,92	8,61
PO0297	001201A	MYOX SCO	1	25,50	0,24	6,23
PO0297	001201A	OSME EPE	2	20,10	0,49	4,91
PO0297	001201A	PLAT FLE	1	25,60	0,24	6,26
PO0297	001201A	PLEU PLA	16	147,39	3,92	36,02
PO0297	001201A	POMA MIN	32	89,72	7,83	21,93
PO0297	001201A	SPRA SPR	16	89,72	3,92	21,93
PO0297	001201A	SYNG ROS	64	24,03	15,66	5,87
PO0297	001201A	ZOAR VIV	9	121,80	2,20	29,77
PO0297	001301A	CLUPEA Z	3	13,50	0,67	3,00
PO0297	001301A	CLUP HAR	5	35,70	1,11	7,92
PO0297	001301A	LIPA LIP	1	2,50	0,22	0,55
PO0297	001301A	MICR KIT	7	18,80	1,55	4,17
PO0297	001301A	MYOX SCO	133	332,20	29,51	73,71
PO0297	001301A	OSME EPE	11	128,40	2,44	28,49
PO0297	001301A	PLAT FLE	5	172,70	1,11	38,32
PO0297	001301A	PLEU PLA	10	23,40	2,26	5,19
PO0297	001301A	POMA MIN	10	17,30	2,26	3,84
PO0297	001301A	SPRA SPR	4	15,00	0,89	3,33
PO0297	001301A	SYNG ROS	2	3,96	0,44	0,88
PO0297	001301A	ZOAR VIV	9	173,00	2,00	38,38
PO0297	001401A	OSME EPE	1	8,50	0,24	2,02
PO0297	001401A	PLEU PLA	349	769,69	82,76	182,52
PO0297	001401A	POMA MIN	147	366,48	34,85	86,90
PO0297	001401A	SYNG ROS	129	49,60	30,49	11,76
PO0297	001401A	ZOAR VIV	1	6,10	0,24	1,45
PO0297	001501A	CLUP HAR	6	20,20	1,25	4,22
PO0297	001501A	OSME EPE	38	445,69	7,95	93,22
PO0297	001501A	PLAT FLE	3	35,10	0,63	7,34
PO0297	001501A	PLEU PLA	162	439,99	33,79	92,03
PO0297	001501A	POMA MIN	371	1134,67	77,52	237,32
PO0297	001501A	SYNG ROS	48	31,74	9,94	6,64
PO0297	001601A	CLUPEA Z	35	74,37	8,11	17,04
PO0297	001601A	CLUP HAR	3	14,20	0,69	3,25
PO0297	001601A	MYOX SCO	35	85,80	8,02	19,65
PO0297	001601A	OSME EPE	35	587,90	8,11	134,66
PO0297	001601A	PLAT FLE	9	348,60	2,06	79,85
PO0297	001601A	PLEU PLA	71	159,37	16,22	36,51

Expedition	Station	Rubincode	Totale Abundanz	Totalgewicht (g)	N / 1000 m ²	g / 1000 m ²
PO0297	001601A	POMA MIN	1062	3017,40	243,37	691,17
PO0297	001601A	SYNG ROS	142	45,33	32,45	10,38
PO0297	001601A	ZOAR VIV	11	83,80	2,52	19,20
PO0297	001701A	CLUP HAR	4	16,50	0,65	2,69
PO0297	001701A	LIPA LIP	1	3,00	0,16	0,49
PO0297	001701A	MYOX SCO	2	6,20	0,33	1,01
PO0297	001701A	OSME EPE	30	223,09	4,91	36,33
PO0297	001701A	PLEU PLA	90	255,25	14,73	41,56
PO0297	001701A	POMA MIN	40	104,51	6,55	17,02
PO0297	001701A	SPRA SPR	1	4,60	0,16	0,75
PO0297	001701A	SYNG ROS	181	53,36	29,46	8,69
PO0297	001701A	TRIS MIN	4	9,10	0,65	1,48
PO0297	001701A	ZOAR VIV	5	25,40	0,81	4,14
PO0297	001801A	CLUPEA Z	21	82,50	3,00	11,98
PO0297	001801A	CLUP HAR	7	27,50	1,00	3,99
PO0297	001801A	OSME EPE	34	394,63	4,99	57,31
PO0297	001801A	PLAT FLE	1	30,40	0,15	4,42
PO0297	001801A	PLEU PLA	227	495,70	32,95	71,99
PO0297	001801A	POMA MIN	28	66,69	3,99	9,69
PO0297	001801A	SPRA SPR	1	2,70	0,15	0,39
PO0297	001801A	SYNG ROS	96	49,78	13,98	7,23
PO0297	001901A	CILI MUS	2	4,80	0,35	0,85
PO0297	001901A	CLUPEA Z	2	16,80	0,35	2,97
PO0297	001901A	MYOX SCO	8	109,70	1,41	19,40
PO0297	001901A	OSME EPE	20	267,80	3,54	47,36
PO0297	001901A	PLAT FLE	2	218,00	0,35	38,55
PO0297	001901A	PLEU PLA	9	124,30	1,59	21,98
PO0297	001901A	POMA MIN	48	109,39	8,41	19,34
PO0297	001901A	SYNG ROS	5	5,14	0,88	0,91
PO0297	001901A	ZOAR VIV	14	137,50	2,48	24,32
PO0297	002001A	CLUPEA Z	1	3,80	0,25	0,94
PO0297	002001A	MYOX SCO	13	32,90	3,23	8,17
PO0297	002001A	OSME EPE	33	315,85	8,26	78,46
PO0297	002001A	PLEU PLA	50	73,14	12,39	18,17
PO0297	002001A	POMA MIN	166	309,20	41,30	76,81
PO0297	002001A	SYNG ROS	17	12,80	4,13	3,18
PO0297	002001A	ZOAR VIV	6	30,20	1,49	7,50
PO0297	002201A	AGON CAT	3	35,00	0,68	7,98
PO0297	002201A	LIPA LIP	1	3,20	0,23	0,73
PO0297	002201A	MYOX SCO	5	200,10	1,14	45,61
PO0297	002201A	OSME EPE	2	27,10	0,46	6,18
PO0297	002201A	PLAT FLE	1	55,90	0,23	12,74
PO0297	002201A	PLEU PLA	49	204,72	11,22	46,66
PO0297	002201A	POMA MIN	30	57,09	6,73	13,01
PO0297	002201A	SOLE SOL	10	223,43	2,24	50,92
PO0297	002201A	SYNG ROS	10	4,33	2,24	0,99
PO0297	002201A	ZOAR VIV	6	143,30	1,37	32,66
PO0298	0001	AGON CAT	2	15,83	0,48	3,82
PO0298	0001	GADU MOR	7	121,71	1,69	29,35
PO0298	0001	LIMA LIM	1	47,76	0,24	11,52
PO0298	0001	LIPA LIP	32	136,42	7,72	32,90
PO0298	0001	MERL MER	15	285,85	3,62	68,94
PO0298	0001	MICR KIT	3	5,83	0,72	1,41
PO0298	0001	MYOX SCO	3	8,18	0,72	1,97
PO0298	0001	PLEU PLA	53	141,91	12,78	34,23
PO0298	0001	POMA MIN	14	28,62	3,38	6,90
PO0298	0001	SOLE SOL	21	459,56	5,06	110,84

Expedition	Station	Rubincode	Totale Abundanz	Totalgewicht (g)	N / 1000 m ²	g / 1000 m ²
PO0298	0001	SYNG ROS	6	7,14	1,45	1,72
PO0298	0001	ZOAR VIV	1	26,95	0,24	6,50
PO0298	0002	AGON CAT	2	23,80	0,39	4,58
PO0298	0002	ANGU ANG	1	113,22	0,19	21,81
PO0298	0002	GADU MOR	8	164,00	1,54	31,59
PO0298	0002	LIPA LIP	201	137,80	38,71	26,54
PO0298	0002	MERL MER	19	354,30	3,66	68,24
PO0298	0002	MYOX SCO	6	53,67	1,16	10,34
PO0298	0002	OSME EPE	3	80,47	0,58	15,50
PO0298	0002	PLAT FLE	2	123,76	0,39	23,84
PO0298	0002	PLEU PLA	135	366,19	26,00	70,53
PO0298	0002	POMA MIC	1	1,44	0,19	0,28
PO0298	0002	POMA MIN	9	19,68	1,73	3,79
PO0298	0002	SOLE SOL	79	208,81	15,22	40,22
PO0298	0002	SPRA SPR	1	2,40	0,19	0,46
PO0298	0002	SYNG ROS	31	38,40	5,97	7,40
PO0298	0002	TRIS LUS	1	22,90	0,19	4,41
PO0298	0002	ZOAR VIV	1	5,34	0,19	1,03
PO0298	0003	AGON CAT	1	0,68	0,17	0,11
PO0298	0003	CLUP HAR	1	8,52	0,17	1,42
PO0298	0003	GADU MOR	16	196,81	2,67	32,88
PO0298	0003	LIPA LIP	115	300,30	19,21	50,17
PO0298	0003	LOTIDAEX	1	1,06	0,17	0,18
PO0298	0003	MERL MER	36	577,20	6,01	96,43
PO0298	0003	MICR KIT	4	13,38	0,67	2,24
PO0298	0003	MYOX SCO	25	44,96	4,18	7,51
PO0298	0003	OSME EPE	11	299,95	1,84	50,11
PO0298	0003	PLAT FLE	16	890,07	2,67	148,70
PO0298	0003	PLEU PLA	58	226,76	9,69	37,88
PO0298	0003	POMA MIN	8	14,96	1,34	2,50
PO0298	0003	SOLE SOL	11	72,10	1,84	12,05
PO0298	0003	SYNG ROS	11	13,34	1,84	2,23
PO0298	0003	ZOAR VIV	10	70,14	1,67	11,72
PO0298	0004	CLUP HAR	17	128,87	3,32	25,15
PO0298	0004	GADU MOR	63	596,90	12,29	116,48
PO0298	0004	GAST ACU	1	2,31	0,20	0,45
PO0298	0004	LIPA LIP	7	28,25	1,37	5,51
PO0298	0004	LOTIDAEX	2	3,10	0,39	0,60
PO0298	0004	MERL MER	55	547,04	10,73	106,75
PO0298	0004	OSME EPE	15	250,16	2,93	48,81
PO0298	0004	PLAT FLE	3	170,35	0,59	33,24
PO0298	0004	PLEU PLA	314	829,36	61,27	161,84
PO0298	0004	POMA MIC	1	1,11	0,20	0,22
PO0298	0004	POMA MIN	14	35,83	2,73	6,99
PO0298	0004	SOLE SOL	4	5,81	0,78	1,13
PO0298	0004	SYNG ROS	159	171,20	31,03	33,41
PO0298	0004	ZOAR VIV	2	27,83	0,39	5,43
PO0298	0005	AGON CAT	6	14,28	0,95	2,25
PO0298	0005	GADU MOR	5	75,46	0,79	11,91
PO0298	0005	LIPA LIP	63	254,27	9,94	40,12
PO0298	0005	LOTIDAEX	1	2,03	0,16	0,32
PO0298	0005	MERL MER	47	682,64	7,42	107,71
PO0298	0005	OSME EPE	3	44,53	0,47	7,03
PO0298	0005	PLAT FLE	1	58,73	0,16	9,27
PO0298	0005	PLEU PLA	108	293,64	17,04	46,33
PO0298	0005	POMA MIN	2	4,78	0,32	0,75
PO0298	0005	SOLE SOL	6	107,02	0,95	16,89

Expedition	Station	Rubincode	Totale Abundanz	Totalgewicht (g)	N / 1000 m ²	g / 1000 m ²
PO0298	0005	SYNG ROS	29	73,92	4,58	11,66
PO0298	0006	AGON CAT	1	0,67	0,15	0,10
PO0298	0006	CLUP HAR	2	8,87	0,30	1,34
PO0298	0006	GADU MOR	15	170,21	2,26	25,63
PO0298	0006	LIPA LIP	56	217,02	8,43	32,68
PO0298	0006	MERL MER	35	433,99	5,27	65,36
PO0298	0006	OSME EPE	2	34,04	0,30	5,13
PO0298	0006	PLEU PLA	312	1161,40	46,99	174,90
PO0298	0006	POMA MIN	1	2,89	0,15	0,44
PO0298	0006	SOLE SOL	7	6,96	1,05	1,05
PO0298	0006	SYNG ROS	56	68,96	8,43	10,39
PO0298	0007	GADU MOR	47	460,14	9,03	88,40
PO0298	0007	LIPA LIP	15	53,44	2,88	10,27
PO0298	0007	LOTIDAEX	2	29,39	0,38	5,65
PO0298	0007	MERL MER	37	440,84	7,11	84,69
PO0298	0007	MICR KIT	5	14,47	0,96	2,78
PO0298	0007	MYOX SCO	10	142,26	1,92	27,33
PO0298	0007	OSME EPE	6	136,15	1,15	26,16
PO0298	0007	PLAT FLE	6	327,50	1,15	62,92
PO0298	0007	PLEU PLA	34	127,96	6,53	24,58
PO0298	0007	POMA MIN	18	29,29	3,46	5,63
PO0298	0007	SOLE SOL	3	3,72	0,58	0,71
PO0298	0007	SYNG ROS	37	37,99	7,11	7,30
PO0298	0007	TRAC TRA	1	0,19	0,19	0,04
PO0298	0007	TRIS LUS	3	25,41	0,58	4,88
PO0298	0007	ZOAR VIV	15	102,80	2,88	19,75
PO0298	0008	CLUP HAR	1	11,63	0,27	3,09
PO0298	0008	LIPA LIP	10	45,56	2,66	12,12
PO0298	0008	LOTIDAEX	2	2,65	0,53	0,71
PO0298	0008	MERL MER	96	1661,70	25,54	442,14
PO0298	0008	MYOX SCO	1	70,50	0,27	18,76
PO0298	0008	OSME EPE	2	53,48	0,53	14,23
PO0298	0008	PHOL GUN	1	2,35	0,27	0,63
PO0298	0008	PLAT FLE	3	131,09	0,80	34,88
PO0298	0008	PLEU PLA	13	36,61	3,46	9,74
PO0298	0008	POMA MIN	4	9,16	1,06	2,44
PO0298	0008	SOLE SOL	3	7,86	0,80	2,09
PO0298	0008	SYNG ROS	23	25,13	6,12	6,69
PO0298	0008	ZOAR VIV	1	4,99	0,27	1,33
PO0298	0009	ANGU ANG	1	35,74	0,18	6,50
PO0298	0009	CLUP HAR	2	15,28	0,36	2,78
PO0298	0009	GADU MOR	10	144,91	1,82	26,35
PO0298	0009	LIPA LIP	35	125,46	6,36	22,81
PO0298	0009	LOTIDAEX	4	5,89	0,73	1,07
PO0298	0009	MERL MER	46	612,14	8,36	111,31
PO0298	0009	MICR KIT	1	1,85	0,18	0,34
PO0298	0009	MYOX SCO	69	214,13	12,55	38,94
PO0298	0009	OSME EPE	4	66,34	0,73	12,06
PO0298	0009	PHOL GUN	9	44,84	1,64	8,15
PO0298	0009	PLAT FLE	3	174,67	0,55	31,76
PO0298	0009	PLEU PLA	200	463,90	36,37	84,35
PO0298	0009	POMA MIC	1	1,04	0,18	0,19
PO0298	0009	POMA MIN	6	9,68	1,09	1,76
PO0298	0009	SOLE SOL	9	10,07	1,64	1,83
PO0298	0009	SYNG ROS	39	45,33	7,09	8,24
PO0298	0009	TRIS LUS	6	36,26	1,09	6,59
PO0298	0009	ZOAR VIV	14	240,92	2,55	43,81

Expedition	Station	Rubincode	Totale Abundanz	Totalgewicht (g)	N / 1000 m ²	g / 1000 m ²
PO0298	0010	CLUP HAR	2	10,11	0,48	2,41
PO0298	0010	GADU MOR	9	94,02	2,15	22,46
PO0298	0010	LIPA LIP	29	93,97	6,93	22,45
PO0298	0010	LOTIDAEX	12	35,61	2,87	8,51
PO0298	0010	MERL MER	1	16,73	0,24	4,00
PO0298	0010	MYOX SCO	28	150,30	6,69	35,90
PO0298	0010	OSME EPE	8	134,50	1,91	32,13
PO0298	0010	PHOL GUN	1	4,06	0,24	0,97
PO0298	0010	PLAT FLE	2	61,55	0,48	14,70
PO0298	0010	PLEU PLA	55	157,80	13,14	37,69
PO0298	0010	POMA MIN	40	83,88	9,55	20,04
PO0298	0010	SOLE SOL	7	9,10	1,67	2,17
PO0298	0010	SYNG ROS	7	8,40	1,67	2,01
PO0298	0010	ZOAR VIV	5	80,21	1,19	19,16
PO0298	0011	CLUP HAR	22	167,76	5,20	39,65
PO0298	0011	GADU MOR	5	32,45	1,18	7,67
PO0298	0011	LIMA LIM	1	21,72	0,24	5,13
PO0298	0011	LIPA LIP	6	18,59	1,42	4,39
PO0298	0011	LOTIDAEX	5	17,64	1,18	4,17
PO0298	0011	MERL MER	4	10,46	0,95	2,47
PO0298	0011	MYOX SCO	1	3,18	0,24	0,75
PO0298	0011	OSME EPE	1	17,98	0,24	4,25
PO0298	0011	PHOL GUN	5	23,36	1,18	5,52
PO0298	0011	PLAT FLE	2	73,39	0,47	17,35
PO0298	0011	PLEU PLA	117	252,47	27,65	59,67
PO0298	0011	POMA MIN	54	128,91	12,76	30,47
PO0298	0011	SYNG ROS	39	36,71	9,22	8,68
PO0298	0011	ZOAR VIV	9	76,38	2,13	18,05
PO0298	0012	AGON CAT	3	2,16	0,52	0,38
PO0298	0012	CLUP HAR	5	32,71	0,87	5,71
PO0298	0012	LIPA LIP	1	2,12	0,17	0,37
PO0298	0012	MERL MER	3	42,29	0,52	7,38
PO0298	0012	PLEU PLA	19	62,20	3,31	10,85
PO0298	0012	POMA MIN	2	5,82	0,35	1,02
PO0298	0012	SOLE SOL	1	0,45	0,17	0,08
PO0298	0012	SYNG ROS	1	0,03	0,17	0,01
PO0298	0014	AGON CAT	5	12,86	1,40	3,60
PO0298	0014	CLUP HAR	2	10,50	0,56	2,94
PO0298	0014	LIPA LIP	31	96,47	8,69	27,03
PO0298	0014	LOTIDAEX	1	3,05	0,28	0,85
PO0298	0014	MERL MER	6	59,50	1,68	16,67
PO0298	0014	OSME EPE	7	164,08	1,96	45,97
PO0298	0014	PLEU PLA	97	261,80	27,18	73,35
PO0298	0014	POMA MIN	8	18,38	2,24	5,15
PO0298	0014	SOLE SOL	5	7,10	1,40	1,99
PO0298	0014	SPRA SPR	1	4,20	0,28	1,18
PO0298	0014	SYNG ROS	188	209,25	52,67	58,63
PO0298	0014	ZOAR VIV	1	6,10	0,28	1,71
PO0298	0015	AGON CAT	2	19,60	0,57	5,59
PO0298	0015	ANGU ANG	1	18,77	0,28	5,35
PO0298	0015	GADU MOR	4	63,27	1,14	18,03
PO0298	0015	LIPA LIP	48	203,14	13,68	57,89
PO0298	0015	MYOX SCO	1	3,66	0,28	1,04
PO0298	0015	OSME EPE	25	485,04	7,12	138,22
PO0298	0015	PLEU PLA	275	959,55	78,36	273,43
PO0298	0015	POMA MIN	4	10,50	1,14	2,99
PO0298	0015	SOLE SOL	4	3,02	1,14	0,86

Expedition	Station	Rubincode	Totale Abundanz	Totalgewicht (g)	N / 1000 m ²	g / 1000 m ²
PO0298	0015	SYNG ROS	49	44,59	13,96	12,71
PO0298	0016	GADU MOR	16	282,05	3,28	57,88
PO0298	0016	LIPA LIP	74	301,37	15,19	61,85
PO0298	0016	LOTIDAEX	4	10,81	0,82	2,22
PO0298	0016	MERL MER	1	11,96	0,21	2,45
PO0298	0016	MYOX SCO	5	155,73	1,03	31,96
PO0298	0016	OSME EPE	20	364,46	4,10	74,79
PO0298	0016	PHOL GUN	1	11,77	0,21	2,42
PO0298	0016	PLAT FLE	2	139,51	0,41	28,63
PO0298	0016	PLEU PLA	53	241,54	10,88	49,57
PO0298	0016	SOLE SOL	2	96,37	0,41	19,78
PO0298	0016	SYNG ROS	9	10,28	1,85	2,11
PO0298	0016	TRIS MIN	1	38,57	0,21	7,92
PO0298	0016	ZOAR VIV	9	59,93	1,85	12,30
PO0298	0017	AGON CAT	1	0,61	0,17	0,10
PO0298	0017	GADU MOR	14	147,71	2,31	24,39
PO0298	0017	LIPA LIP	19	79,86	3,14	13,19
PO0298	0017	MERL MER	11	235,65	1,82	38,91
PO0298	0017	PLEU PLA	112	377,65	18,49	62,36
PO0298	0017	POMA MIN	4	11,39	0,66	1,88
PO0298	0017	SOLE SOL	8	173,36	1,32	28,62
PO0298	0017	SYNG ROS	8	9,46	1,32	1,56
PO0298	0018	GADU MOR	13	145,38	2,49	27,89
PO0298	0018	LIPA LIP	16	68,23	3,07	13,09
PO0298	0018	LOTIDAEX	1	0,71	0,19	0,14
PO0298	0018	MERL MER	10	163,15	1,92	31,30
PO0298	0018	MICR KIT	1	2,88	0,19	0,55
PO0298	0018	MYOX SCO	5	185,17	0,96	35,52
PO0298	0018	OSME EPE	1	25,96	0,19	4,98
PO0298	0018	PHOL GUN	1	14,26	0,19	2,74
PO0298	0018	PLEU PLA	18	60,77	3,45	11,66
PO0298	0018	POMA MIN	1	2,38	0,19	0,46
PO0298	0018	SOLE SOL	2	324,82	0,38	62,32
PO0298	0018	SYNG ROS	2	1,86	0,38	0,36
PO0298	0019	AGON CAT	2	17,30	0,43	3,75
PO0298	0019	LIPA LIP	57	249,24	12,36	54,02
PO0298	0019	LOTIDAEX	1	0,48	0,22	0,10
PO0298	0019	MERL MER	3	33,16	0,65	7,19
PO0298	0019	MYOX SCO	4	187,23	0,87	40,58
PO0298	0019	PLEU PLA	74	145,83	16,04	31,61
PO0298	0019	POMA MIN	8	15,09	1,73	3,27
PO0298	0019	SOLE SOL	7	32,27	1,52	6,99
PO0298	0019	SYNG ROS	2	2,87	0,43	0,62
PO0299	0001	AGON CAT	1	0,76	0,19	0,14
PO0299	0001	CILI MUS	3	4,72	0,57	0,89
PO0299	0001	CLUP HAR	8	35,46	1,51	6,71
PO0299	0001	GAST ACU	1	1,33	0,19	0,25
PO0299	0001	LIMA LIM	1	1,16	0,19	0,22
PO0299	0001	MYOX SCO	3	9,76	0,57	1,85
PO0299	0001	PHOL GUN	4	12,08	0,76	2,29
PO0299	0001	PLEU PLA	327	1079,28	61,88	204,24
PO0299	0001	POMA MIC	2	3,40	0,38	0,64
PO0299	0001	POMA MIN	158	335,74	29,90	63,54
PO0299	0001	SOLE SOL	2	1,39	0,38	0,26
PO0299	0001	SPRA SPR	1	3,65	0,19	0,69
PO0299	0001	SYNG ROS	230	62,88	43,53	11,90
PO0299	0001	ZOAR VIV	18	175,32	3,41	33,18

Expedition	Station	Rubincode	Totale Abundanz	Totalgewicht (g)	N / 1000 m ²	g / 1000 m ²
PO0299	0002	CILI MUS	3	2,92	1,59	1,55
PO0299	0002	PHOL GUN	1	4,37	0,53	2,32
PO0299	0002	PLAT FLE	8	32,93	4,24	17,47
PO0299	0002	PLEU PLA	42	93,13	22,28	49,39
PO0299	0002	POMA MIN	224	418,59	118,80	222,01
PO0299	0002	SPRA SPR	18	120,02	9,55	63,66
PO0299	0002	SYNG ROS	59	97,00	31,29	51,45
PO0299	0002	ZOAR VIV	17	191,20	9,02	101,41
PO0299	0003	CILI MUS	1	1,05	0,26	0,27
PO0299	0003	CLUPEA Z	29	23,31	7,42	5,96
PO0299	0003	PHOL GUN	1	0,45	0,26	0,12
PO0299	0003	PLEU PLA	423	1211,90	108,19	309,97
PO0299	0003	POMA MIN	144	374,40	36,83	95,76
PO0299	0003	PSET MAX	1	2,26	0,26	0,58
PO0299	0003	SPRA SPR	11	38,67	2,81	9,89
PO0299	0003	SYNG ROS	158	54,06	40,41	13,83
PO0299	0003	ZOAR VIV	2	8,14	0,51	2,08
PO0299	0004	CILI MUS	3	4,05	1,02	1,38
PO0299	0004	LIPA LIP	2	5,75	0,68	1,96
PO0299	0004	OSME EPE	3	49,37	1,02	16,84
PO0299	0004	PHOL GUN	2	19,18	0,68	6,54
PO0299	0004	PLAT FLE	5	65,83	1,71	22,45
PO0299	0004	PLEU PLA	386	867,19	131,66	295,78
PO0299	0004	POMA MIN	348	952,90	118,70	325,01
PO0299	0004	SPRA SPR	24	88,76	8,19	30,27
PO0299	0004	SYNG ROS	247	72,48	84,25	24,72
PO0299	0004	ZOAR VIV	6	65,43	2,05	22,32
PO0299	0005	CILI MUS	1	3,41	0,18	0,60
PO0299	0005	MYOX SCO	3	10,04	0,53	1,78
PO0299	0005	OSME EPE	5	154,24	0,88	27,27
PO0299	0005	PLAT FLE	2	85,00	0,35	15,03
PO0299	0005	PLEU PLA	113	273,37	19,98	48,33
PO0299	0005	POMA MIC	1	0,83	0,18	0,15
PO0299	0005	POMA MIN	137	325,22	24,22	57,50
PO0299	0005	PSET MAX	1	1,57	0,18	0,28
PO0299	0005	SPRA SPR	12	49,05	2,12	8,67
PO0299	0005	SYNG ROS	68	15,94	12,02	2,82
PO0299	0005	ZOAR VIV	39	493,30	6,90	87,21
PO0299	0006	CILI MUS	2	6,10	0,32	0,99
PO0299	0006	MICR KIT	1	1,85	0,16	0,30
PO0299	0006	MYOX SCO	1	50,28	0,16	8,13
PO0299	0006	OSME EPE	1	25,32	0,16	4,09
PO0299	0006	PLAT FLE	1	42,96	0,16	6,95
PO0299	0006	PLEU PLA	57	221,17	9,22	35,76
PO0299	0006	POMA MIN	8	19,02	1,29	3,07
PO0299	0006	PSET MAX	3	46,86	0,49	7,58
PO0299	0006	SOLE SOL	2	55,85	0,32	9,03
PO0299	0006	SYNG ROS	14	5,53	2,26	0,89
PO0299	0006	TRAC TRA	1	0,64	0,16	0,10
PO0299	0006	ZOAR VIV	1	7,15	0,16	1,16
PO0299	0007	CALL LYR	1	29,01	0,18	5,28
PO0299	0007	CILI MUS	61	203,69	11,10	37,07
PO0299	0007	LIMA LIM	3	31,78	0,55	5,78
PO0299	0007	LIPA LIP	1	5,84	0,18	1,06
PO0299	0007	MERL MER	1	6,06	0,18	1,10
PO0299	0007	MICR KIT	18	27,47	3,28	5,00
PO0299	0007	MYOX SCO	49	193,49	8,92	35,21

Expedition	Station	Rubincode	Totale Abundanz	Totalgewicht (g)	N / 1000 m ²	g / 1000 m ²
PO0299	0007	OSME EPE	1	38,18	0,18	6,95
PO0299	0007	PHOL GUN	20	134,57	3,64	24,49
PO0299	0007	PLAT FLE	10	570,70	1,82	103,86
PO0299	0007	PLEU PLA	49	200,83	8,92	36,55
PO0299	0007	POMA MIN	19	46,50	3,46	8,46
PO0299	0007	SOLE SOL	7	488,38	1,27	88,88
PO0299	0007	SPRA SPR	3	10,05	0,55	1,83
PO0299	0007	SYNG ROS	5	2,47	0,91	0,45
PO0299	0007	TRIS LUS	1	4,48	0,18	0,82
PO0299	0007	ZOAR VIV	28	186,11	5,10	33,87
PO0299	0008	GAST ACU	3	1,30	0,50	0,22
PO0299	0008	LIPA LIP	1	0,97	0,17	0,16
PO0299	0008	MYOX SCO	1	5,72	0,17	0,96
PO0299	0008	OSME EPE	5	43,12	0,84	7,23
PO0299	0008	PLAT FLE	1	81,23	0,17	13,62
PO0299	0008	PLEU PLA	10	48,00	1,68	8,05
PO0299	0008	POMA MIN	6	11,88	1,01	1,99
PO0299	0008	SOLE SOL	1	1,72	0,17	0,29
PO0299	0008	SPRA SPR	2	11,43	0,34	1,92
PO0299	0008	SYNG ROS	20	8,70	3,35	1,46
PO0299	0010	CILI MUS	23	59,37	3,75	9,67
PO0299	0010	LIPA LIP	29	102,31	4,72	16,66
PO0299	0010	PHOL GUN	1	1,82	0,16	0,30
PO0299	0010	PLEU PLA	4	19,42	0,65	3,16
PO0299	0010	POMA MIN	20	39,10	3,26	6,37
PO0299	0010	SOLE SOL	10	61,91	1,63	10,08
PO0299	0010	SPRA SPR	10	53,36	1,63	8,69
PO0299	0010	SYNG ROS	83	40,78	13,52	6,64
PO0299	0010	TRAC TRA	1	0,41	0,16	0,07
PO0299	0010	ZOAR VIV	3	23,73	0,49	3,86
PO0299	0011	AGON CAT	1	13,06	0,21	2,76
PO0299	0011	CILI MUS	15	36,45	3,16	7,69
PO0299	0011	CLUP HAR	4	23,75	0,84	5,01
PO0299	0011	LAMP FLU	1	15,31	0,21	3,23
PO0299	0011	LIPA LIP	8	20,11	1,69	4,24
PO0299	0011	OSME EPE	1	26,36	0,21	5,56
PO0299	0011	PLAT FLE	1	106,12	0,21	22,39
PO0299	0011	PLEU PLA	31	153,85	6,54	32,46
PO0299	0011	POMA MIN	29	71,57	6,12	15,10
PO0299	0011	SOLE SOL	9	14,82	1,90	3,13
PO0299	0011	SPRA SPR	3	11,34	0,63	2,39
PO0299	0011	SYNG ROS	61	24,74	12,87	5,22
PO0299	0011	TRAC TRA	6	4,78	1,27	1,01
PO0299	0011	ZOAR VIV	1	7,66	0,21	1,62
PO0299	0012	CILI MUS	11	13,81	2,52	3,17
PO0299	0012	LIPA LIP	7	21,15	1,61	4,85
PO0299	0012	MYOX SCO	11	131,76	2,52	30,22
PO0299	0012	OSME EPE	5	217,98	1,15	50,00
PO0299	0012	PHOL GUN	2	7,36	0,46	1,69
PO0299	0012	PLAT FLE	4	482,59	0,92	110,69
PO0299	0012	PLEU PLA	14	62,42	3,21	14,32
PO0299	0012	POMA MIC	1	1,50	0,23	0,34
PO0299	0012	POMA MIN	346	904,90	79,36	207,55
PO0299	0012	SOLE SOL	9	9,73	2,06	2,23
PO0299	0012	SPRA SPR	6	32,32	1,38	7,41
PO0299	0012	SYNG ROS	36	14,68	8,26	3,37
PO0299	0012	TRAC TRA	1	0,36	0,23	0,08

Expedition	Station	Rubincode	Totale Abundanz	Totalgewicht (g)	N / 1000 m ²	g / 1000 m ²
PO0299	0012	ZOAR VIV	36	468,25	8,26	107,40
PO0299	0013	CLUP HAR	9	55,11	1,50	9,18
PO0299	0013	EUTR GUR	1	1,28	0,17	0,21
PO0299	0013	LIMA LIM	8	198,12	1,33	33,02
PO0299	0013	LIPA LIP	9	35,10	1,50	5,85
PO0299	0013	MERL MER	51	301,19	8,50	50,19
PO0299	0013	MICR KIT	2	3,08	0,33	0,51
PO0299	0013	OSME EPE	1	43,57	0,17	7,26
PO0299	0013	PLEU PLA	309	2295,20	51,50	382,50
PO0299	0013	POMA MIN	11	24,48	1,83	4,08
PO0299	0013	PSET MAX	1	44,99	0,17	7,50
PO0299	0013	SOLE SOL	1	0,95	0,17	0,16
PO0299	0013	SPRA SPR	5	24,99	0,83	4,16
PO0299	0013	SYNG ROS	89	82,82	14,83	13,80
PO0299	0013	TRAC TRA	2	302,18	0,33	50,36
PO0299	0013	TRIS LUS	17	124,52	2,83	20,75
PO0299	0014	AGON CAT	1	0,25	0,33	0,08
PO0299	0014	BELO BEL	1	0,13	0,33	0,04
PO0299	0014	LIMA LIM	2	24,88	0,66	8,16
PO0299	0014	LIPA LIP	4	15,36	1,31	5,04
PO0299	0014	MERL MER	7	44,50	2,30	14,60
PO0299	0014	PLEU PLA	142	712,80	46,58	233,80
PO0299	0014	POMA MIN	11	18,50	3,61	6,07
PO0299	0014	SPRA SPR	4	18,58	1,31	6,09
PO0299	0014	SYNG ROS	8	6,26	2,62	2,05
PO0299	0014	TRAC TRA	1	1,20	0,33	0,39
PO0299	0015	AGON CAT	1	6,84	0,25	1,69
PO0299	0015	CILI MUS	3	11,47	0,74	2,83
PO0299	0015	LIPA LIP	1	1,36	0,25	0,34
PO0299	0015	MICR KIT	4	9,30	0,99	2,29
PO0299	0015	MYOX SCO	18	173,50	4,44	42,76
PO0299	0015	OSME EPE	5	194,45	1,23	47,92
PO0299	0015	PLAT FLE	3	84,16	0,74	20,74
PO0299	0015	PLEU PLA	99	1066,30	24,40	262,79
PO0299	0015	POMA MIN	28	71,47	6,90	17,61
PO0299	0015	SOLE SOL	21	1176,42	5,18	289,92
PO0299	0015	SPRA SPR	3	10,04	0,74	2,47
PO0299	0015	SYNG ROS	20	9,99	4,93	2,46
PO0299	0015	ZOAR VIV	27	399,70	6,65	98,50
PO0299	0016	CILI MUS	6	20,60	1,54	5,30
PO0299	0016	LIMA LIM	1	0,55	0,26	0,14
PO0299	0016	LIPA LIP	1	2,49	0,26	0,64
PO0299	0016	MICR KIT	11	14,83	2,83	3,81
PO0299	0016	MYOX SCO	4	11,90	1,03	3,06
PO0299	0016	OSME EPE	6	125,15	1,54	32,18
PO0299	0016	PLEU PLA	1586	6448,49	407,86	1658,32
PO0299	0016	POMA MIN	200	500,10	51,43	128,61
PO0299	0016	SOLE SOL	8	120,37	2,06	30,95
PO0299	0016	SPRA SPR	3	11,73	0,77	3,02
PO0299	0016	SYNG ROS	374	94,63	96,18	24,34
PO0299	0016	ZOAR VIV	80	721,20	20,57	185,47
PO0299	0017	CILI MUS	14	39,16	2,23	6,25
PO0299	0017	LIPA LIP	2	7,54	0,32	1,20
PO0299	0017	MICR KIT	15	22,55	2,39	3,60
PO0299	0017	MYOX SCO	63	202,30	10,05	32,27
PO0299	0017	OSME EPE	11	212,37	1,75	33,88
PO0299	0017	PHOL GUN	9	33,63	1,44	5,36

Expedition	Station	Rubincode	Totale Abundanz	Totalgewicht (g)	N / 1000 m ²	g / 1000 m ²
PO0299	0017	PLAT FLE	23	1654,60	3,67	263,96
PO0299	0017	PLEU PLA	174	731,44	27,76	116,69
PO0299	0017	POMA MIC	19	36,45	3,03	5,81
PO0299	0017	POMA MIN	475	1392,30	75,78	222,11
PO0299	0017	SOLE SOL	6	62,69	0,96	10,00
PO0299	0017	SYNG ROS	40	13,48	6,38	2,15
PO0299	0017	ZOAR VIV	315	1931,60	50,25	308,15
PO0299	0018	CILI MUS	2	13,45	0,32	2,16
PO0299	0018	CLUPEA Z	50	174,31	8,01	27,93
PO0299	0018	CLUP HAR	168	842,00	26,92	134,92
PO0299	0018	MICR KIT	2	3,67	0,32	0,59
PO0299	0018	OSME EPE	6	143,52	0,96	23,00
PO0299	0018	PHOL GUN	1	2,88	0,16	0,46
PO0299	0018	PLAT FLE	3	225,10	0,48	36,07
PO0299	0018	PLEU PLA	369	707,50	59,13	113,37
PO0299	0018	POMA MIN	271	540,35	43,43	86,59
PO0299	0018	SOLE SOL	6	2,73	0,96	0,44
PO0299	0018	SPRA SPR	76	365,76	12,18	58,61
PO0299	0018	SYNG ROS	257	63,41	41,18	10,16
PO0299	0018	TRAC TRA	4	2,96	0,64	0,47
PO0299	0018	ZOAR VIV	11	70,34	1,76	11,27
PO0299	0019	CILI MUS	7	17,02	1,00	2,43
PO0299	0019	CLUPEA Z	10	4,30	1,43	0,61
PO0299	0019	CLUP HAR	22	117,90	3,14	16,84
PO0299	0019	EUTR GUR	1	0,51	0,14	0,07
PO0299	0019	LIPA LIP	2	2,77	0,29	0,40
PO0299	0019	MYOX SCO	2	194,88	0,29	27,84
PO0299	0019	OSME EPE	5	72,83	0,71	10,40
PO0299	0019	PHOL GUN	2	6,29	0,29	0,90
PO0299	0019	PLEU PLA	222	970,53	31,71	138,63
PO0299	0019	POMA MIN	14	33,59	2,00	4,80
PO0299	0019	SOLE SOL	5	250,00	0,71	35,71
PO0299	0019	SPRA SPR	10	56,22	1,43	8,03
PO0299	0019	SYNG ROS	62	14,47	8,86	2,07
PO0299	0019	ZOAR VIV	5	41,67	0,71	5,95
PO0299	0020	CILI MUS	5	20,41	0,66	2,70
PO0299	0020	LIMA LIM	1	0,65	0,13	0,09
PO0299	0020	LIPA LIP	9	28,02	1,19	3,71
PO0299	0020	MYOX SCO	1	2,68	0,13	0,35
PO0299	0020	OSME EPE	1	21,73	0,13	2,87
PO0299	0020	PLEU PLA	46	172,96	6,08	22,87
PO0299	0020	POMA MIN	2	3,51	0,26	0,46
PO0299	0020	SOLE SOL	2	5,20	0,26	0,69
PO0299	0020	SPRA SPR	11	50,28	1,45	6,65
PO0299	0020	SYNG ROS	27	8,75	3,57	1,16
PO0299	0020	TRAC TRA	4	2,63	0,53	0,35
PO0299	0020	TRIS LUS	1	16,17	0,13	2,14
PO0299	0020	ZOAR VIV	3	18,43	0,40	2,44
PO0299	0022	CILI MUS	16	32,24	3,98	8,02
PO0299	0022	MICR KIT	2	3,90	0,50	0,97
PO0299	0022	PLAT FLE	1	61,38	0,25	15,27
PO0299	0022	PLEU PLA	11	41,17	2,74	10,24
PO0299	0022	POMA MIC	1	1,13	0,25	0,28
PO0299	0022	POMA MIN	19	49,35	4,73	12,27
PO0299	0022	SOLE SOL	2	4,62	0,50	1,15
PO0299	0022	SPRA SPR	1	3,03	0,25	0,75
PO0299	0022	SYNG ROS	14	4,87	3,48	1,21

Expedition	Station	Rubincode	Totale Abundanz	Totalgewicht (g)	N / 1000 m ²	g / 1000 m ²
PO0299	0022	TRAC TRA	1	0,71	0,25	0,18
PO0299	0022	ZOAR VIV	25	252,99	6,22	62,92
PO0396	000101A	AGON CAT	10	72,30	2,11	15,28
PO0396	000101A	CLUP HAR	1	9,20	0,21	1,94
PO0396	000101A	GADU MOR	33	63,55	6,98	13,43
PO0396	000101A	LIMA LIM	1	14,20	0,21	3,00
PO0396	000101A	LIPA LIP	9	18,90	1,90	3,99
PO0396	000101A	MERL MER	58	250,89	12,21	53,01
PO0396	000101A	MICR KIT	33	83,35	6,98	17,61
PO0396	000101A	MYOX SCO	77	126,20	16,27	26,67
PO0396	000101A	OSME EPE	1	11,60	0,21	2,45
PO0396	000101A	PLAT FLE	5	199,30	1,06	42,11
PO0396	000101A	PLEU PLA	8542	16229,99	1804,84	3429,37
PO0396	000101A	POMA MIN	25	56,12	5,23	11,86
PO0396	000101A	SPRA SPR	8	23,11	1,74	4,88
PO0396	000101A	ZOAR VIV	8	43,90	1,69	9,28
PO0396	000201A	AGON CAT	8	40,60	1,41	7,17
PO0396	000201A	CLUP HAR	2	8,50	0,35	1,50
PO0396	000201A	GADU MOR	3	4,40	0,53	0,78
PO0396	000201A	LIPA LIP	27	63,00	4,77	11,12
PO0396	000201A	MERL MER	12	34,83	2,12	6,15
PO0396	000201A	MICR KIT	36	92,47	6,36	16,32
PO0396	000201A	MYOX SCO	22	45,10	3,88	7,96
PO0396	000201A	OSME EPE	1	40,30	0,18	7,11
PO0396	000201A	PHOL GUN	1	9,30	0,18	1,64
PO0396	000201A	PLAT FLE	8	376,00	1,41	66,36
PO0396	000201A	PLEU PLA	2774	3850,00	489,57	679,46
PO0396	000201A	POMA MIN	12	13,21	2,12	2,33
PO0396	000201A	SYNG ACU	1	11,90	0,18	2,10
PO0396	000201A	SYNG ROS	1	0,50	0,18	0,09
PO0396	000201A	ZOAR VIV	5	24,00	0,88	4,24
PO0396	000301A	AGON CAT	11	59,10	1,64	8,80
PO0396	000301A	CLUP HAR	1	8,70	0,15	1,30
PO0396	000301A	GADU MOR	9	12,10	1,34	1,80
PO0396	000301A	LIPA LIP	26	52,50	3,87	7,82
PO0396	000301A	MERL MER	216	697,54	32,18	103,87
PO0396	000301A	MICR KIT	20	78,60	2,93	11,70
PO0396	000301A	MYOX SCO	23	31,90	3,42	4,75
PO0396	000301A	OSME EPE	39	609,12	5,85	90,70
PO0396	000301A	PLAT FLE	1	63,80	0,15	9,50
PO0396	000301A	PLEU PLA	19394	55962,67	2887,83	8333,17
PO0396	000301A	POMA MIN	20	55,02	2,93	8,19
PO0396	000301A	SPRA SPR	39	167,02	5,85	24,87
PO0396	000301A	SYNG ROS	2	0,63	0,30	0,09
PO0396	000301A	TRIS MIN	3	101,20	0,45	15,07
PO0396	000301A	ZOAR VIV	31	134,30	4,62	20,00
PO0396	000401A	AGON CAT	5	49,70	0,79	7,83
PO0396	000401A	CLUP HAR	45	294,94	7,16	46,44
PO0396	000401A	GADU MOR	23	25,78	3,58	4,06
PO0396	000401A	LIPA LIP	1	2,70	0,16	0,43
PO0396	000401A	MERL MER	121	417,01	19,10	65,67
PO0396	000401A	OSME EPE	15	93,26	2,39	14,69
PO0396	000401A	PLEU PLA	8560	16427,09	1347,98	2586,83
PO0396	000401A	POMA MIN	15	47,01	2,39	7,40
PO0396	000401A	SPRA SPR	8	34,12	1,19	5,37
PO0396	000401A	SYNG ROS	8	2,27	1,19	0,36
PO0396	000501A	AGON CAT	9	142,00	1,22	19,18

Expedition	Station	Rubincode	Totale Abundanz	Totalgewicht (g)	N / 1000 m ²	g / 1000 m ²
PO0396	000501A	CLUP HAR	6	29,20	0,81	3,94
PO0396	000501A	GADU MOR	21	49,63	2,86	6,70
PO0396	000501A	MERL MER	93	330,42	12,60	44,63
PO0396	000501A	OSME EPE	2	28,10	0,27	3,80
PO0396	000501A	PLEU PLA	925	1667,39	124,90	225,22
PO0396	000501A	PSET MAX	1	33,10	0,14	4,47
PO0396	000501A	SPRA SPR	8	30,54	1,15	4,13
PO0396	000501A	ZOAR VIV	1	16,12	0,14	2,18
PO0396	000601A	AGON CAT	34	329,60	4,48	43,46
PO0396	000601A	CLUP HAR	2	19,70	0,26	2,60
PO0396	000601A	GADU MOR	12	32,23	1,57	4,25
PO0396	000601A	LIMA LIM	8	408,19	1,05	53,83
PO0396	000601A	LIPA LIP	7	23,40	0,92	3,09
PO0396	000601A	MERL MER	64	269,74	8,39	35,57
PO0396	000601A	MYOX SCO	3	5,60	0,40	0,74
PO0396	000601A	OSME EPE	1	18,40	0,13	2,43
PO0396	000601A	PLAT FLE	4	141,24	0,52	18,62
PO0396	000601A	PLEU PLA	1464	2307,13	193,06	304,23
PO0396	000601A	POMA MIN	32	105,03	4,20	13,85
PO0396	000601A	ZOAR VIV	2	12,60	0,26	1,66
PO0396	000701A	AGON CAT	7	15,40	1,39	3,05
PO0396	000701A	CALL LYR	1	2,60	0,20	0,52
PO0396	000701A	LIMA LIM	8	69,70	1,58	13,81
PO0396	000701A	LIPA LIP	18	33,40	3,57	6,62
PO0396	000701A	MERL MER	4	15,60	0,79	3,09
PO0396	000701A	MICR KIT	18	64,64	3,66	12,81
PO0396	000701A	MYOX SCO	9	17,30	1,78	3,43
PO0396	000701A	OSME EPE	1	12,10	0,20	2,40
PO0396	000701A	PLAT FLE	18	696,31	3,66	137,93
PO0396	000701A	PLEU PLA	1034	1627,18	204,88	322,32
PO0396	000701A	POMA MIN	18	44,33	3,66	8,78
PO0396	000701A	PSET MAX	1	54,10	0,20	10,72
PO0396	000701A	SPRA SPR	1	9,30	0,20	1,84
PO0396	000701A	ZOAR VIV	3	5,60	0,59	1,11
PO0396	000801A	AGON CAT	5	59,00	0,98	11,57
PO0396	000801A	CLUP HAR	2	31,80	0,39	6,24
PO0396	000801A	GADU MOR	92	227,37	18,13	44,59
PO0396	000801A	LIPA LIP	11	23,30	2,16	4,57
PO0396	000801A	MERL MER	18	51,76	3,63	10,15
PO0396	000801A	MICR KIT	18	29,58	3,63	5,80
PO0396	000801A	MYOX SCO	23	43,30	4,51	8,49
PO0396	000801A	OSME EPE	18	284,68	3,63	55,83
PO0396	000801A	PLAT FLE	2	82,10	0,39	16,10
PO0396	000801A	PLEU PLA	6193	8998,75	1214,55	1764,90
PO0396	000801A	POMA MIN	37	83,18	7,25	16,31
PO0396	000801A	SOLE SOL	37	582,29	7,25	114,20
PO0396	000801A	ZOAR VIV	25	123,40	4,90	24,20
PO0396	000901A	CLUP HAR	3	28,00	0,76	7,06
PO0396	000901A	LIPA LIP	1	2,20	0,25	0,55
PO0396	000901A	MICR KIT	1	4,70	0,25	1,18
PO0396	000901A	MYOX SCO	1	2,00	0,25	0,50
PO0396	000901A	PLEU PLA	776	608,93	195,70	153,51
PO0396	000901A	POMA MIN	4	10,60	1,01	2,67
PO0396	000901A	SOLE SOL	1	9,70	0,25	2,45
PO0396	000901A	SPRA SPR	4	22,00	1,01	5,55
PO0396	000901A	ZOAR VIV	14	62,80	3,53	15,83
PO0396	001001A	LIPA LIP	2	4,40	0,39	0,85

Expedition	Station	Rubincode	Totale Abundanz	Totalgewicht (g)	N / 1000 m ²	g / 1000 m ²
PO0396	001001A	PLEU PLA	235	145,28	45,53	28,14
PO0396	001201A	AGON CAT	2	41,50	0,46	9,55
PO0396	001201A	CILI MUS	2	0,40	0,46	0,09
PO0396	001201A	GADU MOR	3	4,10	0,69	0,94
PO0396	001201A	LIPA LIP	8	15,70	1,84	3,61
PO0396	001201A	MYOX SCO	15	21,50	3,45	4,95
PO0396	001201A	OSME EPE	1	2,20	0,23	0,51
PO0396	001201A	PLAT FLE	1	43,70	0,23	10,06
PO0396	001201A	PLEU PLA	7467	15792,00	1718,89	3635,46
PO0396	001201A	POMA MIN	93	140,00	21,49	32,23
PO0396	001201A	ZOAR VIV	7	28,90	1,61	6,65
PO0396	001401A	AGON CAT	5	83,50	0,96	15,96
PO0396	001401A	AMMO LAN	2	28,90	0,38	5,52
PO0396	001401A	CLUP HAR	8	45,30	1,53	8,66
PO0396	001401A	MERL MER	2	8,60	0,38	1,64
PO0396	001401A	PLEU PLA	626	889,10	119,66	169,96
PO0396	001401A	POMA MIN	1	2,40	0,19	0,46
PO0396	001401A	SCOP RHO	1	19,90	0,19	3,80
PO0396	001401A	SOLE SOL	1	2,50	0,19	0,48
PO0396	001401A	SPRA SPR	2	7,90	0,38	1,51
PO0396	001501A	AGON CAT	26	267,40	4,35	44,77
PO0396	001501A	CLUP HAR	1	6,90	0,17	1,16
PO0396	001501A	GADU MOR	25	47,67	4,20	7,98
PO0396	001501A	LIPA LIP	4	9,00	0,67	1,51
PO0396	001501A	MERL MER	17	70,24	2,80	11,76
PO0396	001501A	PLEU PLA	3119	10206,27	522,27	1708,93
PO0396	001501A	SCOP RHO	1	25,80	0,17	4,32
PO0396	001501A	SPRA SPR	1	4,90	0,17	0,82
PO0396	001601A	AGON CAT	2	2,60	0,47	0,61
PO0396	001601A	AMMO LAN	1	5,30	0,24	1,25
PO0396	001601A	GADU MOR	30	25,93	6,98	6,11
PO0396	001601A	MERL MER	7	7,41	1,75	1,75
PO0396	001601A	PLEU PLA	1541	1914,07	363,04	451,01
PO0396	001601A	POMA MIN	15	52,59	3,49	12,39
PO0396	001601A	SPRA SPR	3	9,30	0,71	2,19
PO0396	001601A	SYNG ROS	22	20,74	5,24	4,89
PO0396	001701A	CLUP HAR	6	18,60	1,26	3,90
PO0396	001701A	GADU MOR	2	2,20	0,42	0,46
PO0396	001701A	LIPA LIP	1	5,40	0,21	1,13
PO0396	001701A	PLEU PLA	3946	5912,08	827,73	1240,05
PO0396	001701A	POMA MIN	13	35,57	2,82	7,46
PO0396	001801A	CLUP HAR	1	4,60	0,23	1,08
PO0396	001801A	GADU MOR	3	3,40	0,70	0,80
PO0396	001801A	LIPA LIP	1	1,40	0,23	0,33
PO0396	001801A	MERL MER	1	1,70	0,23	0,40
PO0396	001801A	MYOX SCO	19	26,30	4,46	6,17
PO0396	001801A	OSME EPE	1	12,50	0,23	2,93
PO0396	001801A	PLEU PLA	6860	12974,16	1610,17	3045,47
PO0396	001801A	POMA MIN	17	43,82	3,96	10,29
PO0396	001801A	SPRA SPR	1	7,10	0,23	1,67
PO0396	001801A	ZOAR VIV	17	90,80	3,99	21,31
PO0396	001901A	AGON CAT	4	22,30	0,59	3,31
PO0396	001901A	AMMO LAN	2	32,10	0,30	4,77
PO0396	001901A	GADU MOR	1	2,50	0,15	0,37
PO0396	001901A	LIMA LIM	1	42,90	0,15	6,38
PO0396	001901A	MERL MER	6	22,40	0,89	3,33
PO0396	001901A	PLEU PLA	315	447,90	46,82	66,58

Expedition	Station	Rubincode	Totale Abundanz	Totalgewicht (g)	N / 1000 m ²	g / 1000 m ²
PO0396	001901A	POMA MIN	1	3,50	0,15	0,52
PO0396	002001A	AGON CAT	38	255,80	7,46	50,24
PO0396	002001A	ANGU ANG	1	83,00	0,20	16,30
PO0396	002001A	CALL LYR	4	15,80	0,79	3,10
PO0396	002001A	CILI MUS	1	0,30	0,20	0,06
PO0396	002001A	CLUP HAR	11	34,81	2,21	6,84
PO0396	002001A	GADU MOR	28	78,04	5,51	15,33
PO0396	002001A	LIMA LIM	45	265,54	8,82	52,16
PO0396	002001A	LIPA LIP	46	92,80	9,04	18,23
PO0396	002001A	MERL MER	6	127,44	1,10	25,03
PO0396	002001A	MICR KIT	17	26,95	3,31	5,29
PO0396	002001A	MYOX SCO	99	151,70	19,45	29,80
PO0396	002001A	PLAT FLE	6	65,68	1,10	12,90
PO0396	002001A	PLEU PLA	1291	2223,72	253,62	436,78
PO0396	002001A	POMA MIN	6	17,40	1,10	3,42
PO0396	002001A	SOLE SOL	1	14,00	0,20	2,75
PO0396	002001A	SPRA SPR	6	68,49	1,10	13,45
PO0396	002001A	SYNG ROS	1	0,50	0,20	0,10
PO0396	002001A	ZOAR VIV	53	287,20	10,41	56,41
PO0495	000101A	CLUPEA Z	16	52,98	3,32	11,13
PO0495	000101A	CLUP HAR	37	157,19	7,74	33,01
PO0495	000101A	LIMA LIM	7	6,84	1,47	1,44
PO0495	000101A	LIPA LIP	6	13,10	1,26	2,75
PO0495	000101A	MERL MER	2	1,93	0,37	0,41
PO0495	000101A	MICR KIT	16	29,12	3,32	6,12
PO0495	000101A	MYOX SCO	31	123,50	6,51	25,94
PO0495	000101A	OSME EPE	16	202,98	3,32	42,63
PO0495	000101A	PLAT FLE	9	248,60	1,84	52,21
PO0495	000101A	PLEU PLA	23	101,23	4,79	21,26
PO0495	000101A	POMA MIN	2	2,11	0,37	0,44
PO0495	000101A	SPRA SPR	5	19,82	1,11	4,16
PO0495	000101A	SYNG ACU	2	56,67	0,37	11,90
PO0495	000101A	SYNG ROS	28	14,25	5,90	2,99
PO0495	000101A	ZOAR VIV	1	19,40	0,21	4,07
PO0495	000301A	AGON CAT	2	6,20	0,30	0,94
PO0495	000301A	ARNO LAT	7	21,05	1,10	3,20
PO0495	000301A	CILI MUS	2	5,10	0,30	0,78
PO0495	000301A	CLUPEA Z	7	24,68	1,10	3,75
PO0495	000301A	CLUP HAR	65	347,66	9,94	52,89
PO0495	000301A	GADU MOR	3	5,80	0,46	0,88
PO0495	000301A	LIMA LIM	73	68,23	11,04	10,38
PO0495	000301A	LIPA LIP	7	14,80	1,06	2,25
PO0495	000301A	MERL MER	7	20,32	1,10	3,09
PO0495	000301A	MICR KIT	7	17,42	1,10	2,65
PO0495	000301A	MYOX SCO	37	102,80	5,63	15,64
PO0495	000301A	OSME EPE	87	1942,98	13,25	295,59
PO0495	000301A	PLAT FLE	73	2114,27	11,04	321,65
PO0495	000301A	PLEU PLA	878	4647,34	133,61	707,01
PO0495	000301A	POMA MIN	29	90,73	4,42	13,80
PO0495	000301A	SOLE SOL	7	105,97	1,10	16,12
PO0495	000301A	SPRA SPR	1	7,80	0,15	1,19
PO0495	000301A	SYNG ROS	660	299,83	100,48	45,61
PO0495	000401A	CLUPEA Z	27	79,26	4,57	13,55
PO0495	000401A	CLUP HAR	59	209,58	10,15	35,83
PO0495	000401A	GADIDAEX	3	2,08	0,51	0,36
PO0495	000401A	MYOX SCO	1	40,30	0,17	6,89
PO0495	000401A	OSME EPE	3	78,37	0,51	13,40

Expedition	Station	Rubincode	Totale Abundanz	Totalgewicht (g)	N / 1000 m ²	g / 1000 m ²
PO0495	000401A	PLAT FLE	6	324,47	1,01	55,47
PO0495	000401A	PLEU PLA	3316	7131,81	566,86	1219,19
PO0495	000401A	POMA MIN	47	58,78	8,12	10,05
PO0495	000401A	SOLE SOL	3	2,08	0,51	0,36
PO0495	000401A	SPRA SPR	1	1,40	0,17	0,24
PO0495	000401A	SYNG ROS	315	86,83	53,79	14,84
PO0495	000501A	AGON CAT	2	1,90	0,29	0,28
PO0495	000501A	CLUPEA Z	10	19,83	1,49	2,90
PO0495	000501A	CLUP HAR	13	47,54	1,86	6,96
PO0495	000501A	GADIDAE	1	1,00	0,15	0,15
PO0495	000501A	LIPA LIP	6	19,00	0,88	2,78
PO0495	000501A	MERL MER	8	12,20	1,12	1,79
PO0495	000501A	OSME EPE	8	76,02	1,12	11,13
PO0495	000501A	PLAT FLE	15	688,22	2,23	100,79
PO0495	000501A	PLEU PLA	196	616,78	28,67	90,33
PO0495	000501A	POMA MIN	3	0,51	0,37	0,07
PO0495	000501A	SPRA SPR	3	2,54	0,37	0,37
PO0495	000501A	SYNG ROS	153	56,34	22,34	8,25
PO0495	000601A	AGON CAT	1	0,80	0,14	0,12
PO0495	000601A	CLUPEA Z	2	3,20	0,29	0,46
PO0495	000601A	CLUP HAR	5	30,90	0,72	4,45
PO0495	000601A	LIPA LIP	57	198,10	8,21	28,53
PO0495	000601A	MERL MER	7	18,60	1,01	2,68
PO0495	000601A	MYOX SCO	1	1,30	0,14	0,19
PO0495	000601A	OSME EPE	4	101,50	0,58	14,62
PO0495	000601A	PLAT FLE	7	438,60	1,01	63,16
PO0495	000601A	PLEU PLA	19	72,30	2,74	10,41
PO0495	000601A	POMA MIN	2	1,80	0,29	0,26
PO0495	000601A	SOLE SOL	1	17,80	0,14	2,56
PO0495	000601A	SPRA SPR	5	19,30	0,72	2,78
PO0495	000601A	SYNG ROS	56	29,53	8,06	4,25
PO0495	000701A	CLUPEA Z	2	3,00	0,38	0,56
PO0495	000701A	GADIDAE	1	1,40	0,19	0,26
PO0495	000701A	LIPA LIP	1	2,90	0,19	0,55
PO0495	000701A	PLAT FLE	1	48,70	0,19	9,16
PO0495	000701A	PLEU PLA	12	37,70	2,26	7,09
PO0495	000701A	SYNG ROS	6	2,05	1,13	0,39
PO0495	000901A	AMMO LAN	1	7,90	0,18	1,41
PO0495	000901A	CLUPEA Z	1	2,60	0,18	0,46
PO0495	000901A	GADIDAE	3	35,45	0,54	6,32
PO0495	000901A	MERL MER	3	13,52	0,54	2,41
PO0495	000901A	OSME EPE	6	168,22	1,07	29,98
PO0495	000901A	PLAT FLE	1	63,80	0,18	11,37
PO0495	000901A	SYNG ROS	9	3,60	1,61	0,64
PO0495	000901A	TRIS LUS	3	6,01	0,54	1,07
PO0495	000901A	TRIS MIN	3	5,41	0,54	0,96
PO0495	001001A	CLUP HAR	1	4,00	0,15	0,61
PO0495	001001A	GADIDAE	2	3,10	0,31	0,47
PO0495	001001A	GADU MOR	4	10,20	0,61	1,56
PO0495	001001A	MERL MER	3	52,50	0,46	8,02
PO0495	001001A	OSME EPE	4	117,80	0,61	18,00
PO0495	001001A	PLEU PLA	6	21,20	0,92	3,24
PO0495	001001A	SYNG ROS	1	1,68	0,15	0,26
PO0495	001001A	TRIS LUS	1	12,50	0,15	1,91
PO0495	001001A	TRIS MIN	6	10,10	0,92	1,54
PO0495	001102A	AGON CAT	1	0,70	0,21	0,15
PO0495	001102A	CLUPEA Z	19	30,83	3,99	6,58

Expedition	Station	Rubincode	Totale Abundanz	Totalgewicht (g)	N / 1000 m ²	g / 1000 m ²
PO0495	001102A	CLUP HAR	1	1,90	0,21	0,41
PO0495	001102A	LIPA LIP	1	2,60	0,21	0,55
PO0495	001102A	MERL MER	1	4,20	0,21	0,90
PO0495	001102A	PLEU PLA	131	154,15	27,91	32,89
PO0495	001102A	POMA MIN	3	10,70	0,64	2,28
PO0495	001102A	SYNG ROS	747	133,60	159,48	28,51
PO0495	001201A	CLUPEA Z	58	203,64	14,00	49,17
PO0495	001201A	CLUP HAR	34	105,75	8,24	25,53
PO0495	001201A	LIMA LIM	3	23,88	0,82	5,77
PO0495	001201A	OSME EPE	3	27,29	0,82	6,59
PO0495	001201A	PLAT FLE	1	98,30	0,24	23,74
PO0495	001201A	PLEU PLA	1808	2264,65	436,55	546,84
PO0495	001201A	POMA MIN	92	194,43	22,24	46,95
PO0495	001201A	SCOP RHO	1	64,60	0,24	15,60
PO0495	001201A	SOLE SOL	3	1,71	0,82	0,41
PO0495	001201A	SYNG ROS	1248	167,49	301,47	40,44
PO0495	001301A	AGON CAT	1	1,10	0,24	0,27
PO0495	001301A	CLUPEA Z	9	31,60	2,19	7,70
PO0495	001301A	CLUP HAR	10	30,82	2,50	7,51
PO0495	001301A	LIMA LIM	10	6,16	2,50	1,50
PO0495	001301A	LIPA LIP	8	24,30	1,95	5,92
PO0495	001301A	MERL MER	1	4,10	0,24	1,00
PO0495	001301A	MYOX SCO	1	0,90	0,24	0,22
PO0495	001301A	OSME EPE	5	158,10	1,22	38,53
PO0495	001301A	PLAT FLE	41	699,61	10,02	170,51
PO0495	001301A	PLEU PLA	2825	4856,20	688,53	1183,53
PO0495	001301A	POMA MIN	267	324,64	65,10	79,12
PO0495	001301A	SYNG ROS	3986	474,22	971,46	115,57
PO0495	001301A	ZOAR VIV	1	5,20	0,24	1,27
PO0495	001401A	CALL LYR	1	4,10	0,20	0,82
PO0495	001401A	CILI MUS	1	3,60	0,20	0,72
PO0495	001401A	CLUPEA Z	47	117,04	9,31	23,44
PO0495	001401A	CLUP HAR	6	58,70	1,20	11,75
PO0495	001401A	LIPA LIP	6	22,50	1,20	4,51
PO0495	001401A	MERL MER	1	3,10	0,20	0,62
PO0495	001401A	MICR KIT	16	34,88	3,10	6,98
PO0495	001401A	MYOX SCO	10	25,30	2,00	5,07
PO0495	001401A	PLAT FLE	23	457,32	4,66	91,58
PO0495	001401A	PLEU PLA	326	1030,13	65,19	206,29
PO0495	001401A	POMA MIN	23	79,06	4,66	15,83
PO0495	001401A	SOLE SOL	8	17,83	1,55	3,57
PO0495	001401A	SYNG ROS	527	70,23	105,55	14,06
PO0495	001502A	CLUPEA Z	41	127,87	7,75	24,23
PO0495	001502A	CLUP HAR	12	44,37	2,21	8,41
PO0495	001502A	LIPA LIP	1	6,60	0,19	1,25
PO0495	001502A	OSME EPE	3	34,40	0,57	6,52
PO0495	001502A	PLAT FLE	23	383,01	4,43	72,59
PO0495	001502A	PLEU PLA	841	2380,41	159,34	451,13
PO0495	001502A	SPRA SPR	6	17,52	1,11	3,32
PO0495	001502A	SYNG ROS	12	1,23	2,21	0,23
PO0495	001502A	TRIS LUS	1	2,10	0,19	0,40
PO0495	001601A	AGON CAT	3	9,60	0,51	1,62
PO0495	001601A	CALL LYR	1	8,10	0,17	1,37
PO0495	001601A	CLUPEA Z	1	4,60	0,17	0,78
PO0495	001601A	CLUP HAR	6	28,60	1,01	4,82
PO0495	001601A	LIMA LIM	5	4,90	0,84	0,83
PO0495	001601A	LIPA LIP	2	5,20	0,34	0,88

Expedition	Station	Rubincode	Totale Abundanz	Totalgewicht (g)	N / 1000 m ²	g / 1000 m ²
PO0495	001601A	MERL MER	6	20,20	1,01	3,41
PO0495	001601A	OSME EPE	1	32,70	0,17	5,51
PO0495	001601A	PLAT FLE	4	98,80	0,67	16,66
PO0495	001601A	PLEU PLA	51	106,40	8,60	17,94
PO0495	001601A	PSET MAX	1	58,40	0,17	9,85
PO0495	001701A	AGON CAT	1	0,70	0,18	0,13
PO0495	001701A	CILI MUS	5	9,90	0,90	1,78
PO0495	001701A	CLUPEA Z	19	117,31	3,34	21,14
PO0495	001701A	CLUP HAR	25	80,26	4,45	14,47
PO0495	001701A	GADIDAEX	43	80,88	7,79	14,58
PO0495	001701A	GADU MOR	12	35,19	2,23	6,34
PO0495	001701A	LIMA LIM	204	164,23	36,72	29,60
PO0495	001701A	LIPA LIP	6	7,41	1,11	1,34
PO0495	001701A	MERL MER	12	17,29	2,23	3,12
PO0495	001701A	MYOX SCO	23	63,60	4,15	11,46
PO0495	001701A	OSME EPE	6	111,75	1,11	20,14
PO0495	001701A	PLAT FLE	2	74,80	0,36	13,48
PO0495	001701A	PLEU PLA	117	881,65	21,14	158,91
PO0495	001701A	POMA MIN	6	4,94	1,11	0,89
PO0495	001701A	SPRA SPR	2	8,80	0,36	1,59
PO0495	001701A	SYNG ROS	56	39,39	10,02	7,10
PO0495	001801A	AGON CAT	1	0,80	0,19	0,15
PO0495	001801A	GADU MOR	1	1,90	0,19	0,36
PO0495	001801A	GAST ACU	2	0,68	0,43	0,13
PO0495	001801A	LIPA LIP	5	12,60	0,95	2,39
PO0495	001801A	MYOX SCO	1	3,90	0,19	0,74
PO0495	001801A	PLAT FLE	5	154,50	0,86	29,26
PO0495	001801A	PLEU PLA	16	50,14	2,99	9,50
PO0495	001801A	SOLE SOL	2	60,53	0,43	11,46
PO0495	001801A	SPRA SPR	2	7,23	0,43	1,37
PO0495	001801A	SYNG ROS	2	1,81	0,43	0,34
PO0495	001901A	CLUP HAR	6	40,92	1,34	9,52
PO0495	001901A	GADU MOR	6	7,49	1,34	1,74
PO0495	001901A	LIMA LIM	6	4,03	1,34	0,94
PO0495	001901A	LIPA LIP	3	7,80	0,70	1,82
PO0495	001901A	MERL MER	6	23,63	1,34	5,50
PO0495	001901A	MICR KIT	6	12,10	1,34	2,82
PO0495	001901A	MYOX SCO	22	99,70	5,12	23,20
PO0495	001901A	OSME EPE	2	25,30	0,47	5,89
PO0495	001901A	PLAT FLE	6	180,41	1,34	41,99
PO0495	001901A	PLEU PLA	35	162,54	8,05	37,83
PO0495	001901A	POMA MIN	6	19,02	1,34	4,43
PO0495	001901A	SOLE SOL	6	11,53	1,34	2,68
PO0495	001901A	SPRA SPR	2	16,30	0,47	3,79
PO0495	001901A	SYNG ROS	12	4,61	2,68	1,07
PO0495	001901A	ZOAR VIV	1	5,30	0,23	1,23
PO0495	002001A	CLUPEA Z	8	6,82	1,89	1,57
PO0495	002001A	CLUP HAR	25	106,99	5,66	24,65
PO0495	002001A	LIPA LIP	1	1,90	0,23	0,44
PO0495	002001A	OSME EPE	3	34,12	0,63	7,86
PO0495	002001A	PHOL GUN	1	17,50	0,23	4,03
PO0495	002001A	PLEU PLA	19	25,93	4,40	5,97
PO0495	002001A	SPRA SPR	3	5,19	0,63	1,19
PO0495	002001A	SYNG ROS	30	8,16	6,92	1,88
PO0495	002101A	AGON CAT	1	0,90	0,20	0,18
PO0495	002101A	CLUPEA Z	8	3,66	1,60	0,72
PO0495	002101A	CLUP HAR	37	142,11	7,22	27,99

Expedition	Station	Rubincode	Totale Abundanz	Totalgewicht (g)	N / 1000 m ²	g / 1000 m ²
PO0495	002101A	LIPA LIP	3	7,80	0,59	1,54
PO0495	002101A	MYOX SCO	16	40,10	3,15	7,90
PO0495	002101A	PLEU PLA	4	6,11	0,80	1,20
PO0495	002101A	SOLE SOL	12	28,10	2,41	5,53
PO0495	002101A	SPRA SPR	12	44,38	2,41	8,74
PO0495	002101A	SYNG ROS	277	49,72	54,53	9,79
PO0594	000101A	BUGL LUT	7	5,07	1,48	1,04
PO0594	000101A	CLUPEA Z	22	96,34	4,45	19,71
PO0594	000101A	CLUP HAR	1	2,10	0,20	0,43
PO0594	000101A	LIPA LIP	19	40,90	3,89	8,37
PO0594	000101A	MICR KIT	7	18,83	1,48	3,85
PO0594	000101A	MYOX SCO	53	145,50	10,84	29,77
PO0594	000101A	OSME EPE	7	132,56	1,48	27,12
PO0594	000101A	PHOL GUN	3	21,51	0,61	4,40
PO0594	000101A	PLEU PLA	348	775,07	71,14	158,59
PO0594	000101A	POMA MIN	7	18,83	1,48	3,85
PO0594	000101A	SOLE SOL	7	4,35	1,48	0,89
PO0594	000101A	SPRA SPR	1	3,30	0,20	0,68
PO0594	000101A	SYNG ROS	217	124,66	44,47	25,51
PO0594	000101A	ZOAR VIV	8	42,90	1,64	8,78
PO0594	000201A	AGON CAT	1	1,00	0,17	0,17
PO0594	000201A	BUGL LUT	19	18,07	3,20	3,04
PO0594	000201A	CLUPEA Z	29	173,04	4,79	29,09
PO0594	000201A	CLUP HAR	10	50,39	1,60	8,47
PO0594	000201A	LIPA LIP	16	38,10	2,69	6,40
PO0594	000201A	MYOX SCO	6	21,50	1,01	3,61
PO0594	000201A	OSME EPE	38	1407,17	6,39	236,53
PO0594	000201A	PHOL GUN	1	9,60	0,17	1,61
PO0594	000201A	PLAT FLE	1	37,80	0,17	6,35
PO0594	000201A	PLEU PLA	1331	3314,46	223,74	557,12
PO0594	000201A	POMA MIN	76	135,96	12,79	22,85
PO0594	000201A	SOLE SOL	29	8,56	4,79	1,44
PO0594	000201A	SYNG ROS	647	332,21	108,67	55,84
PO0594	000201A	ZOAR VIV	8	63,69	1,34	10,71
PO0594	000301A	CILI MUS	2	8,30	0,28	1,17
PO0594	000301A	CLUP HAR	12	28,76	1,62	4,06
PO0594	000301A	LIPA LIP	14	35,92	1,98	5,07
PO0594	000301A	MERL MER	3	13,20	0,42	1,86
PO0594	000301A	MYOX SCO	32	76,18	4,52	10,75
PO0594	000301A	OSME EPE	58	955,99	8,12	134,95
PO0594	000301A	PHOL GUN	2	8,55	0,28	1,21
PO0594	000301A	PLAT FLE	3	150,50	0,42	21,24
PO0594	000301A	PLEU PLA	1668	5022,67	235,47	709,01
PO0594	000301A	POMA MIN	46	116,19	6,50	16,40
PO0594	000301A	SOLE SOL	23	4,60	3,25	0,65
PO0594	000301A	SPRA SPR	2	5,80	0,28	0,82
PO0594	000301A	SYNG ACU	1	40,50	0,14	5,72
PO0594	000301A	SYNG ROS	1415	724,53	199,74	102,28
PO0594	000301A	ZOAR VIV	23	185,29	3,25	26,16
PO0594	000501A	CILI MUS	1	3,70	0,16	0,60
PO0594	000501A	CLUPEA Z	90	323,27	14,55	52,38
PO0594	000501A	LIPA LIP	1	2,20	0,16	0,36
PO0594	000501A	MERL MER	22	163,13	3,64	26,43
PO0594	000501A	MYOX SCO	2	5,00	0,32	0,81
PO0594	000501A	OSME EPE	15	441,50	2,43	71,54
PO0594	000501A	PHOL GUN	1	42,70	0,16	6,92
PO0594	000501A	PLAT FLE	1	44,20	0,16	7,16

Expedition	Station	Rubincode	Totale Abundanz	Totalgewicht (g)	N / 1000 m ²	g / 1000 m ²
PO0594	000501A	PLEU PLA	90	249,93	14,55	40,50
PO0594	000501A	POMA MIN	7	20,20	1,21	3,27
PO0594	000501A	SPRA SPR	3	14,90	0,49	2,41
PO0594	000501A	SYNG ROS	135	96,31	21,83	15,61
PO0594	000501A	ZOAR VIV	2	12,03	0,32	1,95
PO0594	000601A	CLUPEA Z	9	23,60	1,24	3,26
PO0594	000601A	LIPA LIP	6	21,60	0,83	2,98
PO0594	000601A	MERL MER	27	281,00	3,73	38,79
PO0594	000601A	OSME EPE	3	87,50	0,41	12,08
PO0594	000601A	PLAT FLE	1	303,80	0,14	41,94
PO0594	000601A	PLEU PLA	19	65,00	2,62	8,97
PO0594	000601A	SOLE SOL	2	360,00	0,28	49,70
PO0594	000601A	SPRA SPR	1	4,00	0,14	0,55
PO0594	000601A	SYNG ROS	44	35,37	6,07	4,88
PO0594	001401A	CILI MUS	1	1,30	0,21	0,28
PO0594	001401A	CLUPEA Z	4	11,20	0,85	2,39
PO0594	001401A	CLUP HAR	1	3,80	0,21	0,81
PO0594	001401A	PLEU PLA	407	1066,20	86,81	227,43
PO0594	001401A	POMA MIN	8	21,90	1,71	4,67
PO0594	001401A	SYNG ROS	36	5,99	7,68	1,28
PO0594	001501A	CILI MUS	5	9,60	0,93	1,79
PO0594	001501A	CLUPEA Z	1	4,10	0,19	0,76
PO0594	001501A	CLUP HAR	10	33,72	1,80	6,28
PO0594	001501A	LIPA LIP	4	7,60	0,75	1,42
PO0594	001501A	MYOX SCO	23	73,90	4,29	13,77
PO0594	001501A	OSME EPE	6	75,60	1,12	14,09
PO0594	001501A	PLAT FLE	8	446,10	1,49	83,14
PO0594	001501A	PLEU PLA	2621	7091,28	488,42	1321,61
PO0594	001501A	POMA MIN	279	574,24	52,07	107,02
PO0594	001501A	SOLE SOL	10	2,89	1,80	0,54
PO0594	001501A	SYNG ROS	164	96,93	30,53	18,06
PO0594	001501A	ZOAR VIV	72	404,46	13,42	75,38
PO0594	001701A	AGON CAT	5	29,33	0,74	4,31
PO0594	001701A	CLUPEA Z	2	5,20	0,29	0,76
PO0594	001701A	CLUP HAR	2	6,80	0,29	1,00
PO0594	001701A	LIPA LIP	5	14,26	0,74	2,10
PO0594	001701A	MERL MER	5	31,70	0,74	4,66
PO0594	001701A	MYOX SCO	1	1,10	0,15	0,16
PO0594	001701A	OSME EPE	2	27,70	0,29	4,07
PO0594	001701A	PLEU PLA	69	122,30	10,15	17,99
PO0594	001701A	POMA MIN	4		0,59	0,00
PO0594	001701A	SYNG ROS	19	11,57	2,79	1,70
PO0594	001701A	TRAC VIP	1	3,60	0,15	0,53
PO0594	001901A	CILI MUS	15	18,04	3,11	3,74
PO0594	001901A	CLUPEA Z	18	41,95	3,70	8,70
PO0594	001901A	LIPA LIP	3	6,48	0,62	1,34
PO0594	001901A	MERL MER	9	41,50	1,85	8,60
PO0594	001901A	MICR KIT	4	11,60	0,93	2,41
PO0594	001901A	MYOX SCO	30	66,19	6,22	13,72
PO0594	001901A	OSME EPE	9	150,39	1,85	31,18
PO0594	001901A	PHOL GUN	6	28,44	1,24	5,90
PO0594	001901A	PLEU PLA	120	207,95	24,98	43,11
PO0594	001901A	POMA MIN	18	14,73	3,70	3,05
PO0594	001901A	SOLE SOL	4	0,89	0,93	0,19
PO0594	001901A	SYNG ROS	652	305,01	135,06	63,23
PO0594	001901A	ZOAR VIV	2		0,41	0,00
PO0594	002001A1	AMMO LAN	12	28,81	2,11	5,26

Expedition	Station	Rubincode	Totale Abundanz	Totalgewicht (g)	N / 1000 m ²	g / 1000 m ²
PO0594	002001A1	CILI MUS	2	4,93	0,37	0,90
PO0594	002001A1	CLUPEA Z	2	9,50	0,37	1,74
PO0594	002001A1	CLUP HAR	1	2,70	0,18	0,49
PO0594	002001A1	MYOX SCO	40	93,14	7,31	17,01
PO0594	002001A1	OSME EPE	12	328,47	2,11	60,00
PO0594	002001A1	PLEU PLA	426	787,17	77,89	143,78
PO0594	002001A1	POMA MIN	12	55,32	2,11	10,10
PO0594	002001A1	SPRA SPR	1	2,20	0,18	0,40
PO0594	002001A1	SYNG ROS	46	14,87	8,42	2,72
PO0594	002001A1	TRIS MIN	1	8,70	0,18	1,59
PO0594	002001A1	ZOAR VIV	23	299,23	4,20	54,66
PO0594	002101A	CLUPEA Z	27	92,60	5,58	19,12
PO0594	002101A	OSME EPE	12	129,26	2,39	26,69
PO0594	002101A	PLEU PLA	58	93,38	11,95	19,28
PO0594	002101A	SOLE SOL	4	1,54	0,80	0,32
PO0594	002101A	SPRA SPR	8	21,99	1,59	4,54
PO0594	002101A	SYNG ROS	567	68,37	117,14	14,12
PO0594	006501A	CLUP HAR	1	3,30	0,12	0,38
PO0594	006501A	LIPA LIP	3	7,80	0,35	0,90
PO0594	006501A	MERL MER	10	29,90	1,15	3,44
PO0594	006501A	PLEU PLA	144	688,00	16,56	79,13
PO0594	006501A	SYNG ROS	2	1,90	0,23	0,22
PO0594	006501A	TRIG LUC	2	151,90	0,23	17,47
PO0594	006801A	AGON CAT	10	56,00	1,47	8,21
PO0594	006801A	CLUPEA Z	2	6,40	0,29	0,94
PO0594	006801A	CLUP HAR	5	17,00	0,73	2,49
PO0594	006801A	LIMA LIM	2	7,80	0,29	1,14
PO0594	006801A	LIPA LIP	61	187,40	8,94	27,48
PO0594	006801A	MERL MER	27	181,20	3,96	26,57
PO0594	006801A	MYOX SCO	1	2,50	0,15	0,37
PO0594	006801A	OSME EPE	6	110,10	0,88	16,14
PO0594	006801A	PLEU PLA	222	1635,40	32,55	239,78
PO0594	006801A	POMA MIN	4	7,80	0,59	1,14
PO0594	006801A	PSET MAX	1	47,40	0,15	6,95
PO0594	006801A	SOLE SOL	4	224,10	0,59	32,86
PO0594	006801A	SPRA SPR	14	62,00	2,05	9,09
PO0594	006801A	SYNG ROS	66	60,08	9,68	8,81
PO0594	006801A	ZOAR VIV	1	4,20	0,15	0,62
PO0594	007001A	AGON CAT	14	87,61	3,68	23,05
PO0594	007001A	BUGL LUT	2	4,80	0,53	1,26
PO0594	007001A	CALL LYR	11	103,40	2,89	27,20
PO0594	007001A	GADIDAEX	1	3,20	0,26	0,84
PO0594	007001A	LIPA LIP	29	112,16	7,63	29,50
PO0594	007001A	MERL MER	59	452,40	15,52	119,01
PO0594	007001A	OSME EPE	2	34,50	0,53	9,08
PO0594	007001A	PLEU PLA	366	3385,40	96,28	890,57
PO0594	007001A	POMA MIN	1	2,90	0,26	0,76
PO0594	007001A	PSET MAX	1	317,60	0,26	83,55
PO0594	007001A	SCOP RHO	1	63,00	0,26	16,57
PO0594	007001A	SOLE SOL	5	193,80	1,32	50,98
PO0594	007001A	SPRA SPR	4	22,60	1,05	5,95
PO0594	007001A	SYNG ROS	19	14,63	5,00	3,85
PO0594	007001A	TRIG LUC	1	61,30	0,26	16,13
PO0594	007001A	TRIS LUS	3	16,50	0,79	4,34
PO0594	007101A	AGON CAT	2	18,00	0,60	5,38
PO0594	007101A	AMMO LAN	1	16,30	0,30	4,88
PO0594	007101A	CALL LYR	1	7,60	0,30	2,27

Expedition	Station	Rubincode	Totale Abundanz	Totalgewicht (g)	N / 1000 m ²	g / 1000 m ²
PO0594	007101A	CLUPEA Z	7	39,60	2,09	11,85
PO0594	007101A	CLUP HAR	1	4,50	0,30	1,35
PO0594	007101A	LIPA LIP	1	2,70	0,30	0,81
PO0594	007101A	MERL MER	38	321,10	11,37	96,06
PO0594	007101A	PLEU PLA	828	5402,30	247,69	1616,08
PO0594	007101A	SOLE SOL	3	114,30	0,90	34,19
PO0594	007101A	SYNG ROS	6	6,20	1,79	1,85
PO0594	007101A	TRIG LUC	2	171,90	0,60	51,42
PO0594	007101A	TRIS MIN	1	3,10	0,30	0,93
PO0594	007201A	CLUPEA Z	3	12,20	0,58	2,37
PO0594	007201A	CLUP HAR	4	15,00	0,78	2,92
PO0594	007201A	LIPA LIP	2	4,80	0,39	0,93
PO0594	007201A	MYOX SCO	3	8,30	0,58	1,61
PO0594	007201A	PLEU PLA	425	929,00	82,68	180,73
PO0594	007201A	POMA MIN	8	14,50	1,56	2,82
PO0594	007201A	SOLE SOL	1	0,70	0,19	0,14
PO0594	007201A	SPRA SPR	1	5,00	0,19	0,97
PO0594	007201A	SYNG ROS	50	17,31	9,73	3,37
PO0693	000301S	AGON CAT	21	13,69	3,67	2,36
PO0693	000301S	CALL LYR	1	4,20	0,17	0,73
PO0693	000301S	CILI MUS	9	9,85	1,55	1,70
PO0693	000301S	CLUP HAR	3	27,90	0,52	4,82
PO0693	000301S	LIPA LIP	27	57,69	4,69	9,96
PO0693	000301S	MERL MER	10	257,40	1,73	44,45
PO0693	000301S	MYOX SCO	1	2,66	0,17	0,46
PO0693	000301S	PHOL GUN	9	54,00	1,55	9,33
PO0693	000301S	PLAT FLE	5	277,70	0,86	47,96
PO0693	000301S	PLEU PLA	132	223,90	22,75	38,67
PO0693	000301S	POMA MIN	28	75,10	4,84	12,97
PO0693	000301S	SOLE SOL	5	186,40	0,86	32,19
PO0693	000301S	SYNG ROS	61	63,20	10,54	10,92
PO0693	000301S	ZOAR VIV	5	35,44	0,86	6,12
PO0693	000401S	AGON CAT	6	3,52	1,23	0,76
PO0693	000401S	CLUP HAR	1	4,00	0,22	0,86
PO0693	000401S	OSME EPE	11	224,10	2,38	48,43
PO0693	000401S	PHOL GUN	1	4,46	0,22	0,96
PO0693	000401S	PLAT FLE	1	66,40	0,22	14,35
PO0693	000401S	PLEU PLA	250	347,74	53,94	75,15
PO0693	000401S	POMA MIN	7	15,70	1,51	3,39
PO0693	000401S	SYNG ROS	69	52,58	14,81	11,36
PO0693	000401S	ZOAR VIV	4	138,01	0,86	29,82
PO0693	000501S	AGON CAT	10	14,84	2,80	3,96
PO0693	000501S	CILI MUS	8	3,93	2,27	1,05
PO0693	000501S	CLUPEA Z	13	36,20	3,47	9,67
PO0693	000501S	CLUP HAR	22	100,00	5,88	26,70
PO0693	000501S	LIMA LIM	7	67,20	1,87	17,95
PO0693	000501S	LIPA LIP	29	62,04	7,74	16,57
PO0693	000501S	MERL MER	1	14,80	0,27	3,95
PO0693	000501S	MICR KIT	16	43,47	4,40	11,61
PO0693	000501S	MYOX SCO	32	87,51	8,68	23,37
PO0693	000501S	OSME EPE	2	64,30	0,53	17,17
PO0693	000501S	PHOL GUN	8	61,07	2,14	16,31
PO0693	000501S	PLEU PLA	305	364,54	81,41	97,35
PO0693	000501S	POMA MIN	21	62,40	5,61	16,66
PO0693	000501S	SOLE SOL	1	115,80	0,27	30,92
PO0693	000501S	SYNG ROS	203	113,62	54,29	30,34
PO0693	000501S	ZOAR VIV	3	18,13	0,80	4,84

Expedition	Station	Rubincode	Totale Abundanz	Totalgewicht (g)	N / 1000 m ²	g / 1000 m ²
PO0693	000601S	CILI MUS	29	18,15	6,19	3,87
PO0693	000601S	CLUP HAR	2	10,50	0,43	2,24
PO0693	000601S	LIMA LIM	2	15,80	0,43	3,37
PO0693	000601S	LIPA LIP	1	1,60	0,21	0,34
PO0693	000601S	MYOX SCO	2	134,42	0,43	28,70
PO0693	000601S	PHOL GUN	1	9,38	0,21	2,00
PO0693	000601S	PLAT FLE	1	146,60	0,21	31,30
PO0693	000601S	PLEU PLA	638	1034,27	136,13	220,79
PO0693	000601S	POMA MIN	71	138,60	15,09	29,59
PO0693	000601S	SYNG ROS	45	22,90	9,61	4,89
PO0693	000601S	ZOAR VIV	1	43,16	0,21	9,21
PO0693	000901S	CILI MUS	1	1,00	0,20	0,20
PO0693	000901S	LIPA LIP	1	2,55	0,20	0,52
PO0693	000901S	OSME EPE	1	18,70	0,20	3,79
PO0693	000901S	PLEU PLA	1	1,10	0,20	0,22
PO0693	000901S	SPRA SPR	5	30,50	1,01	6,19
PO0693	000901S	SYNG ROS	6	6,20	1,22	1,26
PO0693	001001S	AGON CAT	1	0,92	0,18	0,16
PO0693	001001S	ARNO LAT	1	0,30	0,18	0,05
PO0693	001001S	CILI MUS	4	3,98	0,76	0,71
PO0693	001001S	CLUPEA Z	6	24,00	1,07	4,30
PO0693	001001S	CLUP HAR	5	24,40	0,90	4,37
PO0693	001001S	LIPA LIP	2	5,10	0,36	0,91
PO0693	001001S	OSME EPE	3	42,30	0,54	7,58
PO0693	001001S	PLAT FLE	1	58,70	0,18	10,52
PO0693	001001S	PLEU PLA	48	66,70	8,61	11,95
PO0693	001001S	POMA MIN	10	6,84	1,87	1,23
PO0693	001001S	SOLE SOL	7	1411,00	1,25	252,80
PO0693	001001S	SPRA SPR	28	136,60	5,02	24,47
PO0693	001001S	SYNG ROS	296	253,42	53,06	45,40
PO0693	001201S	CILI MUS	4	33,65	0,82	6,87
PO0693	001201S	CLUP HAR	17	87,10	3,47	17,78
PO0693	001201S	LIPA LIP	6	17,01	1,23	3,47
PO0693	001201S	MYOX SCO	2	7,30	0,41	1,49
PO0693	001201S	PLEU PLA	200	320,06	40,92	65,35
PO0693	001201S	POMA MIN	1	1,40	0,20	0,29
PO0693	001201S	SOLE SOL	1	14,10	0,20	2,88
PO0693	001201S	SPRA SPR	2	13,20	0,41	2,70
PO0693	001201S	SYNG ROS	150	109,67	30,54	22,39
PO0693	001201S	ZOAR VIV	6	105,70	1,23	21,58
PO0693	001301S	ANGU ANG	1	29,20	0,24	7,15
PO0693	001301S	CILI MUS	8	8,30	1,96	2,03
PO0693	001301S	CLUP HAR	1	6,80	0,24	1,67
PO0693	001301S	LIPA LIP	18	32,40	4,41	7,94
PO0693	001301S	MERL MER	3	21,50	0,73	5,27
PO0693	001301S	MYOX SCO	3	111,17	0,73	27,23
PO0693	001301S	OSME EPE	8	152,30	1,96	37,31
PO0693	001301S	PHOL GUN	4	22,39	0,98	5,48
PO0693	001301S	PLAT FLE	4	277,70	0,98	68,03
PO0693	001301S	PLEU PLA	5	32,10	1,22	7,86
PO0693	001301S	SOLE SOL	3	71,70	0,73	17,56
PO0693	001301S	SPRA SPR	1	3,00	0,24	0,73
PO0693	001301S	SYNG ROS	147	71,48	36,12	17,51
PO0693	001301S	ZOAR VIV	6	125,58	1,47	30,76
PO0693	001401S	AGON CAT	1	3,80	0,20	0,77
PO0693	001401S	CLUP HAR	1	5,00	0,20	1,01
PO0693	001401S	LIPA LIP	14	35,32	2,84	7,16

Expedition	Station	Rubincode	Totale Abundanz	Totalgewicht (g)	N / 1000 m ²	g / 1000 m ²
PO0693	001401S	MICR KIT	2	5,30	0,41	1,07
PO0693	001401S	MYOX SCO	2	77,58	0,41	15,72
PO0693	001401S	OSME EPE	3	79,90	0,61	16,19
PO0693	001401S	PHOL GUN	1	10,83	0,20	2,19
PO0693	001401S	PLAT FLE	6	395,90	1,22	80,23
PO0693	001401S	PLEU PLA	51	143,61	10,30	29,10
PO0693	001401S	POMA MIN	73	136,41	14,74	27,64
PO0693	001401S	ZOAR VIV	2	42,81	0,41	8,68
PO0693	001701B	AGON CAT	2	0,60	0,43	0,13
PO0693	001701B	CLUPEA Z	43	172,90	9,22	37,09
PO0693	001701B	GAST ACU	1	0,40	0,21	0,09
PO0693	001701B	PLAT FLE	1	33,40	0,21	7,16
PO0693	001701B	PLEU PLA	5	7,90	1,07	1,69
PO0693	001701B	POMA MIN	1	1,80	0,21	0,39
PO0693	001701B	SYNG ROS	17	7,00	3,65	1,50
PO0693	001801B	AGON CAT	3	2,06	0,72	0,43
PO0693	001801B	CLUPEA Z	16	63,23	3,32	13,20
PO0693	001801B	MERL MER	1	12,40	0,21	2,59
PO0693	001801B	PLEU PLA	8	51,05	1,76	10,66
PO0693	001801B	SYNG ROS	24	13,14	5,08	2,74
PO0693	001901B	AGON CAT	1	9,50	0,17	1,59
PO0693	001901B	CILI MUS	1	2,60	0,17	0,44
PO0693	001901B	CLUPEA Z	5	22,60	0,84	3,78
PO0693	001901B	CLUP HAR	15	70,50	2,51	11,80
PO0693	001901B	HYPE LAN	1	15,00	0,17	2,51
PO0693	001901B	LIPA LIP	2	4,06	0,33	0,68
PO0693	001901B	MERL MER	5	23,80	0,84	3,98
PO0693	001901B	MICR KIT	13	24,54	2,16	4,11
PO0693	001901B	MYOX SCO	2	7,17	0,33	1,20
PO0693	001901B	OSME EPE	2	45,60	0,33	7,63
PO0693	001901B	PLAT FLE	1	174,30	0,17	29,17
PO0693	001901B	PLEU PLA	894	1687,69	149,65	282,42
PO0693	001901B	POMA MIN	78	200,21	12,97	33,50
PO0693	001901B	SOLE SOL	1	115,60	0,17	19,34
PO0693	001901B	SPRA SPR	1	7,60	0,17	1,27
PO0693	001901B	SYNG ROS	103	81,38	17,29	13,62
PO0693	001901B	ZOAR VIV	2	9,96	0,33	1,67
PO0693	002001B	AGON CAT	4	18,30	0,77	3,52
PO0693	002001B	CILI MUS	7	12,13	1,35	2,33
PO0693	002001B	CLUP HAR	2	9,10	0,38	1,75
PO0693	002001B	LIPA LIP	38	102,70	7,31	19,75
PO0693	002001B	MERL MER	2	6,90	0,38	1,33
PO0693	002001B	MYOX SCO	8	26,40	1,54	5,08
PO0693	002001B	PHOL GUN	12	80,22	2,31	15,42
PO0693	002001B	PLEU PLA	149	2385,08	28,73	458,61
PO0693	002001B	POMA MIN	30	104,61	5,75	20,11
PO0693	002001B	SOLE SOL	6	363,00	1,15	69,80
PO0693	002001B	SYNG ACU	1	30,10	0,19	5,79
PO0693	002001B	SYNG ROS	15	13,00	2,88	2,50
PO0693	002001B	ZOAR VIV	3	41,37	0,58	7,95
PO0693	002201B	ANGU ANG	1	47,50	0,22	10,53
PO0693	002201B	CILI MUS	6	5,90	1,33	1,31
PO0693	002201B	CLUP HAR	2	18,70	0,44	4,15
PO0693	002201B	LIPA LIP	10	25,22	2,22	5,59
PO0693	002201B	MERL MER	4	14,50	0,89	3,22
PO0693	002201B	MICR KIT	1	2,30	0,22	0,51
PO0693	002201B	MYOX SCO	10	32,90	2,22	7,29

Expedition	Station	Rubincode	Totale Abundanz	Totalgewicht (g)	N / 1000 m ²	g / 1000 m ²
PO0693	002201B	PHOL GUN	36	219,28	7,98	48,62
PO0693	002201B	PLAT FLE	1	51,30	0,22	11,37
PO0693	002201B	PLEU PLA	87	152,85	19,29	33,89
PO0693	002201B	POMA MIN	85	148,75	18,85	32,98
PO0693	002201B	SOLE SOL	4	60,70	0,89	13,46
PO0693	002201B	SPRA SPR	1	4,30	0,22	0,95
PO0693	002201B	SYNG ROS	85	51,00	18,85	11,31
PO0693	002201B	ZOAR VIV	16	176,32	3,55	39,09
PO0693	002301B	AGON CAT	9	11,63	1,67	2,28
PO0693	002301B	LIPA LIP	1	2,55	0,20	0,50
PO0693	002301B	OSME EPE	1	23,00	0,20	4,50
PO0693	002301B	PLEU PLA	8	133,00	1,56	26,01
PO0693	002301B	SYNG ROS	22	8,36	4,24	1,63
PO0693	002601B	AGON CAT	8	4,23	1,82	0,95
PO0693	002601B	CALL LYR	1	10,10	0,22	2,26
PO0693	002601B	CILI MUS	16	15,41	3,58	3,45
PO0693	002601B	CLUP HAR	2	0,40	0,45	0,09
PO0693	002601B	LIPA LIP	12	18,18	2,68	4,07
PO0693	002601B	MERL MER	1	1,10	0,22	0,25
PO0693	002601B	MYOX SCO	10	34,82	2,24	7,79
PO0693	002601B	OSME EPE	1	9,80	0,22	2,19
PO0693	002601B	PHOL GUN	2	10,05	0,45	2,25
PO0693	002601B	PLEU PLA	227	630,45	50,71	141,04
PO0693	002601B	POMA MIN	65	134,24	14,56	30,03
PO0693	002601B	SOLE SOL	9	35,54	2,04	7,95
PO0693	002601B	SYNG ROS	24	6,51	5,46	1,46
PO0693	002601B	ZOAR VIV	4	39,47	0,89	8,83
PO0693	002701B	AGON CAT	17	5,15	4,33	1,34
PO0693	002701B	CILI MUS	3	2,68	0,78	0,70
PO0693	002701B	CLUP HAR	1	3,80	0,26	0,99
PO0693	002701B	LIPA LIP	12	29,19	3,13	7,61
PO0693	002701B	MERL MER	1	1,30	0,26	0,34
PO0693	002701B	MYOX SCO	2	9,93	0,52	2,59
PO0693	002701B	OSME EPE	2	101,00	0,52	26,33
PO0693	002701B	PLEU PLA	318	1212,67	83,03	316,18
PO0693	002701B	POMA MIN	75	132,00	19,48	34,42
PO0693	002701B	SYNG ROS	42	7,47	10,82	1,95
PO0693	002701B	ZOAR VIV	3	194,49	0,78	50,71
PO0693	002901B	CILI MUS	1	0,60	0,20	0,12
PO0693	002901B	LIPA LIP	20	61,15	4,01	12,25
PO0693	002901B	MYOX SCO	31	100,37	6,21	20,10
PO0693	002901B	OSME EPE	2	36,20	0,40	7,25
PO0693	002901B	PHOL GUN	7	53,88	1,40	10,79
PO0693	002901B	PLEU PLA	454	1744,16	90,90	349,27
PO0693	002901B	POMA MIN	17	54,30	3,40	10,87
PO0693	002901B	SYNG ROS	2	2,20	0,40	0,44
PO0693	003001B	AGON CAT	3	44,07	0,71	10,45
PO0693	003001B	CLUP HAR	2	10,40	0,47	2,47
PO0693	003001B	LIPA LIP	3	9,20	0,71	2,18
PO0693	003001B	OSME EPE	4	69,10	0,95	16,39
PO0693	003001B	PLAT FLE	1	87,60	0,24	20,78
PO0693	003001B	PLEU PLA	40	112,74	9,55	26,74
PO0693	003001B	SPRA SPR	9	0,87	2,07	0,21
PO0693	003001B	SYNG ROS	18	5,44	4,29	1,29
PO0693	003001B	ZOAR VIV	1	35,49	0,24	8,42
PO0693	003101B	AGON CAT	26	65,97	8,28	21,01
PO0693	003101B	CLUPEA Z	27	112,70	8,60	35,89

Expedition	Station	Rubincode	Totale Abundanz	Totalgewicht (g)	N / 1000 m ²	g / 1000 m ²
PO0693	003101B	MERL MER	23	172,00	7,32	54,77
PO0693	003101B	OSME EPE	4	61,60	1,27	19,62
PO0693	003101B	PLEU PLA	38	197,30	12,10	62,83
PO0693	003101B	SYNG ROS	9	5,40	2,87	1,72
PO0693	003101B	TRIG LUC	4	296,80	1,27	94,52
PO0693	003201B	AGON CAT	7	41,16	2,05	12,08
PO0693	003201B	ANGU ANG	1	79,90	0,29	23,45
PO0693	003201B	CLUPEA Z	3	18,00	0,88	5,28
PO0693	003201B	CLUP HAR	13	58,10	3,81	17,05
PO0693	003201B	MERL MER	23	142,80	6,75	41,90
PO0693	003201B	OSME EPE	4	55,10	1,17	16,17
PO0693	003201B	PLEU PLA	50	223,20	14,67	65,50
PO0693	003201B	POMA MIN	1	2,00	0,29	0,59
PO0693	003201B	SOLE SOL	3	48,80	0,88	14,32
PO0693	003201B	SPRA SPR	12	76,80	3,52	22,54
PO0693	003201B	SYNG ROS	13	8,50	3,81	2,49
PO0693	003201B	TRIG LUC	4	326,10	1,17	95,69

Tabelle 15: Mittlere Abundanz (N / 1000 m²) sowie mittlere Biomasse (g / 1000 m²) aller Arten, Gattungen und Familien aller untersuchten Stationen der Jahre 1993 - 2007. SE = Standardfehler (SE = $\frac{s}{\sqrt{n}}$) der der Abundanz bzw. Biomasse.

Art	Abundanz (N/1000 m ²)	SE
BLIC BJO	0,0003	0,0003
RUTI RUT	0,0003	0,0003
ENCH CIM	0,0003	0,0003
LAMP FLU	0,0003	0,0003
LIPARISZ	0,0005	0,0005
LIPA MON	0,0006	0,0006
SYNG TYP	0,0006	0,0004
CALL RET	0,0007	0,0007
HIPP PLA	0,0012	0,0012
BELO BEL	0,0013	0,0008
ENTE AEQ	0,0014	0,0007
SYNG ACU	0,0020	0,0009
TRAC VIP	0,0021	0,0016
HYPE LAN	0,0022	0,0014
CLUPEIDX	0,0024	0,0021
DICE LAB	0,0028	0,0011
POMA PIC	0,0033	0,0023
SCOP RHO	0,0041	0,0012
PSET MAX	0,0064	0,0016
ANGU ANG	0,0070	0,0021
TRAC TRA	0,0075	0,0027
EUTR GUR	0,0076	0,0037
ARNO LAT	0,0115	0,0048
LOTIDAEX	0,0126	0,0054
CHEL LUC	0,0129	0,0051
TRIS LUS	0,0164	0,0056
TRIS MIN	0,0175	0,0069
BUGL LUT	0,0179	0,0096
ALOS FAL	0,0191	0,0059
CALL LYR	0,0198	0,0066
AMMO LAN	0,0262	0,0062
ATHE PRE	0,0286	0,0198
GADIDAE	0,0524	0,0512
CLUPEA Z	0,1052	0,0364
PHOL GUN	0,1297	0,0264
MICR KIT	0,1410	0,0303
POMA MIC	0,1752	0,0458
LIMA LIM	0,2385	0,0808
GADU MOR	0,3128	0,0509
CILI MUS	0,3938	0,0716
SOLE SOL	0,5185	0,1022
GAST ACU	0,5228	0,1038
SPRA SPR	0,5720	0,1420
ZOAR VIV	0,7015	0,1044
AGON CAT	0,7507	0,2978
LIPA LIP	1,0622	0,1372
MYOX SCO	1,8002	0,3913
OSME EPE	1,8959	0,1813
MERL MER	1,9935	0,3488
PLAT FLE	2,0759	0,2655
CLUP HAR	2,8316	0,8898
SYNG ROS	7,1612	1,7548
POMA MIN	10,5073	1,4875
PLEU PLA	44,2132	7,7536

ART	Biomasse (g / 1000 m ²)	SE
BELO BEL	0,0480	0,0117
POMA PIC	0,4371	0,1346
BLIC BJO	0,5875	0,0000
ENCH CIM	0,6289	0,0000
POMA MIC	0,6549	3,0820
EUTR GUR	0,7545	0,2376
CLUPEIDX	1,2968	0,9753
TRAC VIP	1,5022	0,9727
HIPP PLA	1,5937	0,0000
LIPA MON	1,7167	0,0000
SYNG TYP	1,7752	1,5028
BUGL LUT	1,8929	0,6064
RUIT RUT	2,0008	0,0000
LOTIDAEX	2,1464	0,7208
ROCC LAB	2,1830	0,1633
HYPE LAN	2,3552	0,4098
AMMO LAN	2,4856	27,5301
ARNO LAT	2,6515	1,0531
ENTE AEQ	2,7464	0,8123
LAMP FLU	3,2301	0,0000
DICE LAB	3,3601	0,6000
GADIDAE	3,5175	1,7991
MICR KIT	3,5851	0,6296
PHOL GUN	3,9583	0,5938
GAST ACU	4,3183	0,8670
ALSO FAL	4,4099	0,9534
TRAC TRA	4,5461	4,1660
SYNG ROS	4,6012	0,6154
CALL LYR	4,9141	1,4510
SPRA SPR	5,0829	0,5956
AGON CAT	6,0053	0,5125
SYNG ACU	6,1863	1,3307
SCOP RHO	6,9904	1,7738
ATHE PRE	7,1352	4,3100
CILI MUS	7,2503	0,8457
LIPA LIP	9,1357	0,9557
CLUPEA Z	9,2227	1,5935
TRIS MIN	10,0450	4,5627
CHEL LUC	10,3729	4,0004
CALL RET	11,2614	0,0000
LIMA LIM	15,5868	3,3523
ZOAR VIV	16,9403	1,7284
MYOX SCO	18,7342	1,8653
TRIS LUS	20,2170	1,2542
CLUP HAR	21,9065	3,9349
PSET MAX	22,0011	7,4365
SOLE SOL	22,7156	4,3209
POMA MIN	24,2863	3,0820
GADU MOR	25,8422	2,4918
ANGU ANG	29,5930	7,3944
OSME EPE	31,4772	3,1707
MERL MER	50,0364	6,3682
PLAT FLE	53,9511	3,8698
PLEU PLA	128,4136	23,0143

Tabelle 16: Mittlere Abundanz (Ind. / 1000 m²) im Frühjahr und Sommer der Kompartimente Watt und Seeseite (Bereich vor den Inseln) der Jahre 1993 - 2007.

Jahr	Watt Frühjahr		Watt Sommer		Seeseite Frühjahr		Seeseite Sommer	
	Abundanz (Ind./1000 m ²)	SE	Abundanz (Ind./1000 m ²)	SE	Abundanz (Ind./1000 m ²)	SE	Abundanz (Ind./1000 m ²)	SE
1993	27,85	4,81	79,98	15,94	6,43	1,53	65,73	13,69
1994	6,50	1,56	55,46	19,01	6,61	2,97	261,18	93,02
1995	7,70	1,50	36,05	7,68	NA	0,00	NA	NA
1996	17,58	3,28	90,22	43,81	19,06	8,42	NA	NA
1997	8,56	1,65	44,76	10,34	10,98	0,46	23,26	7,36
1998	14,17	2,73	34,91	12,84	NA	0,00	NA	NA
1999	7,69	1,11	59,89	16,01	NA	0,00	74,12	38,04
2000	29,83	6,71	43,95	9,57	74,94	41,15	57,98	7,23
2001	26,56	3,88	128,98	34,38	23,30	3,30	41,33	15,55
2002	17,96	5,15	61,92	7,82	22,25	10,94	7,48	0,00
2003	195,60	49,83	89,01	40,06	20,95	0,00	86,35	81,73
2004	6,36	3,20	554,90	189,89	NA	0,00	NA	NA
2005	136,24	47,93	385,78	113,43	NA	0,00	75,33	71,29
2006	76,61	27,35	273,52	147,01	NA	0,00	11,67	0,29
2007	63,70	21,02	140,62	33,73	25,74	11,51	108,16	9,53

Tabelle 17: Mittlere Biomasse (g / 1000 m²) im Frühjahr und Sommer der Kompartimente Watt und Seeseite (Bereich vor den Inseln) der Jahre 1993 - 2007.

Jahr	Watt Frühjahr		Watt Sommer		Seeseite Frühjahr		Seeseite Sommer	
	Biomasse (g/1000 m ²)	SE						
1993	345,14	97,89	238,86	37,80	91,48	64,12	303,71	13,35
1994	437,54	222,42	446,04	142,51	NA	NA	898,45	399,08
1995	117,28	34,69	401,94	120,39	NA	NA	NA	NA
1996	26,53	11,28	1711,59	502,17	NA	NA	NA	NA
1997	397,29	75,54	301,58	71,71	231,69	0,00	2999,10	2747,66
1998	84,85	16,40	330,09	36,05	55,26	29,69	NA	NA
1999	169,96	20,16	461,26	116,06	104,00	6,83	432,94	156,61
2000	206,56	31,85	236,84	74,44	787,87	375,90	82,65	16,10
2001	64,35	7,88	328,47	83,31	NA	NA	364,37	125,59
2002	195,81	28,38	184,58	29,36	NA	NA	644,40	NA
2003	79,73	14,45	220,20	31,16	54,91	1,07	288,89	154,59
2004	148,90	28,85	326,95	51,89	67,77	18,36	NA	NA
2005	90,56	14,08	121,69	27,63	NA	NA	494,58	242,41
2006	44,61	9,61	188,52	57,16	18,83	6,04	450,98	277,71
2007	143,60	17,67	448,99	78,50	32,09	11,20	2057,66	858,35

Tabelle 18: Präsenz (%) der vorrangig betrachteten Arten im Frühjahr der Untersuchungsjahre 1993 - 2007. Rubincodes siehe Tabelle 2.

Jahr	AMMO LAN	ANGU ANG	CLUP HAR	GADU MOR	HYPE LAN	LIMA LIM	MERL MER	PLAT FLE	PLEU PLA	PSET MAX	SCOP RHO	SOLE SOL	SPRA SPR	ZOAR VIV
1993	16,67	0,00	72,22	0,00	0,00	22,22	5,56	22,22	72,22	0,00	0,00	38,89	27,78	11,11
1994	13,33	0,00	80,00	93,33	0,00	0,00	26,67	100,00	86,67	0,00	0,00	86,67	73,33	
1995	0,00	0,00	30,77	53,85	0,00	0,00	15,38	100,00	92,31	0,00	0,00	23,08	7,69	53,85
1996	11,11	5,56	22,22	0,00	0,00	0,00	0,00	27,78	55,56	0,00	0,00	0,00	0,00	27,78
1997	5,26	0,00	94,74	73,68	0,00	10,53	15,79	89,47	94,74	0,00	0,00	47,37	57,89	52,63
1998	0,00	0,00	47,37	5,26	0,00	5,26	0,00	57,89	84,21	0,00	0,00	15,79	21,05	31,58
1999	0,00	0,00	95,24	23,81	0,00	28,57	14,29	90,48	100,00	0,00	0,00	4,76	76,19	47,62
2000	4,17	4,17	75,00	54,17	4,17	25,00	45,83	91,67	79,17	4,17	4,17	25,00	37,50	62,50
2001	4,76	0,00	61,90	4,76	0,00	0,00	4,76	85,71	42,86	0,00	0,00	14,29	28,57	33,33
2002	4,55	0,00	81,82	77,27	0,00	0,00	77,27	81,82	81,82	0,00	0,00	4,55	45,45	36,36
2003	4,55	0,00	50,00	4,55	0,00	9,09	4,55	81,82	36,36	0,00	4,55	0,00	36,36	31,82
2004	19,05	0,00	52,38	4,76	0,00	9,52	0,00	95,24	100,00	0,00	4,76	0,00	42,86	42,86
2005	14,29	0,00	80,95	28,57	0,00	0,00	4,76	85,71	66,67	0,00	9,52	0,00	23,81	33,33
2006	4,17	0,00	45,83	8,33	0,00	12,50	0,00	83,33	83,33	0,00	0,00	0,00	25,00	37,50
2007	16,00	0,00	84,00	4,00	0,00	16,00	24,00	92,00	100,00	0,00	4,00	8,00	64,00	12,00

Tabelle 19: Präsenz (%) der vorrangig betrachteten Arten im Sommer der Untersuchungsjahre 1993 - 2007.
Rubincodes siehe Tabelle 2.

Jahr	AMMO LAN	ANGU ANG	CLUP HAR	GADU MOR	HYPE LAN	LIMA LIM	MERL MER	PLAT FLE	PLEU PLA	PSET MAX	SCOP RHO	SOLE SOL	SPRA SPR	ZOAR VIV
1993	0,00	13,64	72,73	0,00	4,55	9,09	50,00	45,45	100,00	0,00	0,00	45,45	36,36	63,64
1994	12,50	0,00	68,75	0,00	0,00	6,25	56,25	31,25	100,00	12,50	6,25	68,75	56,25	50,00
1995	10,00	0,00	85,00	25,00	0,00	40,00	65,00	75,00	95,00	5,00	5,00	45,00	60,00	15,00
1996	16,67	5,56	72,22	77,78	0,00	27,78	77,78	44,44	100,00	11,11	11,11	22,22	61,11	61,11
1997	0,00	5,00	50,00	0,00	5,00	5,00	25,00	60,00	100,00	0,00	0,00	25,00	50,00	60,00
1998	0,00	16,67	50,00	77,78	0,00	11,11	94,44	55,56	100,00	0,00	0,00	94,44	11,11	61,11
1999	0,00	0,00	25,00	0,00	0,00	30,00	15,00	60,00	100,00	20,00	0,00	75,00	90,00	85,00
2000	8,33	4,17	75,00	8,33	4,17	12,50	37,50	66,67	95,83	4,17	4,17	66,67	70,83	75,00
2001	4,76	9,52	85,71	28,57	0,00	0,00	100,00	52,38	100,00	0,00	0,00	42,86	52,38	52,38
2002	0,00	0,00	42,86	0,00	0,00	0,00	9,52	76,19	66,67	0,00	4,76	57,14	38,10	47,62
2003	8,00	4,00	64,00	12,00	0,00	4,00	68,00	84,00	100,00	8,00	0,00	40,00	56,00	32,00
2004	4,55	4,55	90,91	45,45	0,00	9,09	18,18	95,45	95,45	9,09	0,00	40,91	31,82	72,73
2005	0,00	0,00	45,83	0,00	0,00	8,33	25,00	45,83	100,00	0,00	0,00	29,17	50,00	45,83
2006	8,00	0,00	8,00	4,00	0,00	8,00	12,00	64,00	100,00	8,00	0,00	32,00	24,00	40,00
2007	22,22	7,41	81,48	51,85	0,00	25,93	85,19	81,48	85,19	3,70	0,00	74,07	29,63	40,74